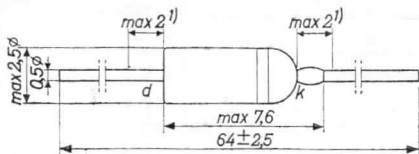


POINT-CONTACT GERMANIUM DIODE in miniature all-glass construction for use in A.M. detector and ratio detector circuits

Dimensions in mm The white band indicates the cathode side



LIMITING VALUES (Absolute max. values)

| | $T_{amb} = 25^{\circ}C$ | $60^{\circ}C$ |
|---|---|------------------|
| <u>Inverse voltage</u> | | |
| Average value (averaging time max. 50 msec) | $-V_D = \text{max. } 30 \text{ V}$ ($t_{av} = \text{max. } 50 \text{ msec}$) | 30 V 50 msec) |
| Peak value | $-V_{DM} = \text{max. } 45 \text{ V}$ | 45 V |

Forward current

| | | |
|---|---|-------------------|
| Average value (averaging time max. 50 msec) (See page D) | $I_D = \text{max. } 35 \text{ mA}$ ($t_{av} = \text{max. } 50 \text{ msec}$) | 15 mA 50 msec) |
| Peak value | $I_{DM} = \text{max. } 100 \text{ mA}$ | 100 mA |
| Surge current (max. duration 1 sec) | $I_{D\text{surge}} = \text{max. } 200 \text{ mA}$ ($t = \text{max. } 1 \text{ sec}$) | 200 mA 1 sec) |

Temperatures

| | |
|-------------------------------|---|
| Storage temperature | $T_s = -55^{\circ}C \text{ to } +75^{\circ}C$ |
| Operating ambient temperature | $T_{amb} = -55^{\circ}C \text{ to } +60^{\circ}C$ |

THERMAL DATA

Thermal resistance from junction to ambience in free air $K = \text{max. } 0.45^{\circ}C/mW$

¹⁾ Not tinned

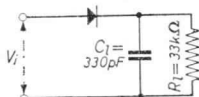
CHARACTERISTICS at $T_{amb} = 25^{\circ}C$

| Forward current (I_D) | Forward voltage (V_D) | | Inverse voltage ($-V_D$) | Reverse current ($-I_D$) | |
|---------------------------|---------------------------|-----------------------|----------------------------|----------------------------|---------------|
| | = | max. | | = | max. |
| 0.1 mA | = 0.23 V | < 0.30 V | 1.5 V | = 0.8 μA | < 2.8 μA |
| 1 mA | = 0.56 V | < 0.88 V | 10 V | = 4.5 μA | < 18 μA |
| 30 mA | = 2.8 V | < 4.0 V ¹⁾ | 30 V | = 35 μA | < 150 μA |
| | | | 45 V | = 90 μA | < 350 μA |

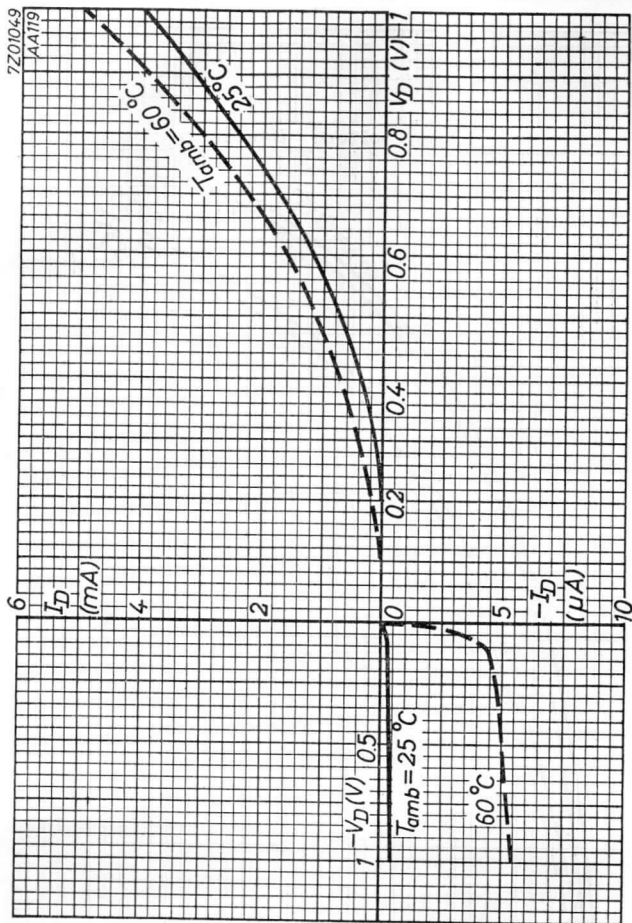
CHARACTERISTICS RANGE VALUES FOR EQUIPMENT DESIGN

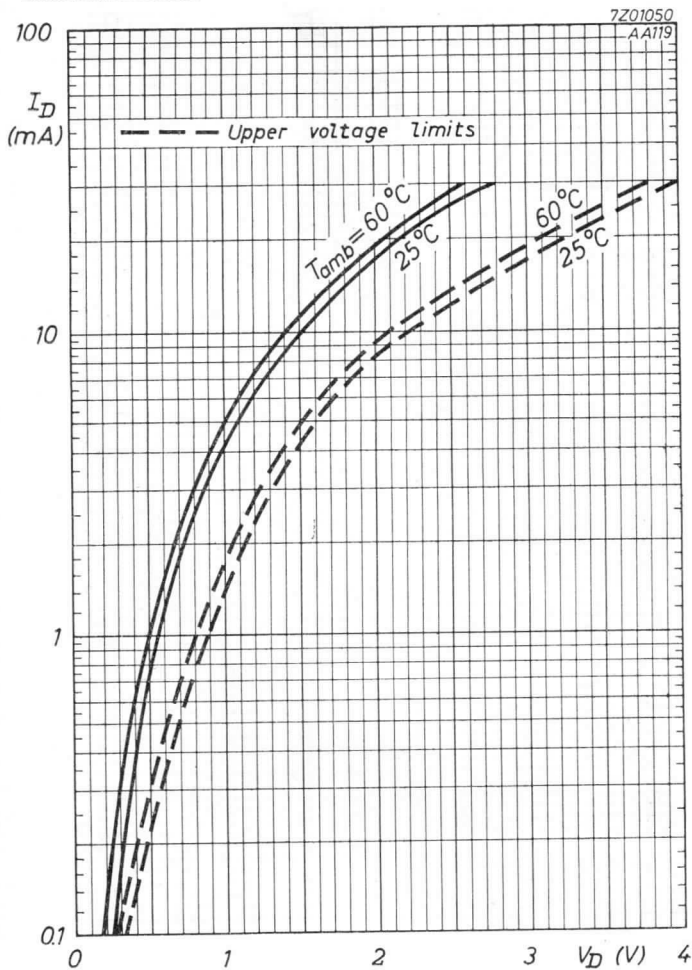
| Forward current (I_D) | Forward voltage (V_D) | | | |
|---------------------------|---------------------------|---------|-------------------------|----------|
| | $T_{amb} = 25^{\circ}C$ | | $T_{amb} = 60^{\circ}C$ | |
| | = | max. | = | max. |
| 0.1 mA | | | = 0.16 V | < 0.25 V |
| 1 mA | | | = 0.50 V | < 0.80 V |
| 10 mA | = 1.5 V | < 2.2 V | = 1.4 V | < 2.1 V |
| 30 mA ¹⁾ | | | = 2.6 V | < 3.8 V |

| Inverse voltage ($-V_D$) | Reverse current ($-I_D$) | | | |
|----------------------------|----------------------------|---------------|-------------------------|---------------|
| | $T_{amb} = 25^{\circ}C$ | | $T_{amb} = 60^{\circ}C$ | |
| | = | max. | = | max. |
| 0.1 V | = 0.35 μA | < 1.0 μA | = 4.5 μA | < 12 μA |
| 1.5 V | | | = 6 μA | < 25 μA |
| 10 V | | | = 16 μA | < 60 μA |
| 30 V | | | = 60 μA | < 300 μA |
| 45 V | | | = 170 μA | < 500 μA |

Input voltage $V_1 = 3$ VrmsFrequency $f = 10.7$ Mc/sEfficiency $\eta = 85\%$ Damping resistance $r_d = 15$ k Ω > 13.5 k Ω
< 19 k Ω 

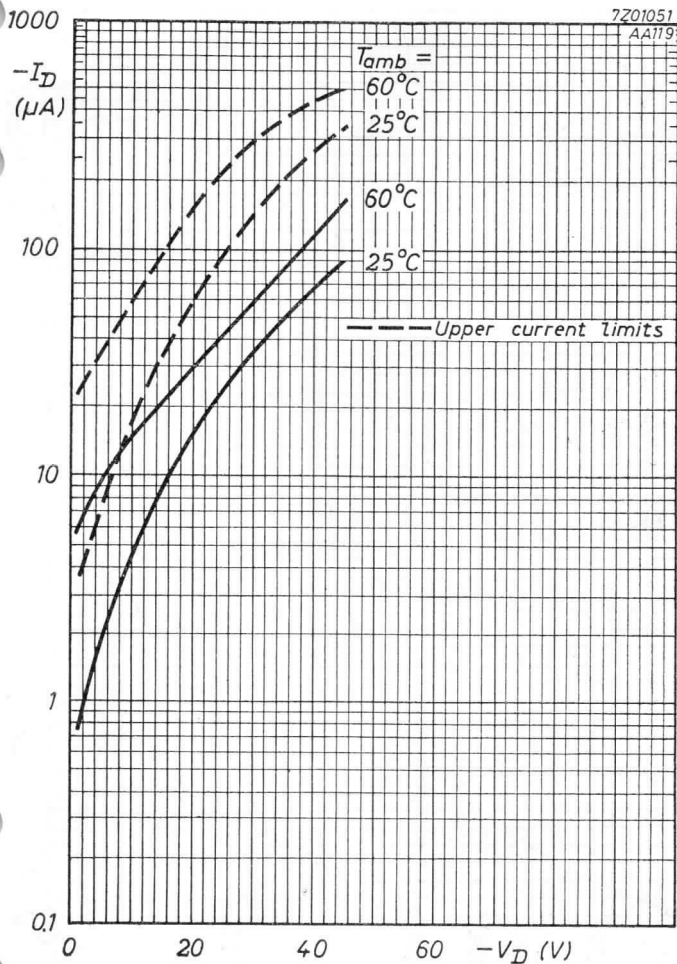
¹⁾ Measured with current pulses to prevent excessive dissipation



AA119**PHILIPS**

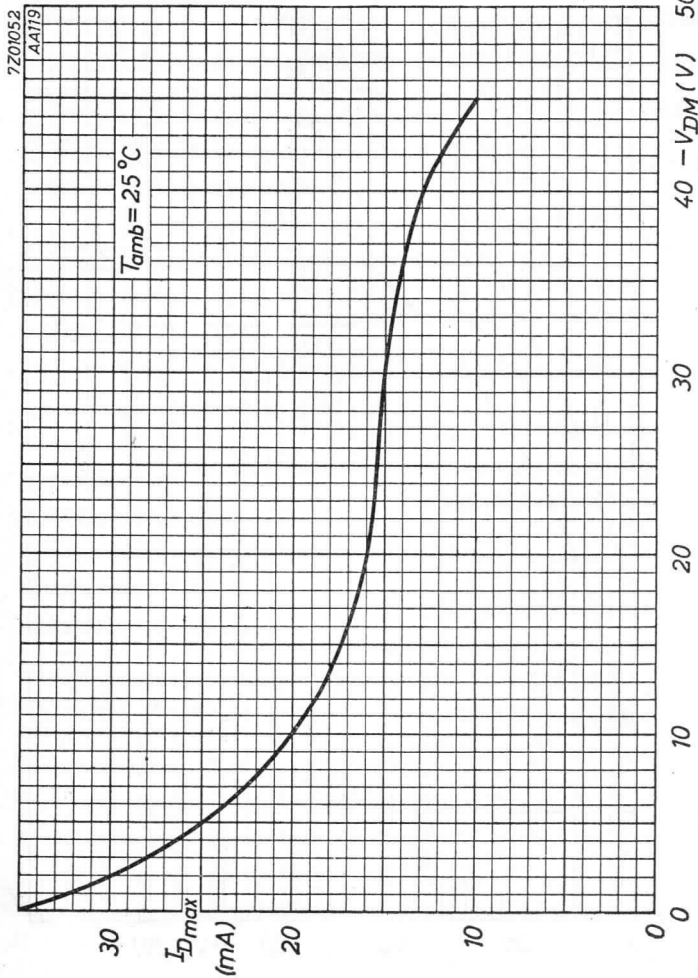
PHILIPS

AA119



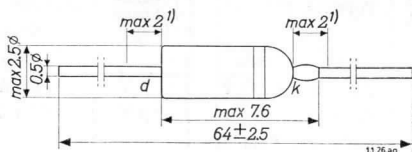
6.6.1962

C

AA119**PHILIPS**

POINT CONTACT GERMANIUM DIODE in miniature all-glass construction for high speed computer logic applications

Dimensions in mm The white band indicates the cathode side



LIMITING VALUES (Absolute max. values)

| | | | |
|-------------------------------|-----------|--------|-----------------|
| <u>Inverse voltage</u> | $-V_D$ | = max. | 15 V |
| <u>Forward current</u> | | | |
| Continuous | I_D | = max. | 20 mA |
| Peak value | I_{DM} | = max. | 50 mA |
| <u>Temperatures</u> | | | |
| Junction temperature | T_j | = max. | 75 °C |
| Operating ambient temperature | T_{amb} | = | -65°C to +60 °C |
| Storage temperature | T_s | = | -65°C to +75 °C |

THERMAL DATA

Thermal resistance from junction to ambience in free air $K = \text{max. } 0.75 \text{ } ^\circ\text{C}/\text{mW}$

CHARACTERISTICS

| $T_j = 25 \text{ } ^\circ\text{C}$ | | |
|------------------------------------|---------------------------|--------|
| Forward current (I_D) | Forward voltage (V_D) | |
| | min. | max. |
| 2 mA | 0.25 V | 0.45 V |
| 10 mA | 0.40 V | 0.80 V |
| 50 mA | 0.60 V | 1.5 V |

| $T_{amb} = 60 \text{ } ^\circ\text{C}$ | |
|--|----------------------------|
| Inverse voltage ($-V_D$) | Reverse current ($-I_D$) |
| | max. |
| 5 V | 30 μA |
| 15 V | 100 μA |

¹⁾ Not tinned

CHARACTERISTICS RANGE VALUES FOR EQUIPMENT DESIGN

| $T_j = 60\text{ }^\circ\text{C}$ | | | $T_{amb} = 25\text{ }^\circ\text{C}$ | |
|----------------------------------|------------------------------|--------|--------------------------------------|-------------------------------|
| Forward current (I_D) | Forward voltage (V_D) | | Inverse voltage ($-V_D$) | Reverse current ($-I_D$) |
| | min. | max. | | max. |
| 2 mA | 0.19 V | 0.39 V | 5 V | 10 μA |
| 10 mA | 0.34 V | 0.74 V | 15 V | 60 μA |
| 50 mA | 0.54 V | 1.44 V | | |

Diode capacitance

| | |
|---------------------|--------------------------------------|
| Inverse voltage | $-V_D = 1\text{ V}$ |
| Frequency | $f = 0.5\text{ Mc/s}$ |
| Ambient temperature | $T_{amb} = 25\text{ }^\circ\text{C}$ |
| Diode capacitance | $C_{dk} < 1.2\text{ pF}$ |

Reverse recovery time (see figs. 1, 3 and 4)

| | |
|---|--------------------------------------|
| Initial forward current | $I_D = 3\text{ mA}$ |
| Inverse voltage | $-V_D = 1\text{ V}$ |
| Loop resistance | $R_{loop} = 100\text{ }\Omega$ |
| Ambient temperature | $T_{amb} = 25\text{ }^\circ\text{C}$ |
| Reverse recovery time for $-I_D = 1\text{ mA}$ | $t_{rec} < 12\text{ nsec}$ |

Reverse recovery current (see figs. 2, 3 and 5)

| | |
|--|--------------------------------------|
| Initial forward current | $I_D = 3\text{ mA}$ |
| Inverse voltage | $-V_D = 5\text{ V}$ |
| Loop resistance | $R_{loop} = 500\text{ }\Omega$ |
| Ambient temperature | $T_{amb} = 25\text{ }^\circ\text{C}$ |
| Reverse recovery current after $t = 50\text{ nsec}$ | $-I_D < 0.5\text{ mA}$ |

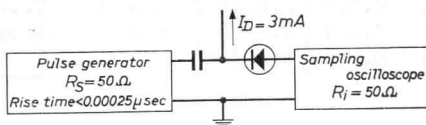
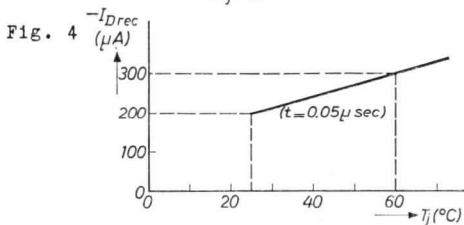
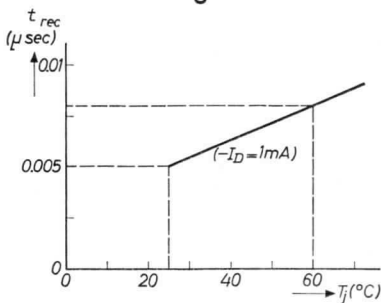
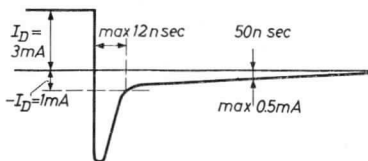
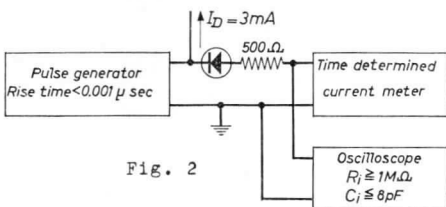


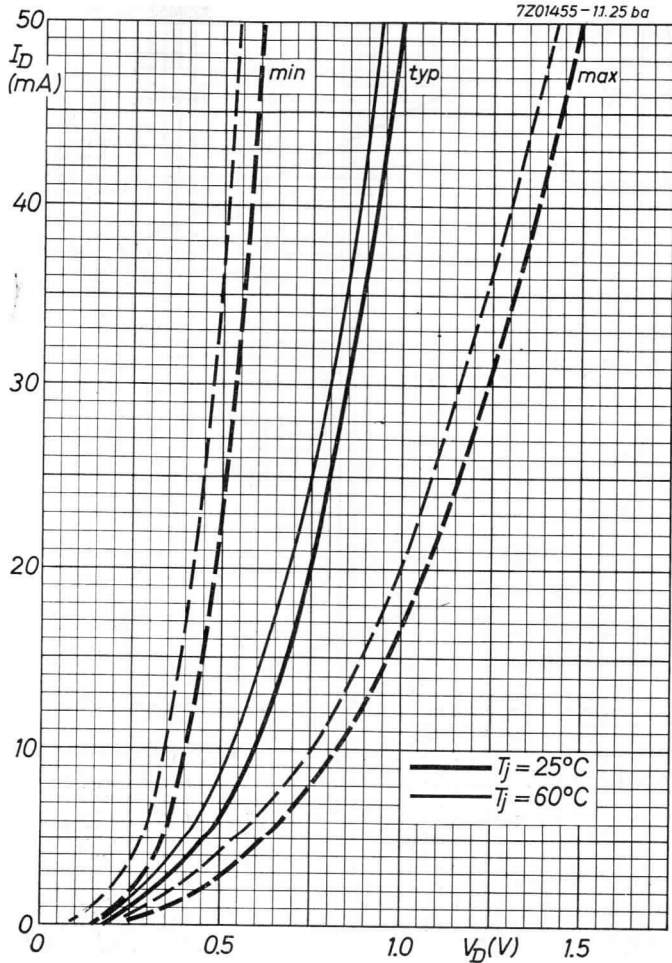
Fig. 1



PHILIPS

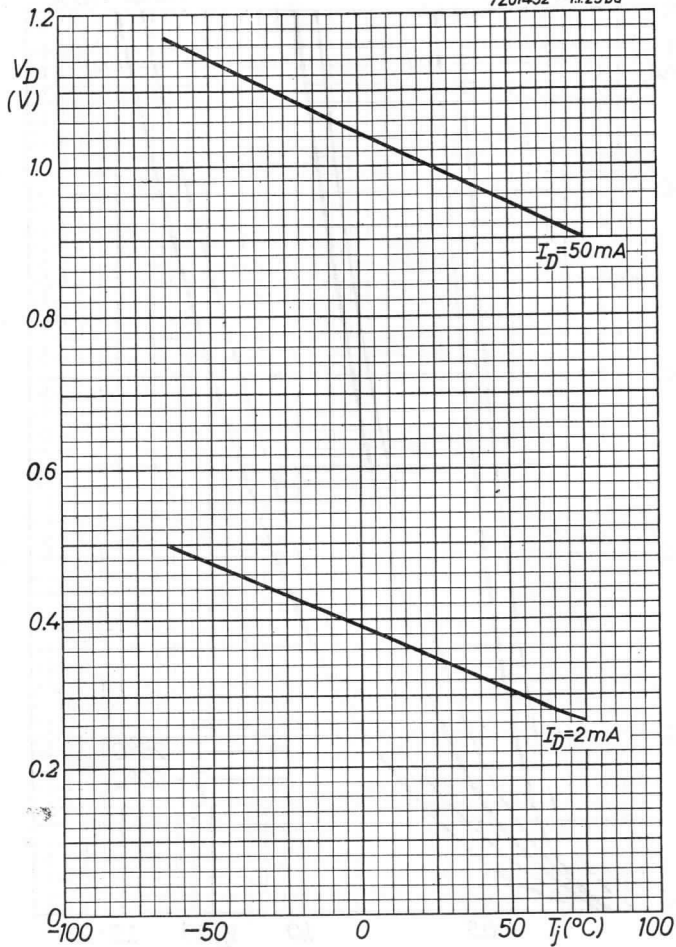


7Z01455 - 11.25 ba



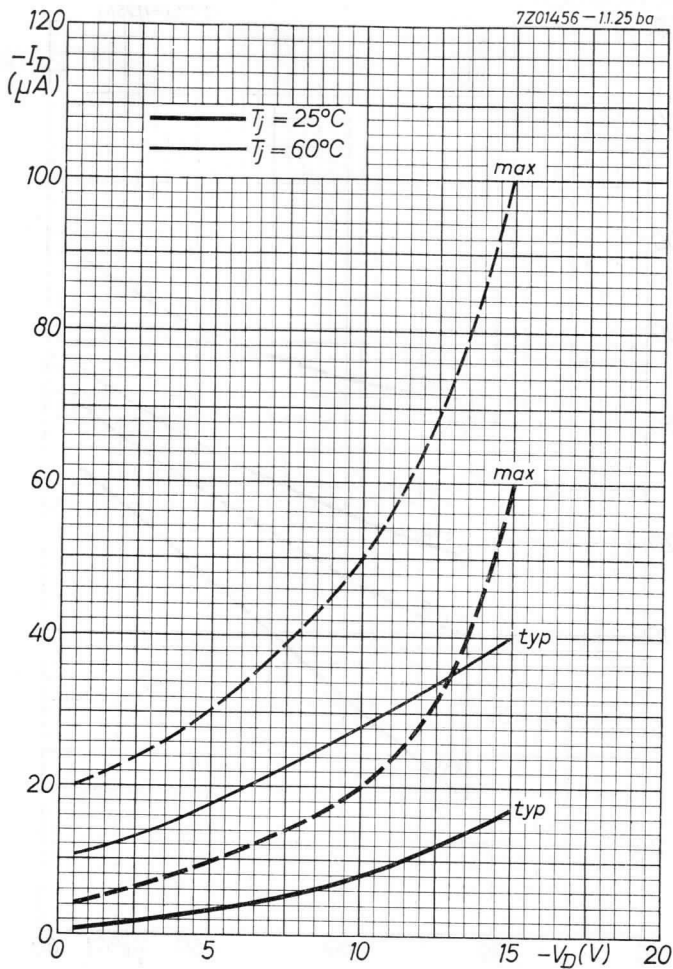
AA Y21**PHILIPS**

7Z01452 - 1.1.25 ba



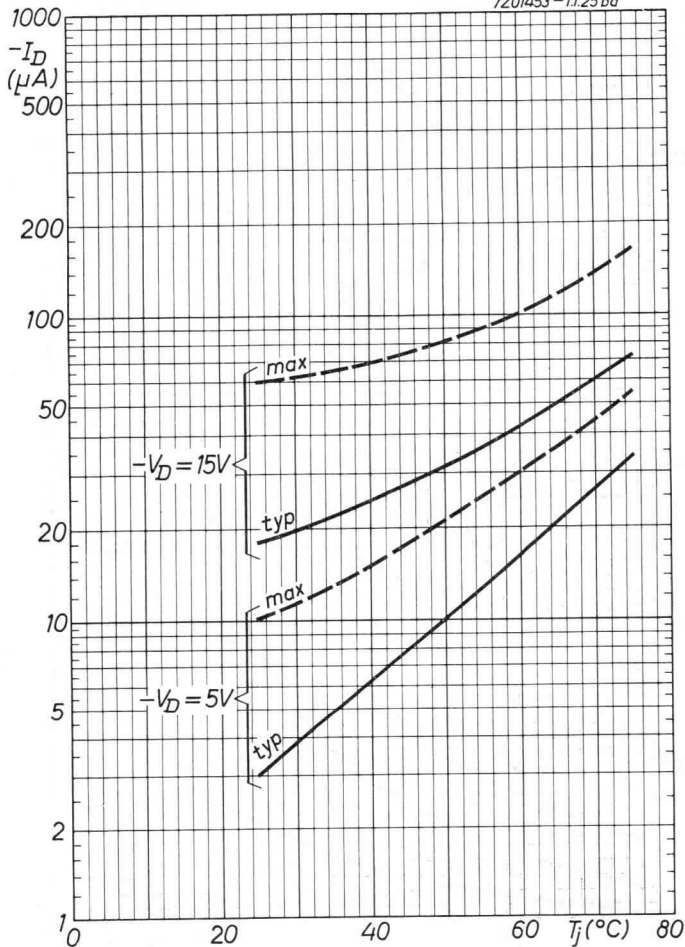
B

7Z01456-11.25 ba

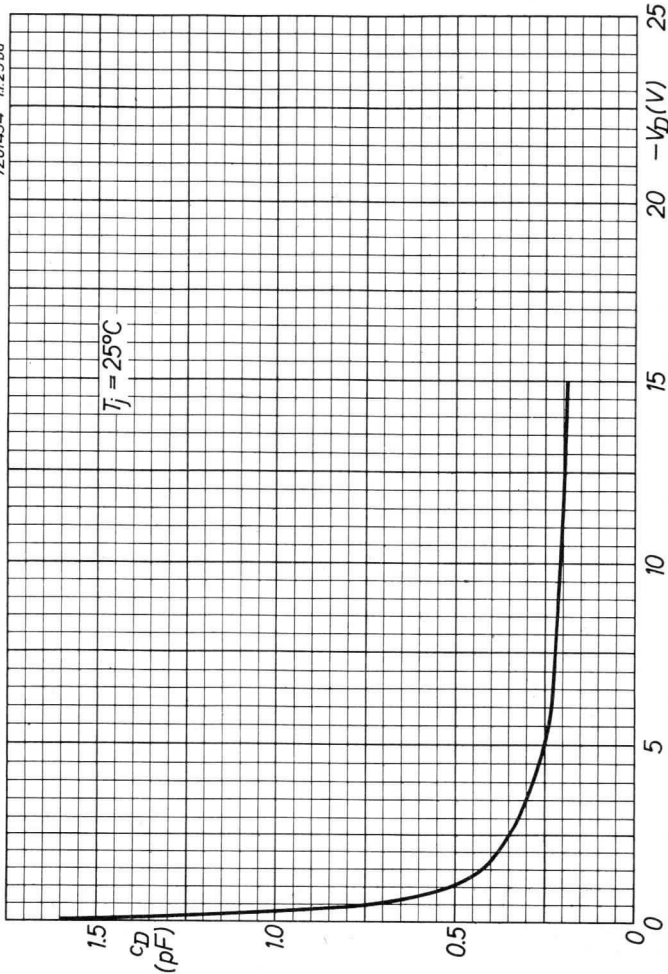


AA Y21**PHILIPS**

7Z01453-11.25 ba



7Z01454-11.25ba



PHILIPS

AAAT

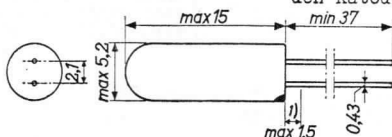


578 100

GERMANIUM JUNCTION DIODE in single-ended all-glass construction for high current low hole-storage applications
 DIODE AU GERMANIUM A JONCTION en construction tout-verre à sorties unilatérales destinée aux applications de courant élevé et de faible accumulation de lacunes
 GERMANIUM-FLÄCHENDIODE in Allglastechnik mit einseitig ausgeführten Anschlüssen für Anwendungen mit hohen Strömen und geringer Löcheraufspeicherung

Dimensions in mm
 Dimensions en mm
 Abmessungen in mm

The red dot indicates the cathode connection
 Le point rouge indique la connexion de la cathode
 Der rote Punkt bezeichnet den Katodenanschluss



Limiting values (Absolute max. values)
 Caractéristiques limites (Valeurs max. absolues)
 Grenzdaten (Absolute Maximalwerte)

| | | | | |
|--|-----------|--------|------------|--------|
| | T_{amb} | = | 25 | 60 °C |
| $-V_D$ | | = max. | 30 | 30 V |
| I_D ($t_{av} = \text{max. } 50 \text{ msec}$) | | = max. | 100 | 100 mA |
| I_{DM} | | = max. | 1,0 | 0,5 A |
| I_D surge ($t = \text{max. } 100 \mu\text{sec}$) | | = max. | 4,0 | A |
| T_j | | = | max. 75 | °C |
| Storage temperature | | = | -55 °C/+75 | °C |
| Température d'emmagasinage | | = | -55 °C/+75 | °C |
| Lagerungstemperatur | | | | |

¹⁾ Not tinned; non étamé; nicht verzinkt

| | |
|--|---|
| Thermal data. Thermal resistance from junction to ambience in free air | $K \leq 0.4 \text{ } ^\circ\text{C/mW}$ |
| Données thermiques. Résistance thermique entre la jonction et l'ambience à l'air libre | $K \leq 0,4 \text{ } ^\circ\text{C/mW}$ |
| Thermische Daten. Wärmewiderstand zwischen Kristall und Umgebung in freier Luft | $K \leq 0,4 \text{ } ^\circ\text{C/mW}$ |

Characteristics range values for equipment design
 Gammes de valeurs des caractéristiques pour l'étude d'équipements
 Kenndatenbereiche für Gerätentwurf

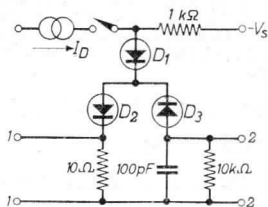
$$T_{amb} = 25 \text{ } ^\circ\text{C} \left\{ \begin{array}{l} \text{unless otherwise specified} \\ \text{sauf indication différente} \\ \text{wenn nicht anders angegeben} \end{array} \right.$$

| | |
|-----------------------------------|---|
| $I_D = 0,3 \text{ mA}$ | $-V_D = 1,5 \text{ V}$ |
| $V_D = 135 < 190 \text{ mV}$ | $-I_D = 1,5 < 5,0 \text{ } \mu\text{A}$ |
| $I_D = 30 \text{ mA}$ | $-V_D = 10 \text{ V}$ |
| $V_D = 250 < 330 \text{ mV}$ | $-I_D = 2,0 < 10 \text{ } \mu\text{A}$ |
| $I_D = 100 \text{ mA}$ | $-V_D = 20 \text{ V}$ |
| $V_D = 320 < 420 \text{ mV}$ | $-I_D = 3,2 \text{ } \mu\text{A}$ |
| $I_D = 1000 \text{ mA}^1)$ | $-V_D = 30 \text{ V}$ |
| $V_D = 700 \text{ mV}$ | $-I_D = 6,0 \text{ } \mu\text{A}$ |
| $-V_D = 3 \text{ V}$ | $T_{amb} = 60 \text{ } ^\circ\text{C}$ |
| $c_{dk} = 9,0 < 12 \text{ pF}^2)$ | $-V_D = 30 \text{ V}$ |
| | $-I_D = 80 < 300 \text{ } \mu\text{A}$ |

¹⁾ Measured with current pulses to prevent excessive dissipation
 Mesuré avec des impulsions de courant pour prévenir une dissipation excessive
 Zur Vermeidung einer übermäßigen Verlustleistung mit Stromimpulsen gemessen.

²⁾ Capacitance with small signals
 Capacité à faible signal
 Kapazität bei kleiner Signalstärke

Recovered charge
Récupération de charge
Freikommende Ladung



D₁ = diode under test
 D₁ = diode à l'essai
 D₁ = geprüfte Diode

D₂ = low hole storage diode
 D₂ = diode à faible accumulation de lacunes
 D₂ = Diode mit geringer Löcheraufspeicherung

D₃ = diode with low forward voltage drop
 D₃ = diode à faible chute de tension en sens conducteur
 D₃ = Diode mit niedrigem Spannungsabfall im Durchlasszustand

Terminals 1: forward current wave form

Bornes 1 : forme d'onde du courant en sens conducteur
 Anschlussklemmen 1: Wellenform des Stromes in Durchlassrichtung

Terminals 2: measuring of recovered charge

Bornes 2 : mesure de la charge de récupération
 Anschlussklemmen 2: Messung der freigekommenen Ladung

| | | | |
|----------------------------|---|------|-----------|
| I_D | = | 10 | mA |
| Fall time of I_D | | | |
| Temps de descente de I_D | < | 0,01 | μ sec |
| Abfallzeit von I_D | | | |
| $-V_S$ | = | 10 | V |
| Q | = | 150 | < 200 pC |

Recombination time (time taken by recovered charge in excess of that due to capacitance to fall to 10% of its peak value)

Temps de recombinaison (durée du temps prise par la charge de récupération, au-dessus de celle par suite de la capacité, pour descendre jusqu'à 10% de sa valeur de crête)

Rekombinationszeit (Zeit die die freikommende Ladung, ausser der infolge der Kapazität, braucht um bis 10% ihres Höchstwertes abzufallen).

Measured in the circuit page 3 with delayed application of $-V_S$

Mesuré avec le circuit page 3, mais avec application retardée de $-V_S$

Gemessen in der Schaltung Seite 3 aber mit verzögerter Anlegung von $-V_S$

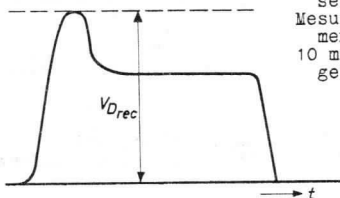
$$I_D = 10 \quad \text{mA}$$

$$\tau_{\text{rec}} = 0,05 < 0,12 \text{ } \mu\text{sec}$$

Forward recovery voltage

Tension de recouvrement en sens conducteur

Übergangsspannung in Durchlassrichtung



Measured at 10 mm from the seal

Mesuré à 10 mm du scellement

10 mm von der Einschmelzung gemessen

$$I_D = 400 \quad \text{mA}$$

$$\text{Rise time of } I_D = 0,04 \quad \mu\text{sec}$$

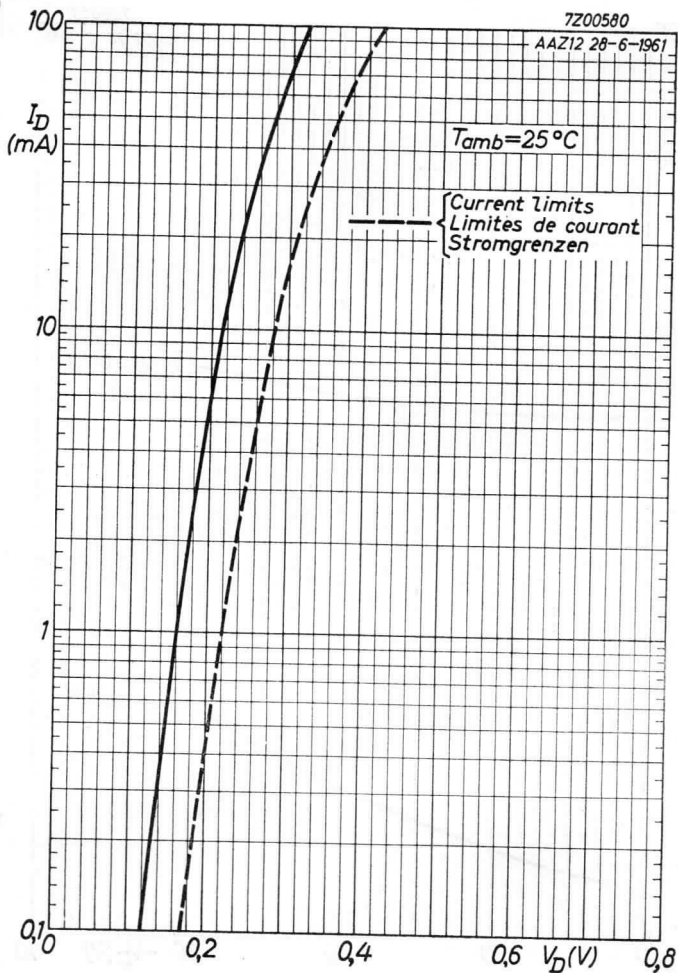
$$\text{Temps de montée de } I_D = 0,04 \quad \mu\text{sec}$$

$$\text{Anstiegszeit von } I_D$$

$$V_{D \text{ rec}} = 0,8 < 2,0 \text{ V}$$

7200580

AAZ12 28-6-1961



12.12.1961

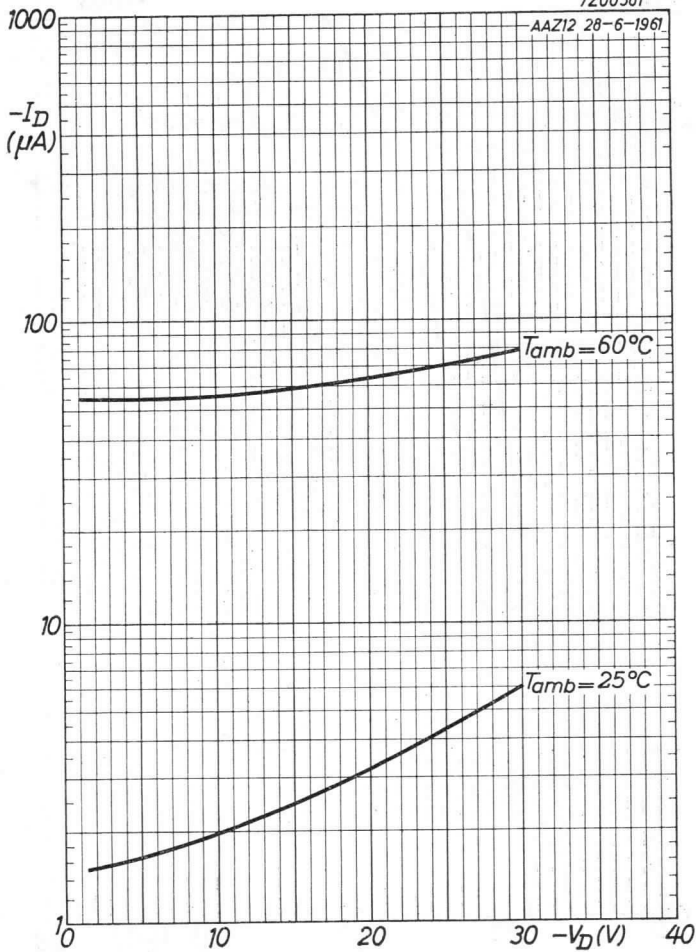
A

AAZ 12

PHILIPS

7Z00581

AAZ12 28-6-1961



B

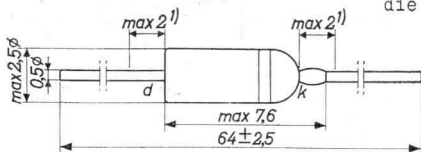
GOLD-BONDED GERMANIUM DIODE in miniature double-ended all-glass construction for use in high-speed switching applications

DIODE AU GERMANIUM À POINTE D'OR en construction miniature tout-verre à sorties bilatérales destinée aux applications de commutation à grande vitesse

GERMANIUM-GOLDDRAHTDIODE in Miniatur-Allglastechnik mit zweiseitig ausgeführten Anschlüssen zur Verwendung als Schalter grosser Geschwindigkeit

Dimensions in mm
Dimensions en mm
Abmessungen in mm

The white band indicates the position of the cathode
L'anneau blanc indique la position de la cathode
Der weisse Ring bezeichnet die Katodenseite



Limiting values (Absolute max. values)
Caractéristiques limites (Valeurs max. absolues)
Grenzdaten (Absolute Maximalwerte)

| | | | |
|--|-----------------|--------|--------|
| | $T_{amb} =$ | 25 | 60 °C |
| $-V_D$ | $= \text{max.}$ | 8 | 8 V |
| I_D ($t_{av} = \text{max.} 50 \text{ msec}$) | $= \text{max.}$ | 30 | 20 mA |
| I_{DM} ($t = \text{max.} 5 \text{ msec}$) | $= \text{max.}$ | 100 | 50 mA |
| T_j | $=$ | max. | 75 °C |
| Storage temperature | | | |
| Température d'emmagasinage | $=$ | -55 °C | +75 °C |
| Lagerungstemperatur | | | |

¹⁾ Not tinned; non étamé; nicht verzinkt

Thermal data. Thermal resistance from junction to ambience in free air $K \leq 0.5 \text{ } ^\circ\text{C/mW}$
 Données thermiques. Résistance thermique entre la jonction et l'ambiance à l'air libre $K \leq 0,5 \text{ } ^\circ\text{C/mW}$
 Thermische Daten. Wärmewiderstand zwischen Kristall und Umgebung in freier Luft $K \leq 0,5 \text{ } ^\circ\text{C/mW}$

Characteristics range values for equipment design
 Gammes de valeurs des caractéristiques pour l'étude d'équipements.

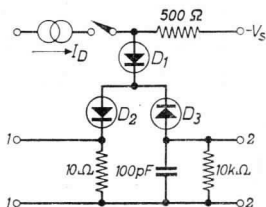
Kenndatenbereiche für Gerätentwurf

$$T_{amb} = 25 \text{ } ^\circ\text{C} \left\{ \begin{array}{l} \text{unless otherwise specified} \\ \text{sauf indication différente} \\ \text{wenn nicht anders angegeben} \end{array} \right.$$

| | | | |
|----------------|------------------------|----------------|---------------------|
| $I_D = 1$ | mA | $-V_D = 3$ | V |
| $V_D = 270$ | < 320 mV | $-I_D = 5$ | < 25 μA |
| $I_D = 10$ | mA | $T_{amb} = 60$ | $^\circ\text{C}$ |
| $V_D = 500$ | < 600 mV | $-V_D = 3$ | V |
| $I_D = 30$ | mA | $-I_D = 30$ | < 85 μA |
| $V_D = 600$ | < 1000 mV | $-V_D = 8$ | V |
| $-V_D = 1$ | V | $-I_D = 30$ | < 150 μA |
| $c_{dk} = 3,3$ | pF ¹⁾ | $T_{amb} = 60$ | $^\circ\text{C}$ |
| $-V_D = 3$ | V | $-V_D = 8$ | V |
| $c_{dk} = 1,3$ | < 2,0 pF ¹⁾ | $-I_D = 190$ | μA |

¹⁾ Capacitance with small signals
 Capacité à faible signal
 Kapazität bei kleiner Signalstärke

Recovered charge
Récupération de charge
Freikommende Ladung



D₁ = diode under test
 D₁ = diode à l'essai
 D₁ = geprüfte Diode

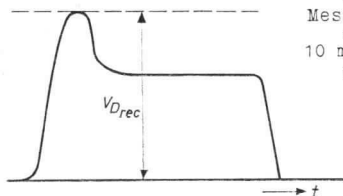
D₂ = low hole storage diode
 D₂ = diode à faible accumulation de lacunes
 D₂ = Diode mit geringer Löcheraufspeicherung

D₃ = diode with low forward voltage drop
 D₃ = diode à faible chute de tension en sens conducteur
 D₃ = Diode mit niedrigem Spannungsabfall im Durchlasszustand

Terminals 1: forward current wave form
 Bornes 1 : forme d'onde du courant en sens conducteur
 Anschlussklemmen 1: Wellenform des Stromes in Durchlassrichtung

Terminals 2: measuring of recovered charge
 Bornes 2 : mesure de la charge de récupération
 Anschlussklemmen 2: Messung der freigekommenen Ladung

| | | | |
|----------------------------|---|-------|-----------|
| I_D | = | 10 | mA |
| Fall time of I_D | | | |
| Temps de descente de I_D | < | 0,005 | μ sec |
| Abfallzeit von I_D | | | |
| $-V_S$ | = | 5 | V |
| Q | = | 20 | < 30 pC |

Forward recovery voltageTension de recouvrement en sens conducteurÜbergangsspannung in Durchlassrichtung

Measured at 10 mm from the
seal.
Mesuré à 10 mm du scelle-
ment.
10 mm von der Einschmelzung
gemessen

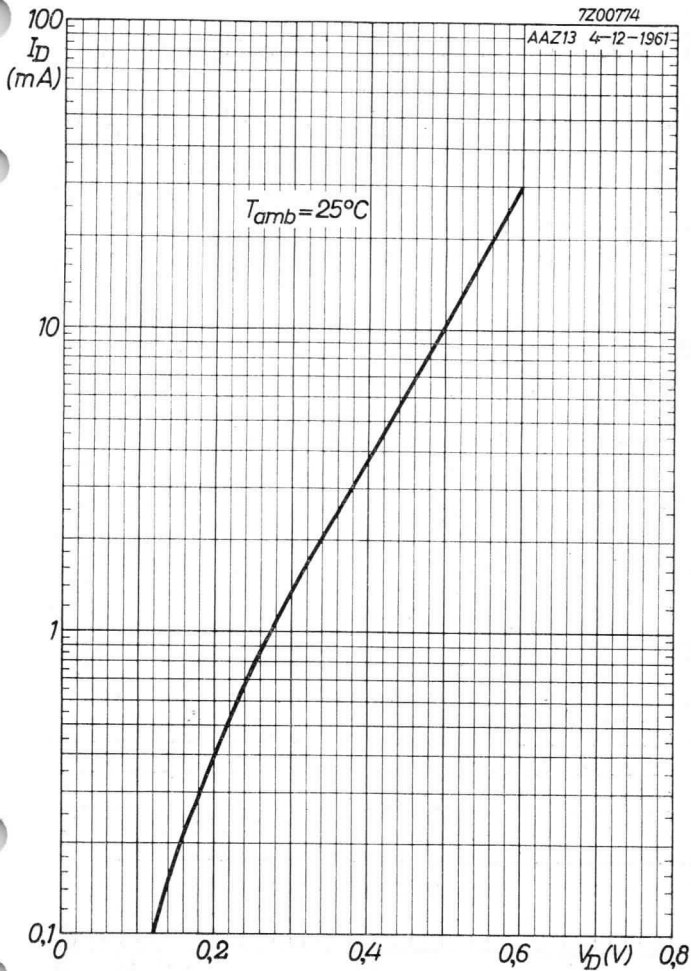
I_D = 20 mA

Rise time of I_D
Temps de montée de I_D = 0,005 μ sec
Anstiegszeit von I_D

V_D rec = 0,7 < 1,5 V

7Z00774

AAZ13 4-12-1961

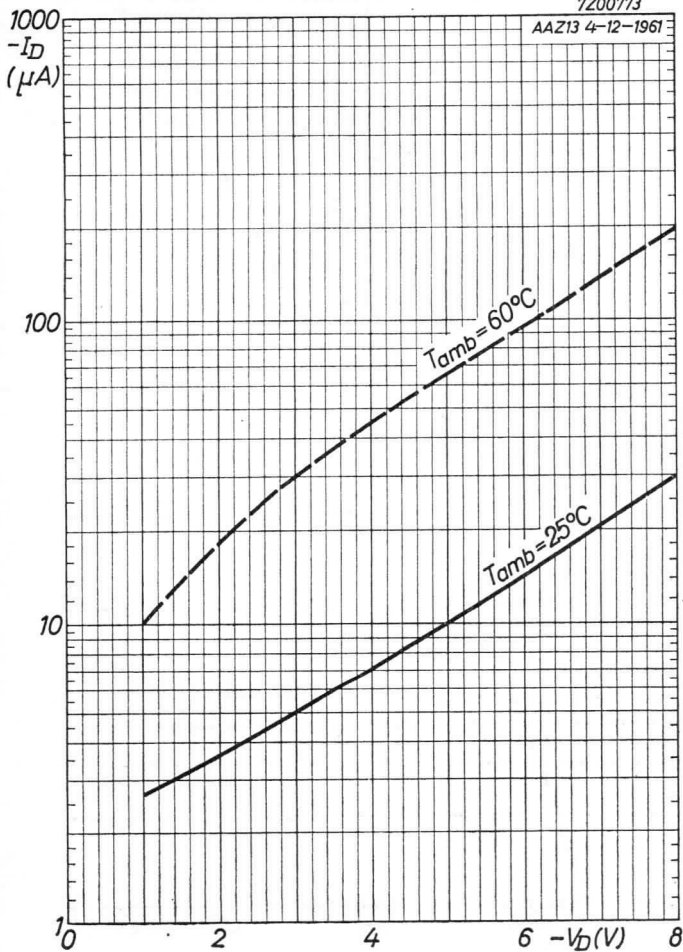


AAZ 13

PHILIPS

7Z00773

AAZ13 4-12-1961

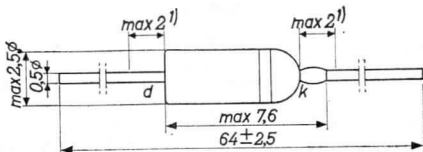


B

GOLD-BONDED GERMANIUM DIODE in all-glass construction for general purpose applications
 DIODE À CRISTAL DE GERMANIUM À POINTE D'OR en construction tout-verre miniature pour usages généraux
 GERMANIUM-GOLDDRAHTDIODE in Miniatur-Allglastechnik für allgemeine Verwendungszwecke

Dimensions in mm
 Dimensions en mm
 Abmessungen in mm

The white band indicates the position of the cathode
 L'anneau blanc indique la position de la cathode
 Der weisse Ring bezeichnet die Katodenseite



Limiting values (Absolute max. values)
 Caractéristiques limites (Valeurs max. absolues)
 Grenzdaten (Absolute Maximalwerte)

| | | | |
|--|---|---------------|---------------------|
| | $T_{amb} =$ | 25 °C | 60 °C |
| $-V_D$ | $= \text{max.}$ | 75 | 75 V |
| $-V_{DM}$ | $= \text{max.}$ | 75 | 75 V |
| $-V_{D\text{surge}}(t = \text{max. } 1 \text{ sec})$ | $= \text{max.}$ | 115 | 115 V |
| I_D { direct current courant continu Gleichstrom | $= \text{max.}$ | 140 | 55 mA ²⁾ |
| $I_D (t_{av} = \text{max. } 50 \text{ msec})$ | { See pages E,F Voir pages E,F Siehe Seiten E,F | | |
| I_{DM} | $= \text{max.}$ | 250 | 250 mA |
| $I_{D\text{surge}}(t = \text{max. } 1 \text{ sec})$ | $= \text{max.}$ | 300 | 300 mA |
| T_{amb} | $=$ | -55 °C/+60 °C | |
| Storage temperature Température d'emmagasinage Lagerungstemperatur | $=$ | -55 °C/+75 °C | |

¹⁾ Not tinned
 Non étamé
 Nicht verzinkt

²⁾ See also page D
 Voir aussi page D
 Siehe auch Seite D

Thermal data. Thermal resistance from junction to ambience in free air

$$K \leq 0.45 \text{ } ^\circ\text{C/mW}$$

Données thermiques. Résistance thermique entre la jonction et l'ambiance à l'air libre

$$K \leq 0,45 \text{ } ^\circ\text{C/mW}$$

Thermische Daten. Wärmewiderstand zwischen Kristall und Umgebung in freier Luft

$$K \leq 0,45 \text{ } ^\circ\text{C/mW}$$

Characteristics
Caractéristiques
Kenndaten

| $V_D(V)$ | | | | |
|-------------------|--|--------|--|--------|
| I_D (mA) | $T_{amb} = 25 \text{ } ^\circ\text{C}$ | | $T_{amb} = 60 \text{ } ^\circ\text{C}$ | |
| | = | max. | = | max. |
| 0,1 | = 0,15 | < 0,23 | = 0,08 | < 0,18 |
| 10 | = 0,35 | < 0,45 | = 0,30 | < 0,40 |
| 250 ¹⁾ | = 0,70 | < 1,10 | = 0,65 | < 1,05 |

| $-I_D(\mu\text{A})$ | | | | |
|---------------------|--|-------|--|-------|
| $-V_D$ (V) | $T_{amb} = 25 \text{ } ^\circ\text{C}$ | | $T_{amb} = 60 \text{ } ^\circ\text{C}$ | |
| | = | max. | = | max. |
| 1,5 | = 0,6 | < 2,5 | = 12 | < 30 |
| 10 | = 1,0 | < 4 | = 16 | < 60 |
| 75 | = 10 | < 25 | = 35 | < 120 |

- ¹⁾ Measured under pulsed conditions to prevent excessive dissipation
Mesuré avec des impulsions pour prévenir une dissipation excessive
Zur Vermeidung einer übermäßigen Verlustleistung mit Impulsen gemessen

Characteristics (continued)
Caractéristiques (suite)
Kenndaten (Fortsetzung)

Capacitance
Capacité
Kapazität

$-V_D = 0,75 \text{ V}$
 $f = 0,5 \text{ Mc/s}$
 $c_{dk} = 1,2 \text{ pF}$
 $< 4,0 \text{ pF}^1)$

¹⁾ Characteristic range value for equipment design. For other characteristics range values for equipment design see curves pages A, B and C except for the points mentioned at page 2

Gamme de valeur caractéristique pour l'étude d'équipements. Pour les autres gammes de valeurs caractéristiques pour l'étude d'équipements voir les courbes pages A, B et C sauf les points mentionnés page 2

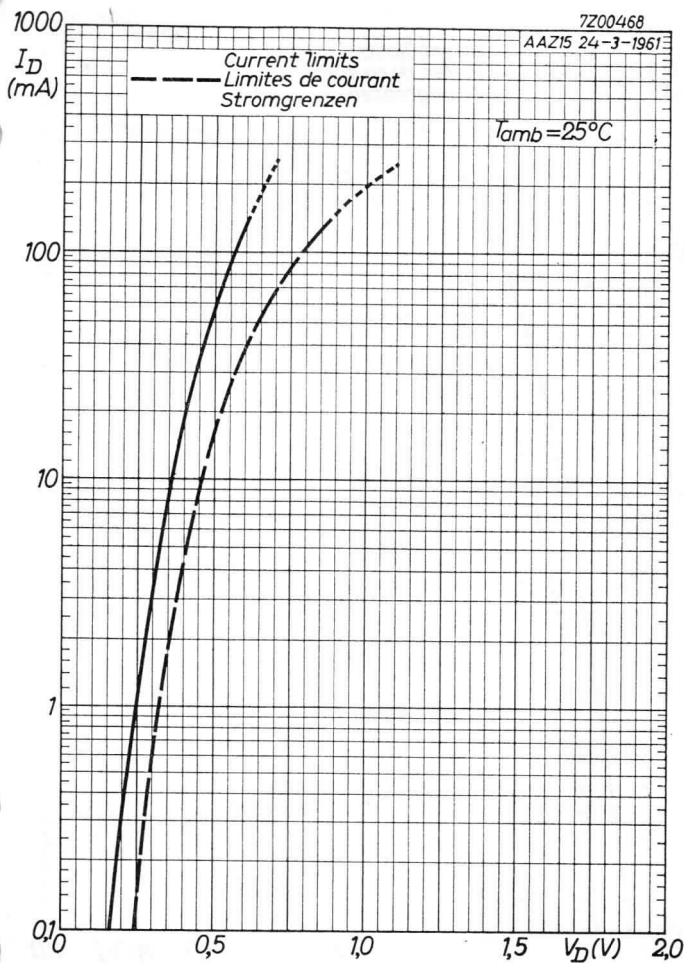
Charakteristischer Kenndatenbereich für Gerätentwurf. Für die übrigen charakteristischen Kenndatenbereiche für Gerätentwurf siehe die Kurven auf Seite A, B und C, mit Ausnahme der auf Seite 2 erwähnten Punkte

PHILIPS



7Z00468

AAZ15 24-3-1961



AAZ 15**PHILIPS**

7Z00469

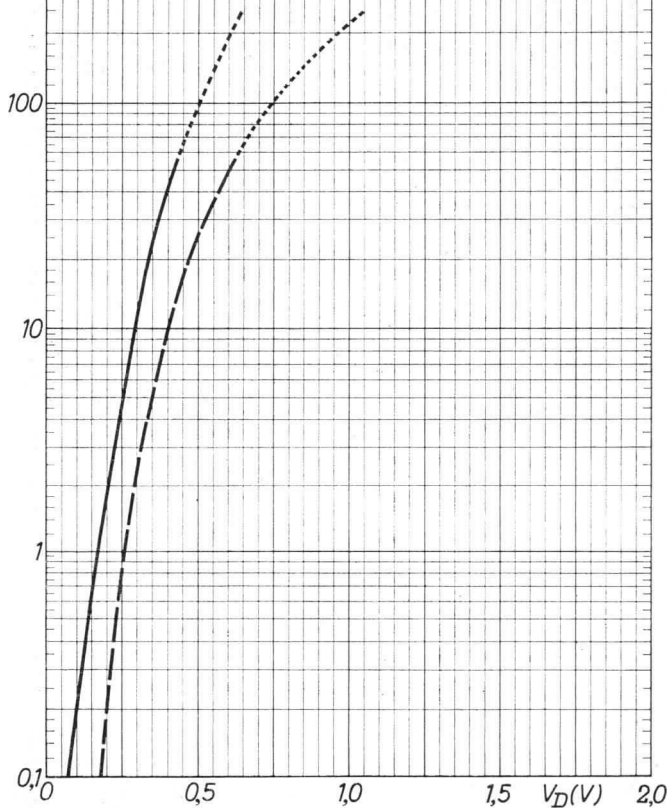
AAZ15 24-3-1961

 I_D
(mA)

Current limits

Limites de courant

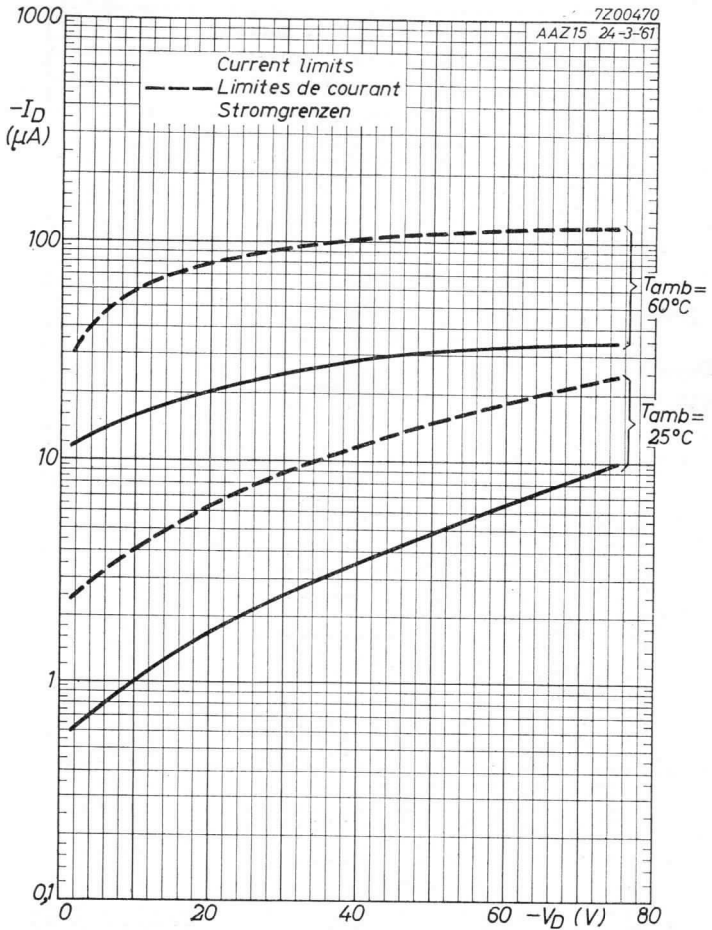
Stromgrenzen

 $T_{amb} = 60^\circ C$ 

B

7Z00470

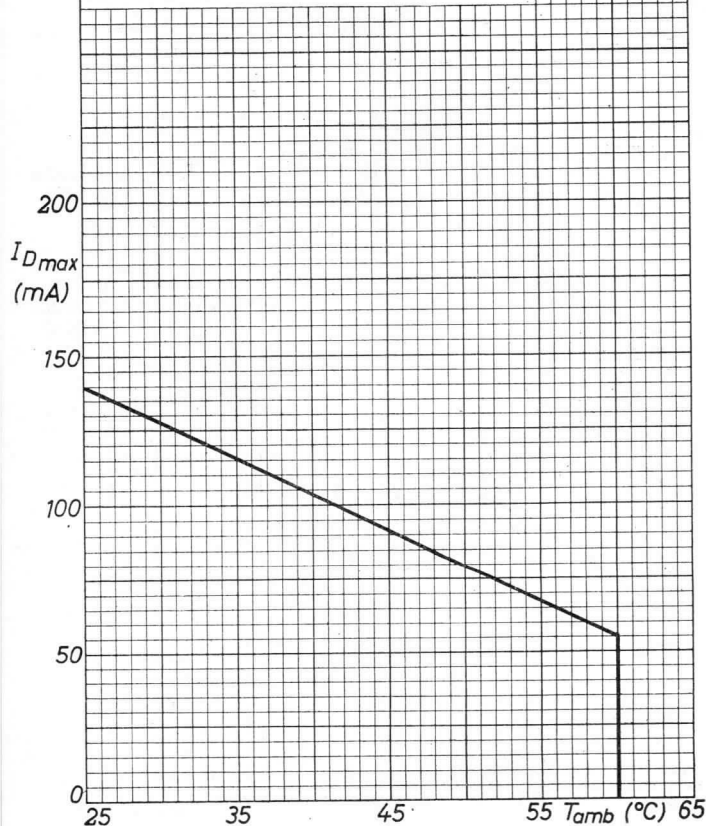
AAZ 15 24-3-61



AAZ 15**PHILIPS**

7200465

AAZ 15 24-3-61

 I_{Dmax} = max. permissible D.C. current I_{Dmax} = courant continu max. admissible I_{Dmax} = max. zulässiger Gleichstrom

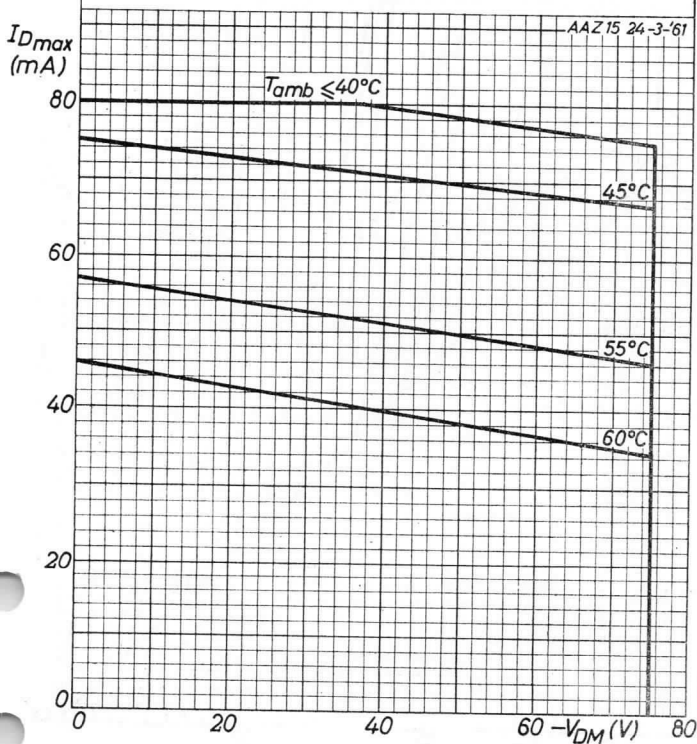
D

7Z00466

I_{Dmax} = max. permissible value of I_D for sinusoidal input voltages and resistive load. ($I_{DM} = \pi \times I_D$; $t_{av} = \text{max. } 50 \text{ msec}$)

I_{Dmax} = valeur max. admissible de I_D pour des tensions d'entrée sinusoïdales avec charge résistive. ($I_{DM} = \pi \cdot I_D$; $t_{av} = 50 \text{ msec au max.}$)

I_{Dmax} = max. zulässiger Wert von I_D bei sinusförmigen Eingangsspannungen mit Widerstandsbelastung. ($I_{DM} = \pi \cdot I_D$; $t_{av} = \text{max. } 50 \text{ mSek}$)



AAZ 15**PHILIPS**

7Z00467

AAZ 15 24-3-67

I_{Dmax} = max. permissible value of I_D for pulse application
 I_{Dmax} = valeur max. admissible de I_D pour utilisation avec impulsions
 I_{Dmax} = max. zulässiger Wert von I_D bei Impulsbetrieb

 $-V_D=0V$ $-V_D=40V$ $-V_D=75V$ $t_{av} = \max 50 \text{ msec}$ $I_{DM} = 250 \text{ mA}$ T_{amb}

25°C

35°C

45°C

55°C

60°C

150

 I_{Dmax}
(mA)

100

50

0

F

100

80

60

40

20

0

0

20

40

60

80

100

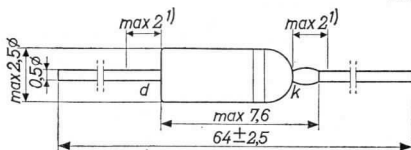
%

GOLD-BONDED GERMANIUM DIODE in miniature all-glass construction for high back resistance switching applications
 DIODE À CRISTAL DE GERMANIUM À POINTE D'OR en construction tout-verre miniature pour applications de commutation à résistance inverse élevée

GERMANIUM-GOLDDRAHTDIODE in Miniatur-Allglastechnik zur Verwendung als Schalterdiode mit hohem Widerstand im Sperrzustand

Dimensions in mm.
 Dimensions en mm
 Abmessungen in mm

The white band indicates the position of the cathode
 L'anneau blanc marque la position de la cathode
 Der weisse Ring bezeichnet die Katodenseite



Limiting values (Absolute max. values)
 Caractéristiques limites (Valeurs max. absolues)
 Grenzdaten (Absolute Maximalwerte)

| | $T_{amb} =$ | $25^{\circ}C$ | $60^{\circ}C$ |
|--|---|-----------------------------|---------------------|
| $-V_D$ | = max. | 50 | 50 V |
| $-V_{DM}$ | = max. | 50 | 50 V |
| $-V_{D_{surge}} (t = \text{max. } 1 \text{ sec})$ | = max. | 75 | 75 V |
| I_D { direct current courant continu Gleichstrom | = max. | 110 | 40 mA ²⁾ |
| $I_D (t_{av} = \text{max. } 50 \text{ msec})$ | { See pages D,E Voir pages D,E Siehe Seiten D,E | | |
| I_{DM} | = max. | 150 | 150 mA |
| $I_{D_{surge}} (t = \text{max. } 1 \text{ sec})$ | = max. | 200 | 200 mA |
| T_{amb} | = | $-55^{\circ}C/+60^{\circ}C$ | |
| Storage temperature Température d'emmagasinage Lagerungstemperatur | = | $-55^{\circ}C/+75^{\circ}C$ | |

¹⁾ Not tinned; non étamé; nicht verzinkt

²⁾ See also page C; voir aussi page C; siehe auch Seite C

Thermal data. Junction temperature rise to ambient temperature in free air

$$K \leq 0.45 \text{ } ^\circ\text{C/mW}$$

Données thermiques. Augmentation de la température de la jonction au regard de la température de l'ambiance à l'air libre

$$K \leq 0,45 \text{ } ^\circ\text{C/mW}$$

Thermische Daten. Temperaturerhöhung des Kristalls in bezug auf die Umgebungstemperatur in freier Luft

$$K \leq 0,45 \text{ } ^\circ\text{C/mW}$$

Characteristics
Caractéristiques
Kenndaten

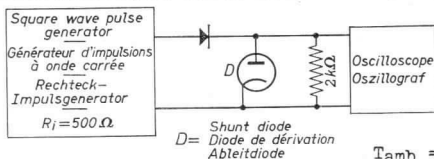
| I _D (mA) | V _D (V) | | | |
|------------------------|--------------------------|-------|--------------------------|------|
| | T _{amb} = 25 °C | | T _{amb} = 60 °C | |
| | = | max. | = | max. |
| 1 | =0,15 | <0,25 | =0,09 | |
| 10 | =0,35 | <0,65 | =0,30 | |
| 150 ¹⁾ | =0,74 | <1,10 | =0,68 | |

| -V _D (V) | -I _D (μA) | | | |
|------------------------|--------------------------|-------|--------------------------|------|
| | T _{amb} = 25 °C | | T _{amb} = 60 °C | |
| | = | max. | = | max. |
| 1,5 | = 1,5 | < 3,5 | = 14 | |
| 10 | = 4,0 | < 20 | = 22 | |
| 50 | = 30 | < 150 | = 100 | |

Reverse recovery, measured at -V_D = 35 V after forward current pulse of 30 mA

Recouvrement inverse, mesuré à -V_D = 35 V après une impulsion de courant en sens conducteur de 30 mA

Übergangszeit für Sperrichtung, gemessen bei -V_D = 35 V nach einem Stromimpuls von 30 mA in der Durchlassrichtung



Measuring circuit; circuit de mesure; Messschaltung

¹⁾ See page 3; voir page 3; siehe Seite 3

Reverse recovery (continued)
 Recouvrement inverse (suite)
 Übergangszeit für Sperrichtung (Fortsetzung)

Pulse data

Données de l'impulsion

Impulsdaten

$f = 50 \text{ kc/s}$

$s = 0,5$

Rise time

Temps de montée < $0,1 \mu\text{sec}$

Anstiegszeit

$I_{DM} = 30 \text{ mA}$

$-V_{DM} = 35 \text{ V}$

Oscilloscope data

Données de l'oscilloscope

Daten des Oszillographen

C

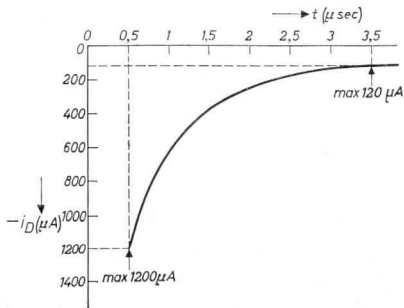
$C_{inp} = 40 \text{ pF}$

Rise time

Temps de montée = $0,025 \mu\text{sec}$

Anstiegszeit

- $-i_D$ { $0,5 \mu\text{sec}$ after the current impuls = $850 \mu\text{A}$
 $0,5 \mu\text{sec}$ après l'impulsion de courant < $1200 \mu\text{A}$
 $0,5 \mu\text{Sek}$ nach dem Stromimpuls
- $-i_D$ { $3,5 \mu\text{sec}$ after the current impuls = $60 \mu\text{A}$
 $3,5 \mu\text{sec}$ après l'impulsion de courant < $120 \mu\text{A}$
 $3,5 \mu\text{Sek}$ nach dem Stromimpuls



¹⁾ Measured under pulsed conditions to prevent excessive dissipation
 Mesuré avec des impulsions pour prévenir une dissipation excessive
 Zur Vermeidung einer übermäßigen Verlustleistung mit Impulsen gemessen

Characteristics (continued)
 Caractéristiques (suite)
 Kenndaten (Fortsetzung)

Capacitance
 Capacité
 Kapazität

$$-V_D = 0,75 \text{ V}$$

$$f = 0,5 \text{ Mc/s}$$

$$c_{dk} = 1,5 \text{ pF}$$

$$c_{dk} < 4,0 \text{ pF} \quad 1)$$

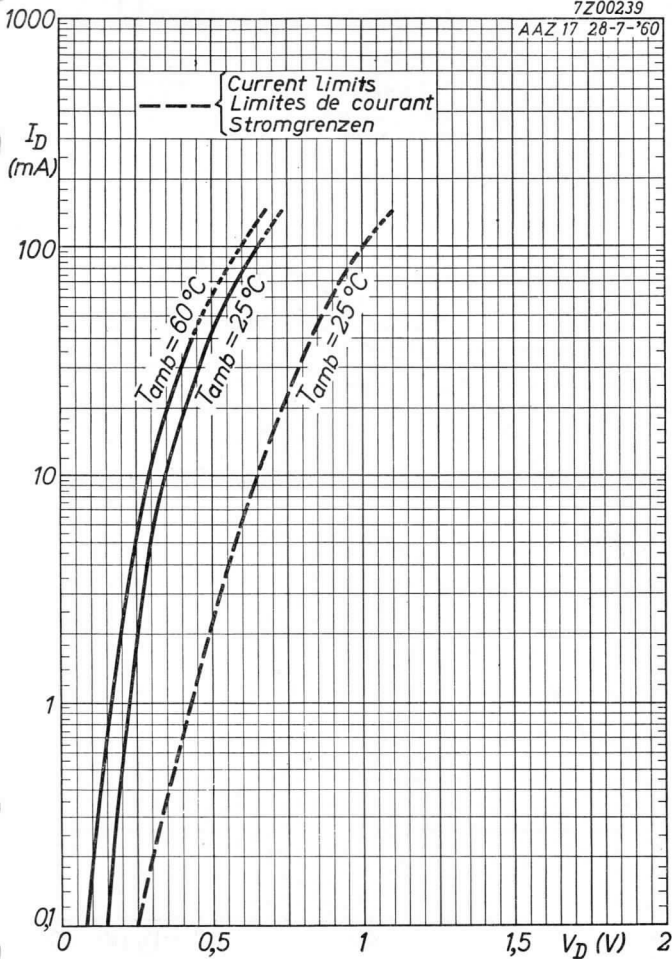
¹⁾ Characteristic range values for equipment design. For other characteristic range values for equipment design see curves pages A and B except the points mentioned at page 2.

Gamme de valeurs caractéristiques pour l'étude d'équipements. Pour les autres gammes de valeurs caractéristiques pour l'étude d'équipements voir les courbes pages A et B sauf les points mentionnés page 2.

Charakteristischer Wertbereich für Gerätentwurf. Für die übrigen charakteristischen Wertbereiche für Gerätentwurf siehe die Kurven Seiten A und B, mit Ausnahme der auf Seite 2 erwähnten Punkte.

7Z00239

AAZ 17 28-7-'60



10.10.1960

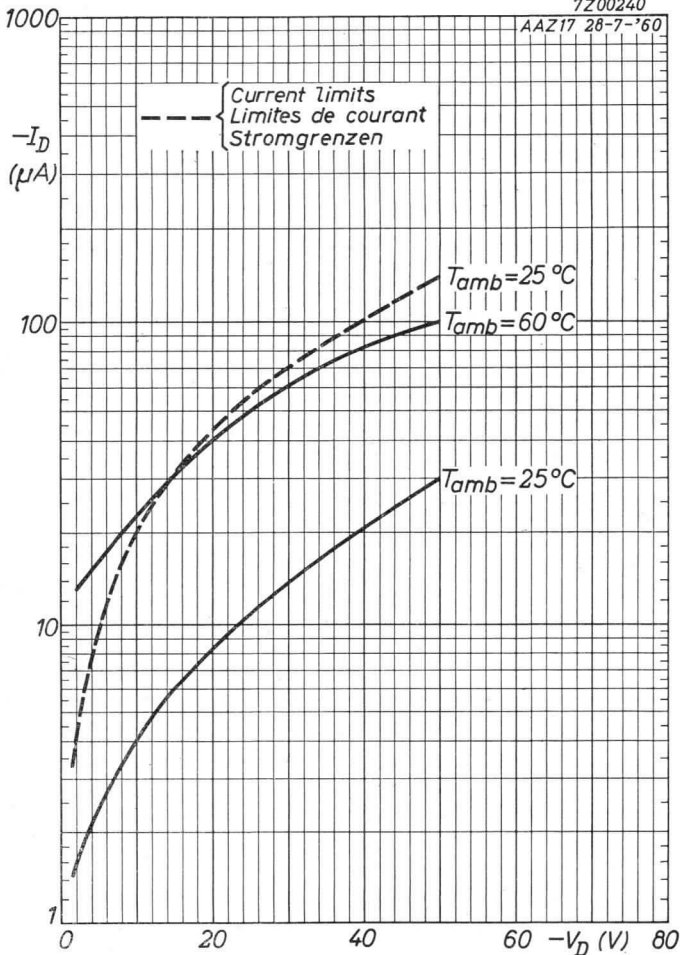
A

AAZ 17

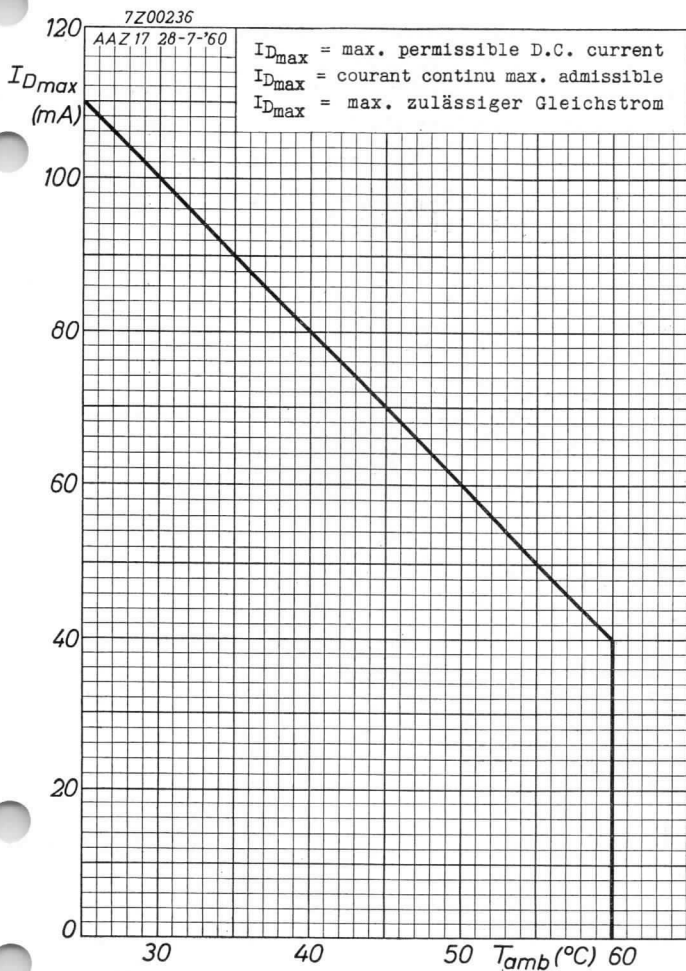
PHILIPS

7Z00240

AAZ17 28-7-'60



B



AAZ 17**PHILIPS**

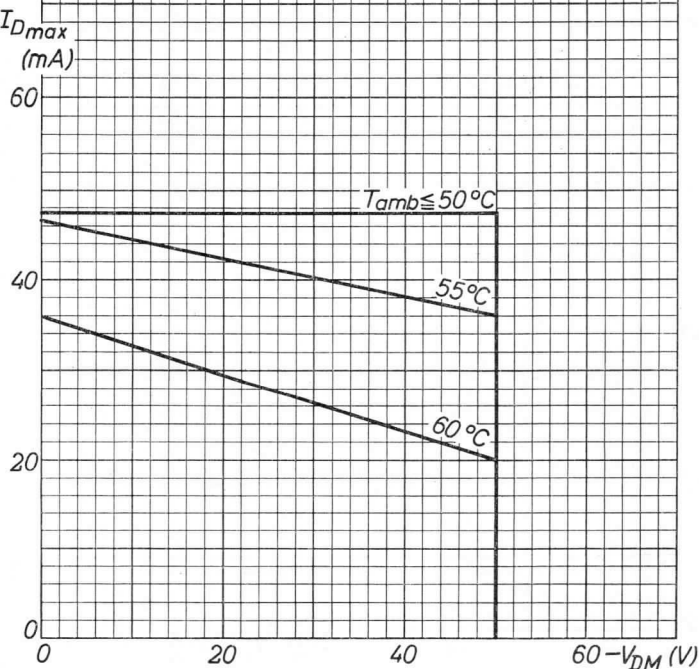
7Z00237

I_{Dmax} = max. permissible value of I_D for sinusoidal input voltages and resistive load. ($I_{DM} = \pi \cdot I_D$; $t_{av} = \text{max. } 50 \text{ msec}$)

I_{Dmax} = valeur max. admissible de I_D pour des tensions d'entrée sinusoïdales avec charge résistive. ($I_{DM} = \pi \cdot I_D$; $t_{av} = 50 \text{ msec au max.}$)

I_{Dmax} = max. zulässiger Wert von I_D bei sinusförmigen Eingangsspannungen mit Widerstandsbelastung. ($I_{DM} = \pi \cdot I_D$; $t_{av} = \text{max. } 50 \text{ mSek}$)

AAZ 17 28-7-'60



D

PHILIPS

AAZ 17

7Z00238

AAZ17 28-7-60

I_{Dmax} = max. permissible value of I_D for pulse application
 I_{Dmax} = valeur max. admissible de I_D pour utilisation avec impulsions
 I_{Dmax} = max. zulässiger Wert von I_D bei Impulsbetrieb

I_{Dmax}
(mA)

10.10.1960

150

100

50

0

0

— $-V_D = 0V$
- - - $-V_D = 25V$
- - - - $-V_D = 50V$

$t_{av} = \max 50m \text{ sec}$

$I_{DM} = 150mA$

$T_{amb} =$

25°C

35°C

45°C

55°C

60°C

100

80

60

40

20

0

0

0

0

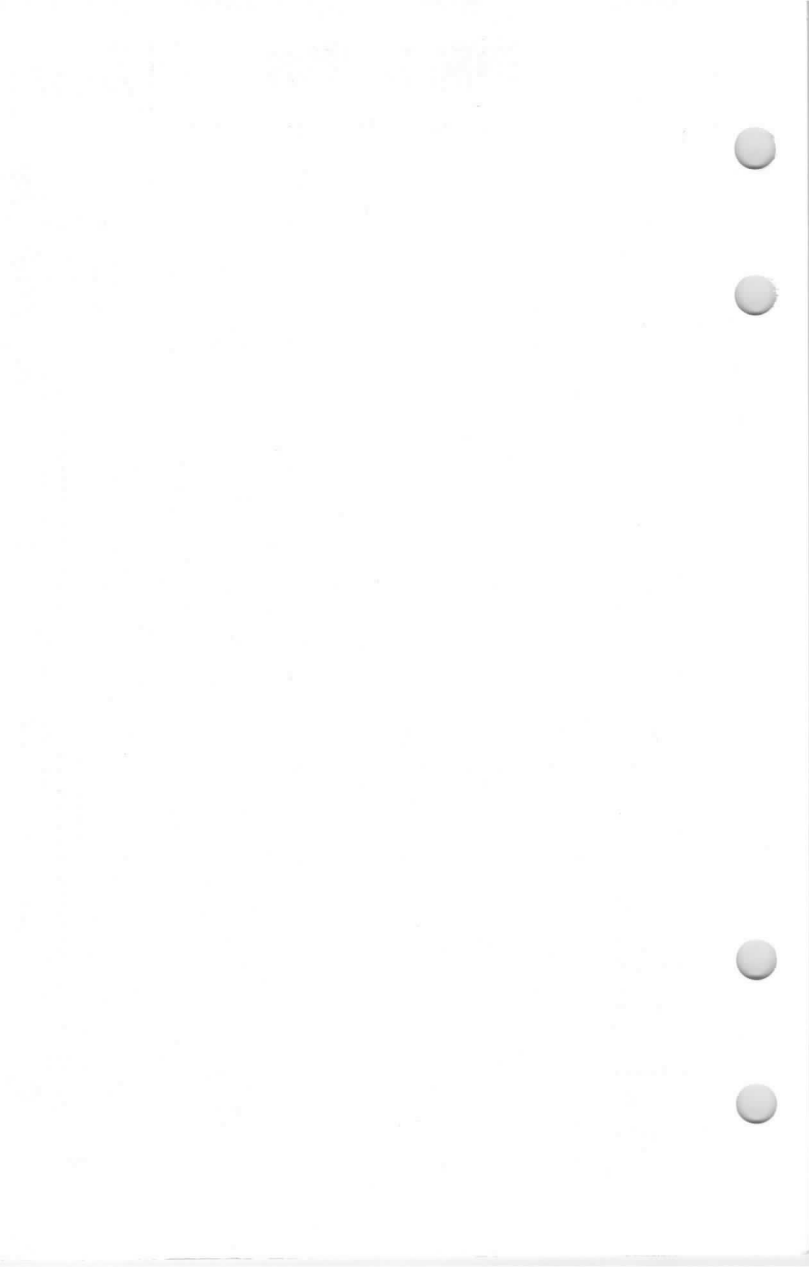
0

0

0

0

E

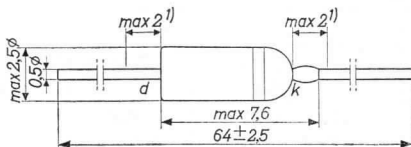


GOLD-BONDED GERMANIUM DIODE in miniature all-glass construction for high current switching applications
 DIODE À CRISTAL DE GERMANIUM À POINTE D'OR en construction tout-verre miniature pour applications de commutation à courant élevé

GERMANIUM-GOLDDRAHTDIODE in Miniatur-Allglastechnik zur Verwendung als Schalterdiode für hohe Ströme

The white band indicates the position of the cathode
 L'anneau blanc marque la position de la cathode
 Der weisse Ring bezeichnet die Katodenseite

Dimensions in mm
 Dimensions en mm
 Abmessungen in mm



Limiting values (Absolute max. values)
 Caractéristiques limites (Valeurs max. absolues)
 Grenzdaten (Absolute Maximalwerte)

| | $T_{amb} =$ | 25 °C | 60 °C |
|--|--|-----------------|---------------------|
| $-V_D$ | = max. | 20 | 20 V |
| $-V_{DM}$ | = max. | 20 | 20 V |
| $-V_{D_{surge}}$ (t = max. 1 sec) | = max. | 30 | 30 V |
| $-I_D$ { direct current courant continu Gleichstrom | = max. | 180 | 65 mA ²⁾ |
| I_D ($t_{av} =$ max. 50 msec) | { See pages D,E Voir pages D,E Siehe Seite D,E | | |
| I_{DM} | = max. | 300 | 300 mA |
| $I_{D_{surge}}$ (t = max. 1 sec) | = max. | 400 | 400 mA |
| T_{amb} | = | - 55 °C/+ 60 °C | |
| Storage temperature Température d'emmagasinage Lagerungstemperatur | = | - 55 °C/+ 75 °C | |

¹⁾ Not tinned; non étamé; nicht verzinkt

²⁾ See also page C; voir aussi page C; siehe auch Seite C

Thermal data. Junction temperature rise to ambient temperature in free air

$$K \leq 0.45 \text{ } ^\circ\text{C/mW}$$

Données thermiques. Augmentation de la température de la jonction au regard de la température de l'ambiance à l'air libre

$$K \leq 0,45 \text{ } ^\circ\text{C/mW}$$

Thermische Daten. Temperaturerhöhung des Kristalls in bezug auf die Umgebungstemperatur in freier Luft

$$K \leq 0,45 \text{ } ^\circ\text{C/mW}$$

Characteristics
Caractéristiques
Kenndaten

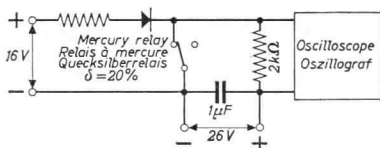
| I_D (mA) | V_D (V) | | | |
|-------------------|--|--------|--|------|
| | $T_{amb} = 25 \text{ } ^\circ\text{C}$ | | $T_{amb} = 60 \text{ } ^\circ\text{C}$ | |
| | = | max. | = | max. |
| 0,1 | = 0,15 | < 0,21 | = 0,09 | |
| 10 | = 0,34 | < 0,41 | = 0,29 | |
| 300 ¹⁾ | | < 0,78 | | |

| $-V_D$ (V) | $-I_D$ (μA) | | | |
|---------------|--|-------|--|------|
| | $T_{amb} = 25 \text{ } ^\circ\text{C}$ | | $T_{amb} = 60 \text{ } ^\circ\text{C}$ | |
| | = | max. | = | max. |
| 1,5 | = 0,6 | < 3,5 | = 5 | |
| 10 | = 3 | < 15 | = 8 | |
| 20 | = 6 | < 50 | = 15 | |

Reverse recovery time, measured at $-V_D = 10 \text{ V}$ after forward current pulse of 300 mA

→ Temps de recouvrement inverse, mesuré à $-V_D = 10 \text{ V}$ après une impulsion de courant de 300 mA dans le sens conducteur

Übergangszeit für Sperrichtung, gemessen bei $-V_D = 10 \text{ V}$ nach einem Stromimpuls von 300 mA in Durchlassrichtung



Measuring circuit; circuit de mesure; Messschaltung

¹⁾ See page 3; voir page 3; siehe Seite 3

Reverse recovery time (continued)
 Temps de recouvrement inverse (suite)
 Übergangszeit für Sperrichtung (Fortsetzung)

Pulse data

Données de l'impulsion

Impulsdaten

$I_{DM} = 300 \text{ mA}$

$-V_{DM} \pm 20 \text{ V}$

$\delta = 20 \%$

$f = 50 \text{ c/s}$

Oscilloscope data

Données de l'oscilloscope

Daten des Oszillographen

$C_{inp} = 15 \text{ pF}$

$R_{inp} = 4 \text{ M}\Omega$

Rise time

Temps de montée = $0,016 \text{ }\mu\text{s}$

Anstiegszeit

$-i_D$ $\left\{ \begin{array}{l} 3,5 \text{ }\mu\text{s} \text{ after the current impuls} \\ 3,5 \text{ }\mu\text{s} \text{ après l'impulsion de} \\ \text{courant} \\ 3,5 \text{ }\mu\text{Sek nach dem Stromimpuls} \end{array} \right. = \begin{array}{l} 40 \text{ }\mu\text{A} \\ < 150 \text{ }\mu\text{A} \end{array}$

Column I: Setting of the diode and typical (average) measuring results of new diodes

II: Characteristic range values for equipment design ²⁾

Colonne I: Valeurs pour le réglage de la diode et les résultats moyens de mesures de diodes neuves.

II: Gamme de valeurs caractéristiques pour l'étude d'équipements ²⁾

Spalte I: Einstelldaten der Diode und mittlere Messergebnisse neuer Dioden

II: Charakteristischer Wertbereich für Gerätentwurf ²⁾

Page 2, Seite 2

¹⁾ Measured under pulsed conditions to prevent excessive dissipation

Mesuré en service d'impulsions pour prévenir une dissipation excessive

Gemessen mit Impulsen zur Verhütung einer übermäßigen Verlustleistung

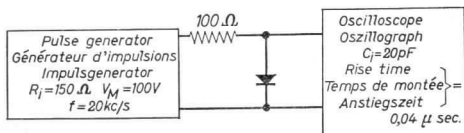
²⁾ For other characteristic range values for equipment design see curves at $T_{amb} = 25 \text{ }^\circ\text{C}$ pages A and B

Pour les autres gammes de valeurs caractéristiques pour l'étude d'équipements voir les courbes à $T_{amb} = 25 \text{ }^\circ\text{C}$ pages A et B

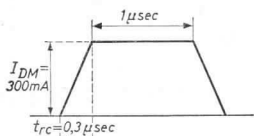
Für die übrigen charakteristischen Wertbereiche für Gerätentwurf siehe die Kurven bei $T_{amb} = 25 \text{ }^\circ\text{C}$ Seiten A und B

CapacitanceCapacitéKapazität

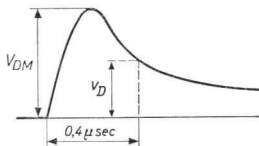
| | I | II |
|----------|----------|----------|
| $-V_D$ | $= 0,75$ | V |
| f | $= 0,5$ | Mc/s |
| c_{dk} | $= 1,8$ | < 4 pF |

Forward recoveryTemps de recouvrement directÜbergangszeit für Durchlassrichtung

Measuring circuit; circuit de mesure; Messanordnung



Current pulse
Impulsion de courant
Stromimpuls

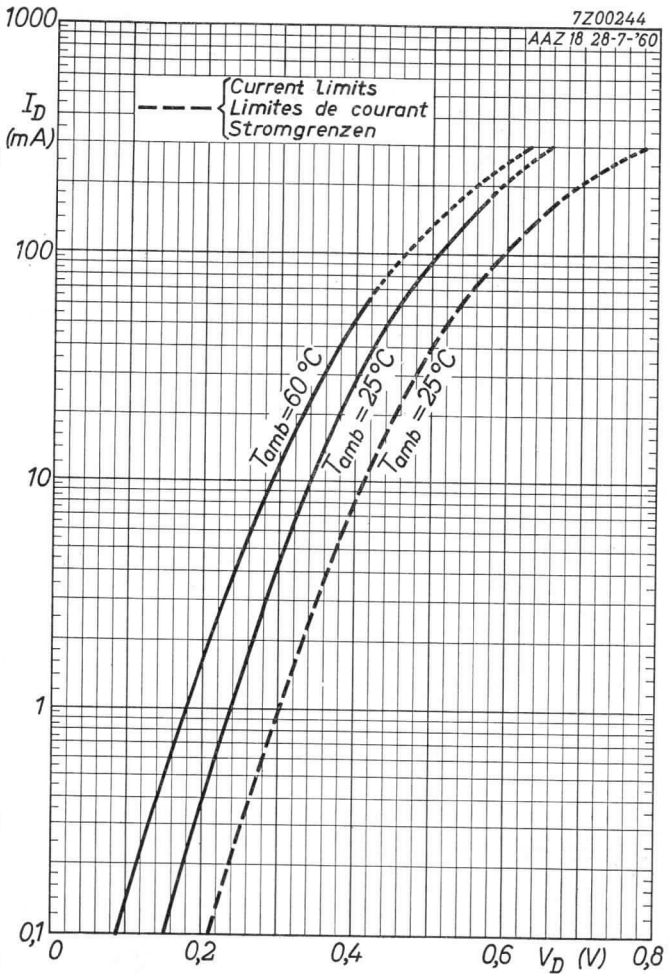


Voltage pulse
Impulsion de tension
Spannungsimpuls

| | I | II |
|-----------|---|---------------|
| I_{DM} | $= 300$ | mA |
| t_{imp} | $= 1$ | μsec |
| V_{DM} | $= 0,65$ | V |
| V_D { | after 0,4 μsec après 0,4 μsec nach 0,4 μSec | $= 0,62$ V |

7Z00244

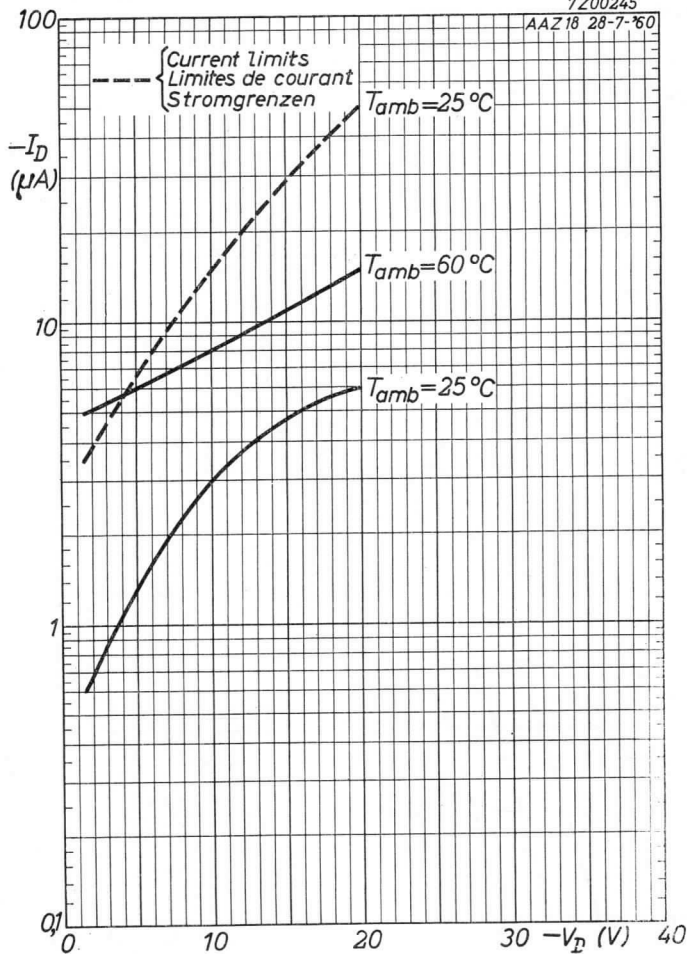
AAZ 18 28-7-'60



AAZ 18**PHILIPS**

7Z00245

AAZ 18 28-7-'60



B

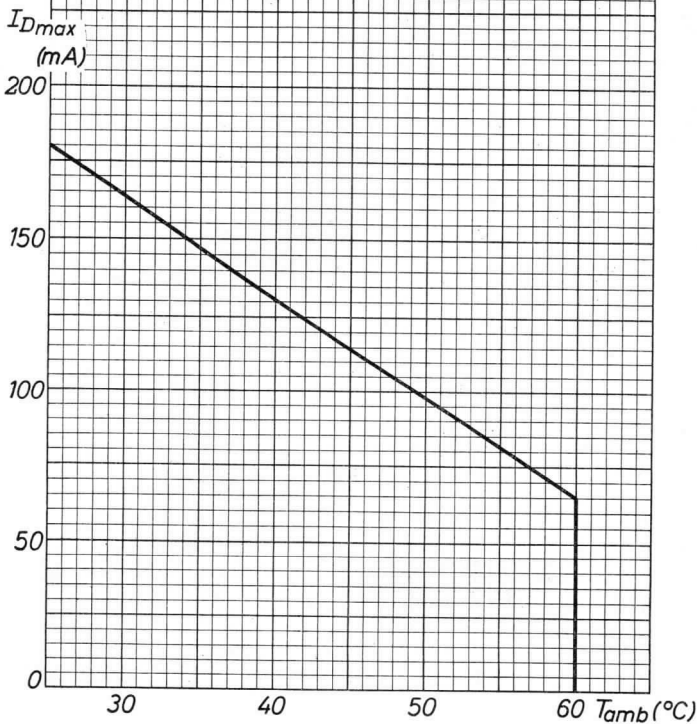
7Z00241

AAZ 18 28-7-60

I_{Dmax} = max. permissible D.C. current

I_{Dmax} = courant continu max. admissible

I_{Dmax} = max. zulässiger Gleichstrom



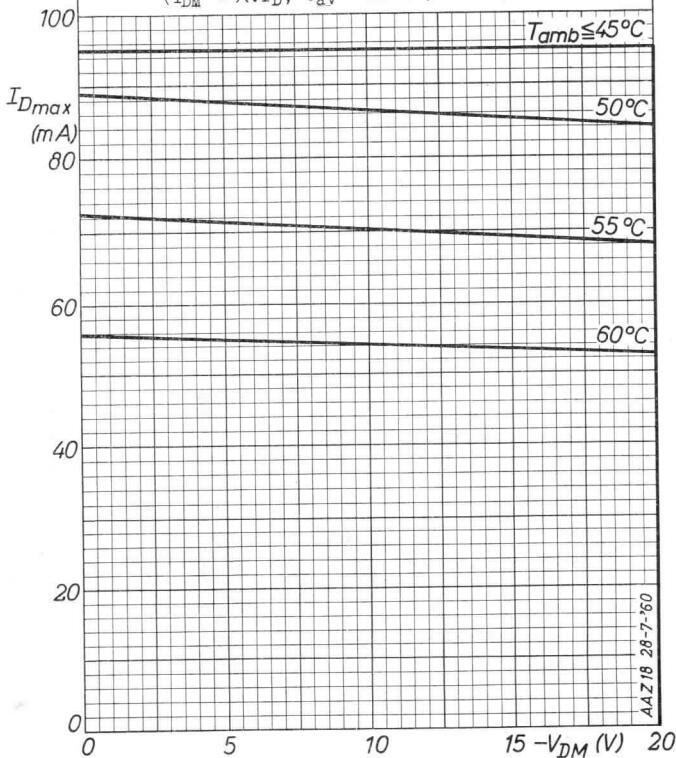
AAZ 18**PHILIPS**

7Z00242

I_{Dmax} = max. permissible value of I_D for sinusoidal input voltages and resistive load. ($I_{DM} = \pi \cdot I_D$; $t_{av} = \text{max. } 50 \text{ msec}$)

I_{Dmax} = valeur max. admissible de I_D pour des tensions d'entrée sinusoïdales avec charge résistive. ($I_{DM} = \pi \cdot I_D$; $t_{av} = 50 \text{ msec au max.}$)

I_{Dmax} = max. zulässiger Wert von I_D bei sinusförmigen Eingangsspannungen mit Widerstandsbelastung. ($I_{DM} = \pi \cdot I_D$; $t_{av} = \text{max. } 50 \text{ mSek}$)



D

7Z00243

AAZ 18 28-7-'60

I_{Dmax} = max. permissible value of I_D for pulse application
 I_{Dmax} = valeur max. admissible de I_D pour utilisation avec impulsions
 I_{Dmax} = max. zulässiger Wert von I_D bei Impulsbetrieb

--- $V_D = 0V$
 - - - $V_D = 10V$
 - - - $V_D = 20V$

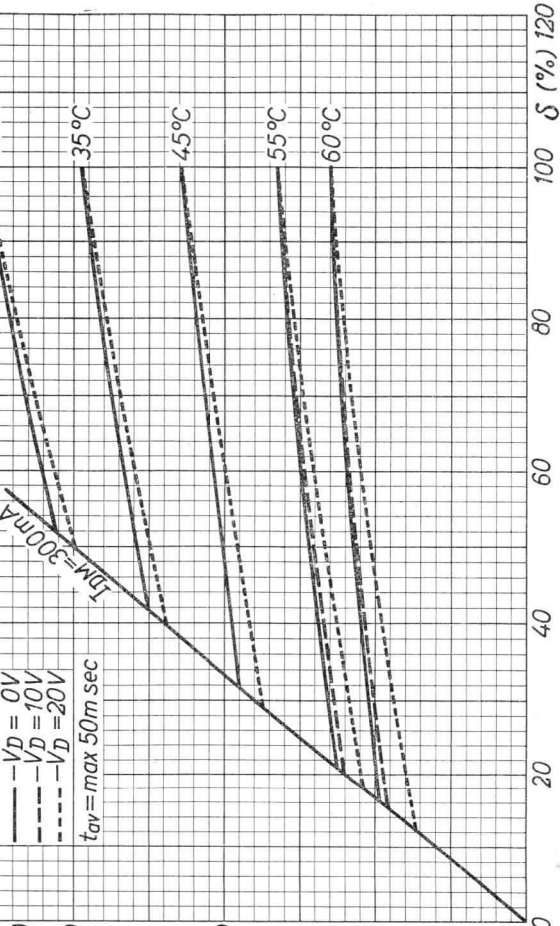
$t_{av} = \text{max } 50 \text{ m sec}$

$I_{DM} = 30 \text{ mA}$

$T_{amb} = 25^\circ C$

35°C
 45°C
 55°C
 60°C

I_{Dmax}
 (mA)



10.10.1960

E

LIBRARY

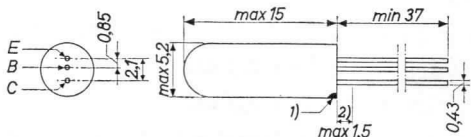


Low noise GERMANIUM TRANSISTOR of the p-n-p type in all-glass construction suitable as input stage of hybrid tape recorders with a speed up to 19 cm/sec.

TRANSISTOR À CRISTAL DE GERMANIUM du type p-n-p à faible bruit et en construction tout-verre conçu pour l'utilisation dans l'étage d'entrée de magnétophones hybrides avec une vitesse jusqu'à 19 cm/sec

p-n-p GERMANIUMTRANSISTOR in Allglastechnik mit schwachem Rauschen zur Verwendung in der Eingangsstufe von hybriden Tonbandgeräten mit einer Geschwindigkeit bis zu 19 cm/sek.

Dimensions in mm The red dot indicates the collector
 Dimensions en mm Le point rouge indique le collecteur
 Abmessungen in mm Der rote Punkt bezeichnet den Kollektor



Limiting values (Absolute max. values)
 Caractéristiques limites (Valeurs max. absolues)
 Grenzdaten (Absolute Maximalwerte)

| | | | |
|----------------------------|---|--|---|
| -V _{CB} | = max. 15 V | | |
| -V _{CE} | { See page D Voir page D Siehe Seite D | | |
| -V _{EB} | | = max. 5 V | P _{tot} = max. $\frac{T_j \text{ max} - T_{amb}}{K}$ |
| -I _{CM} | = max. 10 mA | -I _C | = max. 5 mA |
| I _{EM} | = max. 10 mA | I _E | = max. 5 mA |
| T _j | { continuous operation service continu Dauerbetrieb | | = max. 75 °C |
| T _j | | { intermittent operation service intermittent aussetzender Betrieb | = max. 90 °C ²⁾ |
| Storage temperature | | | = -55 °C/+75 °C |
| Température d'emmagasinage | | | |
| Lagerungstemperatur | | | |

1) Not tinned; non-étamé; nicht verzinkt

2) Total duration max. 200 hours
 Durée totale 200 heures au max.
 Gesamtdauer max. 200 Stunden

Thermal data
Données thermiques
Thermische Daten

| | |
|--|--|
| Thermal resistance from junction to ambience in free air | $K \leq 0,6 \text{ }^{\circ}\text{C/mW}$ |
| Résistance thermique entre la jonction et l'ambience à l'air libre | $K \leq 0,6 \text{ }^{\circ}\text{C/mW}$ |
| Thermischer Widerstand zwischen Kristall und Umgebung in freier Luft | $K \leq 0,6 \text{ }^{\circ}\text{C/mW}$ |

Characteristics
Caractéristiques
Kenndaten

$$T_{amb} = 25 \text{ }^{\circ}\text{C}$$

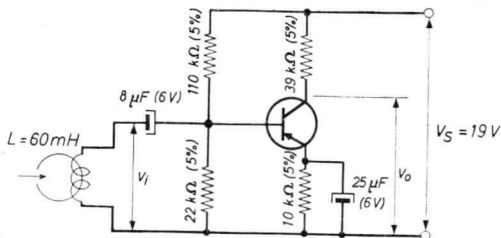
| | | |
|--|------------------------------|---|
| $-I_{CBO} (-V_{CB} = 5 \text{ V})$ | $= 2,0 \text{ } \mu\text{A}$ | $< 3,0 \text{ } \mu\text{A}$ |
| $h_{fe} (-V_{CB} = 5 \text{ V}; I_E = 0,3 \text{ mA})$ | $= 60$ | $> \begin{matrix} 35 \\ 160 \end{matrix}$ |
| $F^1) (-V_{CB} = 5 \text{ V}; I_E = 0,3 \text{ mA})$ | $= 3 \text{ dB}$ | $< 5 \text{ dB}$ |

Characteristics range values for equipment design
Gamme de valeurs des caractéristiques pour l'étude d'équipements
Kenndatenbereiche für Gerätentwurf

| | | |
|---------------------------------|---------------------------------|---|
| $-V_{CB}$ | $= 5 \text{ V}$ | |
| I_E | $= 0,3 \text{ mA}$ | |
| T_{amb} | $= 25 \text{ }^{\circ}\text{C}$ | |
| $-I_B$ | $= 5 \text{ } \mu\text{A}$ | $< 10 \text{ } \mu\text{A}$ |
| $-V_{BE}$ | $= 120 \text{ mV}$ | $> 90 \text{ mV}$ $< 150 \text{ mV}$ |
| $f_{\alpha b}$ | $=$ | $> 2 \text{ Mc/s}$ |
| $r_{bb'}$ | $=$ | $< 200 \text{ } \Omega$ |
| $c_{b'c}$ | $=$ | $< 14 \text{ pF}$ |
| $\xi_{oe} (f = 1 \text{ Mc/s})$ | $=$ | $< 35 \text{ } \mu\text{A/V}$ |

¹⁾ Noise factor, measured with a source impedance of 1500 Ω ; band width 30-15000 c/s.
Facteur de bruit, mesure avec une impédance de la source d'entrée de 1500 Ω ; largeur de bande 30-15000 Hz.
Rauschfaktor, gemessen mit einer Impedanz der Eingangsspannungsquelle von 1500 Ω ; Bandbreite 30-15000 Hz.

Operating characteristics in an input stage of a hybrid tape recorder
 Caractéristiques d'utilisation dans un étage d'entrée d'un magnétophon hybride
 Betriebsdaten in einer Eingangsstufe eines hybridischen Tonbandgerätes



The circuit has been designed for operation with good performance up to an ambient temperature of 55 °C
 Le circuit a été conçu pour un fonctionnement de meilleure qualité jusqu'à une température de l'ambiance de 55 °C
 Die Schaltung ist hergestellt für Betrieb guter Qualität bis zu einer Umgebungstemperatur von 55 °C

$$V_S = 19 \text{ V}$$

$$-I_C = 0,3 \text{ mA}$$

$$v_o/v_i = 330$$

Signal to noise ratio
 Rapport signal/bruit $\geq 60 \text{ dB}^1$
 Signal/Rausch-Verhältnis

Frequency response
 Réponse de fréquence = 40-14000 c/s²
 Frequenzwiedergabe

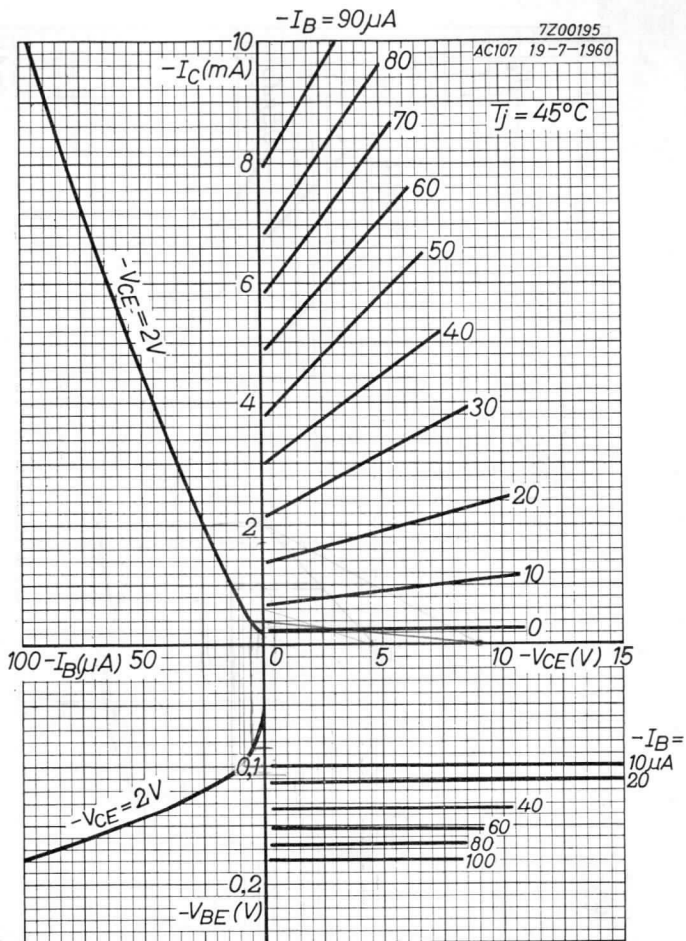
1) See page 4; voir page 4; siehe Seite 4

2) Between the frequencies where the output is 3 dB down (see page E)
 Entre les fréquences où la sortie est de 3 dB en bas (voir page E)
 Zwischen den Frequenzen wo der Ausgang 3 dB gesunken ist (siehe Seite E)

¹⁾ This signal to noise ratio is based upon an output voltage of 0.5 mV at $f = 1$ kc/s of a playback head with $L = 60$ mH. With a four track system and a tape speed of 9.5 cm/sec, the minimum induced voltage in the playback head is about 0.5 mV at maximum modulation of the tape

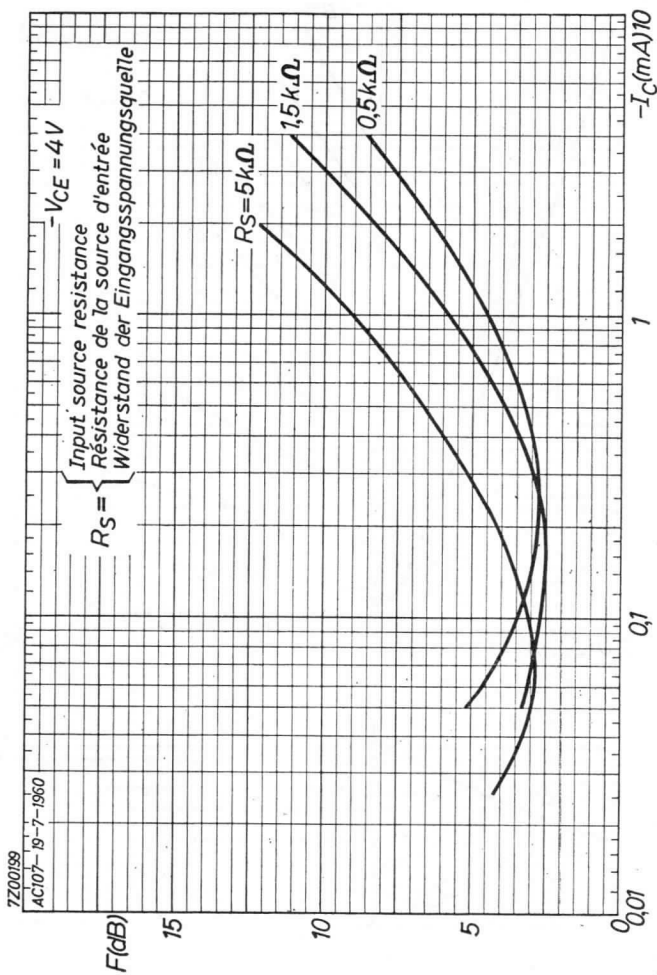
Ce rapport signal/bruit est fondé sur une tension de sortie d'une tête de lecture avec $L = 60$ mH de 0,5 mV à $f = 1$ kHz. Avec un système à quatre pistes et une vitesse de la bande de 9,5 cm/sec la tension induite dans la tête de lecture est d'environ 0,5 mV au minimum à la modulation max. de la bande

Dieses Signal/Rausch-Verhältnis ist gegründet auf eine Ausgangsspannung eines Wiedergabekopfes mit $L = 60$ mH von 0,5 mV bei $f = 1$ kHz. Bei einem System mit vier Tonspuren und einer Bandgeschwindigkeit von 9,5 cm/Sek ist die im Wiedergabekopf induzierte Spannung mindestens etwa 0,5 mV bei max. Modulation des Bandes



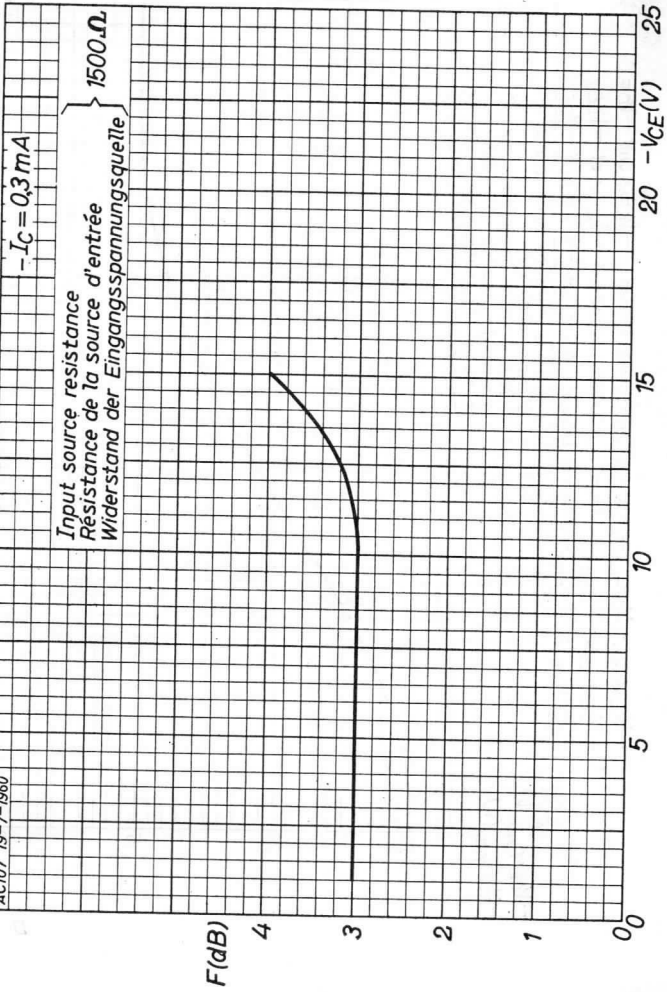
AC 107

PHILIPS



B

7Z00198
AC107 19-7-1960



AC 107

PHILIPS

$-V_{CEmax}$, $-V_{CEmax}$ = maximum permissible values of $-V_{CEM}$ and $-V_{CE}$
 $-V_{CEmax}$, $-V_{CEmax}$ = valeurs admissibles au max. de $-V_{CEM}$ et $-V_{CE}$
 $-V_{CEmax}$, $-V_{CEmax}$ = maximal erlaubte Werte von $-V_{CEM}$ und $-V_{CE}$

7200197

AC107 19-7-60

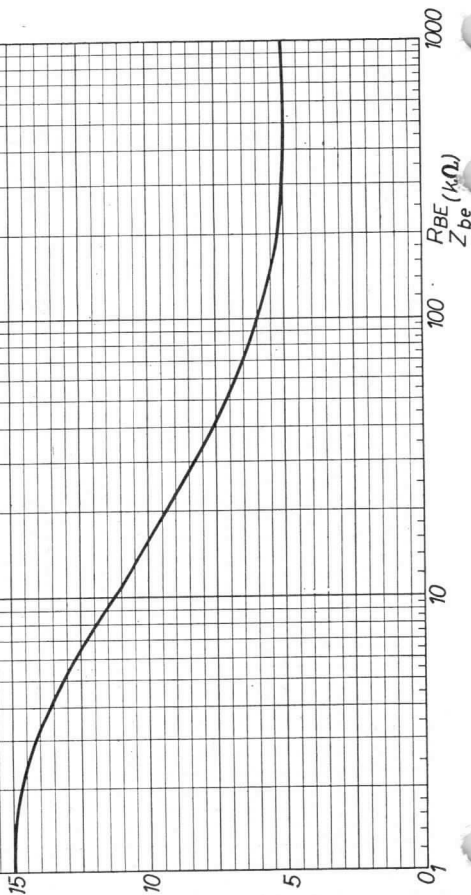
 $-V_{CEmax}(V)$ $-V_{CEmax}(V)$

Provisions must be made to ensure thermal stability.

Il faut prendre des mesures pour

assurer la stabilité thermique

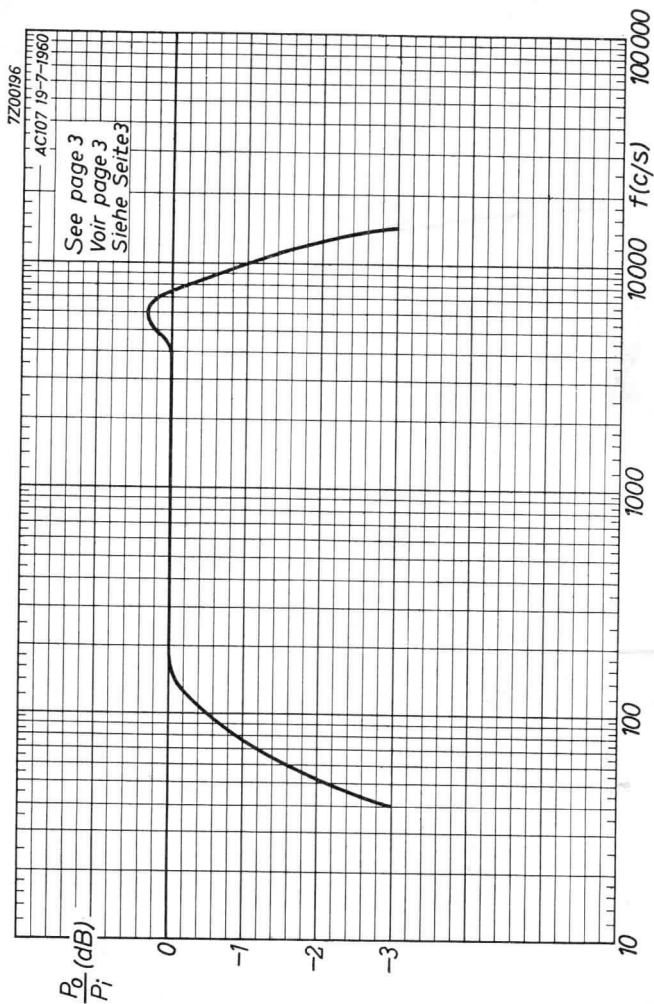
Es sollen Massnahmen getroffen werden zur Sicherung der thermischen Stabilität



D

PHILIPS

AC 107



3.3.1961

E

1000

1000



GERMANIUM ALLOY JUNCTION TRANSISTOR of the p-n-p type in metal envelope for use in pre-amplifier and driver stages with battery voltages up to 14 V.

LIMITING VALUES (Absolute max. values)

Collector

Voltage (base reference) $-V_{CB} = \text{max. } 32 \text{ V}$
Voltage (emitter reference) $-V_{CE} = \text{max. } 32 \text{ V}^1$

Current $-I_C = \text{max. } 100 \text{ mA}$

Emitter

Voltage (base reference) $-V_{EB} = \text{max. } 10 \text{ V}$

Base

Current $-I_B = \text{max. } 5 \text{ mA}$

Dissipation

Total dissipation $P_{\text{tot}} = \text{max. } 500 \text{ mW}$

Temperatures

Storage temperature $T_s = -55 \text{ }^\circ\text{C to } +75 \text{ }^\circ\text{C}$

Junction temperature
continuous operation $T_j = \text{max. } 75 \text{ }^\circ\text{C}$

intermittent operation
(total duration max.
200 hours) $T_j = \text{max. } 90 \text{ }^\circ\text{C}$
($t = \text{max. } 200 \text{ hrs}$)

THERMAL DATA

Thermal resistance from junction
to ambience in free air $K = \text{max. } 0.3 \text{ }^\circ\text{C/mW}$

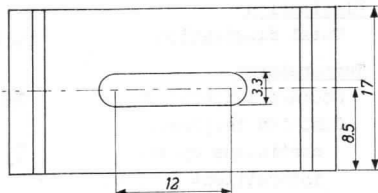
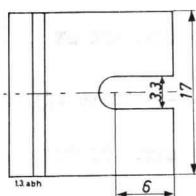
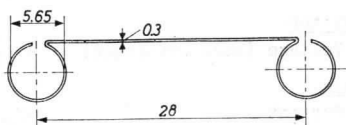
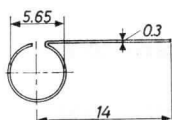
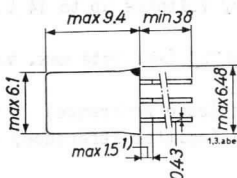
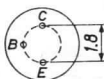
Thermal resistance from junction
to ambience with cooling fin
mounted on heat sink of at least
12.5 cm² $K = \text{max. } 0.09 \text{ }^\circ\text{C/mW}$

¹) For recommended practical limits of $-V_{CE}$ see page F

AC125**PHILIPS**

Dimensions in mm

The red dot indicates the collector side



Cooling fin 56227

Cooling fin 56226

CHARACTERISTICS at $T_{amb} = 25\text{ }^{\circ}\text{C}$ Collector current at $I_E = 0\text{ mA}$ $-I_{CB0}$ ($-V_{CB} = 10\text{ V}$; $I_E = 0\text{ mA}$) $< 10\text{ }\mu\text{A}$ Collector voltage at $V_{BE} = 0\text{ V}$ $-V_{CB}$ ($-I_C = 500\text{ }\mu\text{A}$; $V_{BE} = 0\text{ V}$) $> 32\text{ V}$ Emitter voltage at $I_C = 0\text{ mA}$ $-V_{EB}$ ($-I_E = 200\text{ }\mu\text{A}$; $I_C = 0\text{ mA}$) $> 10\text{ V}$ ¹⁾ Not tinned

722 1751

Tentative data

2.

CHARACTERISTICS RANGE VALUES FOR EQUIPMENT DESIGN

$T_{amb} = 25\text{ }^{\circ}\text{C}$ unless otherwise specified

Collector current at $I_E = 0\text{ mA}$

$-I_{CB0}$

See page D

Emitter current at $I_C = 0\text{ mA}$

$-I_{EB0} \left\{ \begin{array}{l} -V_{EB} = 5\text{ V}; I_C = 0\text{ mA} \\ T_j = 75\text{ }^{\circ}\text{C} \end{array} \right\}$

< 550 μA

Current amplification factor $\frac{I_C - I_{CB0}}{I_B + I_{CB0}}$

$h_{FE} (I_E = 2\text{ mA}; -V_{CB} = 5\text{ V}) = 100 > 50$

$h_{FE} (I_E = 50\text{ mA}; V_{CB} = 0\text{ V}) = 95$

$h_{FE} (I_E = 100\text{ mA}; V_{CB} = 0\text{ V}) = 80$

Base voltage

$-V_{BE} (I_E = 2\text{ mA}; -V_{CB} = 5\text{ V}) = 105\text{ mV}$

$-V_{BE} (I_E = 100\text{ mA}; V_{CB} = 0\text{ V}) < 400\text{ mV}$

Frequency at which $|h_{fe}| = 1$

$f_1 (-V_{CB} = 2\text{ V}; I_E = 10\text{ mA}) = 1.7\text{ Mc/s} > 1.3\text{ Mc/s}$

Cut-off frequency

$f_{ae} (-V_{CB} = 2\text{ V}; I_E = 10\text{ mA}) = 17\text{ kc/s} > 10\text{ kc/s}$

Base resistance

$|z_{rb}| \left\{ \begin{array}{l} -V_{CB} = 5\text{ V}; I_E = 1\text{ mA} \\ f = 0.45\text{ Mc/s} \end{array} \right\} = 90\text{ }\Omega$

Collector capacitance

$c_c \left\{ \begin{array}{l} -V_{CB} = 5\text{ V}; I_E = 0\text{ mA} \\ f = 0.45\text{ Mc/s} \end{array} \right\} = 40\text{ pF} < 50\text{ pF}$

Noise figure

$F \left\{ \begin{array}{l} -V_{CB} = 5\text{ V}; I_E = 0.5\text{ mA} \\ f = 1\text{ kc/s}; B = 200\text{ c/s} \\ \text{Input source resistance} = 500\text{ }\Omega \end{array} \right\} = 4\text{ dB} < 10\text{ dB}$

CHARACTERISTICS RANGE VALUES FOR EQUIPMENT DESIGN (continued)

 $T_{amb} = 25\text{ }^{\circ}\text{C}$ Small signal parameters

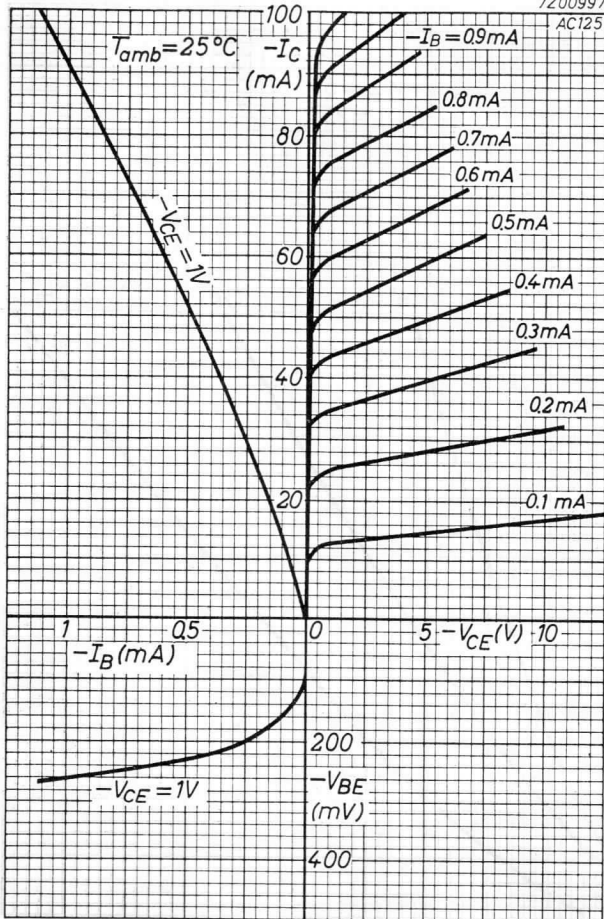
Measured at

Collector voltage $-V_{CB} = 5\text{ V}$ Emitter current $I_E = 2\text{ mA}$ Frequency $f = 1\text{ kc/s}$

| | | |
|------------------------------|------------------------------------|--|
| Input impedance | $h_{ie} = 1.7\text{ k}\Omega$ | $> 1.1\text{ k}\Omega$ $< 2.5\text{ k}\Omega$ |
| Voltage feedback ratio | $h_{re} = 6.5 \times 10^{-4}$ | $< 8.5 \times 10^{-4}$ |
| Current amplification factor | $h_{fe} = 125$ | > 80 < 170 |
| Output admittance | $h_{oe} = 80\text{ }\mu\text{A/V}$ | $< 110\text{ }\mu\text{A/V}$ |

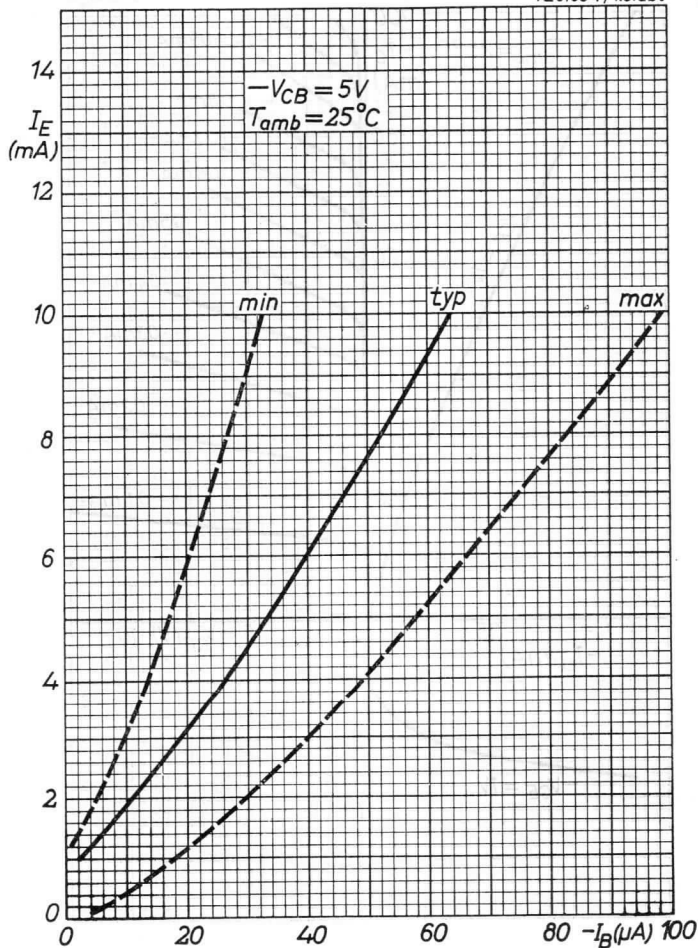
7200997

AC125



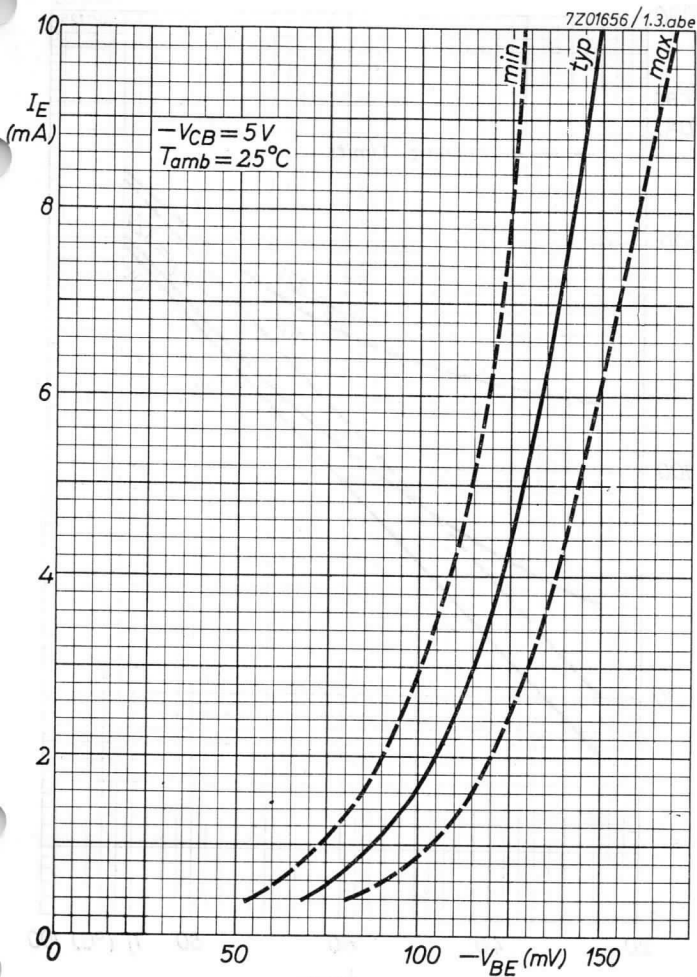
AC125**PHILIPS**

7Z01654/1.3.abe



PHILIPS

AC125



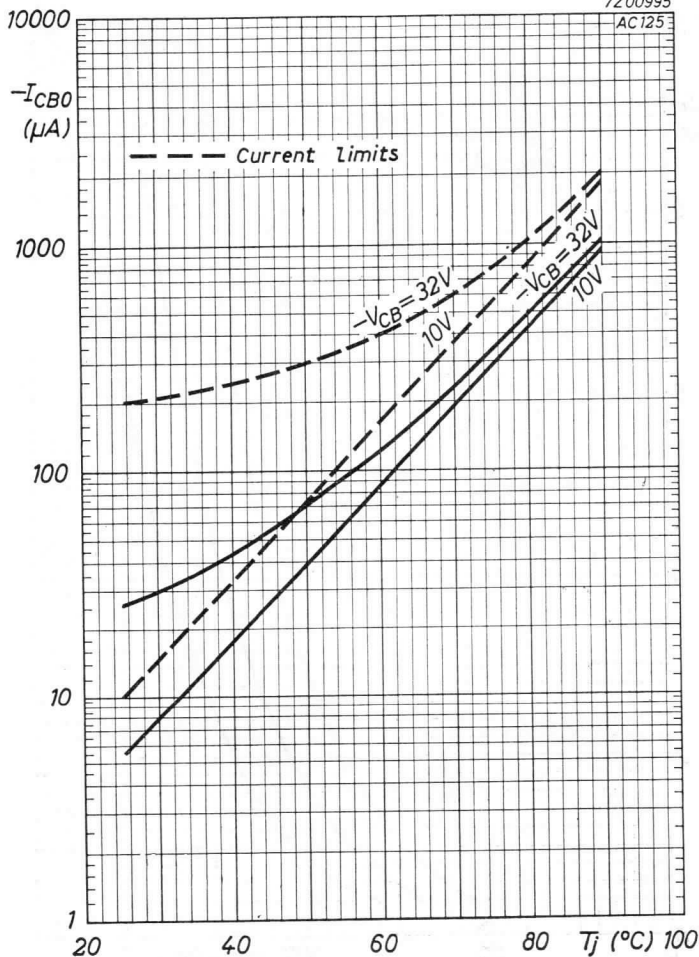
4.4.1963

C

AC125**PHILIPS**

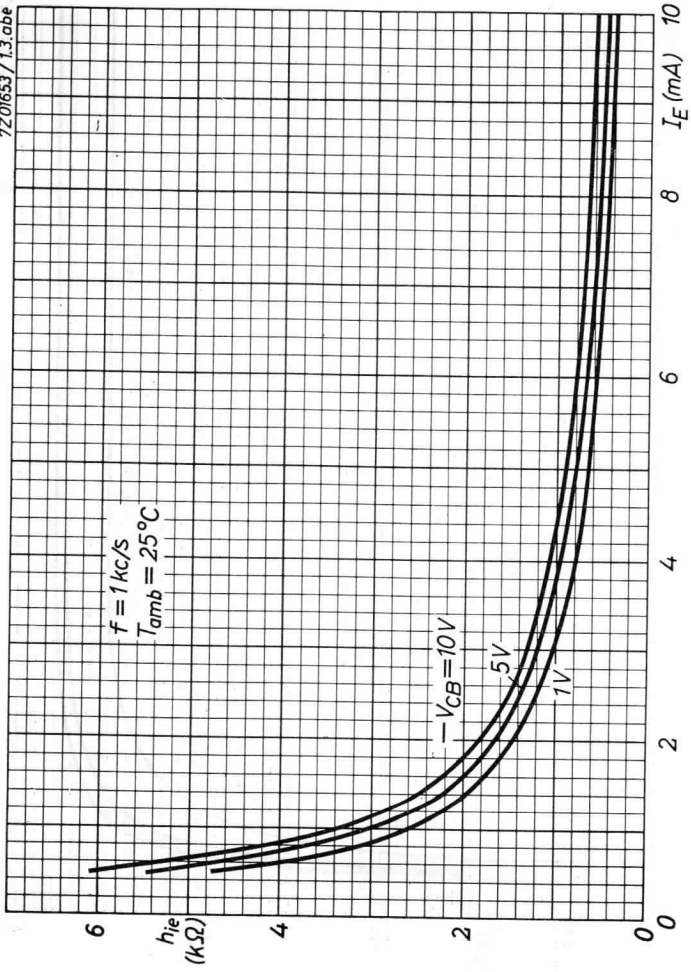
7Z00995

AC125



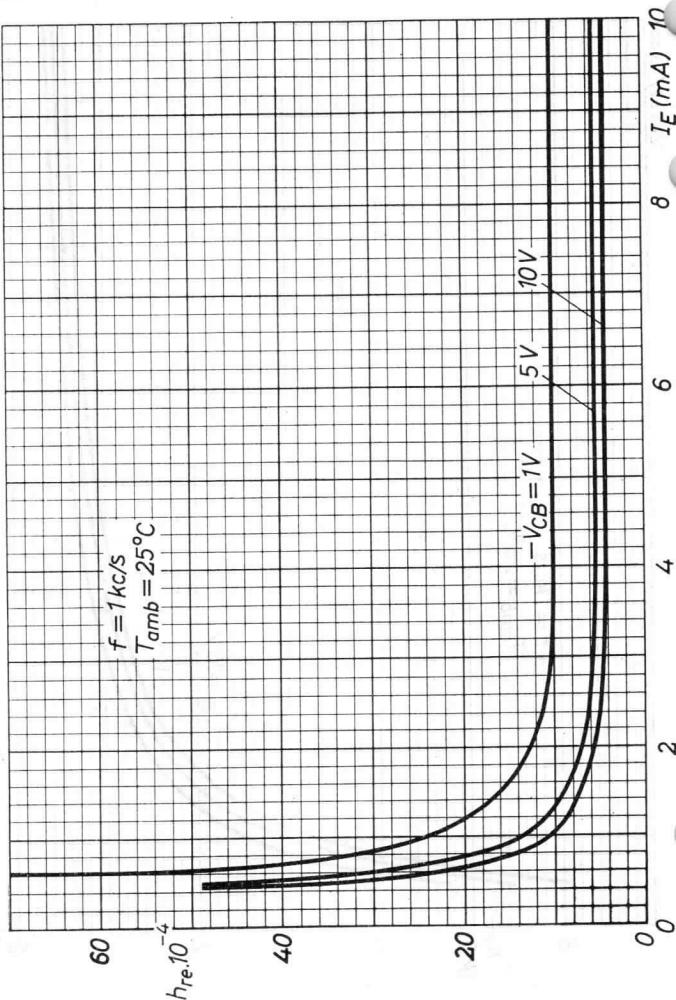
D

7201653/1.3.cbe



AC125**PHILIPS**

7201652 / 1.3.abe

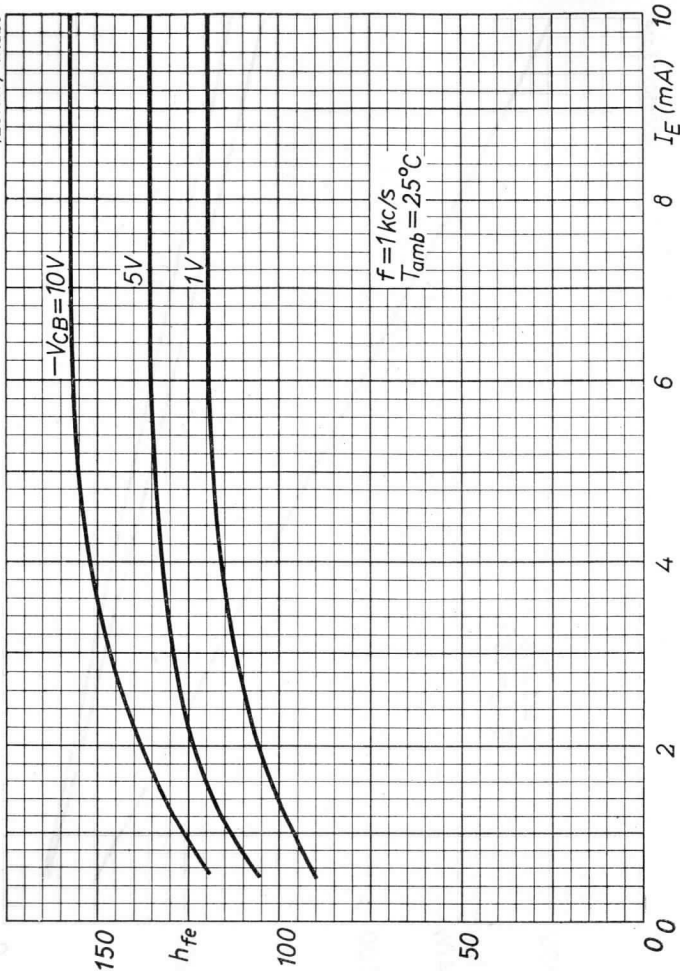


F

PHILIPS

AC125

7Z01651 / 1.3.abe

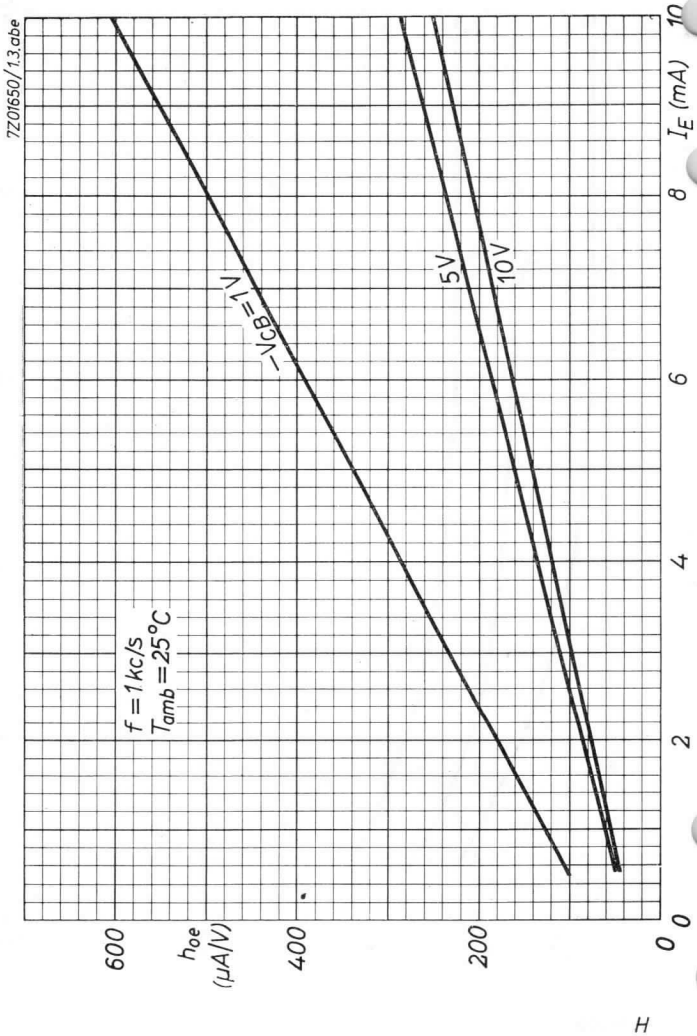


4.4.1963

G

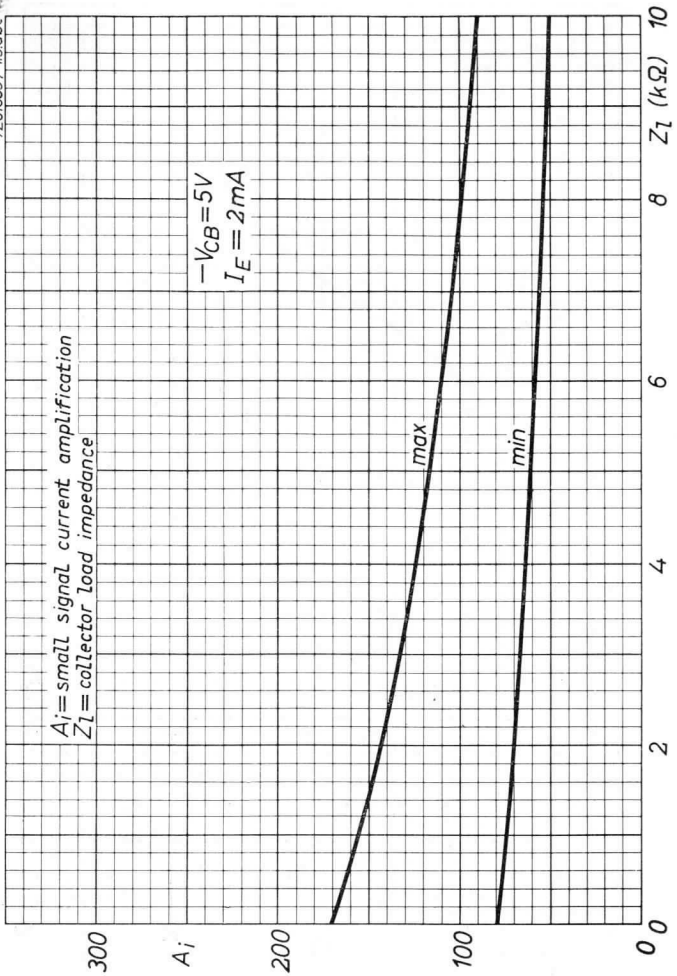
AC125

PHILIPS



H

7201655 / 1.3.cbe

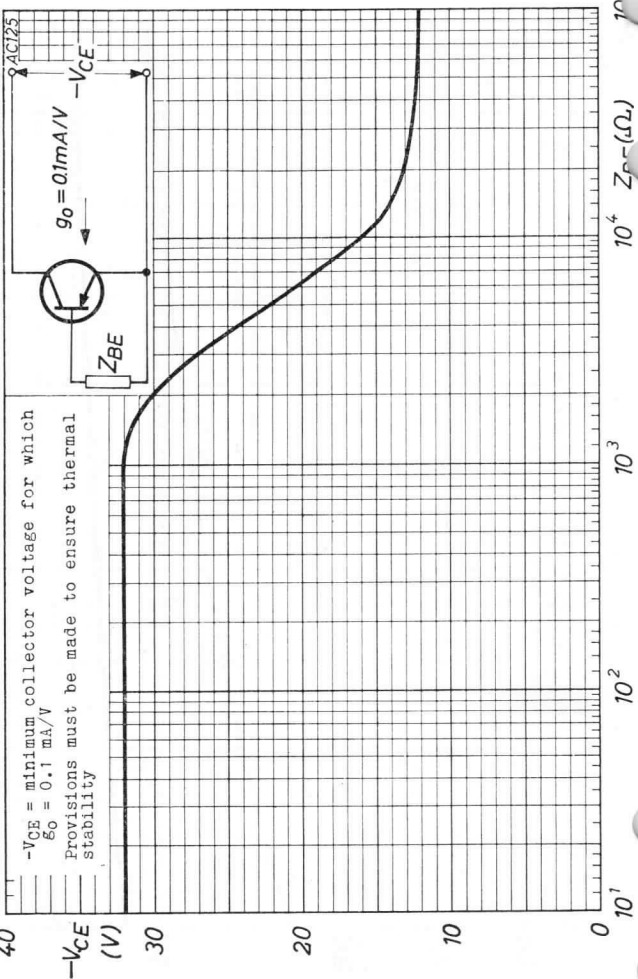


AC125**PHILIPS**

7200994

AC125

$-V_{CE}$ = minimum collector voltage for which
 $g_o = 0.1 \text{ mA/V}$
Provisions must be made to ensure thermal
stability



GERMANIUM ALLOY JUNCTION TRANSISTOR of the p-n-p type in metal envelope for use in pre-amplifier and driver stages with battery voltages up to 14 V.

LIMITING VALUES (Absolute max. values)

Collector

Voltage (base reference) $-V_{CB} = \text{max. } 32 \text{ V}$
Voltage (emitter reference) $-V_{CE} = \text{max. } 32 \text{ V}^1)$

Current $-I_C = \text{max. } 100 \text{ mA}$

Emitter

Voltage (base reference) $-V_{EB} = \text{max. } 10 \text{ V}$

Base

Current $-I_B = \text{max. } 5 \text{ mA}$

Dissipation

Total dissipation $P_{\text{tot}} = \text{max. } 500 \text{ mW}$

Temperatures

Storage temperature $T_S = -55 \text{ }^\circ\text{C to } +75 \text{ }^\circ\text{C}$

Junction temperature
continuous operation $T_j = \text{max. } 75 \text{ }^\circ\text{C}$

intermittent operation
(total duration max.
200 hours) $T_j = \text{max. } 90 \text{ }^\circ\text{C}$
($t = \text{max. } 200 \text{ hrs}$)

THERMAL DATA

Thermal resistance from junction
to ambience in free air $K = \text{max. } 0.3 \text{ }^\circ\text{C/mW}$

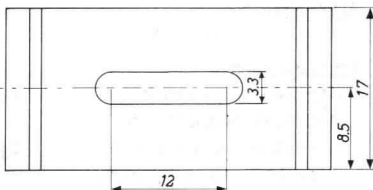
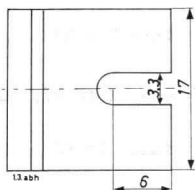
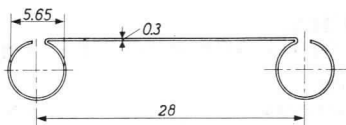
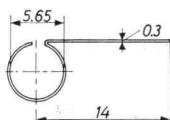
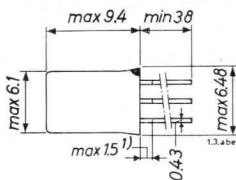
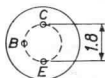
Thermal resistance from junction
to ambience with cooling fin
mounted on heat sink of at least
12.5 cm² $K = \text{max. } 0.09 \text{ }^\circ\text{C/mW}$

¹⁾ For recommended practical limits of $-V_{CE}$ see page F

AC126**PHILIPS**

Dimensions in mm

The red dot indicates the collector side



Cooling fin 56227

Cooling fin 56226

CHARACTERISTICS at $T_{amb} = 25\text{ }^{\circ}\text{C}$ Collector current at $I_E = 0\text{ mA}$ $-I_{CBO}$ ($-V_{CB} = 10\text{ V}$; $I_E = 0\text{ mA}$) $< 10\text{ }\mu\text{A}$ Collector voltage at $V_{BE} = 0\text{ V}$ $-V_{CB}$ ($-I_C = 500\text{ }\mu\text{A}$; $V_{BE} = 0\text{ V}$) $> 32\text{ V}$ Emitter voltage at $I_C = 0\text{ mA}$ $-V_{EB}$ ($-I_E = 200\text{ }\mu\text{A}$; $I_C = 0\text{ mA}$) $> 10\text{ V}$ ¹⁾ Not tinned

7Z2 1751

Tentative data

2.

CHARACTERISTICS RANGE VALUES FOR EQUIPMENT DESIGN

$T_{amb} = 25\text{ }^{\circ}\text{C}$ unless otherwise specified

Collector current at $I_E = 0\text{ mA}$

$-I_{CBO}$ See page D

Emitter current at $I_C = 0\text{ mA}$

$-I_{EBO} \left\{ \begin{array}{l} -V_{EB} = 5\text{ V}; I_C = 0\text{ mA} \\ T_j = 75\text{ }^{\circ}\text{C} \end{array} \right\} < 550\text{ }\mu\text{A}$

Current amplification factor $\frac{I_C - I_{CBO}}{I_B + I_{CBO}}$

$h_{FE} (I_E = 2\text{ mA}; -V_{CB} = 5\text{ V}) = 140 > 65$

$h_{FE} (I_E = 50\text{ mA}; V_{CB} = 0\text{ V}) = 135$

$h_{FE} (I_E = 100\text{ mA}; V_{CB} = 0\text{ V}) = 105$

Base voltage

$-V_{BE} (I_E = 2\text{ mA}; -V_{CB} = 5\text{ V}) = 105\text{ mV}$

$-V_{BE} (I_E = 100\text{ mA}; V_{CB} = 0\text{ V}) < 400\text{ mV}$

Frequency at which $|h_{fe}| = 1$

$f_1 (-V_{CB} = 2\text{ V}; I_E = 10\text{ mA}) = 2.3\text{ Mc/s} > 1.7\text{ Mc/s}$

Cut-off frequency

$f_{ae} (-V_{CB} = 2\text{ V}; I_E = 10\text{ mA}) = 17\text{ kc/s} > 10\text{ kc/s}$

Base resistance

$|z_{rb}| \left\{ \begin{array}{l} -V_{CB} = 5\text{ V}; I_E = 1\text{ mA} \\ f = 0.45\text{ Mc/s} \end{array} \right\} = 90\text{ }\Omega$

Collector capacitance

$c_c \left\{ \begin{array}{l} -V_{CB} = 5\text{ V}; I_E = 0\text{ mA} \\ f = 0.45\text{ Mc/s} \end{array} \right\} = 40\text{ pF} < 50\text{ pF}$

Noise figure

$F \left\{ \begin{array}{l} -V_{CB} = 5\text{ V}; I_E = 0.5\text{ mA} \\ f = 1\text{ kc/s}; B = 200\text{ c/s} \\ \text{Input source resistance} \\ = 500\text{ }\Omega \end{array} \right\} = 4\text{ dB} < 10\text{ dB}$

CHARACTERISTICS RANGE VALUES FOR EQUIPMENT DESIGN (continued)

$T_{amb} = 25\text{ }^{\circ}\text{C}$

Small signal parameters

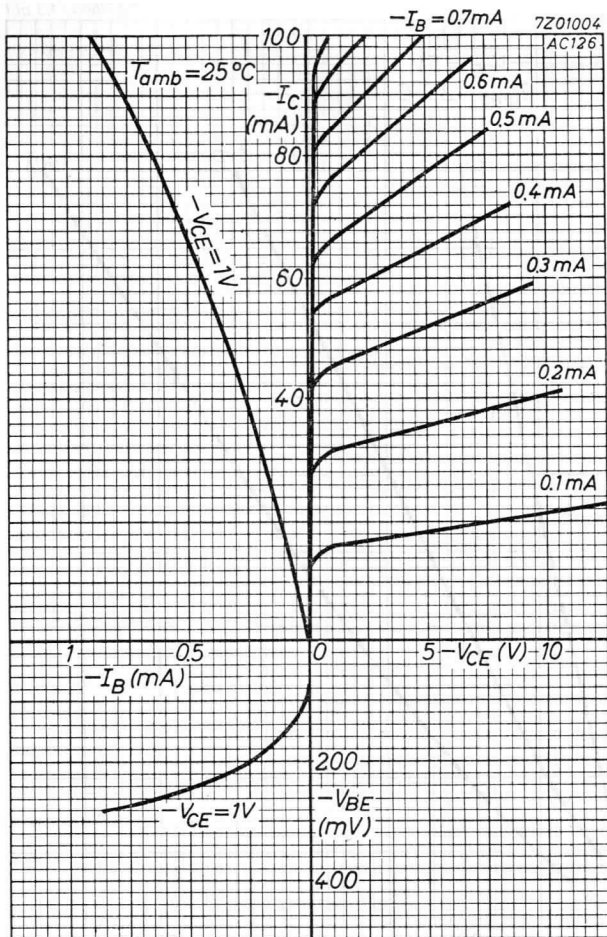
Measured at

Collector voltage $-V_{CB} = 5\text{ V}$

Emitter current $I_E = 2\text{ mA}$

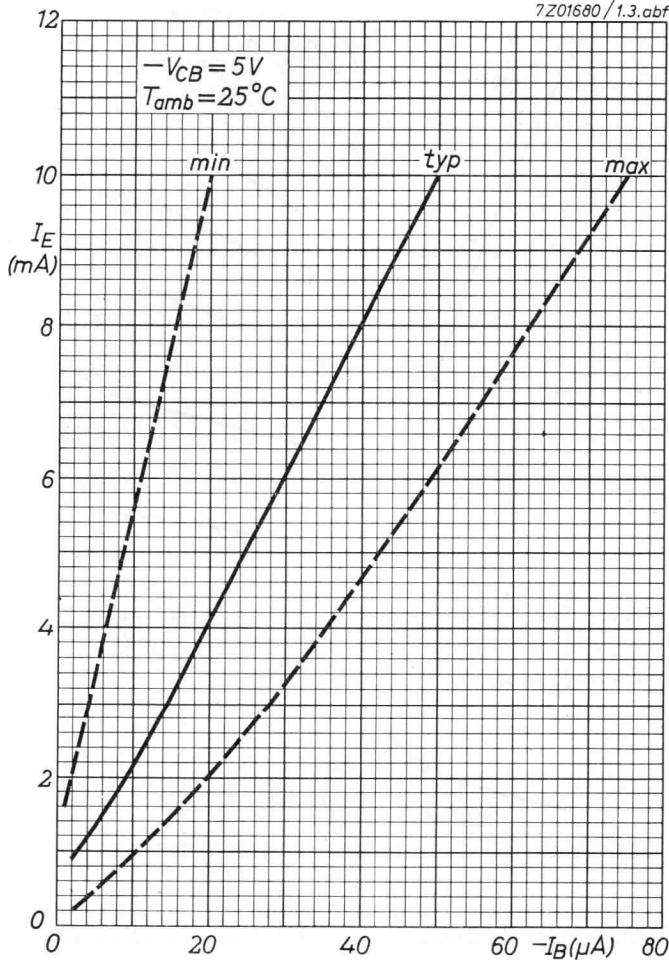
Frequency $f = 1\text{ kc/s}$

| | | |
|------------------------------|-------------------------------------|--|
| Input impedance | $h_{ie} = 2.4\text{ k}\Omega$ | $> 1.7\text{ k}\Omega$ $< 3.8\text{ k}\Omega$ |
| Voltage feedback ratio | $h_{re} = 8 \times 10^{-4}$ | $< 13 \times 10^{-4}$ |
| Current amplification factor | $h_{fe} = 180$ | > 130 < 300 |
| Output admittance | $h_{oe} = 100\text{ }\mu\text{A/V}$ | $< 170\text{ }\mu\text{A/V}$ |



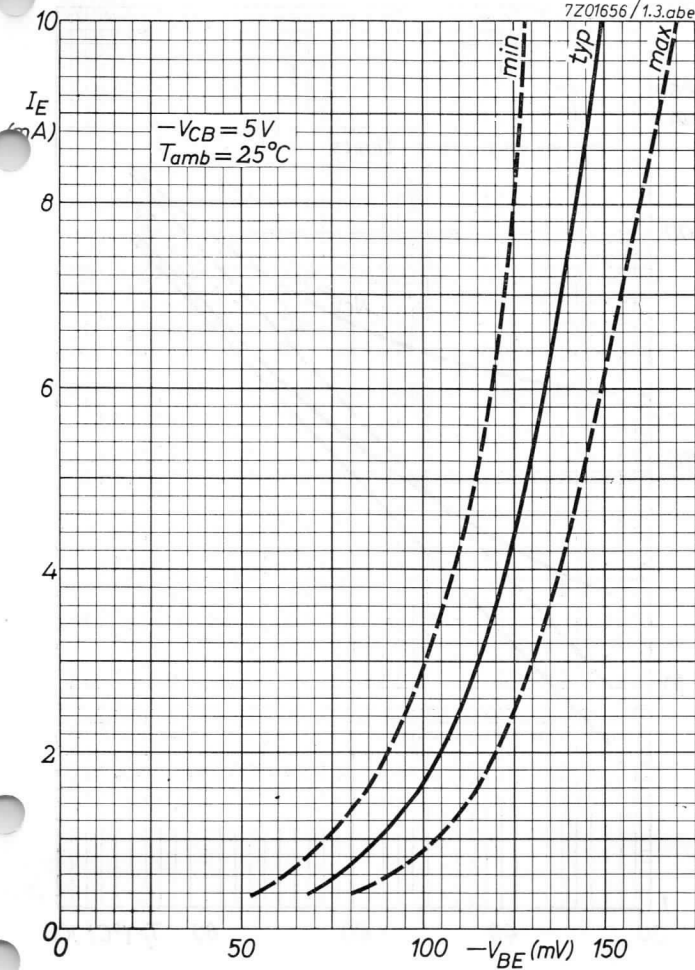
AC126**PHILIPS**

7Z01680/1.3.abf



B

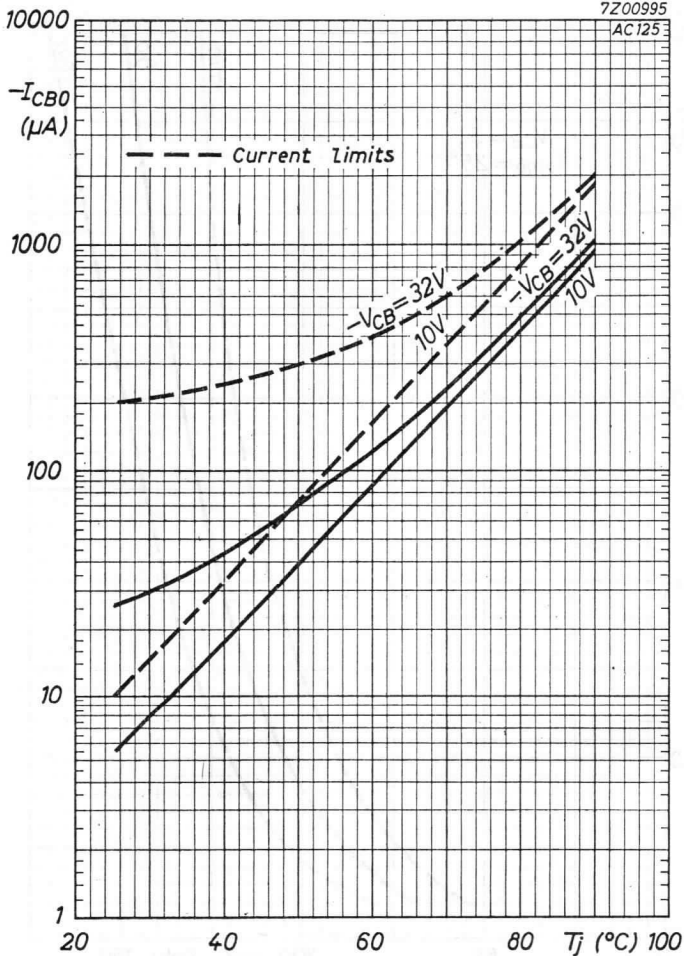
7Z01656/1.3.abe



AC126**PHILIPS**

7Z00995

AC125

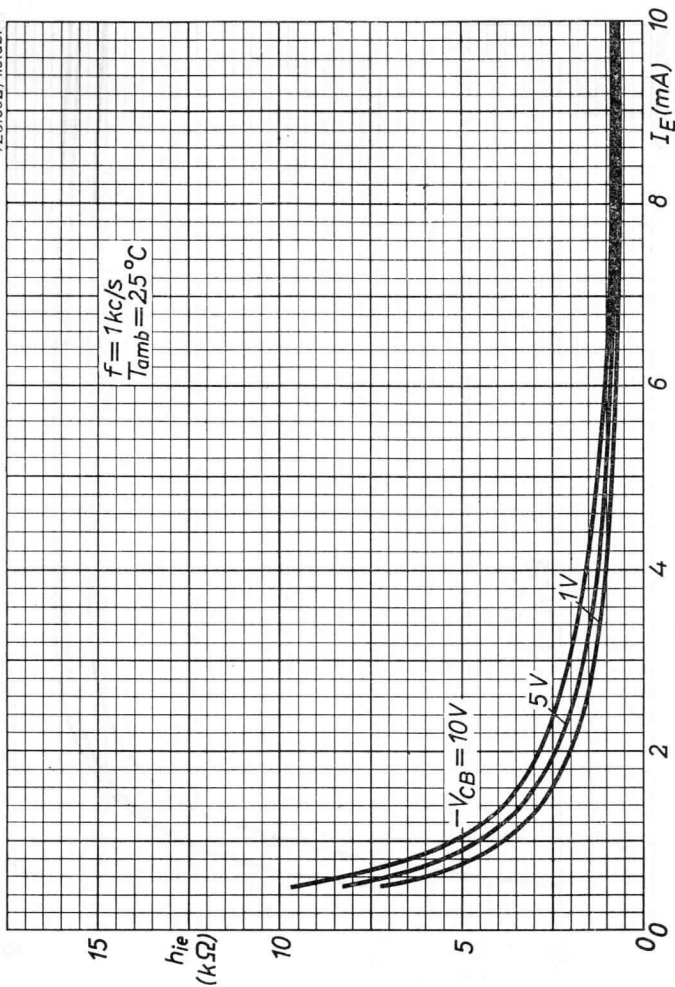


D

PHILIPS

AC126

7Z01682/1.3.abf

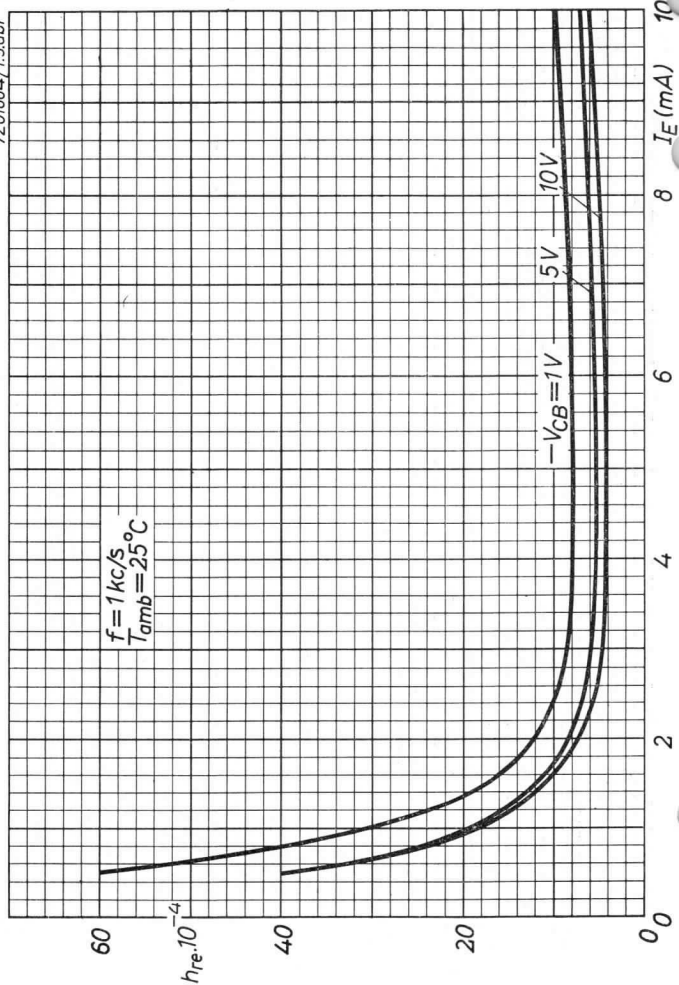


4.4.1963

E

AC126**PHILIPS**

7Z01684/1.3.abf

 I_E (mA)

8

6

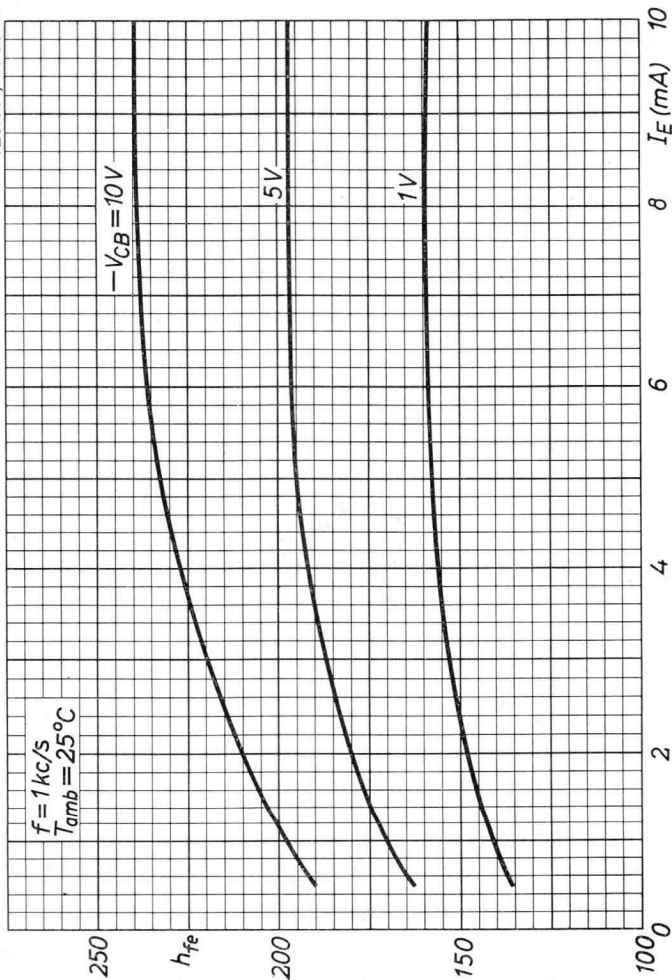
4

2

00

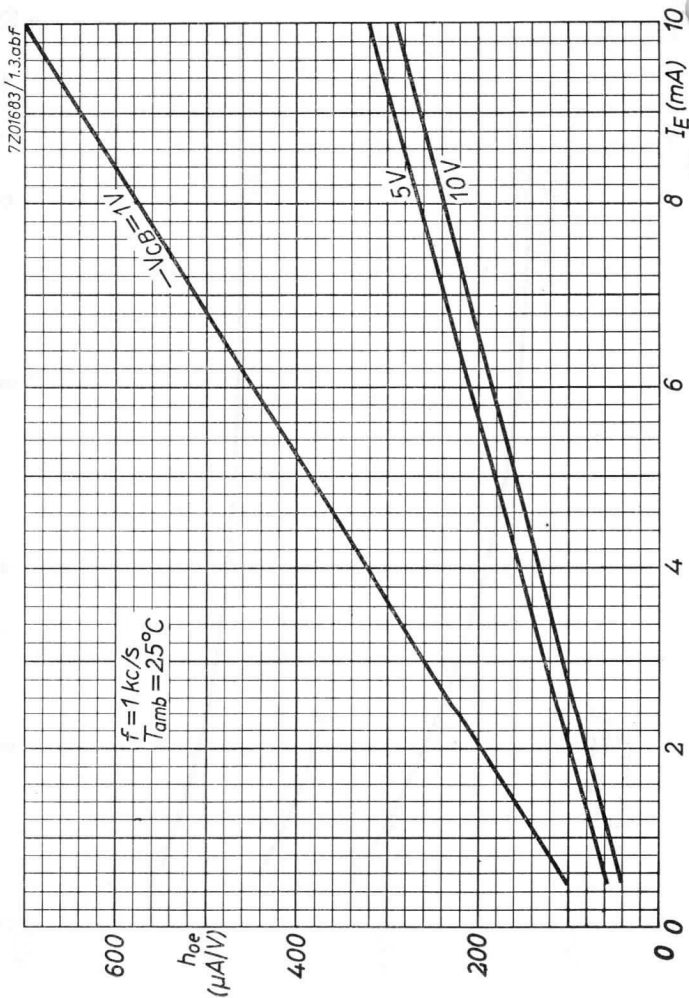
F

7201681/1.3.abf

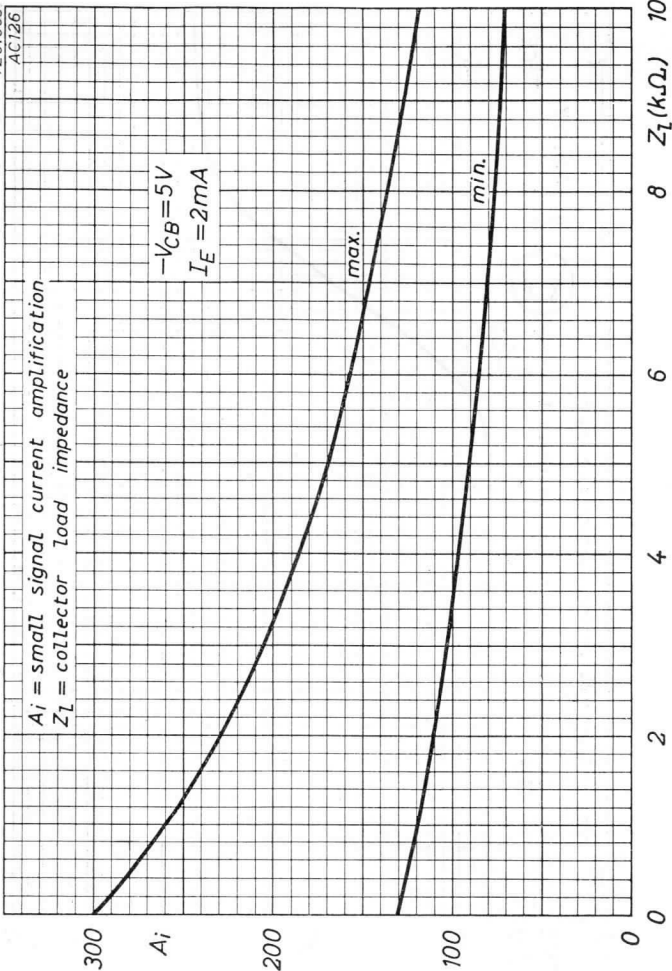


AC126

PHILIPS



7201003

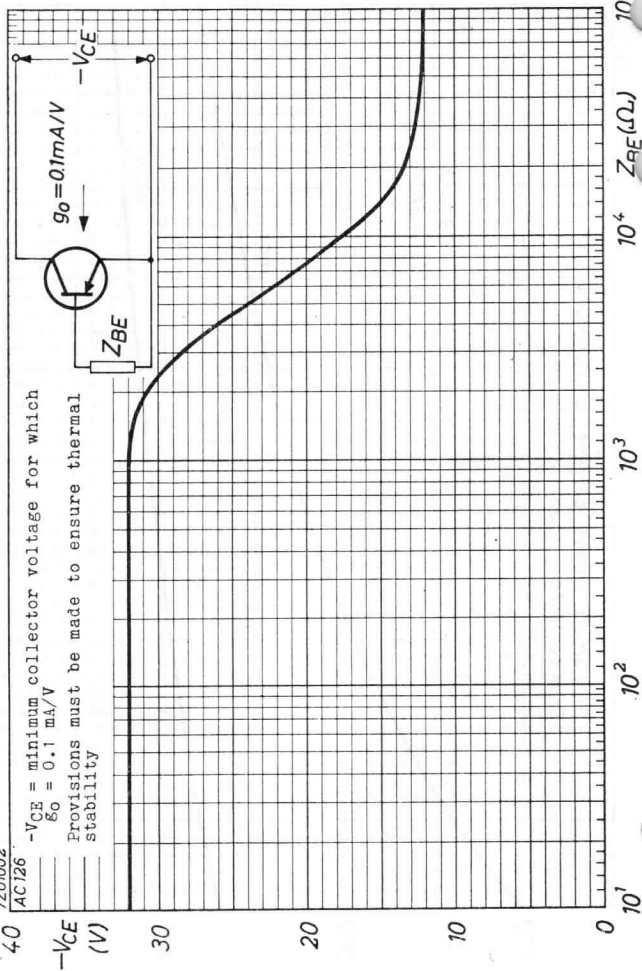


AC126**PHILIPS**

7Z01002

AC126

$-V_{CE}$ = minimum collector voltage for which
 $g_o = 0.1 \text{ mA/V}$
Provisions must be made to ensure thermal
stability



40

 $-V_{CE}$
(V)

30

20

10

0

 10^1 10^2 10^3 10^4 10^5 $Z_{BE} (\Omega)$

High gain n-p-n GERMANIUM ALLOY JUNCTION TRANSISTOR, especially intended for operation in complementary symmetrical class B output stages in combination with type AC132

LIMITING VALUES (Absolute max. values)

Collector

| | | |
|--|------------------------|--------|
| Voltage (base reference) | $V_{CB} = \text{max.}$ | 32 V |
| Voltage (emitter reference) (See also page G) | $V_{CE} = \text{max.}$ | 32 V |
| Current | $I_C = \text{max.}$ | 300 mA |

Emitter

| | | |
|--------------------------|------------------------|------|
| Voltage (base reference) | $V_{EB} = \text{max.}$ | 10 V |
|--------------------------|------------------------|------|

Base

| | | |
|---------|---------------------|-------|
| Current | $I_B = \text{max.}$ | 15 mA |
|---------|---------------------|-------|

Dissipation

| | | |
|-------------------|--------------------------------|--------|
| Total dissipation | $P_{\text{tot}} = \text{max.}$ | 280 mW |
|-------------------|--------------------------------|--------|

Temperatures

| | | |
|--|--|-----------------------|
| Storage temperature | $T_S = -55^{\circ}\text{C}$ to $+75^{\circ}\text{C}$ | |
| Junction temperature Continuous operation | $T_j = \text{max.}$ | 90 $^{\circ}\text{C}$ |

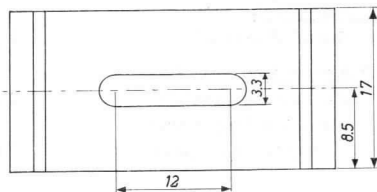
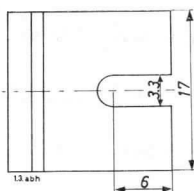
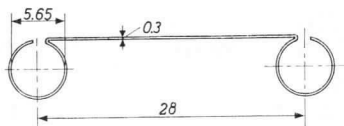
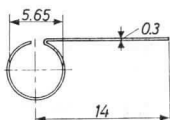
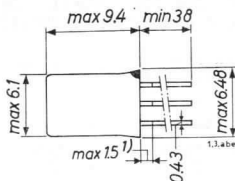
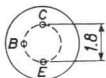
THERMAL DATA

| | | |
|---|----------------------------------|-----------------------------------|
| Thermal resistance from junction to ambience in free air | $K_{j\text{-amb}} = \text{max.}$ | 0.37 $^{\circ}\text{C}/\text{mW}$ |
| Thermal resistance from junction to ambience with cooling fin mounted on a heat sink of at least 12.5 cm ² | $K_{j\text{-amb}} = \text{max.}$ | 0.16 $^{\circ}\text{C}/\text{mW}$ |
| Thermal resistance from junction to case | $K_{j\text{-c}} = \text{max.}$ | 0.11 $^{\circ}\text{C}/\text{mW}$ |

AC127**PHILIPS**

Dimensions in mm

The blue dot indicates the collector side



Cooling fin 56227

Cooling fin 56226

CHARACTERISTICS at $T_{amb} = 25\text{ }^{\circ}\text{C}$

Collector-base leakage current

$$I_{CBO} (V_{CB} = 0.5\text{ V}; I_E = 0\text{ mA}) < 10\text{ }\mu\text{A}$$

Collector base voltage

$$V_{CB} (I_C = 500\text{ }\mu\text{A}; V_{BE} = 0\text{ V}) > 32\text{ V}$$

Emitter-base voltage

$$V_{EB} (I_E = 200\text{ }\mu\text{A}; I_C = 0\text{ mA}) > 10\text{ V}$$

¹⁾ Not tinned

CHARACTERISTICS RANGE VALUES FOR EQUIPMENT DESIGN

$T_{amb} = 25\text{ }^{\circ}\text{C}$ unless otherwise specified

Collector-base leakage current

I_{CBO} See page F

Emitter-base leakage current

$I_{EBO} \left\{ \begin{array}{l} V_{EB} = 5\text{ V}; I_C = 0\text{ mA} \\ T_j = 75\text{ }^{\circ}\text{C} \end{array} \right\} < 550\text{ }\mu\text{A}$

Large signal current amplification factor $\frac{I_C - I_{CBO}}{I_B + I_{CBO}}$
(See also page D)

$h_{FE} (V_{CB} = 0\text{ V}; -I_E = 20\text{ mA}) = 120$

$h_{FE} (V_{CB} = 0\text{ V}; -I_E = 50\text{ mA}) = 115$

$h_{FE} (V_{CB} = 0\text{ V}; -I_E = 200\text{ mA}) = 90$

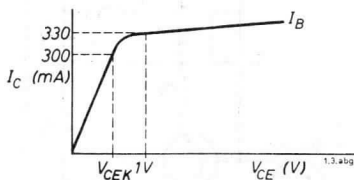
$h_{FE} (V_{CB} = 0\text{ V}; -I_E = 300\text{ mA}) = 75$

Base voltage (See also page E)

$V_{BE} (V_{CB} = 5\text{ V}; -I_E = 2\text{ mA}) = 120\text{ mV}$

$V_{BE} (V_{CB} = 0\text{ V}; -I_E = 300\text{ mA}) < 800\text{ mV}$

Collector knee voltage



$V_{CEK} \left\{ \begin{array}{l} I_C = 300\text{ mA}; I_B = \text{value} \\ \text{at which } I_C = 300\text{ mA} \\ \text{when } V_{CE} = 1\text{ V} \end{array} \right\} < 500\text{ mV}$

Frequency at which $|h_{fe}| = 1$

$f_1 (V_{CB} = 2\text{ V}; -I_E = 10\text{ mA}) = 2.5\text{ Mc/s} > 1.5\text{ Mc/s}$

Common emitter cut-off frequency

$f_{ae} (V_{CB} = 2\text{ V}; -I_E = 10\text{ mA}) = 20\text{ kc/s} > 10\text{ kc/s}$

CHARACTERISTICS RANGE VALUES FOR EQUIPMENT DESIGN (continued)

Intrinsic base impedance

 $T_{amb} = 25\text{ }^{\circ}\text{C}$

$$|z_{rb}| \left\{ \begin{array}{l} V_{CB} = 5\text{ V}; -I_E = 1\text{ mA} \\ f = 0.45\text{ Mc/s} \end{array} \right\} = 70\ \Omega$$

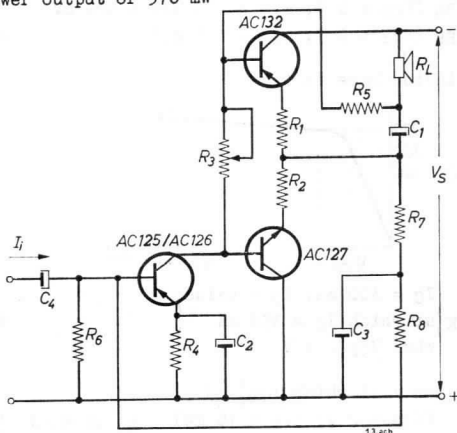
Collector depletion capacitance

$$c_c \left\{ \begin{array}{l} V_{CB} = 5\text{ V}; -I_E = 0\text{ mA} \\ f = 0.45\text{ Mc/s} \end{array} \right\} = 70\text{ pF}$$

Noise figure

$$F \left\{ \begin{array}{l} V_{CB} = 5\text{ V}; -I_E = 0.5\text{ mA} \\ f = 1\text{ kc/s}; B = 200\text{ c/s} \\ \text{Input source resistance} \\ = 500\ \Omega \end{array} \right\} = 4\text{ dB} < 10\text{ dB}$$

OPERATING CHARACTERISTICS at $T_{amb} = 25\text{ }^{\circ}\text{C}$ of a matched pair AC127/AC132 as class B complementary symmetrical amplifier with a power output of 370 mW



Stable continuous operation is ensured up to $T_{amb} = 45\text{ }^{\circ}\text{C}$
 For the 370 mW circuit each transistor should be mounted with a cooling fin

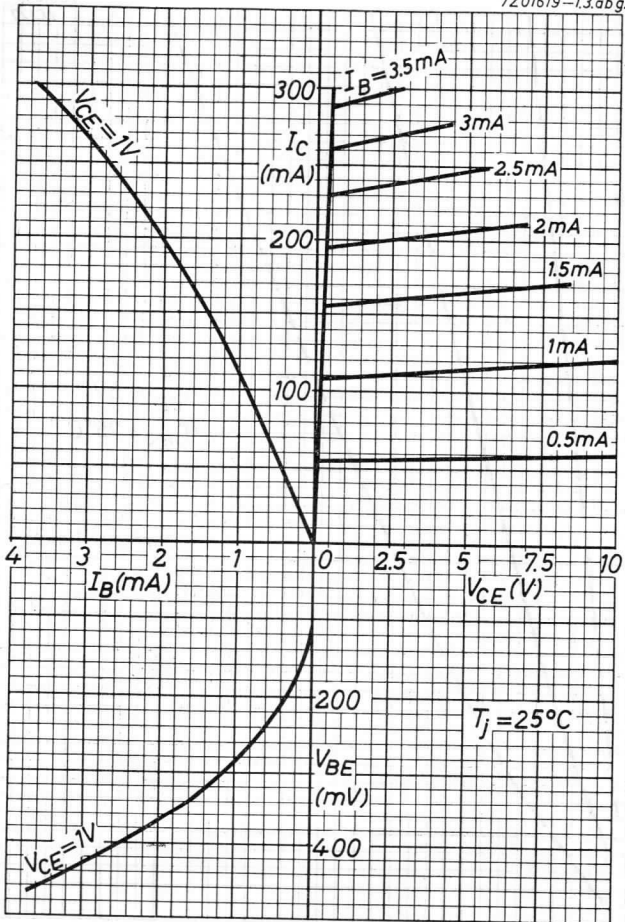
(See further page 5)

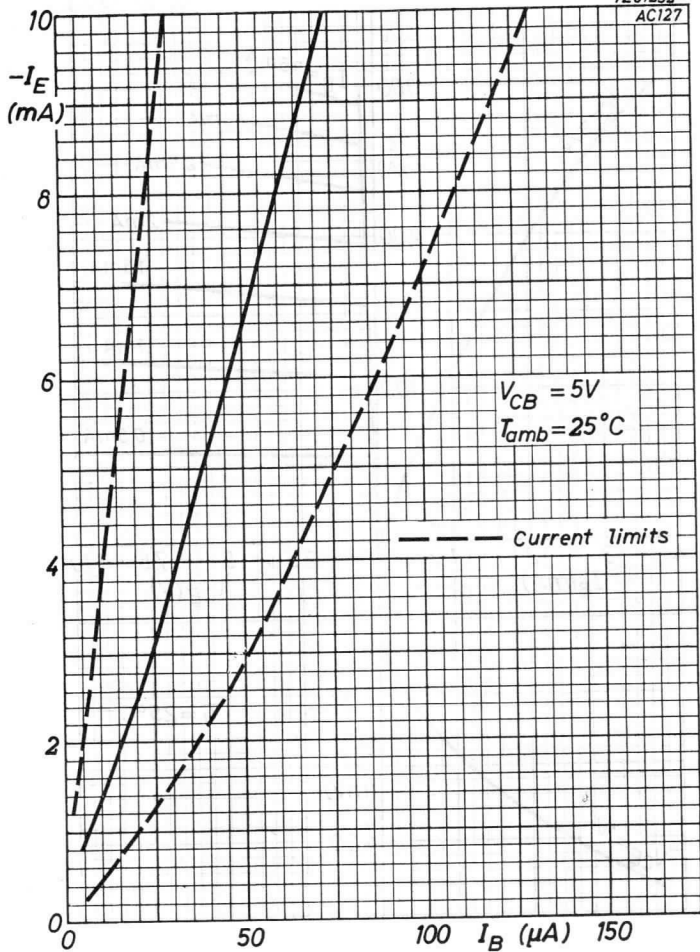
OPERATING CHARACTERISTICS (continued)

The ratio of the large current amplification factors of a matched pair AC127/AC132 at $|I_E| = 50$ mA and $V_{CB} = 0$ V is typical 1.1 and maximum 1.25

| | | I | II | III |
|--|-----------------------|------------|------|--------------------|
| Supply voltage | $V_S =$ | 6 | 9 | 9 V |
| Power output (at $d = 10\%$) | $P_O =$ | 115 | 110 | 370 mW |
| | $P_O = \text{min.}$ | 105 | 100 | 300 mW |
| Distortion | $d =$ | see page H | | |
| <u>Output stage</u> | | | | |
| Zero signal emitter current | $I_{E1} =$ | 2 | 2 | 2 mA |
| | $-I_{E2} =$ | 2 | 2 | 2 mA |
| Emitter resistors | $R_1 =$ | 3.3 | 4.7 | 3.9 Ω |
| | $R_2 =$ | 3.3 | 4.7 | 3.9 Ω |
| Bias resistor | $R_3 = \text{max.}$ | 100 | 250 | 50 Ω |
| Coupling capacitor | $C_1 =$ | 200 | 64 | 320 μF |
| Peak collector current at $P_O = \text{max.}$ | $ I_{CM} =$ | 90 | 50 | 200 mA |
| <u>Driver stage</u> (Tolerances of resistors 5%) | | | | |
| Collector current | $-I_C =$ | 2.7 | 1.2 | 7.6 mA |
| Emitter resistor | $R_4 =$ | 180 | 680 | 82 Ω |
| Collector resistor | $R_5 =$ | 910 | 3300 | 510 Ω |
| Bias resistors | $R_6 =$ | 4.7 | 6.8 | 1.8 k Ω |
| | $R_7 =$ | 3.9 | 4.7 | 2.2 k Ω |
| | $R_8 =$ | 15 | 24 | 6.8 k Ω |
| | Decoupling capacitors | $C_2 =$ | 40 | 25 |
| Coupling capacitor | $C_3 =$ | 25 | 25 | 25 μF |
| | $C_4 =$ | 6.4 | 6.4 | 6.4 μF |
| Input current at $P_O = \text{max.}$ (RMS value) | | | | |
| with AC125 | $I_1 =$ | 20 | 10 | 55 μA |
| with AC126 | $I_1 =$ | 15 | 8 | 40 μA |
| Input current at $P_O = 50$ mW (RMS value) | | | | |
| with AC125 | $I_1 =$ | 11.5 | 6 | 17 μA |
| with AC126 | $I_1 =$ | 9 | 4.5 | 12.5 μA |
| Total harmonic distortion at $P_O = 50$ mW | $d_{\text{tot}} =$ | 2.5 | 3.8 | 2.0 % |

7Z01619-1.3.abg.

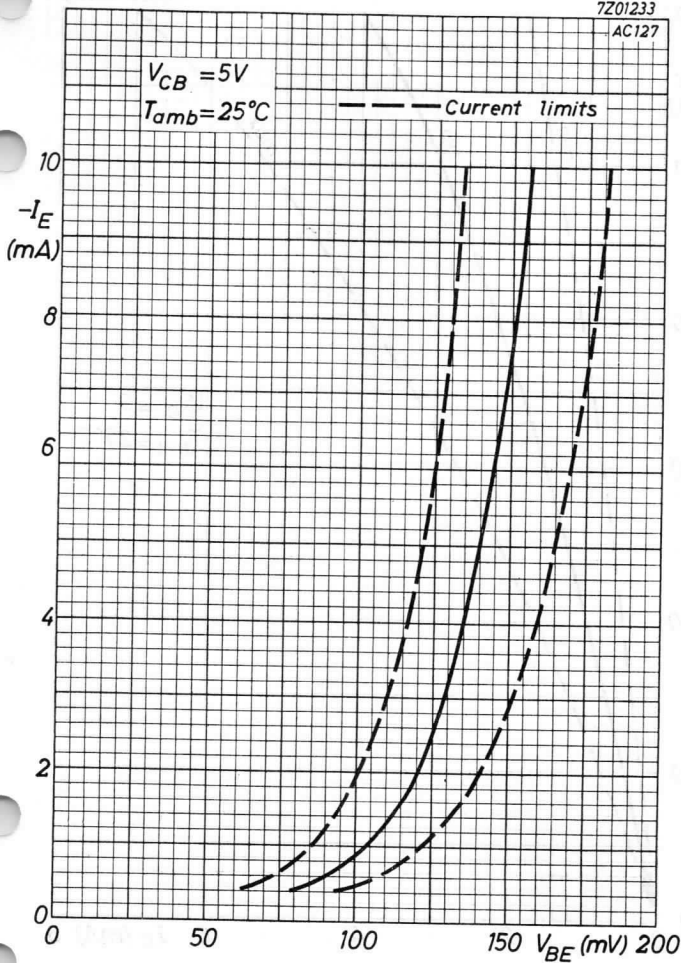


AC127**PHILIPS**7Z01232
AC127 $V_{CB} = 5V$
 $T_{amb} = 25^\circ C$

--- Current limits

7Z01233

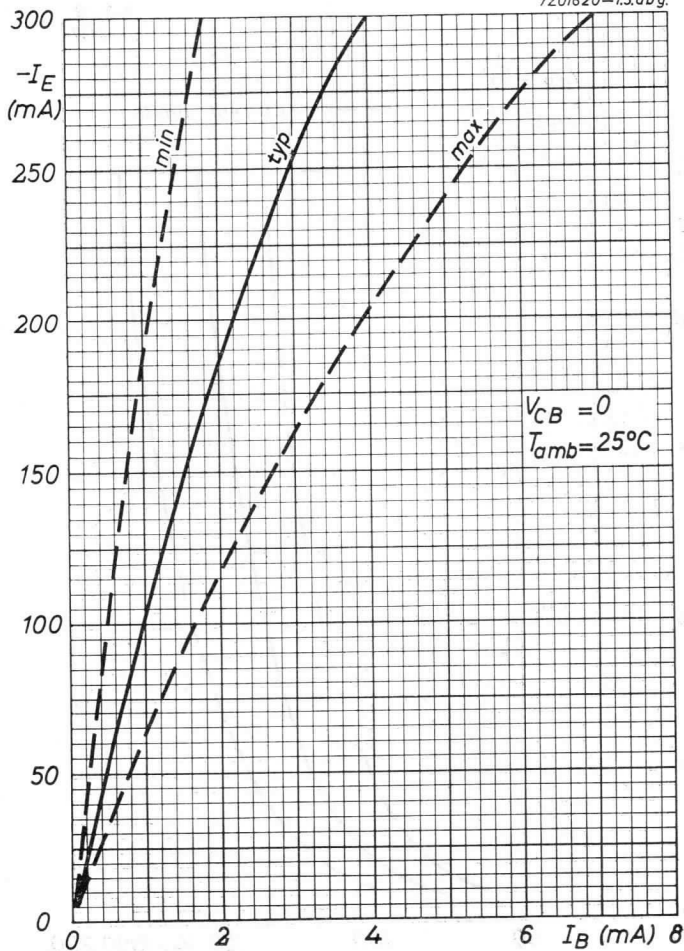
AC127



AC127

PHILIPS

7Z01620-1.3.abg.

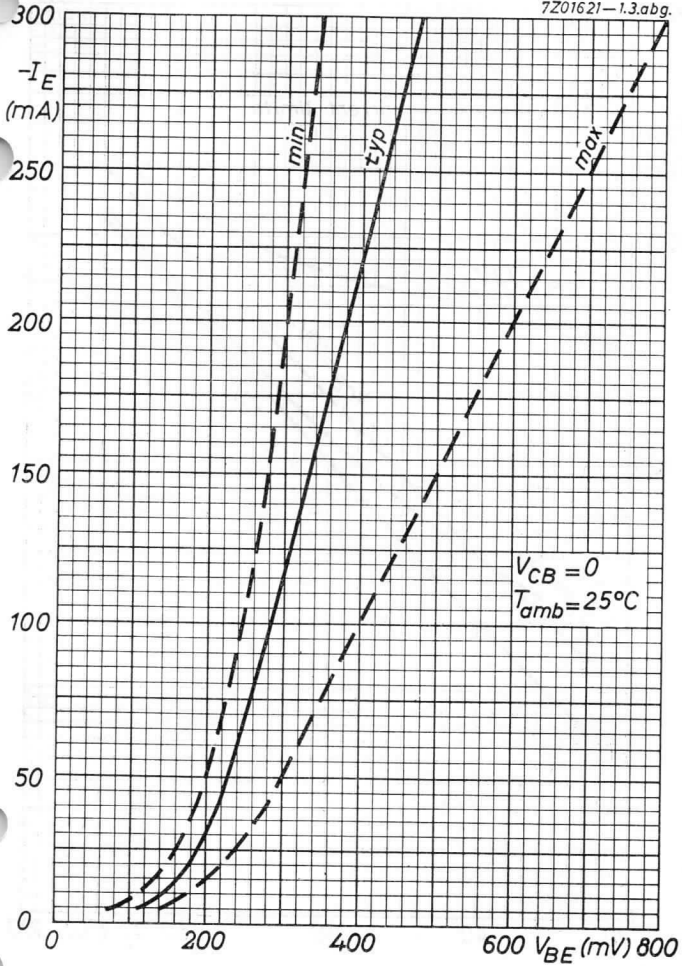


D

PHILIPS

AC127

7Z01621-1.3.abg.



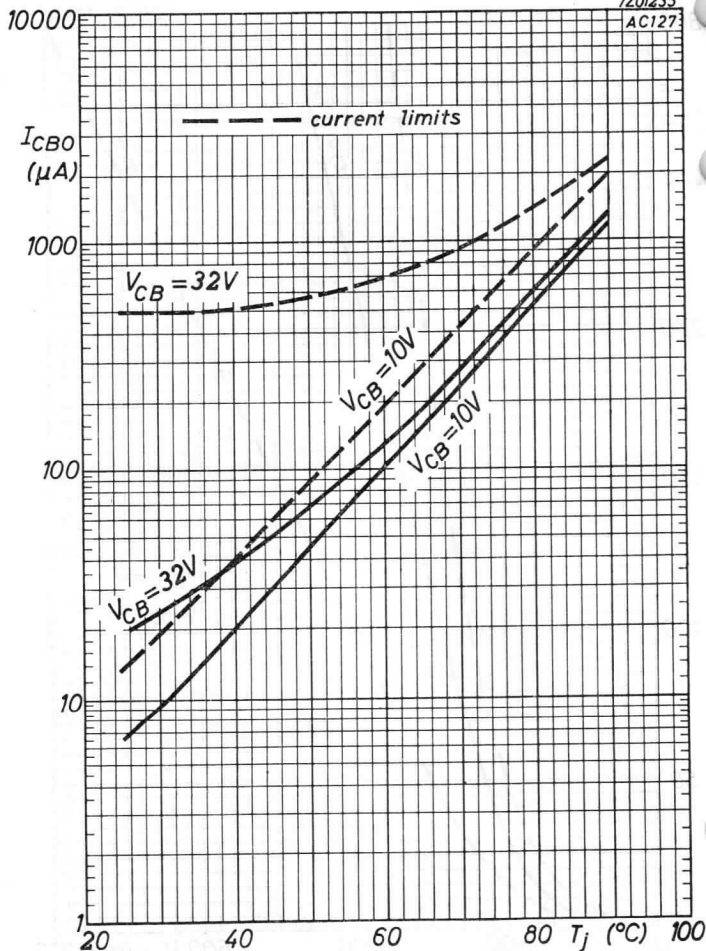
2.2.1963

E

AC127**PHILIPS**

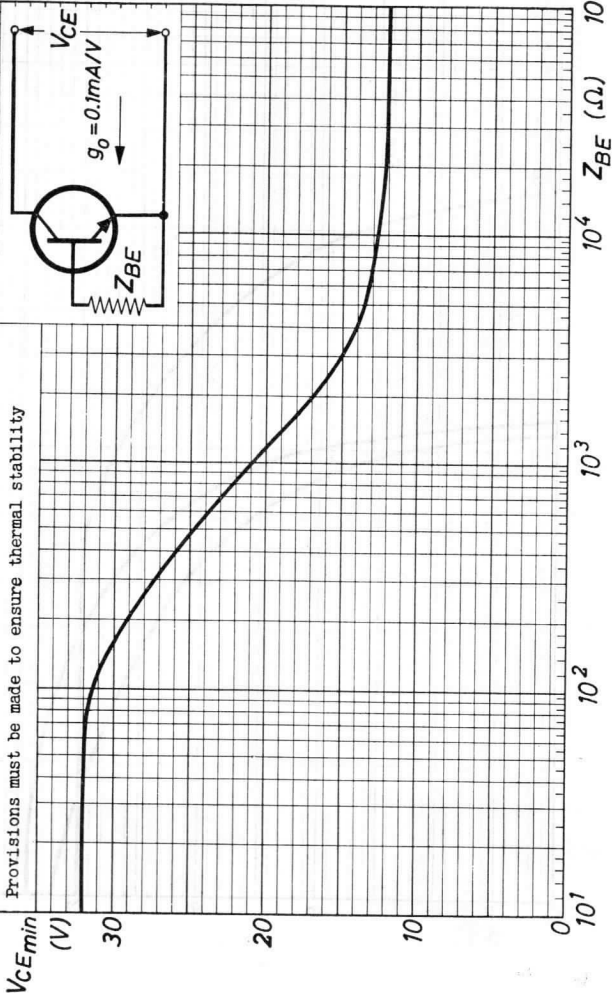
7201235

AC127



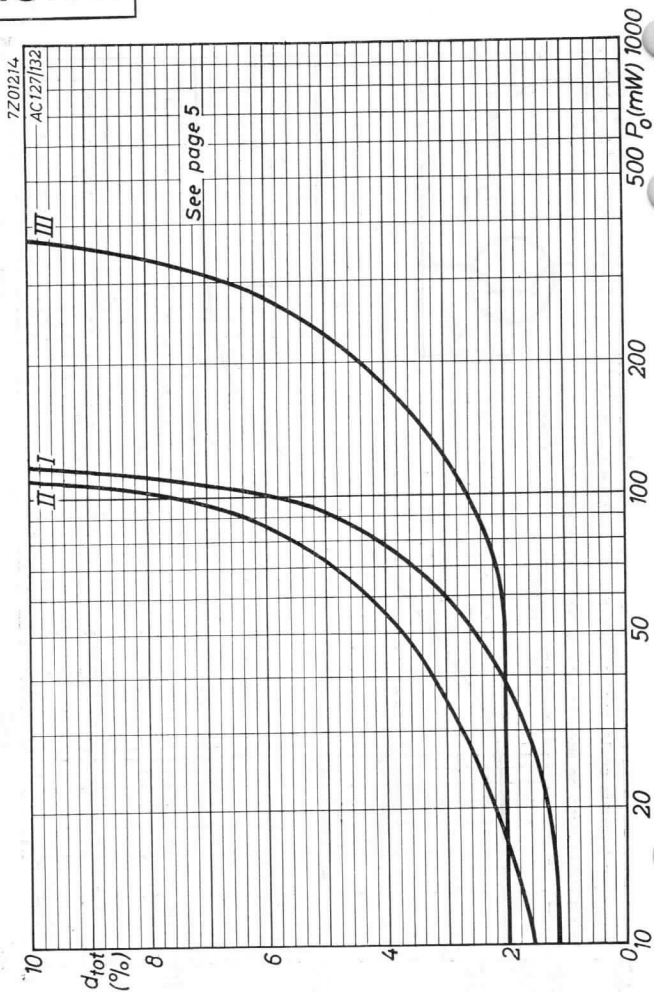
7201230
AC127

V_{CEmin} = minimum collector voltage for which $g_o = 0.1 \text{ mA/V}$
Provisions must be made to ensure thermal stability



AC127

PHILIPS



H

GERMANIUM ALLOY JUNCTION TRANSISTOR of the p-n-p type with high gain in metal envelope for use in class A and class B output stages with battery voltages up to 14 volts and a power output up to 2 watts
 Type 2-AC128 consists of 2 transistors AC128 which are matched to operate in a low distortion class B circuit.

LIMITING VALUES (Absolute max. values)

Collector

Voltage (base reference) $-V_{CB} = \text{max. } 32 \text{ V}$

Voltage (emitter reference)
 (see also page H) $-V_{CE} = \text{max. } 32 \text{ V}$

Current $-I_C = \text{max. } 1 \text{ A}$

Emitter

Voltage (base reference) $-V_{EB} = \text{max. } 10 \text{ V}$

Base

Current $-I_B = \text{max. } 40 \text{ mA}$

Dissipation

Total dissipation $P_{\text{tot}} = \text{max. } 550 \text{ mW}$

Temperatures

Storage temperature $T_S = -55 \text{ }^\circ\text{C to } +75 \text{ }^\circ\text{C}$

Junction temperature $T_j = \text{max. } 90 \text{ }^\circ\text{C}$

THERMAL DATA

Thermal resistance from junction to ambience in free air $K = \text{max. } 0.3 \text{ }^\circ\text{C/mW}$

Thermal resistance from junction to ambience with cooling fin in free air $K = \text{max. } 0.15 \text{ }^\circ\text{C/mW}$

Thermal resistance from junction to ambience with cooling fin mounted on heat sink of at least 12.5 cm^2 $K = \text{max. } 0.09 \text{ }^\circ\text{C/mW}$

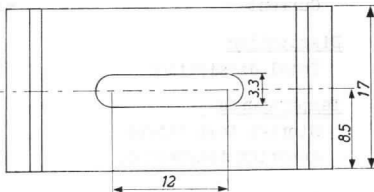
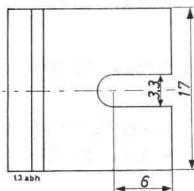
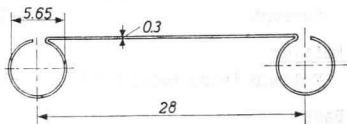
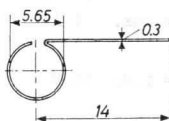
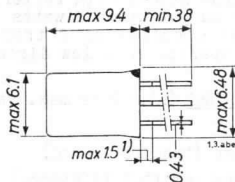
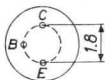
Thermal resistance from junction to case $K = \text{max. } 0.05 \text{ }^\circ\text{C/mW}$

AC128
2-AC128

PHILIPS

Dimensions in mm

The red dot indicates the collector side



Cooling fin 56227

Cooling fin 56226

CHARACTERISTICS at $T_{amb} = 25\text{ }^{\circ}\text{C}$

Collector current at $I_E = 0\text{ mA}$

$-I_{CBO}$ ($-V_{CB} = 10\text{ V}$; $I_E = 0\text{ mA}$) $< 10\text{ }\mu\text{A}$

Collector voltage at $I_E = 0\text{ mA}$

$-V_{CB}$ ($-I_C = 200\text{ }\mu\text{A}$; $I_E = 0\text{ mA}$) $> 32\text{ V}$

Emitter voltage at $I_C = 0\text{ mA}$

$-V_{EB}$ ($-I_E = 200\text{ }\mu\text{A}$; $I_C = 0\text{ mA}$) $> 10\text{ V}$

Base voltage at $V_{CB} = 0\text{ V}$

$-V_{BE}$ ($I_E = 50\text{ mA}$; $V_{CB} = 0\text{ V}$) $< 300\text{ mV}$

$-V_{BE}$ ($I_E = 300\text{ mA}$; $V_{CB} = 0\text{ V}$) $< 450\text{ mV}$

¹⁾ Not tinned

CHARACTERISTICS RANGE VALUES FOR EQUIPMENT DESIGN

$T_{amb} = 25\text{ }^{\circ}\text{C}$ unless otherwise specified

Emitter current at $I_C = 0$

$$-I_{EBO} \left\{ \begin{array}{l} -V_{EB} = 5\text{ V}; I_C = 0\text{ mA} \\ T_j = 75\text{ }^{\circ}\text{C} \end{array} \right\} < 500\text{ }\mu\text{A}$$

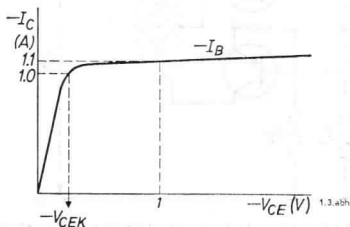
D.C. current amplification factor

$$h_{FE} (I_E = 50\text{ mA}; -V_{CB} = 0\text{ V}) = 90 \begin{array}{l} > 55 \\ < 175 \end{array}$$

$$h_{FE} (I_E = 300\text{ mA}; -V_{CB} = 0\text{ V}) = 90 \begin{array}{l} > 60 \\ < 175 \end{array}$$

$$h_{FE} (I_E = 1\text{ A}; -V_{CB} = 0\text{ V}) = 80 \begin{array}{l} > 45 \\ < 165 \end{array}$$

Collector knee voltage



$$-V_{CEK} \left\{ \begin{array}{l} -I_C = 1\text{ A}; -I_B = \text{value} \\ \text{at which } -I_C = 1.1\text{ A,} \\ \text{when } -V_{CE} = 1\text{ V} \end{array} \right\} < 0.6\text{ V}$$

Frequency at which $|h_{fe}| = 1$

$$f_1 (-V_{CB} = 2\text{ V}; I_E = 10\text{ mA}) = 1.5\text{ Mc/s} > 1.0\text{ Mc/s}$$

Cut-off frequency

$$f_{ae} (-V_{CB} = 2\text{ V}; I_E = 10\text{ mA}) = 15\text{ kc/s} > 10\text{ kc/s}$$

Base resistance

$$r_{bb'} (-V_{CB} = 5\text{ V}; I_E = 1\text{ mA}) = 25\text{ }\Omega$$

Collector capacitance

$$c_c (-V_{CB} = 5\text{ V}; I_E = 0\text{ mA}) = 100\text{ pF}$$

Current gain linearity

$$\lambda_{500} (\text{see curve B page G}) = 0.60 > 0.50$$

AC128 2-AC128

PHILIPS

CHARACTERISTICS RANGE VALUES FOR EQUIPMENT DESIGN (continued)

$T_{amb} = 25^{\circ}C$

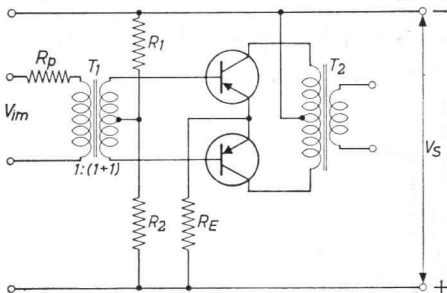
Characteristics of 2-AC128

Ratio of D.C. current amplification factors

$$h_{FE1}/h_{FE2} \quad (-V_{CB} = 0 \text{ V}; I_E = 50 \text{ mA}) = 1.1 < 1.25$$

$$h_{FE1}/h_{FE2} \quad (-V_{CB} = 0 \text{ V}; I_E = 300 \text{ mA}) = 1.1 < 1.25$$

OPERATING CHARACTERISTICS OF A MATCHED PAIR 2-AC128 as class B output amplifier



For providing stability the total resistance in the base circuit of each transistor is less than 100Ω .

The data below (page 5) have been designed for continuous operation up to the ambient temperature specified in the tables. The junction temperature may then be up to $90^{\circ}C$ ($K = 0.09^{\circ}C/mW$)

R_p = input source resistance

For tables see next page

OPERATING CHARACTERISTICS OF A MATCHED PAIR 2-AC128 as class B output amplifier (continued)

| | | | | |
|--------------------------------|--------|---------|---------|----------------------|
| V_S | = | 6 | 9 | 9 V |
| T_{amb} | = max. | 55 | max. 55 | max. 45 °C |
| $I_E (V_1 = 0)$ | = | 2x3 | 2x3 | 2x3 mA |
| R_1 ¹⁾ | = | 2.0 | 2.2 | 3.5 ²⁾ kΩ |
| R_2 ¹⁾ | = | 47 | 39 | ³⁾ Ω |
| R_E | = | 2.2 | 3.9 | 1.5 Ω |
| R_p | = | 1.5 | 1.5 | 1.0 kΩ |
| R_{cc} | = | 65 | 98 | 62 Ω |
| P_C max. ⁴⁾ | = | 2x0.425 | 2x0.65 | 2x1.05 W |
| P_O max. ⁵⁾ | = | 0.75 | 1.1 | 1.9 W |
| $-I_{CM}(P_O = \text{max.})$ | = | 300 | 300 | 500 mA |
| $-I_C (P_O = \text{max.})$ | = | 2x95 | 2x95 | 2x150 mA |
| $V_{im}(P_O = \text{max.})$ | = | 5.5 | 6.0 | 6.5 V ⁶⁾ |
| $d_{tot}(P_O = \text{max.})$ | = | 3.5 | 4.0 | 5.5 % |
| $V_{im}(P_O = 50 \text{ mW})$ | = | 1.6 | 1.4 | 1.1 V ⁶⁾ |
| $d_{tot}(P_O = 50 \text{ mW})$ | = | 2.0 | 2.0 | 2.5 % |

1) Tolerance of the bias resistors 5%

2) Variable resistor

3) This resistance is composed of a 68 Ω resistor in parallel with a 130 Ω NTC resistor (code no. E201 BC/A 130 E)

4) Output power of two transistors

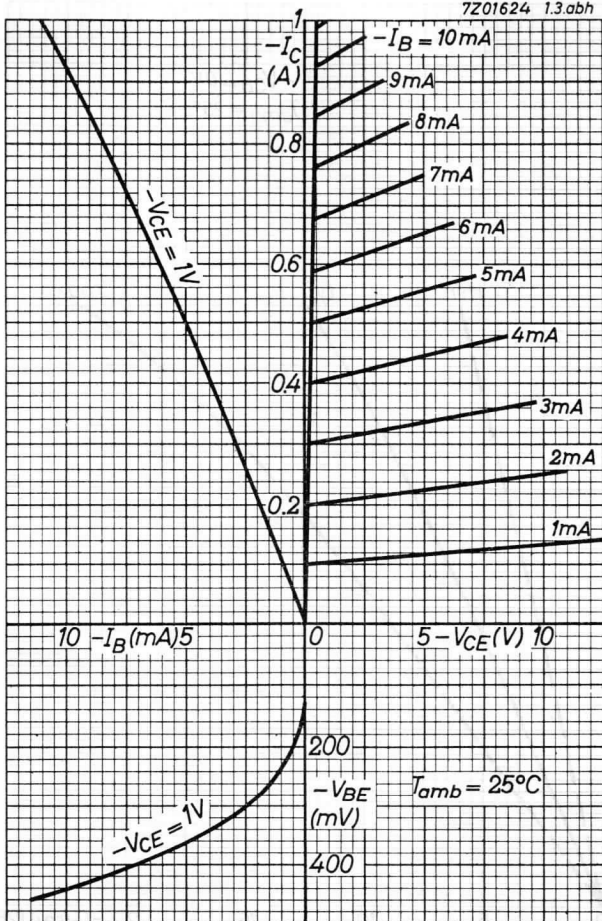
5) Power delivered to the primary of the output transformer

6) Losses in the driver transformer are not taken into account

PHILIPS

AC128 2-AC128

7Z01624 1.3.abh



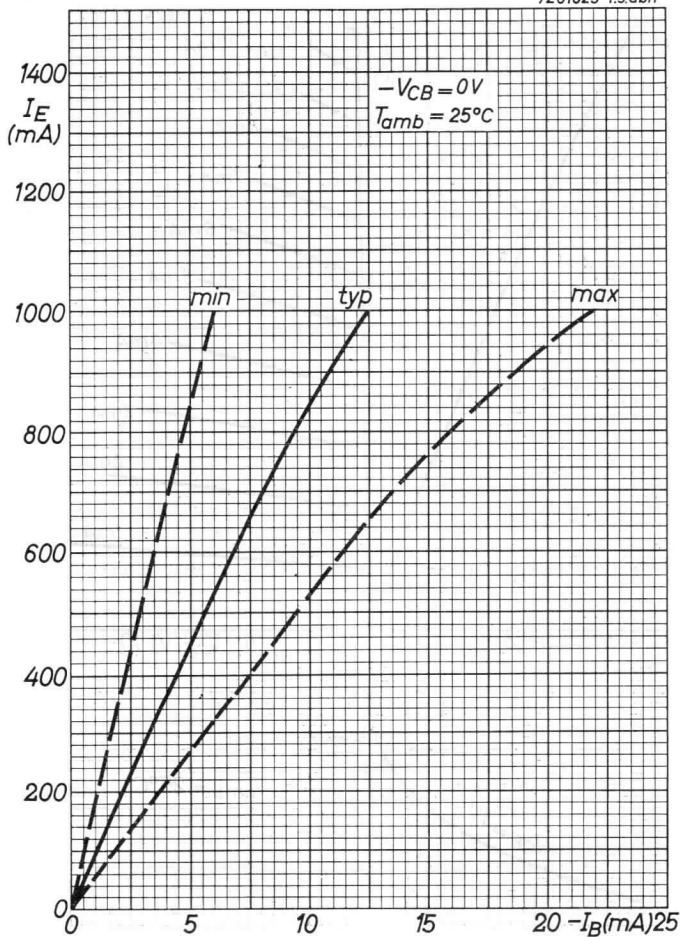
4.4.1963

A

87 AC128
2-AC128

PHILIPS

7Z01625 1.3.abh



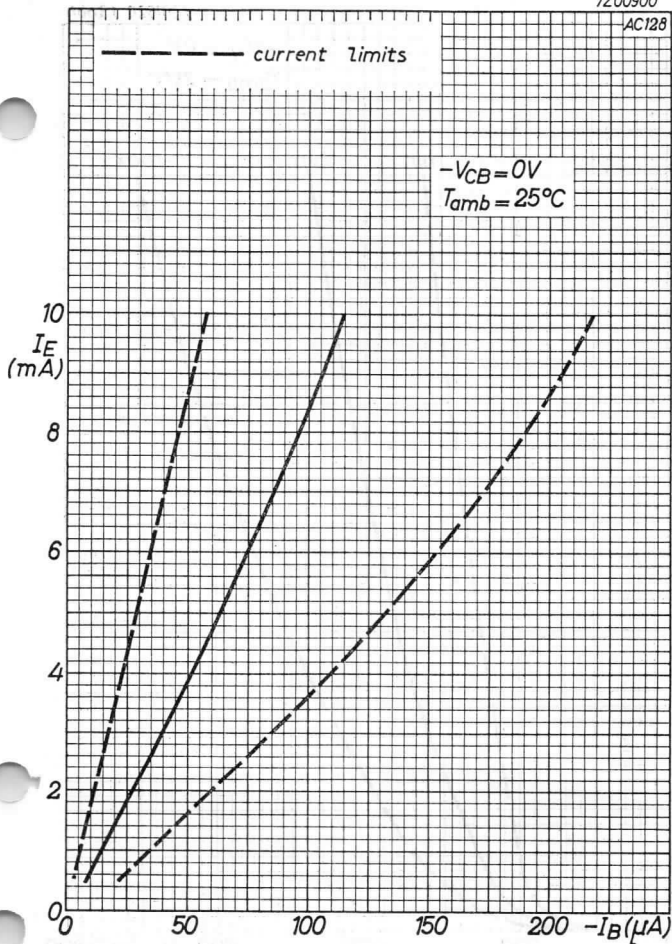
B

PHILIPS

AC128 2-AC128

7Z00900

AC128



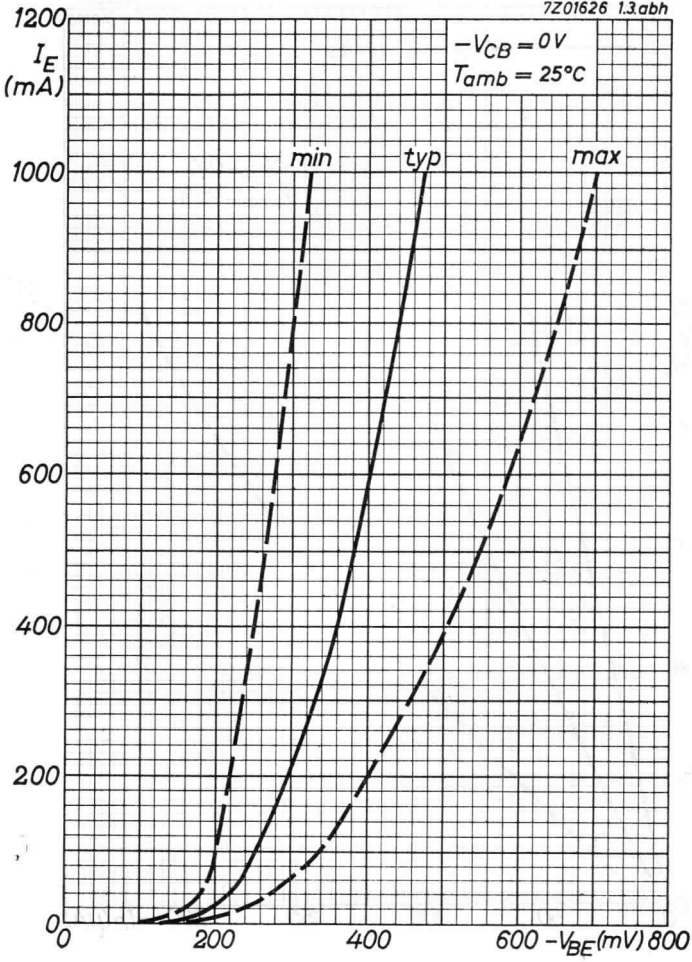
4.4.1963

C

AC128
2-AC128

PHILIPS

7Z01626 1.3abh



PHILIPS

AC128 2-AC128

7Z00901

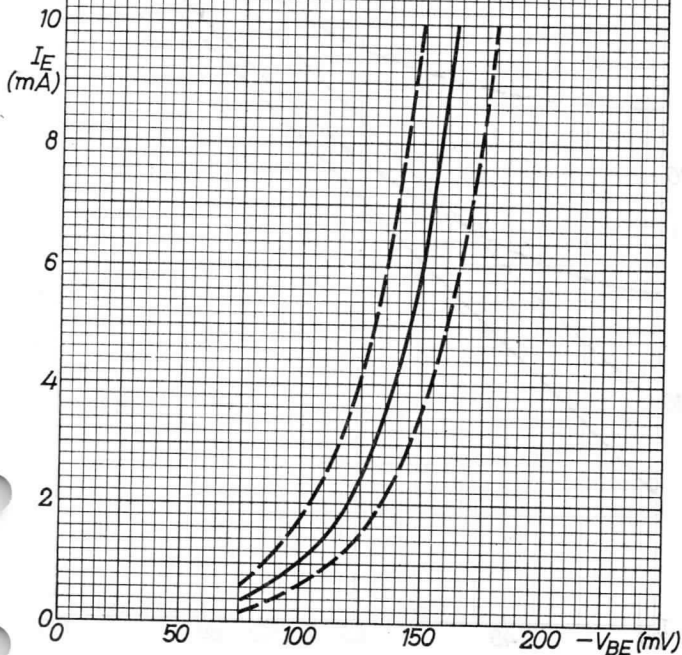
$-V_{BE}$ decreases with about 2.3 mV/°C with increasing temperature

$-V_{BE}$ decreases with about 0.4 mV/V with increasing collector to emitter voltage

AC128

 $-V_{CB} = 0V$ $T_{amb} = 25^{\circ}C$

--- Voltage limits



5.5.1962

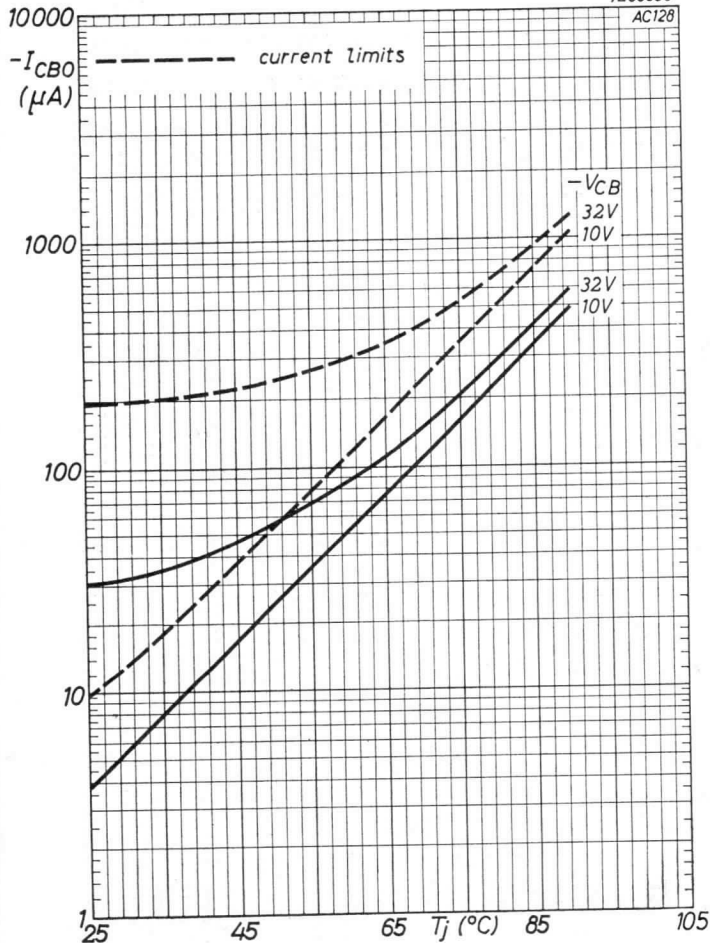
E

AC128 2-AC128

PHILIPS

7200898

AC128



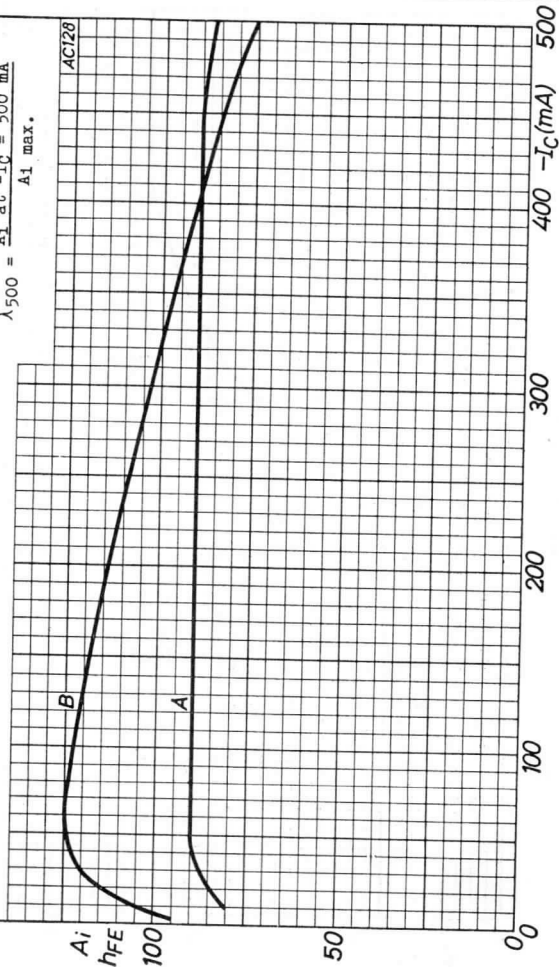
7Z00899

Curve A: Large signal current amplification factor (h_{FE}) as a function of the collector current ($-I_C$) at $-V_{CE} = 1$ V

Curve B: Small signal current amplification (A_i) as a function of the collector current ($-I_C$) with sliding collector-emitter voltage at a battery voltage of 10 volts and a load resistance of 16 ohms

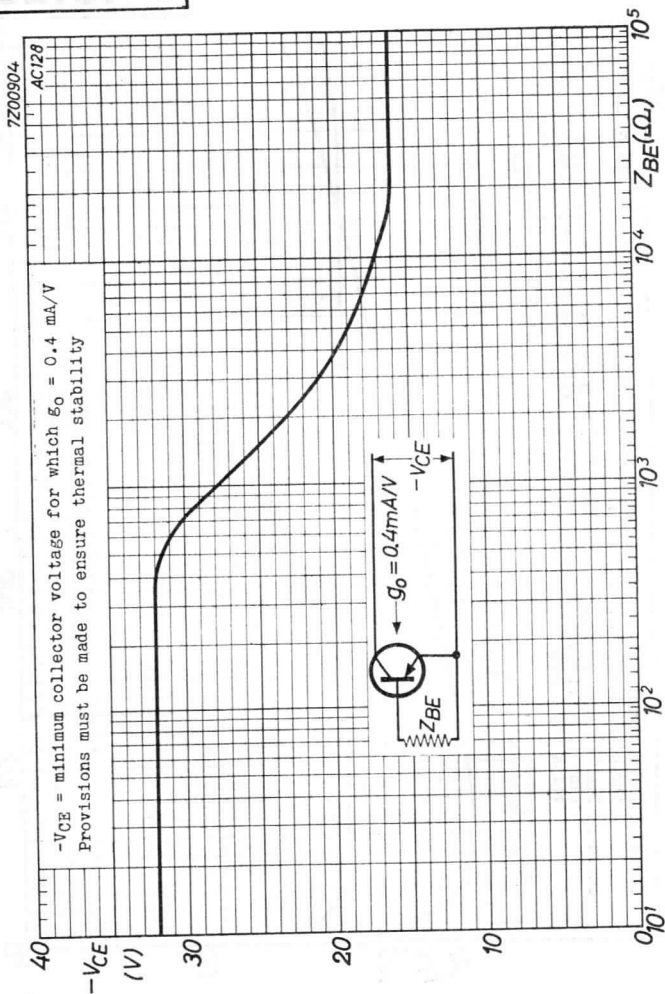
$$\lambda_{500} = \frac{A_i}{A_1} \text{ at } -I_C = 500 \text{ mA}$$

$A_1 \text{ max.}$



AC128
2-AC128

PHILIPS



High gain p-n-p GERMANIUM ALLOY JUNCTION TRANSISTOR, especially intended for operation in complementary symmetrical class B output stages in combination with type AC127

LIMITING VALUES (Absolute max. values)

Collector

| | | |
|--|-------------------------|--------|
| Voltage (base reference) | $-V_{CB} = \text{max.}$ | 32 V |
| Voltage (emitter reference) (See also page G) | $-V_{CE} = \text{max.}$ | 32 V |
| Current | $-I_C = \text{max.}$ | 200 mA |

Emitter

| | | |
|--------------------------|-------------------------|------|
| Voltage (base reference) | $-V_{EB} = \text{max.}$ | 10 V |
|--------------------------|-------------------------|------|

Base

| | | |
|---------|----------------------|-------|
| Current | $-I_B = \text{max.}$ | 10 mA |
|---------|----------------------|-------|

Dissipation

| | | |
|-------------------|--------------------------------|--------|
| Total dissipation | $P_{\text{tot}} = \text{max.}$ | 500 mW |
|-------------------|--------------------------------|--------|

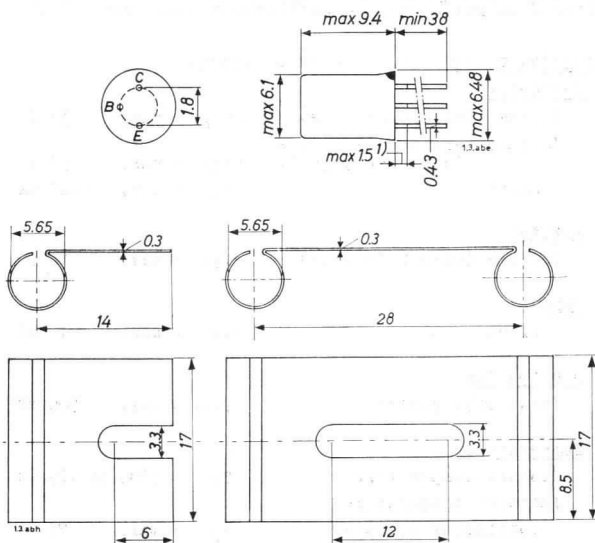
Temperatures

| | |
|------------------------|--|
| Storage temperature | $T_S = -55^{\circ}\text{C}$ to $+75^{\circ}\text{C}$ |
| Junction temperature | |
| Continuous operation | $T_j = \text{max.}$ 75 $^{\circ}\text{C}$ |
| Intermittent operation | $T_j = \text{max.}$ 90 $^{\circ}\text{C}$ |
| Total duration | $t = \text{max.}$ 200 hours |

THERMAL DATA

| | |
|---|--|
| Thermal resistance from junction to ambience in free air | $K_{j-\text{amb}} = \text{max.}$ 0.3 $^{\circ}\text{C}/\text{mW}$ |
| Thermal resistance from junction to ambience with cooling fin mounted on a heat sink of at least 12.5 cm ² | $K_{j-\text{amb}} = \text{max.}$ 0.09 $^{\circ}\text{C}/\text{mW}$ |
| Thermal resistance from junction to case | $K_{j-c} = \text{max.}$ 0.05 $^{\circ}\text{C}/\text{mW}$ |

Dimensions in mm

The red dot indicates
the collector side

Cooling fin 56227

Cooling fin 56226

CHARACTERISTICS at $T_{amb} = 25\text{ }^{\circ}\text{C}$

Collector-base leakage current

$$-I_{CBO} (-V_{CB} = 0.5\text{ V}; I_E = 0\text{ mA}) < 10\text{ }\mu\text{A}$$

Collector-base voltage

$$-V_{CB} (-I_C = 500\text{ }\mu\text{A}; V_{BE} = 0\text{ V}) > 32\text{ V}$$

Emitter-base voltage

$$-V_{EB} (-I_E = 200\text{ }\mu\text{A}; I_C = 0\text{ mA}) > 10\text{ V}$$

1) Not tinned

CHARACTERISTICS RANGE VALUES FOR EQUIPMENT DESIGN

$T_{amb} = 25\text{ }^{\circ}\text{C}$ unless otherwise specified

Collector-base leakage current

$-I_{CBO}$ See page F

Emitter-base leakage current

$-I_{EBO} \left\{ \begin{array}{l} -V_{EB} = 5\text{ V}; I_C = 0\text{ mA} \\ T_j = 75\text{ }^{\circ}\text{C} \end{array} \right\} < 550\text{ }\mu\text{A}$

Large signal current amplification factor

$$\frac{I_C - I_{CBO}}{I_B + I_{CBO}}$$

$h_{FE} (V_{CB} = 0\text{ V}; I_E = 20\text{ mA}) = 135$

$h_{FE} (V_{CB} = 0\text{ V}; I_E = 50\text{ mA}) = 115$

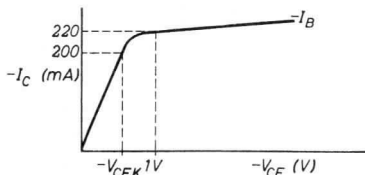
$h_{FE} (V_{CB} = 0\text{ V}; I_E = 200\text{ mA}) = 70$

Base voltage

$-V_{BE} (-V_{CB} = 5\text{ V}; I_E = 2\text{ mA}) = 105\text{ mV}$

$-V_{BE} (V_{CB} = 0\text{ V}; I_E = 200\text{ mA}) < 550\text{ mV}$

Collector knee voltage



$-V_{CEK} \left\{ \begin{array}{l} -I_C = 200\text{ mA}; -I_B = \text{value} \\ \text{at which } -I_C = 220\text{ mA} \\ \text{when } -V_{CE} = 1\text{ V} \end{array} \right\} < 350\text{ mV}$

Frequency at which $|h_{fe}| = 1$

$f_1 (-V_{CB} = 2\text{ V}; I_E = 10\text{ mA}) = 2.0\text{ Mc/s} > 1.3\text{ Mc/s}$

Common emitter cut-off frequency

$f_{ae} (-V_{CB} = 2\text{ V}; I_E = 10\text{ mA}) = 17\text{ kc/s} > 10\text{ kc/s}$

Intrinsic base impedance

$|z_{rb}| \left\{ \begin{array}{l} -V_{CB} = 5\text{ V}; I_E = 1\text{ mA} \\ f = 0.45\text{ Mc/s} \end{array} \right\} = 90\text{ }\Omega$

CHARACTERISTICS RANGE VALUES FOR EQUIPMENT DESIGN (continued) $T_{amb} = 25^{\circ}\text{C}$

Collector depletion capacitance

$$c_c \left\{ \begin{array}{l} -V_{CB} = 5 \text{ V}; I_E = 0 \text{ mA} \\ f = 0.45 \text{ Mc/s} \end{array} \right\} = 40 \text{ pF}$$

Noise figure

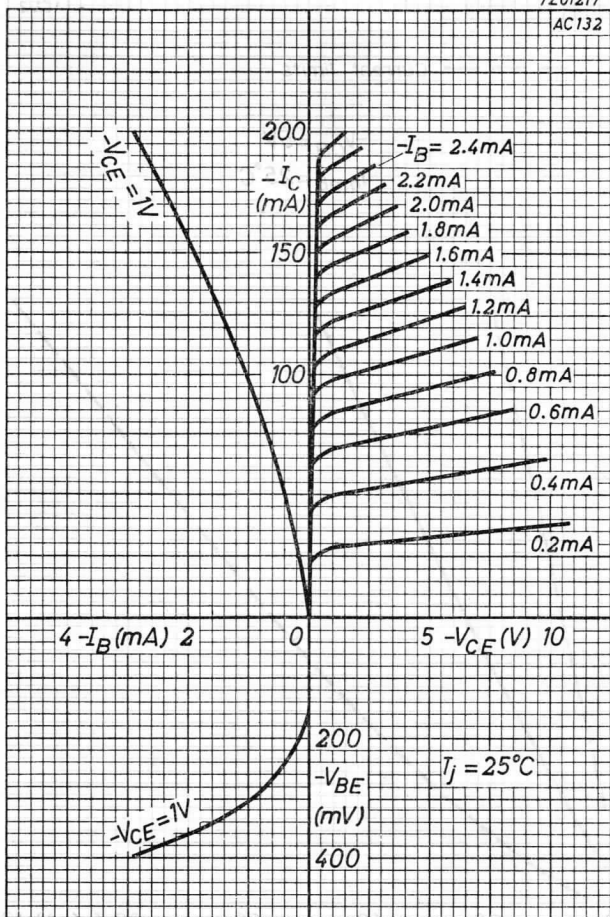
$$F \left\{ \begin{array}{l} -V_{CB} = 5 \text{ V}; I_E = 0.5 \text{ mA} \\ f = 1 \text{ kc/s}; B = 200 \text{ c/s} \\ \text{Input source resistance} \\ = 500 \Omega \end{array} \right\} = 4 \text{ dB} < 10 \text{ dB}$$

OPERATING CHARACTERISTICS at $T_{amb} = 25^{\circ}\text{C}$ of a matched pair AC127/AC132 as class B complementary symmetrical amplifier with a power output of 370 mW

For circuit diagram and data please refer
to data sheets of AC127

7Z01217

AC132



AC132

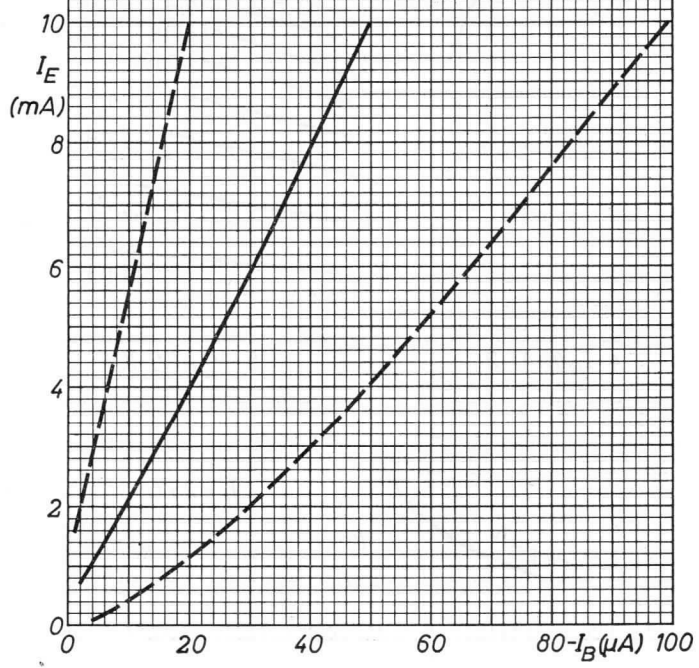
PHILIPS

7Z01221

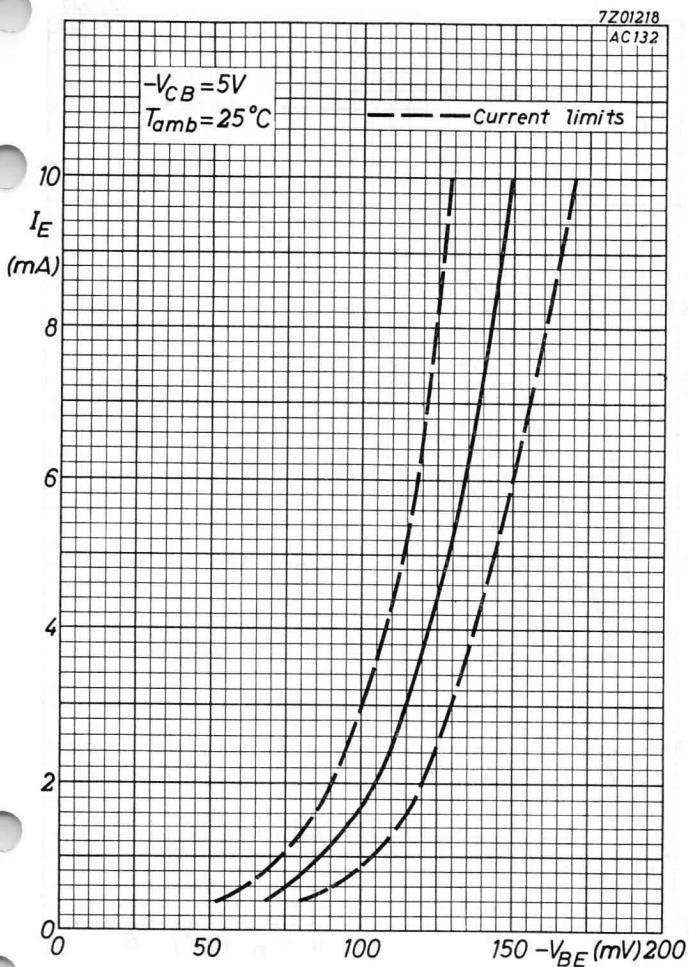
AC132

--- Current limits

$-V_{CB} = 5V$
 $T_{amb} = 25^{\circ}C$



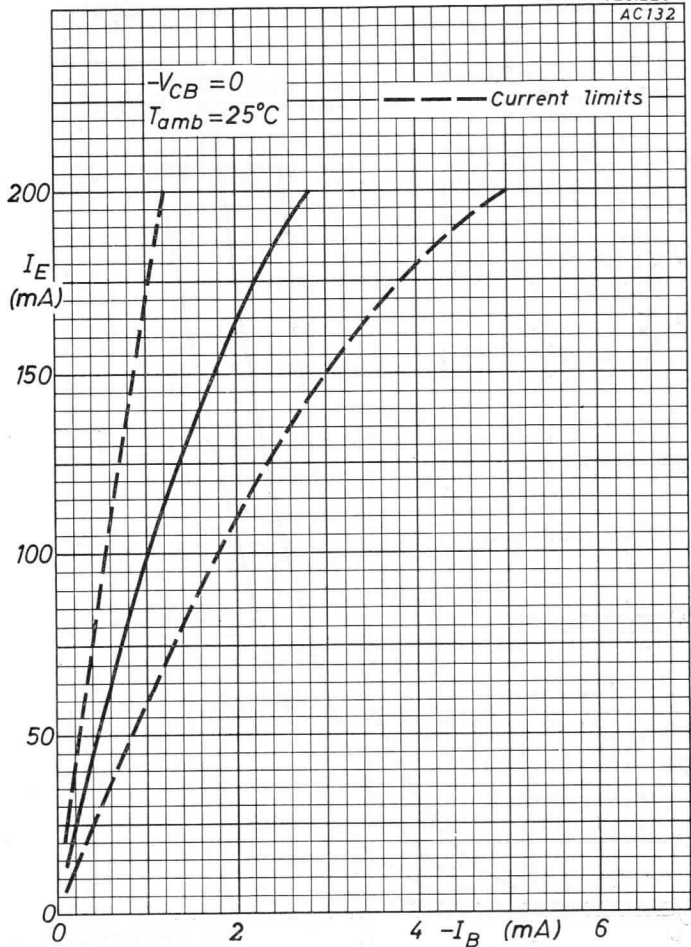
B

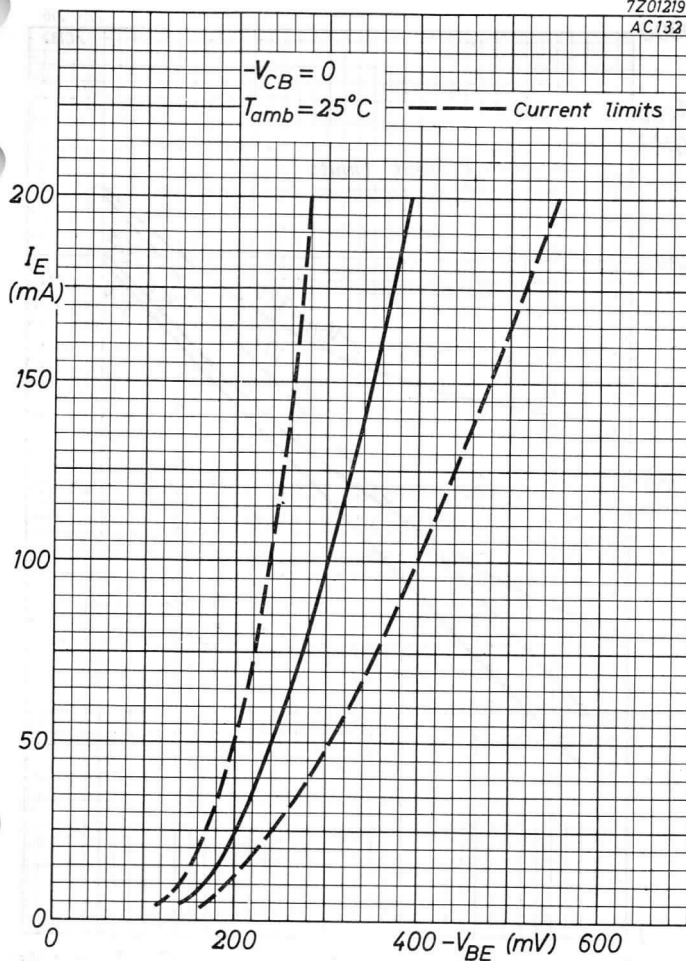


AC132

PHILIPS

7Z01220
AC132

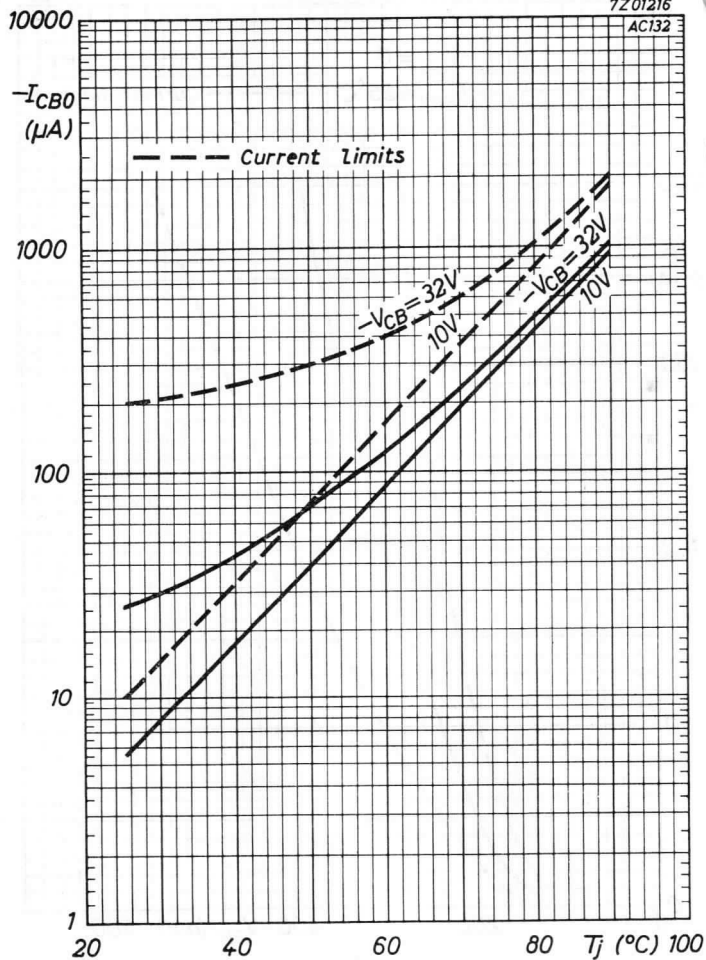


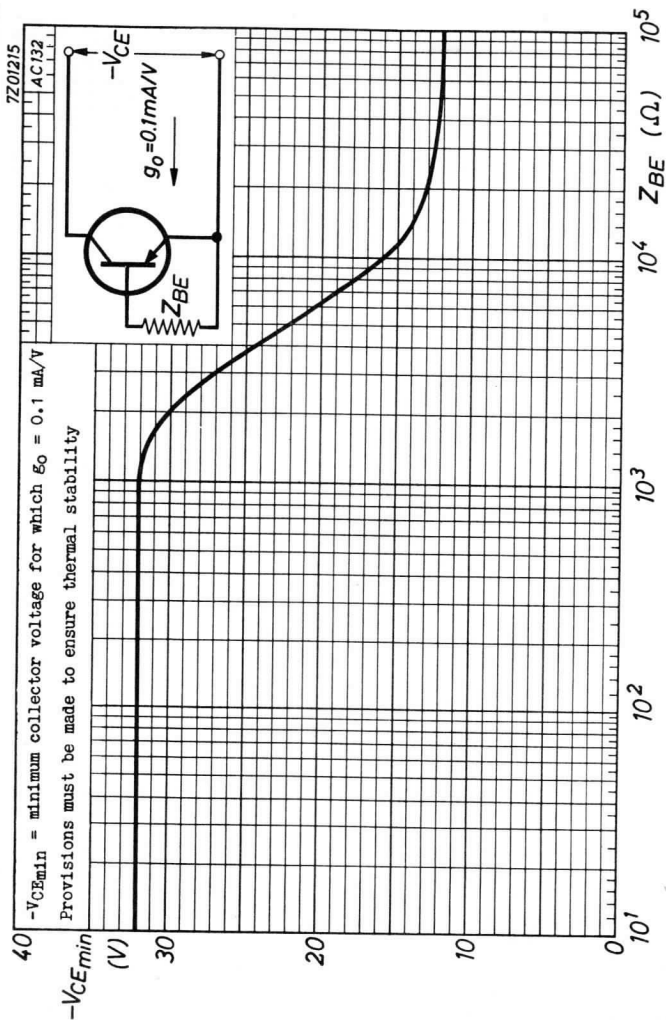


AC132**PHILIPS**

7Z01216

AC132





PHILIPS



GERMANIUM JUNCTION POWER TRANSISTOR of the p-n-p type for A.F. applications

LIMITING VALUES (Absolute max. values)

Collector

Voltage (base reference) $-V_{CB} = \text{max. } 50 \text{ V}$

Voltage (emitter reference) $-V_{CE} = \text{max. } 40 \text{ V}$

Current

Peak value $-I_{CM} = \text{max. } 20 \text{ A}$

D.C. value $-I_C = \text{max. } 15 \text{ A}$

Dissipation (transistor bottom temperature lower than 55°C) $P_C = \text{max. } 45 \text{ W}$

$(T_M \leq 55^\circ\text{C})$

Emitter

Voltage (base reference) $-V_{EB} = \text{max. } 30 \text{ V}$

Current

Peak value $I_{EM} = \text{max. } 22 \text{ A}$

D.C. value $I_E = \text{max. } 17 \text{ A}$

Base

Current

Peak value $-I_{BM} = \text{max. } 4 \text{ A}$

D.C. value $-I_B = \text{max. } 2 \text{ A}$

Temperatures

Storage temperature $T_S = -55^\circ\text{C to } +75^\circ\text{C}$

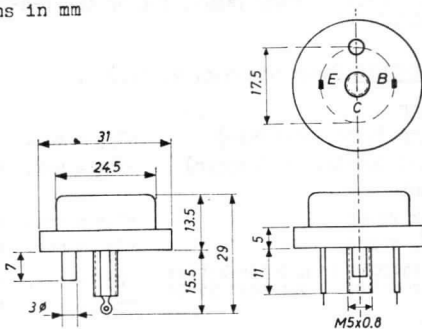
Junction temperature $T_J = \text{max. } 90^\circ\text{C}$

THERMAL DATA

Thermal resistance between junction and transistor bottom $K = \text{max. } 0.8^\circ\text{C/W}$

ADZ11**PHILIPS**

Dimensions in mm

CHARACTERISTICS RANGE VALUES FOR EQUIPMENT DESIGN

Transistor bottom temperature = 25 °C

Collector current at $I_E = 0$ mA $-I_{CBO}$ ($-V_{CB} = 2$ V; $I_E = 0$ mA) < 0.2 mA $-I_{CBO}$ ($-V_{CB} = 50$ V; $I_E = 0$ mA) < 8 mAEmitter current at $I_C = 0$ mA $-I_{EBO}$ ($-V_{EB} = 2$ V; $I_C = 0$ mA) < 0.2 mA $-I_{EBO}$ ($-V_{EB} = 30$ V; $I_C = 0$ mA) < 8 mAEmitter voltage at $I_E = 0$ mA $-V_{EB}$ ($-V_{CB} = 50$ V; $I_E = 0$ mA) < 1 V

Collector knee voltage

 $-V_{CEK}$ ($-I_C = 15$ A; $-I_B = 2$ A) < 1 V

Base voltage

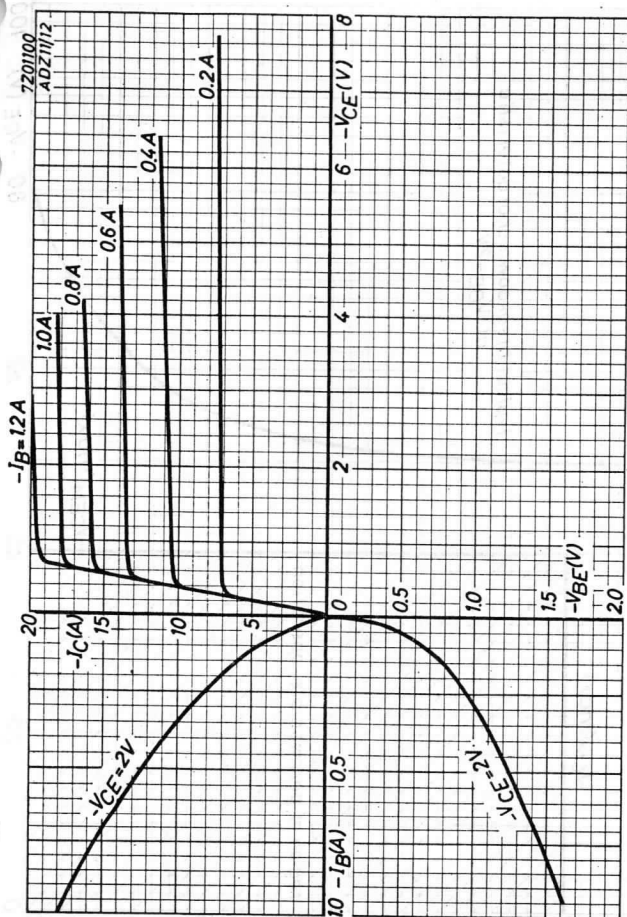
 $-V_{BE}$ ($-V_{CE} = 2$ V; $-I_C = 1.2$ A) < 0.7 V $-V_{BE}$ ($-V_{CE} = 2$ V; $-I_C = 5$ A) < 1.2 V $-V_{BE}$ ($-V_{CE} = 2$ V; $-I_C = 15$ A) < 2.0 V

Cut-off frequency

 $f_{\alpha b}$ ($-V_{CB} = 12$ V; $I_E = 1$ A) > 80 kc/s

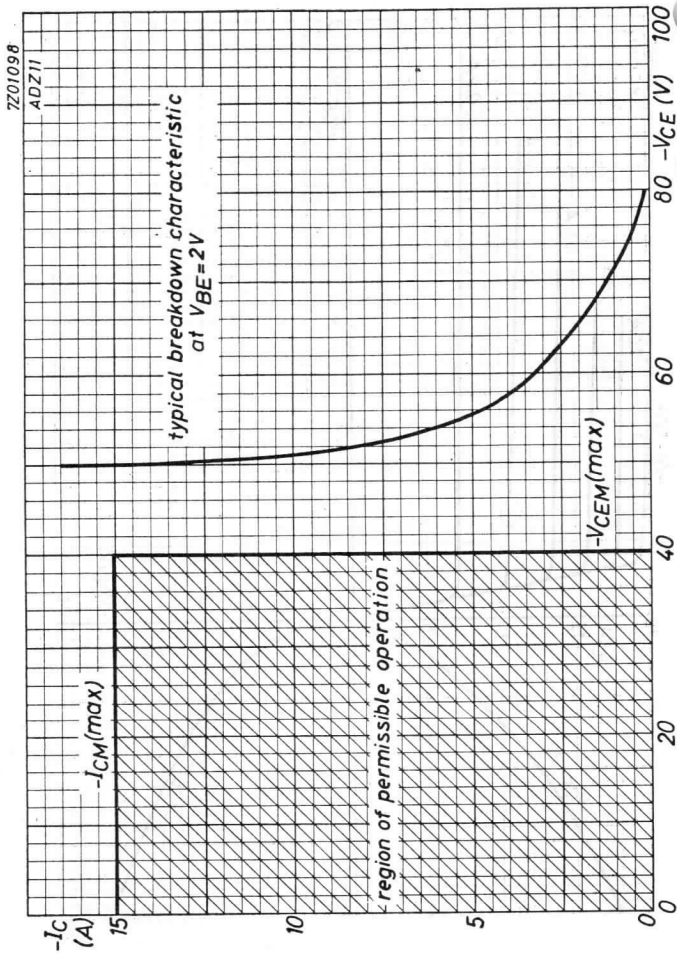
D.C. current amplification factor

 h_{FE} ($-V_{CE} = 2$ V; $-I_C = 1.2$ A) > 40 h_{FE} ($-V_{CE} = 2$ V; $-I_C = 5$ A) < 120 h_{FE} ($-V_{CE} = 2$ V; $-I_C = 15$ A) > 25 h_{FE} ($-V_{CE} = 2$ V; $-I_C = 15$ A) > 15



ADZ11

PHILIPS



GERMANIUM JUNCTION POWER TRANSISTOR of the p-n-p type for industrial applications

LIMITING VALUES (Absolute max. values)

Collector

Voltage (base reference) $-V_{CB} = \text{max. } 80 \text{ V}$

Voltage (emitter reference) $-V_{CE} = \text{max. } 60 \text{ V}$

Current

Peak value $-I_{CM} = \text{max. } 20 \text{ A}$

D.C. value $-I_C = \text{max. } 15 \text{ A}$

Dissipation (transistor bottom temperature lower than 55°C) $P_C = \text{max. } 45 \text{ W}$
($T_m \leq 55^\circ\text{C}$)

Emitter

Voltage (base reference) $-V_{EB} = \text{max. } 50 \text{ V}$

Current

Peak value $I_{EM} = \text{max. } 22 \text{ A}$

D.C. value $I_E = \text{max. } 17 \text{ A}$

Base

Current

Peak value $-I_{BM} = \text{max. } 4 \text{ A}$

D.C. value $-I_B = \text{max. } 2 \text{ A}$

Temperatures

Storage temperature $T_S = -55^\circ\text{C to } +75^\circ\text{C}$

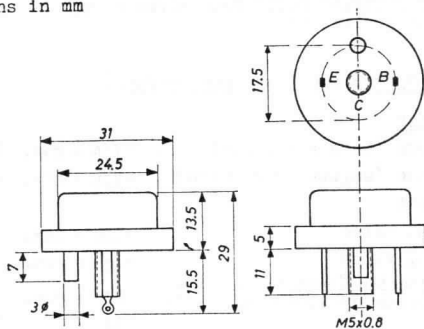
Junction temperature $T_J = \text{max. } 90^\circ\text{C}$

THERMAL DATA

Thermal resistance between junction and transistor bottom $K = \text{max. } 0.8^\circ\text{C/W}$

ADZ12**PHILIPS**

Dimensions in mm

CHARACTERISTICS RANGE VALUES FOR EQUIPMENT DESIGN

Transistor bottom temperature = 25 °C

Collector current at $I_E = 0$ mA $-I_{CB0}$ ($-V_{CB} = 2$ V; $I_E = 0$ mA) < 0.2 mA $-I_{CB0}$ ($-V_{CB} = 80$ V; $I_E = 0$ mA) < 8 mAEmitter current at $I_C = 0$ mA $-I_{EB0}$ ($-V_{EB} = 2$ V; $I_C = 0$ mA) < 0.2 mA $-I_{EB0}$ ($-V_{EB} = 50$ V; $I_C = 0$ mA) < 8 mAEmitter voltage at $I_E = 0$ mA $-V_{EB}$ ($-V_{CB} = 80$ V; $I_E = 0$ mA) < 1 V

Collector knee voltage

 $-V_{CEK}$ ($-I_C = 15$ A; $-I_B = 2$ A) < 1 V

Base voltage

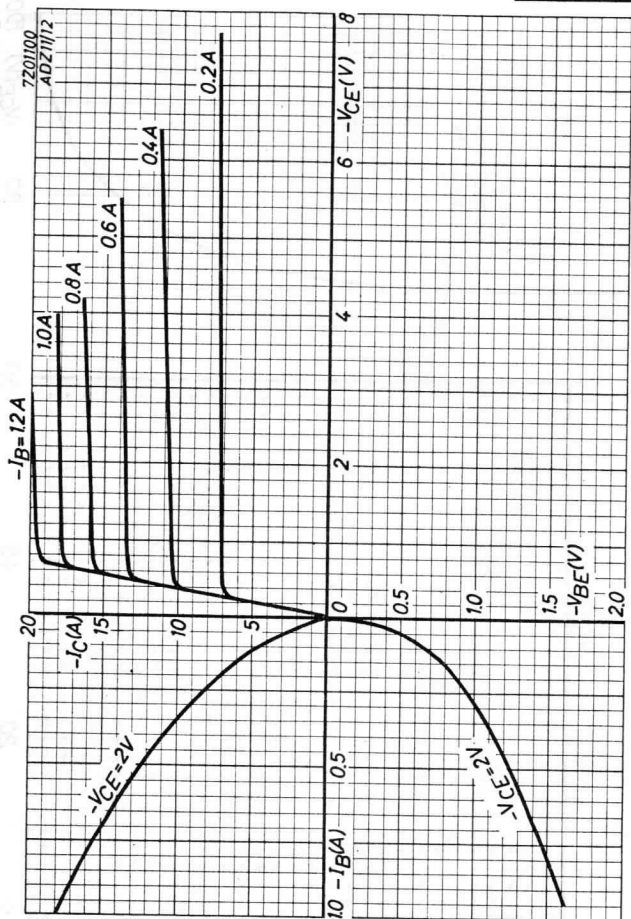
 $-V_{BE}$ ($-V_{CE} = 2$ V; $-I_C = 1.2$ A) < 0.7 V $-V_{BE}$ ($-V_{CE} = 2$ V; $-I_C = 5$ A) < 1.2 V $-V_{BE}$ ($-V_{CE} = 2$ V; $-I_C = 15$ A) < 2.0 V

Cut-off frequency

 $f_{\alpha b}$ ($-V_{CB} = 12$ V; $I_E = 1$ A) > 100 kc/s

D.C. current amplification factor

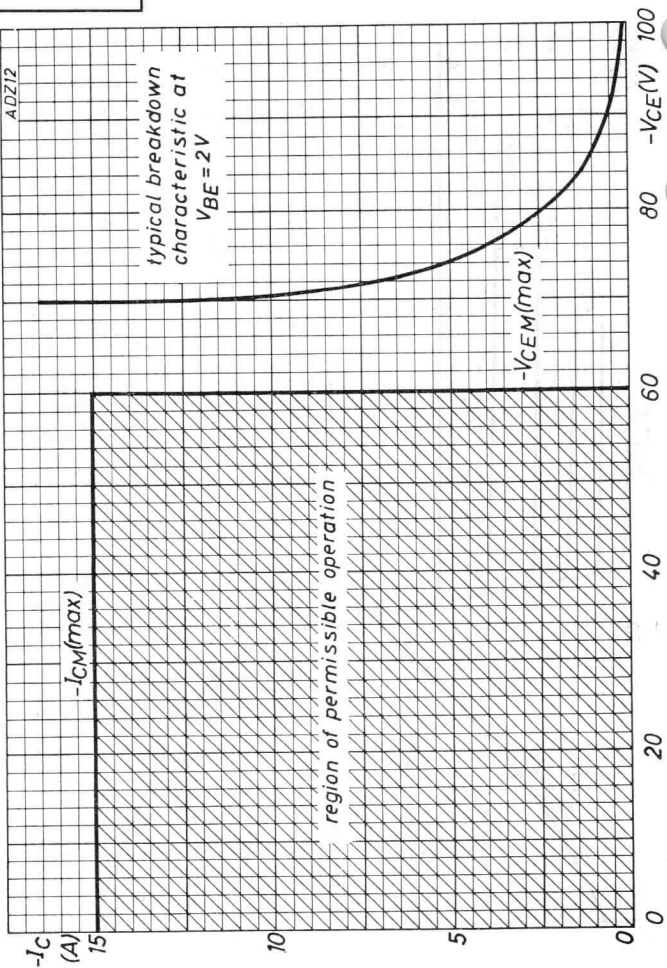
 h_{FE} ($-V_{CE} = 2$ V; $-I_C = 1.2$ A) > 40 h_{FE} ($-V_{CE} = 2$ V; $-I_C = 5$ A) < 120 h_{FE} ($-V_{CE} = 2$ V; $-I_C = 15$ A) > 25 h_{FE} ($-V_{CE} = 2$ V; $-I_C = 15$ A) > 15



ADZ12

PHILIPS

7Z01099
ADZ12



R.F. ALLOY-DIFFUSED GERMANIUM TRANSISTOR of the p-n-p type with low noise and high gain at V.H.F. for amplifier, oscillator and convertor circuits up to 260 Mc/s. The transistor is hermetically sealed in a metal can and absolutely moisture proof.

TRANSISTOR H.F. À CRISTAL DE GERMANIUM du type p-n-p en technique alliage-diffusion à faible bruit et amplification élevée aux fréquences V.H.F. pour les circuits amplificateurs, oscillateurs et convertisseurs jusqu'à 260 MHz. Le transistor est scellé hermétiquement dans un boîtier métallique et protégé contre l'humidité.

HF p-n-p GERMANIUMTRANSISTOR nach dem Legierungs-Diffusionsverfahren mit schwachem Rauschen und hoher Verstärkung bei VHF-Frequenzen zur Verwendung in Verstärker-, Oszillator und Mischschaltungen bis zu 260 MHz. Der Transistor ist hermetisch abgeschlossen in einem Metallgehäuse und absolut sicher für Feuchtigkeit.

Limiting values (Absolute max. values)

Caractéristiques limites (Valeurs max. absolues)

Grenzdaten (Absolute Maximalwerte)

| | | |
|--|--------|---------------------|
| $-V_{CB}$ | = max. | 25 V |
| $-I_C$ | = max. | 10 mA |
| I_E | = max. | 10 mA |
| $-I_E$ | = max. | 1 mA |
| $P_C (T_{amb} \leq 45^\circ C)$ | = max. | 50 mW |
| T_j { continuous operation service continu Dauerbetrieb | = max. | 75 °C |
| T_j { intermittent operation service intermittent aussetzender Betrieb | = max. | 90 °C ¹⁾ |
| Storage temperature Température d'emmagasinage Lagerungstemperatur | = | -55°C/+75 °C |

Thermal data; Données thermiques; Thermische Daten

Thermal resistance from junction to ambience in free air $K \leq 0.6^\circ C/mW$

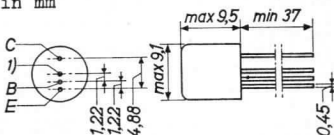
Résistance thermique entre la jonction et l'ambiance à l'air libre $K \leq 0,6^\circ C/mW$

Thermischer Widerstand zwischen dem Kristall und der Umgebung in freier Luft $K \leq 0,6^\circ C/mW$

¹⁾ Total duration max. 200 hours
Durée totale 200 heures au max.
Gesamtdauer max. 200 Stunden

AF102**PHILIPS**

Dimensions in mm
 Dimensions en mm
 Abmessungen in mm



Characteristics
 Caractéristiques
 Kenndaten

 $T_{amb} = 25^{\circ}C$

| | |
|--|-----------------------|
| $-I_{CBO}$ ($-V_{CB} = 12 V$) | $< 10 \mu A$ |
| $-V_{CB}$ ($-I_C = 50 \mu A$; $I_E = 0 mA$) | $> 25 V$ |
| $-V_{EB}$ ($-I_E = 50 \mu A$; $I_C = 0 mA$) | $> 0,5 V$ |
| $-I_B$ ($-V_{CB} = 12 V$; $-I_C = 1 mA$) | $< 50 \mu A$ |
| $-V_{BE}$ ($-V_{CB} = 12 V$; $-I_C = 1 mA$) | $> 220 mV$ $< 360 mV$ |

Characteristics range values for equipment design
 Gammes de valeurs des caractéristiques pour l'étude d'équipements

Kenndatenbereiche für Gerätentwurf $T_{amb} = 25^{\circ}C$

$$-V_{CB} = 12 V; I_E = 1 mA \quad f_1 = 180 Mc/s^2)$$

$$-V_{CE} = 12 V; -I_C = 1 mA \quad h_{fe} > 20$$

$$f = 1 kc/s$$

$$-V_{CB} = 12 V; I_E = 1 mA \quad |z_{rb}| = 10 \Omega^3)$$

$$f = 2 Mc/s$$

$$-V_{CE} = 12 V; -I_C = 1 mA \quad F = 6 dB < 7,5 dB$$

$$f = 200 Mc/s; R_S = 30 \Omega^4)$$

$$\text{Circuit page 4} \quad G = 13 dB > 10 dB^5)$$

$$\text{Schaltung Seite 4}$$

1) Interlead shield and metal case
 Blindage entre les connexions et boîtier métallique
 Abschirmung zwischen den Anschlüssen und Metallgehäuse

2) 3) 4) 5) See page 3; voir page 3; siehe Seite 3

Characteristics range values for equipment design (continued)
 Gammes de valeurs des caractéristiques pour l'étude d'équipements (suite)
 Kenndatenbereiche für Gerätentwurf (Fortsetzung)

$T_{amb} = 25 \text{ }^{\circ}\text{C}$

Small signal characteristics
 Caractéristiques pour les signaux faibles
 Kenndaten für kleine Signale

| | |
|---|--------------------------------------|
| $-V_{CE} = 12 \text{ V}; -I_C = 1 \text{ mA}$ | $-C_{re} = 0,8 \text{ pF}$ |
| $f = 0,45 \text{ Mc/s}$ | |
| $-V_{CE} = 12 \text{ V}; -I_C = 1 \text{ mA}$ | $g_{oe} = 10 \text{ } \mu\text{A/V}$ |
| $f = 35 \text{ Mc/s}$ | $C_{oe} = 2 \text{ pF}$ |
| $-V_{CB} = 12 \text{ V}; I_E = 1 \text{ mA}$ | $g_{ib} = 30 \text{ mA/V}$ |
| $f = 200 \text{ Mc/s}$ | $-C_{ib} = 12 \text{ pF}$ |
| | $ y_{rb} = 0,4 \text{ mA/V}$ |
| | $\varphi_{rb} = 90^{\circ}$ |
| | $ y_{fb} = 25 \text{ mA/V}$ |
| | $\varphi_{fb} = 90^{\circ}$ |
| | $g_{ob} = 0,3 \text{ mA/V}$ |
| | $C_{ob} = 1,8 \text{ pF}$ |

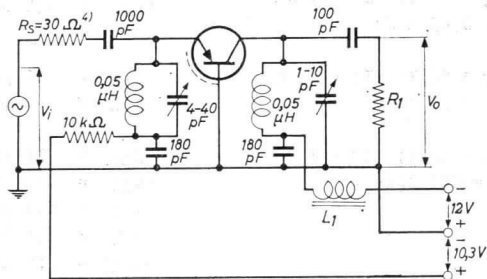
- 2) $f_1 =$ Frequency at which $|h_{fe}| = 1$
 $f_1 =$ la fréquence à laquelle $|h_{fe}| = 1$
 $f_1 =$ Frequenz bei der $|h_{fe}| = 1$
- 3) Intrinsic base impedance
 Impédance intrinsèque de la base
 Innere Impedanz der Basis
- 4) Input source impedance
 Impédance de la source d'entrée
 Impedanz der Eingangsspannungsquelle
- 5) Available power gain
 Amplification de puissance disponible
 Verfügbare Leistungsverstärkung

R_1 is chosen so that the total impedance R_L of the tuned circuit is $2.0 \text{ k}\Omega$

R_1 est choisie tellement que l'impédance totale R_L du circuit accordé est de $2,0 \text{ k}\Omega$

R_1 wird derartig gewählt, dass die Gesamtimpedanz R_L des abgestimmten Kreises $2,0 \text{ k}\Omega$ ist.

L_1 = ferrite bead
 L_1 = perle magnétique
 L_1 = Ferritperle

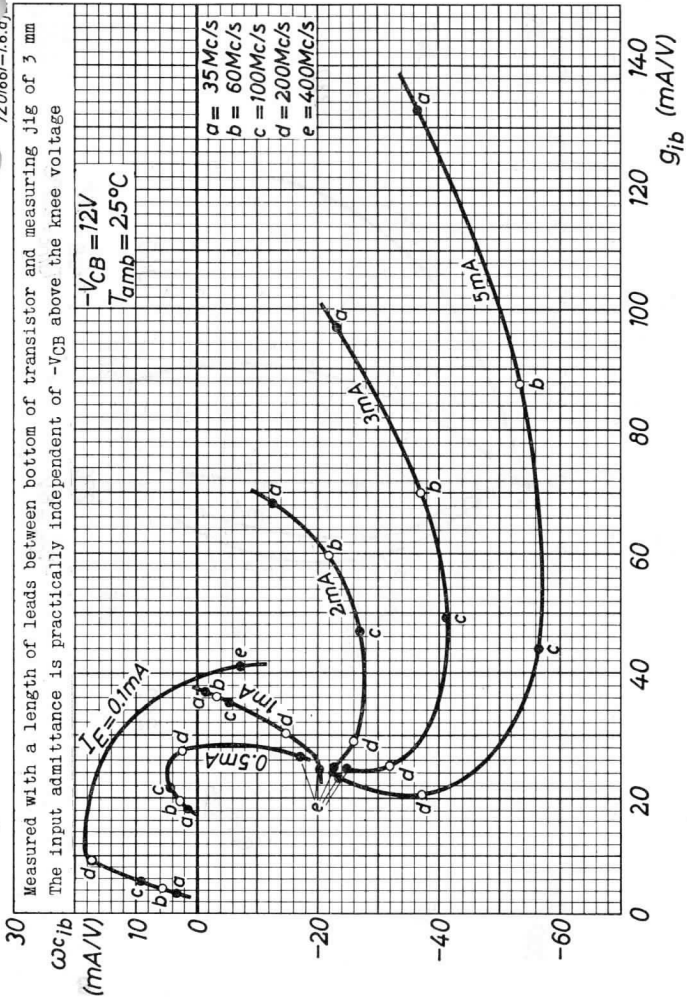


⁴) Input source impedance
 Impédance de la source d'entrée
 Impedanz der Eingangsspannungsquelle

7Z01661-1.6.a.

Measured with a length of leads between bottom of transistor and measuring jig of 3 mm
 The input admittance is practically independent of $-V_{CB}$ above the knee voltage

$-V_{CB} = 12V$
 $T_{amb} = 25^{\circ}C$

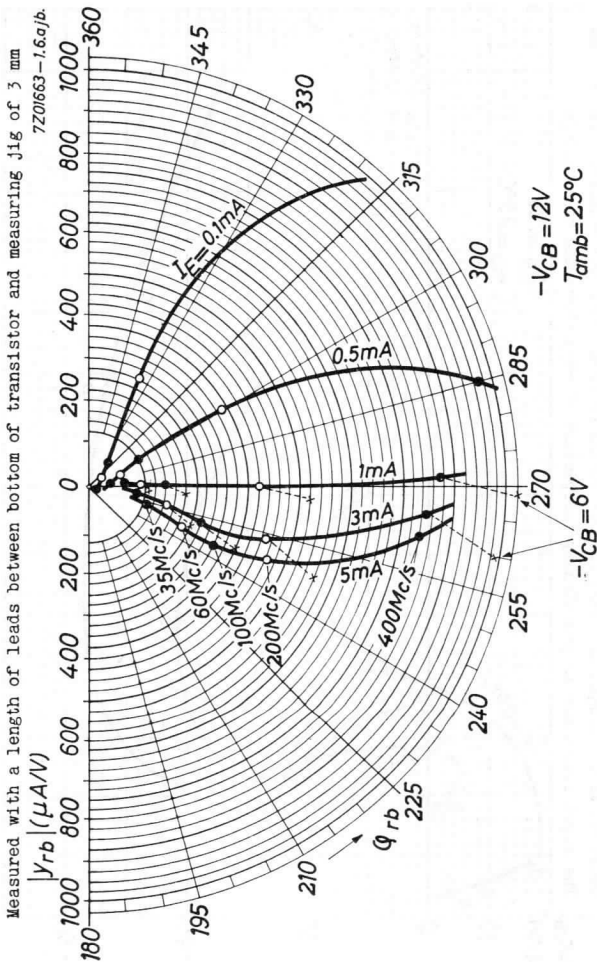


5.5.1963

A

AF102

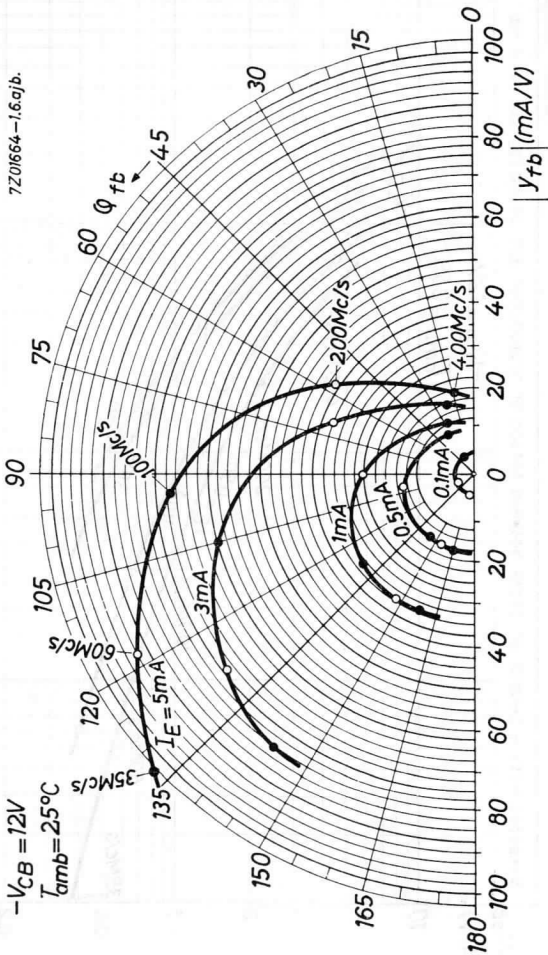
PHILIPS



B

Measured with a length of leads between bottom of transistor and measuring jig of 3 mm
 The forward transfer admittance is practically independent of $-V_{CB}$ above the knee voltage

7Z01664-1.6ajb.



5.5.1963

c

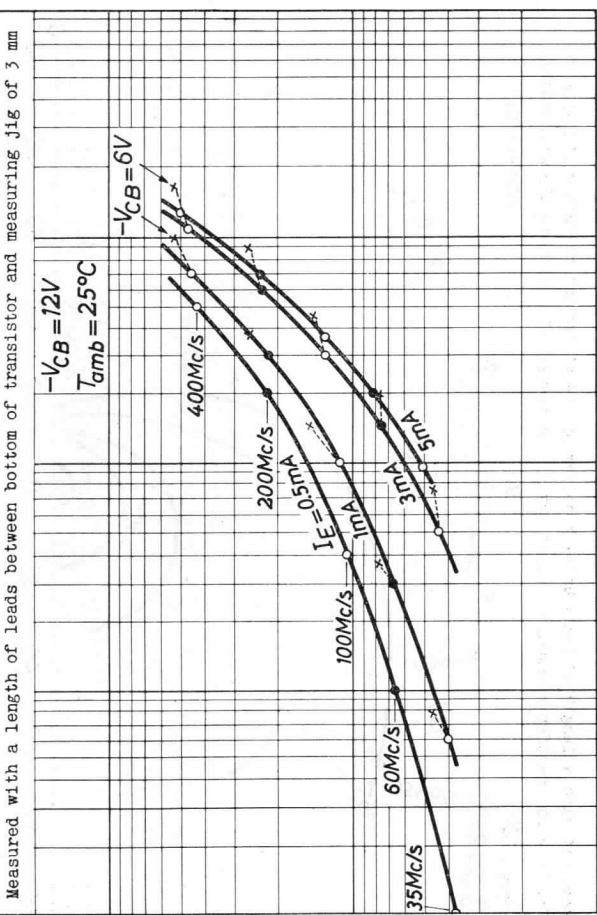
AF102

PHILIPS

7Z01662-1.6.a.jb

Measured with a length of leads between bottom of transistor and measuring jig of 3 mm

$-V_{CB} = 12V$
 $T_{amb} = 25^{\circ}C$



g_{ob} ($\mu A/V$) 10000
 500
 200
 100
 50
 20
 10
 5
 2
 1

ωC_{ob}

(mA/V)

D

R.F. GERMANIUM TRANSISTOR of the p-n-p type, made in the alloy-diffusion technique with low noise and high power gain at 100 Mc/s, for use as R.F. amplifier in F.M. receivers. The transistor is hermetically sealed in a metal can and absolutely moisture proof

TRANSISTOR H.F. À CRISTAL DE GERMANIUM du type p-n-p, en technique alliage-diffusion avec bruit faible et amplification de puissance élevée à 100 MHz, pour utilisation en amplificateur H.F. dans les récepteurs F.M. Le transistor est scellé hermétiquement dans un boîtier métallique et protégé contre l'humidité

HF p-n-p GERMANIUMTRANSISTOR nach dem Legierungs-Diffusionsverfahren mit schwachem Rauschen und hoher Leistungsverstärkung bei 100 MHz, zur Verwendung als HF-Verstärker in FM-Empfängern. Der Transistor ist hermetisch abgeschlossen in einem Metallgehäuse und absolut sicher vor Feuchtigkeit

Limiting values (Absolute max. values)

Caractéristiques limites (Valeurs max. absolues)

Grenzdaten (Absolute Maximalwerte)

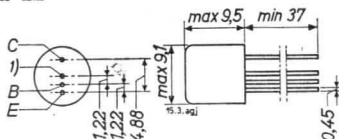
| | | |
|---|--|----------------------------|
| -VCB | = max. 32 V | |
| -VCE | = max. 32 V ¹⁾ | |
| -I _C | = max. 10 mA | |
| I _E | = max. 11 mA | |
| -I _E | = max. 1 mA | |
| I _B | = max. 1 mA | |
| P _C (T _{amb} ≤ 45 °C) | = max. 50 mW | |
| T _j { | continuous operation service continu Dauerbetrieb | = max. 75 °C |
| T _j { | intermittent operation service intermittent aussetzender Betrieb | = max. 90 °C ²⁾ |
| | Storage temperature Température d'emmagasinage Lagerungstemperatur | = -55°C/+75 °C |

¹⁾ See also page F
Voir aussi page F
Siehe auch Seite F

²⁾ Total duration max. 200 hours
Durée totale 200 heures au max.
Gesamtdauer max. 200 Stunden

AF114**PHILIPS**

Dimensions in mm
 Dimensions en mm
 Abmessungen in mm



Thermal data
 Données thermiques
 Thermische Daten

| | |
|--|---|
| Thermal resistance from junction to ambience in free air | $K \leq 0.6 \text{ } ^\circ\text{C/mW}$ |
| Résistance thermique entre la jonction et l'ambiance à l'air libre | $K \leq 0,6 \text{ } ^\circ\text{C/mW}$ |
| Thermischer Widerstand zwischen dem Kristall und der Umgebung in freier Luft | $K \leq 0,6 \text{ } ^\circ\text{C/mW}$ |

Characteristics
 Caractéristiques
 Kenndaten

$T_{amb} = 25 \text{ } ^\circ\text{C}$

| | | |
|---|---------------------|-------------------------|
| -ICBO (-V _{CB} = 6 V) | = 1,2 μA | < 8 μA |
| -V _{CB} (-I _C = 50 μA ; I _E = 0 mA) | | > 32 V |
| -I _B (-V _{CB} = 6 V; I _E = 1 mA) | = 7 μA | < 25 μA |
| -V _{BE} (-V _{CB} = 6 V; I _E = 1 mA) | = 270 mV | > 210 mV < 330 mV |
| G (f = 100 Mc/s) | = 14 dB | > 12,5 dB ²⁾ |

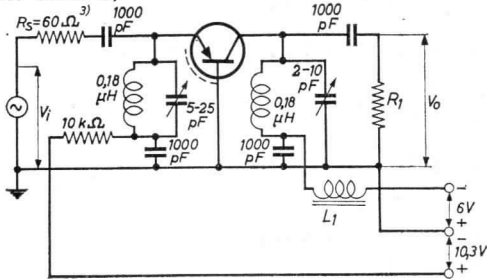
1) Interlead shield and metal case
 Blindage entre les connexions et boîtier métallique
 Abschirmung zwischen den Anschlüssen und Metallgehäuse

2) Available power gain in
 the circuit page 3,
 defined by:
 Amplification de puissance
 disponible dans le circuit
 page 3, définie par:
 verfügbare Leistungsverstärkung
 der auf Seite 3 angegebenen
 Schaltung, definiert durch:

$$G = \frac{4R_S}{R_L} \frac{V_0^2}{V_1^2}$$

$$= 0,073 \frac{V_0^2}{V_1^2}$$

Test circuit for power gain at 100 Mc/s (See page 2)
 Circuit pour la mesure de l'amplification à 100 MHz (voir page 2)
 Schaltung zum Messen der Leistungsverstärkung bei 100 MHz (siehe Seite 2)



R_1 is chosen so that the total impedance R_L of the tuned circuit is 3.3 k Ω

R_1 est choisie tellement que l'impédance totale R_L du circuit accordé est de 3,3 k Ω

R_1 wird derartig gewählt dass die Gesamtimpedanz R_L des abgestimmten Kreises 3,3 k Ω ist

L_1 = ferrite bead; L_1 = perle magnétique; L_1 = Ferritperle

³⁾ Input source impedance
 Impédance de la source d'entrée
 Impedanz der Eingangsspannungsquelle

Characteristics range values for equipment design
 Gammes de valeurs des caractéristiques pour l'étude d'équipements

Kenndatenbereiche für Gerätentwurf

$T_{amb} = 25^{\circ}C$

| | | |
|---|---------------------------|------------|
| $-I_E = 50 \mu A$; $-I_C = 0 mA$ | $-V_{EB} = 1,5 V$ | $> 1,0 V$ |
| $-V_{CB} = 6 V$; $I_E = 1 mA$ | $f_1 = 75 Mc/s^1)$ | |
| $-V_{CB} = 6 V$; $I_E = 1 mA$; $f = 2 Mc/s$ | $ z_{rb} = 20 \Omega^2)$ | |
| $-V_{CE} = 6 V$; $I_E = 1 mA$; $f = 0,45 Mc/s$ | $-c_{re} = 1,5 pF$ | |
| $-V_{CE} = 6 V$; $I_E = 1 mA$; $f = 1 kc/s$ | $h_{fe} = 150$ | |
| $-V_{CB} = 6 V$; $I_E = 1 mA$; $f = 100 Mc/s$; $R_S = 60 \Omega^3)$ | $F = 8 dB$ | $< 9,5 dB$ |

Small signal characteristics (measured with a length of leads between transistor and measuring jig of 5 mm)
 Caractéristiques pour les signaux faibles (mesurées avec une longueur des fils de connexion entre le transistor et l'appareil de mesure de 5 mm)

Kenndaten für kleine Signale (gemessen mit einer Länge der Anschlussdrähte zwischen Transistor und Messvorrichtung von 5 mm)

| | |
|--------------------------------|------------------------------|
| $-V_{CB} = 6 V$; $I_E = 1 mA$ | $\xi_{1b} = 15 mA/V$ |
| $f = 100 Mc/s$ | $-c_{1b} = 5 pF$ |
| | $ y_{rb} = 0,45 mA/V$ |
| | $\varphi_{rb} = 250^{\circ}$ |
| | $ y_{fb} = 16 mA/V$ |
| | $\varphi_{fb} = 95^{\circ}$ |
| | $\xi_{ob} = 0,3 mA/V$ |
| | $c_{ob} = 2,5 pF$ |

¹⁾ Frequency at which $|h_{fe}| = 1$
 Fréquence à laquelle $|h_{fe}| = 1$
 Frequenz bei der $|h_{fe}| = 1$

²⁾ Intrinsic base impedance
 Impédance intrinsèque de la base
 Innere Impedanz der Basis

³⁾ See page 3; voir page 3; siehe Seite 3

Operating characteristics as R.F. amplifier in front-end unit of F.M. tuner (see page 6)

Caractéristiques d'utilisation comme amplificateur H.F. dans un amplificateur d'entrée d'un récepteur F.M. (voir page 6)

Betriebsdaten als HF-Verstärker in der Eingangsstufe eines FM-Empfängers (siehe Seite 6)

$$f = 87 - 101 \text{ Mc/s}$$

Total available power gain

Amplification de puissance totale disponible = 28 dB > 24 dB

Verfügbare Leistungsverstärkung

Total noise factor

Facteur de bruit total = 8 dB < 9,5 dB

Gesamter Rauschfaktor

Oscillator voltage at aerial terminals

Tension d'oscillation aux bornes de l'antenne = 1,5 mV

Oszillatorspannung an den Antennenklemmen

Image rejection

Elimination de la fréquence image = 27 dB

Spiegelfrequenzunterdrückung

$$-I_C = 1,4 \text{ mA}$$

COIL DATA

L₁: 4¹/₂ turns of 0.3 mm enamelled copper wire, wound between L₂.

L₂: 4 turns of 1 mm enamelled copper wire, winding pitch 2 mm; L = 0.18 μH; Q₀ = 60-80

L₃: 3¹/₄ turns of 1 mm silvered copper wire, winding pitch 2 mm; L = 0.086 μH; Q₀ = 200

DONNÉES DES BOBINES

L₁: 4¹/₂ tours de fil de cuivre émaillé de 0,3 mm, enroulés entre L₂.

L₂: 4 tours de fil de cuivre émaillé de 1 mm, pas des spires 2 mm, L = 0,18 μH; Q₀ = 60-80

L₃: 3¹/₄ tours de fil de cuivre argenté de 1 mm, pas des spires 2 mm; L = 0,086 μH; Q₀ = 200

SPULENDATEN

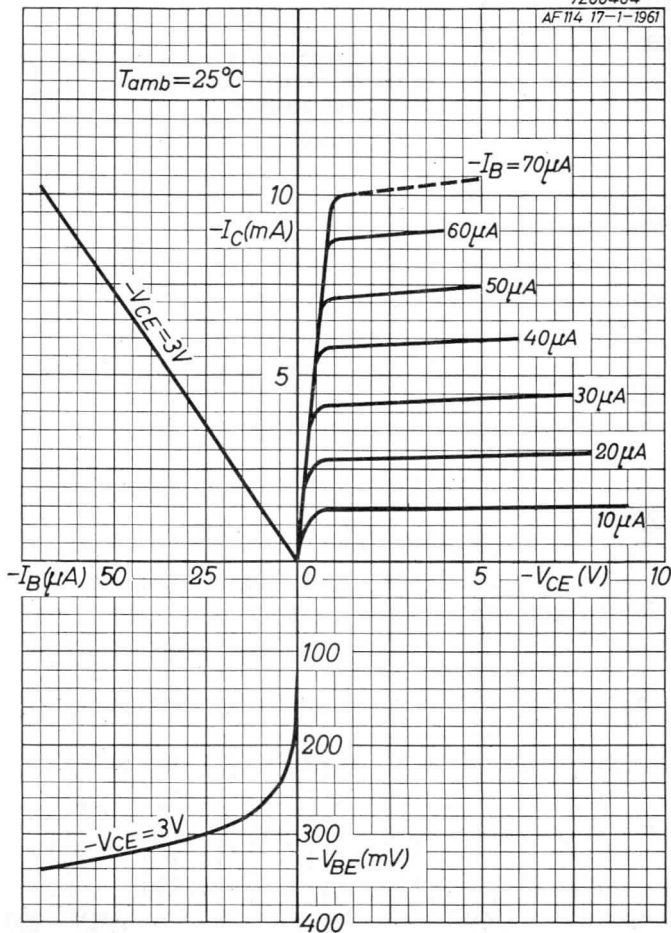
L₁: 4¹/₂ Windungen 0,3 mm Kupfer lackiert, zwischen die Windungen von L₂ gewickelt

L₂: 4 Windungen 1 mm Kupfer lackiert, Ganghöhe 2 mm; L = 0,18 μH; Q₀ = 60-80

L₃: 3¹/₄ Windungen 1 mm versilbertes Kupfer, Ganghöhe 2 mm; L = 0,086 μH; Q₀ = 200

7200404

AF 114 17-1-1961

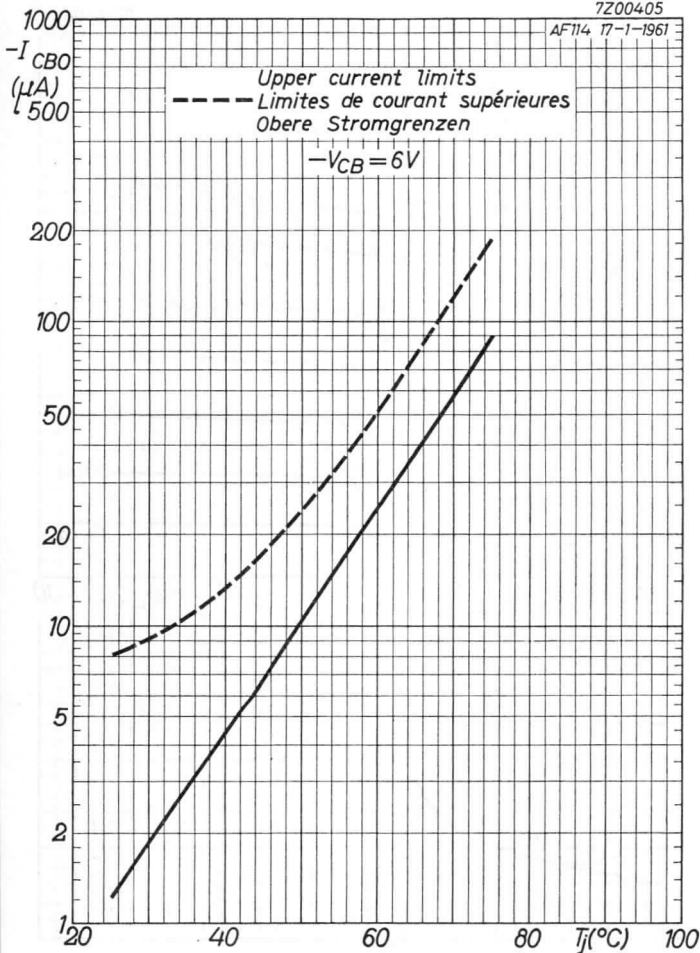


AF 114

PHILIPS

7Z00405

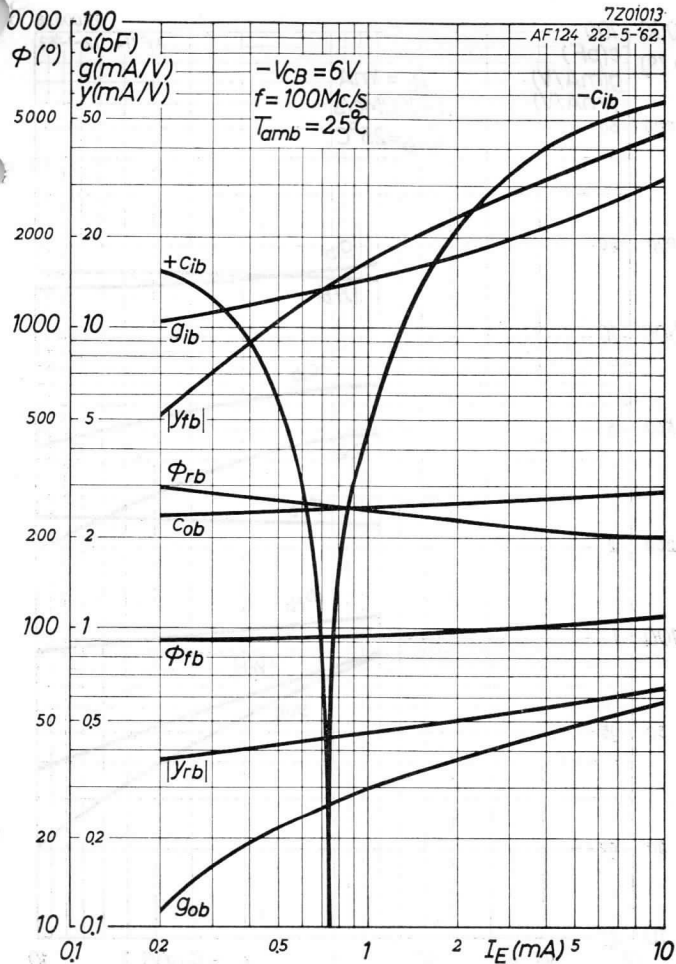
AF114 17-1-1961



B

7Z01013

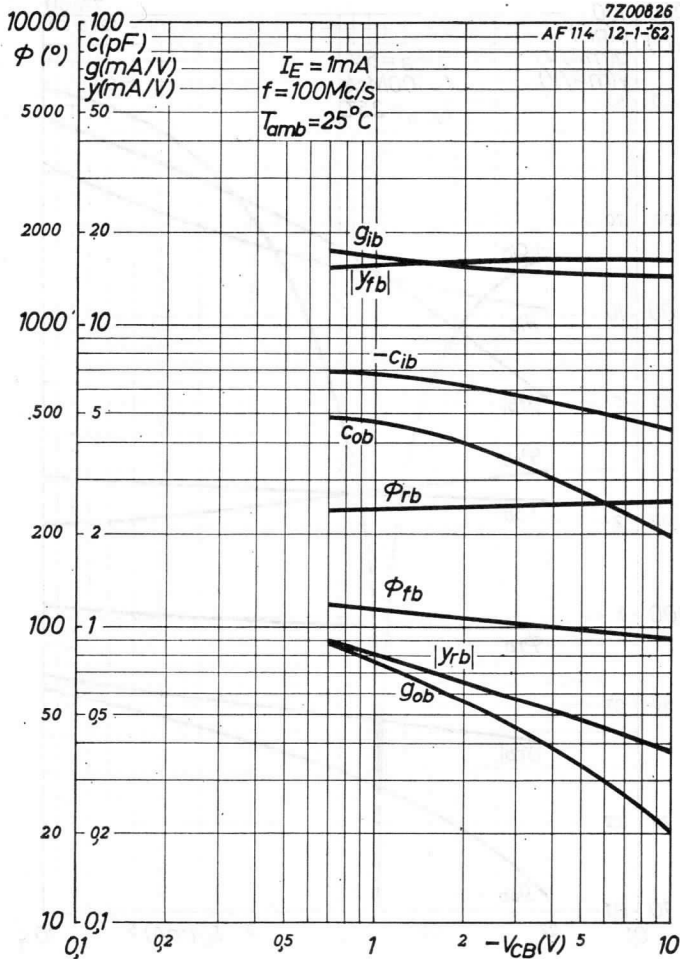
AF124 22-5-62



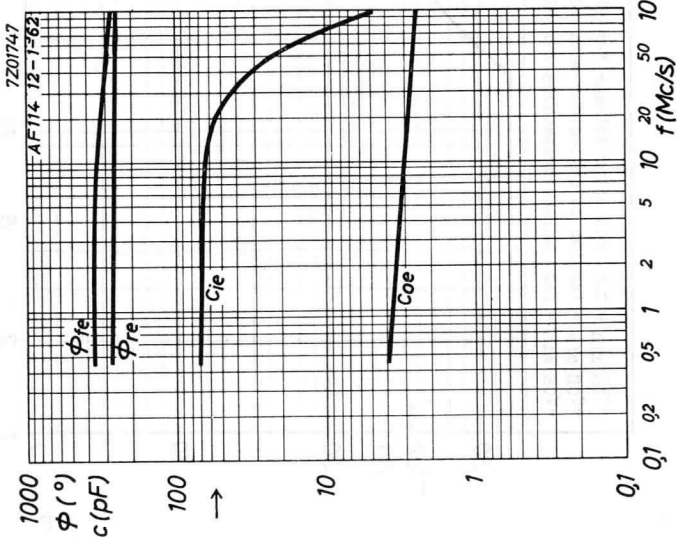
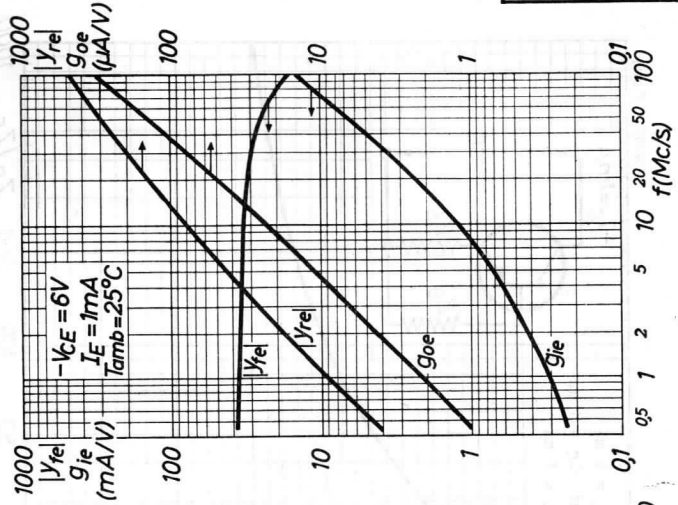
AF114**PHILIPS**

7Z00826

AF114 12-1-62



D



7201747

AF114 12-1-62

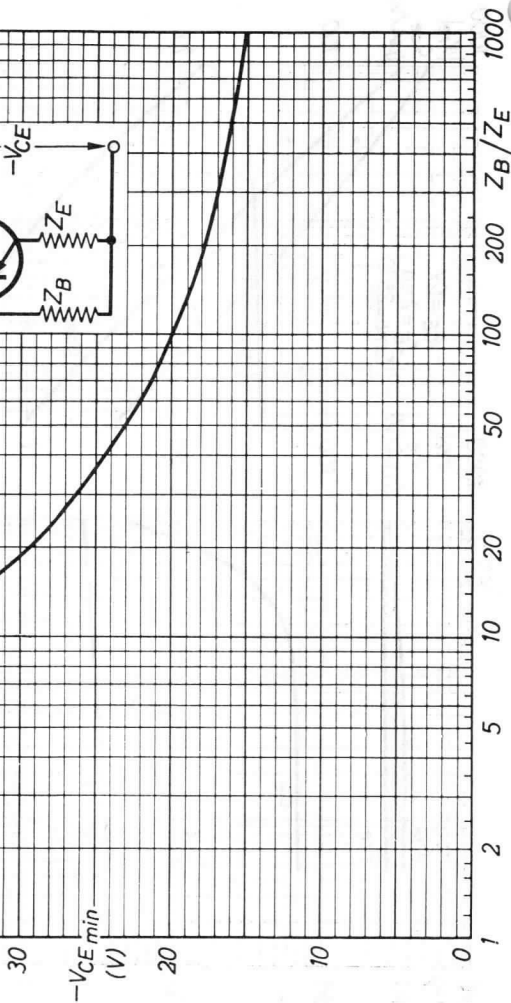
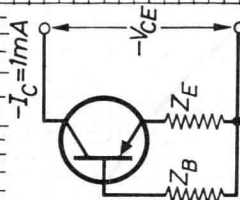
5.5.1963

E

AF114**PHILIPS**

7201386 / 1.6.009

$-V_{CE \text{ min}}$ = min. collector voltage for $-I_C = 1 \text{ mA}$
 $-V_{CE \text{ min}}$ = tension de collecteur min. pour $-I_C = 1 \text{ mA}$
 $-V_{CE \text{ min}}$ = min. Kollektorspannung für $-I_C = 1 \text{ mA}$



R.F. GERMANIUM TRANSISTOR of the p-n-p type, made in the alloy-diffusion technique with high conversion gain up to 100 Mc/s, for use as mixer-oscillator in F.M. receivers and as R.F. amplifier or mixer-oscillator in short wave receivers up to 27 Mc/s.

The transistor is hermetically sealed in a metal can and absolutely moisture proof

TRANSISTOR H.F. À CRISTAL DE GERMANIUM du type p-n-p, en technique alliage-diffusion avec amplification de conversion élevée jusqu'à 100 MHz, pour utilisation comme mélangeur-oscillateur dans les récepteurs F.M. et comme amplificateur H.F. ou mélangeur-oscillateur dans les récepteurs ondes courtes jusqu'à 27 MHz. Le transistor est scellé hermétiquement dans un boîtier métallique et protégé contre l'humidité

HF p-n-p GERMANIUMTRANSISTOR nach dem Legierungs-Diffusionsverfahren mit hoher Überlagerungsverstärkung bis zu 100 MHz, zur Verwendung als Mischer-Oszillator in FM-Empfängern und als HF-Verstärker oder Mischer-Oszillator in Kurzwellenempfängern bis zu 27 MHz. Der Transistor ist hermetisch abgeschlossen in einem Metallgehäuse und absolut sicher vor Feuchtigkeit

Limiting values (Absolute max. values)

Caractéristiques limites (Valeurs max. absolues)

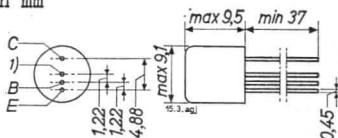
Grenzdaten (Absolute Maximalwerte)

| | | | |
|----------------|--|----------------------------|---|
| | -V _{CB} | = max. 32 V | |
| | -V _{CE} | = max. 32 V ¹⁾ | ← |
| | -I _C | = max. 10 mA | |
| | I _B | = max. 11 mA | |
| | -I _E | = max. 1 mA | |
| | I _B | = max. 1 mA | |
| | P _C (T _{amb} ≤ 45 °C) | = max. 50 mW | |
| T _J | { continuous operation service continu Dauerbetrieb | = max. 75 °C | |
| T _J | { intermittent operation service intermittent aussetzender Betrieb | = max. 90 °C ²⁾ | |
| | Storage temperature Température d'emmagasinage Lagerungstemperatur | = -55°C/+75 °C | |

→ 1) See also page J
Voir aussi page J
Siehe auch Seite J

2) Total duration max. 200 hours
Durée totale 200 heures au max.
Gesamtdauer max. 200 Stunden

Dimensions in mm
Dimensions en mm
Abmessungen in mm



Thermal data
Données thermiques
Thermische Daten

Thermal resistance from junction to
ambience in free air $K \leq 0.6 \text{ } ^\circ\text{C/mW}$
Résistance thermique entre la jonction
et l'ambiance à l'air libre $K \leq 0,6 \text{ } ^\circ\text{C/mW}$
Thermischer Widerstand zwischen dem
Kristall und der Umgebung in freier
Luft $K \leq 0,6 \text{ } ^\circ\text{C/mW}$

Characteristics
Caractéristiques
Kenndaten

$T_{\text{amb}} = 25 \text{ } ^\circ\text{C}$

| | | |
|--|------------------------------|--|
| $-I_{\text{CBO}}$ ($-V_{\text{CB}} = 6 \text{ V}$) | $= 1,2 \text{ } \mu\text{A}$ | $< 8 \text{ } \mu\text{A}$ |
| $-V_{\text{CB}}$ ($-I_{\text{C}} = 50 \text{ } \mu\text{A}$; $I_{\text{E}} = 0 \text{ mA}$) | | $> 32 \text{ V}$ |
| $-I_{\text{B}}$ ($-V_{\text{CB}} = 6 \text{ V}$; $I_{\text{E}} = 1 \text{ mA}$) | $= 7 \text{ } \mu\text{A}$ | $< 25 \text{ } \mu\text{A}$ |
| $-V_{\text{BE}}$ ($-V_{\text{CB}} = 6 \text{ V}$; $I_{\text{E}} = 1 \text{ mA}$) | $= 270 \text{ mV}$ | $> 210 \text{ mV}$ $< 330 \text{ mV}$ |
| G ($f = 100 \text{ Mc/s}$) | $= 13 \text{ dB}$ | $> 10 \text{ dB}^2)$ |

1) Interlead shield and metal case
Blindage entre les connexions et boîtier métallique
Abschirmung zwischen den Anschlüssen und Metallgehäuse

2) Available power gain in
the circuit page 3,
defined by:

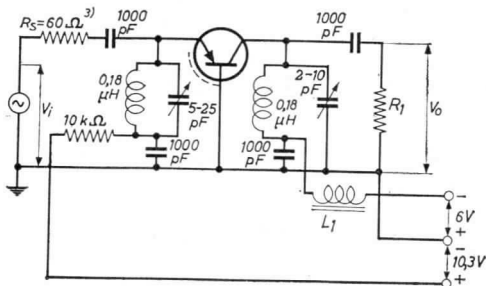
Amplification de puissance
disponible dans le circuit
page 3, définie par:

Verfügbare Leistungsverstärkung
der auf Seite 3 angegebenen
Schaltung, definiert durch:

$$G = \frac{4R_S}{R_L} \frac{V_0^2}{V_1^2}$$

$$= 0,073 \frac{V_0^2}{V_1^2}$$

Test circuit for power gain at 100 Mc/s (See page 2)
 Circuit pour la mesure de l'amplification à 100 MHz (voir page 2)
 Schaltung zum Messen der Leistungsverstärkung bei 100 MHz (siehe Seite 2)



R_1 is chosen so that the total impedance R_L of the tuned circuit is $3,3 \text{ k}\Omega$

R_1 est choisie tellement que l'impédance totale R_L du circuit accordé est de $3,3 \text{ k}\Omega$

R_1 wird derartig gewählt dass die Gesamtimpedanz R_L des abgestimmten Kreises $3,3 \text{ k}\Omega$ ist

L_1 = ferrite bead; L_1 = perle magnétique; L_1 = Ferritperle

³⁾ Input source impedance
 Impédance de la source d'entrée
 Impedanz der Eingangsspannungsquelle

Characteristics range values for equipment design
 Gammes de valeurs des caractéristiques pour l'étude d'équipements
 Kenndatenbereiche für Gerätentwurf $T_{amb} = 25^{\circ}C$

| | | |
|--------------------------------------|------------------------|---------------|
| $-I_E = 50 \mu A$; $-I_C = 0 mA$ | $-V_{EB} = 1,5 V$ | $> 1,0 V$ |
| $-V_{CB} = 6 V$; $I_E = 1 mA$ | $f_1 = 75 Mc/s$ | ¹⁾ |
| $-V_{CB} = 6 V$; $I_E = 1 mA$ | $ z_{rb} = 25 \Omega$ | ²⁾ |
| $f = 2 Mc/s$ | | |
| $-V_{CE} = 6 V$; $I_E = 1 mA$ | $-C_{re} = 1,5 pF$ | |
| $f = 0,45 Mc/s$ | | |
| $-V_{CE} = 6 V$; $I_E = 1 mA$ | $h_{fe} = 150$ | |
| $f = 1 kc/s$ | | |
| $-V_{CB} = 6 V$; $I_E = 1 mA$ | $F = 9,5 dB$ | |
| $f = 100 Mc/s$; $R_S = 60 \Omega$ | ³⁾ | |
| $-V_{CE} = 6 V$; $I_E = 1 mA$ | $F = 3 dB$ | |
| $f = 10,7 Mc/s$; $R_S = 200 \Omega$ | ³⁾ | |
| $-V_{CB} = 6 V$; $I_E = 1 mA$ | $F = 1,5 dB$ | $< 3 dB$ |
| $f = 1 Mc/s$; $R_S = 500 \Omega$ | ³⁾ | |
| $-V_{CE} = 6 V$; $I_E = 1 mA$ | $F_{conv} = 3 dB$ | $< 5 dB$ |
| $f = 1 Mc/s$; $R_S = 500 \Omega$ | ³⁾ | |
| $-V_{CE} = 6 V$; $I_E = 1 mA$ | $F_{conv} = 4 dB$ | $< 7 dB$ |
| $f = 200 kc/s$; $R_S = 2 k\Omega$ | ³⁾ | |

¹⁾ Frequency at which $|h_{fe}| = 1$
 Fréquence à laquelle $|h_{fe}| = 1$
 Frequenz bei der $|h_{fe}| = 1$

²⁾ Intrinsic base impedance
 Impédance intrinsèque de la base
 Innere Impedanz der Basis

³⁾ Input source impedance
 Impédance de la source d'entrée
 Impedanz der Eingangsspannungsquelle

⁴⁾ Conversion noise
 Bruit de conversion
 Überlagerungsrauschen

Characteristics range values for equipment design (continued)
 Gammes de valeurs des caractéristiques pour l'étude d'équipements (suite)
 Kenndatenbereiche für Gerätentwurf (Fortsetzung)

Small signal characteristics (measured with a length of leads between transistor and measuring jig of 5 mm)
 Caractéristiques pour les signaux faibles (mesurées avec une longueur des fils de connexion entre le transistor et l'appareil de mesure de 5 mm)

Kenndaten für kleine Signale (gemessen mit einer Länge der Anschlussdrähte zwischen Transistor und Messvorrichtung von 5 mm)

$-V_{CB} = 6 \text{ V}; I_E = 1 \text{ mA}$
 $f = 100 \text{ Mc/s}; T_{amb} = 25 \text{ }^\circ\text{C}$

$\xi_{ib} = 15 \text{ mA/V}$
 $-c_{ib} = 5 \text{ pF}$
 $|y_{rb}| = 0,45 \text{ mA/V}$
 $\varphi_{rb} = 250^\circ$
 $|y_{fb}| = 15 \text{ mA/V}$
 $\varphi_{fb} = 95^\circ$
 $\xi_{ob} = 0,35 \text{ mA/V}$
 $c_{ob} = 2,5 \text{ pF}$

$-V_{CE} = 6 \text{ V}; I_E = 1 \text{ mA}$
 $f = 10,7 \text{ Mc/s}; T_{amb} = 25 \text{ }^\circ\text{C}$

$\xi_{ie} = 1,3 \text{ mA/V}$
 $c_{ie} = 65 \text{ pF}$
 $|y_{re}| = 80 \text{ } \mu\text{A/V}$
 $\varphi_{re} = 260^\circ$
 $|y_{fe}| = 34 \text{ mA/V}$
 $\varphi_{fe} = 335^\circ$
 $\xi_{oe} = 25 \text{ } \mu\text{A/V}$
 $c_{oe} = 3,0 \text{ pF}$

$-V_{CE} = 6 \text{ V}; I_E = 1 \text{ mA}$
 $f = 0,45 \text{ Mc/s}; T_{amb} = 25 \text{ }^\circ\text{C}$

$\xi_{ie} = 0,25 \text{ mA/V}$
 $c_{ie} = 70 \text{ pF}$
 $|y_{re}| = 4 \text{ } \mu\text{A/V}$
 $\varphi_{re} = 270^\circ$
 $|y_{fe}| = 37 \text{ mA/V}$
 $\varphi_{fe} = 0^\circ$
 $\xi_{oe} = 1,0 \text{ } \mu\text{A/V}$
 $c_{oe} = 4 \text{ pF}$

Operating characteristics as self-oscillating mixer in front-end unit of F.M. tuner (see page 7)

Caractéristiques d'utilisation comme mélangeur auto-oscillateur dans un amplificateur d'entrée d'un récepteur F.M. (voir page 7)

Betriebsdaten als selbstschwingender Mischer in der Eingangsstufe eines FM-Empfängers (siehe Seite 7)

Shift of oscillator frequency as a function of V_S is about 50 kc/s from 6 to 5 V and about 100 kc/s from 5 to 4 V.

Le glissement de la fréquence d'oscillation en fonction de V_S est d'environ 50 kHz, à une variation de 6 à 5 V et d'environ 100 kHz de 5 à 4 V.

Die Frequenzverschiebung des Oszillators als Funktion von V_S ist etwa 50 kHz bei einer Änderung von 6 bis 5 V und etwa 100 kHz von 5 bis 4 V.

The oscillator voltage at the aerial terminals is about 1.5 mV

La tension d'oscillation aux bornes de l'antenne est d'environ 1,5 mV

Die Oszillatorspannung an den Antennenklemmen ist etwa 1,5 mV

$-I_C = 1,5 \text{ mA.}$

COIL DATA

L₄ : 6 turns of 0.5 mm enamelled copper wire, closely wound; L = 0.65 μH

L₅ : 2 $\frac{1}{2}$ turns of 1 mm silvered copper wire, winding pitch 2 mm; L = 0.062 μH , $Q_0 > 200$. Tap at 1 $\frac{1}{8}$ turn from earth side

L₆ : 18 turns of 36x0.03 copper wire, enamelled, soldering graded, stranded, open covered, closely wound; L = 2.9 μH , $Q_0 = 120$, Q (loaded with 25 k Ω) = 60. Screening can A3 304 20

DONNEES DES BOBINES

L₄ : 6 tours de fil de cuivre émaillé de 0,5 mm, enroulés jointifs; L = 0,65 μH

L₅ : 2 $\frac{1}{2}$ tours de fil de cuivre argenté de 1 mm, pas des spires 2 mm; L = 0,062 μH , $Q_0 > 200$. Prise à 1 $\frac{1}{8}$ tour de l'extrémité mise à la terre

L₆ : 18 tours de fil de cuivre 36x0,03, émaillé, torsadé, enroulés jointifs; L = 2,9 μH , $Q_0 = 120$, Q (chargé de 25 k Ω) = 60. Boîte de blindage A3 304 20

SPULENDATEN

L₄ : 6 Windungen, 0,5 mm lackiertes Kupferdraht, anschliessend gewickelt; L = 0,65 μH

L₅ : 2 $\frac{1}{2}$ Windungen, 1 mm versilbertes Kupfer, Ganghöhe 2 mm; L = 0,062 μH , $Q_0 > 200$. Anzapfung bei 1 $\frac{1}{8}$ Windungen von dem geerdeten Ende.

L₆ : 18 Windungen, lackiertes Litzedraht 36x0,03, anschliessend gewickelt; L = 2,9 μH , $Q_0 = 120$, Q (belastet mit 25 k Ω) = 60. Abschirmbuchse A3 304 20.

Operating characteristics as self-oscillating mixer for the frequency range 15.1 to 26.1 Mc/s (see page 9)
 Caractéristiques d'utilisation comme mélangeur auto-oscillateur pour la bande de 15,1 - 26,1 MHz (voir page 9)
 Betriebsdaten als selbstschwingender Mischer für den Frequenzbereich von 15,1 - 26,1 MHz (siehe Seite 9)

$$V_S = 9 \text{ V} \quad -V_{CE} = 6 \text{ V} \quad I_E = 1 \text{ mA}$$

| f | $V_{osc}^1)$ | $\Delta f_{osc}^2)$ | $P_o/P_i^3)$ |
|--------|--------------|---------------------|--------------|
| (Mc/s) | (V) | (kc/s) | (dB) |
| 15 | 0,11 | 3 | 26 |
| 20 | 0,14 | 2 | 23 |
| 26 | 0,15 | 10 | 20 |

COIL DATA

- L_1 : $5\frac{1}{2}$ turns of 0.25 mm enamelled copper wire, closely wound on coil former with diameter of 7 mm; $L = 0.59 \mu\text{H}$
 Q_0 ($f = 15 \text{ Mc/s}$) = 100, Q_0 ($f = 26 \text{ Mc/s}$) = 115.
 L_2 : $1\frac{1}{4}$ turns of 0.25 mm enamelled copper wire, wound in L_4 at earth side
 L_3 : 1 turn of 0.25 mm enamelled copper wire, wound in L_4 at earth side
 L_4 : $6\frac{1}{2}$ turns of 0.9 mm enamelled copper wire, closely wound on coil former with diameter of 7 mm; $L = 0.46 \mu\text{H}$, Q_0 ($f = 15 \text{ Mc/s}$) = 110, Q_0 ($f = 26 \text{ Mc/s}$) = 110.
 L_5 : $L = 125 \mu\text{H}$; $Q_0 = 140$

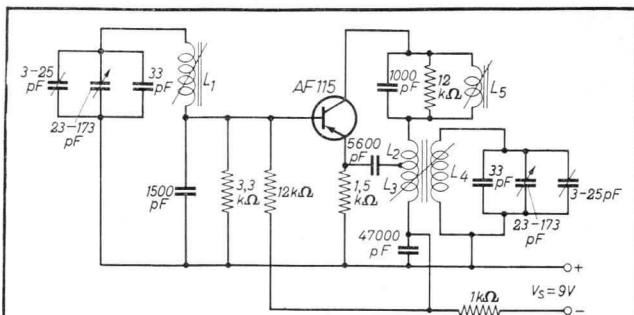
¹⁾ Oscillator voltage, measured between emitter and earth
 Tension d'oscillation, mesurée entre émetteur et masse
 Oszillatorspannung, gemessen zwischen Emitter und Erde

²⁾ Frequency shift by a variation of V_S from 9 to 6 V
 Glissement de fréquence par une variation de V_S de 9-6 V
 Frequenzverschiebung durch eine Änderung von V_S von 9 bis 6 V

³⁾ Conversion gain, defined as the ratio between the I.F. power in a 10 k Ω load (the total I.F. impedance in the collector lead) and the available R.F. power in the aerial circuit.

Amplification de conversion de puissance, définie par le rapport entre la puissance M.F. dans une charge de 10 k Ω (l'impédance M.F. totale dans le conducteur du collecteur) et la puissance H.F. disponible dans le circuit d'antenne.

Überlagerungsverstärkung der Leistung, definiert durch das Verhältnis zwischen der ZF-Leistung in einer Belastung von 10 k Ω (die Gesamt-ZF-Impedanz in der Kollektorleitung) und der HF-Leistung verfügbar in dem Antennenkreis



Self-oscillating mixer for the frequency range from 15.1 to 26.1 Mc/s

Mélangeur auto-oscillateur pour la bande de 15,1-26,1 MHz
Selbstschwingender Mischer für den Frequenzbereich von 15,1 bis 26,1 MHz

Coil data See page 8

Données des bobines

- L1 : 5 $\frac{1}{2}$ tours de fil de cuivre émaillé de 0,25 mm; enroulés jointifs sur un mandrin de 7 mm de diamètre; L = 0,59 μ H, Q₀ (à f = 15 MHz) = 100, Q₀ (à f = 26 MHz) = 115
- L2 : 1 $\frac{1}{4}$ tours de fil de cuivre émaillé de 0,25 mm; enroulés entre les spires de L4 à l'extrémité mise à la terre
- L3 : 1 tour de fil de cuivre émaillé de 0,25 mm; enroulé entre les spires de L4 à l'extrémité mise à la terre
- L4 : 6 $\frac{1}{2}$ tours de fil de cuivre émaillé de 0,9 mm; enroulés jointifs sur un mandrin de 7 mm de diamètre; L = 0,46 μ H, Q₀ (à f = 15 MHz) = 110, Q₀ (à f = 26 MHz) = 110
- L5 : L = 125 μ H; Q₀ = 140

Spulendaten

- L1 : 5 $\frac{1}{2}$ Windungen, 0,25 mm lackiertes Kupferdraht; anschliessend auf einen Spulenkörper von 7 mm gewickelt; L = 0,59 μ H, Q₀ (bei f = 15 MHz) = 100, Q₀ (bei f = 26 MHz) = 115
- L2 : 1 $\frac{1}{4}$ Windungen, 0,25 mm lackiertes Kupferdraht; zwischen die Windungen am geerdeten Ende von L4 gewickelt
- L3 : 1 Windung, 0,25 mm lackiertes Kupferdraht; zwischen die Windungen am geerdeten Ende von L4 gewickelt
- L4 : 6 $\frac{1}{2}$ Windungen, 0,9 mm lackiertes Kupferdraht; anschliessend auf einen Spulenkörper von 7 mm gewickelt; L = 0,46 μ H, Q₀ (bei f = 15 MHz) = 110, Q₀ (bei f = 26 MHz) = 110
- L5 : L = 125 μ H; Q₀ = 140

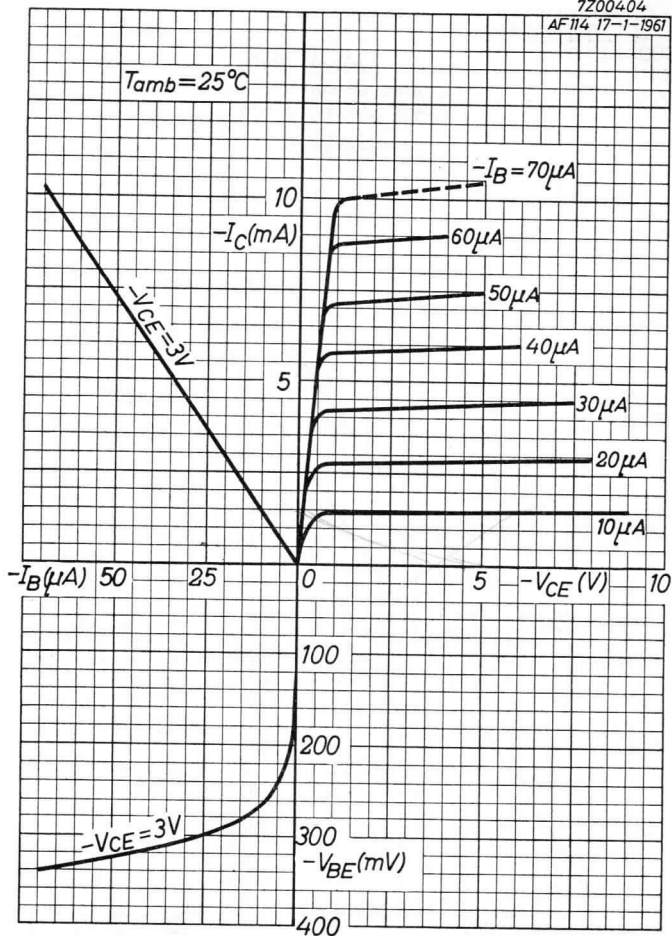
200 541

1911



7200404

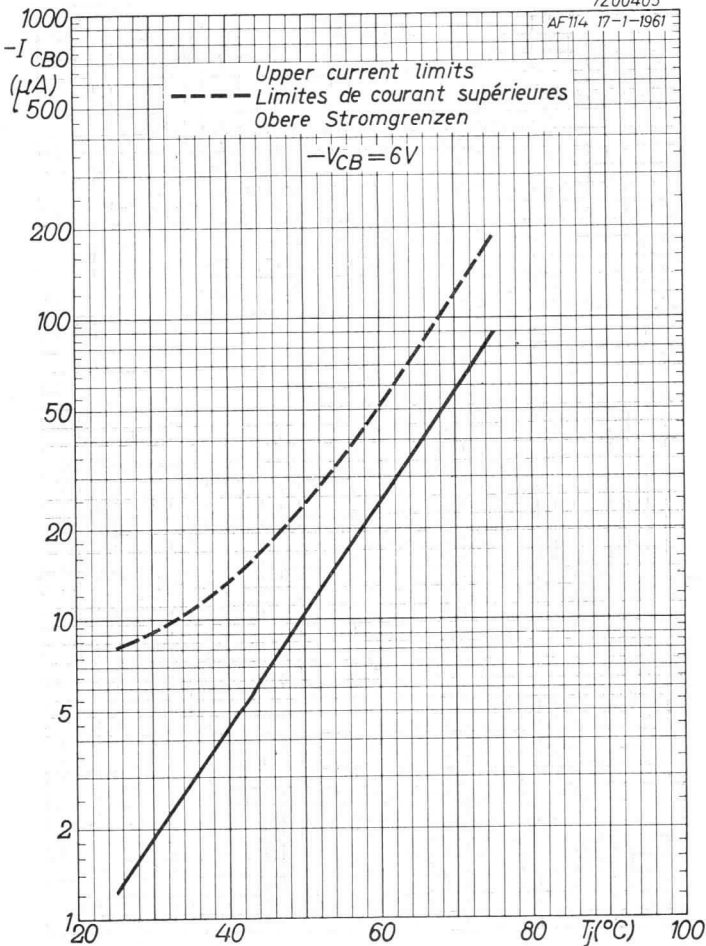
AF 114 17-1-1961



AF 115**PHILIPS**

7Z00405

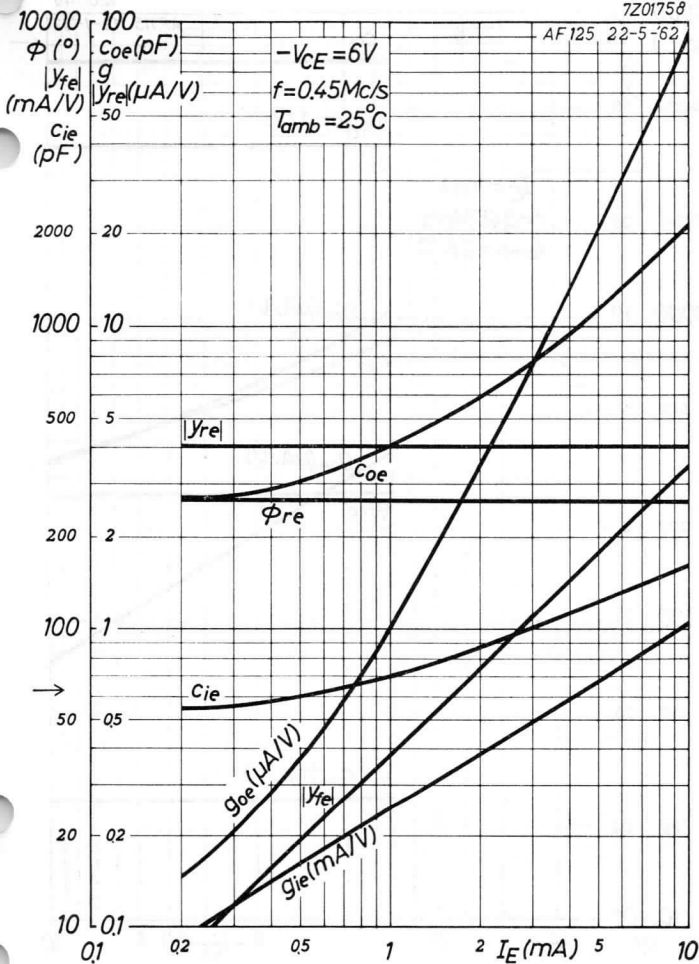
AF114 17-1-1961



B

7201758

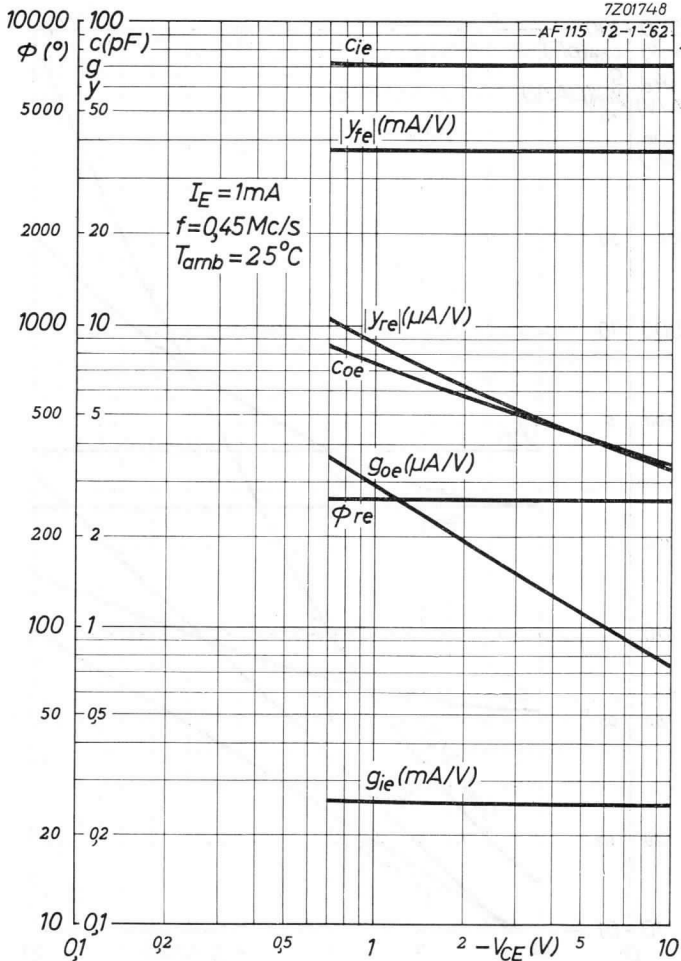
AF125, 22-5-62



AF115**PHILIPS**

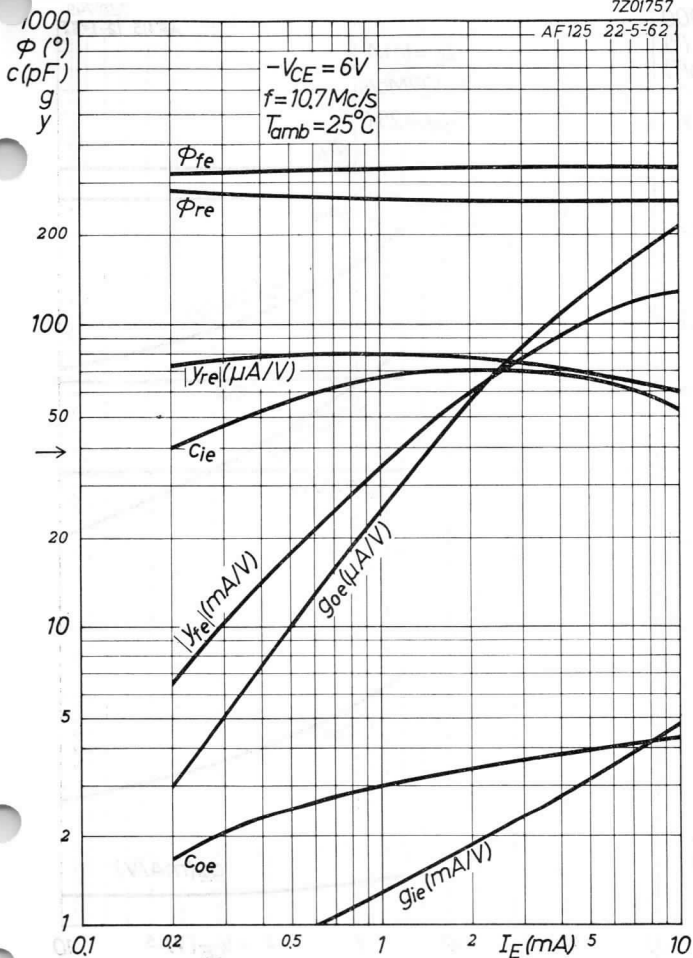
7Z01748

AF115 12-1-62



7201757

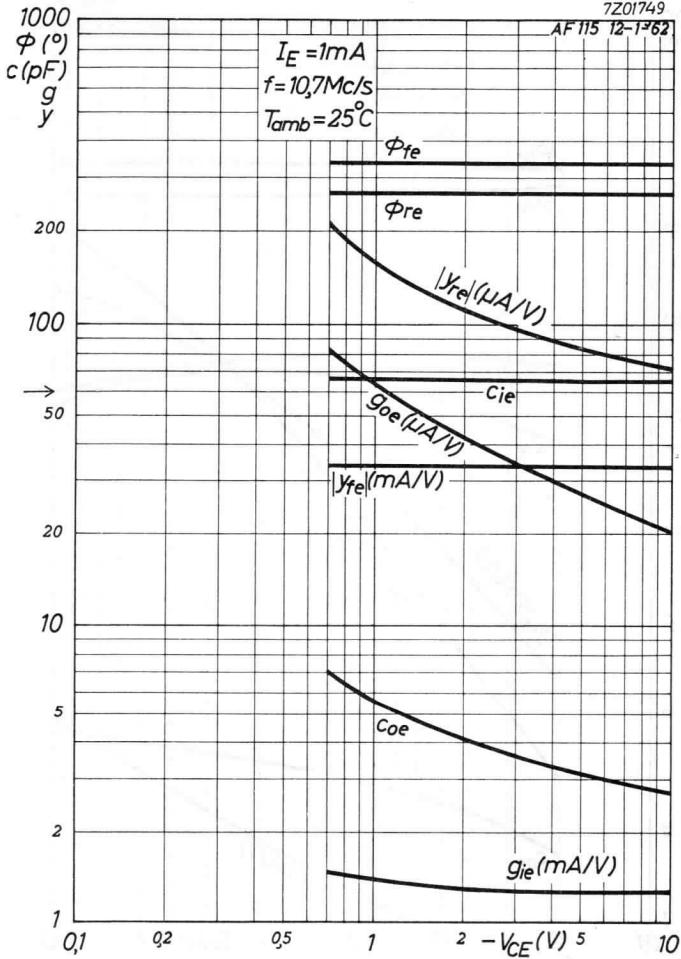
AF125 22-5-62



AF115**PHILIPS**

7201749

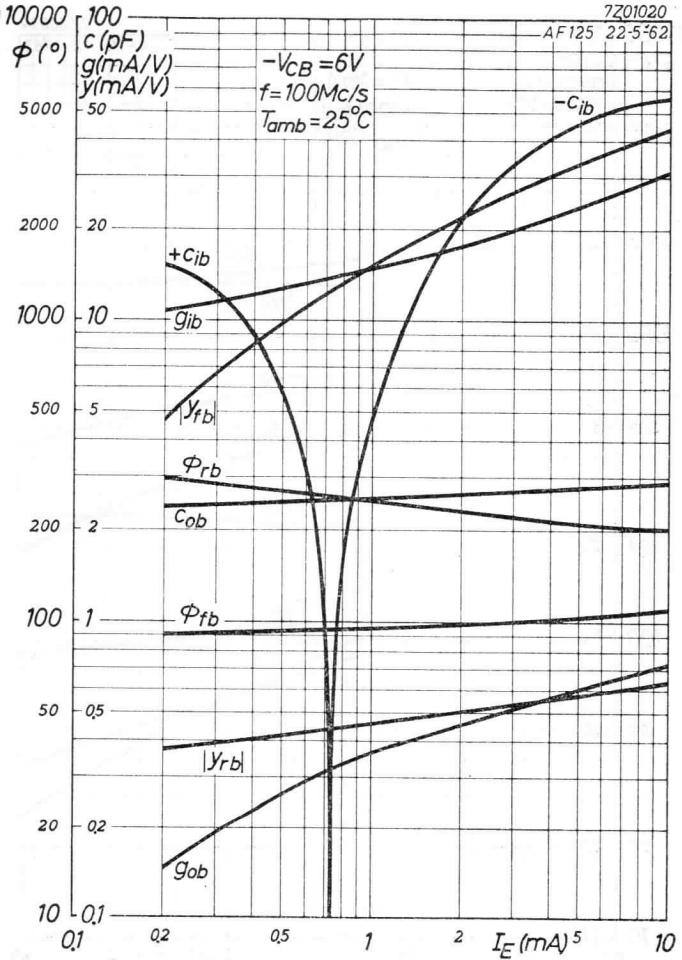
AF115 12-1962



F

7201020

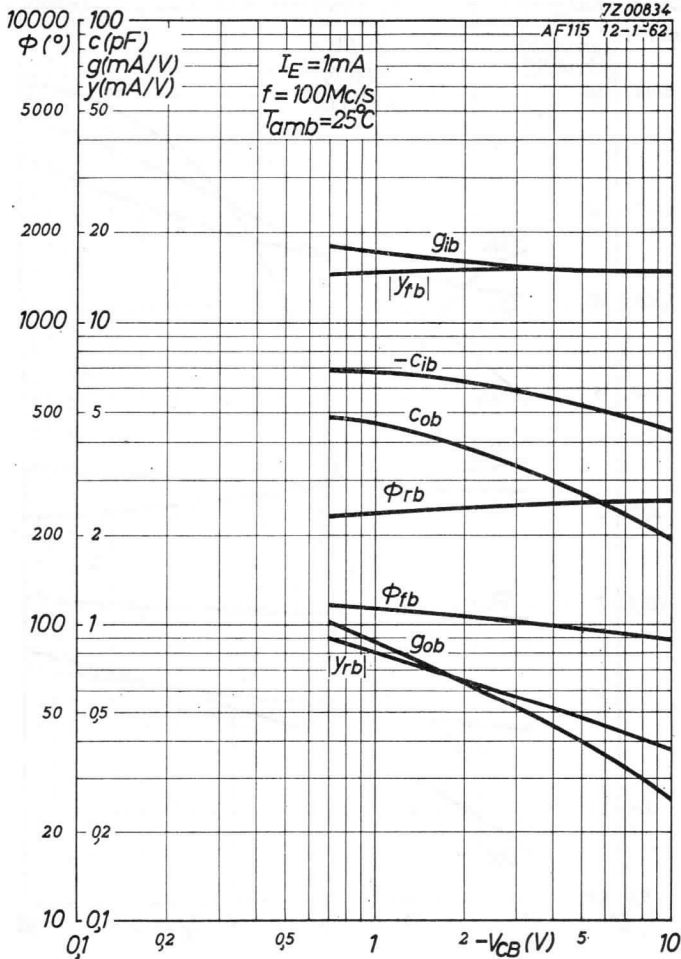
AF125 22-5-62



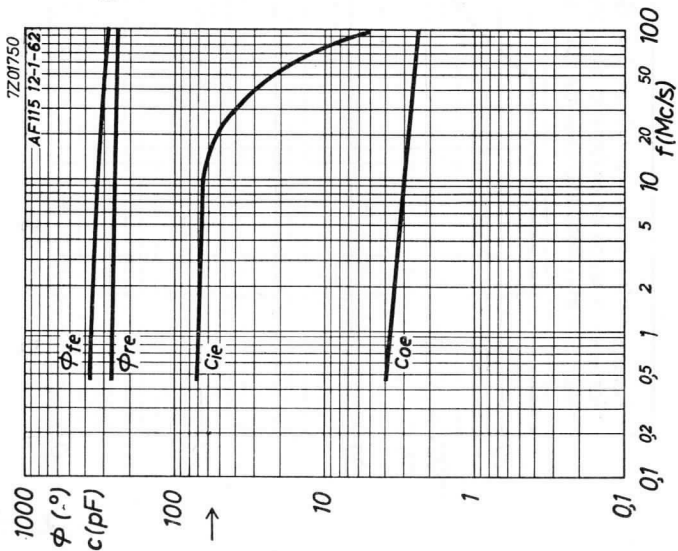
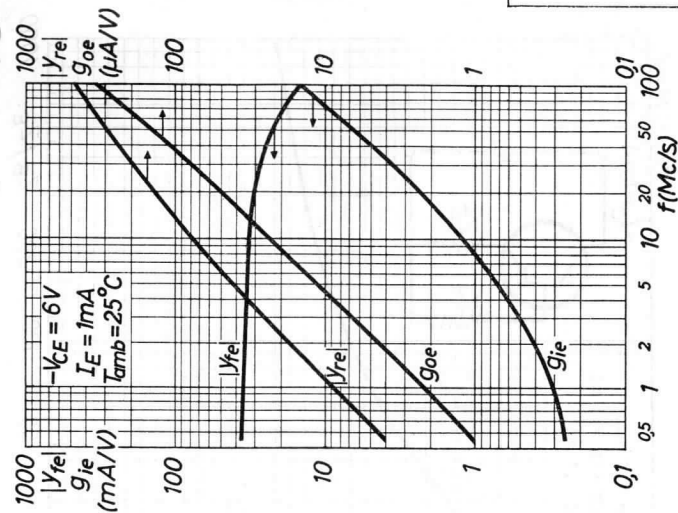
AF115**PHILIPS**

7Z00834

AF115 12-1-62



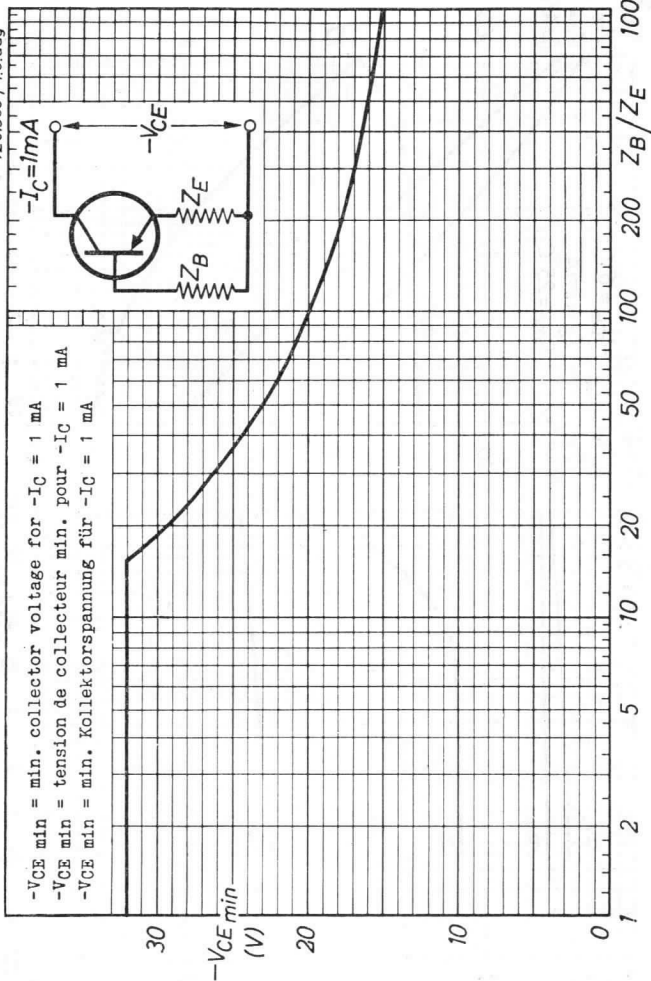
H



AF115

PHILIPS

7201386 / 1.6.009



R.F. GERMANIUM TRANSISTOR of the p-n-p type, made in the alloy-diffusion technique with low output conductance and low collector capacitance at 10.7 Mc/s, low noise and good A.G.C. performance at high ambient temperatures, for use as I.F. amplifier in A.M. and F.M. receivers and as R.F. amplifier or mixer-oscillator in short wave receivers up to 16 Mc/s. The transistor is hermetically sealed in a metal can and absolutely moisture proof

TRANSISTOR H.F. À CRISTAL DE GERMANIUM du type p-n-p, en technique alliage-diffusion, avec petite conductance de sortie et petite capacité de collecteur à 10,7 MHz, bruit faible et comportement favorable par rapport au réglage automatique de l'amplification aux températures élevées, pour l'utilisation comme amplificateur M.F. dans les récepteurs A.M. et F.M. et comme amplificateur H.F. ou mélangeur-oscillateur dans les récepteurs ondes courtes jusqu'à une fréquence de 16 MHz. Le transistor est scellé hermétiquement dans un boîtier métallique et protégé contre l'humidité

HF p-n-p GERMANIUMTRANSISTOR nach dem Legierungs-Diffusionsverfahren, mit niedriger Ausgangskonduktanz und kleiner Kollektorkapazität bei 10,7 MHz, schwachem Rauschen und guten Eigenschaften in bezug auf automatische Stärke-regelung bei hohen Temperaturen, zur Verwendung als ZF-Verstärker in AM- und FM-Empfängern und als HF-Verstärker oder Mischer-Oszillator in Kurzwellenempfängern bis zu 16 MHz. Der Transistor ist hermetisch abgeschlossen in einem Metallgehäuse und absolut sicher vor Feuchtigkeit

Limiting values (Absolute max. values)

Caractéristiques limites (Valeurs max. absolues)

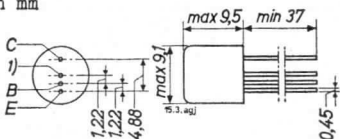
Grenzdaten (Absolute Maximalwerte)

| | | |
|---|--|----------------------------|
| -V _{CB} | = max. 32 V | |
| -V _{CE} | = max. 32 V ¹⁾ | |
| -I _C | = max. 10 mA | |
| I _E | = max. 11 mA | |
| -I _E | = max. 1 mA | |
| I _B | = max. 1 mA | |
| P _C (T _{amb} ≤ 45 °C) | = max. 50 mW | |
| T _j { | continuous operation service continu Dauerbetrieb | = max. 75 °C |
| T _j { | intermittent operation service intermittent aussetzender Betrieb | = max. 90 °C ²⁾ |
| | Storage temperature Température d'emmagasinage Lagerungstemperatur | = -55°C/+75 °C |

¹⁾ See page H; voir page H; siehe Seite H

²⁾ See page 3; voir page 3; siehe Seite 3

Dimensions in mm
 Dimensions en mm
 Abmessungen in mm



Thermal data
 Données thermiques
 Thermische Daten

| | |
|--|---|
| Thermal resistance from junction to ambience in free air | $K \leq 0.6 \text{ } ^\circ\text{C/mW}$ |
| Résistance thermique entre la jonction et l'ambience à l'air libre | $K \leq 0,6 \text{ } ^\circ\text{C/mW}$ |
| Thermischer Widerstand zwischen dem Kristall und der Umgebung in freier Luft | $K \leq 0,6 \text{ } ^\circ\text{C/mW}$ |

Characteristics
 Caractéristiques
 Kenndaten

$T_{amb} = 25 \text{ } ^\circ\text{C}$

| | | |
|---|------------------------------|--|
| $-I_{CBO}$ ($-V_{CB} = 6 \text{ V}$) | $= 1,2 \text{ } \mu\text{A}$ | $< 8 \text{ } \mu\text{A}$ |
| $-V_{CB}$ ($-I_C = 50 \text{ } \mu\text{A}$; $I_E = 0 \text{ mA}$) | | $> 32 \text{ V}$ |
| $-I_B$ ($-V_{CB} = 6 \text{ V}$; $I_E = 1 \text{ mA}$) | $= 7 \text{ } \mu\text{A}$ | $< 25 \text{ } \mu\text{A}$ |
| $-V_{BE}$ ($-V_{CB} = 6 \text{ V}$; $I_E = 1 \text{ mA}$) | $= 270 \text{ mV}$ | $> 210 \text{ mV}$ $< 330 \text{ mV}$ |
| G ($f = 10,7 \text{ Mc/s}$) | $= 25 \text{ dB}$ | $> 19 \text{ dB}^2)$ |

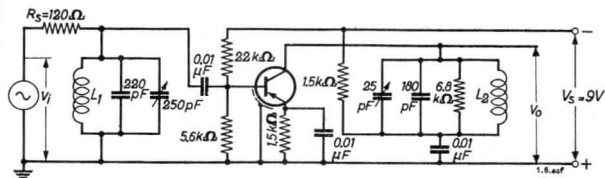
1) Interlead shield and metal case
 Blindage entre les connexions et boîtier métallique
 Abschirmung zwischen den Anschlüssen und Metallgehäuse

2) Available power gain in
 the circuit page 3,
 defined by:
 Amplification de puissance
 disponible dans le circuit
 page 3, définie par:
 Verfügbare Leistungsverstärkung
 der auf Seite 3 angegebenen
 Schaltung, definiert durch:

$$G = \frac{4R_S}{R_L} \frac{V_0^2}{V_1^2}$$

$$= 0,1 \frac{V_0^2}{V_1^2}$$

Test circuit for power gain at 10.7 Mc/s (see page 2)
 Circuit pour la mesure de l'amplification de puissance à
 10,7 MHz (voir page 2)
 Schaltung zur Messung der Leistungsverstärkung bei 10,7 MHz
 (siehe Seite 2)



$$L_1 = 0,5 \mu\text{H}; Q_0 = 100$$

$$L_2 = 2,47 \mu\text{H}; Q_0 = 100$$

R_S = input source impedance

R_S = impédance de la source d'entrée

R_S = Impedanz der Eingangsspannungsquelle

R_L = total collector impedance = 4.8 kΩ

R_L = impédance de collecteur totale = 4,8 kΩ

R_L = Gesamtwiderstand in der Kollektorleitung = 4,8 kΩ

Page 1, Seite 1

- 2) Total duration max. 200 hours
 Durée totale 200 heures au max.
 Gesamtdauer max. 200 Stunden

Characteristics range values for equipment design
 Gammas de valeurs des caractéristiques pour l'étude d'équipements

Kenndatenbereiche für Gerätentwurf

$T_{amb} = 25^{\circ}C$

$-I_E = 50 \mu A$; $-I_C = 0 \text{ mA}$ $-V_{EB} = 1,5 \text{ V}$ $> 1,0 \text{ V}$

$-V_{CB} = 6 \text{ V}$; $I_E = 1 \text{ mA}$ $f_1 = 75 \text{ Mc/s}^1)$

$-V_{CB} = 6 \text{ V}$; $I_E = 1 \text{ mA}$ $|z_{rb}| = 27 \Omega^2)$
 $f = 2 \text{ Mc/s}$

$-V_{CE} = 6 \text{ V}$; $I_E = 1 \text{ mA}$ $-c_{re} = 1,5 \text{ pF}$
 $f = 0,45 \text{ Mc/s}$

$-V_{CE} = 6 \text{ V}$; $I_E = 1 \text{ mA}$ $h_{fe} = 150$
 $f = 1 \text{ kc/s}$

$-V_{CE} = 6 \text{ V}$; $I_E = 1 \text{ mA}$ $F = 3 \text{ dB} < 4,5 \text{ dB}$
 $f = 10,7 \text{ Mc/s}$; $R_S = 200 \Omega^3)$

$-V_{CE} = 6 \text{ V}$; $I_E = 1 \text{ mA}$ $F = 1,5 \text{ dB} < 3 \text{ dB}$
 $f = 1 \text{ Mc/s}$; $R_S = 500 \Omega^3)$

$-V_{CE} = 6 \text{ V}$; $I_E = 1 \text{ mA}$ $F_{conv} = 3 \text{ dB} < 5 \text{ dB}^4)$
 $f = 1 \text{ Mc/s}$; $R_S = 500 \Omega^3)$

$-V_{CE} = 6 \text{ V}$; $I_E = 1 \text{ mA}$ $F_{conv} = 4 \text{ dB} < 7 \text{ dB}^4)$
 $f = 200 \text{ kc/s}$; $R_S = 2 \text{ k}\Omega^3)$

1) Frequency at which $|h_{fe}| = 1$
 Fréquence à laquelle $|h_{fe}| = 1$
 Frequenz bei der $|h_{fe}| = 1$

2) Intrinsic base impedance
 Impédance intrinsèque de la base
 Innere Impedanz der Basis

3) Input source impedance
 Impédance de la source d'entrée
 Impedanz der Eingangsspannungsquelle

4) Conversion noise
 Bruit de conversion
 Überlagerungsrauschen

Characteristics range values for equipment design (continued)
 Gammes de valeurs des caractéristiques pour l'étude d'équipements (suite)
 Kenndatenbereiche für Gerätentwurf (Fortsetzung)

Small signal characteristics (measured with a length of leads between transistor and measuring jig of 5 mm)
 Caractéristiques pour les signaux faibles (mesurées avec une longueur des fils de connexion entre le transistor et l'appareil de mesure de 5 mm)

Kenndaten für kleine Signale (gemessen mit einer Länge der Anschlussdrähte zwischen Transistor und Messvorrichtung von 5 mm)

$$-V_{CE} = 6 \text{ V}; I_E = 1 \text{ mA}$$

$$f = 10,7 \text{ Mc/s}; T_{amb} = 25 \text{ }^\circ\text{C}$$

$$\xi_{ie} = 1,7 \text{ mA/V}$$

$$c_{ie} = 60 \text{ pF}$$

$$|y_{re}| = 100 \text{ } \mu\text{A/V}$$

$$\phi_{re} = 260^\circ$$

$$|y_{fe}| = 32 \text{ mA/V}$$

$$\phi_{fe} = 335^\circ$$

$$\xi_{oe} = 40 \text{ } \mu\text{A/V}$$

$$c_{oe} = 3,5 \text{ pF}$$

$$-V_{CE} = 6 \text{ V}; I_E = 1 \text{ mA}$$

$$f = 0,45 \text{ Mc/s}; T_{amb} = 25 \text{ }^\circ\text{C}$$

$$\xi_{ie} = 0,25 \text{ mA/V}$$

$$c_{ie} = 70 \text{ pF}$$

$$|y_{re}| = 4 \text{ } \mu\text{A/V}$$

$$\phi_{re} = 270^\circ$$

$$|y_{fe}| = 37 \text{ mA/V}$$

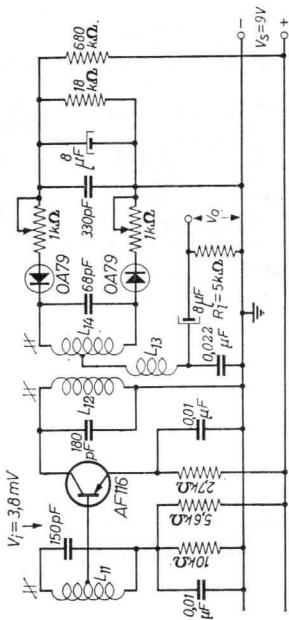
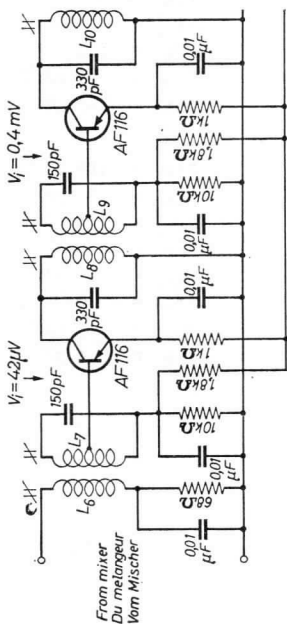
$$\phi_{fe} = 0^\circ$$

$$\xi_{oe} = 1,0 \text{ } \mu\text{A/V}$$

$$c_{oe} = 4 \text{ pF}$$

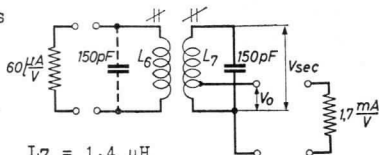
I.F. amplifier for 10.7 Mc/s
 Amplificateur M.F. pour 10,7 MHz
 ZF-Verstärker für 10,7 MHz

IE of each transistor = 1.0 mA
 IE de chaque transistor = 1,0 mA
 IE jedes Transistors = 1,0 mA



For coil data please refer to
 page 7
 Pour les données des bobines
 voir page 7
 Für die Spulendaten siehe
 Seite 7

Coil data
Données des bobines
Spulendaten



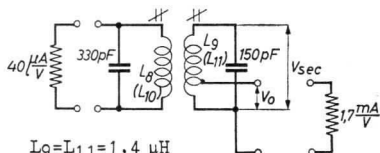
$$L_6 = 1,4 \mu\text{H} \quad L_7 = 1,4 \mu\text{H}$$

$$Q_o \geq 120 \quad Q_o \geq 110$$

$$Q_L = 70 \quad Q_L = 92$$

$$KQ_L = 1,25$$

$$\frac{V_o}{V_{\text{sec}}} = 0,1$$



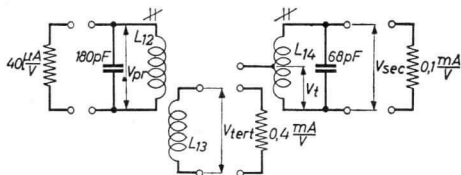
$$L_8=L_{10}=0,67 \mu\text{H} \quad L_9=L_{11}=1,4 \mu\text{H}$$

$$Q_o \geq 110 \quad Q_o \geq 110$$

$$Q_L = 92 \quad Q_L = 92$$

$$KQ_L = 1,25$$

$$\frac{V_o}{V_{\text{sec}}} = 0,1$$



$$L_{12} = 1,2 \mu\text{H} \quad L_{14} = 3,05 \mu\text{H}$$

$$Q_o \geq 90 \quad Q_o \geq 90$$

$$KQ_L = 0,7$$

$$\frac{V_{\text{tert}}}{V_{\text{pr}}} = 0,45 \quad \frac{V_t}{V_{\text{sec}}} = 0,5$$

L_{14} is bifilarly wound
 L_{14} est enroulée bifilairement
 L_{14} ist bifilar gewickelt

MEMORANDUM

TO : [Illegible]

FROM : [Illegible]

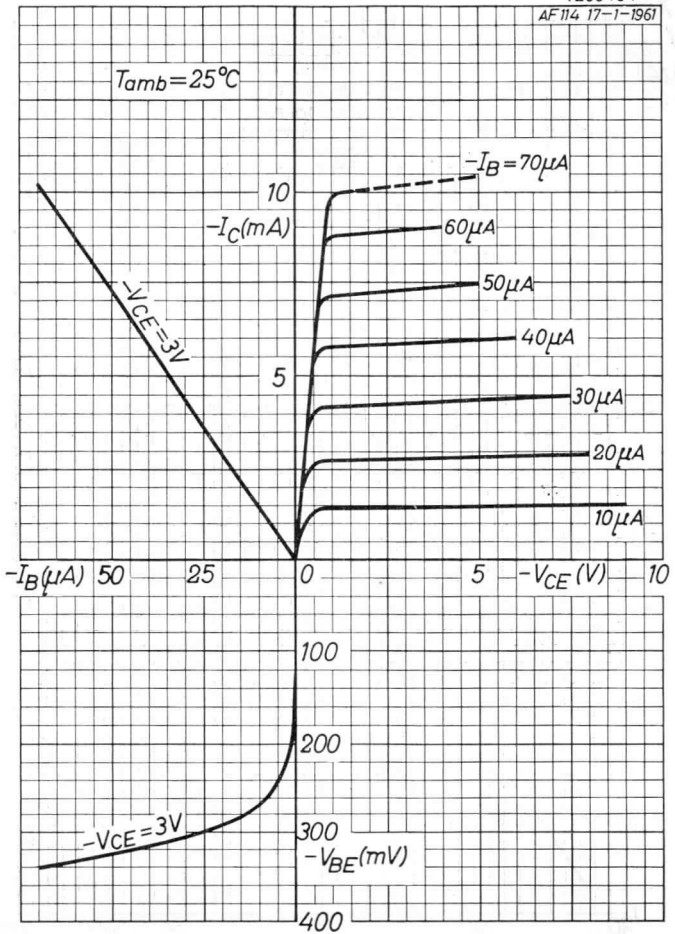
SUBJECT : [Illegible]

[The remainder of the page contains several paragraphs of extremely faint, illegible text.]



7Z00404

AF114 17-1-1961

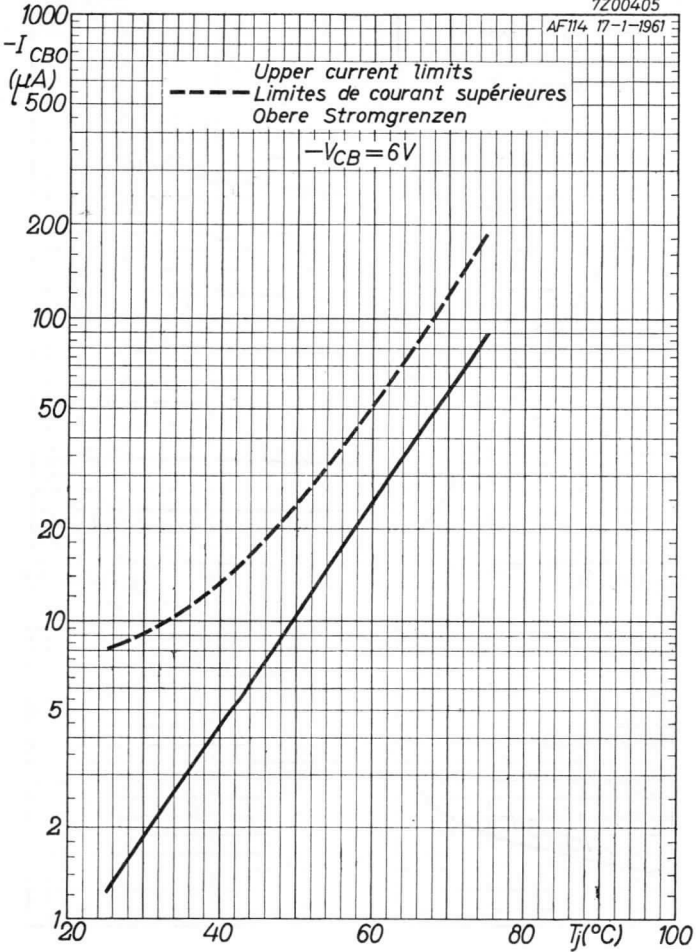


AF116

PHILIPS

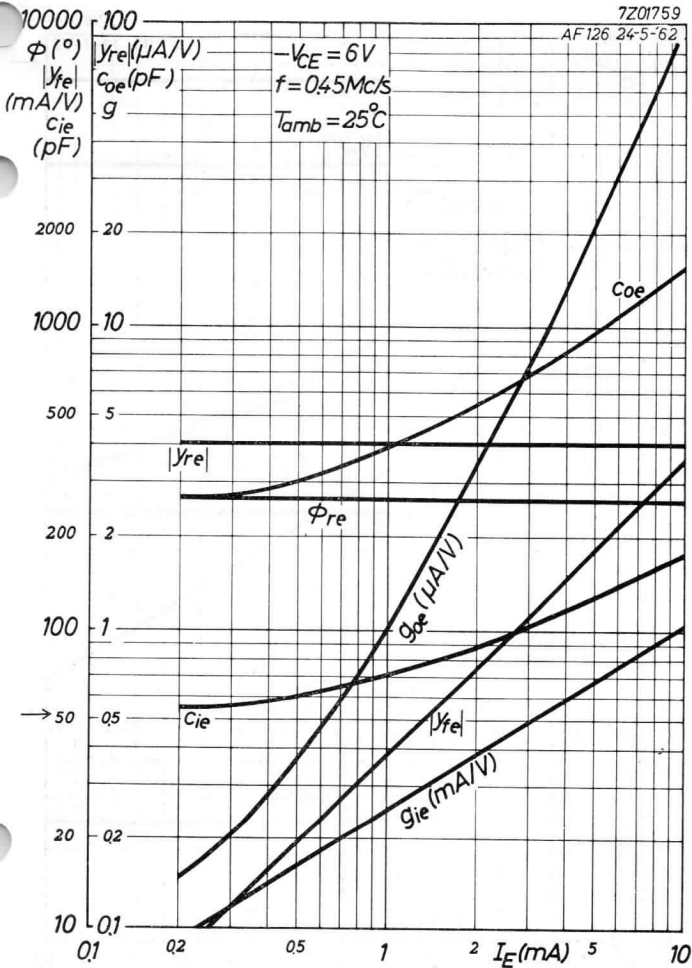
7Z00405

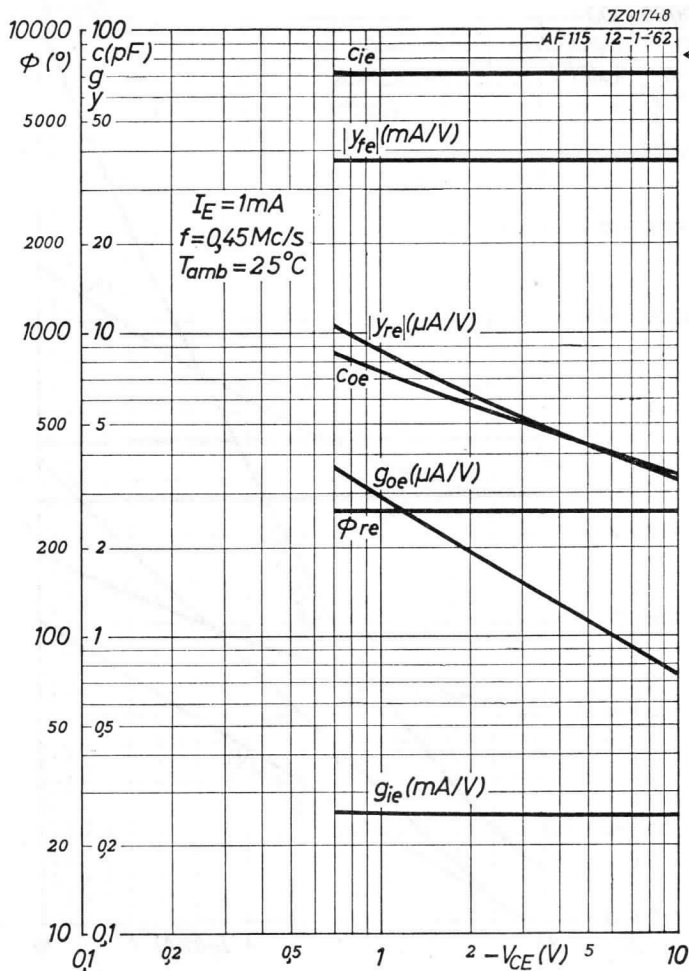
AF114 17-1-1961



7201759

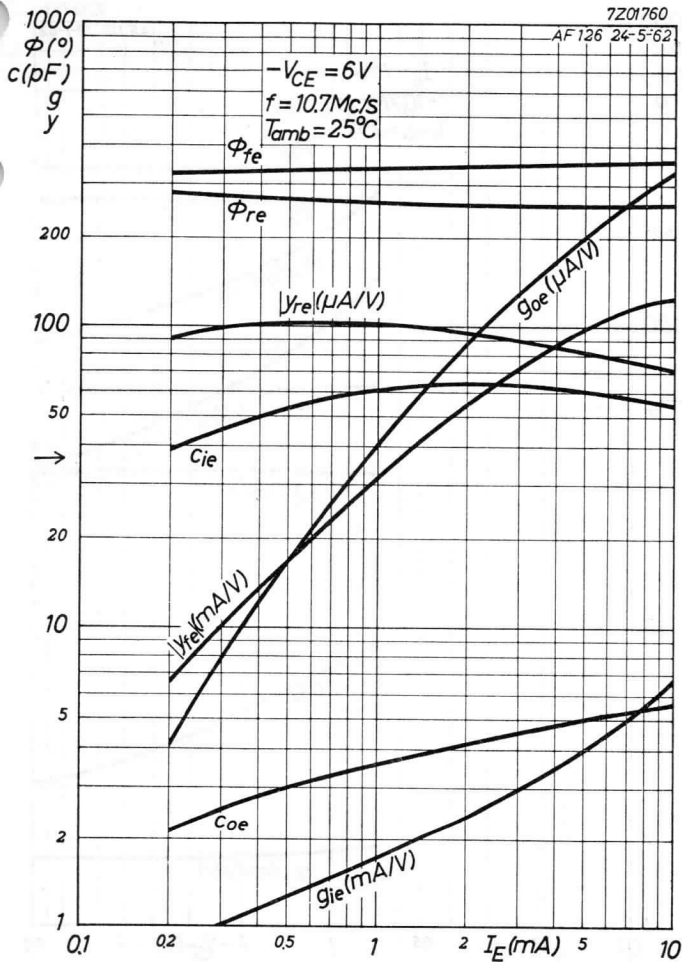
AF126 24-5-62



AF116**PHILIPS**

7201760

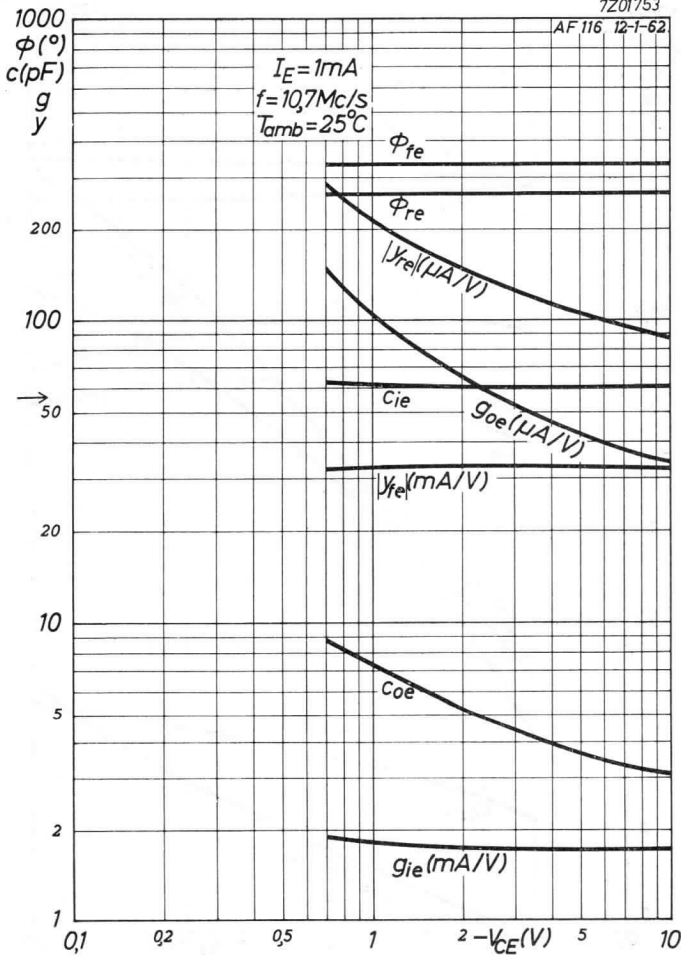
AF 126 24-5-62



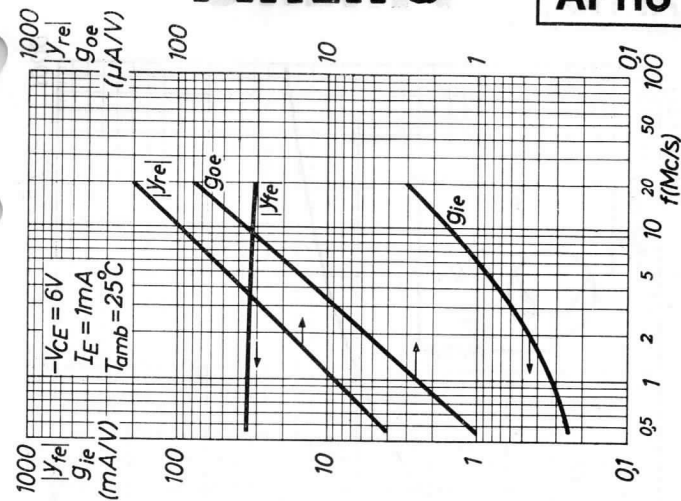
AF116**PHILIPS**

7201753

AF 116, 12-1-62

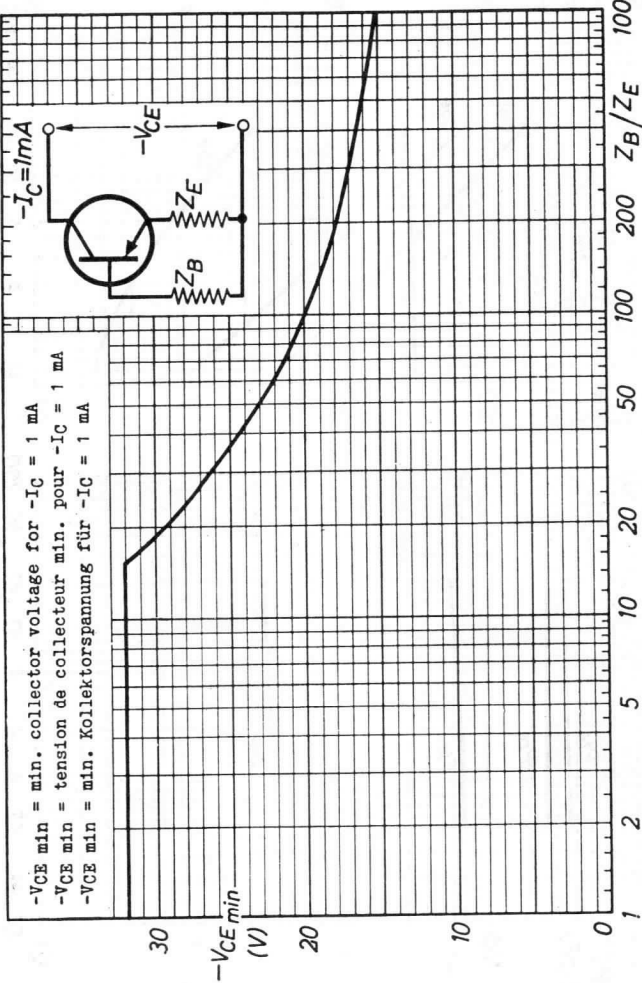


F



AF116**PHILIPS**

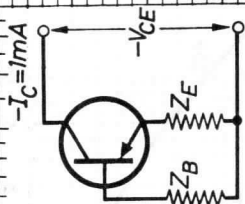
7201386 / 1.6.009



$-V_{CE \min}$ = min. collector voltage for $-I_C = 1 \text{ mA}$

$-V_{CE \min}$ = tension de collecteur min. pour $-I_C = 1 \text{ mA}$

$-V_{CE \min}$ = min. Kollektorspannung für $-I_C = 1 \text{ mA}$



H

R.F. GERMANIUM TRANSISTOR of the p-n-p type, made in the alloy-diffusion technique with low collector capacitance, low noise and good A.G.C. performance at high ambient temperatures, for use as I.F. amplifier in A.M. receivers and as R.F. amplifier or oscillator-mixer in A.M. receivers up to 6 Mc/s. The transistor is hermetically sealed in a metal can and absolutely moisture proof.

TRANSISTOR H.F. A CRISTAL DE GERMANIUM du type p-n-p, en technique alliage-diffusion, avec petite capacité de collecteur, bruit faible et comportement favorable par rapport au réglage automatique de l'amplification aux températures élevées, pour l'utilisation comme amplificateur M.F. dans les récepteurs A.M. et comme amplificateur H.F. ou mélangeur-oscillateur dans les récepteurs A.M. jusqu'à une fréquence de 6 MHz. Le transistor est scellé hermétiquement dans un boîtier métallique et protégé contre l'humidité.

HF p-n-p GERMANIUMTRANSISTOR nach dem Legierungs-Diffusionsverfahren, mit kleiner Kollektorkapazität, schwachem Rauschen und guten Eigenschaften in bezug auf automatische Stärkeregelung bei hohen Temperaturen, zur Verwendung als ZF-Verstärker in AM-Empfängern und als HF-Verstärker oder Mischer-Oszillator in AM-Empfängern bis zu 6 MHz. Der Transistor ist hermetisch abgeschlossen in einem Metallgehäuse und absolut sicher vor Feuchtigkeit.

Limiting values (Absolute max. values)

Caractéristiques limites (Valeurs max. absolues)

Grenzdaten (Absolute Maximalwerte)

→ $-V_{CB} = \text{max. } 32 \text{ V}$ $-I_E = \text{max. } 1 \text{ mA}$
 $-V_{CE} = \text{max. } 32 \text{ V } ^1)$ $|I_B| = \text{max. } 1 \text{ mA}$
 $-I_C = \text{max. } 10 \text{ mA}$ $P_C (T_{amb} \leq 45 \text{ }^\circ\text{C}) = \text{max. } 50 \text{ mW}$
 $I_E = \text{max. } 11 \text{ mA}$

T_j { continuous operation
service continu = max. 75 °C
Dauerbetrieb

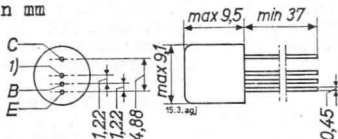
T_j { intermittent operation
service intermittent = max. 90 °C ²⁾
aussetzender Betrieb

Storage temperature
Température d'emmagasinage = -55 °C/+75 °C
Lagerungstemperatur

→ ¹⁾ See also page E
Voir aussi page E
Siehe auch Seite E

²⁾ Total duration max. 200 hours
Durée totale 200 heures au max.
Gesamtdauer max. 200 Stunden

Dimensions in mm
 Dimensions en mm
 Abmessungen in mm



Thermal data
 Données thermiques
 Thermische Daten

| | | |
|--|--------------|------------------------------|
| Thermal resistance from junction to ambience in free air | $K \leq 0.6$ | $^{\circ}\text{C}/\text{mW}$ |
| Résistance thermique entre la jonction et l'ambiance à l'air libre | $K \leq 0,6$ | $^{\circ}\text{C}/\text{mW}$ |
| Thermischer Widerstand zwischen dem Kristall und der Umgebung in freier Luft | $K \leq 0,6$ | $^{\circ}\text{C}/\text{mW}$ |

Characteristics
 Caractéristiques
 Kenndaten

$T_{\text{amb}} = 25^{\circ}\text{C}$

| | | |
|---|---------------------|--------------------|
| -I _{CBO} (-V _{CB} = 6 V) | = 1,2 μA | < 8 μA |
| -V _{CB} (-I _C = 50 μA ; I _E = 0 mA) | | > 32 V |
| -I _B (-V _{CB} = 6 V; I _E = 1 mA) | = 7 μA | < 25 μA |
| -V _{BE} (-V _{CB} = 6 V; I _E = 1 mA) | = 270 mV | > 210 mV |
| | | < 330 mV |
| G ²) (f = 0,45 Mc/s) | = 42 dB | > 40 dB |

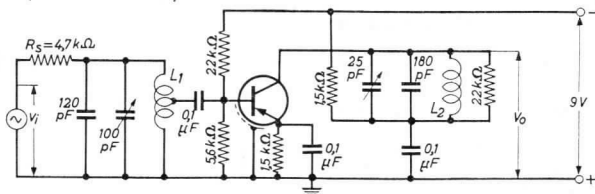
1) Interlead shield and metal case
 Blindage entre les connexions et boîtier métallique
 Abschirmung zwischen den Anschlüssen und Metallgehäuse

2) Available power gain in
 the circuit page 3,
 defined by:
 Amplification de puissance
 disponible dans le circuit
 page 3, définie par:
 Verfügbare Leistungsverstärkung
 der auf Seite 3 angegebenen
 Schaltung, definiert durch:

$$G = \frac{4R_S}{R_L} \frac{V_0^2}{V_1^2}$$

$$= 0,94 \frac{V_0^2}{V_1^2}$$

Test circuit for power gain at 0.45 Mc/s (See page 2)
 Circuit pour la mesure de l'amplification de puissance à
 0,45 MHz (voir page 2)
 Schaltung zur Messung der Leistungsverstärkung bei 0,45 MHz
 (siehe Seite 2)

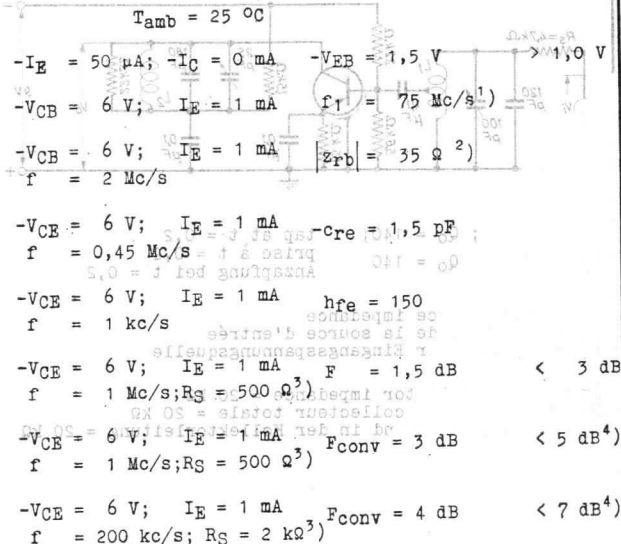


$L_1 = 625 \mu\text{H}; Q_0 = 140;$ tap at $t = 0.2$
 $L_2 = 625 \mu\text{H}; Q_0 = 140$ prise à $t = 0,2$
 Anzapfung bei $t = 0,2$

R_S = input source impedance
 R_S = impédance de la source d'entrée
 R_S = Impedanz der Eingangsspannungsquelle

R_L = total collector impedance = 20 kΩ
 R_L = impédance de collecteur totale = 20 kΩ
 R_L = Gesamtwiderstand in der Kollektorleitung = 20 kΩ

Characteristics range values for equipment design
 Gamme de valeurs des caractéristiques pour l'étude d'équipements
 Kenndatenbereiche für Gerätentwurf



1) Frequency at which $|h_{fe}| = 1$
 Fréquence à laquelle $|h_{fe}| = 1$
 Frequenz bei der $|h_{fe}| = 1$

2) Intrinsic base impedance
 Impédance intrinsèque de la base
 Innere Impedanz der Basis

3) Input source impedance
 Impédance de la source d'entrée
 Impedanz der Eingangsspannungsquelle

4) Conversion noise
 Bruit de conversion
 Überlagerungsrauschen

Characteristics range values for equipment design (continued)

Gammes de valeurs des caractéristiques pour l'étude d'équipements (suite)

Kenndatenbereiche für Gerätentwurf (Fortsetzung)

Small signal characteristics

Caractéristiques pour les signaux faibles

Kenndaten für kleine Signale

$$T_{amb} = 25 \text{ }^{\circ}\text{C}$$

$$-V_{CE} = 6 \text{ V}; I_E = 1 \text{ mA}$$

$$f = 0,45 \text{ Mc/s}$$

$$g_{ie} = 0,25 \text{ mA/V}$$

$$c_{ie} = 70 \text{ pF}$$

$$|y_{re}| = 4 \text{ } \mu\text{A/V}$$

$$\varphi_{re} = 270 \text{ }^{\circ}$$

$$|y_{fe}| = 37 \text{ mA/V}$$

$$\varphi_{fe} = 0 \text{ }^{\circ}$$

$$\xi_{oe} = 1,0 \text{ } \mu\text{A/V}$$

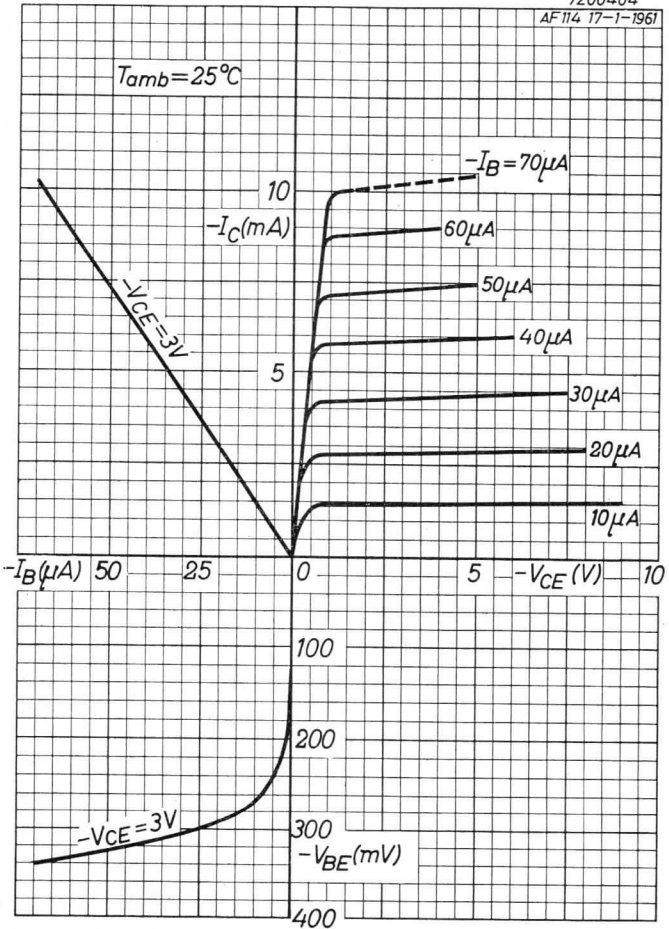
$$c_{oe} = 4 \text{ pF}$$

SECRET



7Z00404

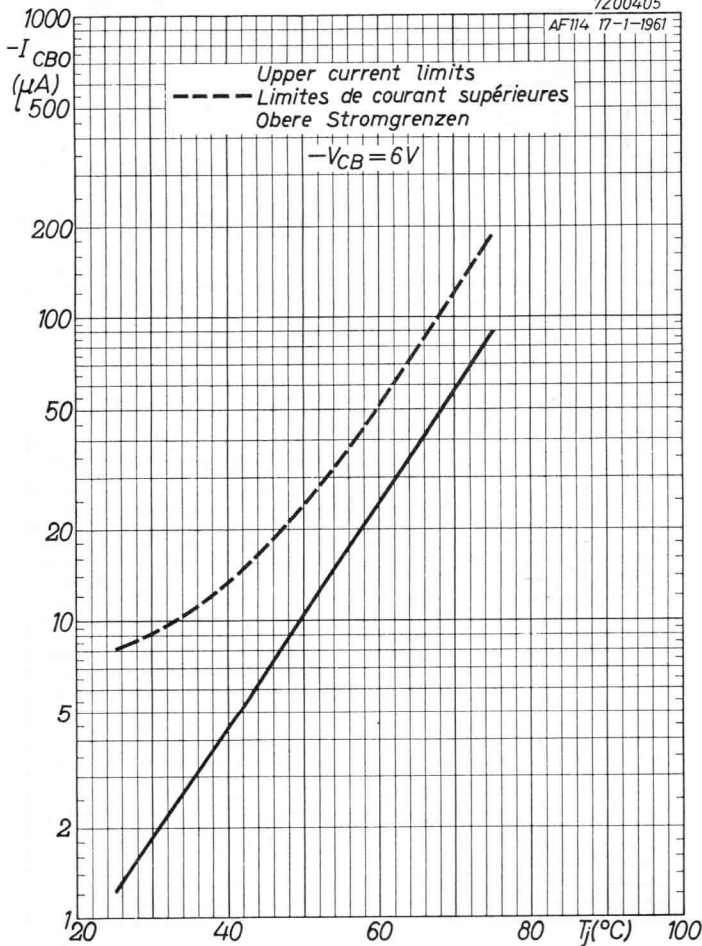
AF 114 17-1-1961



AF117**PHILIPS**

7Z00405

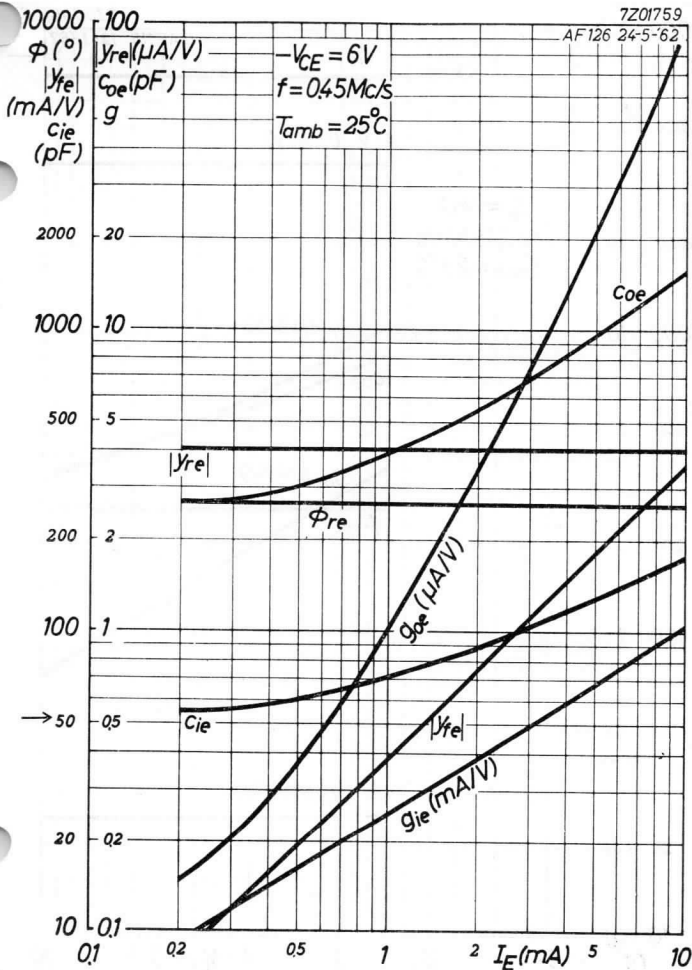
AF114 17-1-1961



B

7201759

AF126 24-5-62

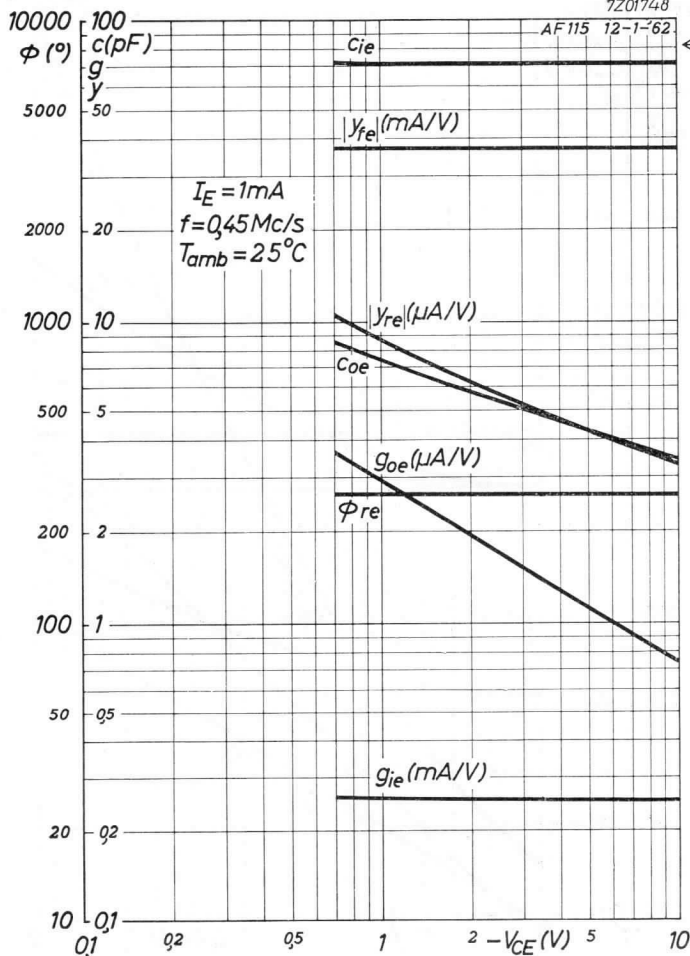


AF117

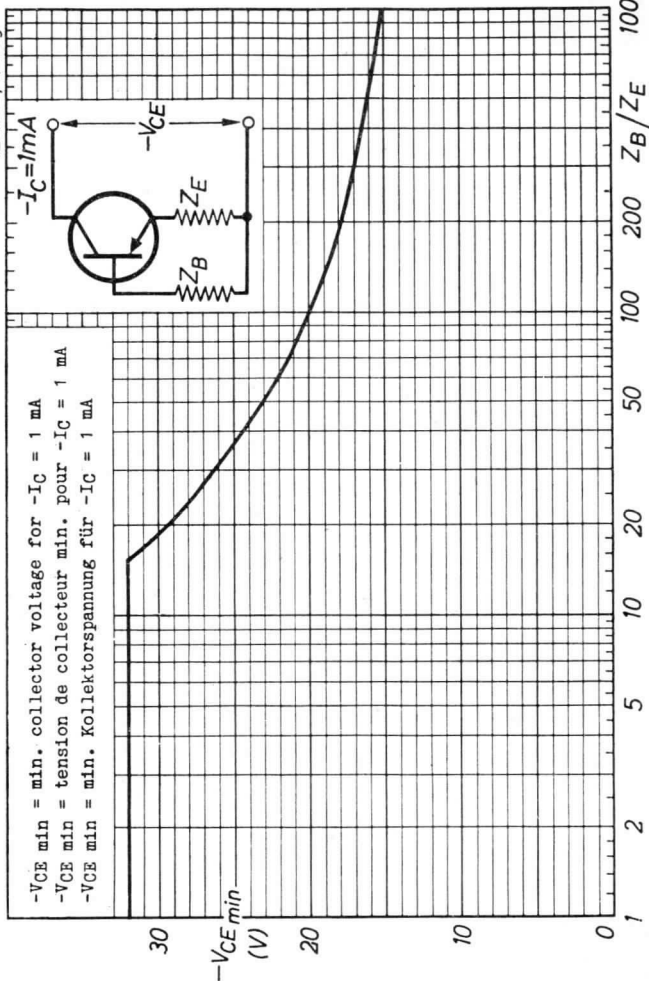
PHILIPS

7Z01748

AF115 12-1-62



7201386 / 1.6.00g



12.12.1962

EF

APR 1954

BRITISH



1954

R.F. GERMANIUM ALLOY-DIFFUSED TRANSISTOR of the p-n-p type for medium power, high voltage, high frequency applications, e.g. in the video output stage of television receivers

→ LIMITING VALUES (Absolute max. values)

Collector

| | | |
|--|-------------------------|--------|
| Voltage (emitter reference) (See also page G) | $-V_{CE} = \text{max.}$ | 70 V |
| Current | $-I_C = \text{max.}$ | 30 mA |
| Dissipation | $P_C = \text{max.}$ | 375 mW |

Emitter

| | | |
|-----------------|----------------------|-------|
| Current | $I_E = \text{max.}$ | 33 mA |
| Reverse current | $-I_E = \text{max.}$ | 1 mA |

Base

| | | |
|-----------------|----------------------|------|
| Current | $-I_B = \text{max.}$ | 3 mA |
| Reverse current | $I_B = \text{max.}$ | 1 mA |

Temperatures

| | | |
|--|---|-----------------------|
| Storage temperature | $T_S = -55 \text{ to } +75$ | $^{\circ}\text{C}$ |
| Junction temperature | | |
| continuous operation | $T_J = \text{max.}$ | 75 $^{\circ}\text{C}$ |
| intermittent operation (total duration max. 200 hours) | $T_J = \text{max.}$ (t = max. 200 hrs) | 90 $^{\circ}\text{C}$ |

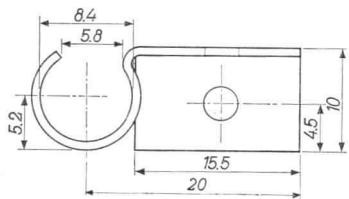
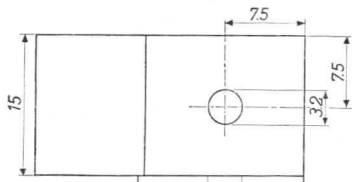
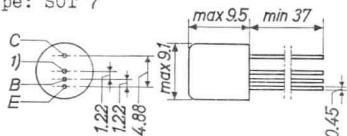
THERMAL DATA

| | | |
|----------------------------------|-------------------|-----------------------------------|
| Thermal resistance from junction | | |
| to ambience in free air | $K = \text{max.}$ | 0.25 $^{\circ}\text{C}/\text{mW}$ |
| with cooling fin | $K = \text{max.}$ | 0.12 $^{\circ}\text{C}/\text{mW}$ |

AF118**PHILIPS**

Dimensions in mm

Envelope: SOT 7



Cooling fin
No. R1 338 29.0
Painted black

CHARACTERISTICS at $T_{amb} = 25^{\circ}C$

Collector voltage

$$-V_{CB} (-I_C = 1 \text{ mA}; I_E = 0 \text{ mA}) = 95 \text{ V} > 70 \text{ V}$$

Emitter voltage

$$-V_{EB} (-I_E = 50 \mu\text{A}; I_C = 0 \text{ mA}) = 1.5 \text{ V} > 0.5 \text{ V}$$

Base current

$$-I_B (I_E = 10 \text{ mA}; -V_{CB} = 2 \text{ V}) = 55 \mu\text{A} < 275 \mu\text{A}$$

REMARK

Driving the transistor into the bottoming knee region results in an excessively high turn-off delay

¹⁾ Interlead shield and metal case

CHARACTERISTICS RANGE VALUES FOR EQUIPMENT DESIGN at $T_{amb} = 25^{\circ}C$

Collector current See page B

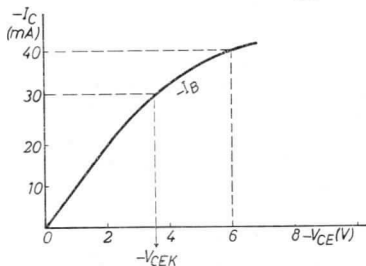
Base voltage

$$-V_{BE} (I_E = 10 \text{ mA}; -V_{CB} = 2 \text{ V}) = < 375 \text{ mV}$$

Knee voltage

Measured at $-I_C = 30 \text{ mA}$

$-I_B =$ value at which $-I_C = 40 \text{ mA}$
when $-V_{CE} = 6 \text{ V}$



$$-V_{CEK} = 3.5 \text{ V} < 5 \text{ V}$$

Intrinsic base impedance

$$|z_{rb}| \left\{ \begin{array}{l} I_E = 10 \text{ mA}; -V_{CB} = 6 \text{ V} \\ f = 2 \text{ Mc/s} \end{array} \right\} = 30 \Omega$$

Frequency at which $|h_{fe}| = 1$

$$f_1 (I_E = 10 \text{ mA}; -V_{CB} = 6 \text{ V}) = 175 \text{ Mc/s} > 125 \text{ Mc/s}$$

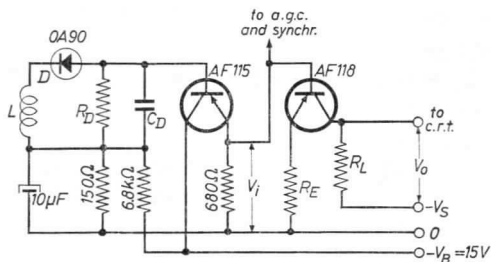
Forward transfer admittance

$$|y_{fe}| \left\{ \begin{array}{l} I_E = 10 \text{ mA}; -V_{CB} = 6 \text{ V} \\ f = 10.7 \text{ Mc/s} \end{array} \right\} = 130 \text{ mA/V} > 100 \text{ mA/V}$$

Feedback capacitance

$$-C_{re} \left\{ \begin{array}{l} I_E = 10 \text{ mA}; -V_{CB} = 6 \text{ V} \\ f = 10.7 \text{ Mc/s} \end{array} \right\} = 1.8 \text{ pF} < 2.3 \text{ pF}$$

→ OPERATING CHARACTERISTICS in a video output stage for a supply voltage up to 70 V



L = secondary winding of the coupling transformer between last I.F. stage and video detector

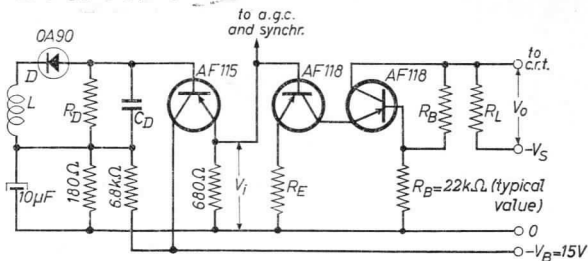
D, R_D , C_D = detection circuit

R_E should be chosen according to $A_V = \frac{V_O}{V_I} \approx \frac{R_L}{R_E}$, in which A_V is the voltage amplification of the output stage

| | | | | |
|------------------------------------|----------|-----|-----|----------------|
| Supply voltage | $-V_S =$ | 50 | 60 | 70 V |
| Load resistance | $R_L =$ | 2.7 | 3.9 | 4.7 k Ω |
| Output voltage (black to white) | $V_O =$ | 32 | 39 | 45 V |
| Bandwidth at -3 dB | $B =$ | 6.0 | 4.1 | 3.4 Mc/s |

If necessary enhancing of the bandwidth by a peaking coil in series with R_L (shunt compensation) or by a peaking coil in series with the lead to the cathode ray tube (series compensation) is possible

OPERATING CHARACTERISTICS in a video output stage for a supply voltage up to 110 V



L = secondary winding of the coupling transformer between last I.F. stage and video detector

D, R_D , C_D = detection circuit

R_E should be chosen according to $A_V = \frac{V_O}{V_i} \approx \frac{1}{R_E} \cdot \frac{2R_B \cdot R_L}{2R_B + R_L}$, in which A_V is the voltage amplification of the output stage

| | | |
|------------------------------------|-------------|----------------|
| Supply voltage | $-V_S = 90$ | 110 V |
| Load resistance | $R_L = 4.7$ | 6.8 k Ω |
| Output voltage (black to white) | $V_O = 57$ | 65 V |
| Bandwidth at -3 dB | $B = 3.5$ | 2.4 Mc/s |

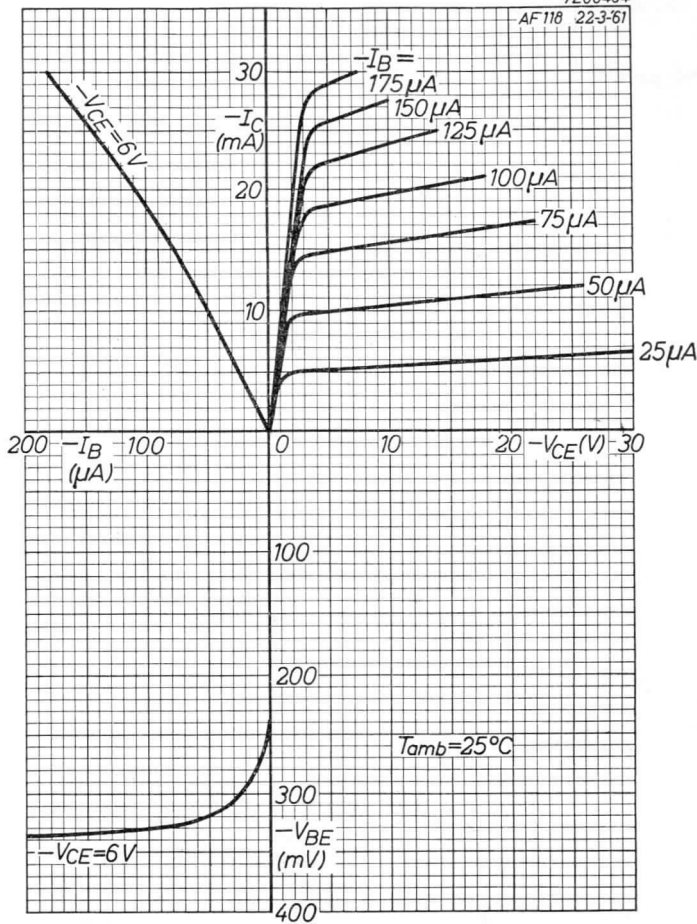
If necessary enhancing of the bandwidth by a peaking coil in series with R_L (shunt compensation) or by a peaking coil in series with the lead to the cathode ray tube (series compensation) is possible

1974 10-11-74



7Z00464

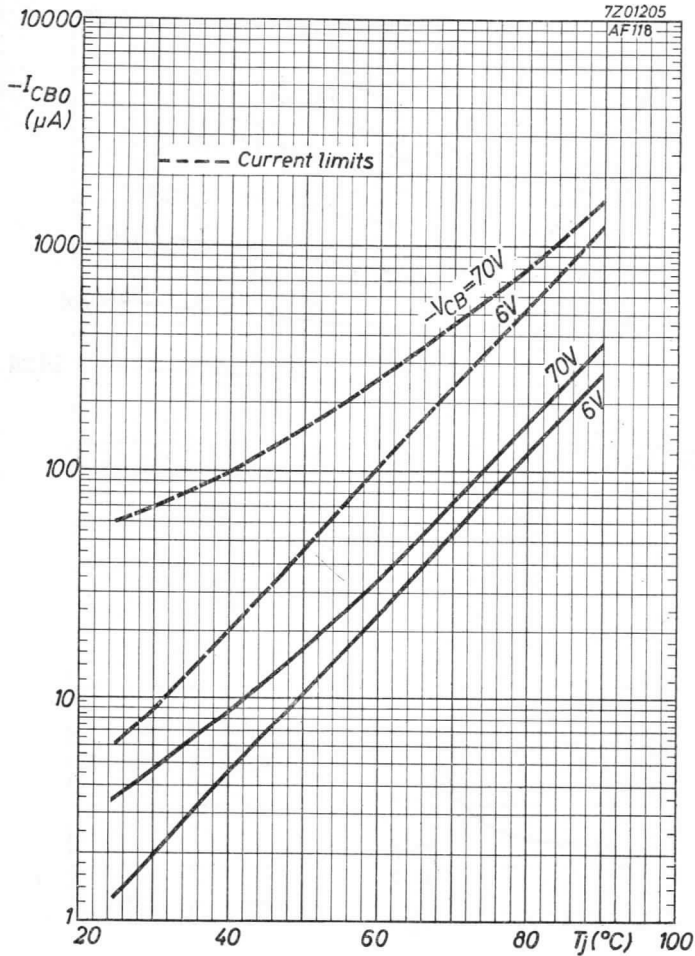
AF118, 22-3-61



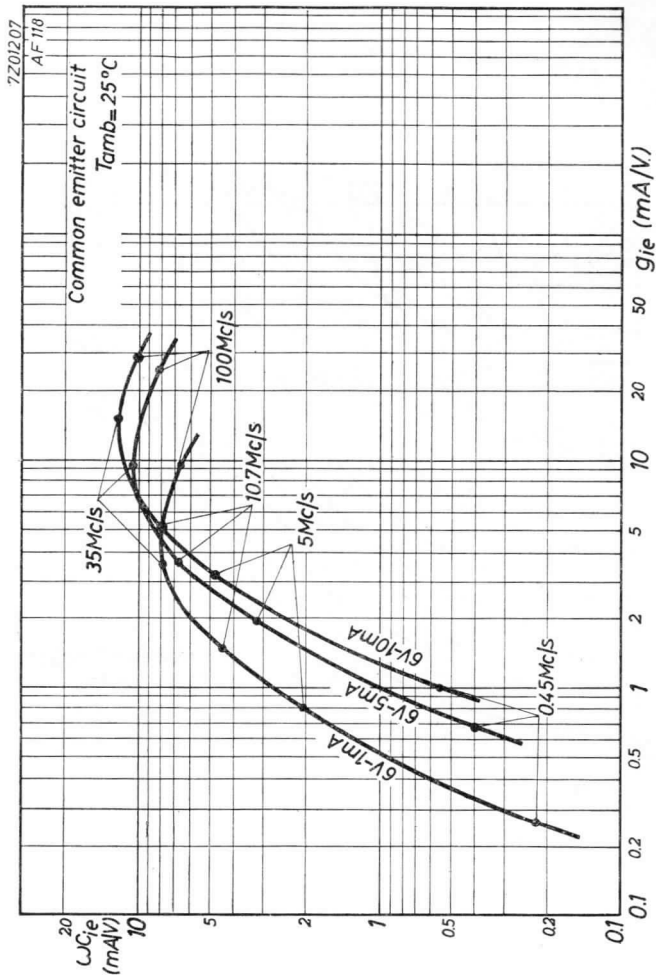
AF118**PHILIPS**

7Z01205

AF118

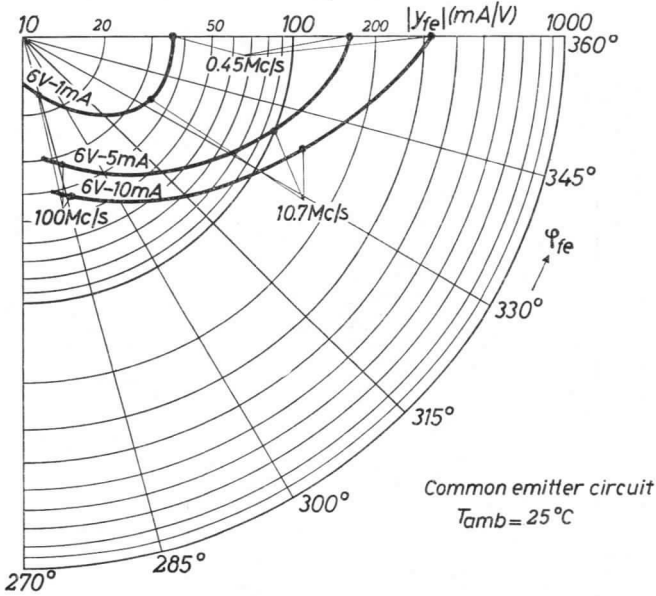


B



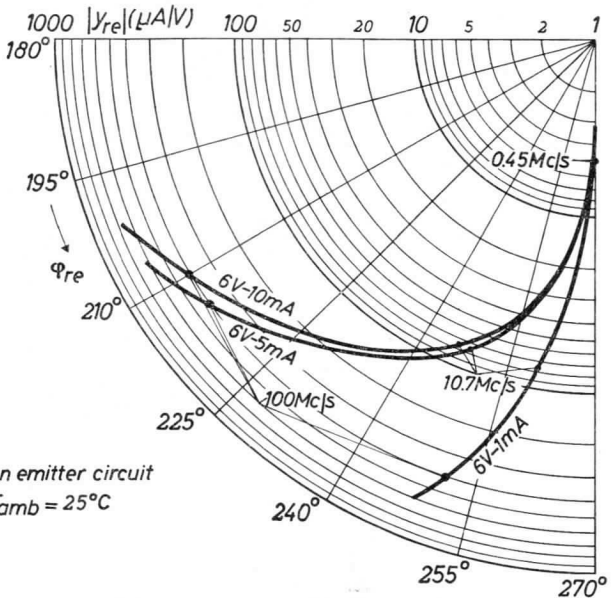
AF118

PHILIPS



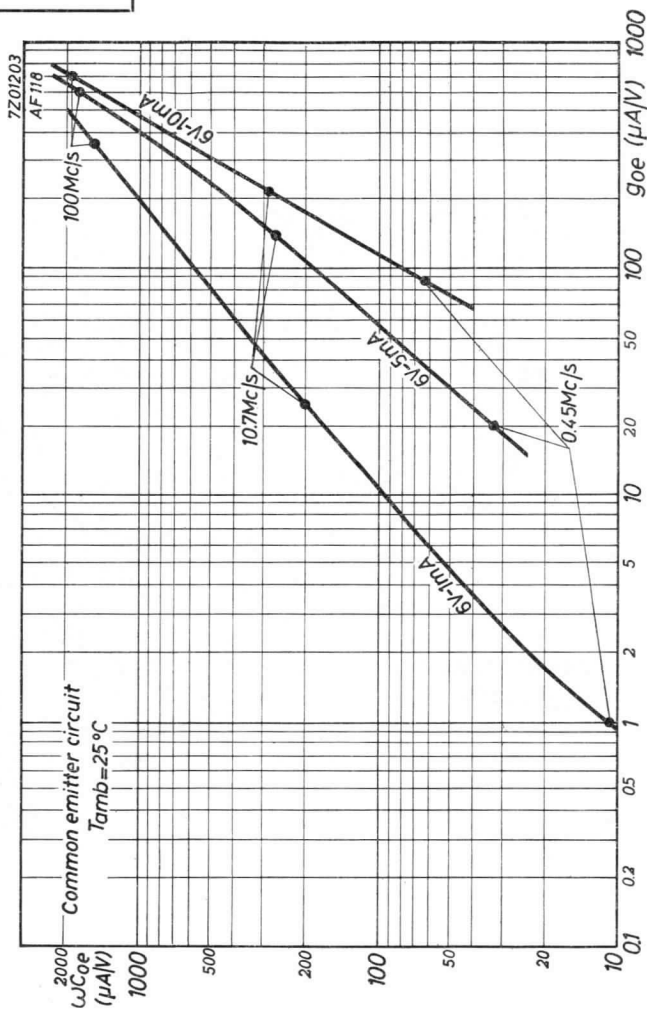
Common emitter circuit
 $T_{amb} = 25^\circ C$

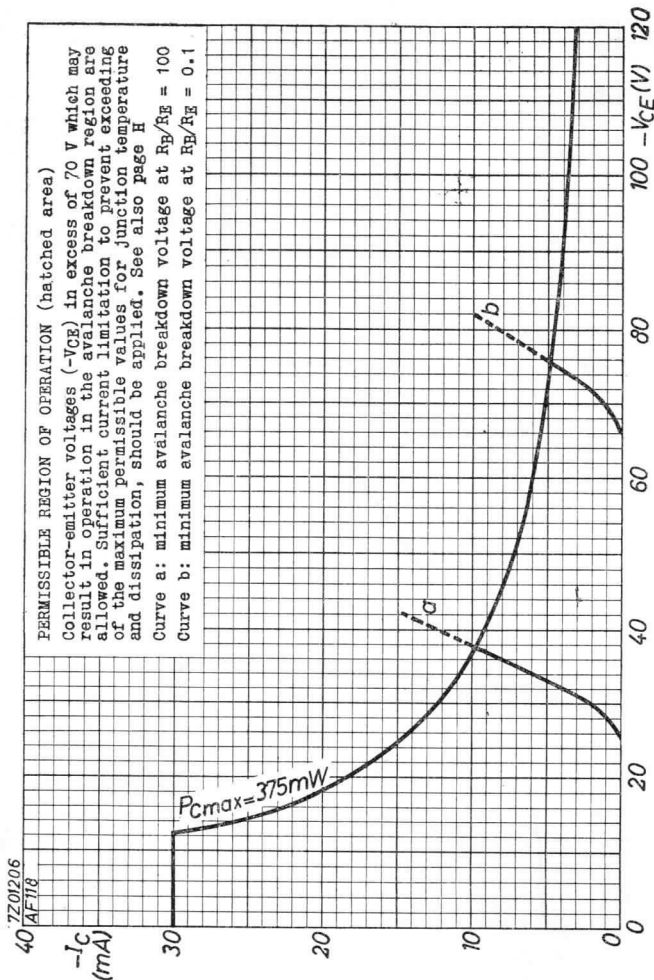
7Z01210
AF118



Common emitter circuit
 $T_{amb} = 25^{\circ}C$

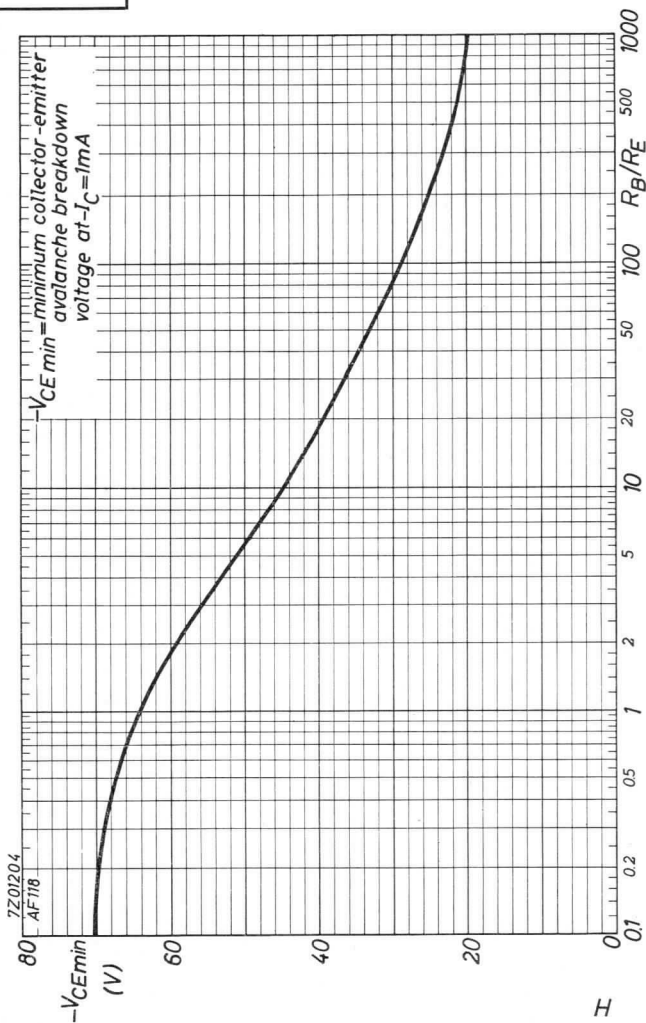
7Z01211
AF118

AF118**PHILIPS**

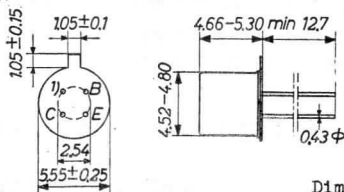


9.9.1962

G

AF118**PHILIPS**

GERMANIUM ALLOY-DIFFUSED TRANSISTOR of the p-n-p type in metal envelope with low noise and high power gain at 100 Mc/s, for use as R.F. amplifier in F.M. receivers



Dimensions in mm

LIMITING VALUES (Absolute max. values)

Collector

| | | |
|-----------------------------|-------------------------|--------------------|
| Voltage (base reference) | $-V_{CB} = \text{max.}$ | 32 V |
| Voltage (emitter reference) | $-V_{CE} = \text{max.}$ | 32 V ²⁾ |
| Current | $-I_C = \text{max.}$ | 10 mA |
| Dissipation | $P_C = \text{max.}$ | 60 mW |

Emitter

| | | |
|-----------------|----------------------|------|
| Reverse current | $-I_E = \text{max.}$ | 1 mA |
|-----------------|----------------------|------|

Base

| | | |
|---------|-----------------------|------|
| Current | $ I_B = \text{max.}$ | 1 mA |
|---------|-----------------------|------|

Temperatures

| | |
|--|---|
| Storage temperature | $T_S = -55$ °C to $+75$ °C |
| Junction temperature | |
| continuous operation | $T_j = \text{max.}$ 75 °C |
| intermittent operation (total duration max. 200 hrs) | $T_j = \text{max.}$ 90 °C (t = max. 200 hrs) |

THERMAL DATA

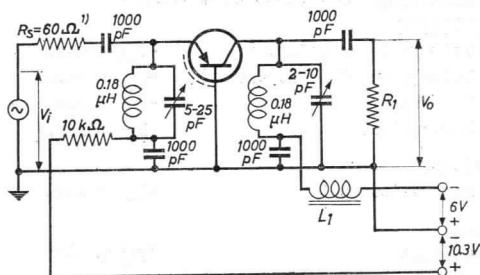
| | |
|--|------------------------------|
| Thermal resistance from junction to ambience in free air | $K = \text{max.}$ 0.75 °C/mW |
|--|------------------------------|

- 1) Interlead shield and metal case
- 2) See also page F.

CHARACTERISTICS at $T_{amb} = 25^{\circ}C$

| | | |
|---|---------------|----------------------|
| Collector current at $I_E = 0$ mA | | |
| - I_{CBO} ($-V_{CB} = 6$ V; $I_E = 0$ mA) | = 1.2 μ A | < 8 μ A |
| Collector voltage at $I_E = 0$ mA | | |
| - V_{CB} ($-I_C = 50$ μ A; $I_E = 0$ mA) | | > 32 V |
| Base current | | |
| - I_B ($-V_{CB} = 6$ V; $I_E = 1$ mA) | = 7 μ A | < 25 μ A |
| Base voltage | | |
| - V_{BE} ($-V_{CB} = 6$ V; $I_E = 1$ mA) | = 270 mV | > 210 mV < 330 mV |

Test circuit for power gain at 100 Mc/s



R_1 is chosen so that the total impedance R_L of the tuned circuit is 3.3 k Ω

L_1 = ferrite bead

Available power gain at 100 Mc/s in the circuit above

$$G (f = 100 \text{ Mc/s}) = 14 \text{ dB} > 12.5 \text{ dB}$$

The available power gain is defined as

$$G = \frac{V_o^2}{V_i^2} \cdot \frac{4R_S}{R_L} = 0.073 \frac{V_o^2}{V_i^2}$$

¹) Input source impedance

CHARACTERISTICS RANGE VALUES FOR EQUIPMENT DESIGN

$T_{amb} = 25^{\circ}C$

Emitter voltage

$$-V_{EB} (-I_E = 50 \mu A; I_C = 0 \text{ mA}) = 1.5 \text{ V} > 1.0 \text{ V}$$

Frequency at which $|h_{fe}| = 1$

$$f_1 (-V_{CB} = 6 \text{ V}; I_E = 1 \text{ mA}) = 75 \text{ Mc/s}$$

Intrinsic base impedance

$$|z_{rb}| \left\{ \begin{array}{l} -V_{CB} = 6 \text{ V}; I_E = 1 \text{ mA} \\ f = 2 \text{ Mc/s} \end{array} \right\} = 20 \Omega$$

Feedback capacitance

$$-C_{re} \left\{ \begin{array}{l} -V_{CE} = 6 \text{ V}; I_E = 1 \text{ mA} \\ f = 0.45 \text{ Mc/s} \end{array} \right\} = 1.5 \text{ pF}$$

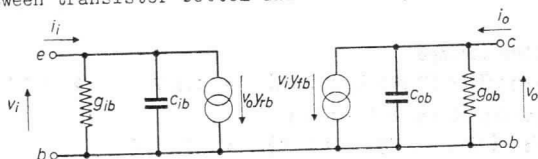
Current amplification factor

$$h_{fe} \left\{ \begin{array}{l} -V_{CE} = 6 \text{ V}; I_E = 1 \text{ mA} \\ f = 1 \text{ kc/s} \end{array} \right\} = 150$$

Noise figure

$$F \left\{ \begin{array}{l} -V_{CB} = 6 \text{ V}; I_E = 1 \text{ mA} \\ f = 100 \text{ Mc/s} \\ \text{Input source resist-} \\ \text{ance} = 60 \Omega \end{array} \right\} = 8 \text{ dB} < 9.5 \text{ dB}$$

SMALL SIGNAL PARAMETERS measured with a length of lead between transistor bottom and measuring jig of 5 mm



Measured at

Collector voltage

$$-V_{CB} = 6 \text{ V}$$

Emitter current

$$I_E = 1 \text{ mA}$$

Frequency

$$f = 100 \text{ Mc/s}$$

Input conductance

$$g_{ib} = 15 \text{ mA/V}$$

Input capacitance

$$-c_{ib} = 5 \text{ pF}$$

Feedback admittance

$$|y_{rb}| = 0.45 \text{ mA/V}$$

Phase angle of feedback admittance

$$\varphi_{rb} = 250^\circ$$

Transfer admittance

$$|y_{fb}| = 16 \text{ mA/V}$$

Phase angle of transfer admittance

$$\varphi_{fb} = 95^\circ$$

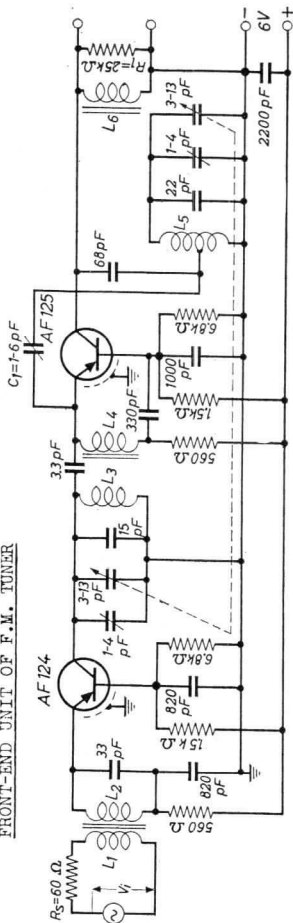
Output conductance

$$g_{ob} = 0.3 \text{ mA/V}$$

Output capacitance

$$c_{ob} = 2.5 \text{ pF}$$

FRONT-END UNIT OF F.M. TUNER



For data of the oscillator-mixer stage please refer to the data sheets of type AF125

Coil data. L1: $4\frac{1}{2}$ turns of 0.3 mm enamelled copper wire, wound between L2

L2: 4 turns of 1 mm enamelled copper wire, winding pitch 2 mm; inductance $L = 0.18 \mu\text{H}$;
unloaded Q -factor $Q_0 = 60$ to 80

L3: $3\frac{1}{4}$ turns of 1 mm silvered copper wire, winding pitch 2 mm; inductance $L = 0.086 \mu\text{H}$;
unloaded Q -factor $Q_0 = 200$

Operating characteristics

| | |
|--|--------------------------------|
| Frequency range | $f = 87$ to 101 Mc/s |
| Collector current AF124 | $-I_C = 1.4 \text{ mA}$ |
| Total available power gain | $G = 28 \text{ dB}$ |
| Total noise factor | $F = 8 \text{ dB}$ |
| Oscillator voltage at aerial terminals | $= 1.5 \text{ mV}$ |
| Image rejection | $= 27 \text{ dB}$ |

APR 1974

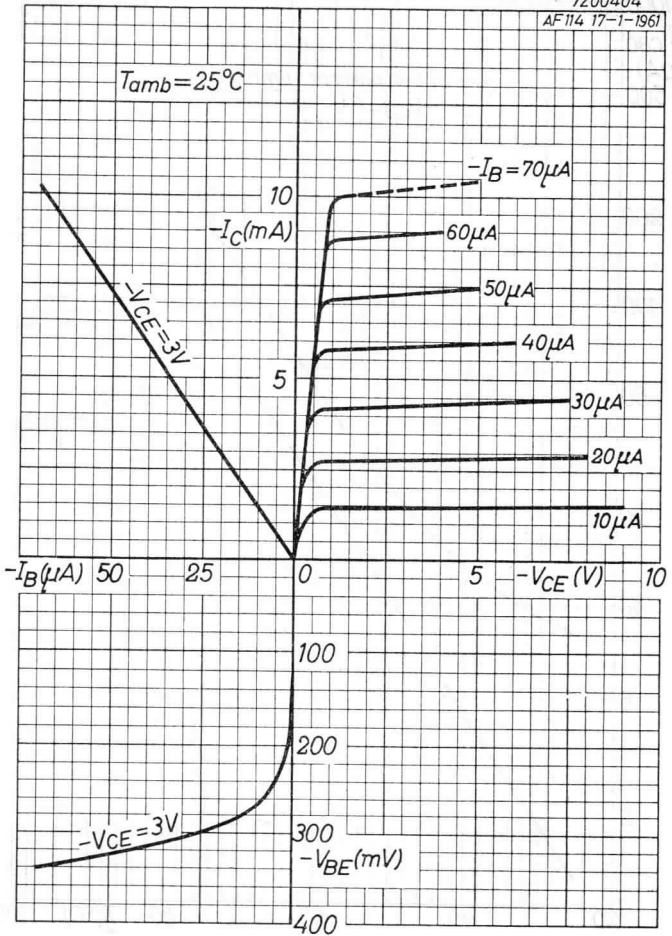
PHILIPS

[Faint, illegible text within a large rectangular border, possibly bleed-through from the reverse side of the page.]



7Z00404

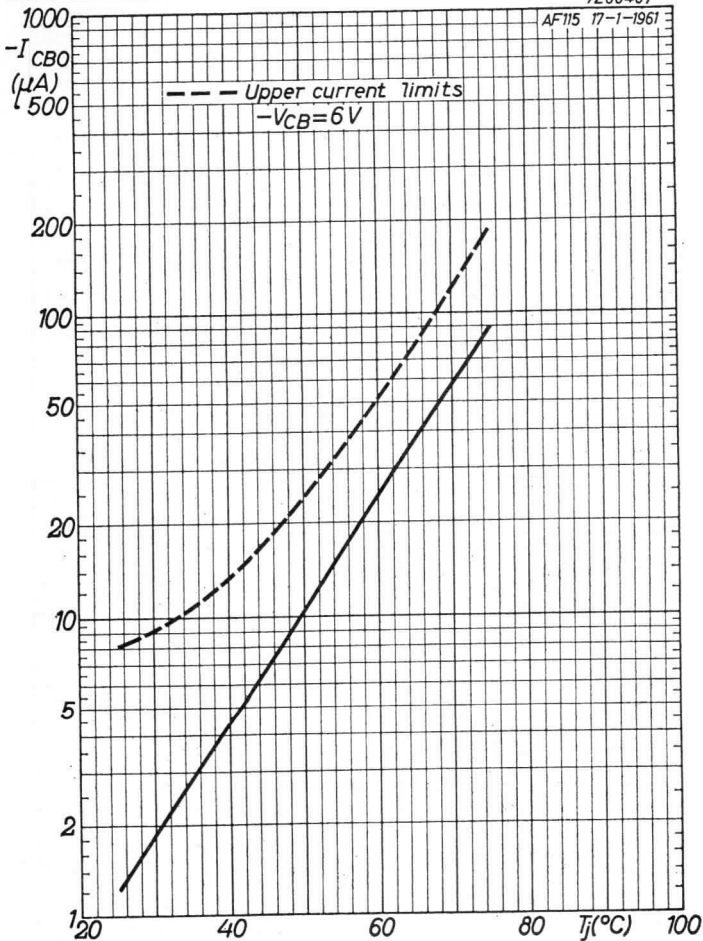
AF 114 17-1-1961



AF124**PHILIPS**

7Z00407

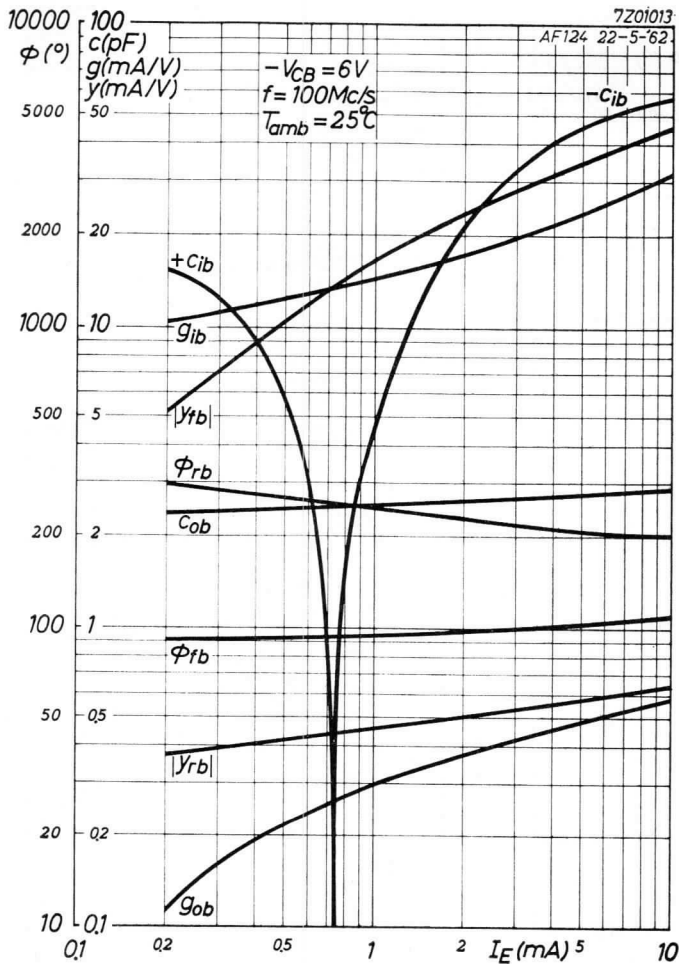
AF115 17-1-1961



B

PHILIPS

AF124



5.5.1962

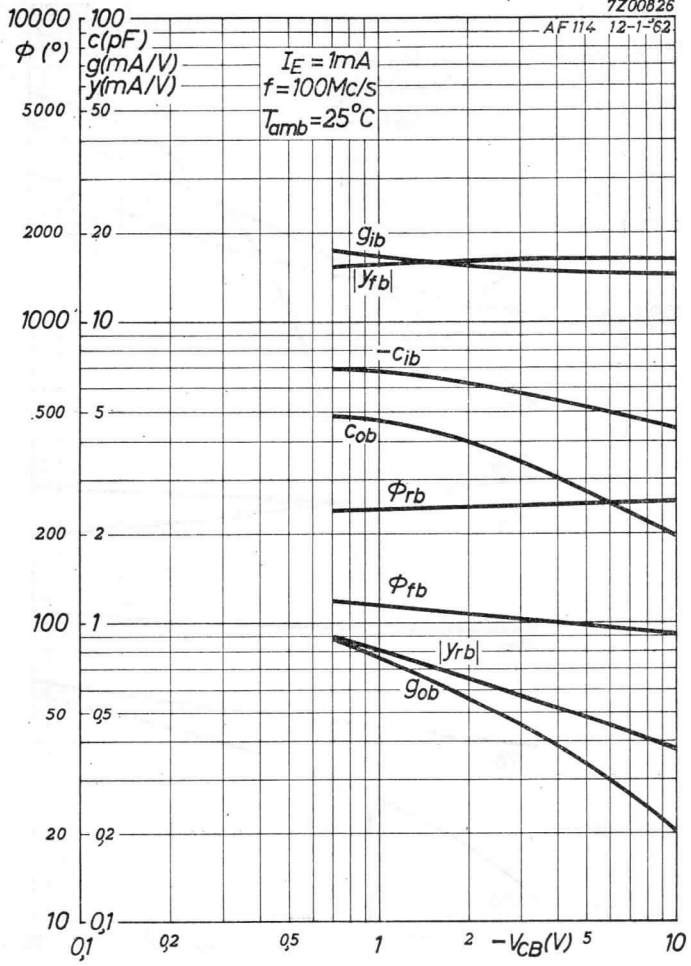
C

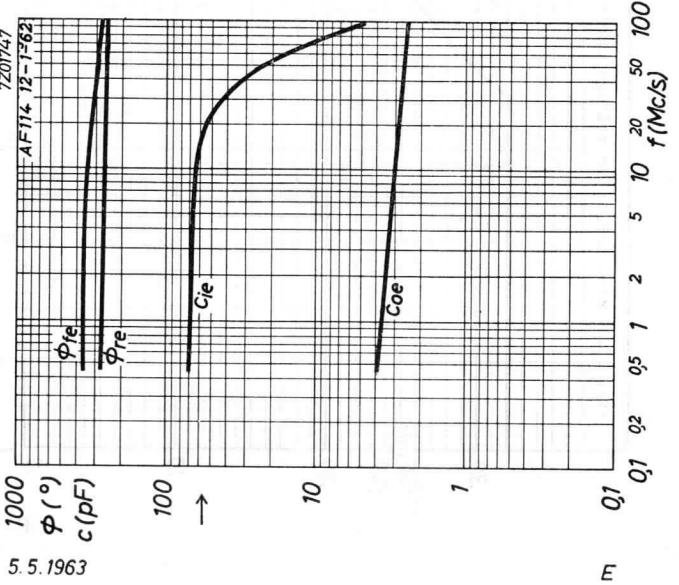
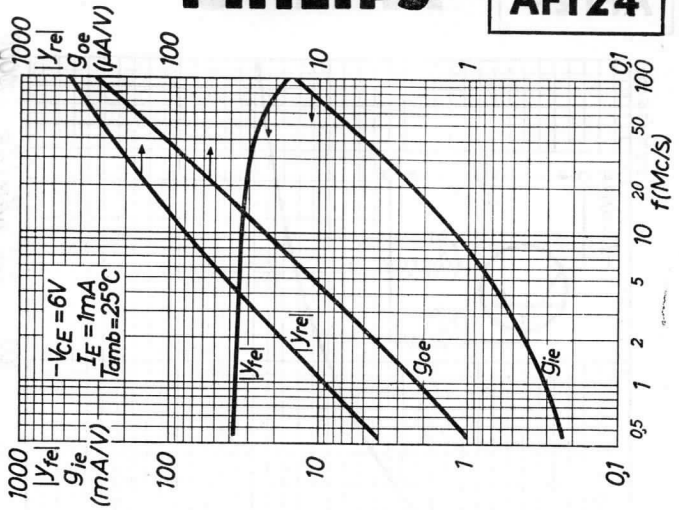
AF124

PHILIPS

7Z00826

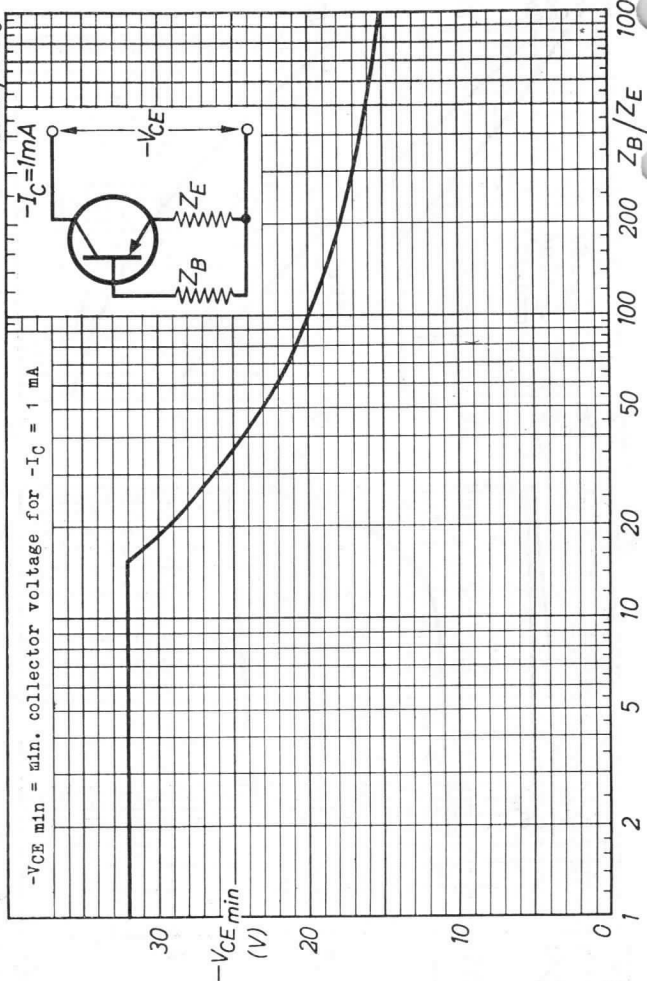
AF114 12-1-62





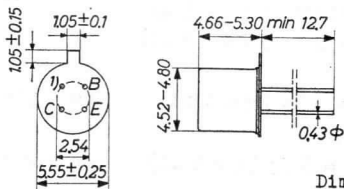
AF124**PHILIPS**

720326/1.6.abg



F

GERMANIUM ALLOY-DIFFUSED TRANSISTOR of the p-n-p type in metal envelope with high conversion gain up to 100 Mc/s, for use as mixer-oscillator in F.M. receivers and as R.F. amplifier and mixer-oscillator in short-wave receivers up to 27 Mc/s



Dimensions in mm

LIMITING VALUES (Absolute max. values)

Collector

| | | |
|-----------------------------|-------------------------|--------------------|
| Voltage (base reference) | $-V_{CB} = \text{max.}$ | 32 V |
| Voltage (emitter reference) | $-V_{CE} = \text{max.}$ | 32 V ²⁾ |
| Current | $-I_C = \text{max.}$ | 10 mA |
| Dissipation | $P_C = \text{max.}$ | 60 mW |

Emitter

| | | |
|-----------------|----------------------|------|
| Reverse current | $-I_E = \text{max.}$ | 1 mA |
|-----------------|----------------------|------|

Base

| | | |
|---------|-----------------------|------|
| Current | $ I_B = \text{max.}$ | 1 mA |
|---------|-----------------------|------|

Temperatures

| | |
|------------------------|---|
| Storage temperature | $T_S = -55^\circ\text{C to } +75^\circ\text{C}$ |
| Junction temperature | |
| continuous operation | $T_J = \text{max. } 75^\circ\text{C}$ |
| intermittent operation | |
| (total duration max. | $T_J = \text{max. } 90^\circ\text{C}$ |
| 200 hrs) | ($t = \text{max. } 200 \text{ hrs}$) |

THERMAL DATA

Thermal resistance from junction to ambience in free air $K = \text{max. } 0.75^\circ\text{C/mW}$

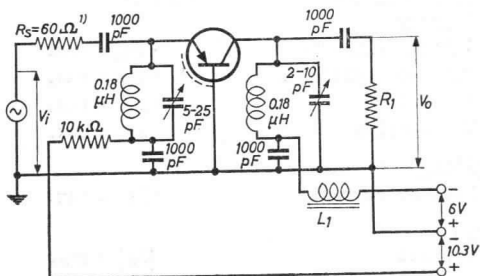
1) Interlead shield and metal case

2) See also page J.

CHARACTERISTICS at $T_{amb} = 25\text{ }^{\circ}\text{C}$

| | | | |
|--|----------------------------|-----|-------------------------|
| Collector current at $I_E = 0\text{ mA}$ | | | |
| $-I_{CBO}$ ($-V_{CB} = 6\text{ V}$; $I_E = 0\text{ mA}$) | $= 1.2\text{ }\mu\text{A}$ | $<$ | $8\text{ }\mu\text{A}$ |
| Collector voltage at $I_E = 0\text{ mA}$ | | | |
| $-V_{CB}$ ($-I_C = 50\text{ }\mu\text{A}$; $I_E = 0\text{ mA}$) | | $>$ | 32 V |
| Base current | | | |
| $-I_B$ ($-V_{CB} = 6\text{ V}$; $I_E = 1\text{ mA}$) | $= 7\text{ }\mu\text{A}$ | $<$ | $25\text{ }\mu\text{A}$ |
| Base voltage | | | |
| $-V_{BE}$ ($-V_{CB} = 6\text{ V}$; $I_E = 1\text{ mA}$) | $= 270\text{ mV}$ | $>$ | 210 mV |
| | | $<$ | 330 mV |

Test circuit for power gain at 100 Mc/s



R_1 is chosen so that the total impedance R_L of the tuned circuit is $3.3\text{ k}\Omega$

L_1 = ferrite bead

Available power gain at 100 Mc/s in the circuit above

$$G (f = 100\text{ Mc/s}) = 13\text{ dB} > 10\text{ dB}$$

The available power is defined as

$$G = \frac{V_0^2}{V_1^2} \cdot \frac{4R_S}{R_L} = 0.073 \frac{V_0^2}{V_1^2}$$

¹⁾ Input source impedance

CHARACTERISTICS RANGE VALUES FOR EQUIPMENT DESIGN

$T_{amb} = 25^{\circ}C$

Emitter voltage

$$-V_{EB} (-I_E = 50 \mu A; I_C = 0 \text{ mA}) = 1.5 \text{ V} > 1.0 \text{ V}$$

Frequency at which $|h_{fe}| = 1$

$$f_1 (-V_{CB} = 6 \text{ V}; I_E = 1 \text{ mA}) = 75 \text{ Mc/s}$$

Intrinsic base impedance

$$|z_{rb}| \left\{ \begin{array}{l} -V_{CB} = 6 \text{ V}; I_E = 1 \text{ mA} \\ f = 2 \text{ Mc/s} \end{array} \right\} = 25 \Omega$$

Feedback capacitance

$$-c_{re} \left\{ \begin{array}{l} -V_{CE} = 6 \text{ V}; I_E = 1 \text{ mA} \\ f = 0.45 \text{ Mc/s} \end{array} \right\} = 1.5 \text{ pF}$$

Current amplification factor

$$h_{fe} \left\{ \begin{array}{l} -V_{CE} = 6 \text{ V}; I_E = 1 \text{ mA} \\ f = 1 \text{ kc/s} \end{array} \right\} = 150$$

Noise figure

$$F \left\{ \begin{array}{l} -V_{CB} = 6 \text{ V}; I_E = 1 \text{ mA} \\ f = 100 \text{ Mc/s} \\ \text{Input source resist-} \\ \text{ance} = 60 \Omega \end{array} \right\} = 9.5 \text{ dB}$$

$$F \left\{ \begin{array}{l} -V_{CE} = 6 \text{ V}; I_E = 1 \text{ mA} \\ f = 10.7 \text{ Mc/s} \\ \text{Input source resist-} \\ \text{ance} = 200 \Omega \end{array} \right\} = 3.0 \text{ dB}$$

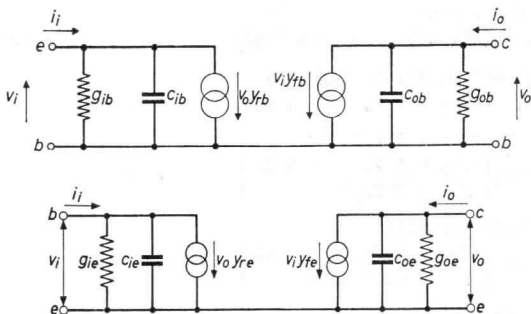
$$F \left\{ \begin{array}{l} -V_{CE} = 6 \text{ V}; I_E = 1 \text{ mA} \\ f = 1 \text{ Mc/s} \\ \text{Input source resist-} \\ \text{ance} = 500 \Omega \end{array} \right\} = 1.5 \text{ dB} < 3 \text{ dB}$$

Conversion noise figure

$$F \left\{ \begin{array}{l} -V_{CE} = 6 \text{ V}; I_E = 1 \text{ mA} \\ f = 1 \text{ Mc/s} \\ \text{Input source resist-} \\ \text{ance} = 500 \Omega \end{array} \right\} = 3 \text{ dB} < 5 \text{ dB}$$

$$F \left\{ \begin{array}{l} -V_{CE} = 6 \text{ V}; I_E = 1 \text{ mA} \\ f = 200 \text{ kc/s} \\ \text{Input source resist-} \\ \text{ance} = 2 \text{ k}\Omega \end{array} \right\} = 4 \text{ dB} < 7 \text{ dB}$$

Small signal parameters measured with a length of lead between transistor bottom and measuring jig of 5 mm



Common base

$-V_{CB} = 6 \text{ V}$
 $I_E = 1 \text{ mA}$
 $f = 100 \text{ Mc/s}$

$\xi_{ib} = 15 \text{ mA/V}$
 $-c_{ib} = 5 \text{ pF}$
 $|y_{rb}| = 0.45 \text{ mA/V}$
 $\varphi_{rb} = 250^\circ$
 $|y_{fb}| = 15 \text{ mA/V}$
 $\varphi_{fb} = 95^\circ$
 $\xi_{ob} = 0.35 \text{ mA/V}$
 $c_{ob} = 2.5 \text{ pF}$

Common emitter

$-V_{CE} = 6 \text{ V}$
 $I_E = 1 \text{ mA}$
 $f = 10.7 \text{ Mc/s}$

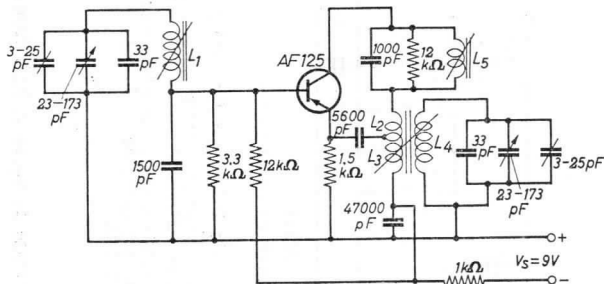
$\xi_{ie} = 1.3 \text{ mA/V}$
 $c_{ie} = 65 \text{ pF}$
 $|y_{re}| = 80 \text{ }\mu\text{A/V}$
 $\varphi_{re} = 260^\circ$
 $|y_{fe}| = 34 \text{ mA/V}$
 $\varphi_{fe} = 335^\circ$
 $\xi_{oe} = 25 \text{ }\mu\text{A/V}$
 $c_{oe} = 3.0 \text{ pF}$

Common emitter

$-V_{CE} = 6 \text{ V}$
 $I_E = 1 \text{ mA}$
 $f = 0.45 \text{ Mc/s}$

$\xi_{ie} = 0.25 \text{ mA/V}$
 $c_{ie} = 70 \text{ pF}$
 $|y_{re}| = 4 \text{ }\mu\text{A/V}$
 $\varphi_{re} = 270^\circ$
 $|y_{fe}| = 37 \text{ mA/V}$
 $\varphi_{fe} = 0^\circ$
 $\xi_{oe} = 1.0 \text{ }\mu\text{A/V}$
 $c_{oe} = 4 \text{ pF}$

SELF-OSCILLATING MIXER STAGE for the frequency range from 15.1 to 26.1 Mc/s



OPERATING CHARACTERISTICS measured at

| | |
|-------------------|-------------------------|
| Battery voltage | $V_S = 9 \text{ V}$ |
| Collector voltage | $-V_{CE} = 6 \text{ V}$ |
| Emitter current | $I_E = 1 \text{ mA}$ |

| f | $V_{osc}^{1)}$ | $\Delta f_{osc}^{2)}$ | $P_O/P_1^{3)}$ |
|--------|----------------|-----------------------|----------------|
| (Mc/s) | (V) | (kc/s) | (dB) |
| 15 | 0.11 | 3 | 26 |
| 20 | 0.14 | 2 | 23 |
| 26 | 0.15 | 10 | 20 |

For coil data see page 7

1) Oscillator voltage, measured between emitter and earth

2) Frequency shift by a battery voltage variation from 9 to 6 V

3) Conversion gain, defined as the ratio between the I.F. power in a 10 kΩ load (the total I.F. impedance in the collector lead) and the available R.F. power in the aerial circuit

SELF-OSCILLATING MIXER STAGE (continued)

Coil data.

- L₁: 5 $\frac{1}{2}$ turns of 0.25 mm enamelled copper wire, closely wound on coil former with diameter of 7 mm; inductance L = 0.59 μ H; unloaded Q-factor Q₀ = 100 at f = 15 Mc/s, Q₀ = 115 at f = 26 Mc/s
- L₂: 1 $\frac{1}{4}$ turns of 0.25 mm enamelled copper wire, wound in L₄ at earth side
- L₃: 1 turn of 0.25 mm enamelled copper wire, wound in L₄ at earth side
- L₄: 6 $\frac{1}{2}$ turns of 0.9 mm enamelled copper wire, closely wound on coil former with diameter of 7 mm; inductance L = 0.46 μ H; unloaded Q-factor Q₀ = 110 at f = 15 Mc/s and at f = 26 Mc/s
- L₅: Inductance L = 125 μ H; unloaded Q-factor Q₀ = 140

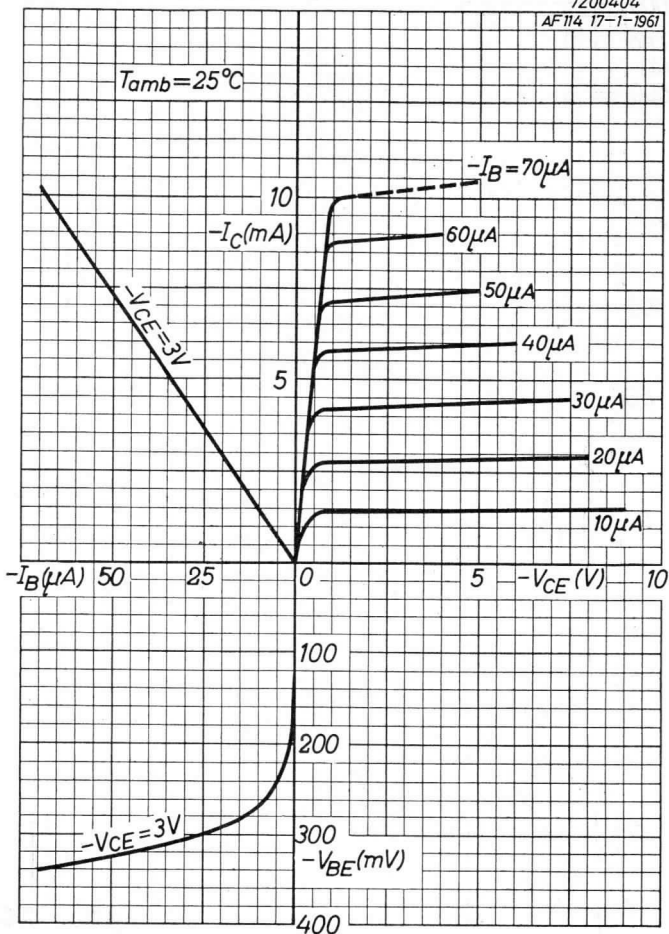
1913

1913



7200404

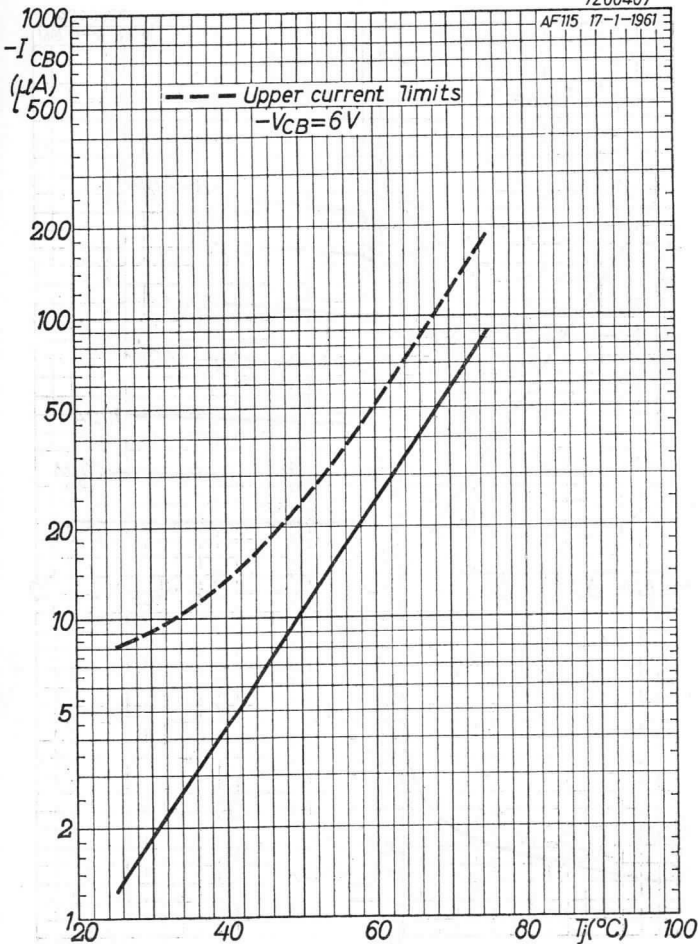
AF 114 17-1-1961



AF125**PHILIPS**

7Z00407

AF115 17-1-1961



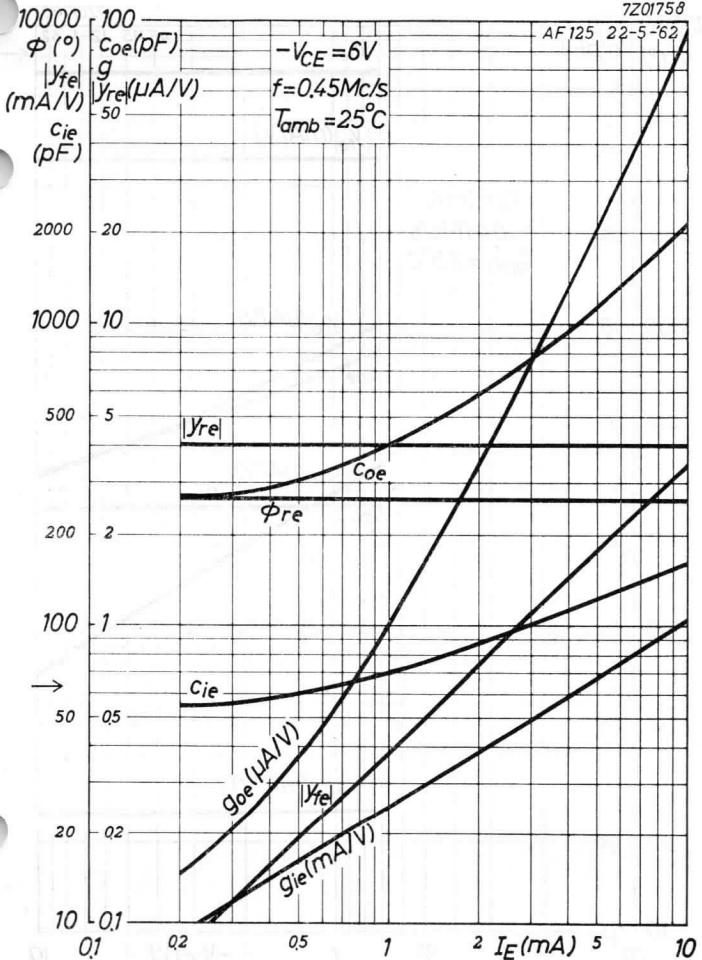
B

PHILIPS

AF125

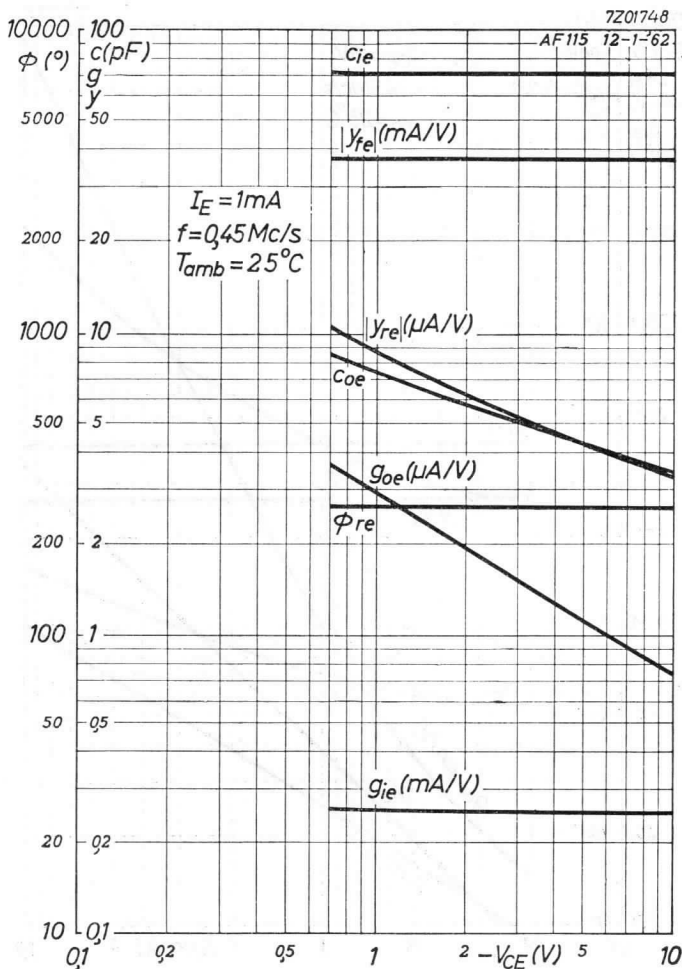
7201758

AF125 22-5-62



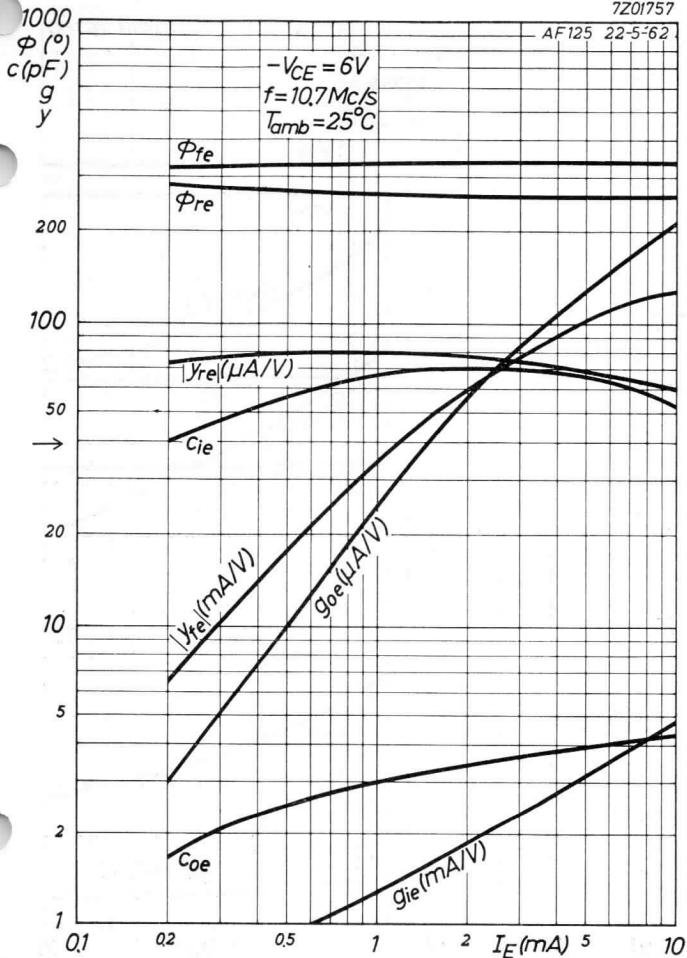
5.5.1963

C

AF125**PHILIPS**

7201757

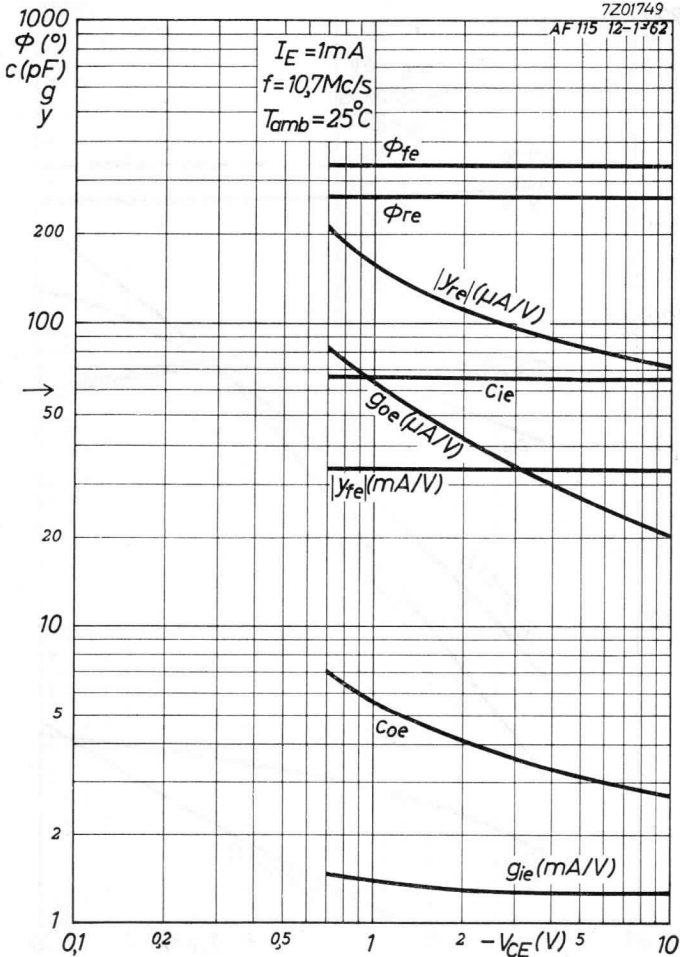
AF125 22-5-62



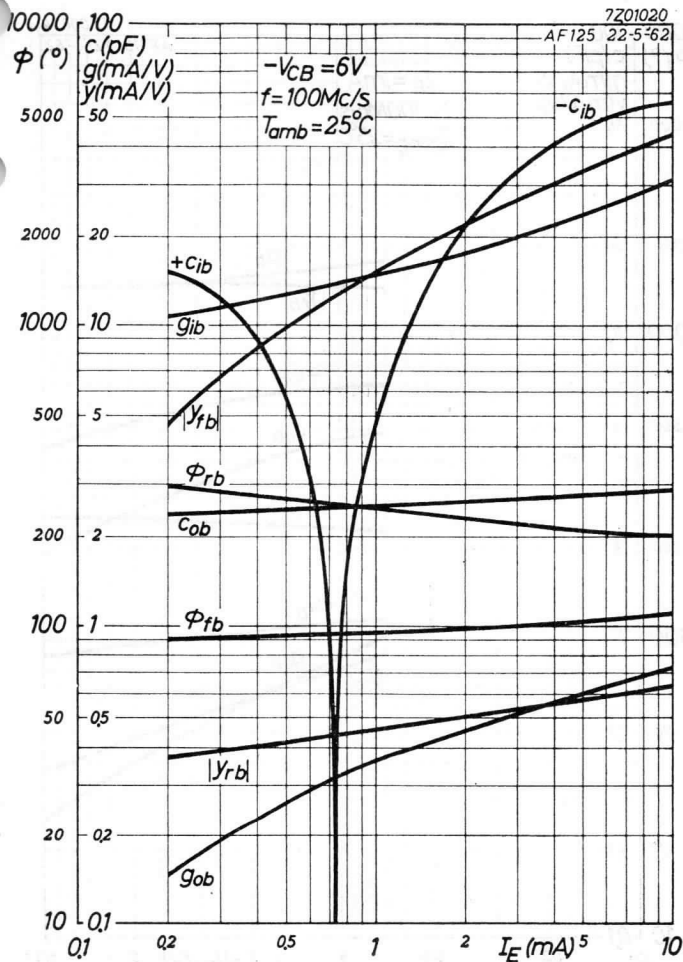
AF125**PHILIPS**

7Z01749

AF 115 12-1962



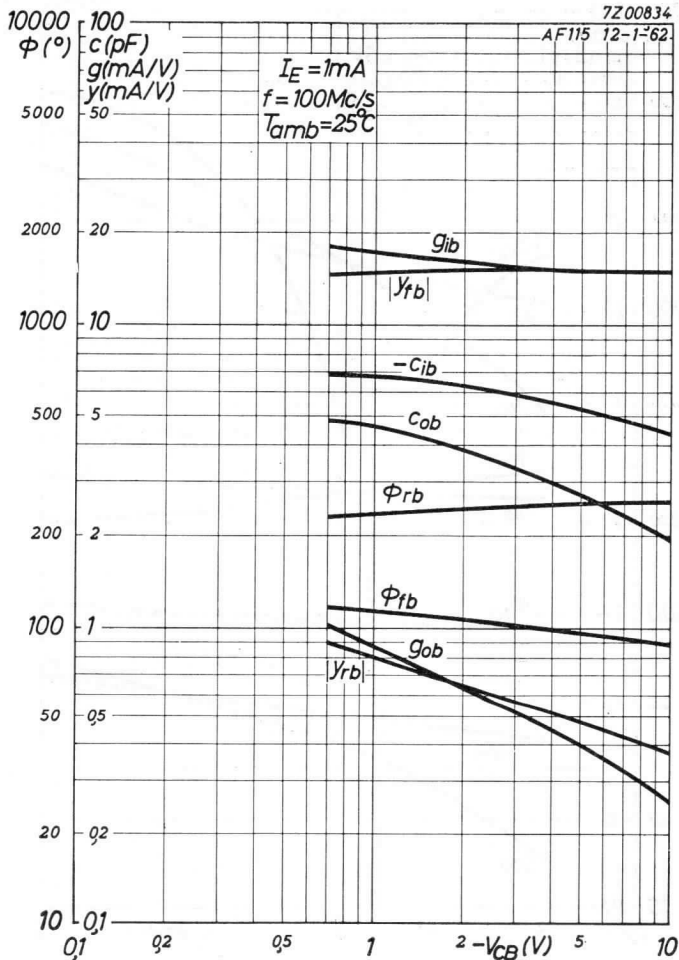
ENCLOSURE F



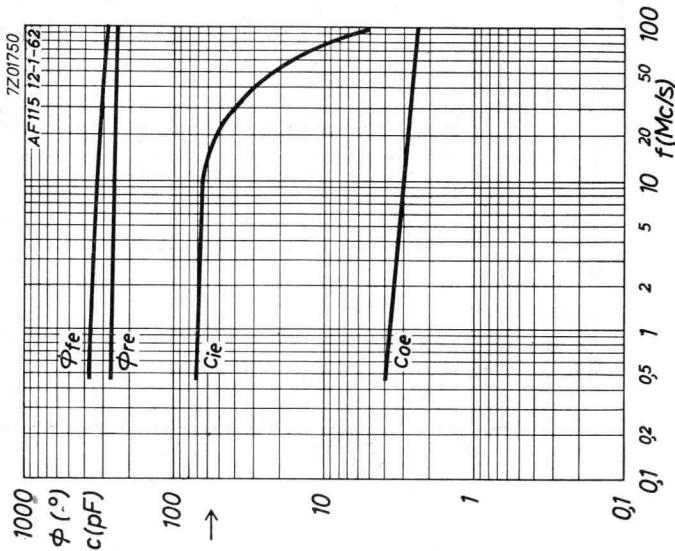
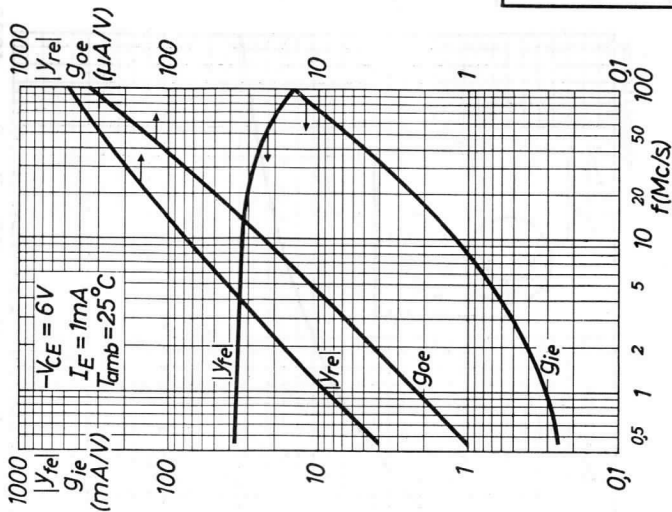
AF125**PHILIPS**

7200834

AF115 12-1-62

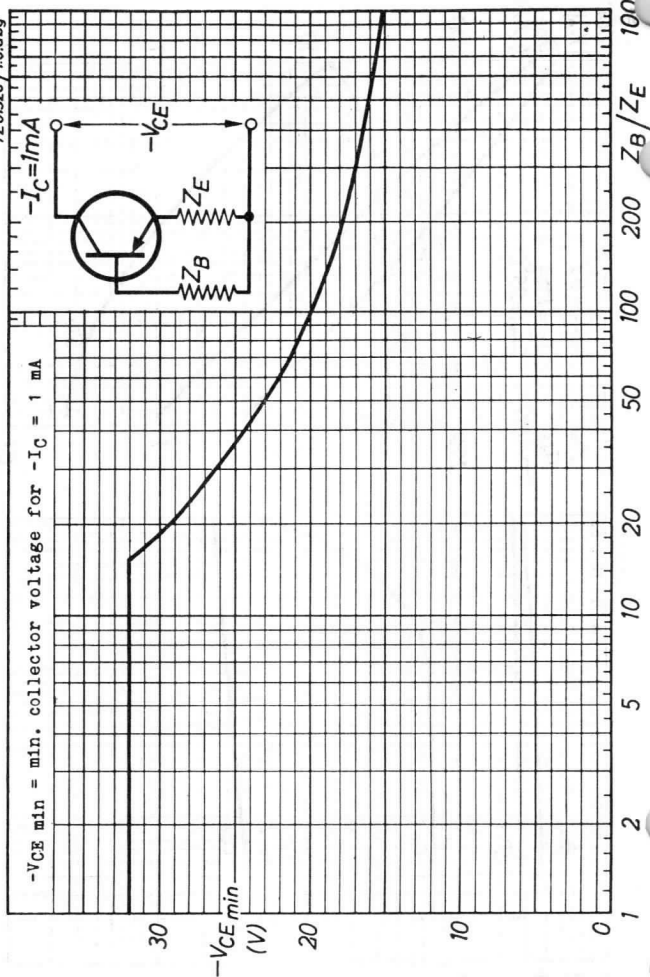
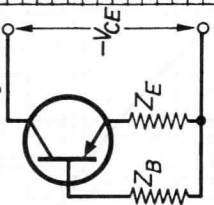


H

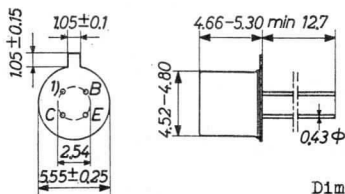


AF125**PHILIPS**

7201326 / 16.obg

 $-V_{CE \text{ min}} = \text{min. collector voltage for } -I_C = 1 \text{ mA}$ $-I_C = 1 \text{ mA}$ 

GERMANIUM ALLOY-DIFFUSED TRANSISTOR of the p-n-p type in metal envelope with low output conductance and low collector capacitance at 10.7 Mc/s and with low noise and good A.G.C. performance at high ambient temperatures, for use as I.F. amplifier in A.M. and F.M. receivers and as R.F. amplifier and mixer-oscillator in short-wave receivers up to 16 Mc/s



Dimensions in mm

LIMITING VALUES (Absolute max. values)

Collector

| | | |
|-----------------------------|-------------------------|--------------------|
| Voltage (base reference) | $-V_{CB} = \text{max.}$ | 32 V |
| Voltage (emitter reference) | $-V_{CE} = \text{max.}$ | 32 V ²⁾ |
| Current | $-I_C = \text{max.}$ | 10 mA |
| Dissipation | $P_C = \text{max.}$ | 60 mW |

Emitter

| | | |
|-----------------|----------------------|------|
| Reverse current | $-I_E = \text{max.}$ | 1 mA |
|-----------------|----------------------|------|

Base

| | | |
|---------|-----------------------|------|
| Current | $ I_B = \text{max.}$ | 1 mA |
|---------|-----------------------|------|

Temperatures

| | |
|-------------------------------|---|
| Storage temperature | $T_S = -55^\circ\text{C to } +75^\circ\text{C}$ |
| Junction temperature | |
| continuous operation | $T_J = \text{max. } 75^\circ\text{C}$ |
| intermittent operation | $T_J = \text{max. } 90^\circ\text{C}$ |
| (total duration max. 200 hrs) | $(t = \text{max. } 200 \text{ hrs})$ |

THERMAL DATA

| | |
|--|--|
| Thermal resistance from junction to ambience in free air | $K = \text{max. } 0.75^\circ\text{C/mW}$ |
|--|--|

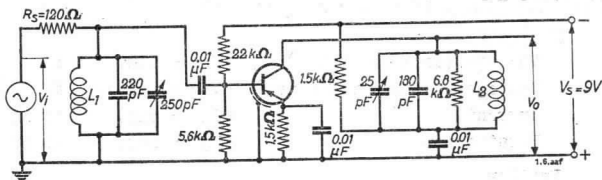
¹⁾ Interlead shield and metal case

²⁾ See also page H

CHARACTERISTICS at $T_{amb} = 25\text{ }^{\circ}\text{C}$

| | | | |
|---|----------------------------|-----|-------------------------|
| Collector current at $I_E = 0\text{ mA}$ | | | |
| $-I_{CBO}$ ($-V_{CB} = 6\text{ V}; I_E = 0\text{ mA}$) | $= 1.2\text{ }\mu\text{A}$ | $<$ | $8\text{ }\mu\text{A}$ |
| Collector voltage at $I_E = 0\text{ mA}$ | | | |
| $-V_{CB}$ ($-I_C = 50\text{ }\mu\text{A}; I_E = 0\text{ mA}$) | | $>$ | 32 V |
| Base current | | | |
| $-I_B$ ($-V_{CB} = 6\text{ V}; I_E = 1\text{ mA}$) | $= 7\text{ }\mu\text{A}$ | $<$ | $25\text{ }\mu\text{A}$ |
| Base voltage | | | |
| $-V_{BE}$ ($-V_{CB} = 6\text{ V}; I_E = 1\text{ mA}$) | $= 270\text{ mV}$ | $>$ | 210 mV |
| | | $<$ | 330 mV |

Test circuit for power gain at 10.7 Mc/s



L_1 : inductance $L = 0.5\text{ }\mu\text{H}$; unloaded $Q_0 = 100$

L_2 : inductance $L = 2.47\text{ }\mu\text{H}$; unloaded $Q_0 = 100$

R_S : input source resistance

R_L : total collector resistance = $4.8\text{ k}\Omega$

Available power gain at 10.7 Mc/s in the circuit above

$$G (f = 10.7\text{ Mc/s}) = 25\text{ dB} > 19\text{ dB}$$

The available power gain is defined as

$$G = \frac{4R_S}{R_L} \frac{V_0^2}{V_{12}^2} = 0.1 \frac{V_0^2}{V_{12}^2}$$

CHARACTERISTICS RANGE VALUES FOR EQUIPMENT DESIGN

$T_{amb} = 25^{\circ}C$

Emitter voltage

$$-V_{EB} (-I_E = 50 \mu A; I_C = 0 \text{ mA}) = 1.5 \text{ V} > 1.0 \text{ V}$$

Frequency at which $|h_{fe}| = 1$

$$f_1 (-V_{CB} = 6 \text{ V}; I_E = 1 \text{ mA}) = 75 \text{ Mc/s}$$

Intrinsic base impedance

$$|z_{rb}| \left\{ \begin{array}{l} -V_{CB} = 6 \text{ V}; I_E = 1 \text{ mA} \\ f = 2 \text{ Mc/s} \end{array} \right\} = 27 \Omega$$

Feedback capacitance

$$-c_{re} \left\{ \begin{array}{l} -V_{CE} = 6 \text{ V}; I_E = 1 \text{ mA} \\ f = 0.45 \text{ Mc/s} \end{array} \right\} = 1.5 \text{ pF}$$

Current amplification factor

$$h_{fe} \left\{ \begin{array}{l} -V_{CE} = 6 \text{ V}; I_E = 1 \text{ mA} \\ f = 1 \text{ kc/s} \end{array} \right\} = 150$$

Noise figure

$$F \left\{ \begin{array}{l} -V_{CE} = 6 \text{ V}; I_E = 1 \text{ mA} \\ f = 10.7 \text{ Mc/s} \\ \text{Input source resistance} = 200 \Omega \end{array} \right\} = 3.0 \text{ dB} < 4.5 \text{ dB}$$

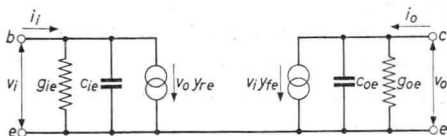
$$F \left\{ \begin{array}{l} -V_{CE} = 6 \text{ V}; I_E = 1 \text{ mA} \\ f = 1 \text{ Mc/s} \\ \text{Input source resistance} = 500 \Omega \end{array} \right\} = 1.5 \text{ dB} < 3 \text{ dB}$$

Conversion noise figure

$$F \left\{ \begin{array}{l} -V_{CE} = 6 \text{ V}; I_E = 1 \text{ mA} \\ f = 1 \text{ Mc/s} \\ \text{Input source resistance} = 500 \Omega \end{array} \right\} = 3 \text{ dB} < 5 \text{ dB}$$

$$F \left\{ \begin{array}{l} -V_{CE} = 6 \text{ V}; I_E = 1 \text{ mA} \\ f = 200 \text{ kc/s} \\ \text{Input source resistance} = 2 \text{ k}\Omega \end{array} \right\} = 4 \text{ dB} < 7 \text{ dB}$$

Small signal parameters measured with a length of lead between transistor bottom and measuring jig of 5 mm



Measured in common emitter circuit at

Collector voltage $-V_{CE} = 6 \text{ V}$

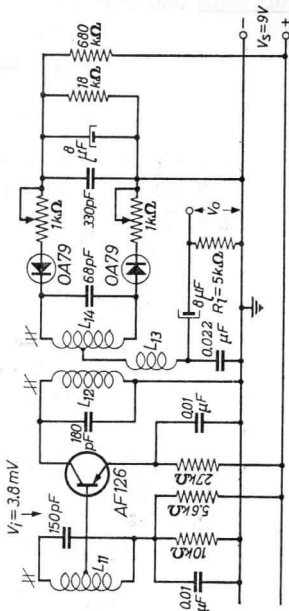
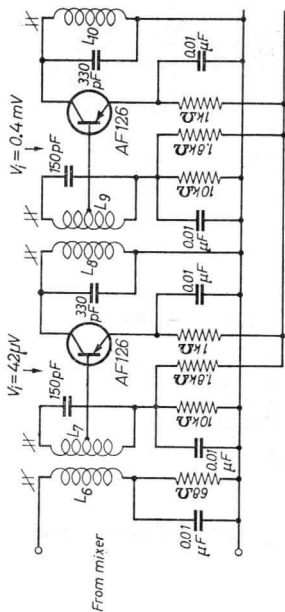
Emitter current $I_E = 1 \text{ mA}$

| | | |
|------------------------------------|--------------------------------------|---|
| Frequency | $f = 10.7 \text{ Mc/s}$ | $f = 0.45 \text{ Mc/s}$ |
| Input conductance | $g_{ie} = 1.7 \text{ mA/V}$ | $g_{ie} = 0.25 \text{ mA/V}$ |
| Input capacitance | $c_{ie} = 60 \text{ pF}$ | $c_{ie} = 70 \text{ pF}$ |
| Feedback admittance | $ y_{re} = 0.1 \text{ mA/V}$ | $ y_{re} = 4.0 \text{ } \mu\text{A/V}$ |
| Phase angle of feedback admittance | $\varphi_{re} = 260^\circ$ | $\varphi_{re} = 270^\circ$ |
| Transfer admittance | $ y_{fe} = 32 \text{ mA/V}$ | $ y_{fe} = 37 \text{ mA/V}$ |
| Phase angle of transfer admittance | $\varphi_{fe} = 335^\circ$ | $\varphi_{fe} = 0^\circ$ |
| Output conductance | $g_{oe} = 40 \text{ } \mu\text{A/V}$ | $g_{oe} = 1.0 \text{ } \mu\text{A/V}$ |
| Output capacitance | $c_{oe} = 3.5 \text{ pF}$ | $c_{oe} = 4.0 \text{ pF}$ |

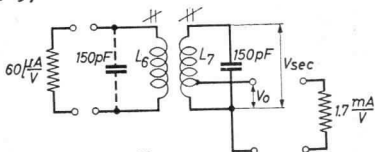
I.F. AMPLIFIER FOR 10.7 MC/S

IE of each transistor = 1.0 mA

For coil data please refer to page 6



COIL DATA (See page 5)



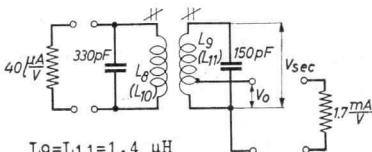
$$L_6 = 1.4 \mu\text{H} \quad L_7 = 1.4 \mu\text{H}$$

$$Q_o \geq 120 \quad Q_o \geq 110$$

$$Q_L = 70 \quad Q_L = 92$$

$$KQ_L = 1.25$$

$$\frac{V_o}{V_{\text{sec}}} = 0.1$$



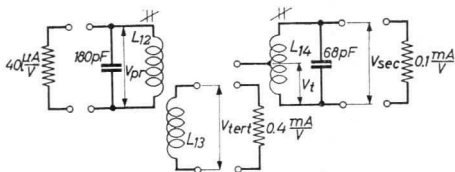
$$L_8 = L_{10} = 0.67 \mu\text{H} \quad L_9 = L_{11} = 1.4 \mu\text{H}$$

$$Q_o \geq 110 \quad Q_o \geq 110$$

$$Q_L = 92 \quad Q_L = 92$$

$$KQ_L = 1.25$$

$$\frac{V_o}{V_{\text{sec}}} = 0.1$$



$$L_{12} = 1.2 \mu\text{H} \quad L_{14} = 3.05 \mu\text{H}$$

$$Q_o \geq 90 \quad Q_o \geq 90$$

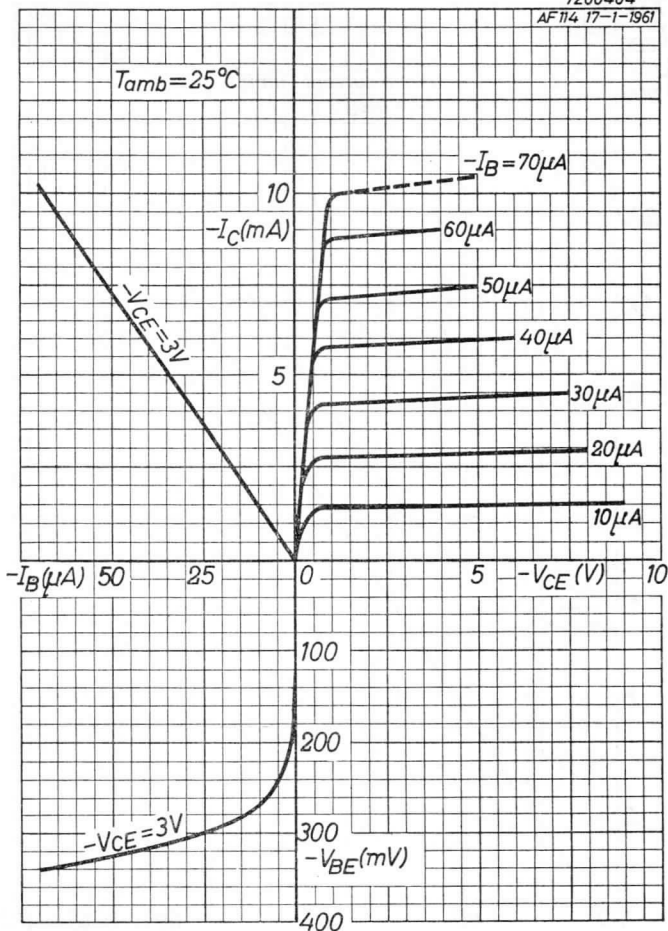
$$KQ_L = 0.7$$

L_{14} is bifilarly wound

$$\frac{V_{\text{tert}}}{V_{\text{pr}}} = 0.45 \quad \frac{V_t}{V_{\text{sec}}} = 0.5$$

7Z00404

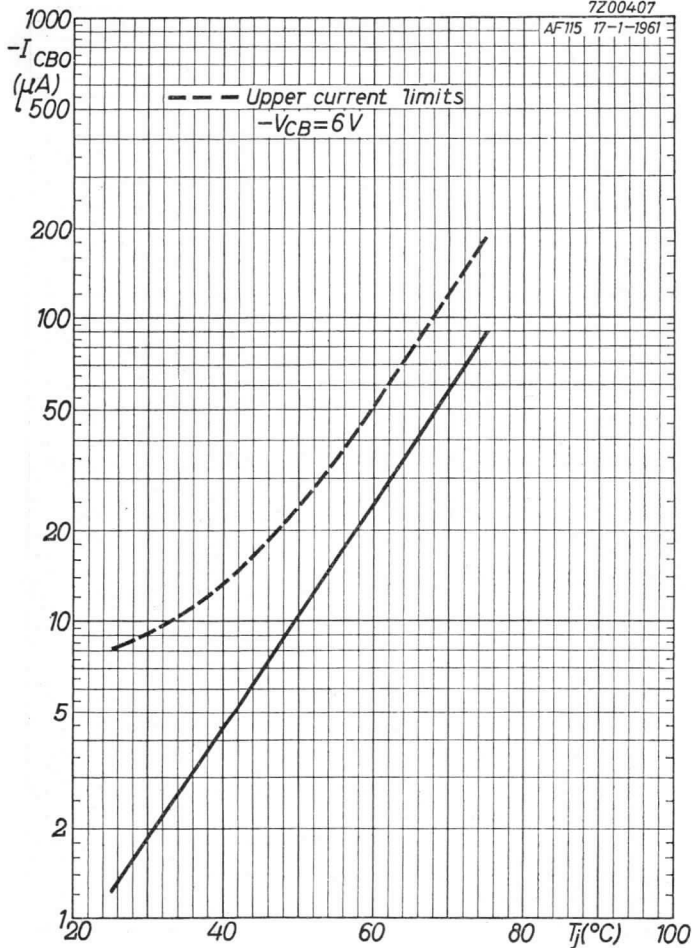
AF 114 17-1-1961



AF126**PHILIPS**

7200407

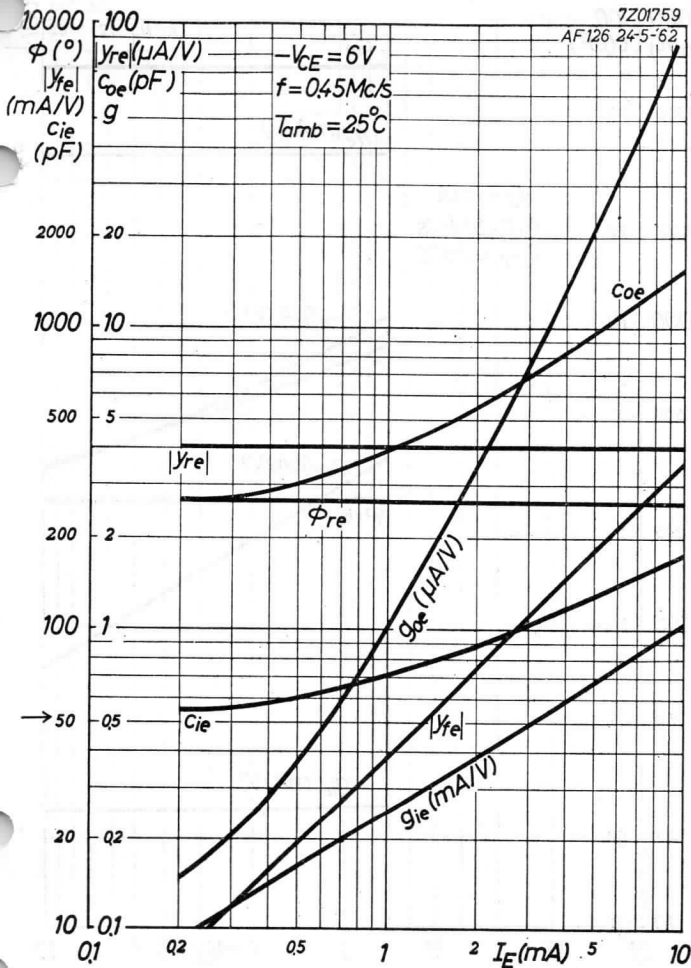
AF115 17-1-1961

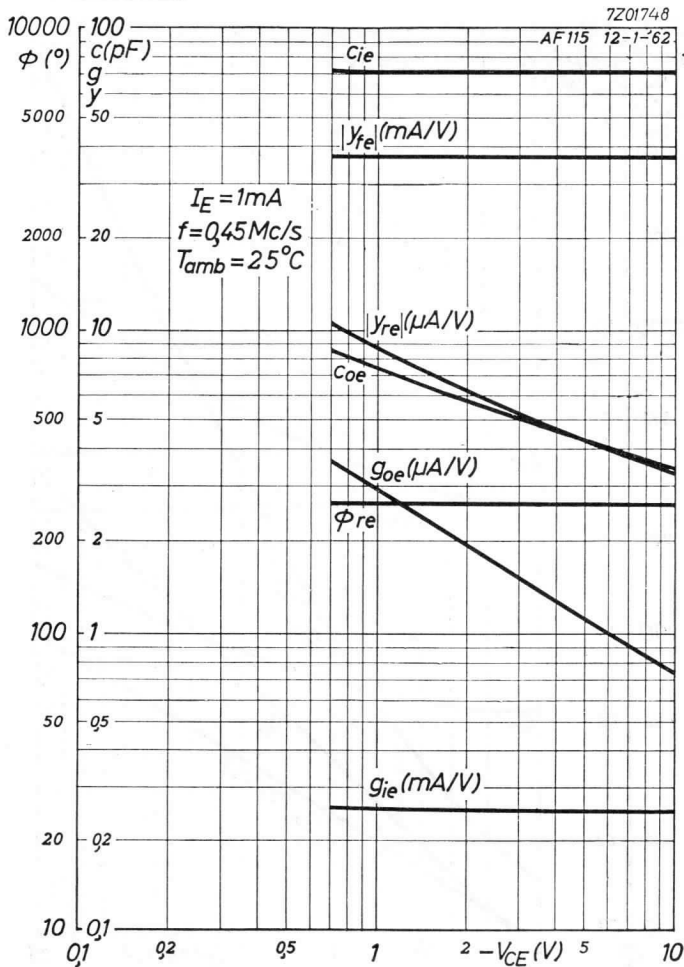


B

7Z01759

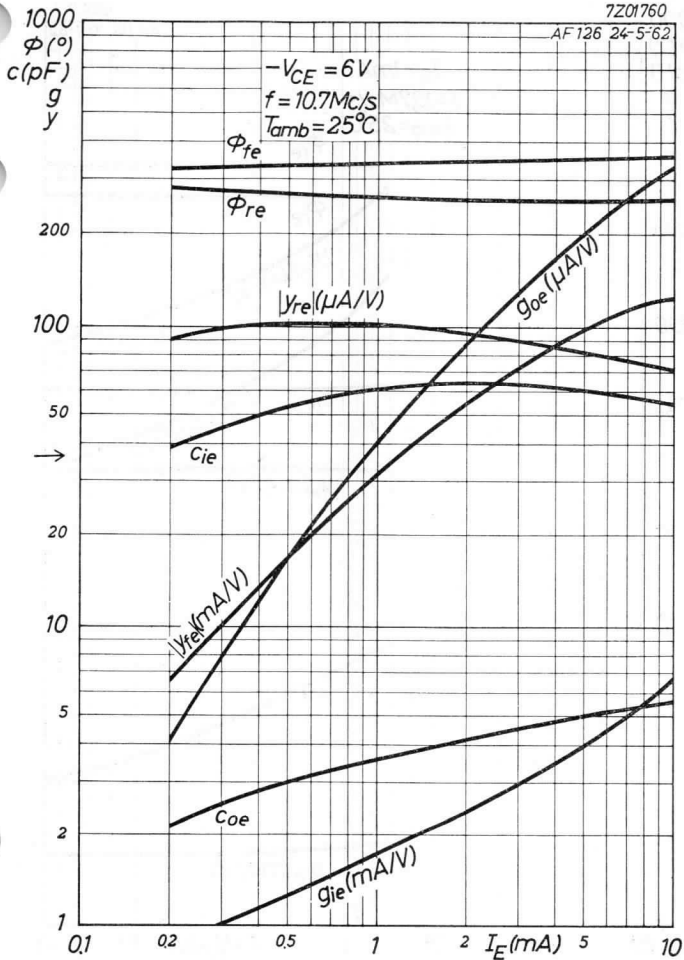
AF126 24-5-62



AF126**PHILIPS**

7201760

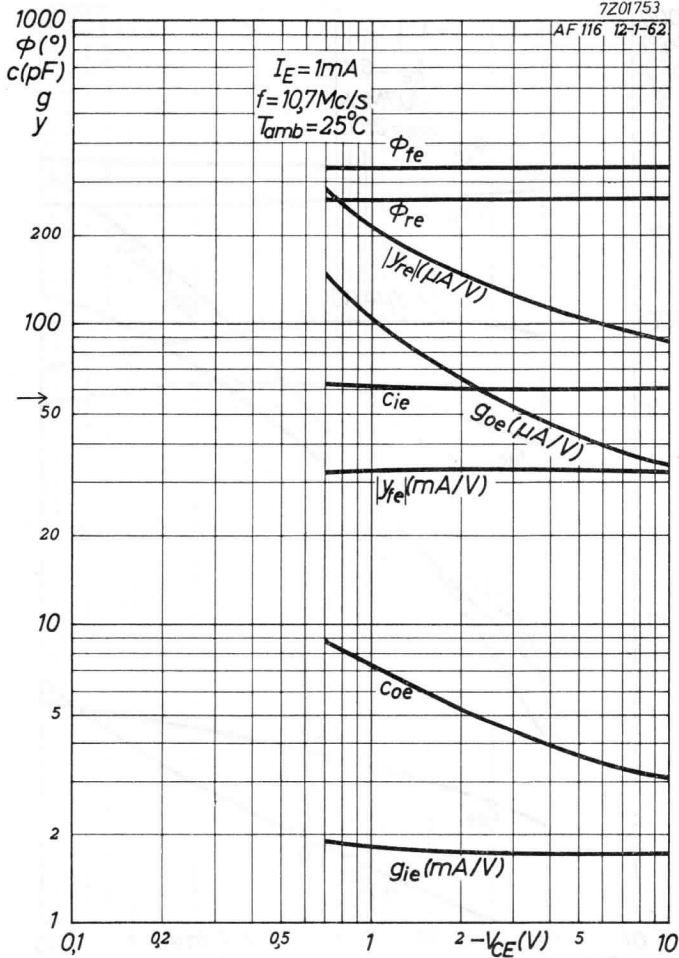
AF126 24-5-62



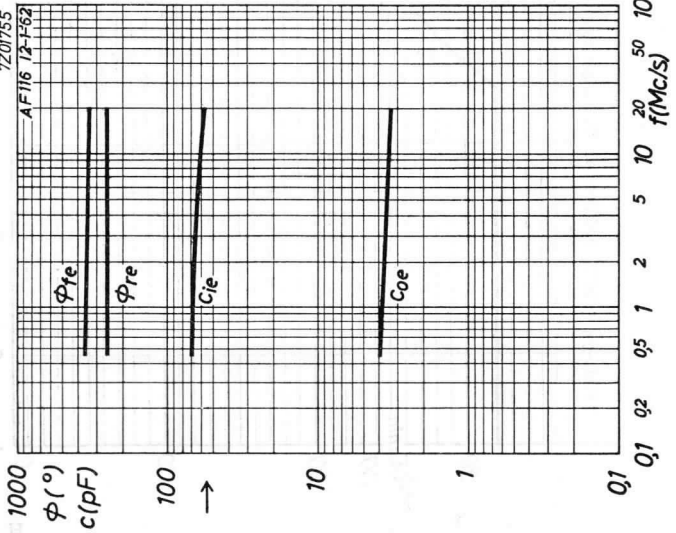
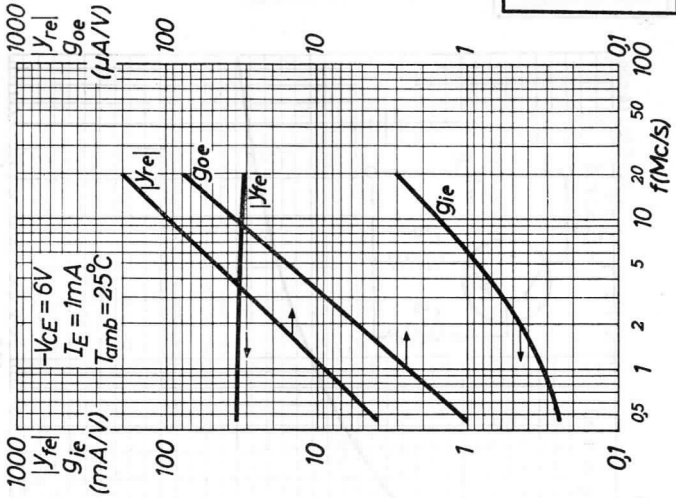
AF126**PHILIPS**

7201753

AF 116 12-1-62

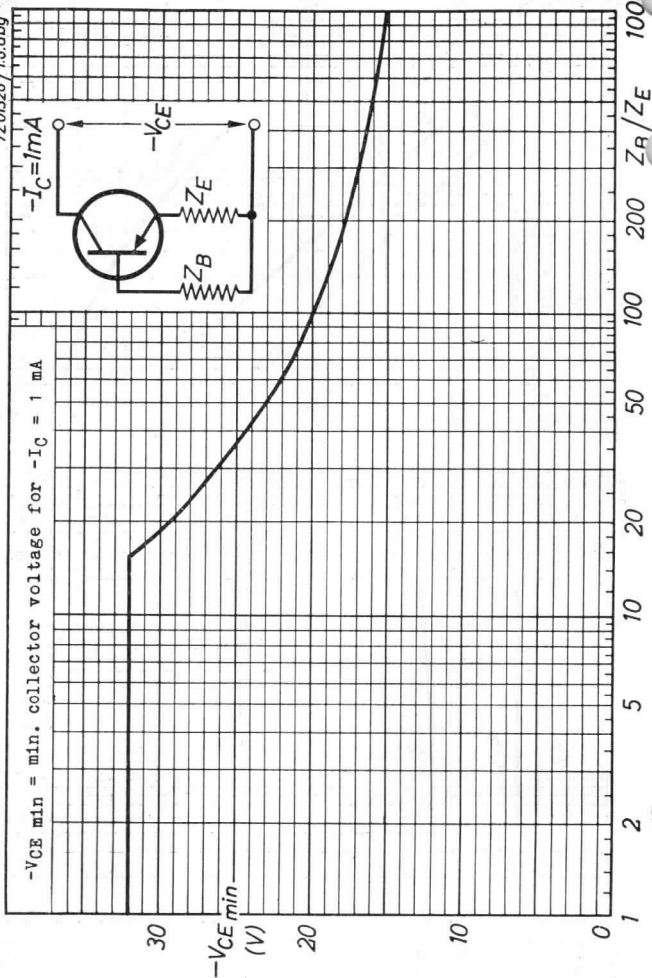


F



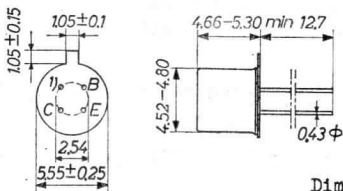
AF126**PHILIPS**

7Z01326/1.6.abg



H

GERMANIUM ALLOY-DIFFUSED TRANSISTOR of the p-n-p type in metal envelope with low collector capacitance, low noise and good A.G.C. performance at high ambient temperatures, for use as I.F. amplifier, R.F. amplifier and oscillator-mixer in A.M. receivers up to 6 Mc/s



Dimensions in mm

LIMITING VALUES (Absolute max. values)

Collector

| | | |
|-----------------------------|-------------------------|--------------------|
| Voltage (base reference) | $-V_{CB} = \text{max.}$ | 32 V |
| Voltage (emitter reference) | $-V_{CE} = \text{max.}$ | 32 V ²⁾ |
| Current | $-I_C = \text{max.}$ | 10 mA |
| Dissipation | $P_C = \text{max.}$ | 60 mW |

Emitter

| | | |
|-----------------|----------------------|------|
| Reverse current | $-I_E = \text{max.}$ | 1 mA |
|-----------------|----------------------|------|

Base

| | | |
|---------|-----------------------|------|
| Current | $ I_B = \text{max.}$ | 1 mA |
|---------|-----------------------|------|

Temperatures

| | |
|------------------------|----------------------------|
| Storage temperature | $T_S = -55$ °C to $+75$ °C |
| Junction temperature | |
| continuous operation | $T_j = \text{max.}$ 75 °C |
| intermittent operation | $T_j = \text{max.}$ 90 °C |
| (total duration max. | $t = \text{max.}$ 200 hrs) |
| 200 hrs) | |

THERMAL DATA

| | |
|--|------------------------------|
| Thermal resistance from junction to ambience in free air | $K = \text{max.}$ 0.75 °C/mW |
|--|------------------------------|

1) Interlead shield and metal case

2) See also page E

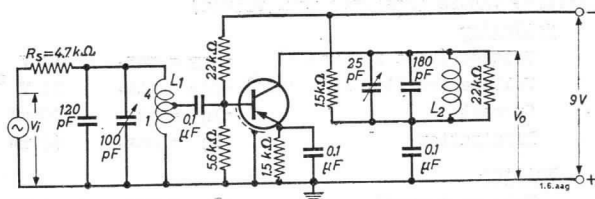
AF127**PHILIPS**CHARACTERISTICS at $T_{amb} = 25\text{ }^{\circ}\text{C}$

Collector current at $I_E = 0\text{ mA}$
 $-I_{CBO}$ ($-V_{CB} = 6\text{ V}$; $I_E = 0\text{ mA}$) = $1.2\text{ }\mu\text{A}$ < $8\text{ }\mu\text{A}$

Collector voltage at $I_E = 0\text{ mA}$
 $-V_{CB}$ ($-I_C = 50\text{ }\mu\text{A}$; $I_E = 0\text{ mA}$) > 32 V ←

Base current
 $-I_B$ ($-V_{CB} = 6\text{ V}$; $I_E = 1\text{ mA}$) = $7\text{ }\mu\text{A}$ < $25\text{ }\mu\text{A}$

Base voltage
 $-V_{BE}$ ($-V_{CB} = 6\text{ V}$; $I_E = 1\text{ mA}$) = 270 mV > 210 mV
 < 330 mV

Test circuit for power gain at $f = 0.45\text{ Mc/s}$ 

L_1 : inductance $L = 625\text{ }\mu\text{H}$; unloaded Q-factor $Q_0 = 140$;
 tap at $t = 0.2$

L_2 : inductance $L = 625\text{ }\mu\text{H}$; unloaded Q-factor $Q_0 = 140$

R_S : input source resistance

R_L : total collector resistance = $20\text{ k}\Omega$

Available power gain at 0.45 Mc/s in the circuit above

$$G(f = 0.45\text{ Mc/s}) = 42\text{ dB} > 40\text{ dB}$$

The available power gain is defined by

$$G = \frac{4R_S}{R_L} \cdot \frac{V_O^2}{V_I^2} = 0.94 \frac{V_O^2}{V_I^2}$$

CHARACTERISTICS RANGE VALUES FOR EQUIPMENT DESIGN

$T_{amb} = 25^{\circ}C$

Emitter voltage

$$-V_{EB} \quad (-I_E = 50 \mu A; I_C = 0 mA) = 1.5 V > 1.0 V$$

Frequency at which $|h_{fe}| = 1$

$$f_1 \quad (-V_{CB} = 6 V; I_E = 1 mA) = 75 \text{ Mc/s}$$

Intrinsic base impedance

$$|z_{rb}| \left\{ \begin{array}{l} -V_{CB} = 6 V; I_E = 1 mA \\ f = 2 \text{ Mc/s} \end{array} \right\} = 35 \Omega$$

Feedback capacitance

$$-c_{re} \left\{ \begin{array}{l} -V_{CE} = 6 V; I_E = 1 mA \\ f = 0.45 \text{ Mc/s} \end{array} \right\} = 1.5 \text{ pF}$$

Current amplification factor

$$h_{fe} \left\{ \begin{array}{l} -V_{CE} = 6 V; I_E = 1 mA \\ f = 1 \text{ kc/s} \end{array} \right\} = 150$$

Noise figure

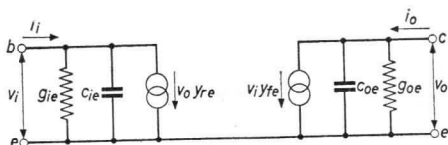
$$F \left\{ \begin{array}{l} -V_{CE} = 6 V; I_E = 1 mA \\ f = 1 \text{ Mc/s} \\ \text{Input source resist-} \\ \text{ance} = 500 \Omega \end{array} \right\} = 1.5 \text{ dB} < 3 \text{ dB}$$

Conversion noise figure

$$F \left\{ \begin{array}{l} -V_{CE} = 6 V; I_E = 1 mA \\ f = 1 \text{ Mc/s} \\ \text{Input source resist-} \\ \text{ance} = 500 \Omega \end{array} \right\} = 3 \text{ dB} < 5 \text{ dB}$$

$$F \left\{ \begin{array}{l} -V_{CE} = 6 V; I_E = 1 mA \\ f = 200 \text{ kc/s} \\ \text{Input source resist-} \\ \text{ance} = 2 \text{ k}\Omega \end{array} \right\} = 4 \text{ dB} < 7 \text{ dB}$$

Small signal parameters

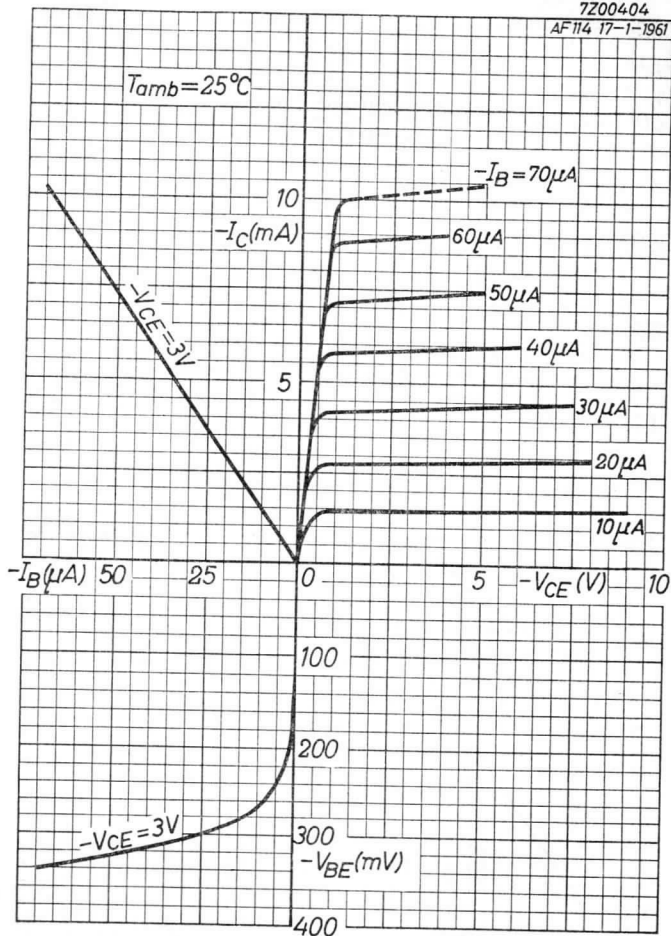


Measured in common emitter circuit at

| | |
|------------------------------------|---|
| Collector voltage | $-V_{CE} = 6 \text{ V}$ |
| Emitter current | $I_E = 1 \text{ mA}$ |
| Frequency | $f = 0.45 \text{ Mc/s}$ |
| Input conductance | $g_{ie} = 0.25 \text{ mA/V}$ |
| Input capacitance | $c_{ie} = 70 \text{ pF}$ |
| Feedback admittance | $ y_{re} = 4.0 \text{ } \mu\text{A/V}$ |
| Phase angle of feedback admittance | $\varphi_{re} = 270^\circ$ |
| Transfer admittance | $ y_{fe} = 37 \text{ mA/V}$ |
| Phase angle of transfer admittance | $\varphi_{fe} = 0^\circ$ |
| Output conductance | $g_{oe} = 1.0 \text{ } \mu\text{A/V}$ |
| Output capacitance | $c_{oe} = 4.0 \text{ pF}$ |

7Z00404

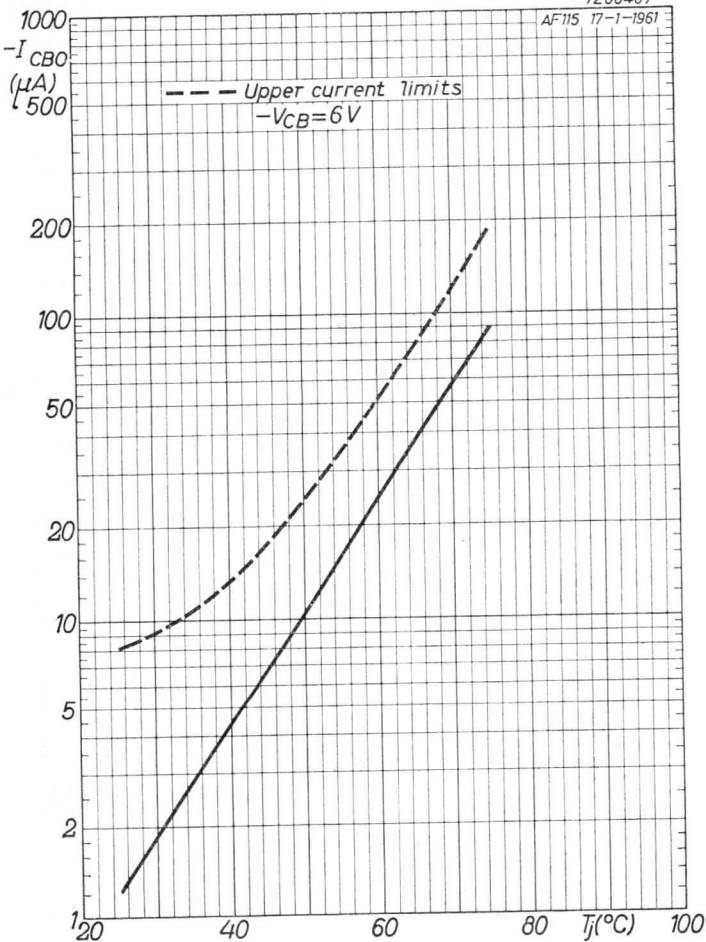
AF 114 17-1-1961



AF127**PHILIPS**

7Z00407

AF115 17-1-1961



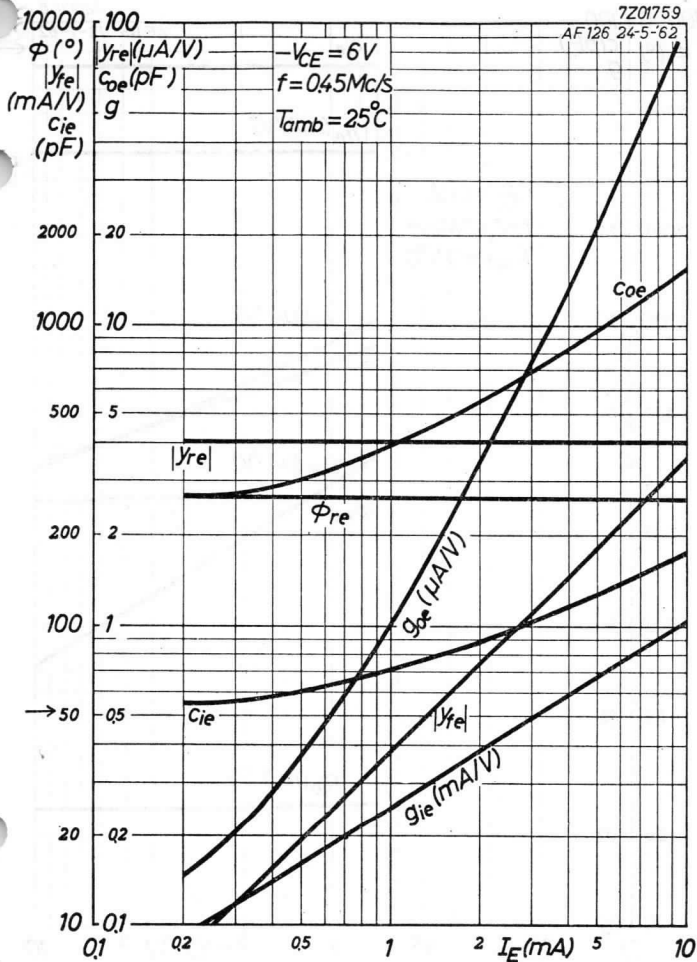
B

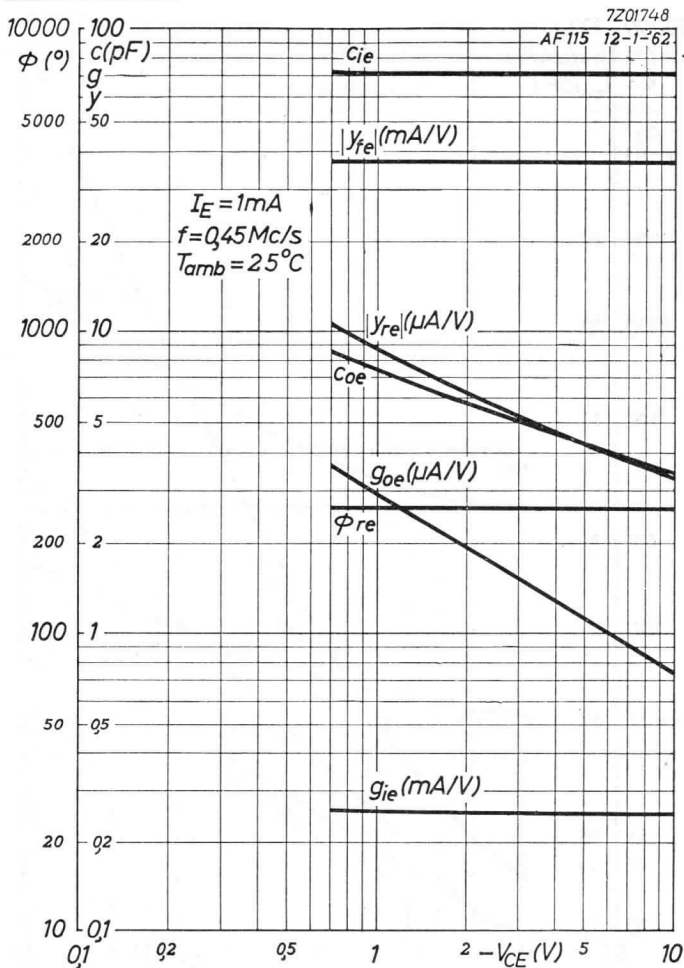
PHILIPS

AF127

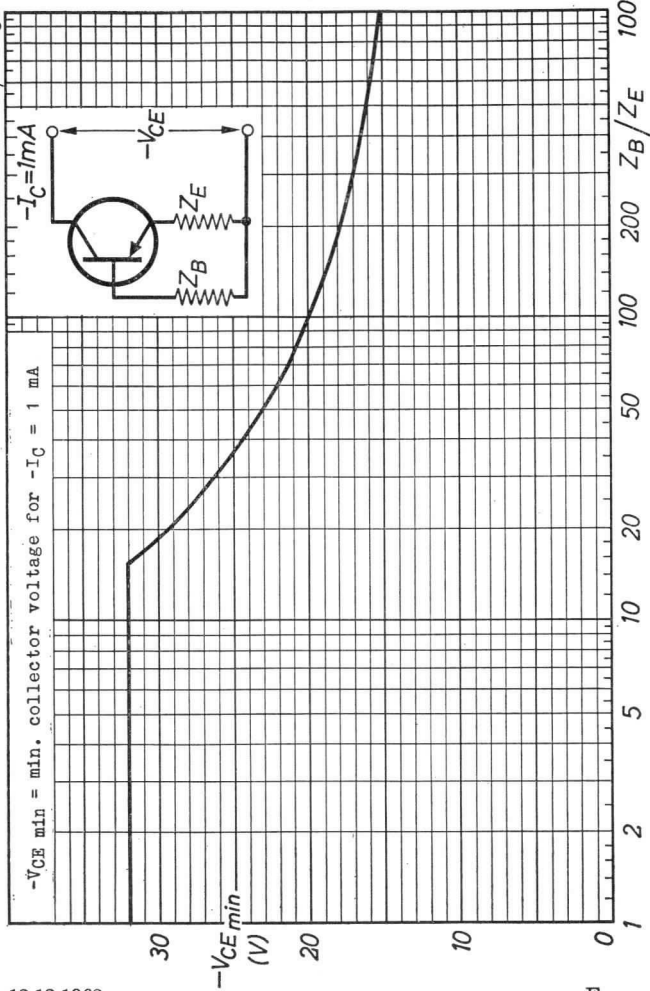
7201759

AF126 24-5-62



AF127**PHILIPS**

7201326 / 11.6.cbg



12.12.1962

E

1971

1971

1971

1971

1971

1971

1971

1971

1971

1971

1971

1971

1971

1971

1971

1971

1971

1971

1971

1971

1971

1971

1971

V.H.F. alloy-diffused germanium transistor of the p-n-p type in TO-5 metal case for use as a power amplifier in transmitters with frequencies up to 180 Mc/s

LIMITING VALUES (Absolute max. limits)

Collector

| | | |
|-----------------------------|-------------------------|--------------------|
| Voltage (base reference) | $-V_{CB} = \text{max.}$ | 32 V |
| Voltage (emitter reference) | $-V_{CE} = \text{max.}$ | 32 V ¹⁾ |
| Peak current | $-I_{CM} = \text{max.}$ | 300 mA |
| Continuous current | $-I_C = \text{max.}$ | 150 mA |

Emitter

| | | |
|----------------------------|-------------------------|--------|
| Peak current | $I_{EM} = \text{max.}$ | 350 mA |
| Continuous current | $I_E = \text{max.}$ | 200 mA |
| Peak reverse current | $-I_{EM} = \text{max.}$ | 30 mA |
| Continuous reverse current | $-I_E = \text{max.}$ | 10 mA |

Dissipation

| | | |
|-------------------|-------------------------|----------------------|
| Total dissipation | $P_{tot} = \text{max.}$ | 800 mW ²⁾ |
|-------------------|-------------------------|----------------------|

Temperatures

| | |
|---|--|
| Storage temperature | $T_S = -55^\circ\text{C}$ to $+75^\circ\text{C}$ |
| Junction temperature | |
| continuous operation | $T_J = \text{max.}$ 90 °C |
| incidentally, up to a total of 200 hrs | $T_J = \text{max.}$ 100 °C |

THERMAL DATA

Thermal resistance from junction to ambience

| | | |
|--|-----|------------|
| in free air | K < | 0.25 °C/mW |
| mounted on heat sink of at least 12.5 cm ² | K < | 0.08 °C/mW |

Thermal resistance from junction to case

| | | |
|--|-----|-------------|
| | K < | 0.035 °C/mW |
|--|-----|-------------|

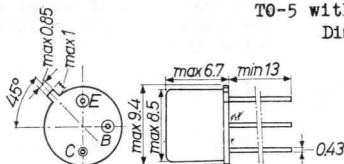
¹⁾ At $-I_C = 1 \text{ mA}$ and $V_{BE} = 0 \text{ V}$

²⁾ The max. incidental junction temperature of 100 °C may also be reached by a peak dissipation of 1000 mW.

AFY19

PHILIPS

T0-5 with short leads
Dimensions in mm



The collector is electrically connected to the case.
Accessories for insulated mounting can be delivered separately (type number 56218).

CHARACTERISTICS at $T_{amb} = 25\text{ }^{\circ}\text{C}$

Collector leakage current at

| | |
|--|------------------------------------|
| $-V_{CB} = 10\text{ V}; I_E = 0\text{ mA}$ | $-I_{CBO} < 10\text{ }\mu\text{A}$ |
| $-V_{CB} = 32\text{ V}; I_E = 0\text{ mA}$ | $-I_{CBO} < 1\text{ mA}$ |

Emitter leakage current at

| | |
|---|--------------------------|
| $-V_{EB} = 0.5\text{ V}; I_C = 0\text{ mA}$ | $-I_{EBO} < 1\text{ mA}$ |
|---|--------------------------|

Base current at

| | |
|--|----------------------|
| $I_E = 100\text{ mA}; V_{CB} = 2\text{ V}$ | $-I_B < 3\text{ mA}$ |
|--|----------------------|

CHARACTERISTICS RANGE VALUES FOR EQUIPMENT DESIGN

$T_{amb} = 25\text{ }^{\circ}\text{C}$

Collector leakage current $-I_{CBO}$ See page E

Base current at

| | |
|---|--------------------------|
| $I_E = 80\text{ mA}; -V_{CB} = 12\text{ V}$ | $-I_B = 1 < 2\text{ mA}$ |
|---|--------------------------|

Collector saturation voltage at

| | |
|---|------------------------|
| $-I_C = 300\text{ mA}; -I_B = 20\text{ mA}$ | $-V_{CE} < 1\text{ V}$ |
|---|------------------------|

Frequency at which $|h_{fe}| = 1$ at

| | |
|---|-------------------------------|
| $I_E = 100\text{ mA}; -V_{CB} = 5\text{ V}$ | $f_1 = 350 > 225\text{ Mc/s}$ |
|---|-------------------------------|

Base-emitter input resistance, output short-circuited for H.F. at

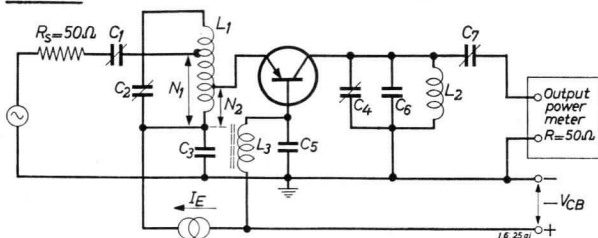
| | |
|--|-----------------------------|
| $\left\{ \begin{array}{l} I_E = 100\text{ mA}; -V_{CB} = 5\text{ V} \\ f = 100\text{ Mc/s} \end{array} \right\}$ | $r_{ie} = 18\text{ }\Omega$ |
|--|-----------------------------|

Collector capacitance at

| | |
|---|----------------------|
| $\left\{ \begin{array}{l} -V_{CB} = 10\text{ V}; I_E = 0\text{ mA} \\ f = 0.5\text{ Mc/s} \end{array} \right\}$ | $C_C = 12\text{ pF}$ |
|---|----------------------|

OPERATING CHARACTERISTICS as V.H.F. power amplifier at
 $T_{amb} = 25^{\circ}C$

Circuit



f ----- 80 ----- 180 Mc/s

$C_1 = 50$ 15 pF

$C_2 = 50$ 15 pF

$C_3 = 10$ 1 nF

$C_4 = 50$ 15 pF

$C_5^1) = 10$ 0.12 nF

$C_6 = 82$ 0 pF

$C_7 = 100$ 15 pF

f ----- 80 ----- 180 Mc/s

$L_1 = 0.1$ 0.08 μH

$L_2 = 0.03$ 0.02 μH

$L_3 =$ H.F.choke

$N_1/N_{tot} = 1$ 0.5

$N_2/N_{tot} = 0.5$ 0.22

$Q_1 > 150$ > 200

$Q_2 > 150$ > 200

Characteristics

Output power and available power gain at

$I_E = 80$ mA; $-V_{CB} = 12$ V;

$f = 80$ Mc/s $\left\{ \begin{array}{l} P_o > 500$ mW \\ $G > 10$ dB 2) \end{array} \right.

$f = 180$ Mc/s $\left\{ \begin{array}{l} P_o > 400$ mW \\ $G > 9$ dB 2) \end{array} \right.

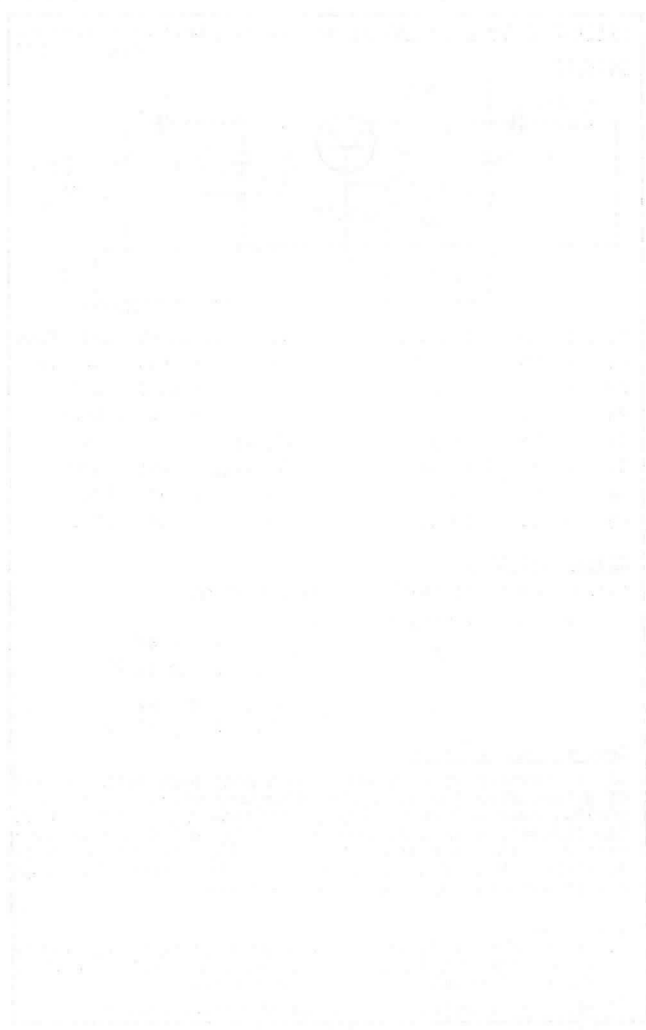
Design considerations

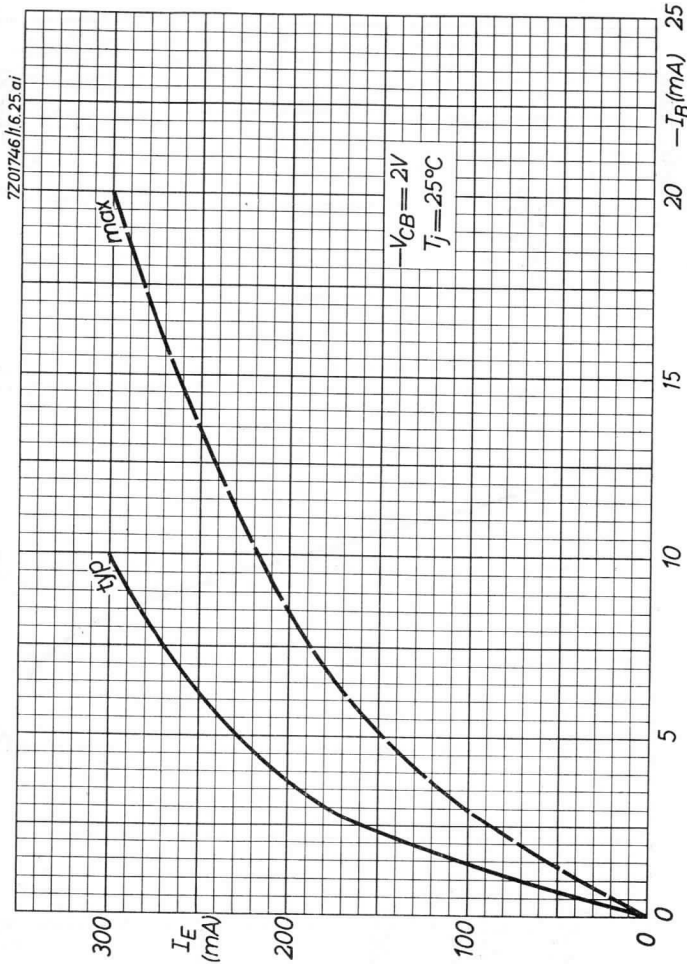
If the transistor is mounted on a heat sink with the aid of accessories for insulated mounting (e.g. accessories 56218), case and heat sink constitute a capacitor with the insulation as dielectricum. As the collector is connected to the case the total collector capacitance will be higher. Measures should be taken to prevent too high a capacitance, especially at 180 Mc/s.

¹⁾ The capacitor C_5 should be chosen so that its series inductance can be neglected (e.g. a tubular ceramic capacitor mounted in a copper block).

²⁾ Without insertion losses and at stated min. P_o

PHILIPS



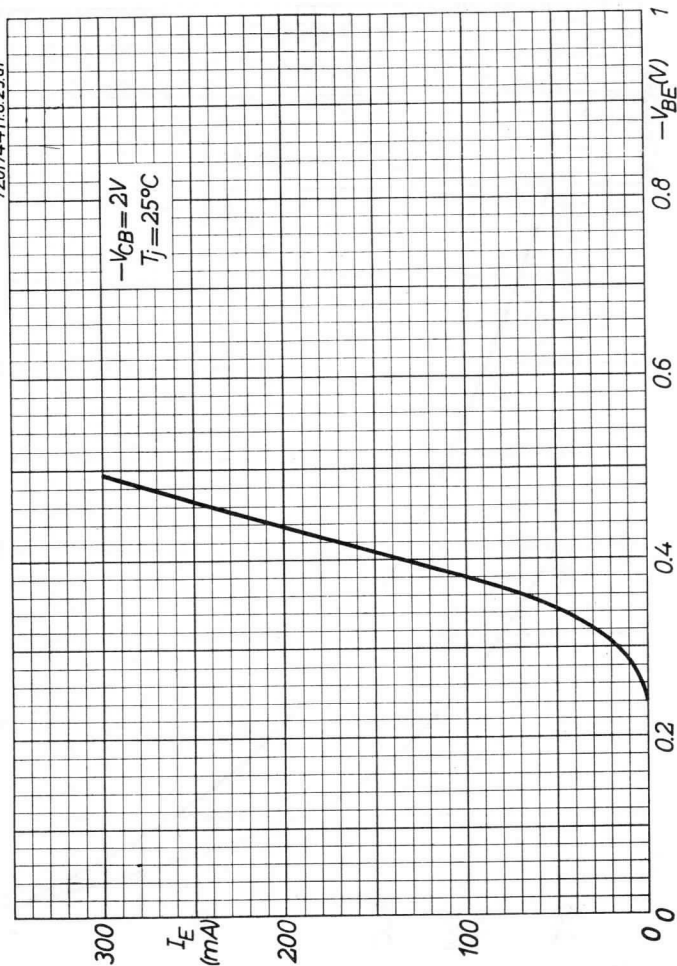


5.5.1963

AFY19

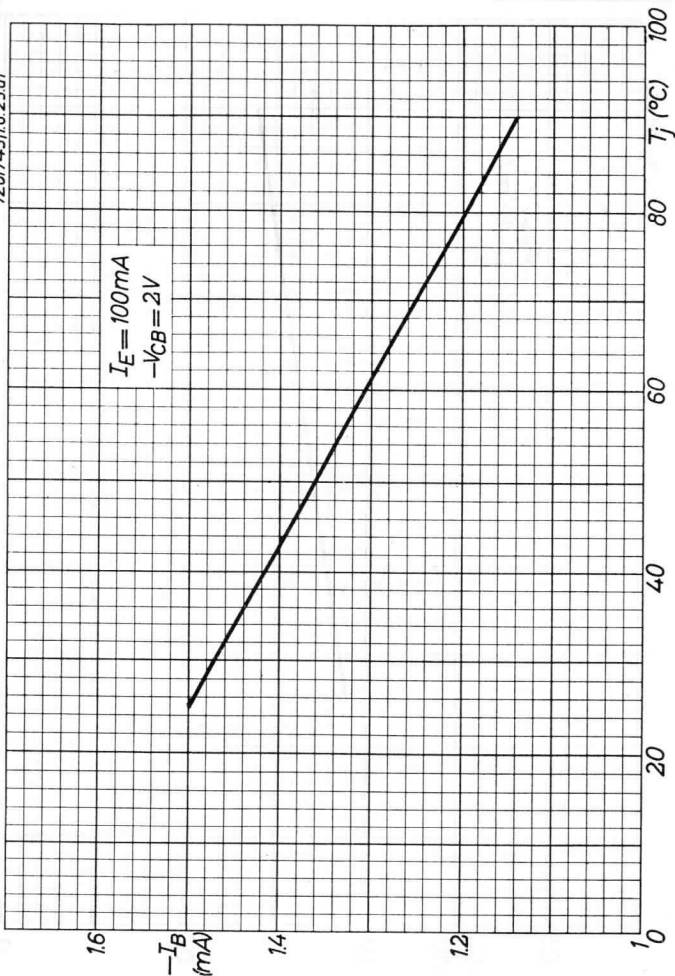
PHILIPS

7201744 | 16.25 ai



B

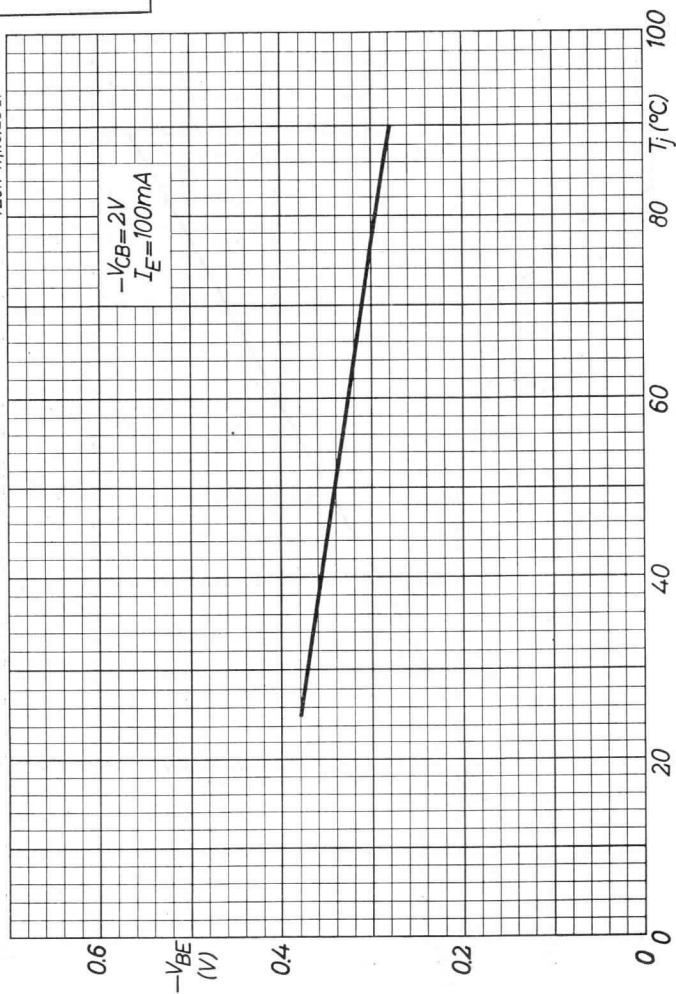
7201743/16.25ai



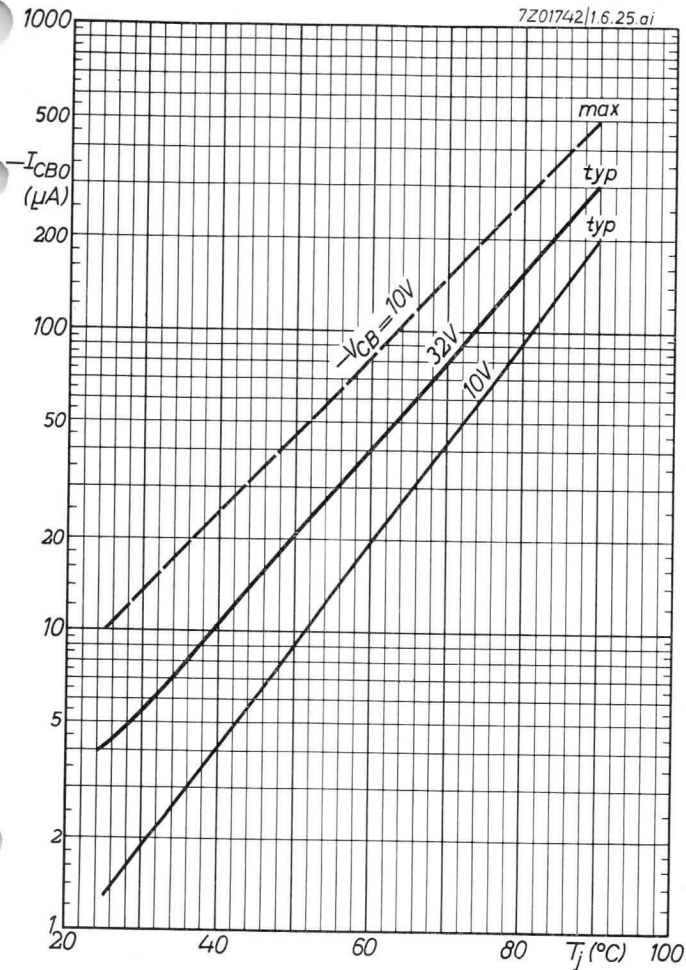
AFY19

PHILIPS

7201741/1.6.25 ai



7Z01742/1.6.25.ai



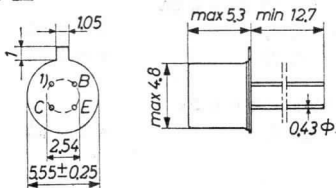
717A

PHILIPS



GERMANIUM JUNCTION TRANSISTOR of the p-n-p alloy diffused type in metal envelope for V.H.F. operation up to 200 Mc/s

Dimensions in mm



LIMITING VALUES (Absolute max. values)

Collector

| | | |
|-----------------------------|-------------------------|--------------------|
| Voltage (emitter reference) | $-V_{CE} = \text{max.}$ | 20 V ²⁾ |
| Voltage (base reference) | $-V_{CB} = \text{max.}$ | 20 V |
| Current | $-I_C = \text{max.}$ | 10 mA |

Emitter

| | | |
|-------------------------------------|-------------------------|--------|
| Reverse voltage (base reference) | $-V_{EB} = \text{max.}$ | 500 mV |
| Current | $I_E = \text{max.}$ | 10 mA |
| Reverse current | $-I_E = \text{max.}$ | 1.0 mA |

Base

| | | |
|---------|----------------------|--------|
| Current | $-I_B = \text{max.}$ | 1.0 mA |
|---------|----------------------|--------|

Dissipation

| | |
|-------------------|---|
| Total dissipation | $P_{\text{tot}} = \text{max.} \frac{T_{j\text{max}} - T_{\text{amb}}^3}{K}$ |
|-------------------|---|

Temperatures

| | |
|---|--|
| Storage | $T_S = -55^\circ\text{C}/+75^\circ\text{C}$ |
| Junction, continuous operation | $T_J = \text{max.} 75^\circ\text{C}$ |
| Junction, intermittent operation (total duration max. 200 hours) | $T_{J(t)} = \text{max.} 90^\circ\text{C}$ $(t = \text{max.} 200 \text{ hrs})$ |

THERMAL DATA

| | |
|--|---|
| Thermal resistance from junction to ambience in free air | $K = \text{max.} 0.6^\circ\text{C}/\text{mW}$ |
|--|---|

¹⁾ Interlead shield

²⁾ At $V_{BE} \geq 500 \text{ mV}$. At $-I_C = 10 \text{ mA}$, $-V_{CE} = \text{max.} 10 \text{ V}$

³⁾ See also page H

CHARACTERISTICS RANGE VALUES for equipment design

$T_{amb} = 25\text{ }^{\circ}\text{C}$

Collector current at $I_E = 0\text{ mA}$

-ICBO ($-V_{CB} = 6\text{ V}$) = 1.0 μA < 6.0 μA

-ICBO ($-V_{CB} = 20\text{ V}$) = 2.6 μA < 50 μA

Emitter current at $I_C = 0\text{ mA}$

-IEBO ($-V_{EB} = 0.5\text{ V}$) = 2.0 μA < 27 μA

Base voltage

-VBE ($-V_{CE} = 6\text{ V}$; $-I_C = 1\text{ mA}$) = 310 mV > 220 mV
< 380 mV

-VBE ($-V_{CE} = 2\text{ V}$; $-I_C = 10\text{ mA}$) = 380 mV

D.C. current amplification factor

h_{FE} ($-V_{CE} = 6\text{ V}$; $-I_C = 1\text{ mA}$) = 60 > 20

h_{FE} ($-V_{CE} = 2\text{ V}$; $-I_C = 10\text{ mA}$) = 60 > 25

Frequency at which $|h_{fe}| = 1$

f_1 ($-V_{CE} = 6\text{ V}$; $-I_C = 1\text{ mA}$) = 180 Mc/s > 135 Mc/s

Current amplification factor

h_{fe} $\left\{ \begin{array}{l} -V_{CE} = 6\text{ V}; -I_C = 1\text{ mA} \\ f = 1\text{ kc/s} \end{array} \right\}$ = 70 > 20

Intrinsic base impedance

z_{rb} $\left\{ \begin{array}{l} -V_{CE} = 6\text{ V}; -I_C = 1\text{ mA} \\ f = 2\text{ Mc/s} \end{array} \right\}$ = 10 Ω

Feedback capacitance

c_{re} $\left\{ \begin{array}{l} -V_{CE} = 6\text{ V}; -I_C = 1\text{ mA} \\ f = 450\text{ kc/s} \end{array} \right\}$ = 1.0 pF < 1.5 pF

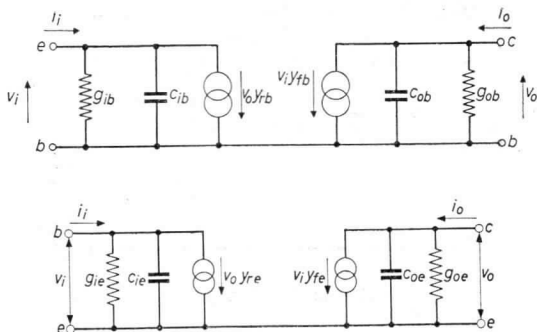
Noise

F $\left\{ \begin{array}{l} -V_{CE} = 12\text{ V}; -I_C = 1\text{ mA} \\ f = 200\text{ Mc/s} \\ \text{Input source resistance} = 30\Omega \end{array} \right\}$ = 6.0 dB < 7.5 dB

Available power gain in the circuit of page 4

$G_a = 13\text{ dB}$ > 10 dB

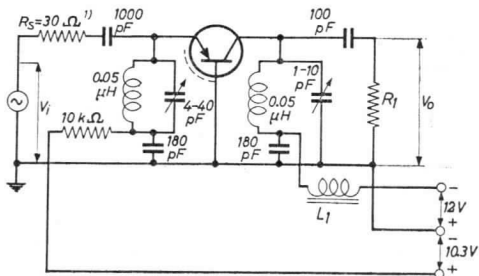
Small signal parameters. Measured with a length of lead between transistor bottom and measuring jig of 5 mm



Measured at:

| | <u>Common base</u> | <u>Common emitter</u> |
|------------------------------------|-------------------------------|-------------------------------|
| Collector voltage | V _{CB} = 12 V | -V _{CE} = 12 V |
| Collector current | | -I _C = 1 mA |
| Emitter current | I _E = 1 mA | |
| Frequency | f = 200 Mc/s | f = 200 Mc/s |
| Input conductance | g _{ib} = 32.5 mA/V | g _{ie} = 28 mA/V |
| Input capacitance | -c _{ib} = 10 pF | c _{ie} = 13 pF |
| Feedback admittance | y _{rb} = 0.41 mA/V | y _{re} = 0.50 mA/V |
| Phase angle of feedback admittance | -φ _{rb} = 80 ° | -φ _{re} = 110 ° |
| Transfer admittance | y _{fb} = 30 mA/V | y _{fe} = 34 mA/V |
| Phase angle of transfer admittance | φ _{fb} = 115 ° | -φ _{fe} = 68 ° |
| Output conductance | g _{ob} = 0.22 mA/V | g _{oe} = 0.22 mA/V |
| Output capacitance | c _{ob} = 2.0 pF | c _{oe} = 2.0 pF |

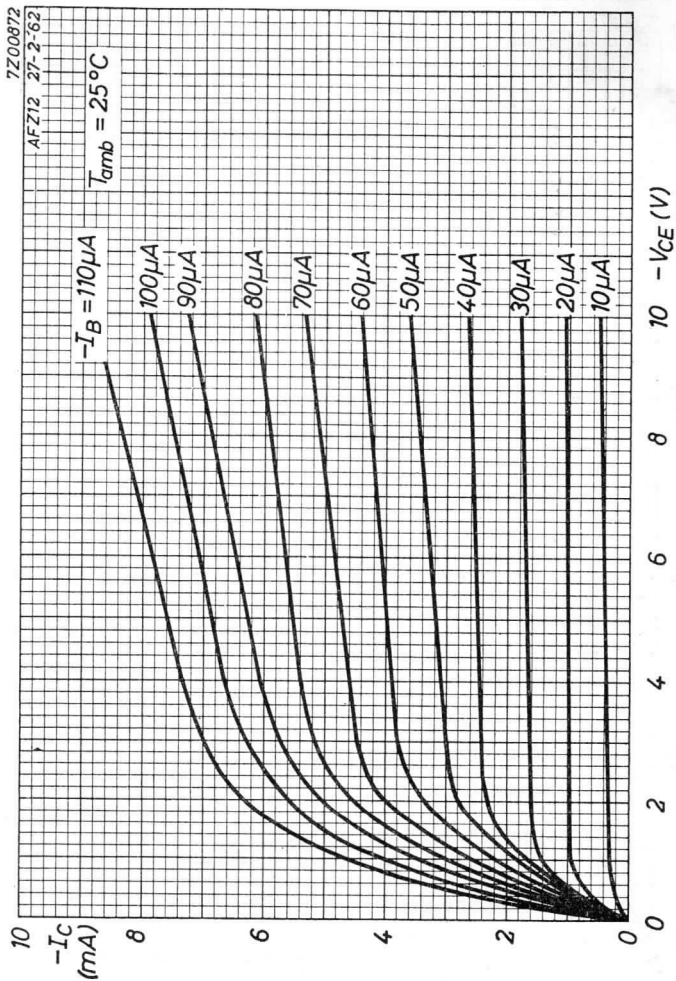
Test circuit for power gain at 200 Mc/s

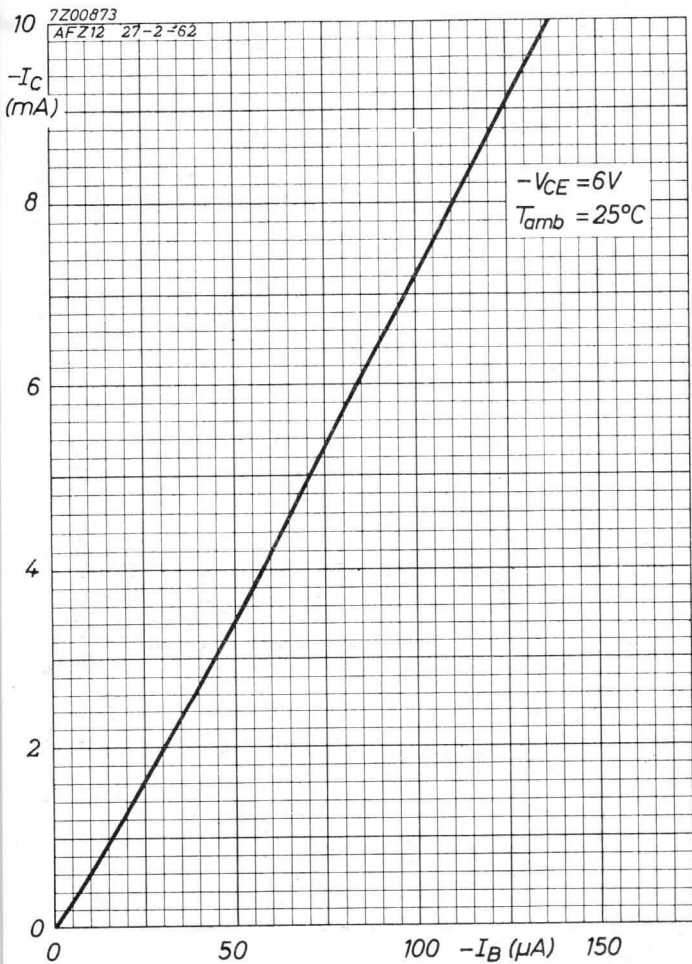


R_1 is chosen so that the total impedance R_L of the tuned circuit is 2 k Ω

L_1 = ferrite bead

¹⁾ Input source impedance



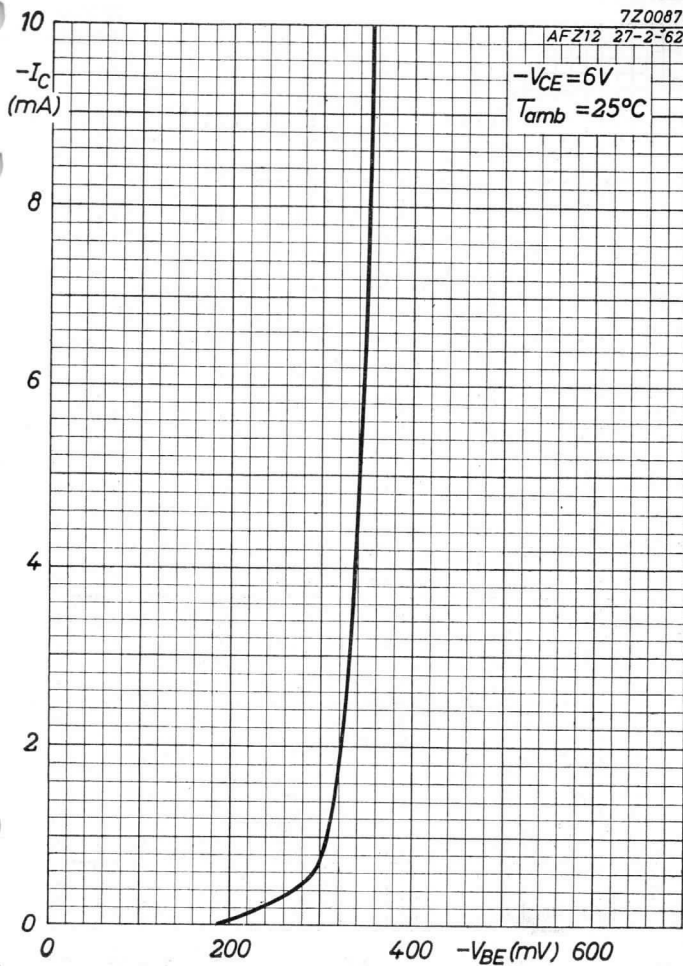
AFZ12**PHILIPS**

PHILIPS

AFZ12

7Z00871

AFZ12 27-2-62



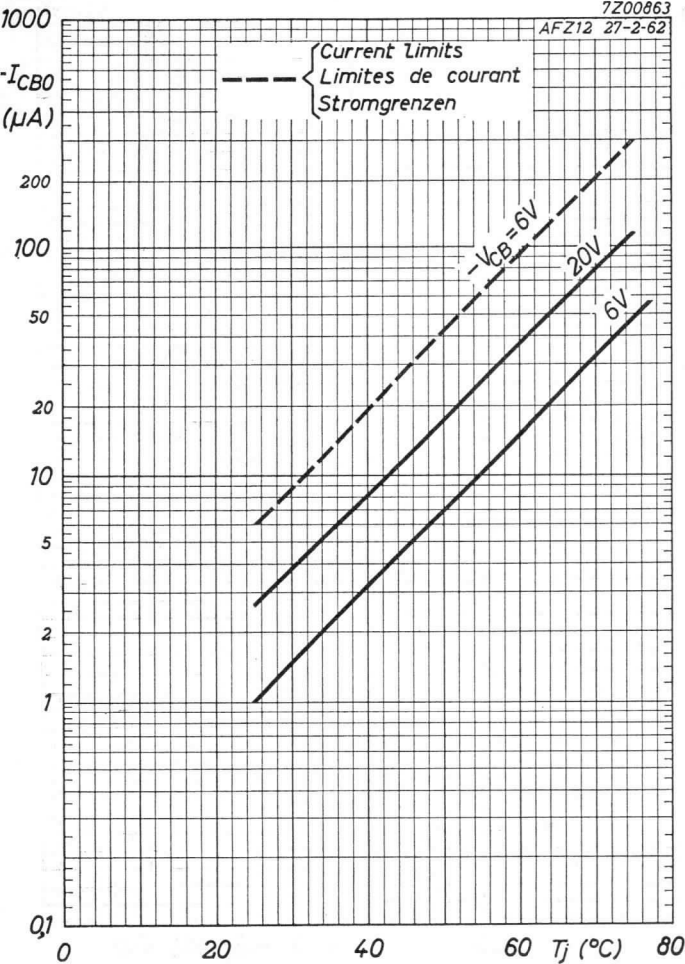
5.5.1962

C

AFZ12**PHILIPS**

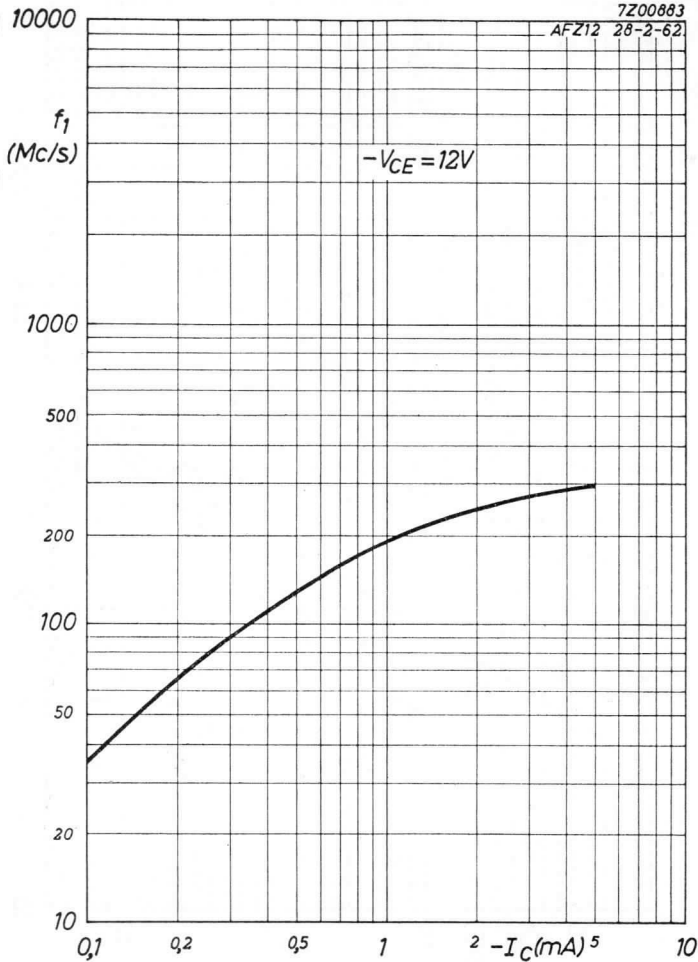
7Z00863

AFZ12 27-2-62



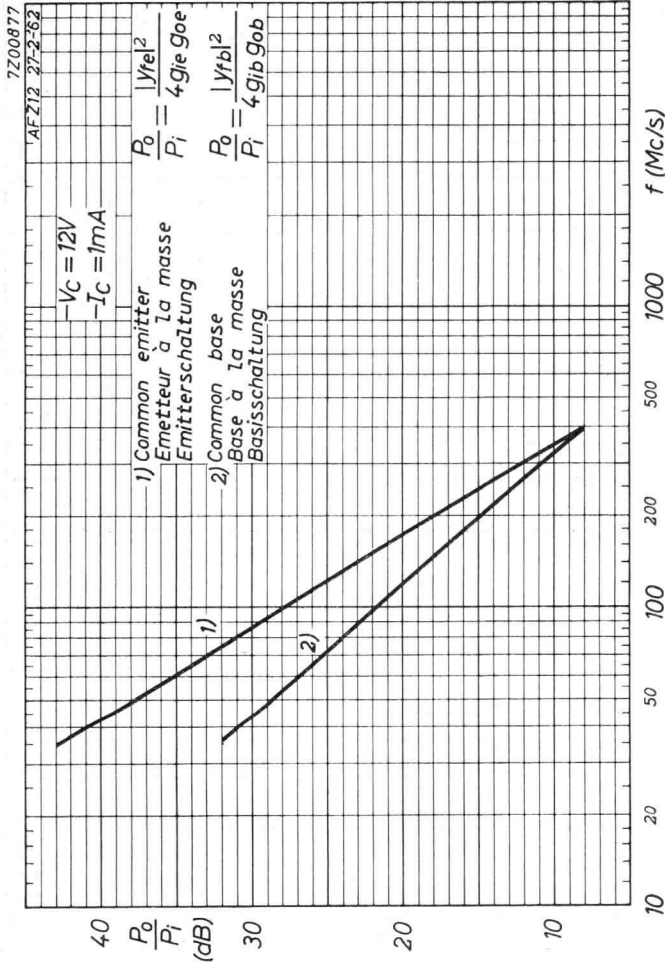
7Z00883

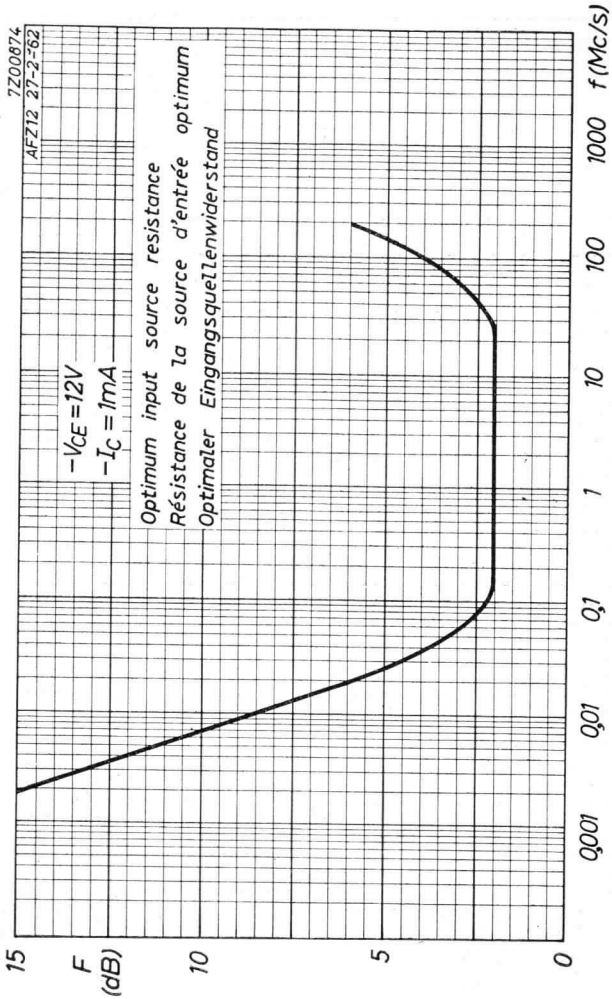
AFZ12 28-2-62



5.5.1962

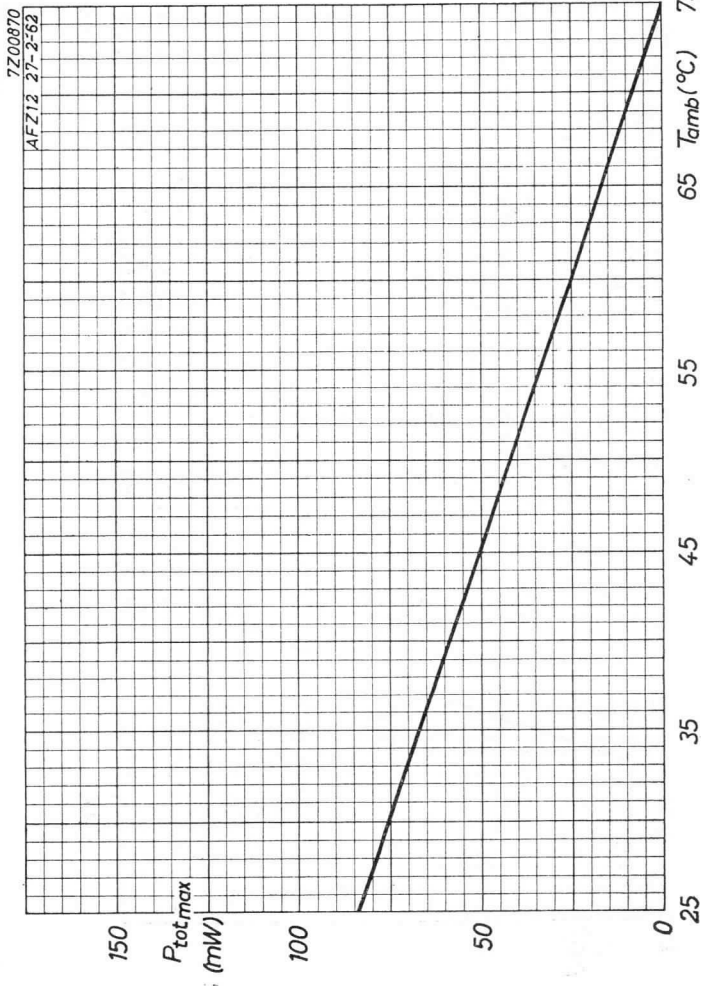
E

AFZ12**PHILIPS**



PHILIPS

AFZ12

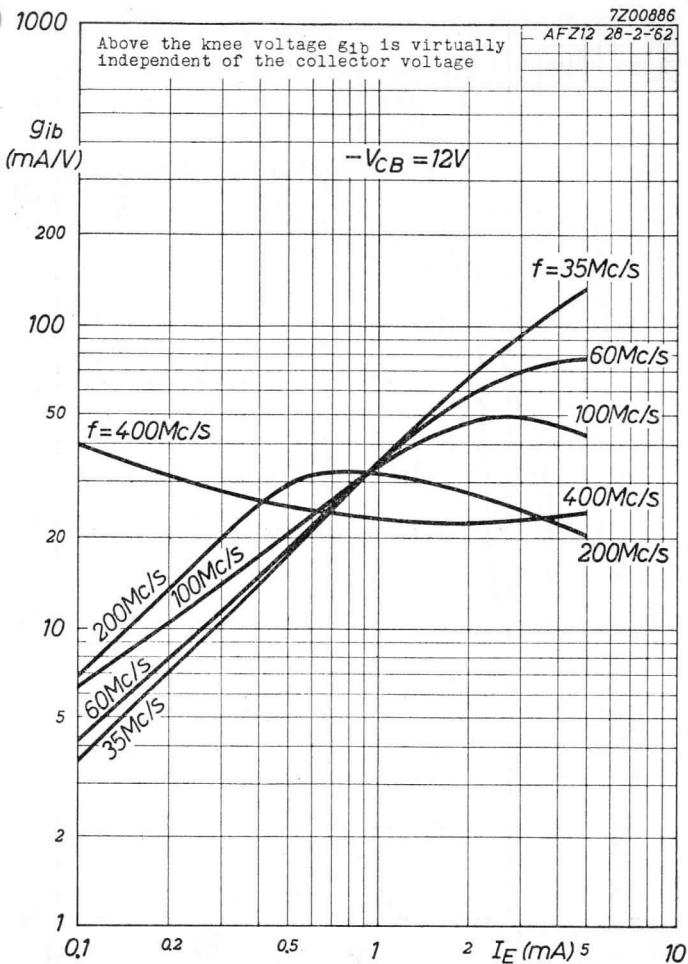


H

7200886

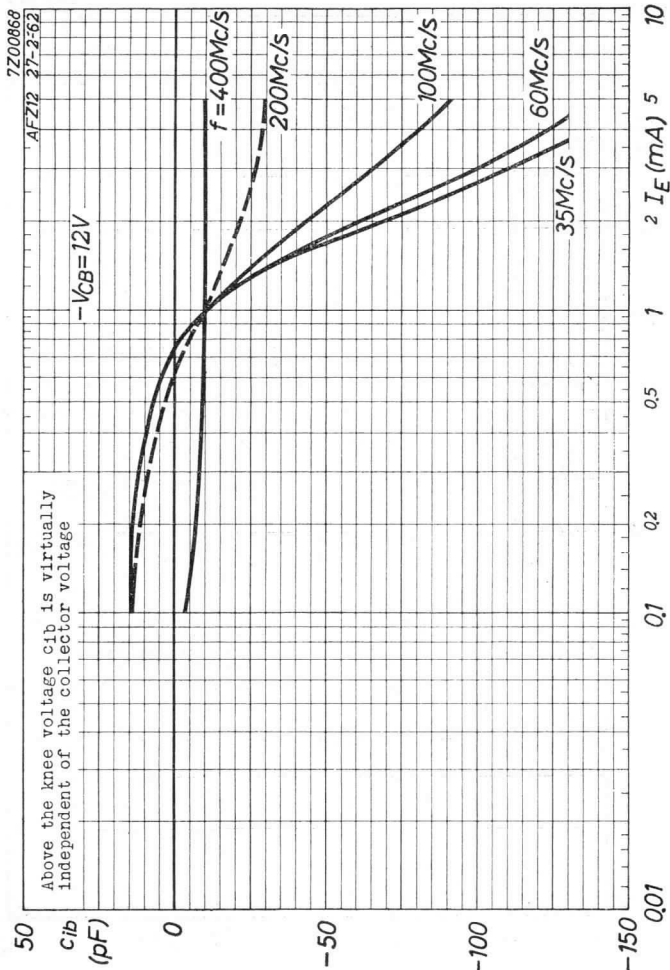
AFZ12 28-2-62

Above the knee voltage g_{ib} is virtually independent of the collector voltage



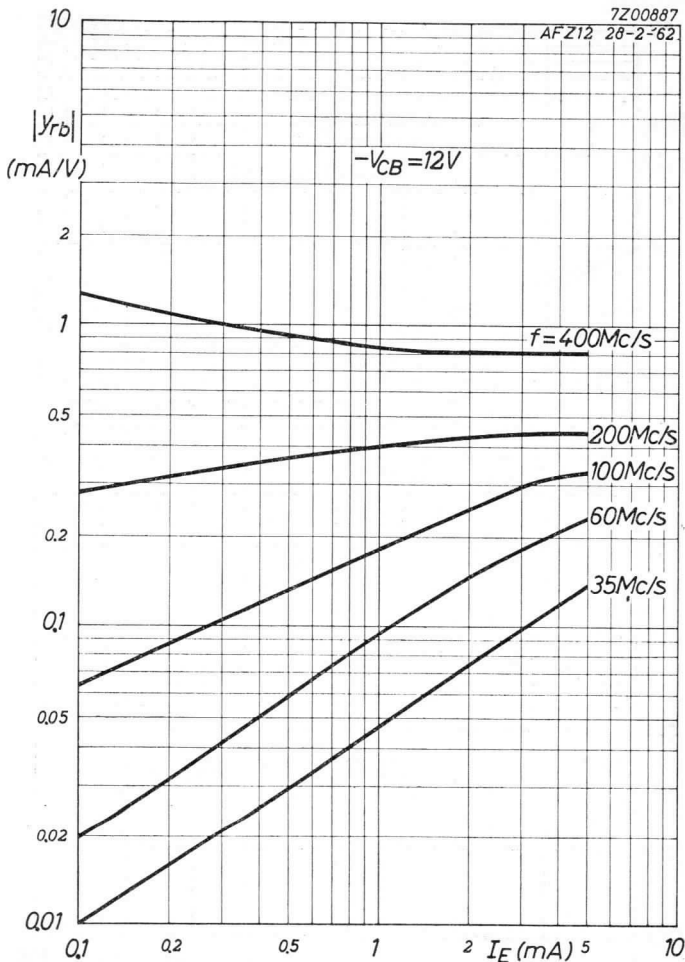
5. 5. 1962

I

AFZ12**PHILIPS**

7Z00887

AFZ12 28-2-62

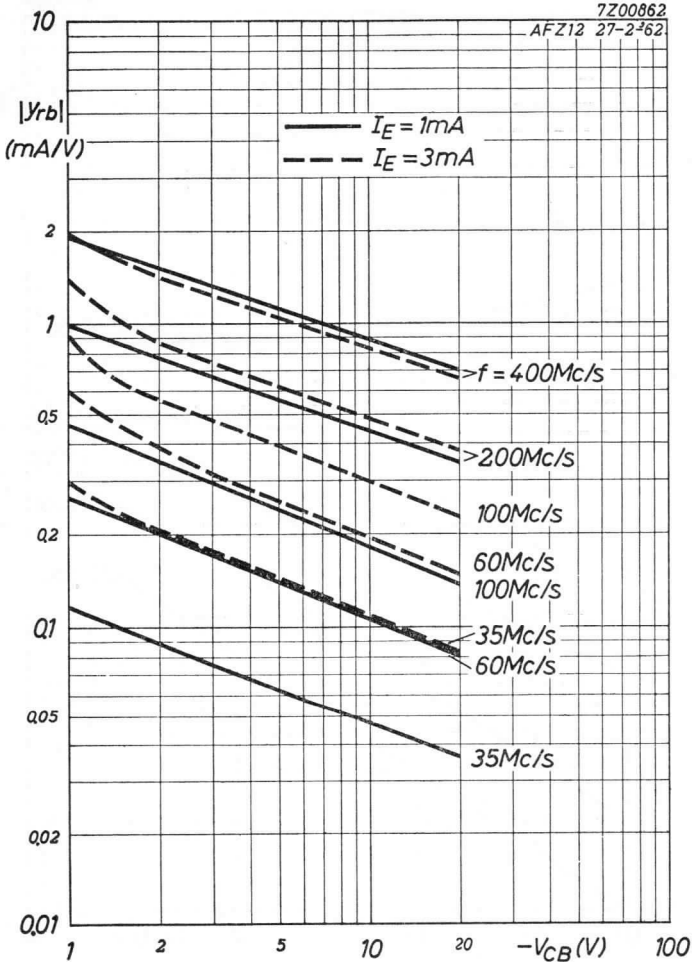


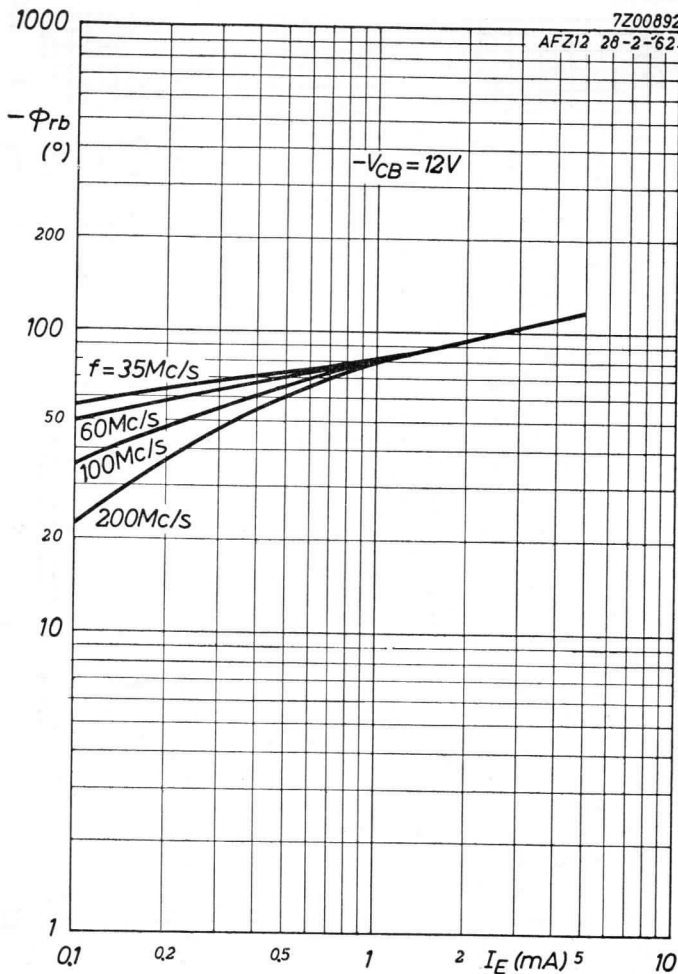
5. 5. 1962

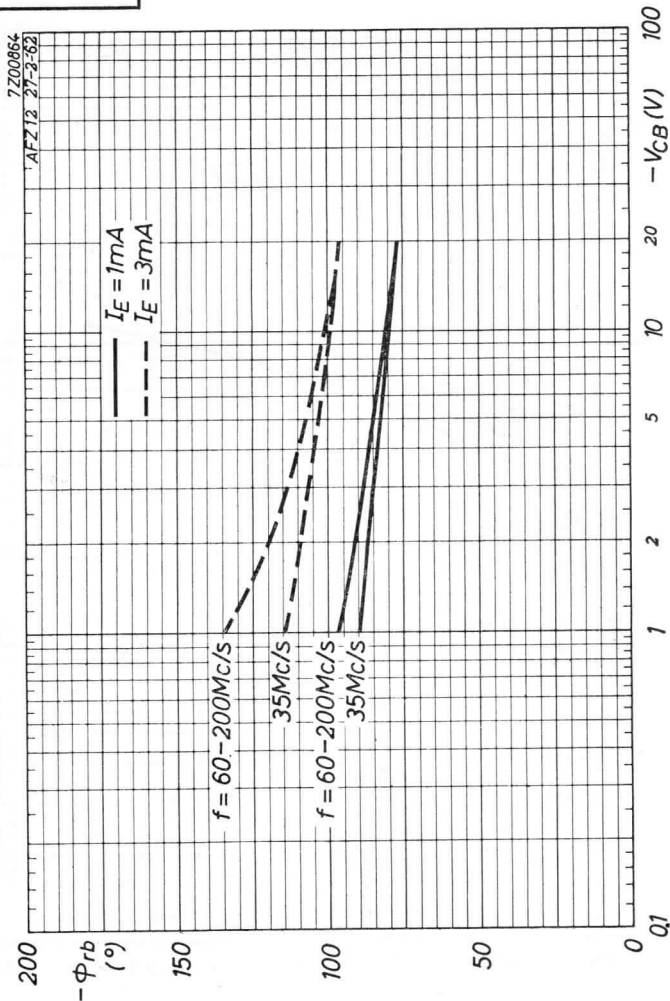
K

AFZ12**PHILIPS**

7Z00862

AFZ12 27-2⁶²

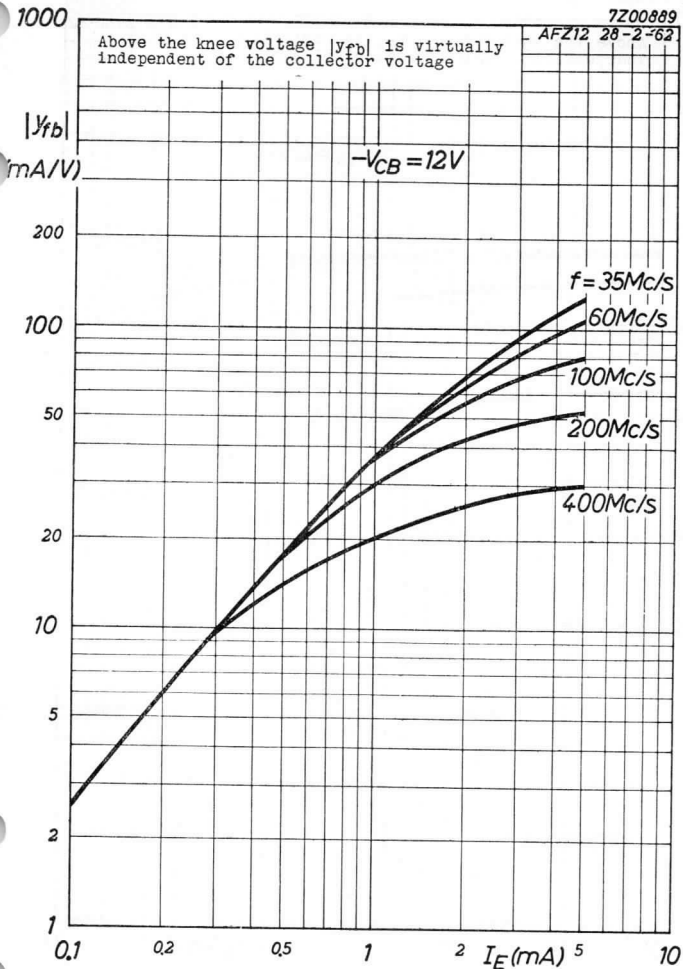


AFZ12**PHILIPS**

7Z00889

AFZ12 28-2-62

Above the knee voltage $|y_{fb}|$ is virtually independent of the collector voltage

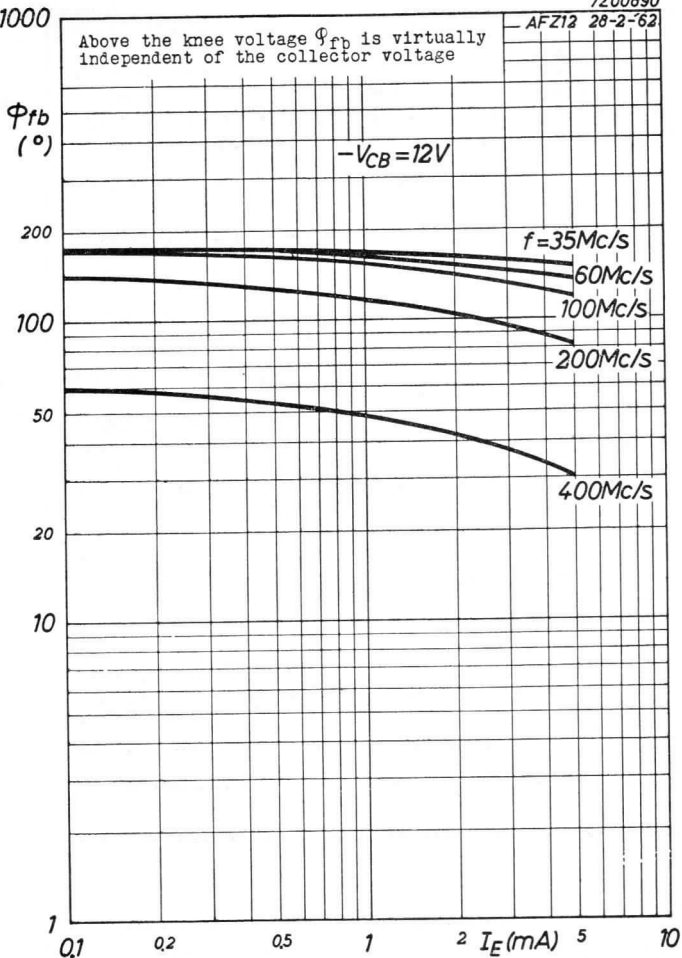


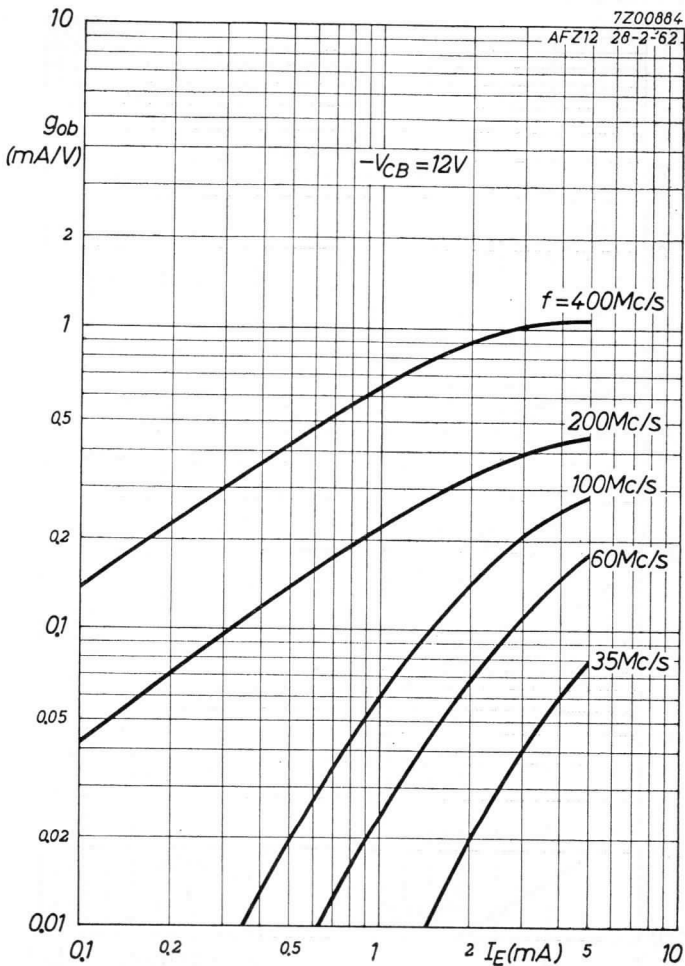
AFZ12**PHILIPS**

7200890

AFZ12 28-2-62

Above the knee voltage ϕ_{fb} is virtually independent of the collector voltage

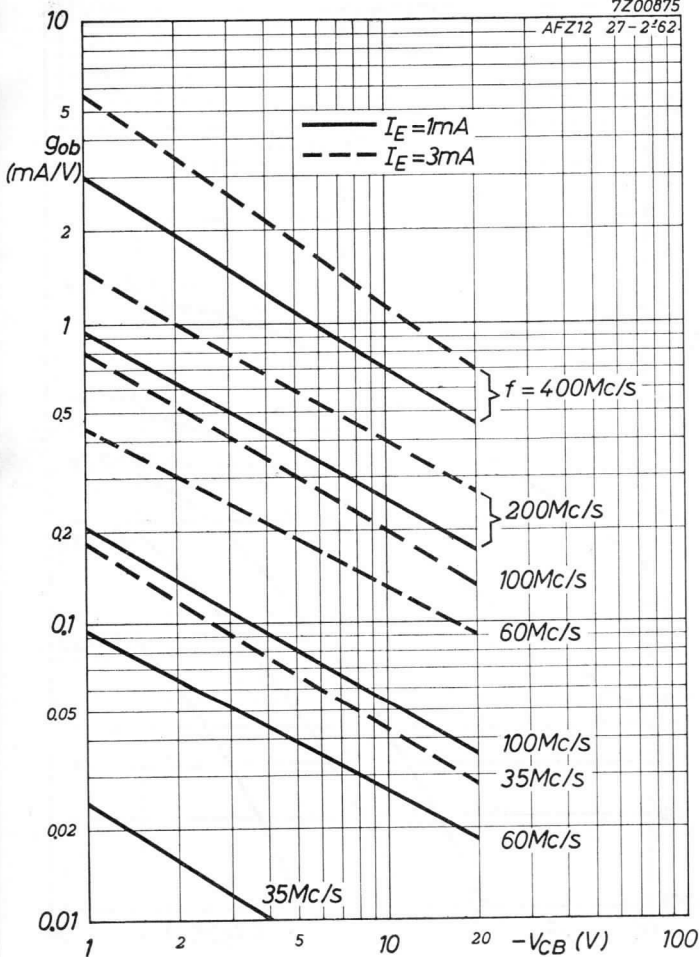




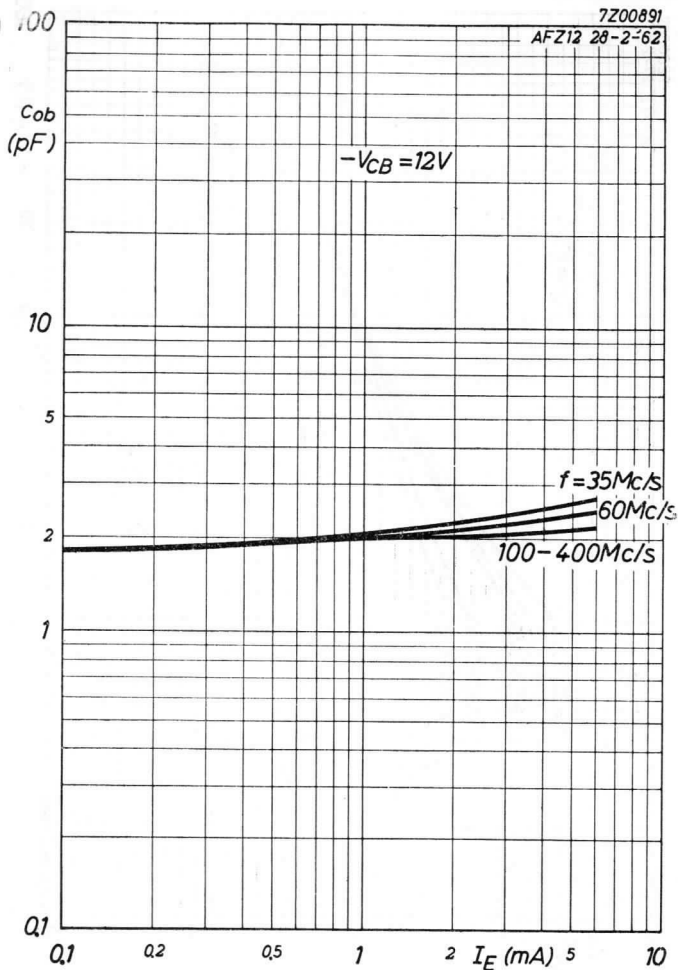
AFZ12**PHILIPS**

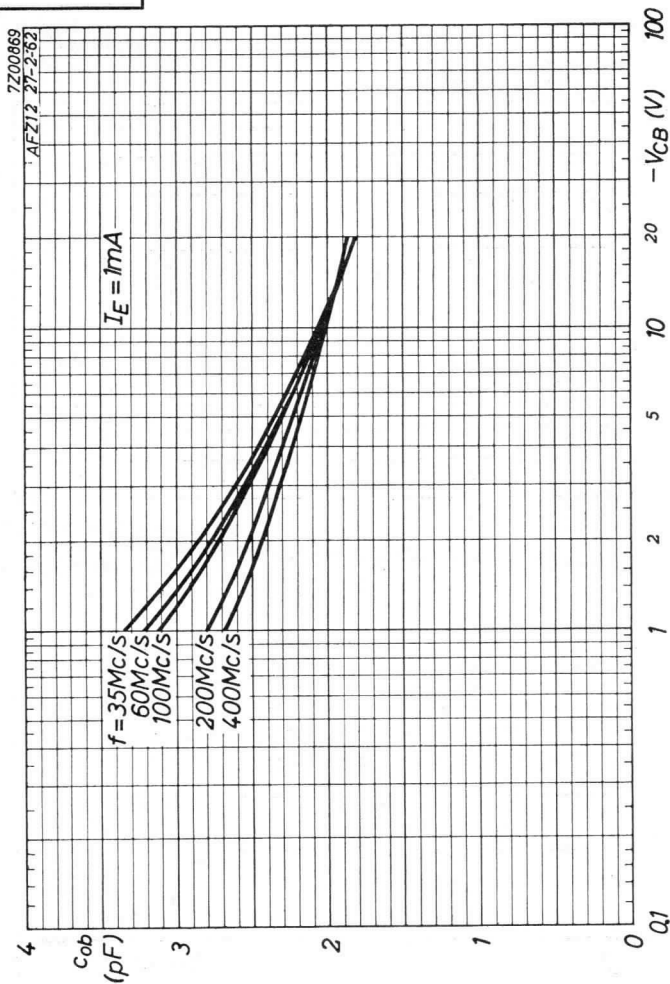
7Z00875

AFZ12 27-2'62



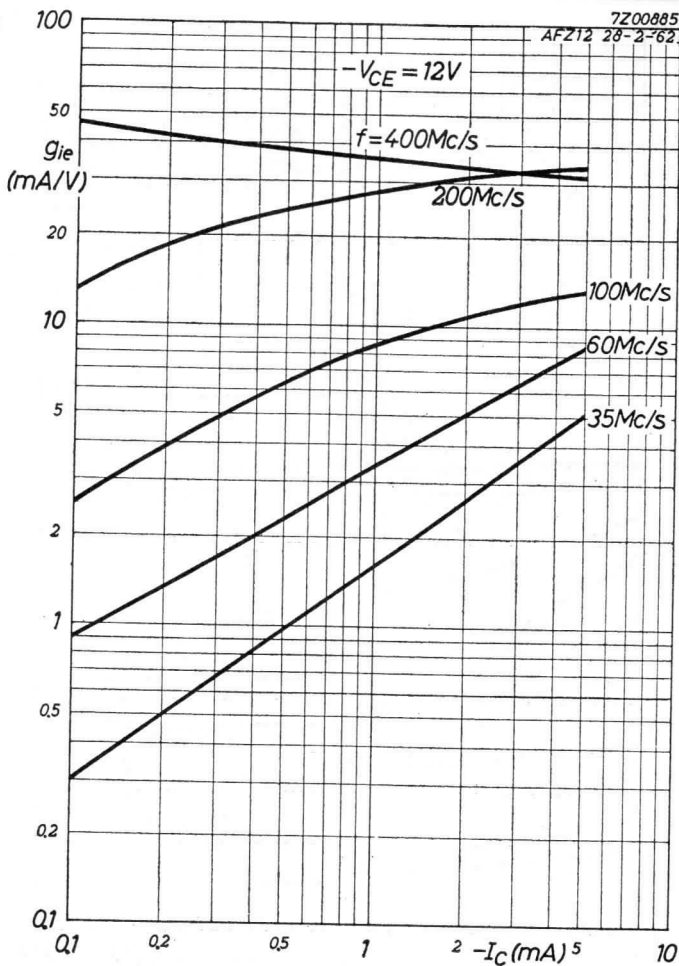
R



AFZ12**PHILIPS**

PHILIPS

AFZ12



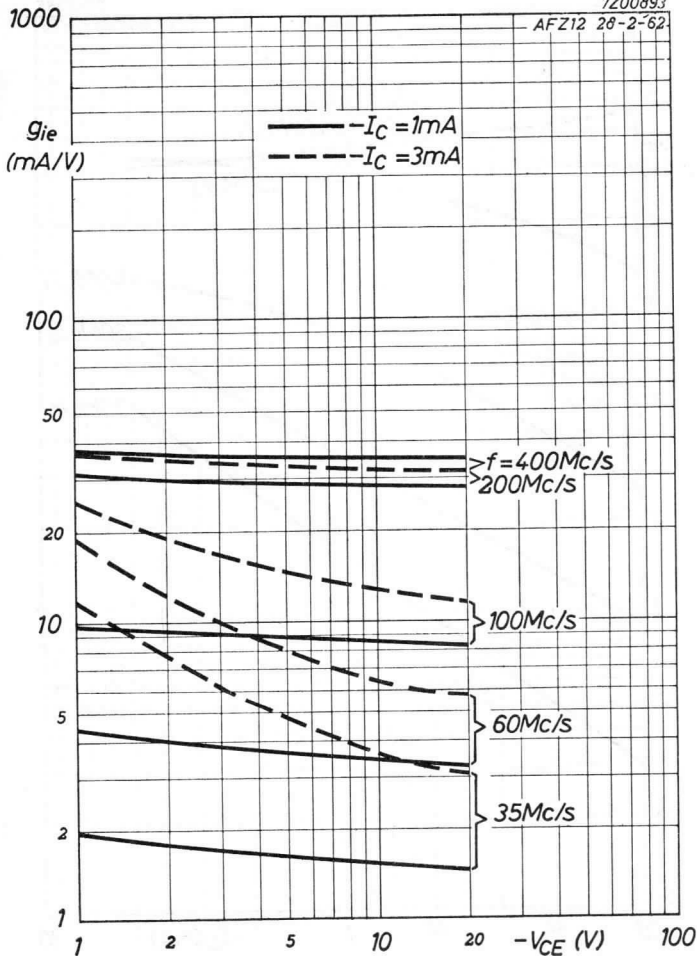
5.5.1962

U

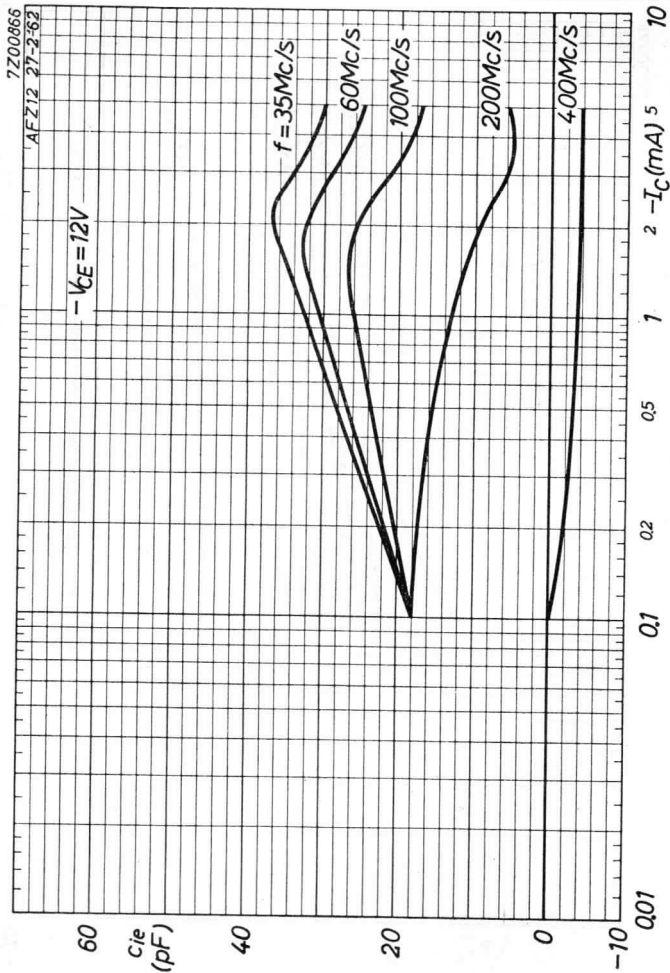
AFZ12**PHILIPS**

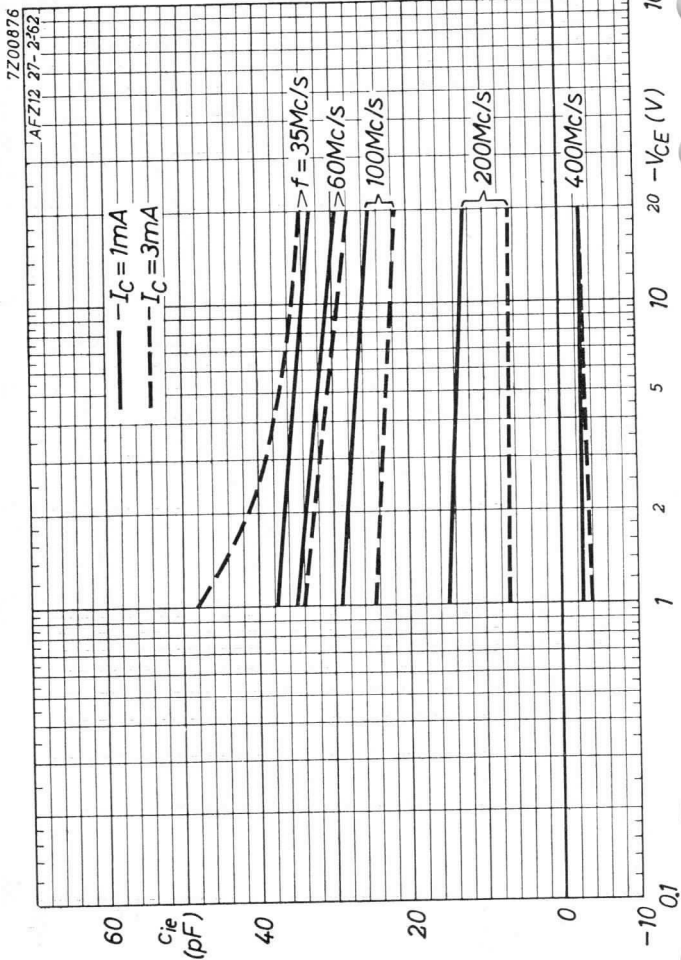
7Z00893

AFZ12 28-2-62



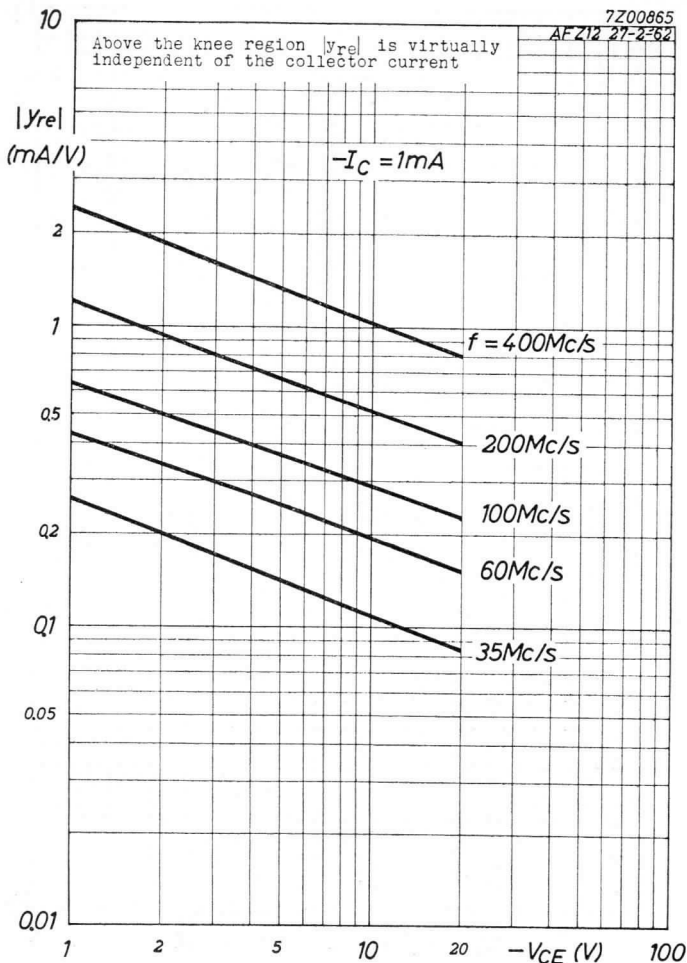
V

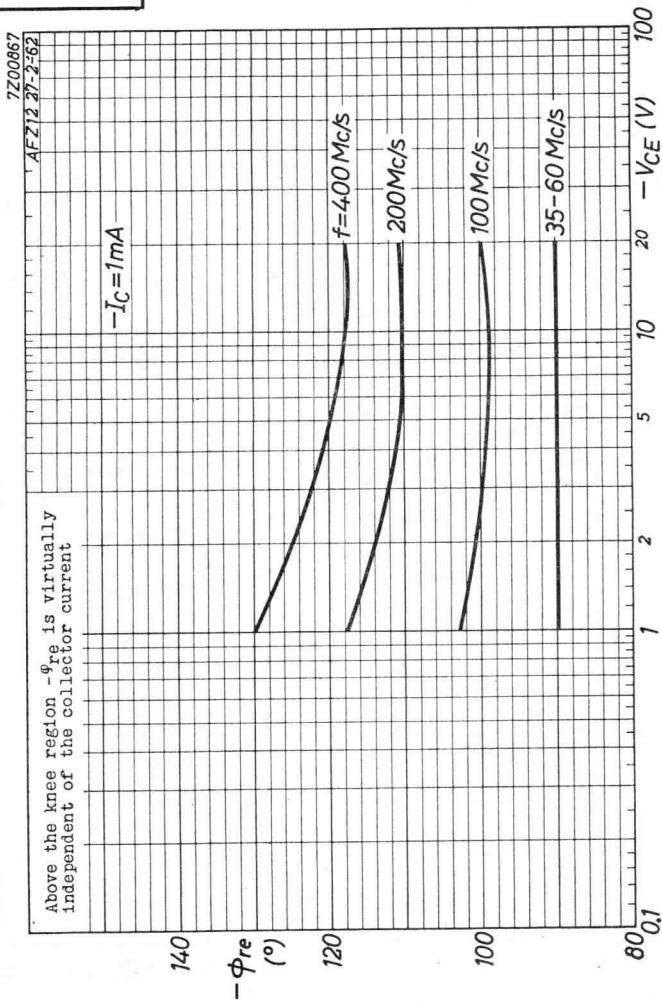


AFZ12**PHILIPS**

7Z00865

AFZ12 27-2-62

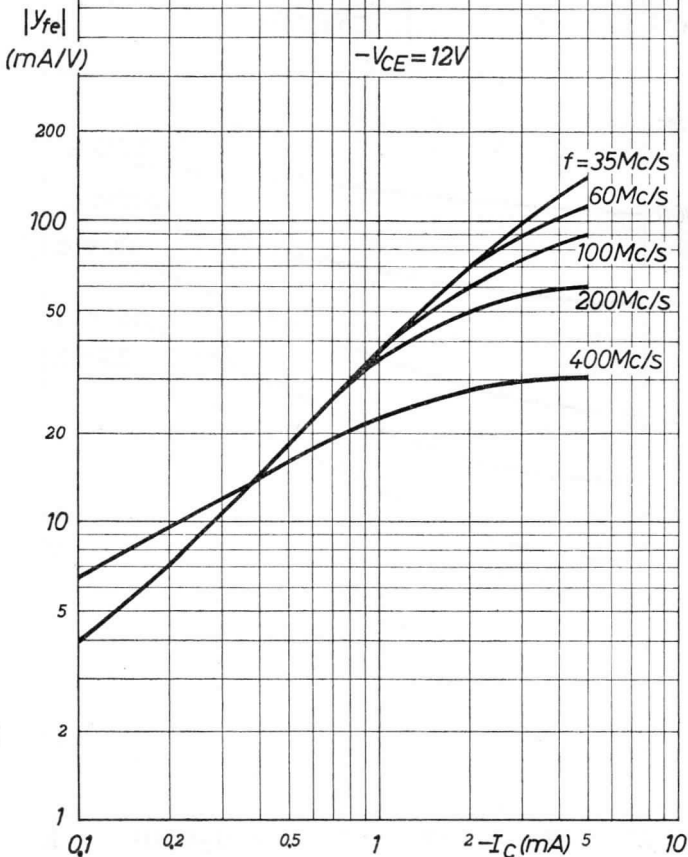


AFZ12**PHILIPS**

7200888

AFZ12 28-2-62

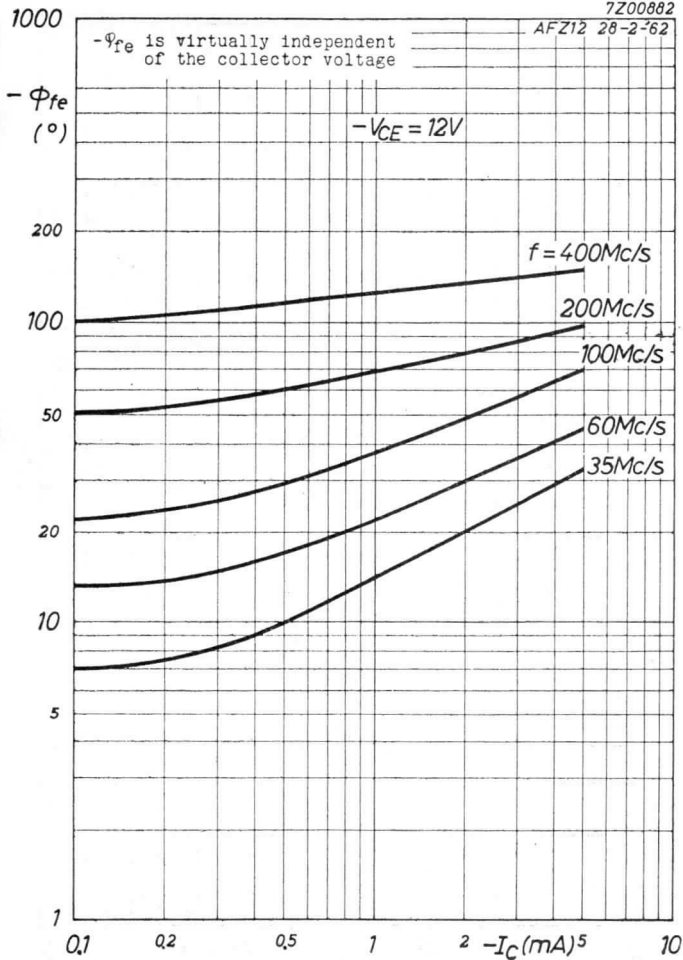
$|y_{fe}|$ is virtually independent
of the collector voltage



AFZ12**PHILIPS**

7Z00882

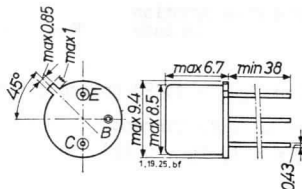
AFZ12 28-2-62

 $-\Phi_{fe}$ is virtually independent
of the collector voltage $-V_{CE} = 12V$ 

AB

GERMANIUM p-n-p ALLOY TRANSISTOR for medium current medium speed computer logic applications and for general purposes

Dimensions in mm



The base is electrically connected to the case

LIMITING VALUES (Absolute max. values)

Collector

| | | |
|--|--|--------------------|
| Voltage (base reference) | $-V_{CB} = \text{max.}$ | 30 V |
| Voltage (emitter reference) (See also page M) | $-V_{CE} = \text{max.}$ | 25 V |
| Current (averaging time = max. 20 msec) | $-I_C = \text{max.}$ ($t_{av} = \text{max.}$) | 200 mA 20 msec) |
| Peak current | $-I_{CM} = \text{max.}$ | 300 mA |

Emitter

| | | |
|--|---|--------------------|
| Voltage (base reference) | $-V_{EB} = \text{max.}$ | 20 V |
| Current (averaging time = max. 20 msec) | $I_E = \text{max.}$ ($t_{av} = \text{max.}$) | 230 mA 20 msec) |
| Peak current | $I_{EM} = \text{max.}$ | 300 mA |

Base

| | | |
|--|--|-------------------|
| Current (averaging time = max. 20 msec) | $-I_B = \text{max.}$ ($t_{av} = \text{max.}$) | 30 mA 20 msec) |
| Peak current | $-I_{BM} = \text{max.}$ | 300 mA |

Dissipation

| | | |
|-------------------|-------------------------|----------------------|
| Total dissipation | $P_{tot} = \text{max.}$ | 150 mW ¹⁾ |
|-------------------|-------------------------|----------------------|

Temperatures

| | | |
|----------------------|---------------------|-------------------|
| Junction temperature | $T_j = \text{max.}$ | 85 °C |
| Storage temperature | $T_s =$ | -65 °C to +100 °C |

¹⁾ The maximum permissible dissipation for a certain application can be calculated from the formula:

$$P_{tot} = \text{max.} \frac{T_{j\text{max.}} - T_{\text{amb}}}{K_j - \text{amb}}$$

THERMAL DATA

Thermal resistance from junction
to ambience in free air $K_{j-amb} = \text{max. } 0.4 \text{ } ^\circ\text{C/mW}$

Thermal resistance from junction
to case $K_{j-c} = \text{max. } 0.2 \text{ } ^\circ\text{C/mW}$

CHARACTERISTICS at $T_{amb} = 25 \text{ } ^\circ\text{C}$ unless otherwise specified

Collector-base leakage current

$-I_{CBO} (-V_{CB} = 5 \text{ V}; I_E = 0 \text{ mA}) < 3 \text{ } \mu\text{A}$

Emitter-base leakage current

$-I_{EBO} (-V_{EB} = 5 \text{ V}; I_C = 0 \text{ mA}) < 3 \text{ } \mu\text{A}$

Base current

$-I_B (I_E = 10 \text{ mA}; V_{CB} = 0 \text{ V}) < 325 \text{ } \mu\text{A}$

$-I_B (I_E = 100 \text{ mA}; V_{CB} = 0 \text{ V}) < 4.75 \text{ mA}$

Collector-base voltage

$-V_{CB} \left\{ \begin{array}{l} -I_C = 100 \text{ } \mu\text{A}; I_E = 0 \text{ mA} \\ T_{amb} = 60 \text{ } ^\circ\text{C} \end{array} \right\} > 30 \text{ V}$

Emitter-base voltage

$-V_{EB} \left\{ \begin{array}{l} -I_E = 100 \text{ } \mu\text{A}; I_C = 0 \text{ mA} \\ T_{amb} = 60 \text{ } ^\circ\text{C} \end{array} \right\} > 20 \text{ V}$

$V_{EB} (I_E = 100 \text{ mA}; V_{CB} = 0 \text{ V}) < 0.65 \text{ V}$

$-V_{BE} (-I_C = 50 \text{ mA}; -I_B = 2.4 \text{ mA}) < 0.55 \text{ V}$

Punch through voltage

$V_{PT} > 25 \text{ V}$

CHARACTERISTICS RANGE VALUES FOR EQUIPMENT DESIGN

$T_{amb} = 25\text{ }^{\circ}\text{C}$ unless otherwise specified

Collector current

$$\begin{matrix} \rightarrow & -I_C & \left\{ \begin{array}{l} -V_{CE} = 25\text{ V}; V_{BE} = 0.2\text{ V} \\ T_{amb} = 60\text{ }^{\circ}\text{C} \end{array} \right\} & < & 35\text{ }\mu\text{A} \end{matrix}$$

Base current

$$I_B \left\{ \begin{array}{l} -V_{CE} = 20\text{ V}; V_{BE} = 5\text{ V} \\ T_{amb} = 60\text{ }^{\circ}\text{C} \end{array} \right\} < 35\text{ }\mu\text{A}$$

Collector voltage

$$-V_{CE} (-I_C = 5\text{ mA}; I_B = 0\text{ mA}) > 15\text{ V}$$

Direct current amplification factor

$$h_{FE} (I_E = 20\text{ mA}; V_{CB} = 0\text{ V}) > 30$$

$$< 80$$

$$h_{FE} (I_E = 200\text{ mA}; V_{CB} = 0\text{ V}) > 15$$

Base emitter voltage

$$-V_{BE} (I_E = 200\text{ mA}; V_{CB} = 0\text{ V}) < 1.3\text{ V}$$

Collector voltage during bottoming

$$-V_{CE} (-I_C = 10\text{ mA}; -I_B = 0.33\text{ mA}) < 0.20\text{ V}$$

$$-V_{CE} (-I_C = 50\text{ mA}; -I_B = 2\text{ mA}) < 0.25\text{ V}$$

Base voltage

$$-V_{BE} (-I_C = 10\text{ mA}; -I_B = 0.4\text{ mA}) > 0.20\text{ V}$$

$$< 0.37\text{ V}$$

Frequency at which $|h_{fe}| = 1$

$$f_1 (-V_{CE} = 5\text{ V}; -I_C = 3\text{ mA}) > 4\text{ Mc/s}$$

Collector capacitance

$$c_c (-V_{CB} = 5\text{ V}; I_E = 0\text{ mA}) < 16\text{ pF}$$

Emitter capacitance

$$c_e (-V_{EB} = 5\text{ V}; I_C = 0\text{ mA}) < 13\text{ pF}$$

CHARACTERISTICS RANGE VALUES FOR EQUIPMENT DESIGN (continued)

$T_{amb} = 25\text{ }^{\circ}\text{C}$

Transient behaviour

Time constant with current feed

$$\tau_C (-V_{CE} = 0.75\text{ V}; -I_{CM} = 50\text{ mA}) < 2.2\text{ }\mu\text{sec}$$

Time constant with voltage feed

$$\tau_V (-V_{CE} = 0.75\text{ V}; -I_{CM} = 1\text{ mA}) < 0.2\text{ }\mu\text{sec}$$

Desaturation time constant

$$\tau_S (-I_C = 0\text{ mA}; -I_B = 1\text{ mA}) < 1.4\text{ }\mu\text{sec}$$

On demand current gain

$$\beta_T \left\{ \begin{array}{l} \Delta I_C = 50\text{ mA}; t = 0.1\text{ }\mu\text{sec} \\ -V_{CE} \leq 0.3\text{ V} \end{array} \right\} = 15$$

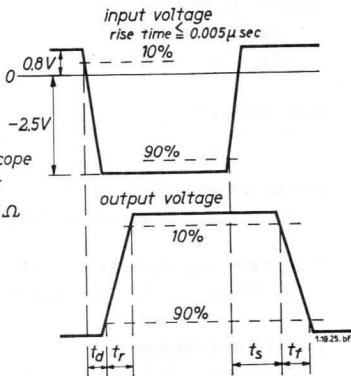
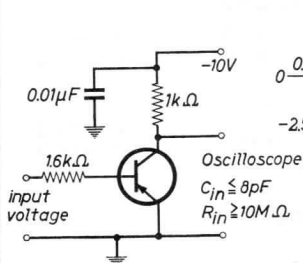
SWITCHING CHARACTERISTICS at $T_{amb} = 25\text{ }^{\circ}\text{C}$

Delay time $t_d < 0.09\text{ }\mu\text{sec}$

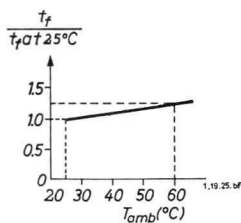
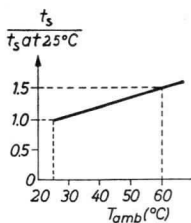
Rise time $t_r < 0.49\text{ }\mu\text{sec}$

Storage time $t_s < 1.35\text{ }\mu\text{sec}$

Fall time $t_f < 0.73\text{ }\mu\text{sec}$



See also page 5



APR 19 1954

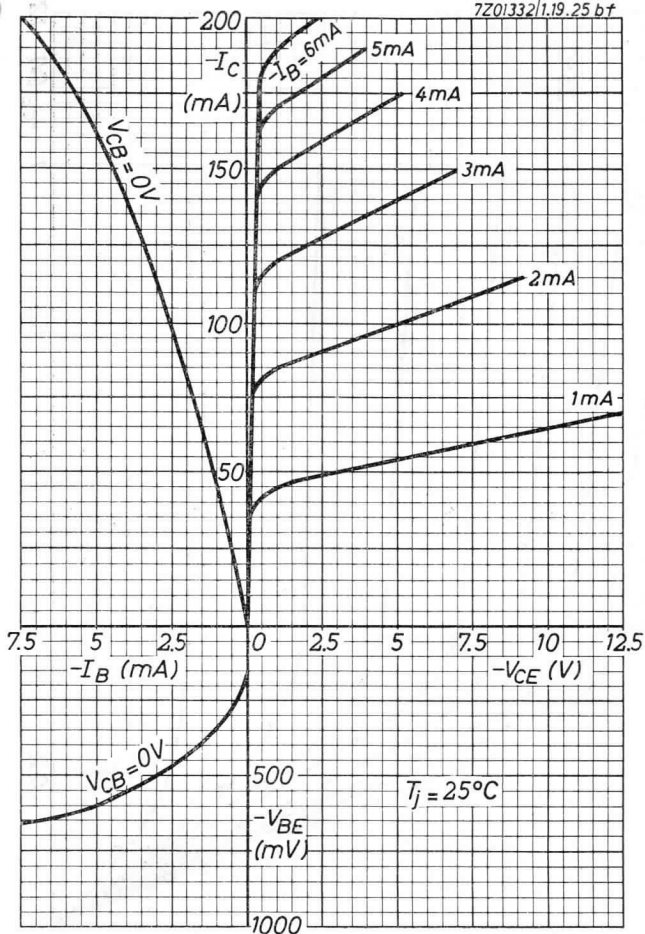
PHILIP



PHILIPS

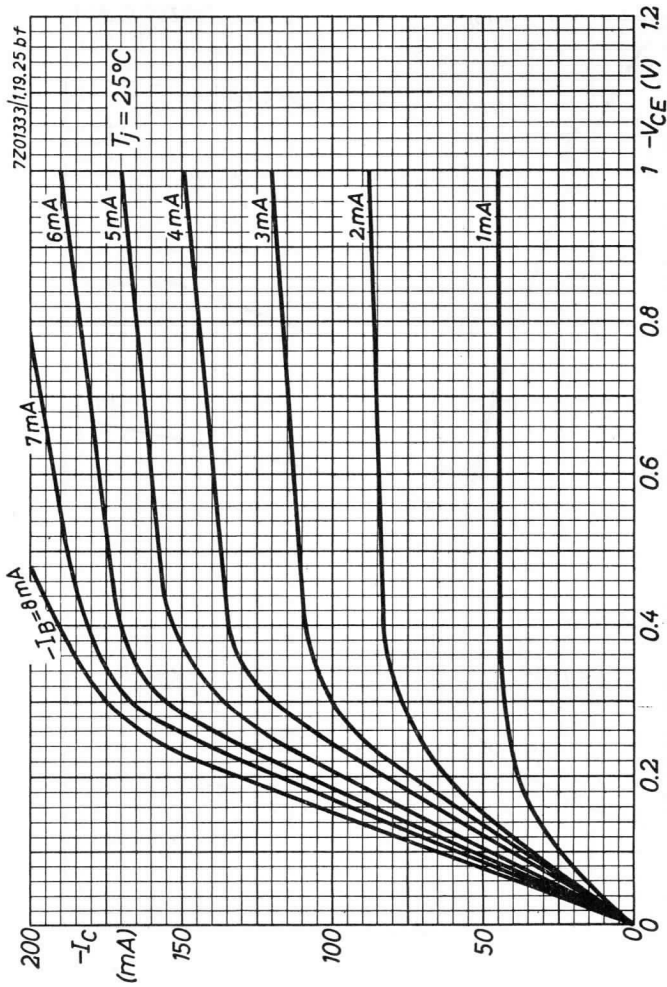
ASY26

7201332/1.19.25 bt



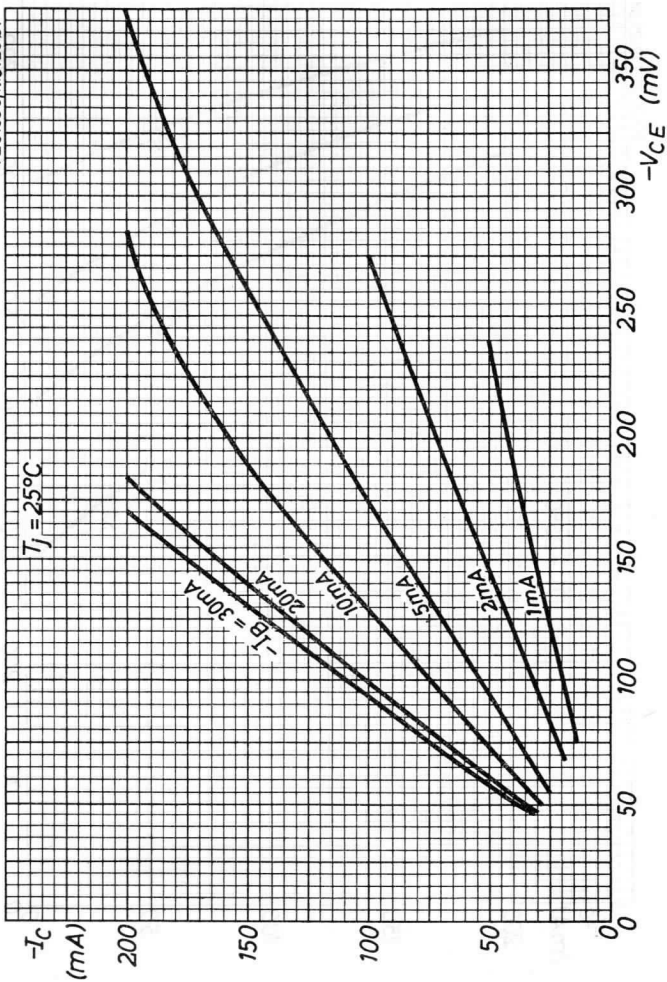
ASY26

PHILIPS



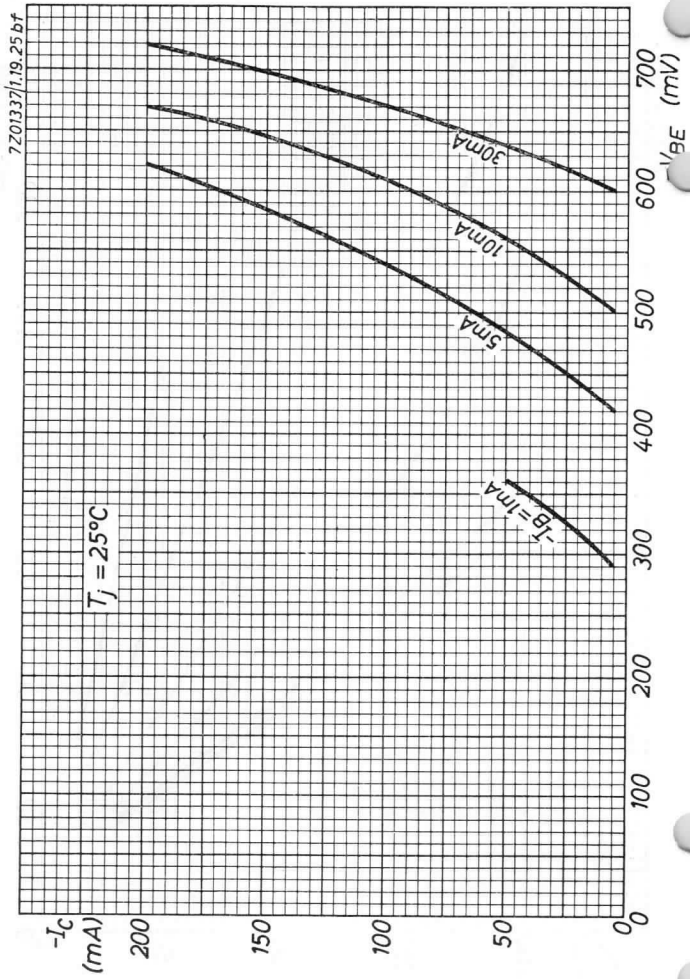
B

7201338/1.19.25 bf

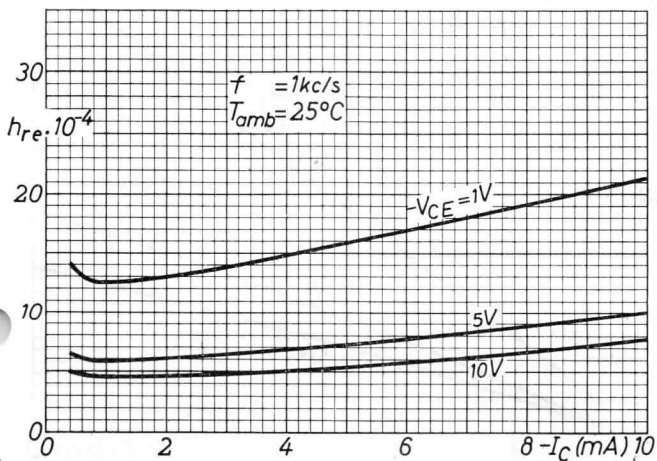
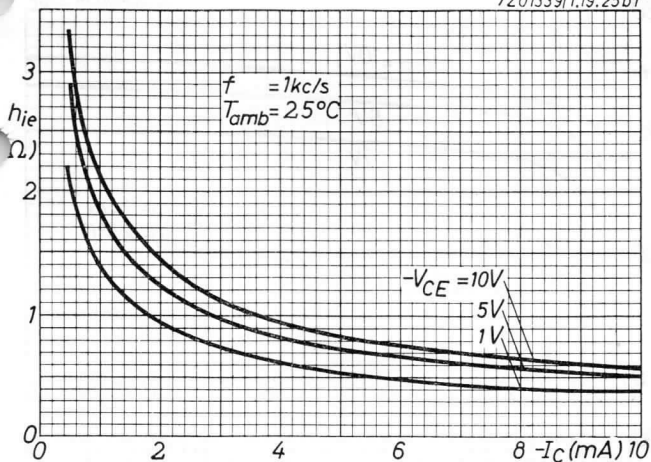


ASY26

PHILIPS

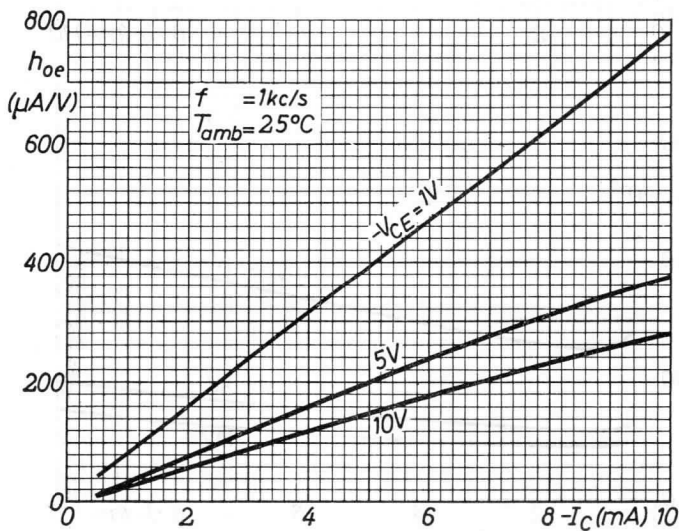
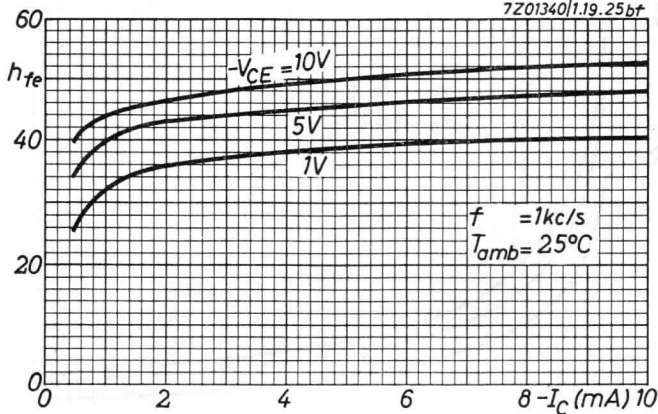


7Z01339/1.19.25bf



ASY26**PHILIPS**

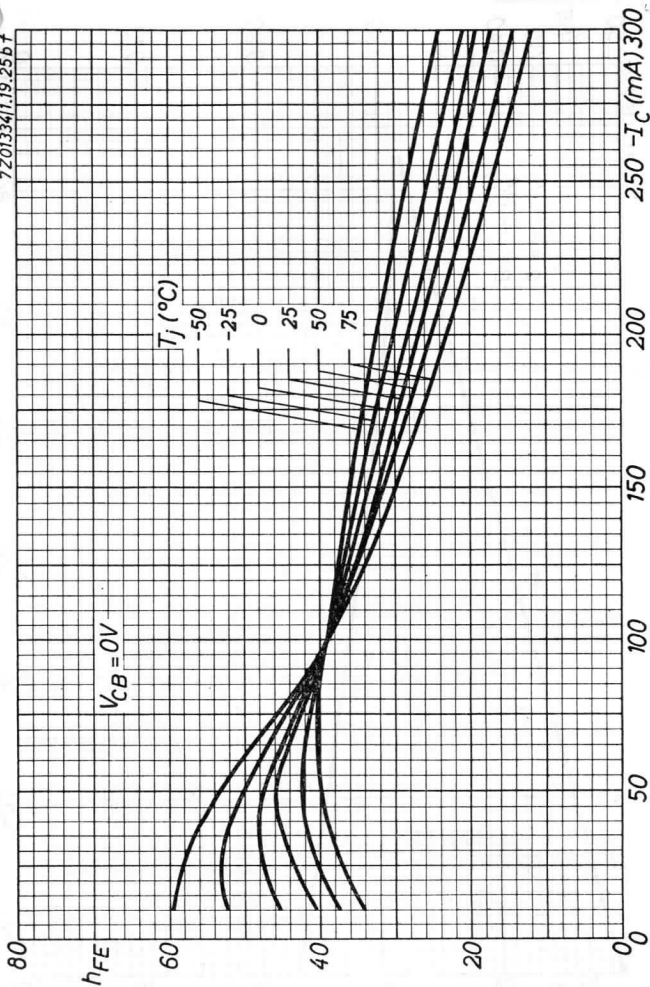
7Z01340/1.19.25bt



PHILIPS

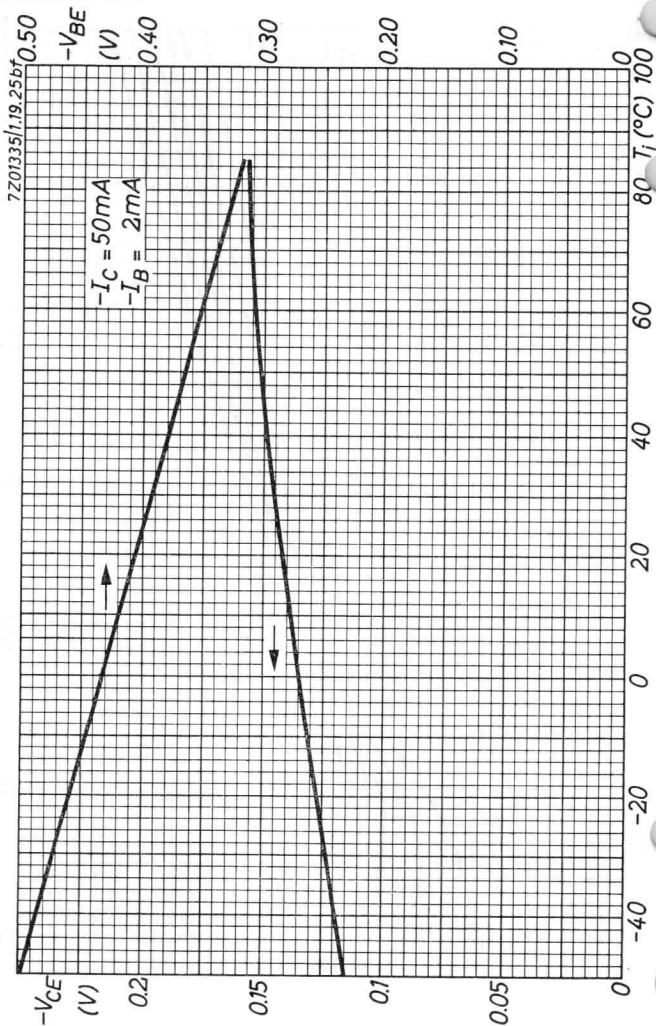
ASY26

7201334/1.19.25bT

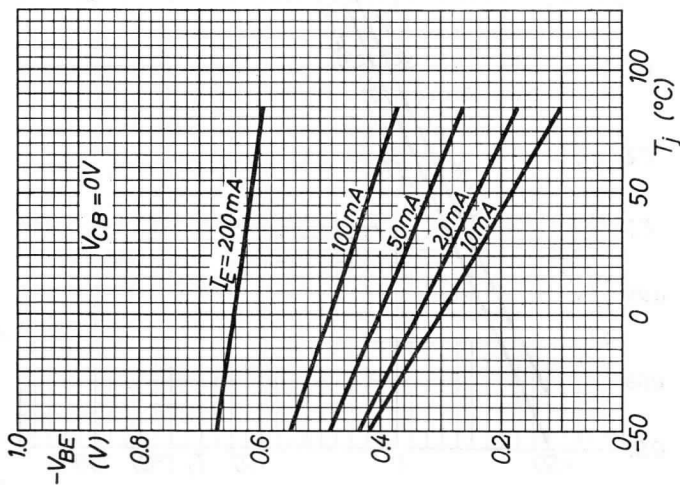
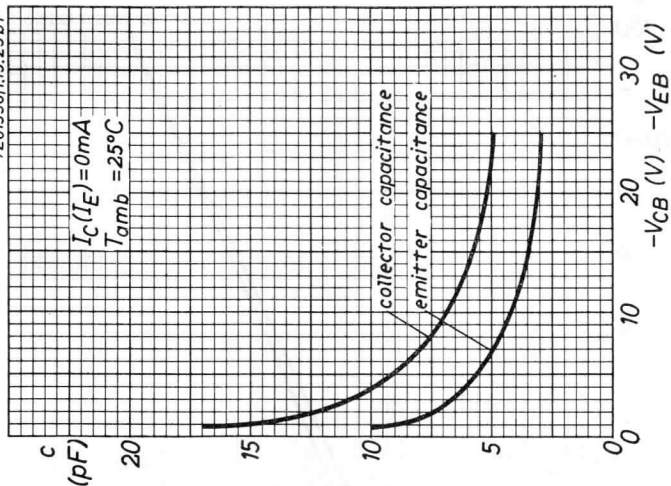


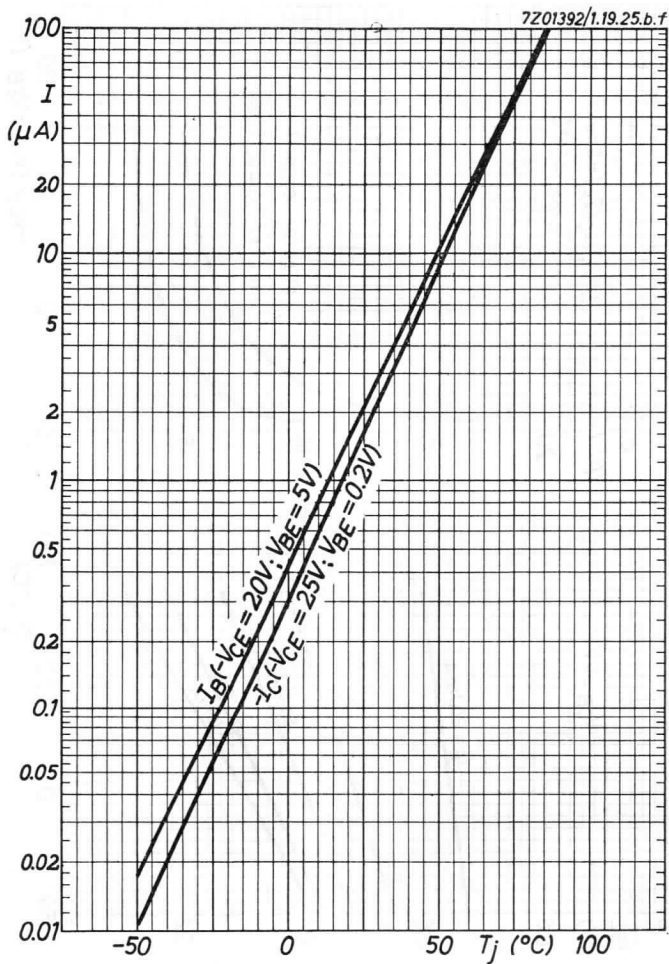
4.4.1963

G

ASY26**PHILIPS**

7201336/1.19.25 dt

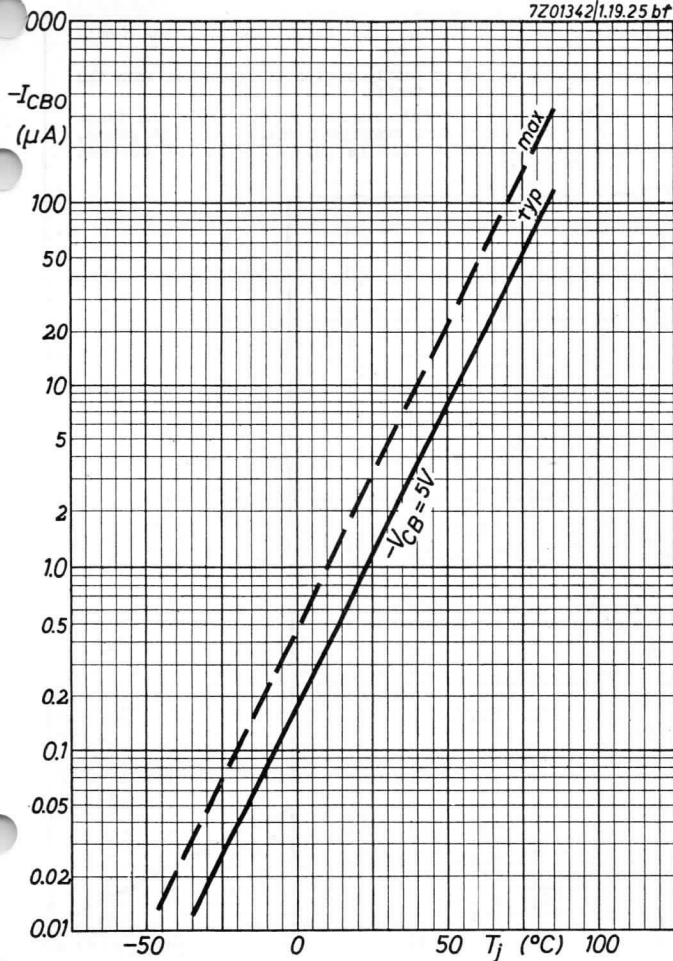


ASY26**PHILIPS**

PHILIPS

ASY26

7Z01342|1.19.25 bf



4.4.1963

K

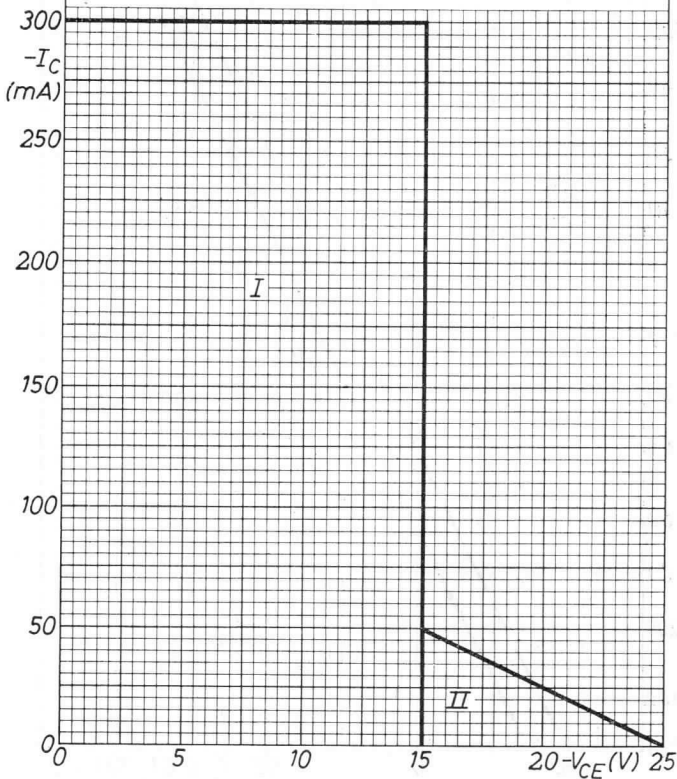
ASY26**PHILIPS**

7Z01331/1.19.25bf

I: Permissible region of operation under all base conditions

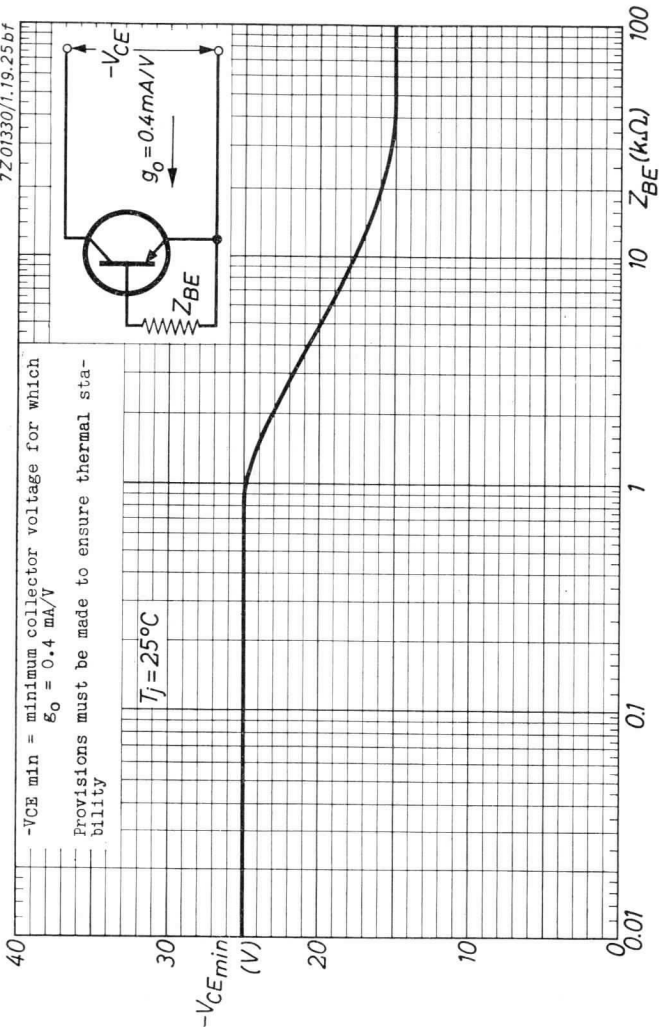
II: Additional permissible region of operation when the transistor is cut-off

Outside the permissible regions of operation the transistor can withstand transient energies of $15 \mu\text{Wsec}$, provided the transistor is cut-off with V_{BE} between 0.2 V and 2 V



L

7Z01330/1.19.25bf



4.4.1963

M

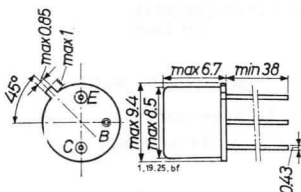
BRITISH

42A



GERMANIUM p-n-p ALLOY TRANSISTOR for medium current medium speed computer logic applications and for general purposes

Dimensions in mm



The base is electrically connected to the case

→ LIMITING VALUES (Absolute max. values)

Collector

| | | |
|--|--|--------------------|
| Voltage (base reference) | $-V_{CB} = \text{max.}$ | 25 V |
| Voltage (emitter reference) (See also page M) | $-V_{CE} = \text{max.}$ | 20 V |
| Current (averaging time = max. 20 msec) | $-I_C = \text{max.}$ $(t_{av} = \text{max.})$ | 200 mA 20 msec) |
| Peak current | $-I_{CM} = \text{max.}$ | 300 mA |

Emitter

| | | |
|--|---|--------------------|
| Voltage (base reference) | $-V_{EB} = \text{max.}$ | 20 V |
| Current (averaging time = max. 20 msec) | $I_E = \text{max.}$ $(t_{av} = \text{max.})$ | 230 mA 20 msec) |
| Peak current | $I_{EM} = \text{max.}$ | 300 mA |

Base

| | | |
|--|--|-------------------|
| Current (averaging time = max. 20 msec) | $-I_B = \text{max.}$ $(t_{av} = \text{max.})$ | 30 mA 20 msec) |
| Peak current | $-I_{BM} = \text{max.}$ | 300 mA |

Dissipation

| | | |
|-------------------|-------------------------|----------------------|
| Total dissipation | $P_{tot} = \text{max.}$ | 150 mW ¹⁾ |
|-------------------|-------------------------|----------------------|

Temperatures

| | | |
|----------------------|---------------------|-------------------|
| Junction temperature | $T_j = \text{max.}$ | 85 °C |
| Storage temperature | $T_s =$ | -65 °C to +100 °C |

¹⁾ The maximum permissible dissipation for a certain application can be calculated from the formula:

$$P_{tot} = \text{max.} \frac{T_{j\text{max}} - T_{\text{amb}}}{K_{j\text{-amb}}}$$

THERMAL DATA

| | |
|---|---|
| Thermal resistance from junction to ambience in free air | $K_{j-amb} = \text{max. } 0.4 \text{ } ^\circ\text{C/mW}$ |
| Thermal resistance from junction to case | $K_{j-c} = \text{max. } 0.2 \text{ } ^\circ\text{C/mW}$ |

CHARACTERISTICS at $T_{amb} = 25 \text{ } ^\circ\text{C}$ unless otherwise specified

| | |
|---|------------------------------|
| Collector-base leakage current | |
| $-I_{CBO} (-V_{CB} = 5 \text{ V}; I_E = 0 \text{ mA})$ | $< 3 \text{ } \mu\text{A}$ |
| Emitter-base leakage current | |
| $-I_{EBO} (-V_{EB} = 5 \text{ V}; I_C = 0 \text{ mA})$ | $< 3 \text{ } \mu\text{A}$ |
| Base current | |
| $-I_B (I_E = 10 \text{ mA}; V_{CB} = 0 \text{ V})$ | $< 195 \text{ } \mu\text{A}$ |
| $-I_B (I_E = 100 \text{ mA}; V_{CB} = 0 \text{ V})$ | $< 3.25 \text{ mA}$ |
| Collector-base voltage | |
| $-V_{CB} \left\{ \begin{array}{l} -I_C = 100 \text{ } \mu\text{A}; I_E = 0 \text{ mA} \\ T_{amb} = 60 \text{ } ^\circ\text{C} \end{array} \right\}$ | $> 25 \text{ V}$ |
| Emitter-base voltage | |
| $-V_{EB} \left\{ \begin{array}{l} -I_E = 100 \text{ } \mu\text{A}; I_C = 0 \text{ mA} \\ T_{amb} = 60 \text{ } ^\circ\text{C} \end{array} \right\}$ | $> 20 \text{ V}$ |
| $V_{EB} (I_E = 100 \text{ mA}; V_{CB} = 0 \text{ V})$ | $< 0.55 \text{ V}$ |
| $-V_{BE} (-I_C = 50 \text{ mA}; -I_B = 1.55 \text{ mA})$ | $< 0.45 \text{ V}$ |
| Punch through voltage | |
| V_{PT} | $> 20 \text{ V}$ |

CHARACTERISTICS RANGE VALUES FOR EQUIPMENT DESIGN

$T_{amb} = 25\text{ }^{\circ}\text{C}$ unless otherwise specified

Collector current

$$-I_C \left\{ \begin{array}{l} -V_{CE} = 20\text{ V}; V_{BE} = 0.2\text{ V} \\ T_{amb} = 60\text{ }^{\circ}\text{C} \end{array} \right\} < 35\text{ }\mu\text{A}$$

Base current

$$I_B \left\{ \begin{array}{l} -V_{CE} = 20\text{ V}; V_{BE} = 5\text{ V} \\ T_{amb} = 60\text{ }^{\circ}\text{C} \end{array} \right\} < 35\text{ }\mu\text{A}$$

Collector voltage

$$-V_{CE} (-I_C = 5\text{ mA}; I_B = 0\text{ mA}) > 15\text{ V}$$

Direct current amplification factor

$$h_{FE} (I_E = 20\text{ mA}; V_{CB} = 0\text{ V}) > 50$$

$$< 150$$

$$h_{FE} (I_E = 200\text{ mA}; V_{CB} = 0\text{ V}) > 20$$

Base-emitter voltage

$$-V_{BE} (I_E = 200\text{ mA}; V_{CB} = 0\text{ V}) < 1.4\text{ V}$$

Collector voltage during bottoming

$$-V_{CE} (-I_C = 10\text{ mA}; -I_B = 0.2\text{ mA}) < 0.20\text{ V}$$

$$-V_{CE} (-I_C = 50\text{ mA}; -I_B = 1.25\text{ mA}) < 0.25\text{ V}$$

Base voltage

$$-V_{BE} (-I_C = 10\text{ mA}; -I_B = 0.25\text{ mA}) > 0.15\text{ V}$$

$$< 0.32\text{ V}$$

Frequency at which $|h_{fe}| = 1$

$$f_1 (-V_{CE} = 5\text{ V}; -I_C = 3\text{ mA}) > 6\text{ Mc/s}$$

Collector capacitance

$$c_c (-V_{CB} = 5\text{ V}; I_E = 0\text{ mA}) < 16\text{ pF}$$

Emitter capacitance

$$c_e (-V_{EB} = 5\text{ V}; I_C = 0\text{ mA}) < 13\text{ pF}$$

CHARACTERISTICS RANGE VALUES FOR EQUIPMENT DESIGN (continued)

$T_{amb} = 25\text{ }^{\circ}\text{C}$

Transient behaviour

Time constant with current feed
 τ_C ($-V_{CE} = 0.75\text{ V}$; $-I_{CM} = 50\text{ mA}$) < 2.2 μsec

Time constant with voltage feed
 τ_V ($-V_{CE} = 0.75\text{ V}$; $-I_{CM} = 1\text{ mA}$) < 0.2 μsec

Desaturation time constant
 τ_S ($-I_C = 0\text{ mA}$; $-I_B = 1\text{ mA}$) < 1.4 μsec

On demand current gain

β_T $\left\{ \begin{array}{l} \Delta I_C = 50\text{ mA}; t = 0.1\text{ } \mu\text{sec} \\ -V_{CE} \leq 0.3\text{ V} \end{array} \right\}$ = 25

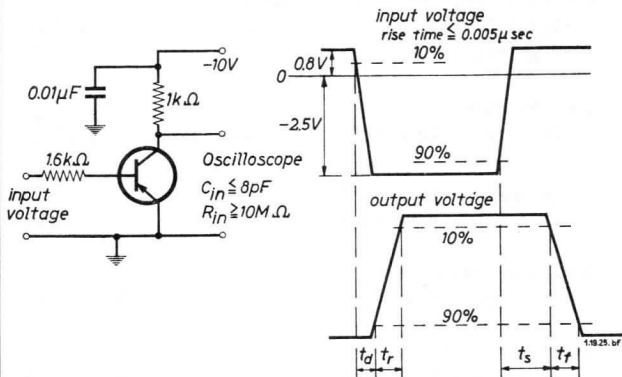
SWITCHING CHARACTERISTICS at $T_{amb} = 25\text{ }^{\circ}\text{C}$

Delay time t_d < 0.075 μsec

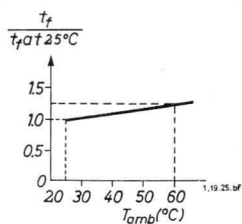
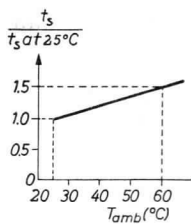
Rise time t_r < 0.35 μsec

Storage time t_s < 1.55 μsec

Fall time t_f < 0.62 μsec



See also page 5

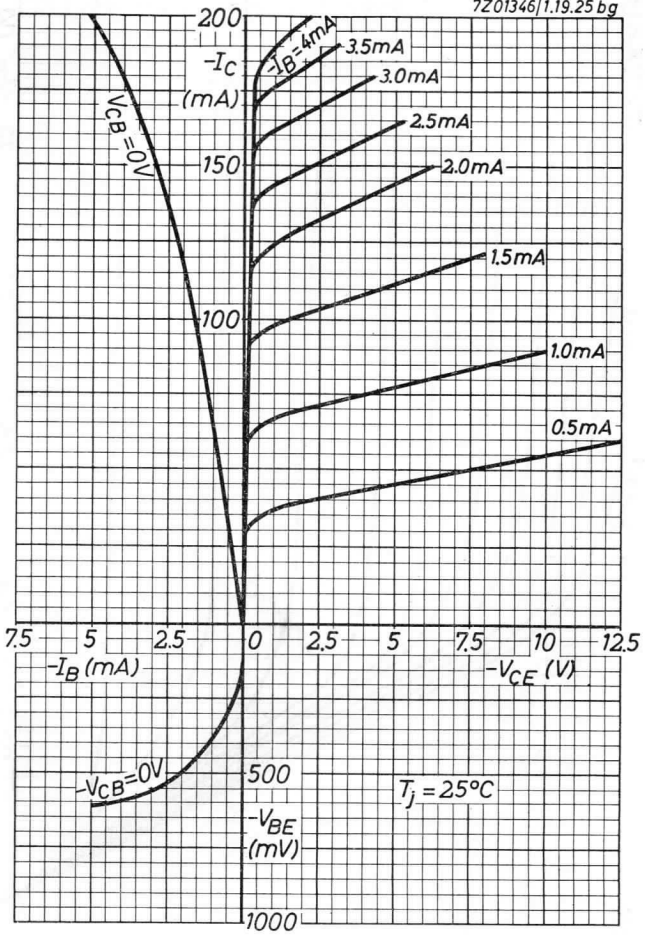


1952

PHILIP

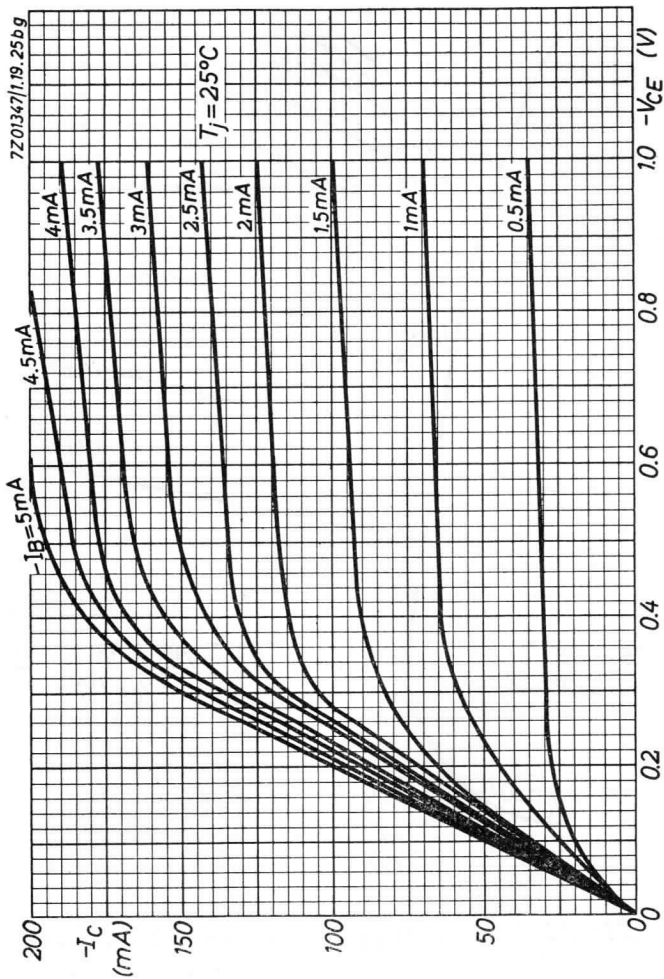


7Z01346/1.19.25 bg



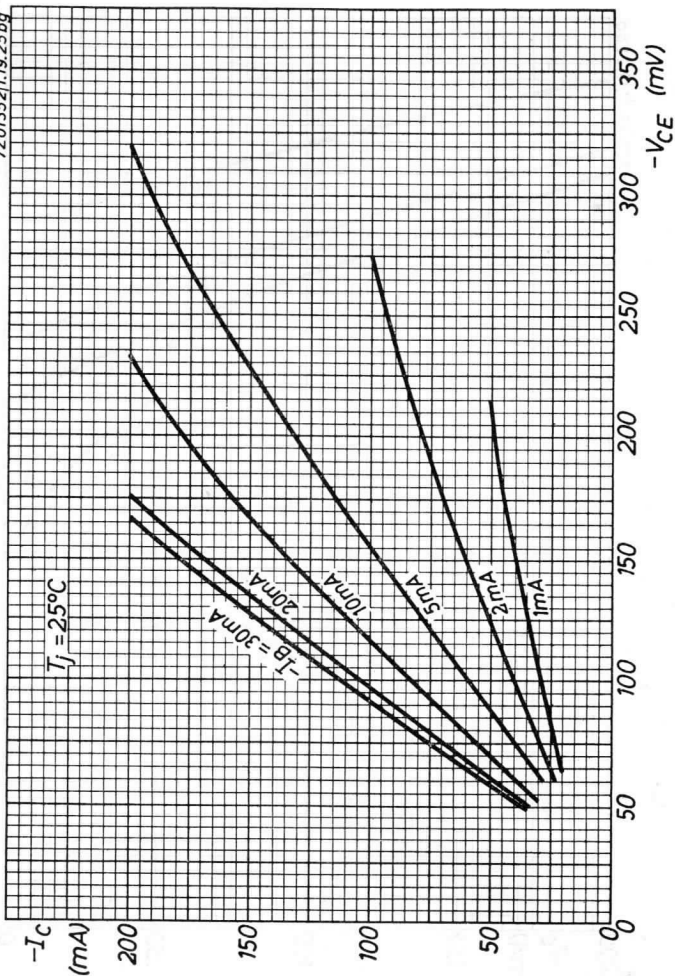
ASY27

PHILIPS



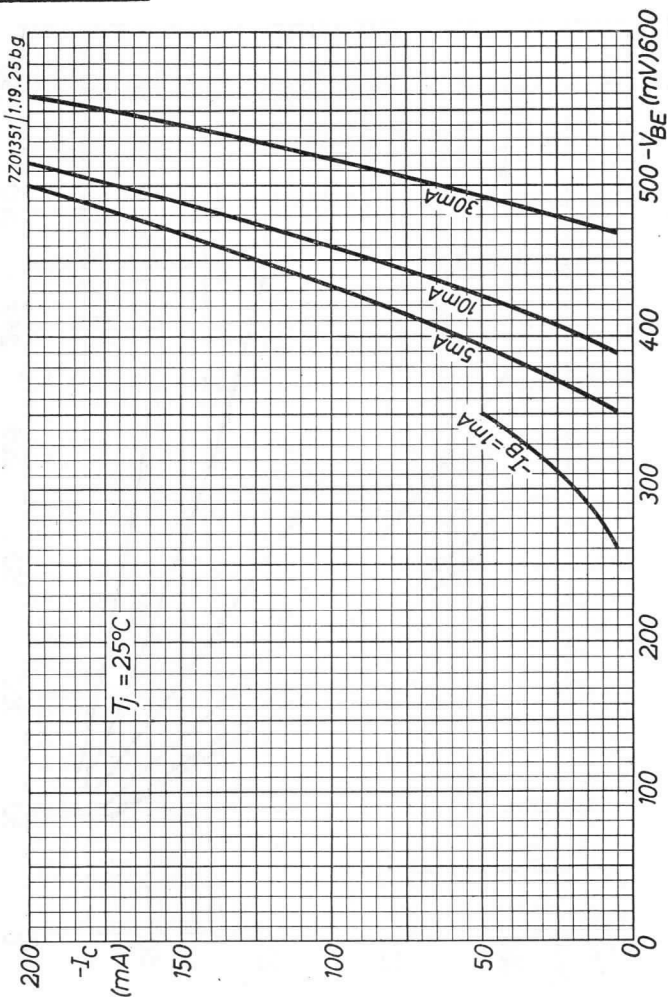
B

7201352/1.19.255bg

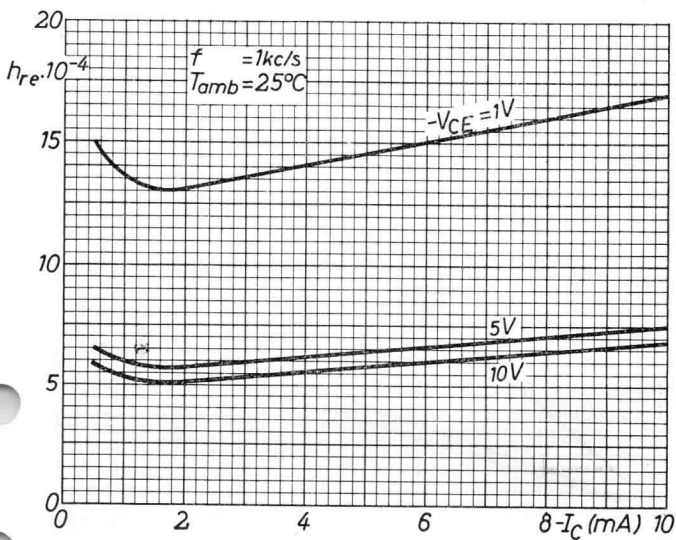
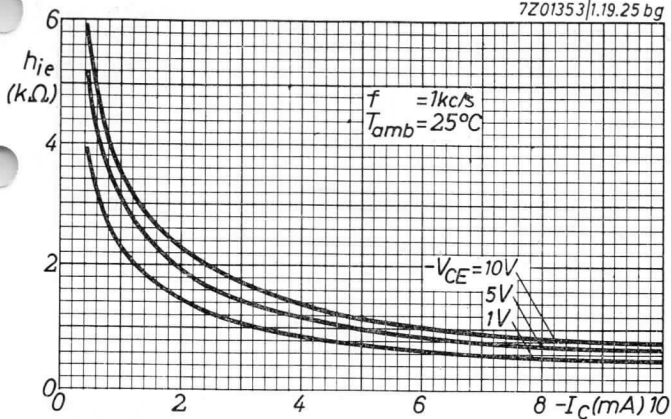


4.4.1963

c

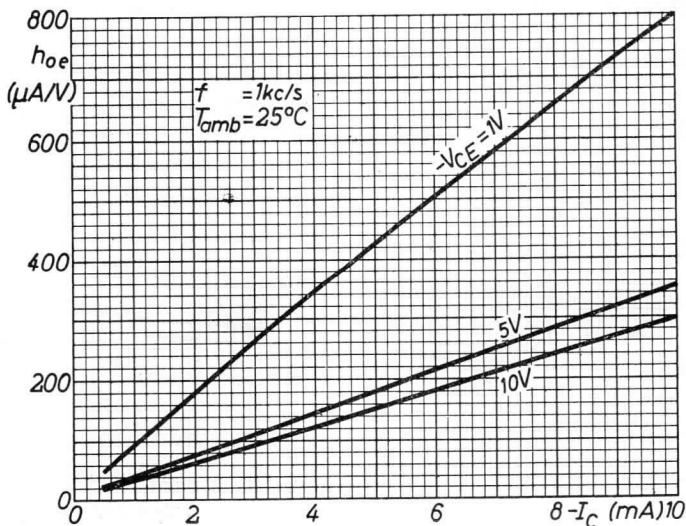
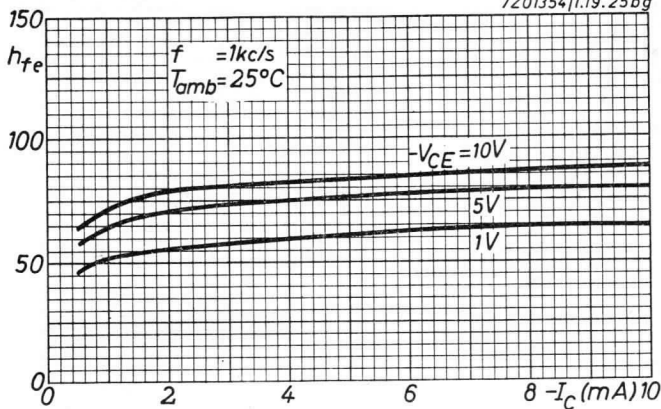
ASY27**PHILIPS**

7Z01353/1.19.25 bg

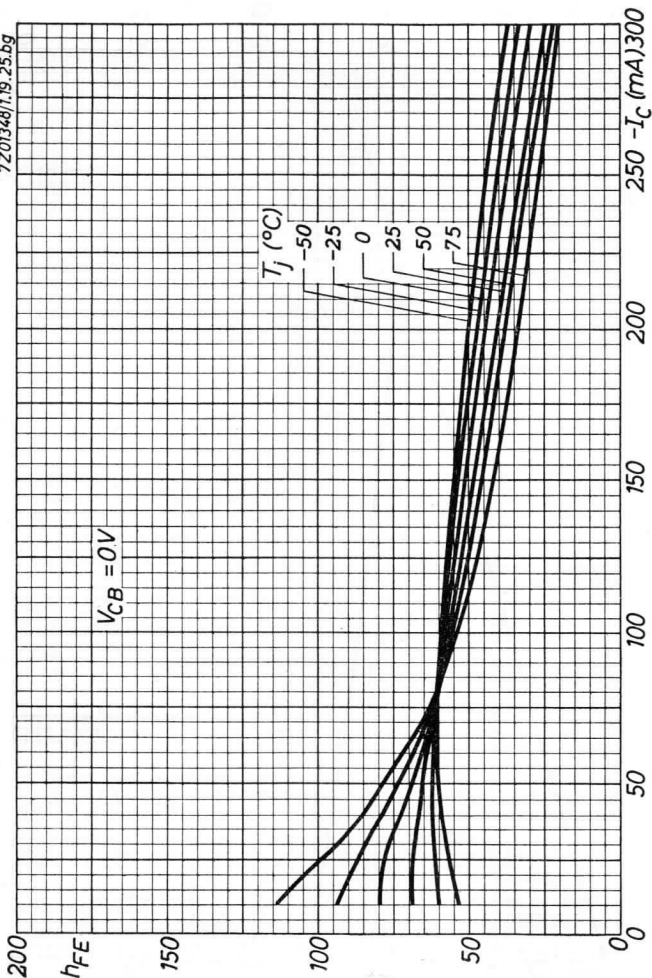


ASY27**PHILIPS**

7201354/1.19.25bg



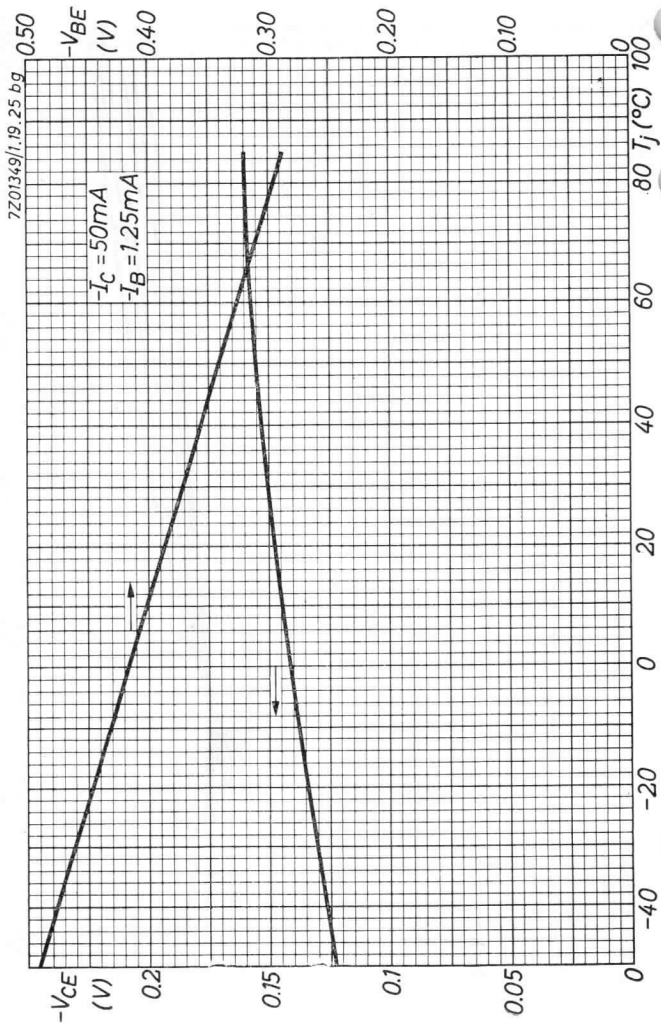
7Z01348/1.19.25.bg



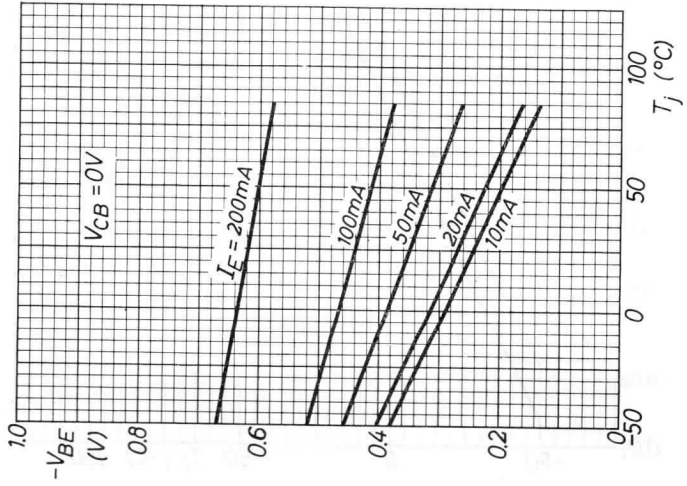
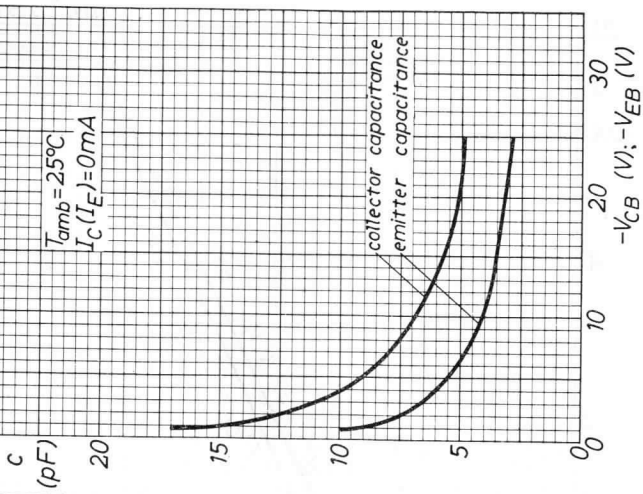
4.4.1963

ASY27

PHILIPS

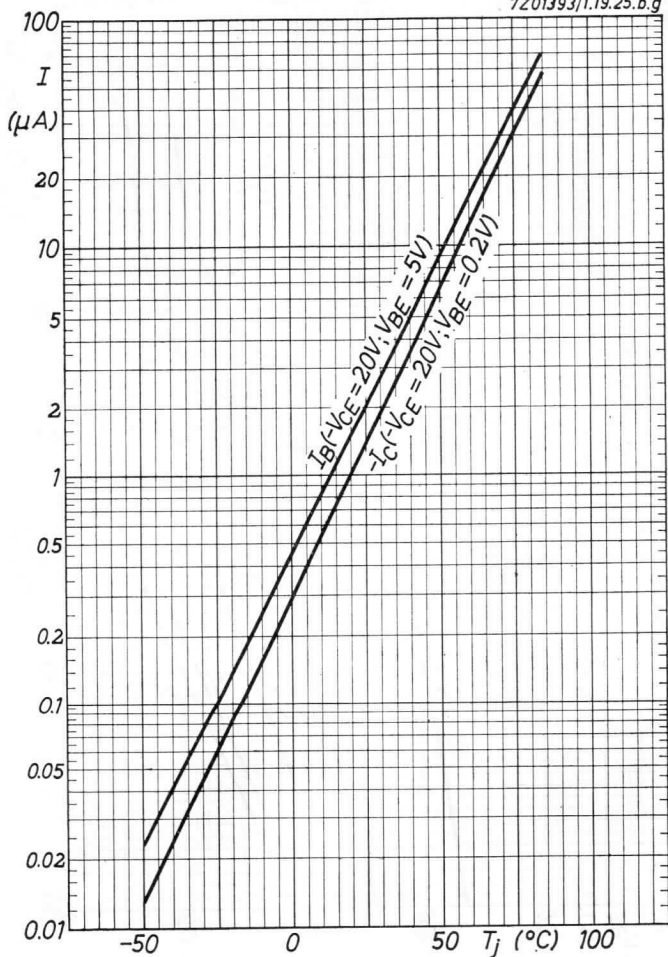


7201350/1.19.25 b.g



ASY27**PHILIPS**

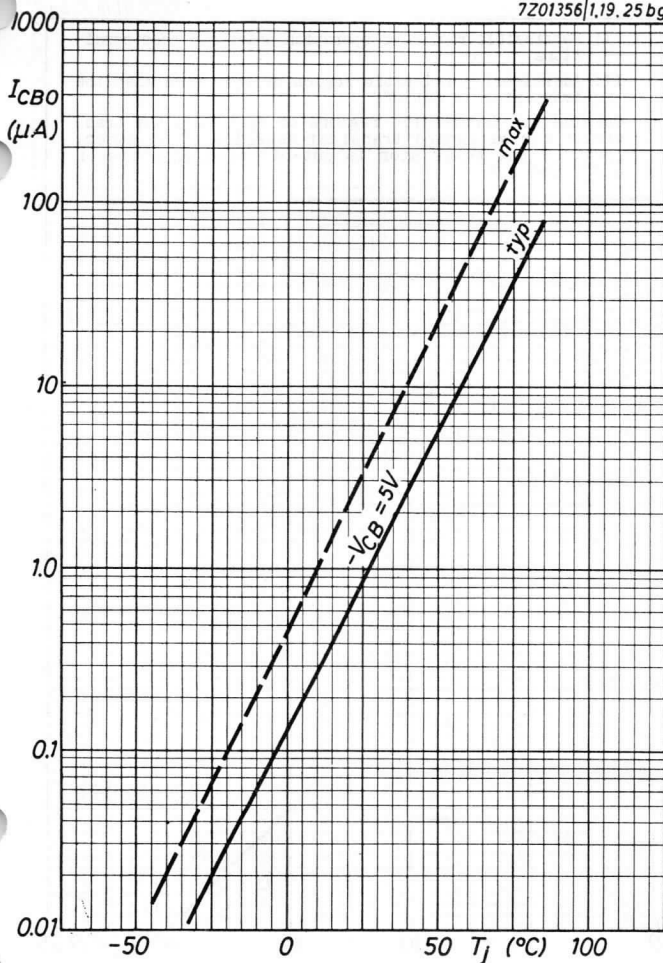
7Z01393/1.19.25.b.g



PHILIPS

ASY27

7Z01356/1.19.25 bg



4.4.1963

K

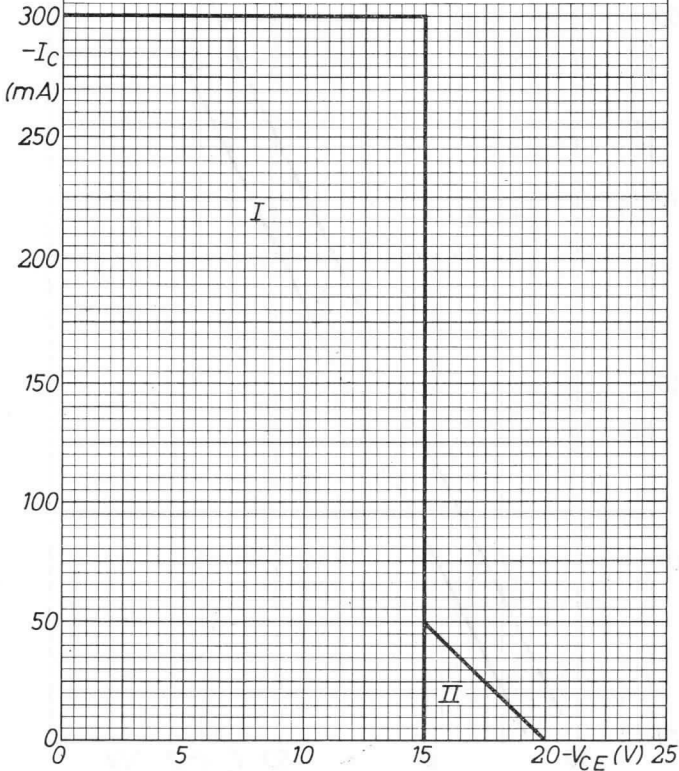
ASY27**PHILIPS**

7Z01345/1.19.25bq

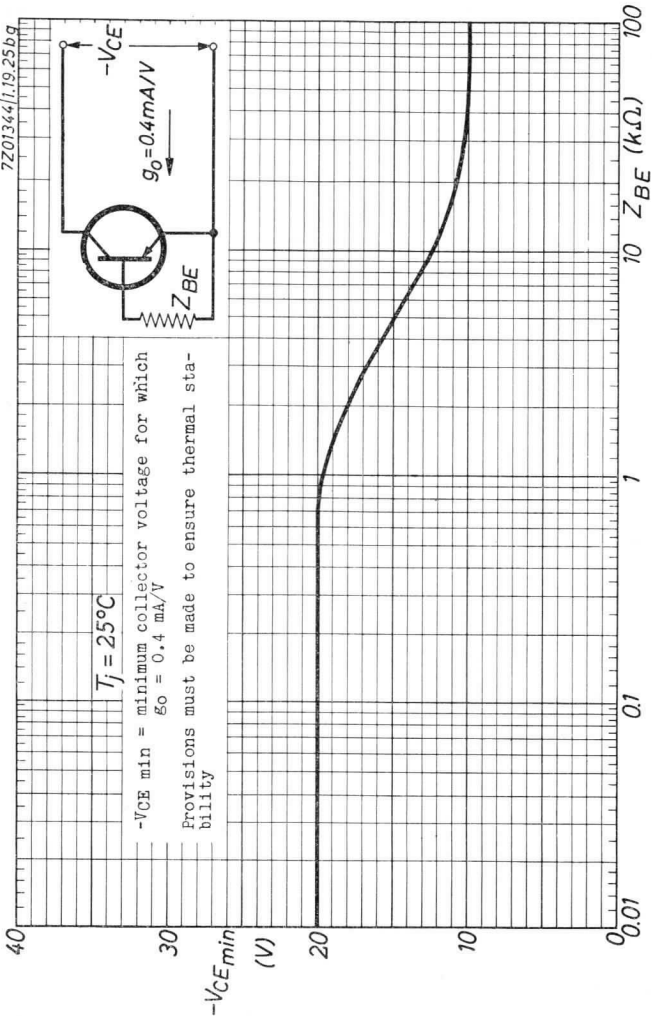
I: Permissible region of operation under all base conditions

II: Additional permissible region of operation when the transistor is cut-off

Outside the permissible regions of operation the transistor can withstand transient energies of $15 \mu\text{Wsec}$, provided the transistor is cut-off with V_{BE} between 0.2 V and 2 V



7201344/1.19.25bg



4.4.1963

M

COYDA

844-1111



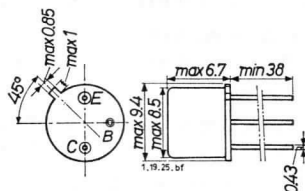
PHILIPS

ASY28 ASY29

GERMANIUM n-p-n ALLOY TRANSISTORS for medium current medium speed computer logic applications

SOT 5 metal envelope

Dimensions in mm



The base is electrically connected to the case

LIMITING VALUES (Absolute max. values)

| | | ASY28 | ASY29 |
|---|--|-----------|-------------|
| <u>Collector</u> | | | |
| Voltage (base reference) | $V_{CB} = \text{max.}$ | 30 V | 25 V |
| Voltage (emitter reference) | $V_{CE} = \text{max.}$ | 25 V | 20 V |
| Current (averaging time = max. 20 msec) | $I_C = \text{max.}$ ($t_{av} = \text{max.}$) | 100 20 | mA msec) |
| Peak current | $I_{CM} = \text{max.}$ | 200 | mA |
| <u>Emitter</u> | | | |
| Voltage (base reference) | $V_{EB} = \text{max.}$ | 20 | V |
| Current (averaging time = max. 20 msec) | $-I_E = \text{max.}$ ($t_{av} = \text{max.}$) | 125 20 | mA msec) |
| Peak current | $-I_{EM} = \text{max.}$ | 200 | mA |
| <u>Base</u> | | | |
| Current (averaging time = max. 20 msec) | $I_B = \text{max.}$ ($t_{av} = \text{max.}$) | 25 20 | mA msec) |
| Peak current | $I_{BM} = \text{max.}$ | 200 | mA |
| <u>Dissipation</u> | | | |
| Total dissipation | $P_{tot} = \text{max.}$ | 125 | mW |
| <u>Temperatures</u> | | | |
| Junction temperature | $T_j = \text{max.}$ | 75 | °C |
| Storage temperature | $T_s = -65^\circ\text{C to } +75^\circ\text{C}$ | | °C |
| <u>THERMAL DATA</u> | | | |
| Thermal resistance from junction to ambience in free air | $K_{j-amb} = \text{max.}$ | 0.4 | °C/mW |
| Thermal resistance from junction to case | $K_{j-c} = \text{max.}$ | 0.2 | °C/mW |

7Z2 1733
4.4.1963

Tentative data

1.

ASY28
ASY29

PHILIPS

CHARACTERISTICS at $T_{amb} = 25\text{ }^{\circ}\text{C}$

| | ASY28 | ASY29 |
|--|---------------------|---------------------|
| Collector-base leakage current | | |
| ICBO ($V_{CB} = 5\text{ V}$; $I_E = 0\text{ mA}$) | < 3 μA | < 3 μA |
| Emitter-base leakage current | | |
| IEBO ($V_{EB} = 5\text{ V}$; $I_C = 0\text{ mA}$) | < 3 μA | < 3 μA |
| Base current | | |
| I_B ($-I_E = 10\text{ mA}$; $V_{CB} = 0\text{ V}$) | < 325 μA | < 195 μA |
| I_B ($-I_E = 100\text{ mA}$; $V_{CB} = 0\text{ V}$) | < 4.75 mA | < 3.25 mA |
| Collector-emitter saturation voltage | | |
| V_{CE} ($I_C = 50\text{ mA}$; $I_B = 2\text{ mA}$) | < 0.25 V | |
| V_{CE} ($I_C = 50\text{ mA}$; $I_B = 1.25\text{ mA}$) | | < 0.25 V |
| Punch through voltage | | |
| VPT | > 25 V | > 20 V |

CHARACTERISTICS RANGE VALUES FOR EQUIPMENT DESIGN

$T_{amb} = 25\text{ }^{\circ}\text{C}$ unless otherwise specified

| | ASY28 | ASY29 |
|---|--------------------|--------------------|
| Collector reverse current | | |
| I_C { $V_{CE} = 25\text{ V}$; $-V_{BE} = 0.2\text{ V}$ } { $T_{amb} = 60\text{ }^{\circ}\text{C}$ } | < 35 μA | |
| I_C { $V_{CE} = 20\text{ V}$; $-V_{BE} = 0.2\text{ V}$ } { $T_{amb} = 60\text{ }^{\circ}\text{C}$ } | | < 35 μA |
| Base current | | |
| I_B { $V_{CE} = 20\text{ V}$; $-V_{BE} = 5\text{ V}$ } { $T_{amb} = 60\text{ }^{\circ}\text{C}$ } | < 35 μA | < 35 μA |
| Direct current amplification factor | | |
| h_{FE} ($-I_E = 20\text{ mA}$; $V_{CB} = 0\text{ V}$) | > 30 < 80 | > 50 < 150 |
| Base-emitter voltage | | |
| V_{BE} ($-I_E = 100\text{ mA}$; $V_{CB} = 0\text{ V}$) | < 0.65 V | < 0.55 V |
| Collector-emitter saturation voltage | | |
| V_{CE} ($I_C = 10\text{ mA}$; $I_B = 0.33\text{ mA}$) | < 0.20 V | |
| V_{CE} ($I_C = 10\text{ mA}$; $I_B = 0.2\text{ mA}$) | | < 0.20 V |

CHARACTERISTICS RANGE VALUES FOR EQUIPMENT DESIGN (continued)

| | | $T_{amb} = 25\text{ }^{\circ}\text{C}$ | |
|---|--|--|--|
| | | ASY28 | ASY29 |
| Base voltage | | | |
| V_{BE} ($I_C = 10\text{ mA}$; $I_B = 0.4\text{ mA}$) | $> 0.20\text{ V}$ $< 0.37\text{ V}$ | | |
| V_{BE} ($I_C = 10\text{ mA}$; $I_B = 0.25\text{ mA}$) | | | $> 0.15\text{ V}$ $< 0.32\text{ V}$ |
| V_{BE} ($I_C = 50\text{ mA}$; $I_B = 2.4\text{ mA}$) | $< 0.55\text{ V}$ | | |
| V_{BE} ($I_C = 50\text{ mA}$; $I_B = 1.55\text{ mA}$) | | | $< 0.45\text{ V}$ |
| Frequency at which $ h_{fe} = 1$ | | | |
| f_1 ($V_{CE} = 5\text{ V}$; $I_C = 3\text{ mA}$) | $> 4\text{ Mc/s}$ | $> 6\text{ Mc/s}$ | |
| Collector capacitance | | | |
| c_c ($V_{CB} = 5\text{ V}$; $I_E = 0\text{ mA}$) | $< 16\text{ pF}$ | $< 16\text{ pF}$ | |
| Emitter capacitance | | | |
| c_e ($V_{EB} = 5\text{ V}$; $I_C = 0\text{ mA}$) | $< 13\text{ pF}$ | $< 13\text{ pF}$ | |
| Transient behaviour | | | |
| Time constant with current feed | | | |
| τ_c ($V_{CE} = 0.75\text{ V}$; $I_{CM} = 50\text{ mA}$) | $< 2.2\text{ }\mu\text{sec}$ | $< 2.2\text{ }\mu\text{sec}$ | |
| Time constant with voltage feed | | | |
| τ_v ($V_{CE} = 0.75\text{ V}$; $I_{CM} = 1\text{ mA}$) | $< 0.2\text{ }\mu\text{sec}$ | $< 0.2\text{ }\mu\text{sec}$ | |
| Desaturation time constant | | | |
| τ_s ($I_C = 0\text{ mA}$; $I_B = 1\text{ mA}$) | $< 1.4\text{ }\mu\text{sec}$ | $< 1.4\text{ }\mu\text{sec}$ | |

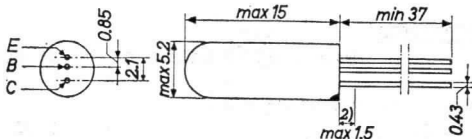
PHILIPS

PHILIPS
PHILIPS



GERMANIUM ALLOY TRANSISTOR of the p-n-p type in all-glass construction for medium-current medium-speed computer logic applications

Dimensions in mm The red dot indicates the collector



LIMITING VALUES (Absolute maximum values)

Collector

| | | |
|--|---|--------|
| Voltage (base reference) | $-V_{CB} = \text{max.}$ | 25 V |
| Voltage (emitter reference) | $-V_{CE} = \text{max.}$ | 20 V |
| Current | | |
| Peak | $-I_{CM} = \text{max.}$ | 200 mA |
| D.C. and average (averaging time = max. 20 msec) | $-I_C = \text{max.}$ ($t_{av} = \text{max.}$ 20 msec) | 100 mA |

Emitter

| | | |
|--|--|--------|
| Voltage (base reference) | $-V_{EB} = \text{max.}$ | 20 V |
| Current | | |
| Peak | $I_{EM} = \text{max.}$ | 200 mA |
| D.C. and average (averaging time = max. 20 msec) | $I_E = \text{max.}$ ($t_{av} = \text{max.}$ 20 msec) | 125 mA |

Base

| | | |
|--|---|--------|
| Current | | |
| Peak | $-I_{BM} = \text{max.}$ | 200 mA |
| D.C. and average (averaging time = max. 20 msec) | $-I_B = \text{max.}$ ($t_{av} = \text{max.}$ 20 msec) | 25 mA |

Dissipation

| | | |
|-------------------|-------------------------|----------------------|
| Total dissipation | $P_{tot} = \text{max.}$ | 125 mW ¹⁾ |
|-------------------|-------------------------|----------------------|

Temperatures

| | | |
|----------|---------------------|------------------|
| Storage | $T_s =$ | -55 °C to +75 °C |
| Junction | $T_j = \text{max.}$ | 75 °C |

¹⁾ The maximum admissible dissipation for a certain application can be calculated from the formula:

²⁾ Not tinned $P_{tot} = \text{max.} \frac{T_j \text{ max} - T_{amb}}{K}$

THERMAL DATA

| | |
|---|--------------------|
| Thermal resistance from junction to ambience in free air | K = max. 0.4 °C/mW |
| Thermal resistance from junction to case | K = max. 0.2 °C/mW |

CHARACTERISTICS

$T_{amb} = 25\text{ }^{\circ}\text{C}$ unless otherwise specified

Collector current at $I_E = 0\text{ mA}$
 $-I_{CBO}$ ($-V_{CB} = 5\text{ V}$) < 3 μA

Emitter current at $I_C = 0\text{ mA}$
 $-I_{EBO}$ ($-V_{EB} = 5\text{ V}$) < 3 μA

Base current at $V_{CB} = 0\text{ V}$
 $-I_B$ ($I_E = 10\text{ mA}$; $V_{CB} = 0\text{ V}$) < 325 μA
 $-I_B$ ($I_E = 20\text{ mA}$; $V_{CB} = 0\text{ V}$) > 250 μA
 $-I_B$ ($I_E = 100\text{ mA}$; $V_{CB} = 0\text{ V}$) < 645 μA
 $-I_B$ ($I_E = 100\text{ mA}$; $V_{CB} = 0\text{ V}$) < 4.75 mA

Collector voltage
 $-V_{CB}$ { $-I_C = 100\text{ }\mu\text{A}$; $I_E = 0\text{ mA}$ } > 25 V
 $T_{amb} = 60\text{ }^{\circ}\text{C}$

Emitter voltage
 $-V_{EB}$ { $-I_E = 100\text{ }\mu\text{A}$; $I_C = 0\text{ mA}$ } > 20 V
 $T_{amb} = 60\text{ }^{\circ}\text{C}$

V_{EB} ($I_E = 100\text{ mA}$; $V_{CB} = 0\text{ V}$) < 0.65 V
 $-V_{BE}$ ($-I_C = 50\text{ mA}$; $-I_B = 2.4\text{ mA}$) < 0.55 V

Punch through voltage
 V_{PT} > 20 V

CHARACTERISTICS RANGE VALUES FOR EQUIPMENT DESIGN

$T_{amb} = 25^{\circ}\text{C}$ unless otherwise specified

Collector current

$$-I_C \left\{ \begin{array}{l} -V_{CE} = 20 \text{ V}; V_{BE} = 0.2 \text{ V} \\ T_{amb} = 60^{\circ}\text{C} \end{array} \right\} < 35 \mu\text{A}$$

Base current

$$I_B \left\{ \begin{array}{l} -V_{CE} = 20 \text{ V}; V_{BE} = 5 \text{ V} \\ T_{amb} = 60^{\circ}\text{C} \end{array} \right\} < 35 \mu\text{A}$$

Collector voltage

$$-V_{CE} (-I_C = 5 \text{ mA}; I_B = 0 \text{ mA}) > 15 \text{ V}$$

Collector voltage in bottoming

$$-V_{CE} (-I_C = 10 \text{ mA}; -I_B = 0.33 \text{ mA}) < 0.20 \text{ V}$$

$$-V_{CE} (-I_C = 50 \text{ mA}; -I_B = 2.0 \text{ mA}) < 0.25 \text{ V}$$

Base voltage

$$-V_{BE} (-I_C = 10 \text{ mA}; -I_B = 0.4 \text{ mA}) \begin{array}{l} > 0.20 \text{ V} \\ < 0.37 \text{ V} \end{array}$$

Frequency at which $|h_{fe}| = 1$

$$f_1 (-V_{CE} = 5 \text{ V}; -I_C = 3 \text{ mA}) > 4 \text{ Mc/s}$$

Collector capacitance

$$c_c (-V_{CB} = 5 \text{ V}; I_E = 0 \text{ mA}) < 16 \text{ pF}$$

Emitter capacitance

$$c_e (-V_{EB} = 5 \text{ V}; I_C = 0 \text{ mA}) < 13 \text{ pF}$$

Transient behaviour

Time constant with current feed

$$\tau_c (-V_{CE} = 0.75 \text{ V}; -I_{CM} = 50 \text{ mA}) < 2.2 \mu\text{sec}$$

Time constant with voltage feed

$$\tau_v (-V_{CE} = 0.75 \text{ V}; -I_{CM} = 1 \text{ mA}) < 0.2 \mu\text{sec}$$

Desaturation time constant

$$\tau_s (-I_C = 0 \text{ mA}; -I_B = 1 \text{ mA}) < 1.4 \mu\text{sec}$$

EXHIBIT 102

ASST

Base

IC

Collector

-V_{CE} (-I_C)

Collector volt

-V_{CE} (-I_C) = 10

-V_{CE} (-I_C) = 20 m

Base voltage

-V_{BE} (-I_B) = 10 mV

Frequency at which

f₁ (-V_{CE} = 5 V; -I_C = 2

Collector capacitance

C_C (-V_{CE} = 5 V; I_C = 2 mA)

Emitter capacitance

C_E (-V_{BE} = 5 V; I_C = 2 mA)

Transient behaviour

Time constant with current lead

t₀ (-V_{CE} = 0.75 V; -I_{CM} = 20 mA) < 2.5 nsec

Time constant with voltage lead

t_V (-V_{CE} = 0.75 V; -I_{CM} = 1 mA) < 0.5 nsec

Deactivation time constant

t_g (-I_C = 0 mA; -I_B = 1 mA) < 1.4 nsec

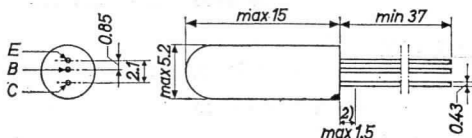
Test data

785 1120
2.8.1988

3

GERMANIUM ALLOY TRANSISTOR of the p-n-p type in all-glass construction for medium-current medium-speed computer logic applications

Dimensions in mm The red dot indicates the collector



LIMITING VALUES (Absolute maximum values)

Collector

| | | |
|--|--|--------------------|
| Voltage (base reference) | $-V_{CB} = \text{max.}$ | 25 V |
| Voltage (emitter reference) | $-V_{CE} = \text{max.}$ | 20 V |
| Current | | |
| Peak | $-I_{CM} = \text{max.}$ | 200 mA |
| D.C. and average (averaging time = max. 20 msec) | $-I_C = \text{max.}$ ($t_{av} = \text{max.}$ | 100 mA 20 msec) |

Emitter

| | | |
|--|---|--------------------|
| Voltage (base reference) | $-V_{EB} = \text{max.}$ | 20 V |
| Current | | |
| Peak | $I_{EM} = \text{max.}$ | 200 mA |
| D.C. and average (averaging time = max. 20 msec) | $I_E = \text{max.}$ ($t_{av} = \text{max.}$ | 125 mA 20 msec) |

Base

| | | |
|--|--|-------------------|
| Current | | |
| Peak | $-I_{BM} = \text{max.}$ | 200 mA |
| D.C. and average (averaging time = max. 20 msec) | $-I_B = \text{max.}$ ($t_{av} = \text{max.}$ | 25 mA 20 msec) |

Dissipation

| | | |
|-------------------|-------------------------|----------------------|
| Total dissipation | $P_{tot} = \text{max.}$ | 125 mW ¹⁾ |
|-------------------|-------------------------|----------------------|

Temperatures

| | | |
|----------|---------------------|------------------|
| Storage | $T_S =$ | -55 °C to +75 °C |
| Junction | $T_J = \text{max.}$ | 75 °C |

¹⁾ The maximum admissible dissipation for a certain application can be calculated from the formula:

²⁾ Not tinned $P_{tot} = \text{max.} \frac{T_J \text{ max} - T_{amb}}{K}$

THERMAL DATA

| | |
|---|--------------------|
| Thermal resistance from junction to ambience in free air | K = max. 0.4 °C/mW |
| Thermal resistance from junction to case | K = max. 0.2 °C/mW |

CHARACTERISTICS

$T_{amb} = 25\text{ °C}$ unless otherwise specified

| | |
|---|---------------------|
| Collector current at $I_E = 0\text{ mA}$ | |
| -ICBO ($-V_{CB} = 5\text{ V}$) | < 3 μA |
| Emitter current at $I_C = 0\text{ mA}$ | |
| -IEBO ($-V_{EB} = 5\text{ V}$) | < 3 μA |
| Base current at $V_{CB} = 0\text{ V}$ | |
| -IB ($I_E = 10\text{ mA}; V_{CB} = 0\text{ V}$) | < 195 μA |
| -IB ($I_E = 20\text{ mA}; V_{CB} = 0\text{ V}$) | > 130 μA |
| -IB ($I_E = 100\text{ mA}; V_{CB} = 0\text{ V}$) | < 390 μA |
| -IB ($I_E = 100\text{ mA}; V_{CB} = 0\text{ V}$) | < 3.25 mA |
| Collector voltage | |
| -V _{CB} { $-I_C = 100\text{ }\mu\text{A}; I_E = 0\text{ mA}$ $T_{amb} = 60\text{ °C}$ } | > 25 V |
| Emitter voltage | |
| -V _{EB} { $-I_E = 100\text{ }\mu\text{A}; I_C = 0\text{ mA}$ $T_{amb} = 60\text{ °C}$ } | > 20 V |
| V _{EB} ($I_E = 100\text{ mA}; V_{CB} = 0\text{ V}$) | < 0.55 V |
| -V _{BE} ($-I_C = 50\text{ mA}; -I_B = 1.55\text{ mA}$) | < 0.45 V |
| Punch through voltage | |
| V _{PT} | > 20 V |

CHARACTERISTICS RANGE VALUES FOR EQUIPMENT DESIGN

$T_{amb} = 25\text{ }^{\circ}\text{C}$ unless otherwise specified

Collector current

$$-I_C \left\{ \begin{array}{l} -V_{CE} = 20\text{ V}; V_{BE} = 0.2\text{ V} \\ T_{amb} = 60\text{ }^{\circ}\text{C} \end{array} \right\} < 35\text{ }\mu\text{A}$$

Base current

$$I_B \left\{ \begin{array}{l} -V_{CE} = 20\text{ V}; V_{BE} = 5\text{ V} \\ T_{amb} = 60\text{ }^{\circ}\text{C} \end{array} \right\} < 35\text{ }\mu\text{A}$$

Collector voltage

$$-V_{CE} (-I_C = 5\text{ mA}; I_B = 0\text{ mA}) > 15\text{ V}$$

Collector voltage in bottoming

$$-V_{CE} (-I_C = 10\text{ mA}; -I_B = 0.2\text{ mA}) < 0.20\text{ V}$$

$$-V_{CE} (-I_C = 50\text{ mA}; -I_B = 1.25\text{ mA}) < 0.25\text{ V}$$

Base voltage

$$-V_{BE} (-I_C = 10\text{ mA}; -I_B = 0.25\text{ mA}) > 0.15\text{ V}$$

$$< 0.32\text{ V}$$

Frequency at which $|h_{fe}| = 1$

$$f_1 (-V_{CE} = 5\text{ V}; -I_C = 3\text{ mA}) > 6\text{ Mc/s}$$

Collector capacitance

$$c_c (-V_{CB} = 5\text{ V}; I_E = 0\text{ mA}) < 16\text{ pF}$$

Emitter capacitance

$$c_e (-V_{EB} = 5\text{ V}; I_C = 0\text{ mA}) < 13\text{ pF}$$

Transient behaviour

Time constant with current feed

$$\tau_c (-V_{CE} = 0.75\text{ V}; -I_{CM} = 50\text{ mA}) < 2.2\text{ }\mu\text{sec}$$

Time constant with voltage feed

$$\tau_v (-V_{CE} = 0.75\text{ V}; -I_{CM} = 1\text{ mA}) < 0.2\text{ }\mu\text{sec}$$

Desaturation time constant

$$\tau_s (-I_C = 0\text{ mA}; -I_B = 1\text{ mA}) < 1.4\text{ }\mu\text{sec}$$

YZA

RECEIVED

[Faint, illegible text, possibly a list or report, contained within a large rectangular border.]



Low spread medium gain GERMANIUM POWER TRANSISTOR of the p-n-p type for use in switching circuits at high voltages and currents

TRANSISTOR DE PUISSANCE À CRISTAL DE GERMANIUM du type p-n-p avec dispersion faible et amplification moyenne pour utilisation dans des circuits de commutation de tensions et courants élevés

p-n-p-GERMANIUM-LEISTUNGSTRANSISTOR mit geringer Streuung und mittlerer Verstärkung für Schalteranwendungen mit hohen Spannungen und Strömen

Limiting values (Absolute max. values)

Caractéristiques limites (Valeurs max. absolues)

Grenzdaten (Absolute Maximalwerte)

| | | |
|--|--------|--|
| $-V_{CB}$ | = max. | 80 V ¹⁾ |
| $-V_{CE}$ | = max. | 60 V ²⁾ |
| $-V_{EB}$ | = max. | 40 V |
| $-I_C$ | = max. | 6 A |
| I_E | = max. | 7,2 A |
| $-I_B$ ($t_{av} = \text{max. } 20 \text{ msec}$) | = max. | 1 A |
| $-I_{BM}$ | = max. | 2 A |
| P_C ($T_m \leq 45 \text{ }^\circ\text{C}$) | = max. | 30 W ³⁾ |
| T_j { continuous operation service continu: Dauerbetrieb } | = max. | 90 $^\circ\text{C}$ |
| T_j { intermittent operation service intermittent aussetzender Betrieb } | = max. | 100 $^\circ\text{C}$ ⁴⁾ |
| Storage temperature Température d'emmagasinage Lagerungstemperatur | = | -55 $^\circ\text{C}$ /+75 $^\circ\text{C}$ |

¹⁾ When switched from a thermally stable on-state with maximum junction temperature to an unstabilised cut-off, the max. voltage rating is always permissible as long as $T_{amb} \leq 55 \text{ }^\circ\text{C}$ and $K_{tot} \leq 9 \text{ }^\circ\text{C/W}$

Dans le cas de commutation à la température max. de la jonction d'une condition "en circuit" thermiquement stable à une condition de coupure non stabilisée la valeur max. de cette tension est permise, tant que $T_{amb} \leq 55 \text{ }^\circ\text{C}$ et $K_{tot} \leq 9 \text{ }^\circ\text{C/W}$

Wenn bei der max. Kristalltemperatur von einem thermisch stabilen "Ein"-Zustand in einen nicht stabilisierten gesperrten Zustand umgeschaltet wird, ist der max. Wert dieser Spannung immer zulässig wenn

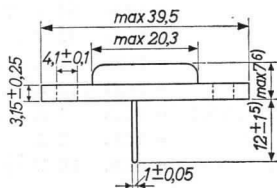
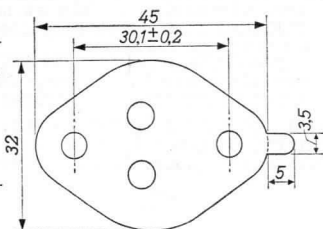
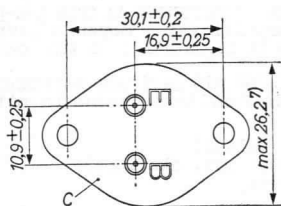
$T_{amb} \leq 55 \text{ }^\circ\text{C}$ und $K_{tot} \leq 9 \text{ }^\circ\text{C/W}$

^{2,3,4)} See pages 3, 4; voir pages 3, 4; siehe Seite 3, 4.

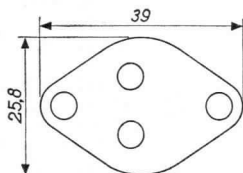
ASZ 15**PHILIPS**

Dimensions in mm
 Dimensions en mm
 Abmessungen in mm

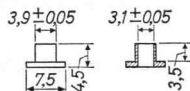
Mica insulation, 0,05 mm
 Isolement de mica, 0,05 mm
 Glimmerisolierung, 0,05 mm



Lead washer, 1 mm
 Plaque de plomb, 1 mm
 Bleischeibe, 1 mm



Insulation tubes
 Isolateurs de traversée
 Durchführungsisolatoren



5, 6, 7)

The following dimensions of a former execution differ from those stated above:

Les dimensions suivantes d'une exécution antérieure diffèrent des dimensions mentionnées ci-dessus:

Die folgenden Abmessungen einer älteren Ausführung unterscheiden sich von den obengenannten Abmessungen:

- 5) $9,5 \pm 1,2$ mm
- 6) max. 10,4 mm
- 7) max. 26,6 mm

Thermal data
Données thermiques
Thermische Daten

| | |
|--|--|
| Junction temperature rise to transistor bottom | $K_m \leq 1,5 \text{ } ^\circ\text{C/W}$ |
| Temperature rise of transistor bottom to heat sink when mounted with lead washer of 1 mm and with mica washer | $K \leq 0,5 \text{ } ^\circ\text{C/W}$ |
| Augmentation de la température de la jonction par rapport au fond du transistor | $K_m \leq 1,5 \text{ } ^\circ\text{C/W}$ |
| Augmentation de la température du fond du transistor par rapport à la plaque de refroidissement, lorsqu'il est monté avec une plaque de plomb de 1 mm et avec une plaque de mica | $K \leq 0,5 \text{ } ^\circ\text{C/W}$ |
| Temperaturerhöhung des Kristalls in Bezug auf den Transistorboden | $K_m \leq 1,5 \text{ } ^\circ\text{C/W}$ |
| Temperaturerhöhung des Transistorbodens in Bezug auf die Kühlplatte wenn der Transistor mit einer 1 mm-Bleischeibe und einer Glimmerscheibe montiert ist | $K \leq 0,5 \text{ } ^\circ\text{C/W}$ |

Page 1; Seite 1

- 2) During switch-off transients higher voltages are allowed as long as an energy dissipation of 8 mWsec is not exceeded. See also page C.
Pendant le régime transitoire, après une mise hors circuit des tensions plus élevées sont admissibles tant qu'une dissipation d'énergie de 8 mWsec n'est pas surpassée. Voir aussi page C.
Während der Ausgleichsvorgänge nach einer Ausschaltung sind höhere Spannungen erlaubt, wenn nur ein Energieverbrauch von 8 mWsek nicht überschritten wird. Siehe auch Seite C.
- 3) T_m = temperature of transistor bottom. At $T_m > 45 \text{ } ^\circ\text{C}$, $PC_{max} = \frac{T_{jmax} - T_m}{K_m}$, where K_m is the thermal resistance from junction to transistor bottom
 T_m = température du fond du transistor. Lorsque $T_m > 45 \text{ } ^\circ\text{C}$, $PC_{max} = \frac{T_{jmax} - T_m}{K_m}$; K_m est la résistance thermique de la jonction jusqu'au fond du transistor
 T_m = Temperatur des Transistorbodens. Wenn $T_m > 45 \text{ } ^\circ\text{C}$, ist $PC_{max} = \frac{T_{jmax} - T_m}{K_m}$, wo K_m der thermische Widerstand zwischen Kristall und Transistorboden ist

Characteristics
Caractéristiques
Kenndaten

Transistor bottom temperature
Température du fond du transistor = 25 °C
Temperatur des Transistorbodens

| | | |
|---|--------|-----------------|
| -ICBO (-V _{CB} = 0,5 V) | | < 0,1 mA |
| -V _{CE} (V _{BE} = 2 V; -I _C = 6 A) | > 60 | V ⁸⁾ |
| -I _B (-V _{CB} = 0 V; I _E = 1 A) | > 17,5 | < 50 mA |
| -I _B (-V _{CB} = 0 V; I _E = 6 A) | > 190 | < 375 mA |
| -V _{BE} (-V _{CB} = 0 V; I _E = 1 A) | | < 0,8 V |
| -V _{BE} (-V _{CB} = 0 V; I _E = 6 A) | > 0,6 | < 1,6 V |

Page 1; Seite 1

- 4) Total duration max. 200 hours. Likelihood of full performance of a circuit at this temperature is also dependent upon the type of application

Durée totale 200 heures au max. La probabilité de fonctionnement optimum d'un circuit à cette température est aussi dépendante du genre d'application

Gesamtdauer max. 200 Stunden. Die Wahrscheinlichkeit optimaler Wirkung einer Schaltung bei dieser Temperatur wird auch von der Verwendungsart bestimmt

- 8) Measured under pulsed conditions to prevent excessive dissipation. Care should also be taken not to exceed the maximum energy dissipation of 8 mWsec.

Mesuré avec des impulsions pour prévenir une dissipation excessive. En outre il faut veiller à ne pas dépasser la dissipation d'énergie max. de 8 mWsec.

Zur Vermeidung einer übermäßigen Verlustleistung gemessen mit Impulsen. Es soll darauf geachtet werden dass der maximale Energieverbrauch von 8 mWsek nicht überschritten wird

Characteristics (continued)
 Caractéristiques (suite)
 Kenndaten (Fortsetzung)

T_m = transistor bottom temperature = 25 °C,
 unless otherwise specified
 T_m = température du fond du transistor = 25 °C,
 sauf indication différente
 T_m = Temperatur des Transistorbodens = 25 °C,
 wenn nicht anders angegeben

Column I: Setting of the transistor and typical (average) measuring results of new transistors
 II: Characteristic range values for equipment design
 Colonne I: Valeurs pour le réglage du transistor et les résultats moyens de mesures de transistors neufs
 II: Gamme de valeurs caractéristiques pour l'étude d'équipements
 Spalte I: Einstelldaten des Transistors und mittlere Messergebnisse neuer Transistoren.
 II: Charakteristischer Wertbereich für Gerätentwurf

| I | | II | | I | | II | |
|------------|-------|----|-------|----------------|-------|----|-------|
| $-V_{CB}$ | = 14 | | V | $-V_{CB}$ | = 6 | | V |
| T_m | = 100 | | °C | I_E | = 1 | | A |
| $-I_{CBO}$ | = | < | 20 mA | $f_{\alpha b}$ | = 250 | | kc/s |
| $-V_{CB}$ | = 80 | | V | $-V_{CB}$ | = 12 | | V |
| T_m | = 100 | | °C | I_E | = 0 | | mA |
| $-I_{CBO}$ | = | < | 30 mA | c_c | = 160 | | pF |
| $-V_{CB}$ | = 60 | | V | $-V_{EB}$ | = 6 | | V |
| I_E | = 0 | | mA | I_C | = 0 | | mA |
| T_m | = 100 | | °C | c_e | = 165 | | pF |
| $-V_{EB}$ | = | < | 0,5 V | $-I_C$ | = 6 | | A |
| V_{PT} | = 9) | > | 80 V | $-I_B$ | = 10) | | |
| | | | | $-V_{CEK}$ | = 0,5 | < | 1,0 V |

9) Punch through voltage
 Tension de perforation
 Durchschlagsspannung

10) $-I_B$ = { the value at which $-I_C = 6.6$ A when $-V_{CE} = 2$ V
 la valeur à laquelle $-I_C = 6,6$ A lorsque $-V_{CE} = 2$ V
 der Wert bei dem $-I_C = 6,6$ A wenn $-V_{CE} = 2$ V

Characteristics (continued) $T_m = 25^\circ C$
 Caractéristiques (suite)
 Kenndaten (Fortsetzung)

Large signal characteristics
 Caractéristiques pour grands signaux
 Kenndaten für grosse Signale

| | I | II | |
|-------------|----|--------|----|
| $-V_{CE} =$ | 14 | | V |
| $-I_C =$ | 30 | | mA |
| $h_{FE} =$ | | > 20 | |
| $-V_{CE} =$ | 1 | | V |
| $-I_C =$ | 1 | | A |
| $h_{FE} =$ | | 20- 55 | |
| $-V_{CE} =$ | 1 | | V |
| $-I_C =$ | 6 | | A |
| $h_{FE} =$ | | 15- 30 | |

Operating characteristics in "on-off" switching circuits
 Caractéristiques d'utilisation dans des circuits de commutation "en circuit-hors circuit"
 Betriebsdaten für "Ein-Aus"-Schalteranwendung

Fundamental switching parameters
 Paramètres fondamentaux de commutation
 Grundlegende Parameter für Schalteranwendung

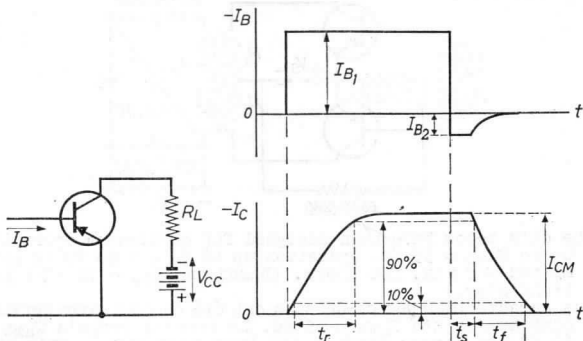
$\tau_c = \begin{cases} \text{time constant with current feed} \\ \text{constante de temps avec alimentation par courant} \\ \text{Zeitkonstante mit Stromspeisung} \end{cases}$
 $\tau_v = \begin{cases} \text{time constant with voltage feed} \\ \text{constante de temps avec alimentation par tension} \\ \text{Zeitkonstante mit Spannungsspeisung} \end{cases}$
 $\tau_s = \begin{cases} \text{desaturation time constant} \\ \text{constante de temps de désaturation} \\ \text{Entsättigungszeitkonstante} \end{cases}$

| | | | |
|----------|---|------|----------------------|
| τ_c | ($-V_{CE} = 4 V$; $-I_{CM} = 1 A$) | = 45 | < 70 μsec |
| τ_c | ($-V_{CE} = 4 V$; $-I_{CM} = 6 A$) | = 30 | < 50 μsec |
| τ_v | ($-V_{CE} = 4 V$; $-I_{CM} = 1 A$) | = 45 | < 70 μsec |
| τ_v | ($-V_{CE} = 4 V$; $-I_{CM} = 6 A$) | = 40 | < 55 μsec |
| τ_s | ($-V_{CE} = 0 V$; $-I_{BM} = 50 \text{ mA}$) | = 30 | < 50 μsec |

Operating characteristics in "on-off" switching circuits
(continued)

Caractéristiques d'utilisation dans des circuits de commutation "en circuit-hors circuit" (suite)

Betriebsdaten für "Ein-Aus"-Schalteranwendung (Fortsetzung)



Formulae for the calculation of switching times
Formules pour la calculation de temps de commutation
Formeln zur Berechnung der Schaltdauer

Rise time
Temps de montée
Anstiegszeit

$$t_r = \tau_c \ln \frac{h_{FE} |I_{B1}|}{h_{FE} |I_{B1}| - |I_{CM}|}$$

Fall time
Temps de retombée
Abfallzeit

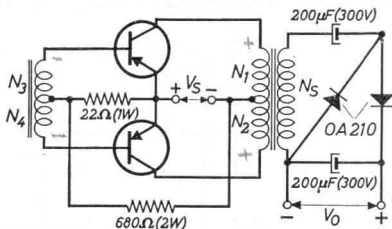
$$t_f = \tau_c \ln \left\{ 1 + \frac{|I_{CM}|}{h_{FE} |I_{B2}|} \right\}$$

Storage time
Temps d'accumulation
Speicherzeit

$$t_s = \tau_s \ln \frac{|I_{B1}| + |I_{B2}|}{\frac{|I_{CM}|}{h_{FE}} + |I_{B2}|}$$

| | | | |
|-----------|--------|-----|-----------------|
| V_{CC} | = 28 | 28 | V |
| R_L | = 28 | 4,7 | Ω |
| $-I_{CM}$ | = 1 | 6 | A |
| $-I_{B1}$ | = 70 | 480 | mA |
| I_{B2} | = 17,5 | 120 | mA |
| t_r | = 20 | 20 | μsec |
| t_s | = 15 | 15 | μsec |
| t_f | = 40 | 35 | μsec |

Operating characteristics for a D.C. converter
 Caractéristiques d'utilisation comme convertisseur à tension continue
 Betriebsdaten als Gleichspannungswandler



The data below have been designed for continuous operation up to $T_{amb} = 55^{\circ}\text{C}$. Operation up to $T_{amb} = 60^{\circ}\text{C}$ is permitted for max. 200 hours. (Based on $K_{tot} = 15^{\circ}\text{C/W}$ per transistor.)

Les caractéristiques ci-dessous ont été conçues pour service continu jusqu'à $T_{amb} = 55^{\circ}\text{C}$. Le service jusqu'à $T_{amb} = 60^{\circ}\text{C}$ est permis pendant 200 heures au max. (Admis que $K_{tot} = 15^{\circ}\text{C/W}$ pour chaque transistor.)

Die untenstehenden Daten gelten für Dauerbetrieb bis zu $T_{amb} = 55^{\circ}\text{C}$. Betrieb bis zu $T_{amb} = 60^{\circ}\text{C}$ während max. 200 Stunden ist gestattet. (Die Daten gründen sich auf $K_{tot} = 15^{\circ}\text{C/W}$ für jeden Transistor.)

See also page D
 Voir aussi page D
 Siehe also Seite D

$$V_S = 28 \text{ V}$$

$$I_S = 2,5 \text{ A}$$

$$P_S = 70 \text{ W}$$

$$V_O = 220 \text{ V}$$

$$I_O = 0,27 \text{ A}$$

$$P_O = 60 \text{ W}$$

$$\eta = 86 \%$$

$$f = 450 \text{ c/s}$$

Losses; pertes; Verluste

In the transistors
 Dans les transistors 2 x 2 W
 In den Transistoren

In the diodes
 Dans les diodes 2 x 0,3 W
 In den Dioden

In the biasing resistors
 Dans les résistances de polarisation 1,7 W
 In den Widerständen für die Vorspannung

In the transformer
 Dans le transformateur 3,7 W
 Im Transformator

Operating characteristics for a D.C. converter (continued)
 Caractéristiques d'utilisation comme convertisseur à tension
 continue (suite)
 Betriebsdaten als Gleichspannungswandler (Fortsetzung)

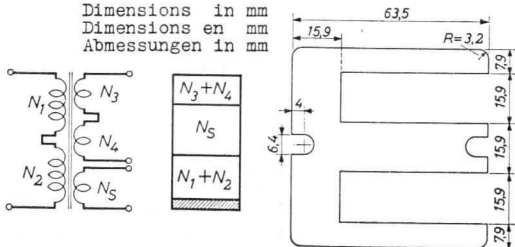
Transformer data
 Données du transformateur
 Transformator Daten

Core dimensions
 Dimensions du noyau 63,5 x 63,5 x 15 mm
 Kernabmessungen

Transformer lamination: NiFe magnetic alloy with
 rectangular hysteresis loop (Ni-50%, Fe-50%)
 Laminage du transformateur: Alliage NiFe magnétique
 avec courbe d'hystérésis rectangulaire (Ni-50 %, Fe-50 %)

Lamellierung des Transformators: magnetische NiFe-
 Legierung mit rechteckiger Hystereseschleife (50% Ni,
 50% Fe).

Dimensions in mm
 Dimensions en mm
 Abmessungen in mm



- N_1+N_2 { are bifilarly wound
 sont bobinés bifilairement
 sind bifilar gewickelt
- N_3+N_4 {
- $N_1=N_2$ = { 46 turns of enamelled copper wire, 1 mm
 46 spires de fil de cuivre émaillé, 1 mm
 46 Windungen Kupfer-Lackdraht, 1 mm
- $N_3=N_4$ = { 5 turns of enamelled copper wire, 0.5 mm
 5 spires de fil de cuivre émaillé, 0,5 mm
 5 Windungen Kupfer-Lackdraht, 0,5 mm
- N_5 = { 190 turns of enamelled copper wire, 0.5 mm
 190 spires de fil de cuivre émaillé, 0,5 mm
 190 Windungen Kupfer-Lackdraht, 0,5 mm

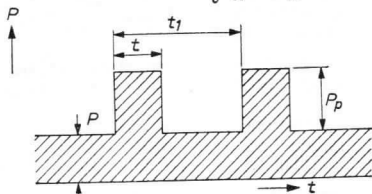
Determination of the peak power ratings

For a pulse duration, shorter than the temperature stabilisation time

$$P_p = \frac{T_{j \max} - T_{\text{amb}} - (K_{j-h} + K_h)P}{K_t + \delta \cdot K_h}$$

For a pulse duration, longer than the temperature stabilisation time

$$P_p = \frac{T_{j \max} - T_{\text{amb}}}{K_{j-h} + K_h} - P$$



t = pulse duration

t_1 = pulse period

δ = t/t_1 = duty factor

P = constant power dissipation

P_p = permissible pulse power dissipation over P

K_h = heat-sink thermal resistance (see page E)

K_t = function of t and δ (see page F)

K_{j-h^1} = value of K_t for durations longer than the temperature stabilisation time

$T_{j \max}$ = maximum permissible junction temperature

T_{amb} = ambient temperature

Temperature stabilisation time = 1 sec (see page F)

Example: to determine the peak power rating for $P = 5 \text{ W}$,
 $t = 1 \text{ msec}$, $\delta = 0.1$, $K_h = 4.25 \text{ }^\circ\text{C/W}$ and $T_{\text{amb}} = 25^\circ\text{C}$

From $t = 1 \text{ msec}$ and $\delta = 0.1$ it follows that $K_t = 0.28 \text{ }^\circ\text{C/W}$ (see page F)

$$P_p = \frac{90 - 25 - (2.0 + 4.25) \times 5}{0.28 + 0.1 \times 4.25} \approx 47.5 \text{ W}$$

¹) K_{j-h} is the thermal resistance between junction and heat sink ($K_{j-h} = 1.5 + 0.5 \text{ }^\circ\text{C/W}$, see page 3)

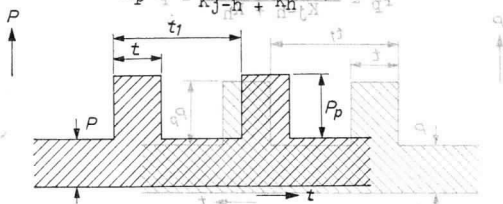
Détermination des valeurs limites des puissances de crête

Pour une durée d'impulsion, plus courte que la durée pour la stabilisation de la température

$$P_p = \frac{T_{j \max} - T_{amb} - (K_{j-h} + K_h)P}{K_t + \delta K_h}$$

Pour une durée d'impulsion, plus longue que la durée pour la stabilisation de la température

$$P_p = \frac{T_{j \max} - T_{amb} - P}{K_{j-h} + K_h}$$



- t = durée de l'impulsion
- t₁ = période de l'impulsion
- δ = t/t₁ = facteur de marche
- P = dissipation de puissance continue
- P_p = dissipation de puissance d'impulsion admissible au-dessus de P
- K_h = résistance thermique de la plaque de refroidissement (voir page E)
- K_t = fonction de t et δ (voir page F)
- K_{j-h}¹⁾ = valeur de K_t pour une durée plus longue que la durée pour la stabilisation de la température
- T_{j max} = température des jonctions maximum admissible
- T_{amb} = température ambiante

Durée pour la stabilisation de la température = 1 sec (voir page F)

Exemple: Déterminer la valeur limite de la puissance de crête pour P = 5 W, t = 1 msec, δ = 0,1, K_h = 4,25 °C/W et T_{amb} = 25 °C

Pour t = 1 msec et δ = 0,1 on peut lire de la page F que K_t = 0,28 °C/W

Il en résulte: $P_p = \frac{90 - 25 - (2,0 + 4,25) \cdot 5}{0,28 + 0,1 \cdot 4,25} \approx 47,5 \text{ W}$

¹⁾ K_{j-h} est la résistance thermique entre les jonctions et la plaque de refroidissement (K_{j-h} = 1,5 + 0,5 °C/W, voir page 3)

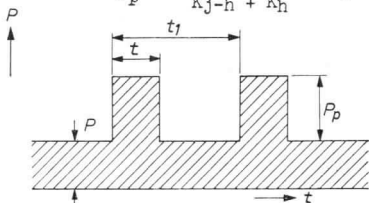
Bestimmung der Grenzwerte von Impulsleistungen

Für eine Impulsdauer, kürzer als die Zeit zur Temperaturstabilisierung ist

$$P_p = \frac{T_j \max - T_{amb} - (K_{j-h} + K_h)P}{K_t + \delta \cdot K_h}$$

Für eine Impulsdauer, länger als die Zeit zur Ausgleichung der Temperatur ist

$$P_p = \frac{T_j \max - T_{amb} - P}{K_{j-h} + K_h} - P$$



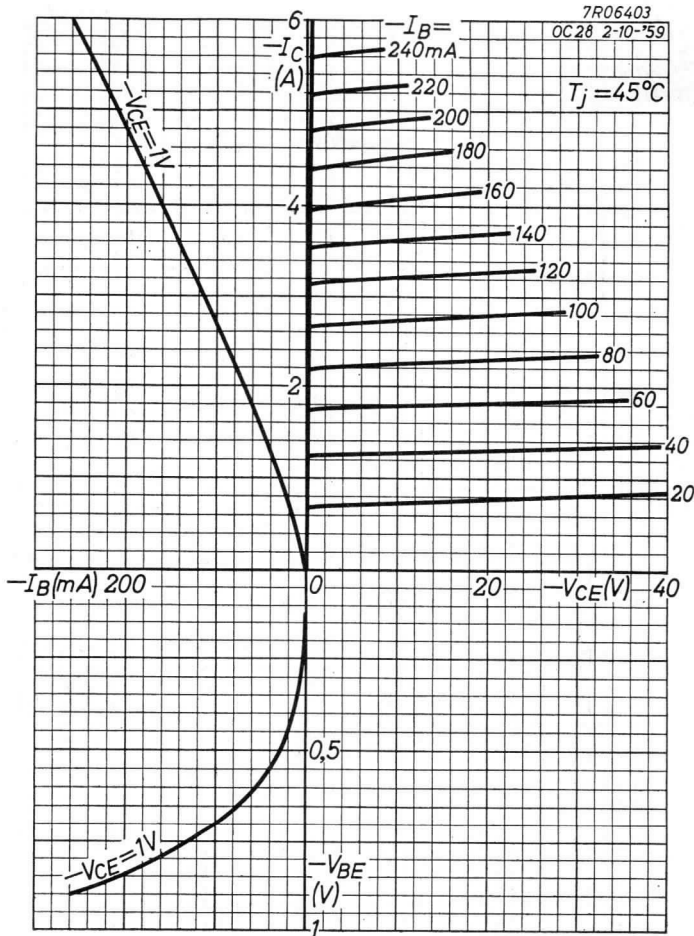
- t = Impulsdauer
- t₁ = Impulsperiode
- δ = t/t₁ = Arbeitsfaktor
- P = konstante Verlustleistung
- P_p = die über P hinaus erlaubte Impuls-Verlustleistung
- K_h = Wärmewiderstand der Kühlplatte (siehe Seite E)
- K_t = eine Funktion von t und δ (siehe Seite F)
- K_{j-h}¹⁾ = Wert von K_t für eine längere Dauer als die Zeit zur Ausgleichung der Temperatur
- T_j = max. erlaubte Kristalltemperatur
- T_{amb} = Umgebungstemperatur
- Zeit zur Ausgleichung der Temperatur = 1 Sek (siehe Seite F)

Beispiel: Der Grenzwert der Impuls-Verlustleistung zu bestimmen, wenn P = 5 W, t = 1 msec, δ = 0,1, K_h = 4,25 °C/W und T_{amb} = 25 °C

Für t = 1 msec und δ = 0,1 ist nach Seite F K_t = 0,28 °C/W

$$\text{Damit wird } P_p = \frac{90 - 25 - (2,0 + 4,25) \cdot 5}{0,28 + 0,1 \cdot 4,25} \approx 47,5 \text{ W}$$

¹⁾ K_{j-h} ist der thermische Widerstand zwischen Kristall und Kühlplatte (K_{j-h} = 1,5 + 0,5 °C/W, siehe Seite 3)

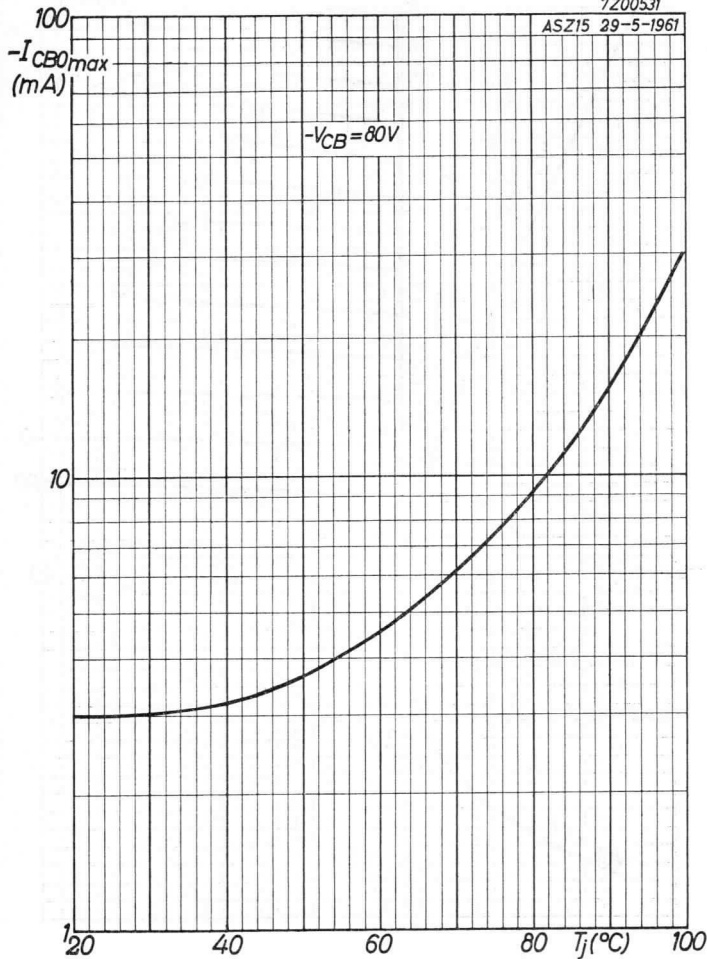


12.12.1961

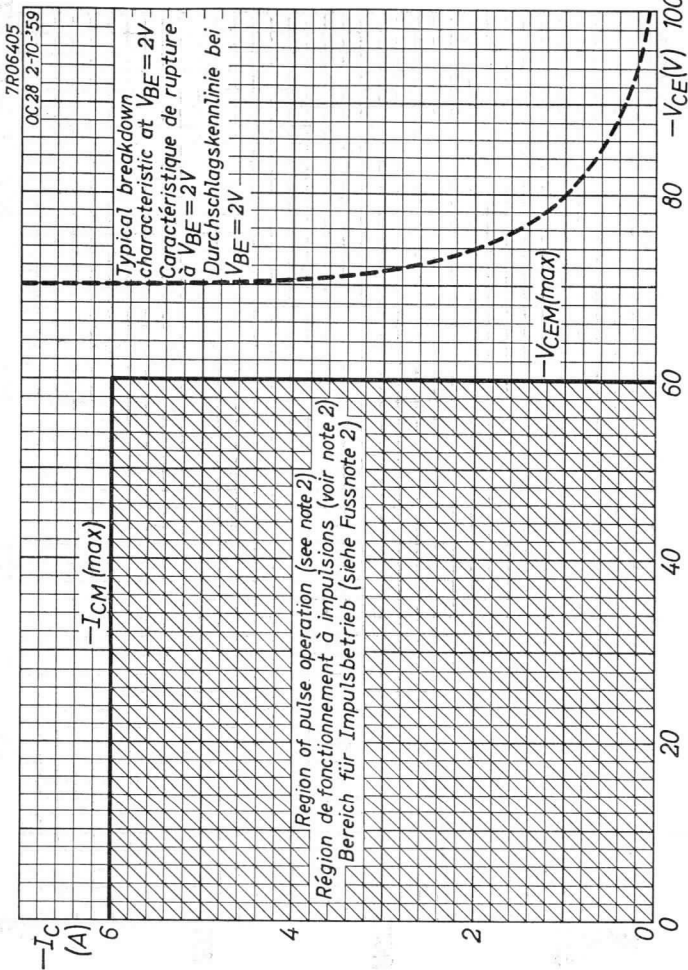
ASZ 15**PHILIPS**

7Z00531

ASZ15 29-5-1961



B

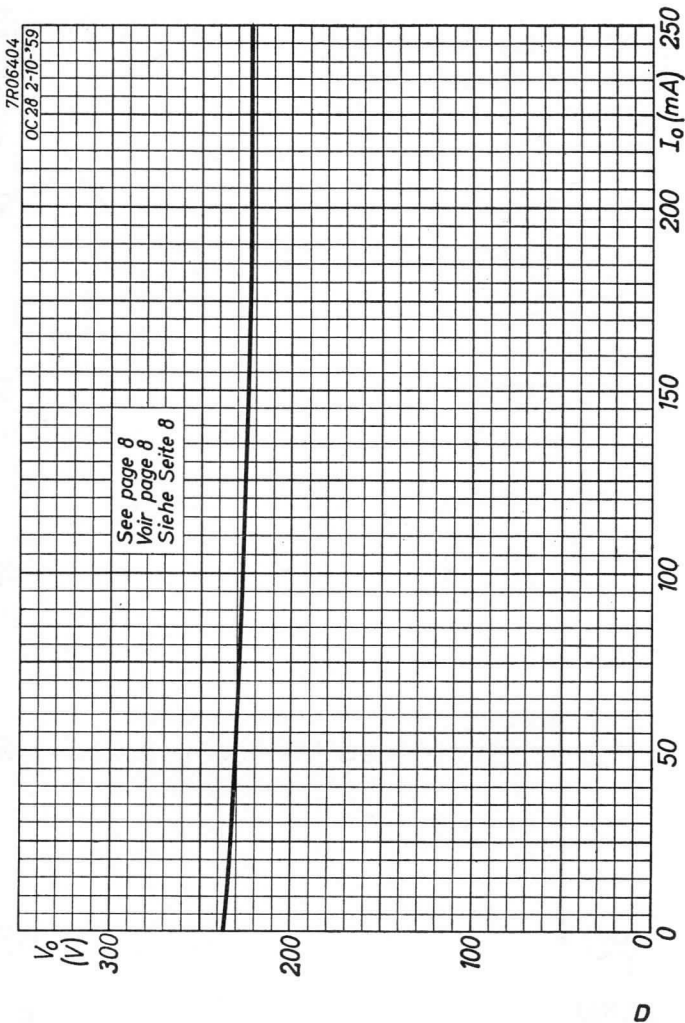


3.3.1960

c

ASZ 15

PHILIPS



7Z00209

22-7-'60

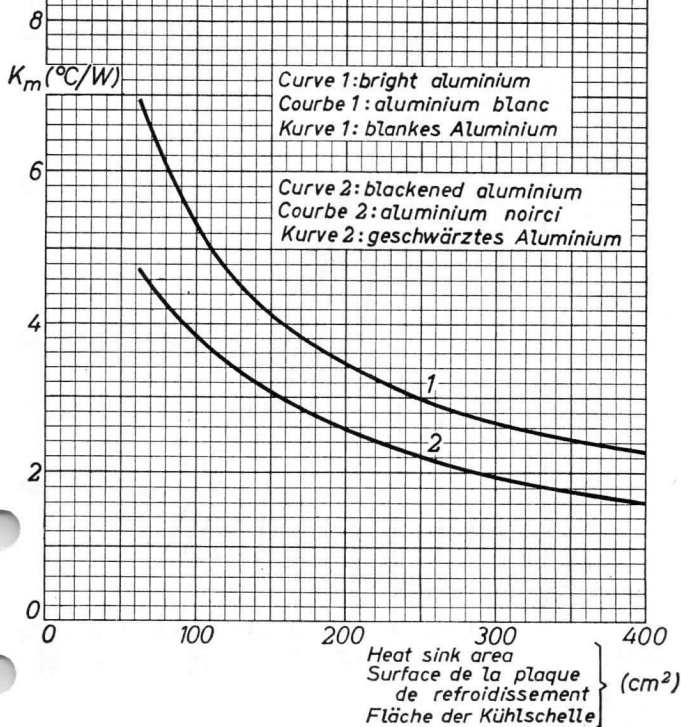
K_m = thermal resistance between transistor bottom and ambience

K_m = résistance thermique entre le fond du transistor et l'ambience

K_m = thermischer Widerstand zwischen Transistorboden und Umgebung

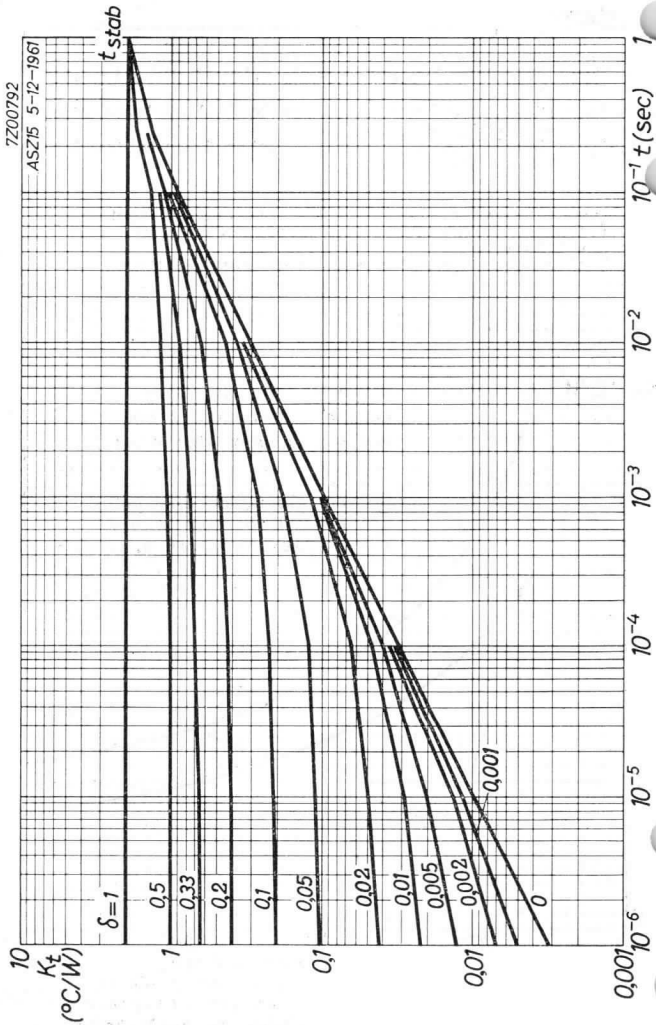
Heat sink material: 3 mm aluminium, mounted vertically
 Plaque de refroidissement: aluminium de 3 mm, montée verticalement

Kühlschelle: 3 mm-Aluminium, senkrecht montiert



ASZ15

PHILIPS



High gain GERMANIUM POWER TRANSISTOR of the p-n-p type for use in switching circuits at medium voltages and high currents

TRANSISTOR DE PUISSANCE À CRISTAL DE GERMANIUM du type p-n-p avec amplification élevée pour utilisation dans des circuits de commutation de tensions moyennes et courants élevés

p-n-p-GERMANIUM-LEISTUNGSTRANSISTOR mit grosser Verstärkung für Schalteranwendungen mit mittleren Spannungen und hohen Strömen

Limiting values (Absolute max. values)

Caractéristiques limites (Valeurs max. absolues)

Grenzdaten (Absolute Maximalwerte)

| | |
|---|-----------------------------|
| -V _{CB} | = max. 60 V ¹⁾ |
| -V _{CE} | = max. 48 V ²⁾ |
| -V _{EB} | = max. 20 V |
| -I _C | = max. 6 A |
| I _E | = max. 7,2 A |
| -I _B (t _{av} = max. 20 msec) | = max. 1 A |
| -I _{BM} | = max. 2 A |
| P _C (T _m ≤ 45 °C) | = max. 30 W ³⁾ |
| T _J { continuous operation service continu Dauerbetrieb } | = max. 90 °C |
| T _J { intermittent operation service intermittent aussetzender Betrieb } | = max. 100 °C ⁴⁾ |
| Storage temperature Température d'emmagasinage Lagerungstemperatur | = -55°C/+75 °C |

¹⁾ When switched from a thermally stable on-state with maximum junction temperature to an unstabilised cut-off, the max. voltage rating is always permissible as long as T_{amb} ≤ 55 °C and K_{tot} ≤ 9 °C/W

Dans le cas de commutation à la température max. de la jonction d'une condition "en circuit" thermiquement stable à une condition de coupure non stabilisée la valeur max. de cette tension est permise, tant que T_{amb} ≤ 55 °C et K_{tot} ≤ 9 °C/W

Wenn bei der max. Kristalltemperatur von einem thermisch stabilen "Ein"-Zustand in einen nicht stabilisierten gesperrten Zustand umgeschaltet wird, ist der max. Wert dieser Spannung immer zulässig wenn

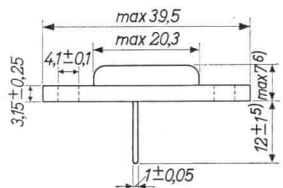
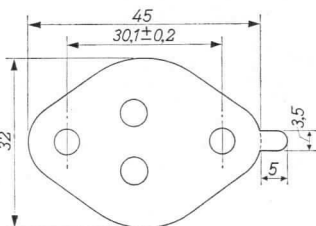
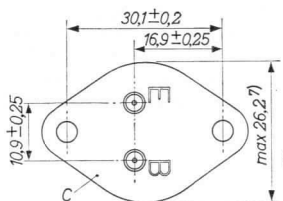
T_{amb} ≤ 55 °C und K_{tot} ≤ 9 °C/W

2)3)4) See pages 3,4; voir pages 3, 4; siehe Seite 3, 4.

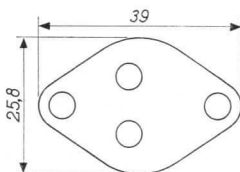
ASZ 16**PHILIPS**

Dimensions in mm
 Dimensions en mm
 Abmessungen in mm

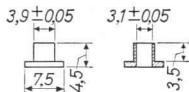
Mica insulation, 0.05 mm
 Isolement de mica, 0,05 mm
 Glimmerisolierung, 0,05 mm



Lead washer, 1 mm
 Plaque de plomb, 1 mm
 Bleischeibe, 1 mm



Insulation tubes
 Isolateurs de traversée
 Durchführungsisolatoren



5), 6), 7)

The following dimensions of a former execution differ from those stated above:

Les dimensions suivantes d'une exécution antérieure diffèrent des dimensions mentionnées ci-dessus:

Die folgenden Abmessungen einer älteren Ausführung unterscheiden sich von den obengenannten Abmessungen:

- 5) $9,5 \pm 1,2$ mm
- 6) max. 10,4 mm
- 7) max. 26,6 mm

Thermal data
Données thermiques
Thermische Daten

Junction temperature rise to transistor bottom $K_m \leq 1.5 \text{ }^\circ\text{C/W}$

Temperature rise of transistor bottom to heat sink when mounted with lead washer of 1 mm and with mica washer $K \leq 0.5 \text{ }^\circ\text{C/W}$

Augmentation de la température de la jonction par rapport au fond du transistor $K_m \leq 1,5 \text{ }^\circ\text{C/W}$

Augmentation de la température du fond du transistor par rapport à la plaque de refroidissement, lorsqu'il est monté avec une plaque de plomb de 1 mm et avec une plaque de mica $K \leq 0,5 \text{ }^\circ\text{C/W}$

Temperaturerhöhung des Kristalls in Bezug auf den Transistorboden $K_m \leq 1,5 \text{ }^\circ\text{C/W}$

Temperaturerhöhung des Transistorbodens in Bezug auf die Kühlplatte wenn der Transistor mit einer 1 mm-Bleischeibe und einer Glimmerscheibe montiert ist $K \leq 0,5 \text{ }^\circ\text{C/W}$

Page 1; Seite 1

- 2) For- $I_C > 0.5 \text{ A}$ please refer to page C. During switch-off transients higher voltages are allowed as long as an energy dissipation of 8 mWsec is not exceeded
Pour- $I_C > 0,5 \text{ A}$ voir page C. Pendant le régime transitoire après une mise hors circuit des tensions plus élevées sont admissibles tant qu'une dissipation d'énergie de 8 mWsec n'est pas surpassée
Für- $I_C > 0,5 \text{ A}$ siehe Seite C. Während der Ausgleichsvorgänge nach einer Ausschaltung sind höhere Spannungen erlaubt, wenn nur ein Energieverbrauch von 8 mWsek nicht überschritten wird

- 3) T_m = temperature of transistor bottom. At $T_m > 45 \text{ }^\circ\text{C}$,
 $P_{C_{\max}} = \frac{T_{J_{\max}} - T_m}{K_m}$, where K_m is the thermal resistance from junction to transistor bottom.

T_m = température du fond du transistor. Lorsque $T_m > 45 \text{ }^\circ\text{C}$, $P_{C_{\max}} = \frac{T_{J_{\max}} - T_m}{K_m}$, K_m est la résistance thermique de la jonction jusqu'au fond du transistor

T_m = Temperatur des Transistorbodens. Wenn $T_m > 45 \text{ }^\circ\text{C}$, ist $P_{C_{\max}} = \frac{T_{J_{\max}} - T_m}{K_m}$, wo K_m der thermische Widerstand zwischen Kristall und Transistorboden ist

Characteristics
Caractéristiques
Kenndaten

Transistor bottom temperature
Température du fond du transistor = 25 °C
Temperatur des Transistorbodens

| | | |
|--|---|--------------------|
| -ICBO (-V _{CB} = 0,5 V) | > | 0,1 mA |
| -VCE (V _{BE} = 2 V, -I _C = 0,5 A) | > | 48 V ⁸⁾ |
| -VCE (V _{BE} = 2 V, -I _C = 6 A) | > | 32 V ⁸⁾ |
| -IB (-V _{CB} = 0 V, I _E = 1 A) | > | 7,2 < 21,5 mA |
| -IB (-V _{CB} = 0 V, I _E = 6 A) | > | 73 < 165 mA |
| -VBE (-V _{CB} = 0 V, I _E = 1 A) | < | 0,8 V |
| -VBE (-V _{CB} = 0 V, I _E = 6 A) | < | 1,6 V |

Page 1; Seite 1

- 4) Total duration max. 200 hours. Likelihood of full performance of a circuit at this temperature is also dependent upon the type of application
Durée totale 200 heures au max. La probabilité de fonctionnement optimum d'un circuit à cette température est aussi dépendante du genre d'application
Gesamtdauer max. 200 Stunden. Die Wahrscheinlichkeit optimaler Wirkung einer Schaltung bei dieser Temperatur wird auch von der Verwendungsart bestimmt

- 8) Measured under pulsed conditions to prevent excessive dissipation. Care should also be taken not to exceed the maximum energy dissipation of 8 mWsec.
Mesuré avec des impulsions pour prévenir une dissipation excessive. En outre il faut veiller à ne pas dépasser la dissipation d'énergie max. de 8 mWsec.
Zur Vermeidung einer übermäßigen Verlustleistung gemessen mit Impulsen. Es soll darauf geachtet werden dass der maximale Energieverbrauch von 8 mWsek nicht überschritten wird.

Characteristics (continued)

Caractéristiques (suite)

Kenndaten (Fortsetzung)

T_m = transistor bottom temperature, = 25 °C,
unless otherwise specified

T_m = température du fond du transistor = 25 °C,
sauf indication différente

T_m = Temperatur des Transistorbodens = 25 °C,
wenn nicht anders angegeben

Column I: Setting of the transistor and typical (average) measuring results of new transistors

II: Characteristic range values for equipment design

Colonne I: Valeurs pour le réglage du transistor et les résultats moyens de mesures de transistors neufs

II: Gamme de valeurs caractéristiques pour l'étude d'équipements

Spalte I: Einstelldaten des Transistors und mittlere Messergebnisse neuer Transistoren

II: Charakteristischer Wertbereich für Gerätentwurf

| | I | II | | I | II |
|--------------------|-----|---------|---------------------|-----|---------|
| -VCB = | 14 | V | -VCB = | 6 | V |
| T_m = | 100 | °C | I_E = | 1 | A |
| -ICBO = | | < 20 mA | f_{ab} = | 250 | kc/s |
| -VCB = | 60 | V | -VCB = | 12 | V |
| T_m = | 100 | °C | I_E = | 0 | mA |
| -ICBO = | | < 30 mA | c_c = | 160 | pF |
| -VCB = | 48 | V | -V _{EB} = | 6 | V |
| I_E = | 0 | mA | I_C = | 0 | mA |
| T_m = | 100 | °C | c_e = | 165 | pF |
| -V _{EB} = | | < 0,5 V | - I_C = | 6 | A |
| V _{PT} = | 9) | > 60 V | - I_B = | 10) | |
| | | | -V _{CEK} = | 0,5 | < 1,0 V |

9) Punch through voltage
Tension de perforation
Durchschlagsspannung

10) $-I_B$ = { the value at which $-I_C = 6.6$ A when $-V_{CE} = 2$ V
la valeur à laquelle $-I_C = 6,6$ A lorsque $-V_{CE} = 2$ V
der Wert bei dem $-I_C = 6,6$ A wenn $-V_{CE} = 2$ V

Characteristics (continued)
 Caractéristiques (suite)
 Kenndaten (Fortsetzung)

$T_m = 25^\circ\text{C}$

Large signal characteristics
 Caractéristiques pour grands signaux
 Kenndaten für grosse Signale

| | I | II | |
|-------------|---|--------|---|
| $-V_{CE} =$ | 1 | | V |
| $-I_C =$ | 1 | | A |
| $h_{FE} =$ | | 45-130 | |
| $-V_{CE} =$ | 1 | | V |
| $-I_C =$ | 6 | | A |
| $h_{FE} =$ | | 35-80 | |

Operating characteristics in "on-off" switching circuits
 Caractéristiques d'utilisation dans des circuits de commutation "en circuit-hors circuit"
 Betriebsdaten für "Ein-Aus"-Schalteranwendung

Fundamental switching parameters
 Paramètres fondamentaux de commutation
 Grundlegende Parameter für Schalteranwendung

$\tau_C =$ { time constant with current feed
 constante de temps avec alimentation par courant
 Zeitkonstante mit Stromspeisung

$\tau_V =$ { time constant with voltage feed
 constante de temps avec alimentation par tension
 Zeitkonstante mit Spannungsspeisung

$\tau_S =$ { desaturation time constant
 constante de temps de désaturation
 Entsättigungszeitkonstante

$\tau_C (-V_{CE} = 4\text{ V}; -I_{CM} = 1\text{ A}) = 45 < 70\ \mu\text{sec}$

$\tau_C (-V_{CE} = 4\text{ V}; -I_{CM} = 6\text{ A}) = 30 < 50\ \mu\text{sec}$

$\tau_V (-V_{CE} = 4\text{ V}; -I_{CM} = 1\text{ A}) = 45 < 70\ \mu\text{sec}$

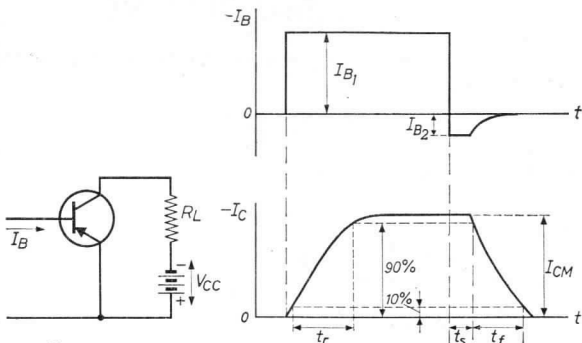
$\tau_V (-V_{CE} = 4\text{ V}; -I_{CM} = 6\text{ A}) = 40 < 55\ \mu\text{sec}$

$\tau_S (-V_{CE} = 0\text{ V}; -I_{BM} = 50\text{ mA}) = 30 < 50\ \mu\text{sec}$

Operating characteristics in "on-off" switching circuits
(continued)

Caractéristiques d'utilisation dans des circuits de commutation "en circuit-hors circuit" (suite)

Betriebsdaten für "Ein-Aus"-Schalteranwendung (Fortsetzung)



Formulae for the calculation of switching times
Formules pour la calculation de temps de commutation
Formeln zur Berechnung der Schaltdauer

Rise time

Temps de montée

Anstiegszeit

$$t_r = \tau_c \ln \frac{h_{FE} |I_{B1}|}{h_{FE} |I_{B1}| - |I_{CM}|}$$

Fall time

Temps de retombée

Abfallzeit

$$t_f = \tau_c \ln \left\{ 1 + \frac{|I_{CM}|}{h_{FE} \cdot |I_{B2}|} \right\}$$

Storage time

Temps d'accumulation

Speicherzeit

$$t_s = \tau_s \ln \frac{|I_{B1}|}{\frac{|I_{CM}|}{h_{FE}} + |I_{B2}|}$$

| | | | | |
|-----------|---|-----|-----|-----------------|
| V_{CC} | = | 14 | 14 | V |
| R_L | = | 14 | 2,3 | Ω |
| $-I_{CM}$ | = | 1 | 6 | A |
| $-I_{B1}$ | = | 35 | 260 | mA |
| I_{B2} | = | 8,7 | 65 | mA |
| t_r | = | 20 | 20 | μsec |
| t_s | = | 15 | 15 | μsec |
| t_f | = | 40 | 35 | μsec |

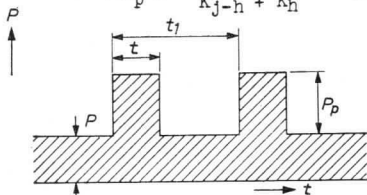
Determination of the peak power ratings

For a pulse duration, shorter than the temperature stabilisation time

$$P_p = \frac{T_{j \max} - T_{amb} - (K_{j-h} + K_h)P}{K_t + \delta K_h}$$

For a pulse duration, longer than the temperature stabilisation time

$$P_p = \frac{T_{j \max} - T_{amb}}{K_{j-h} + K_h} - P$$



t = pulse duration

t_1 = pulse period

δ = t/t_1 = duty factor

P = constant power dissipation

P_p = permissible pulse power dissipation over P

K_h = heat-sink thermal resistance (see page D)

K_t = function of t and δ (see page E)

K_{j-h}^1 = value of K_t for durations longer than the temperature stabilisation time

$T_{j \max}$ = maximum permissible junction temperature

T_{amb} = ambient temperature

Temperature stabilisation time = 1 sec (see page E)

Example: to determine the peak power rating for $P = 5$ W, $t = 1$ msec, $\delta = 0.1$, $K_h = 4.25$ °C/W and $T_{amb} = 25$ °C

From $t = 1$ msec and $\delta = 0.1$ it follows that $K_t = 0.28$ °C/W (See page E)

$$P_p = \frac{90 - 25 - (2.0 + 4.25) \times 5}{0.28 + 0.1 \times 4.25} \approx 47.5 \text{ W}$$

¹) K_{j-h} is the thermal resistance between junction and heat sink ($K_{j-h} = 1.5 + 0.5$ °C/W, see page 3)

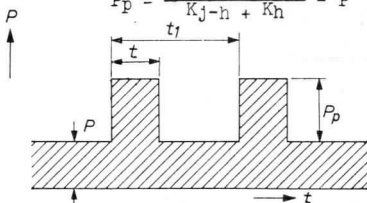
Détermination des valeurs limites des puissances de crête

Pour une durée d'impulsion, plus courte que la durée pour la stabilisation de la température

$$P_p = \frac{T_{j \max} - T_{amb} - (K_{j-h} + K_h)P}{K_t + \delta \cdot K_h}$$

Pour une durée d'impulsion, plus longue que la durée pour la stabilisation de la température

$$P_p = \frac{T_{j \max} - T_{amb}}{K_{j-h} + K_h} - P$$



- t = durée de l'impulsion
- t₁ = période de l'impulsion
- δ = t/t₁ = facteur de marche
- P = dissipation de puissance continue
- P_p = dissipation de puissance d'impulsion admissible au-dessus de P
- K_h = résistance thermique de la plaque de refroidissement (voir page D)
- K_t = fonction de t et δ (voir page E)
- K_{j-h}¹⁾ = valeur de K_t pour une durée plus longue que la durée pour la stabilisation de la température
- T_{j max} = température des jonctions maximum admissible
- T_{amb} = température ambiante
- Durée pour la stabilisation de la température = 1 sec (voir page E)

Exemple: Déterminer la valeur limite de la puissance de crête pour P = 5 W, t = 1 msec, δ = 0,1, K_h = 4,25 °C/W et T_{amb} = 25°C

Pour t = 1 msec et δ = 0,1 on peut lire de la page E que K_t = 0,28 °C/W

$$\text{Il en résulte: } P_p = \frac{90 - 25 - (2,0 + 4,25) \cdot 5}{0,28 + 0,1 \cdot 4,25} \approx 47,5 \text{ W}$$

¹⁾ K_{j-h} est la résistance thermique entre les jonctions et la plaque de refroidissement (K_{j-h} = 1,5 + 0,5 °C/W, voir page 3)

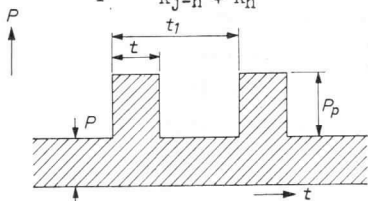
Bestimmung der Grenzwerte von Impulsleistungen

Für eine Impulsdauer, kürzer als die Zeit zur Temperaturstabilisierung ist

$$P_p = \frac{T_{j \max} - T_{amb} - (K_{j-h} + K_h)P}{K_t + \delta \cdot K_h}$$

Für eine Impulsdauer, länger als die Zeit zur Ausglei-
chung der Temperatur ist

$$P_p = \frac{T_{j \max} - T_{amb}}{K_{j-h} + K_h} \cdot P$$

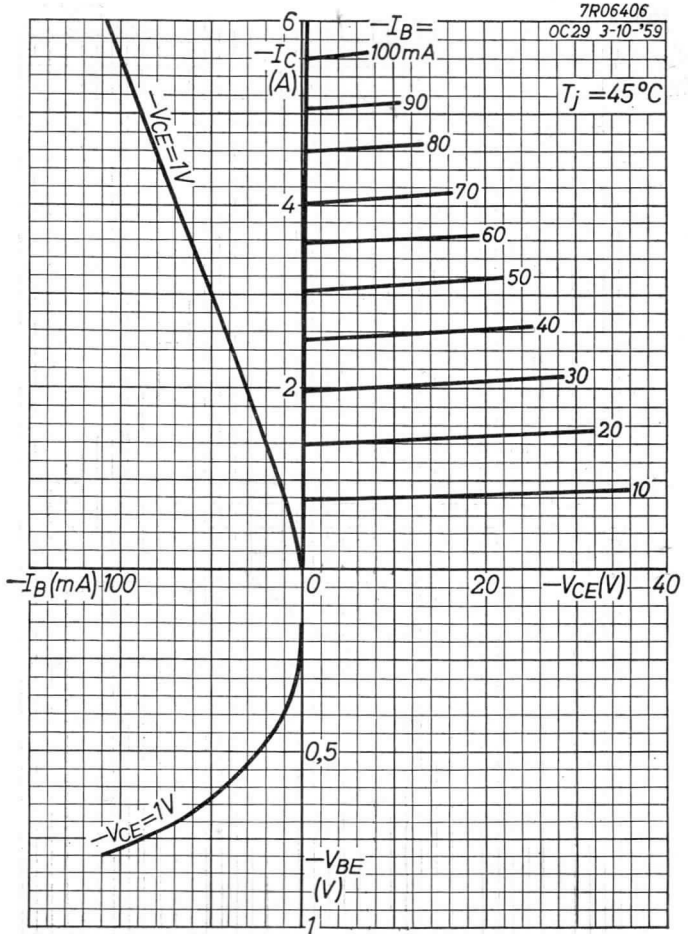


- t = Impulsdauer
- t₁ = Impulsperiode
- δ = t/t₁ = Arbeitsfaktor
- P = konstante Verlustleistung
- P_p = die über P hinaus erlaubte Impuls-Verlustleistung
- K_h = Wärmewiderstand der Kühlplatte (siehe Seite D)
- K_t = eine Funktion von t und δ (siehe Seite E)
- K_{j-h}¹⁾ = Wert von K_t für eine längere Dauer als die Zeit zur Ausglei-
chung der Temperatur
- T_{j max} = max. erlaubte Kristalltemperatur
- T_{amb} = Umgebungstemperatur
- Zeit zur Ausglei-
chung der Temperatur = 1 Sek. (siehe Seite E)

Beispiel: Der Grenzwert der Impuls-Verlustleistung zu bestimmen, wenn P = 5 W, t = 1 m , δ = 0,1, K_h = 4,25 °C/W und T_{amb} = 25 °C
Für t = 1 msec und δ = 0,1 ist nach Seite E K_t = 0,28 °C/W

$$\text{Damit wird } P_p = \frac{90 - 25 - (2,0 + 4,25) \cdot 5}{0,28 + 0,1 \cdot 4,25} \approx 47,5 \text{ W}$$

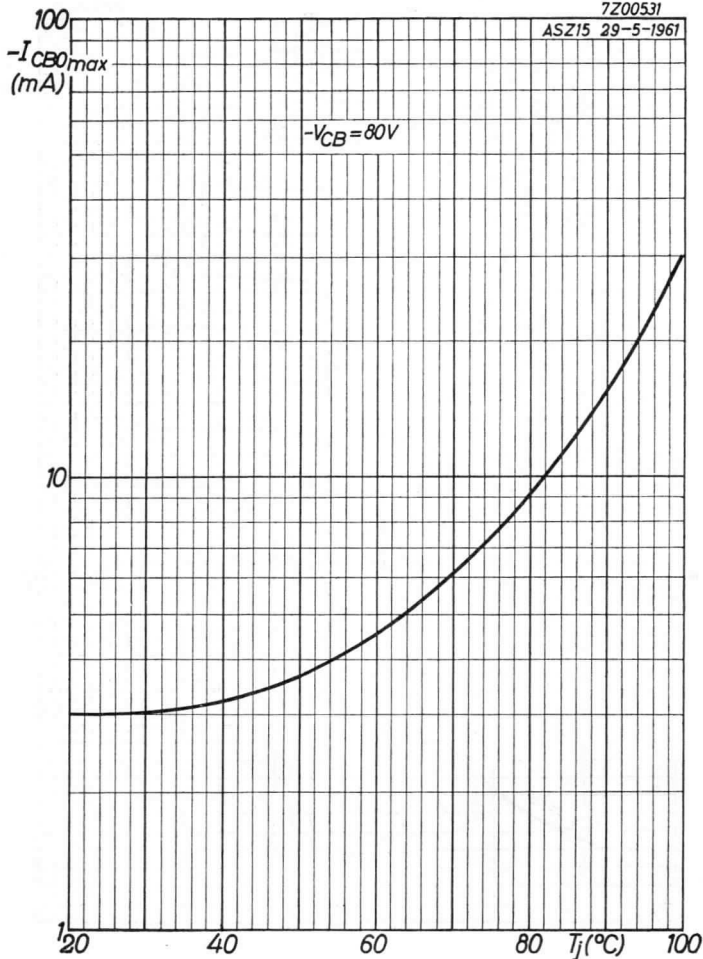
¹⁾ K_{j-h} ist der thermische Widerstand zwischen Kristall und Kühlplatte (K_{j-h} = 1,5 + 0,5 °C/W, siehe Seite 3)



ASZ 16**PHILIPS**

7Z00531

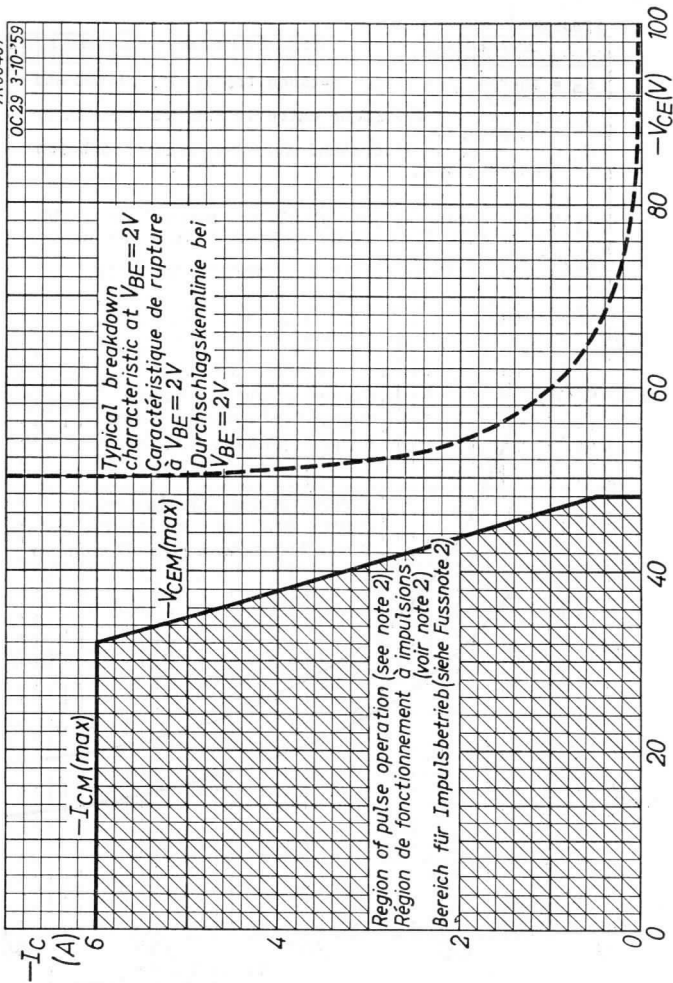
ASZ15 29-5-1961



B

7R06407

OC 29 3-10-59



Typical breakdown characteristic at $V_{BE} = 2V$
 Caractéristique de rupture à $V_{BE} = 2V$
 Durchschlagskennlinie bei $V_{BE} = 2V$

Region of pulse operation (see note 2)
 Région de fonctionnement à impulsions (voir note 2)
 Bereich für Impulsbetrieb (siehe Fussnote 2)

ASZ16**PHILIPS**

7Z00209

22-7-'60

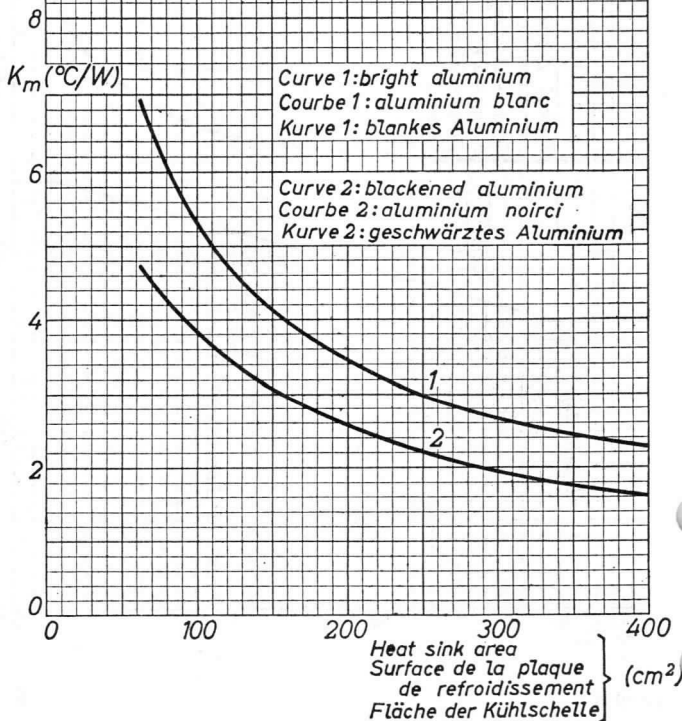
K_m = thermal resistance between transistor bottom and
 ambience

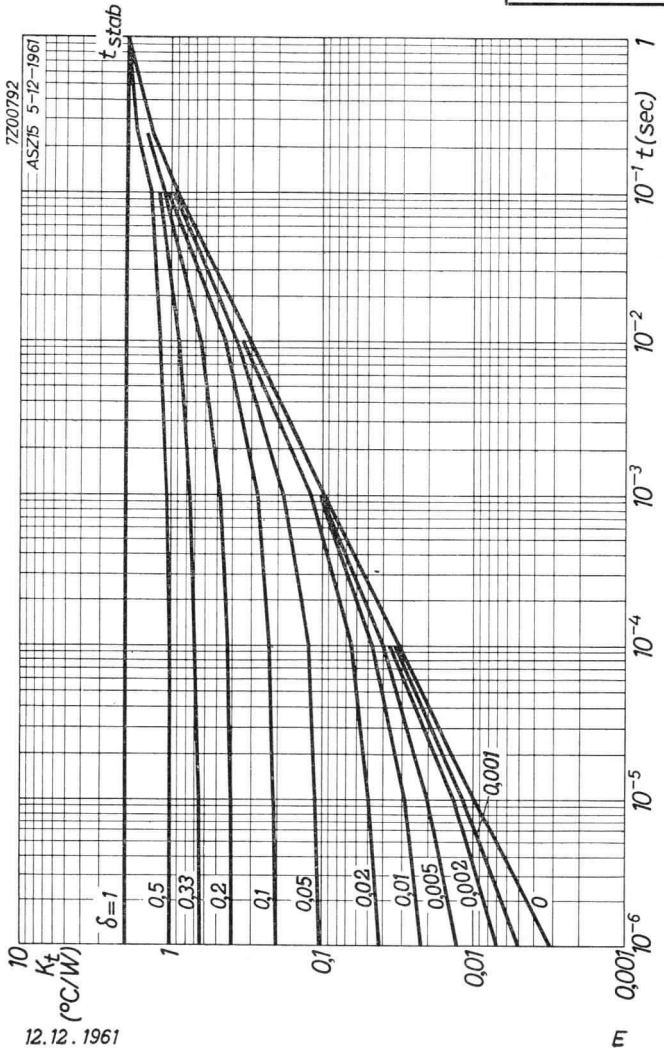
K_m = résistance thermique entre le fond du transistor
 et l'ambiance

K_m = thermischer Widerstand zwischen Transistorboden
 und Umgebung

Heat sink material: 3 mm aluminium, mounted vertically
 Plaque de refroidissement: aluminium de 3 mm, montée
 verticalement

Kühlschelle: 3 mm-Aluminium, senkrecht montiert





12.12.1961

11

613

PLANNING



Low spread medium gain GERMANIUM POWER TRANSISTOR of the p-n-p type for use in switching circuits at medium voltages and high currents

TRANSISTOR DE PUISSANCE À CRISTAL DE GERMANIUM du type p-n-p avec dispersion faible et amplification moyenne pour l'utilisation dans des circuits de commutation de tensions moyennes et courants élevés

p-n-p-GERMANIUM-LEISTUNGSTRANSISTOR mit geringer Streuung und mittlerer Verstärkung für Schalteranwendungen mit mittleren Spannungen und hohen Strömen

Limiting values (Absolute max. values)

Caractéristiques limites (Valeurs max. absolues)

Grenzdaten (Absolute Maximalwerte)

| | |
|---|--|
| -VCB | = max. 60 V ¹⁾ |
| -VCE | = max. 48 V ²⁾ |
| -VEB | = max. 20 V |
| -IC | = max. 6 A |
| IE | = max. 7,2 A |
| -IB ($t_{av} = \text{max. } 20 \text{ msec}$) | = max. 1 A |
| -IBM | = max. 2 A |
| PC ($T_m \leq 45 \text{ }^\circ\text{C}$) | = max. 30 W ³⁾ |
| Tj { continuous operation service continu Dauerbetrieb } | = max. 90 $^\circ\text{C}$ |
| Tj { intermittent operation service intermittent aussetzender Betrieb } | = max. 100 $^\circ\text{C}$ ⁴⁾ |
| Storage temperature Température d'emmagasinage Lagerungstemperatur | = -55 $^\circ\text{C}$ /+75 $^\circ\text{C}$ |

¹⁾ When switched from a thermally stable on-state with maximum junction temperature to an unstabilised cut-off, the max. voltage rating is always permissible as long as $T_{amb} \leq 55 \text{ }^\circ\text{C}$ and $K_{tot} \leq 9 \text{ }^\circ\text{C/W}$

Dans le cas de commutation à la température max. de la jonction d'une condition "en circuit" thermiquement stable à une condition de coupure non stabilisée la valeur max. de cette tension est permise, tant que $T_{amb} \leq 55 \text{ }^\circ\text{C}$ et $K_{tot} \leq 9 \text{ }^\circ\text{C/W}$

Wenn bei der max. Kristalltemperatur von einem thermisch stabilen "Ein"-Zustand in einen nicht stabilisierten gesperrten Zustand umgeschaltet wird, ist der max. Wert dieser Spannung immer zulässig wenn

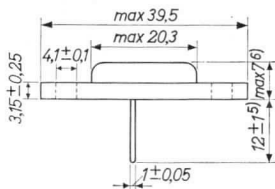
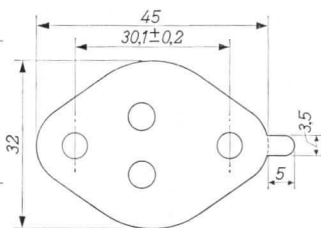
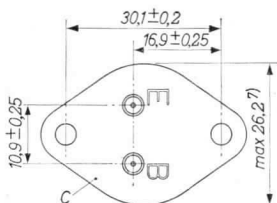
$T_{amb} \leq 55 \text{ }^\circ\text{C}$ und $K_{tot} \leq 9 \text{ }^\circ\text{C/W}$

²⁾³⁾⁴⁾ See pages 3,4; voir pages 3,4; siehe Seite 3,4.

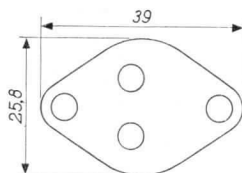
ASZ 17**PHILIPS**

Dimensions in mm
 Dimensions en mm
 Abmessungen in mm

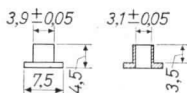
Mica insulation, 0,05 mm
 Isolement de mica, 0,05 mm
 Glimmerisolierung, 0,05 mm



Lead washer, 1 mm
 Plaque de plomb, 1 mm
 Bleischeibe, 1 mm



Insulation tubes
 Isolateurs de traversée
 Durchführungsisolatoren



5) 6) 7)

The following dimensions of a former execution differ from those stated above:

Les dimensions suivantes d'une exécution antérieure diffèrent des dimensions mentionnées ci-dessus:

Die folgenden Abmessungen einer älteren Ausführung unterscheiden sich von den obengenannten Abmessungen:

5) $9,5 \pm 1,2$ mm

6) max. 10,4 mm

7) max. 26,6 mm

Thermal data
Données thermiques
Thermische Daten

| | |
|--|--|
| Junction temperature rise to transistor bottom | $K_m \leq 1.5 \text{ } ^\circ\text{C/W}$ |
| Temperature rise of transistor bottom to heat sink when mounted with lead washer of 1 mm and with mica washer | $K \leq 0.5 \text{ } ^\circ\text{C/W}$ |
| Augmentation de la température de la jonction par rapport au fond du transistor | $K_m \leq 1,5 \text{ } ^\circ\text{C/W}$ |
| Augmentation de la température du fond du transistor par rapport à la plaque de refroidissement, lorsqu'il est monté avec une plaque de plomb de 1 mm et avec une plaque de mica | $K \leq 0,5 \text{ } ^\circ\text{C/W}$ |
| Temperaturerhöhung des Kristalls in Bezug auf den Transistorboden | $K_m \leq 1,5 \text{ } ^\circ\text{C/W}$ |
| Temperaturerhöhung des Transistorbodens in Bezug auf die Kühlplatte wenn der Transistor mit einer 1 mm-Bleischeibe und einer Glimmerscheibe montiert ist | $K \leq 0,5 \text{ } ^\circ\text{C/W}$ |

Page 1; Seite 1

- 2) For- $I_C > 0.5 \text{ A}$ please refer to page C. During switch-off transients higher voltages are allowed as long as an energy dissipation of 8 mWsec is not exceeded
 Pour- $I_C > 0,5 \text{ A}$ voir page C. Pendant le régime transitoire après une mise hors circuit des tensions plus élevées sont admissibles tant qu'une dissipation d'énergie de 8 mWsec n'est pas surpassée
 Für- $I_C > 0,5 \text{ A}$ siehe Seite C. Während der Ausgleichsvorgänge nach einer Ausschaltung sind höhere Spannungen erlaubt, wenn nur ein Energieverbrauch von 8 mWsek nicht überschritten wird

- 3) T_m = temperature of transistor bottom. At $T_m > 45 \text{ } ^\circ\text{C}$,
 $P_{Cmax} = \frac{T_{Jmax} - T_m}{K_m}$, where K_m is the thermal resistance from junction to transistor bottom.

T_m = température du fond du transistor. Lorsque $T_m > 45 \text{ } ^\circ\text{C}$, $P_{Cmax} = \frac{T_{Jmax} - T_m}{K_m}$, K_m est la résistance thermique de la jonction jusqu'au fond du transistor

T_m = Temperatur des Transistorbodens. Wenn $T_m > 45 \text{ } ^\circ\text{C}$, ist $P_{Cmax} = \frac{T_{Jmax} - T_m}{K_m}$, wo K_m der thermische Widerstand zwischen Kristall und Transistorboden ist

Characteristics
 Caractéristiques
 Kenndaten

Transistor bottom temperature
 Température du fond du transistor = 25 °C
 Temperatur des Transistorbodens

| | | | |
|--|-------|-------|-----------------|
| -ICBO (-V _{CB} = 0,5 V) | | | < 0,1 mA |
| -V _{CE} (V _{BE} = 2 V, -I _C = 0,5 A) | > 48 | | V ⁸⁾ |
| -V _{CE} (V _{BE} = 2 V, -I _C = 6 A) | > 32 | | V ⁸⁾ |
| -I _B (-V _{CB} = 0 V, I _E = 1 A) | > 13 | < 38 | mA |
| -I _B (-V _{CB} = 0 V, I _E = 6 A) | > 130 | < 285 | mA |
| -V _{BE} (-V _{CB} = 0 V, I _E = 1 A) | | | < 0,8 V |
| -V _{BE} (-V _{CB} = 0 V, I _E = 6 A) | > 0,4 | | < 1,4 V |

Page 1; Seite 1

- 4) Total duration max. 200 hours. Likelihood of full performance of a circuit at this temperature is also dependent upon the type of application
 Durée totale 200 heures au max. La probabilité de fonctionnement optimum d'un circuit à cette température est aussi dépendante du genre d'application
 Gesamtdauer max. 200 Stunden. Die Wahrscheinlichkeit optimaler Wirkung einer Schaltung bei dieser Temperatur wird auch von der Verwendungsart bestimmt
- 8) Measured under pulsed conditions to prevent excessive dissipation. Care should also be taken not to exceed the maximum energy dissipation of 8 mWsec.
 Mesuré avec des impulsions pour prévenir une dissipation excessive. En outre il faut veiller à ne pas dépasser la dissipation d'énergie max. de 8 mWsec.
 Zur Vermeidung einer übermäßigen Verlustleistung gemessen mit Impulsen. Es soll darauf geachtet werden dass der maximale Energieverbrauch von 8 mWsek nicht überschritten wird.

Characteristics (continued)
 Caractéristiques (suite)
 Kenndaten (Fortsetzung)

T_m = transistor bottom temperature, = 25 °C,
 unless otherwise specified
 T_m = température du fond du transistor = 25 °C,
 sauf indication différente
 T_m = Temperatur des Transistorbodens = 25 °C,
 wenn nicht anders angegeben

Column I: Setting of the transistor and typical (average)
 measuring results of new transistors
 II: Characteristic range values for equipment design
 Colonne I: Valeurs pour le réglage du transistor et les
 résultats moyens de mesures de transistors neufs
 II: Gamme de valeurs caractéristiques pour l'étude
 d'équipements
 Spalte I: Einstelldaten des Transistors und mittlere Mess-
 ergebnisse neuer Transistoren
 II: Charakteristischer Wertbereich für Gerätentwurf

| | I | II | | I | II |
|---------|-----|---------|------------|-----|---------|
| -VCB = | 14 | V | -VCB = | 6 | V |
| T_m = | 100 | °C | I_E = | 1 | A |
| -ICBO = | | < 20 mA | f_{ab} = | 250 | kc/s |
| -VCB = | 60 | V | -VCB = | 12 | V |
| T_m = | 100 | °C | I_E = | 0 | mA |
| -ICBO = | | < 30 mA | τ_c = | 160 | pF |
| -VCB = | 48 | V | -VEB = | 6 | V |
| I_E = | 0 | mA | I_C = | 0 | mA |
| T_m = | 100 | °C | c_e = | 165 | pF |
| -VEB = | | < 0,5 V | -IC = | 6 | A |
| VPT = | 9) | > 60 V | -IB = | 10) | |
| | | | -VCEK = | 0,5 | < 1,0 V |

9) Punch through voltage
 Tension de perforation
 Durchschlagsspannung

10) $-I_B$ = { the value at which $-I_C = 6.6$ A when $-V_{CE} = 2$ V
 la valeur à laquelle $-I_C = 6,6$ A lorsque $-V_{CE} = 2$ V
 der Wert bei dem $-I_C = 6,6$ A wenn $-V_{CE} = 2$ V

Characteristics (continued)
 Caractéristiques (suite)
 Kenndaten (Fortsetzung)

$T_m = 25^\circ\text{C}$

Large signal characteristics
 Caractéristiques pour grands signaux
 Kenndaten für grosse Signale

| | I | II | |
|-------------|---|-------|---|
| $-V_{CE} =$ | 1 | | V |
| $-I_C =$ | 1 | | A |
| $h_{FE} =$ | | 25-75 | |
| $-V_{CE} =$ | 1 | | V |
| $-I_C =$ | 6 | | A |
| $h_{FE} =$ | | 20-45 | |

Operating characteristics in "on-off" switching circuits
 Caractéristiques d'utilisation dans des circuits de commutation "en circuit-hors circuit"
 Betriebsdaten für "Ein-Aus"-Schalteranwendung

Fundamental switching parameters
 Paramètres fondamentaux de commutation
 Grundlegende Parameter für Schalteranwendung

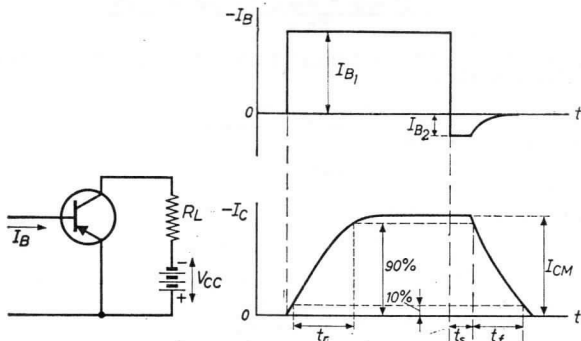
- $\tau_C =$ { time constant with current feed
 constante de temps avec alimentation par courant
 Zeitkonstante mit Stromspeisung
 $\tau_V =$ { time constant with voltage feed
 constante de temps avec alimentation par tension
 Zeitkonstante mit Spannungsspeisung
 $\tau_S =$ { desaturation time constant
 constante de temps de désaturation
 Entsättigungszeitkonstante

| | | | |
|----------|--|------|----------------------|
| τ_C | ($-V_{CE} = 4\text{ V}; -I_{CM} = 1\text{ A}$) | = 45 | < 70 μsec |
| τ_C | ($-V_{CE} = 4\text{ V}; -I_{CM} = 6\text{ A}$) | = 30 | < 50 μsec |
| τ_V | ($-V_{CE} = 4\text{ V}; -I_{CM} = 1\text{ A}$) | = 45 | < 70 μsec |
| τ_V | ($-V_{CE} = 4\text{ V}; -I_{CM} = 6\text{ A}$) | = 40 | < 55 μsec |
| τ_S | ($-V_{CE} = 0\text{ V}; -I_{BM} = 50\text{ mA}$) | = 30 | < 50 μsec |

Operating characteristics in "on-off" switching circuits
(continued)

Caractéristiques d'utilisation dans des circuits de commutation "en circuit-hors circuit" (suite)

Betriebsdaten für "Ein-Aus"-Schalteranwendung (Fortsetzung)



Formulae for the calculation of switching times
Formules pour la calculation de temps de commutation
Formeln zur Berechnung der Schaltdauer

Rise time
Temps de montée
Anstiegszeit

$$t_r = \tau_c \ln \frac{h_{FE} \cdot |I_{B1}|}{h_{FE} \cdot |I_{B1}| - |I_{CM}|}$$

Fall time
Temps de retombée
Abfallzeit

$$t_f = \tau_c \ln \left\{ 1 + \frac{|I_{CM}|}{h_{FE} \cdot |I_{B2}|} \right\}$$

Storage time
Temps d'accumulation
Speicherzeit

$$t_s = \tau_s \ln \frac{\frac{|I_{B1}|}{h_{FE}} + \frac{|I_{B2}|}{h_{FE}}}{\frac{|I_{CM}|}{h_{FE}} + |I_{B2}|}$$

| | | |
|-----------|--------|--------------|
| V_{CC} | = 14 | 14 V |
| R_L | = 14 | 2,3 Ω |
| $-I_{CM}$ | = 1 | 6 A |
| $-I_{B1}$ | = 55 | 400 mA |
| I_{B2} | = 13,7 | 100 mA |
| t_r | = 20 | 20 μ sec |
| t_s | = 15 | 15 μ sec |
| t_f | = 40 | 35 μ sec |

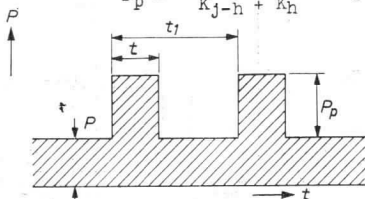
Determination of the peak power ratings

For a pulse duration, shorter than the temperature stabilisation time

$$P_p = \frac{T_{j \max} - T_{amb} - (K_{j-h} + K_h)P}{K_t + \delta K_h}$$

For a pulse duration, longer than the temperature stabilisation time

$$P_p = \frac{T_{j \max} - T_{amb}}{K_{j-h} + K_h} - P$$



t = pulse duration

t_1 = pulse period

δ = t/t_1 = duty factor

P = constant power dissipation

P_p = permissible pulse power dissipation over P

K_h = heat-sink thermal resistance (see page D)

K_t = function of t and δ (see page E)

K_{j-h}^1) = value of K_t for durations longer than the temperature stabilisation time

$T_{j \max}$ = maximum permissible junction temperature

T_{amb} = ambient temperature

Temperature stabilisation time = 1 sec (see page E)

Example: to determine the peak power rating for $P = 5$ W, $t = 1$ msec, $\delta = 0.1$, $K_h = 4.25$ °C/W and $T_{amb} = 25$ °C. From $t = 1$ msec and $\delta = 0.1$ it follows that $K_t = 0.28$ °C/W (See page E)

$$P_p = \frac{90 - 25 - (2.0 + 4.25) \times 5}{0.28 + 0.1 \times 4.25} \approx 47.5 \text{ W}$$

¹⁾ K_{j-h} is the thermal resistance between junction and heat sink ($K_{j-h} = 1.5 + 0.5$ °C/W, see page 3)

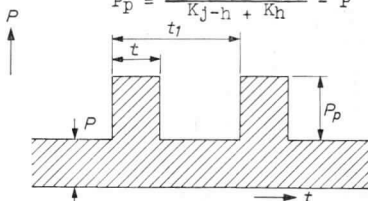
Détermination des valeurs limites des puissances de crête

Pour une durée d'impulsion, plus courte que la durée pour la stabilisation de la température

$$P_p = \frac{T_{j \max} - T_{amb} - (K_{j-h} + K_h)P}{K_t + \delta \cdot K_h}$$

Pour une durée d'impulsion, plus longue que la durée pour la stabilisation de la température

$$P_p = \frac{T_{j \max} - T_{amb}}{K_{j-h} + K_h} - P$$



- t = durée de l'impulsion
- t₁ = période de l'impulsion
- δ = t/t₁ = facteur de marche
- P = dissipation de puissance continue
- P_p = dissipation de puissance d'impulsion admissible au-dessus de P
- K_h = résistance thermique de la plaque de refroidissement (voir page D)
- K_t = fonction de t et δ (voir page E)
- K_{j-h}¹⁾ = valeur de K_t pour une durée plus longue que la durée pour la stabilisation de la température
- T_{j max} = température des jonctions maximum admissible
- T_{amb} = température ambiante
- Durée pour la stabilisation de la température = 1 sec (voir page E)

Exemple: Déterminer la valeur limite de la puissance de crête pour P = 5 W, t = 1 msec, δ = 0,1, K_h = 4,25 °C/W et T_{amb} = 25°C

Pour t = 1 msec et δ = 0,1 on peut lire de la page E que K_t = 0,28 °C/W

$$\text{Il en résulte: } P_p = \frac{90 - 25 - (2,0 + 4,25) \cdot 5}{0,28 + 0,1 \cdot 4,25} \approx 47,5 \text{ W}$$

1) K_{j-h} est la résistance thermique entre les jonctions et la plaque de refroidissement (K_{j-h} = 1,5 + 0,5 °C/W, voir page 3)

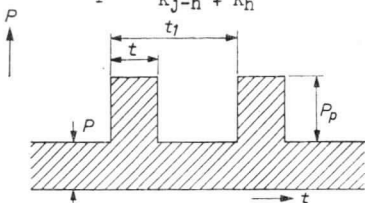
Bestimmung der Grenzwerte von Impulsleistungen

Für eine Impulsdauer, kürzer als die Zeit zur Temperaturstabilisierung ist

$$P_p = \frac{T_{j \max} - T_{amb} - (K_{j-h} + K_h)P}{K_t + \delta \cdot K_h}$$

Für eine Impulsdauer, länger als die Zeit zur Ausglei-
chung der Temperatur ist

$$P_p = \frac{T_{j \max} - T_{amb} - p}{K_{j-h} + K_h}$$



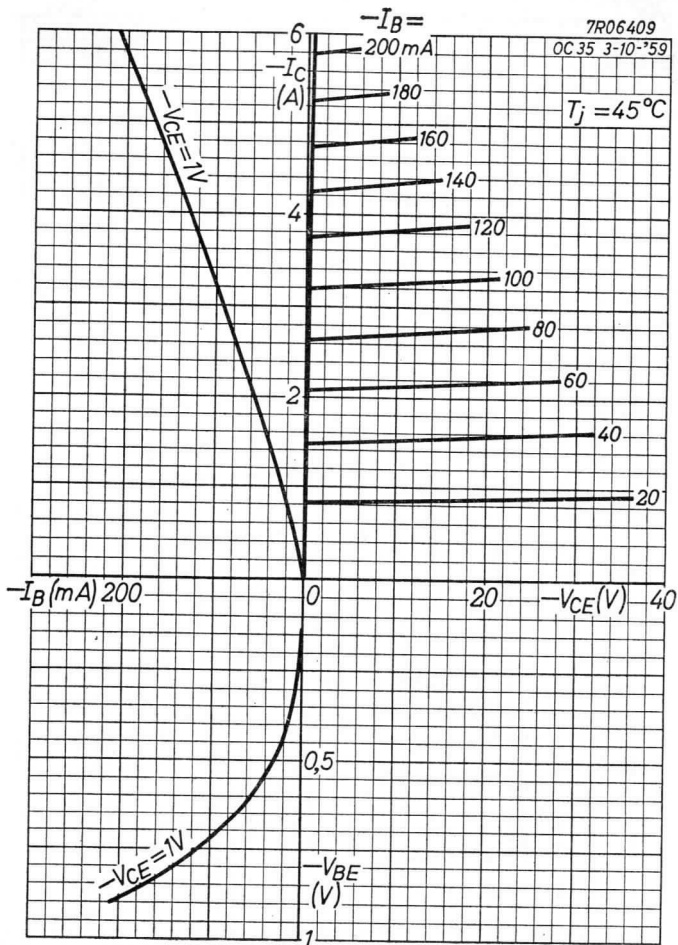
- t = Impulsdauer
- t₁ = Impulsperiode
- δ = t/t₁ = Arbeitsfaktor
- P = konstante Verlustleistung
- P_p = die über P hinaus erlaubte Impuls-Verlustleistung
- K_h = Wärmewiderstand der Kühlplatte (siehe Seite D)
- K_t = eine Funktion von t und δ (siehe Seite E)
- K_{j-h}¹⁾ = Wert von K_t für eine längere Dauer als die Zeit zur Ausglei-
chung der Temperatur
- T_{j max} = max. erlaubte Kristalltemperatur
- T_{amb} = Umgebungstemperatur
- Zeit zur Ausglei-
chung der Temperatur = 1 Sek. (siehe Seite E)

Beispiel: Der Grenzwert der Impuls-Verlustleistung zu bestimmen, wenn P = 5 W, t = 1 m, δ = 0,1, K_h = 4,25 °C/W und T_{amb} = 25 °C

Für t = 1 msec und δ = 0,1 ist nach Seite E
K_t = 0,28 °C/W

$$\text{Damit wird } P_p = \frac{90 - 25 - (2,0 + 4,25) \cdot 5}{0,28 + 0,1 \cdot 4,25} \approx 47,5 \text{ W}$$

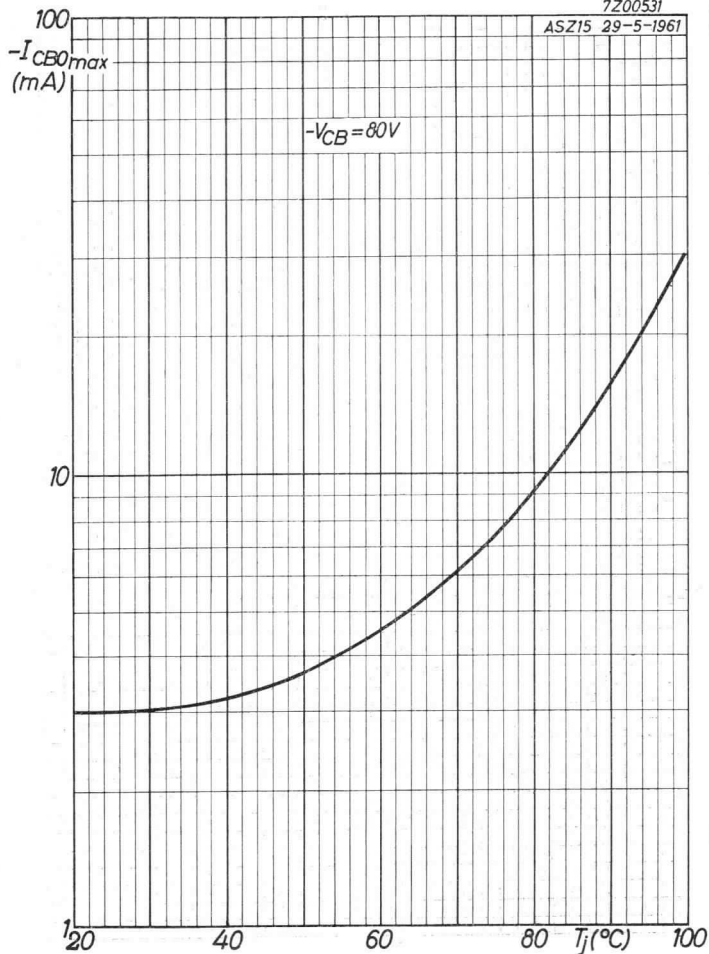
¹⁾ K_{j-h} ist der thermische Widerstand zwischen Kristall und Kühlplatte (K_{j-h} = 1,5 + 0,5 °C/W, siehe Seite 3)



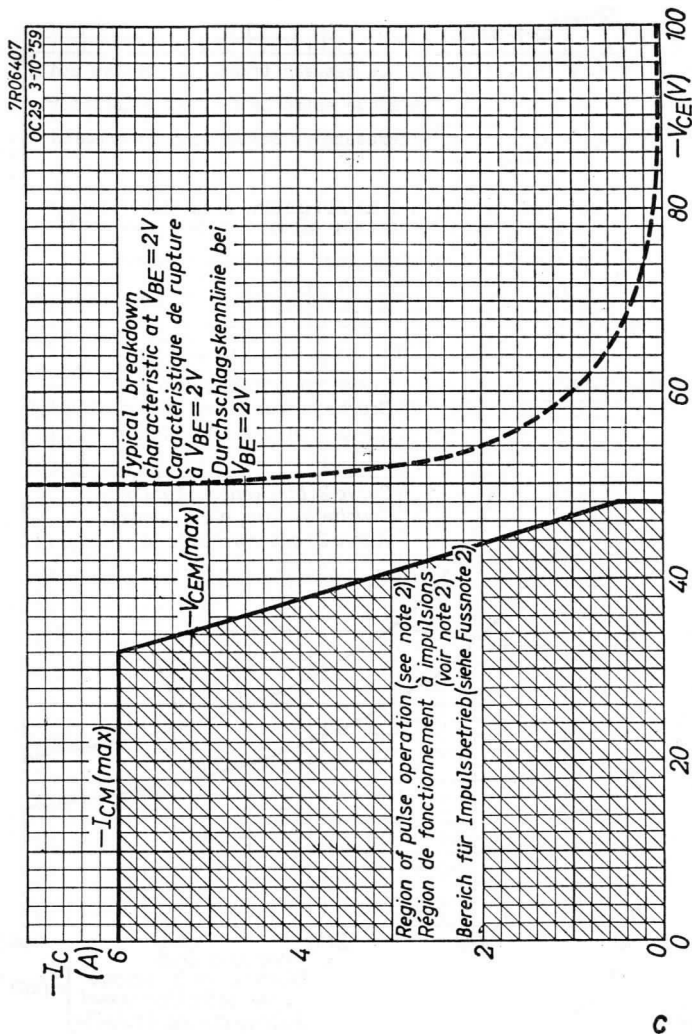
ASZ 17**PHILIPS**

7Z00531

ASZ15 29-5-1961



PHILIPS B



ASZ17**PHILIPS**

7Z00209

22-7-'60

K_m = thermal resistance between transistor bottom and ambience

K_m = résistance thermique entre le fond du transistor et l'ambience

K_m = thermischer Widerstand zwischen Transistorboden und Umgebung

Heat sink material: 3 mm aluminium, mounted vertically
 Plaque de refroidissement: aluminium de 3 mm, montée verticalement

Kühlschelle: 3 mm-Aluminium, senkrecht montiert

 K_m (°C/W)

Curve 1: bright aluminium
 Courbe 1: aluminium blanc
 Kurve 1: blankes Aluminium

Curve 2: blackened aluminium
 Courbe 2: aluminium noirci
 Kurve 2: geschwärztes Aluminium

8

6

4

2

0

0

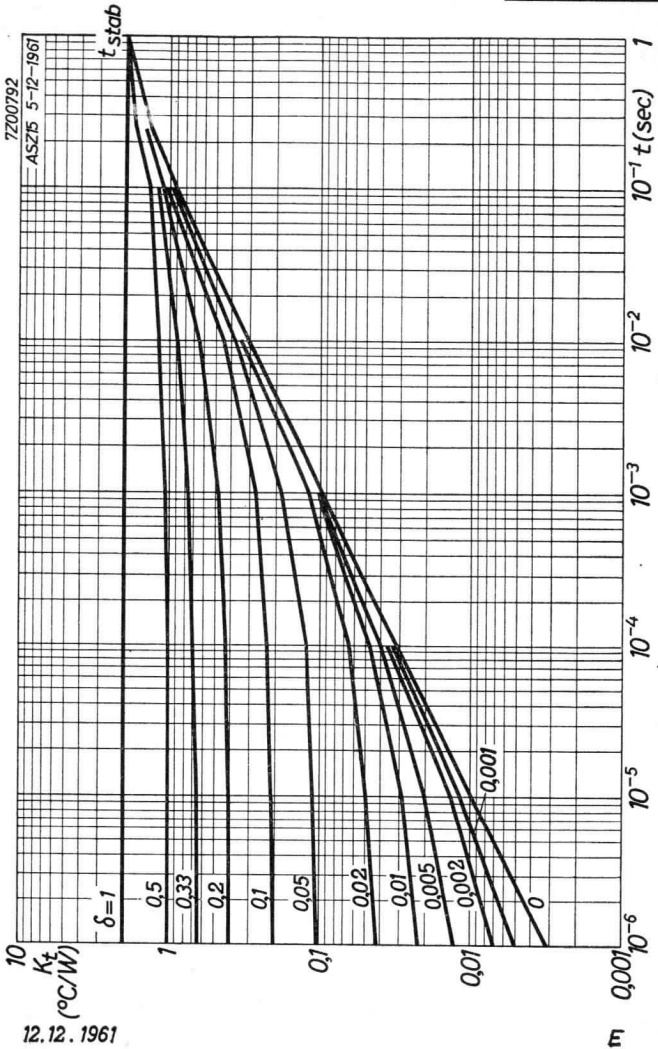
100

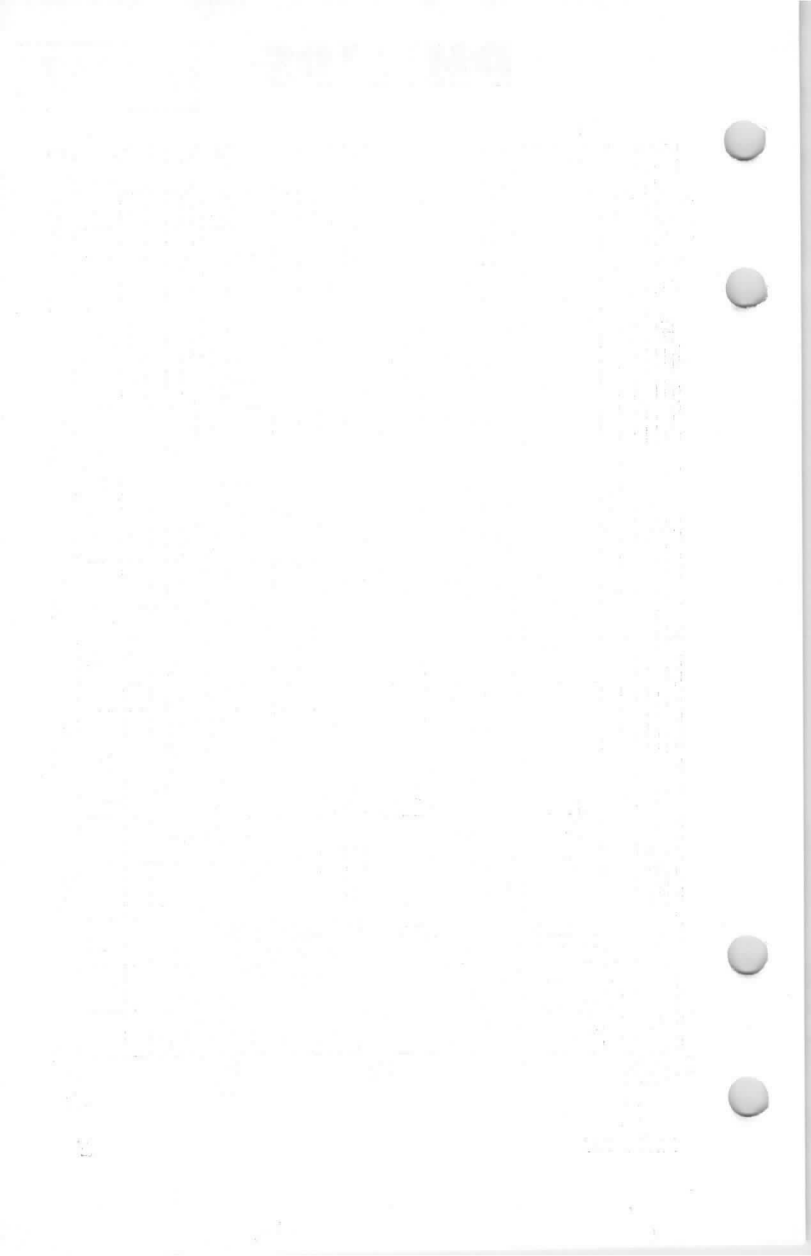
200

300

400

Heat sink area
 Surface de la plaque
 de refroidissement
 Fläche der Kühlschelle } (cm²)





High gain GERMANIUM POWER TRANSISTOR of the p-n-p type for use in switching circuits at high voltages and currents
 TRANSISTOR DE PUISSANCE À CRISTAL DE GERMANIUM du type p-n-p avec amplification élevée pour l'utilisation dans des circuits de commutation de tensions et courants élevés
 p-n-p-GERMANIUM-LEISTUNGSTRANSISTOR mit grosser Verstärkung für Schalteranwendungen mit hohen Spannungen und Strömen

Limiting values (Absolute max. values)

Caractéristiques limites (Valeurs max. absolues)

Grenzdaten (Absolute Maximalwerte)

| | | | |
|----------------|---|--------|----------------------|
| | -V _{CB} | = max. | 80 V ¹⁾ |
| | -V _{CE} | = max. | 60 V ²⁾ |
| | -V _{EB} | = max. | 40 V |
| | -I _C | = max. | 6 A |
| | I _E | = max. | 7,2 A |
| | -I _B (t _{av} = max. 20 msec) | = max. | 1 A |
| | -I _{BM} | = max. | 2 A |
| | P _C (T _m ≤ 45 °C) | = max. | 30 W ³⁾ |
| T _j | { continuous operation service continu Dauerbetrieb } | = max. | 90 °C |
| T _j | { intermittent operation service intermittent aussetzender Betrieb } | = max. | 100 °C ⁴⁾ |
| | Storage temperature Température d'emmagasinage = -55°C/+75 °C Lagerungstemperatur | | |

¹⁾ When switched from a thermally stable on-state with maximum junction temperature to an unstabilised cut-off, the max. voltage rating is always permissible as long as T_{amb} ≤ 55 °C and K_{tot} ≤ 9 °C/W

Dans le cas de commutation à la température max. de la jonction d'une condition "en circuit" thermiquement stable à une condition de coupure non stabilisée la valeur max. de cette tension est permise, tant que T_{amb} ≤ 55 °C et K_{tot} ≤ 9 °C/W

Wenn bei der max. Kristalltemperatur von einem thermisch stabilen "Ein"-Zustand in einen nicht stabilisierten gesperrten Zustand umgeschaltet wird, ist der max. Wert dieser Spannung immer zulässig wenn

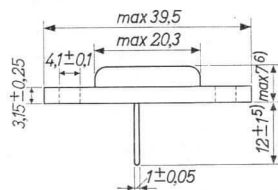
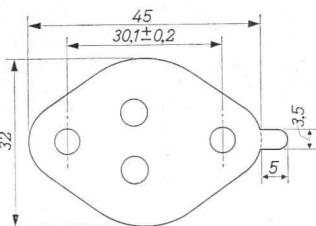
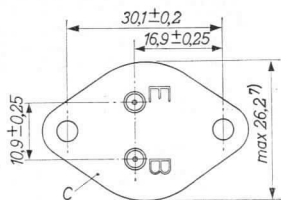
T_{amb} ≤ 55 °C und K_{tot} ≤ 9 °C/W

²⁾³⁾⁴⁾ See pages 3,4; voir pages 3,4; siehe Seite 3,4.

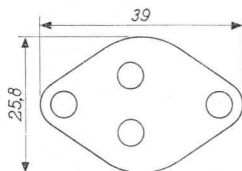
ASZ 18**PHILIPS**

Dimensions in mm
 Dimensions en mm
 Abmessungen in mm

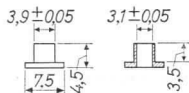
Mica insulation, 0,05 mm
 Isolement de mica, 0,05 mm
 Glimmerisolierung, 0,05 mm



Lead washer, 1 mm
 Plaque de plomb, 1 mm
 Bleischeibe, 1 mm



Insulation tubes
 Isolateurs de traversée
 Durchführungsisolatoren



5) 6) 7)

The following dimensions of a former execution differ from those stated above:

Les dimensions suivantes d'une exécution antérieure diffèrent des dimensions mentionnées ci-dessus:

Die folgenden Abmessungen einer älteren Ausführung unterscheiden sich von den obengenannten Abmessungen:

5) $9,5 \pm 1,2$ mm

6) max. 10,4 mm

7) max. 26,6 mm

Thermal data
Données thermiques
Thermische Daten

| | |
|--|--|
| Junction temperature rise to transistor bottom | $K_m \leq 1.5 \text{ } ^\circ\text{C/W}$ |
| Temperature rise of transistor bottom to heat sink when mounted with lead washer of 1 mm and with mica washer | $K \leq 0.5 \text{ } ^\circ\text{C/W}$ |
| Augmentation de la température de la jonction par rapport au fond du transistor | $K_m \leq 1,5 \text{ } ^\circ\text{C/W}$ |
| Augmentation de la température du fond du transistor par rapport à la plaque de refroidissement, lorsqu'il est monté avec une plaque de plomb de 1 mm et avec une plaque de mica | $K \leq 0,5 \text{ } ^\circ\text{C/W}$ |
| Temperaturerhöhung des Kristalls in Bezug auf den Transistorboden | $K_m \leq 1,5 \text{ } ^\circ\text{C/W}$ |
| Temperaturerhöhung des Transistorbodens in Bezug auf die Kühlplatte wenn der Transistor mit einer 1 mm-Bleischeibe und einer Glimmerscheibe montiert ist | $K \leq 0,5 \text{ } ^\circ\text{C/W}$ |

Page 1; Seite 1

- 2) For $I_C > 0.5 \text{ A}$ please refer to page C. During switch-off transients higher voltages are allowed as long as an energy dissipation of 8 mWsec is not exceeded.
Pour $I_C > 0,5 \text{ A}$ voir page C. Pendant le régime transitoire après une mise hors circuit des tensions plus élevées sont admissibles tant qu'une dissipation d'énergie de 8 mWsec n'est pas surpassée.
Für $I_C > 0,5 \text{ A}$ siehe Seite C. Während der Ausgleichsvorgänge nach einer Ausschaltung sind höhere Spannungen erlaubt, wenn nur ein Energieverbrauch von 8 mWsek nicht überschritten wird.

- 3) T_m = temperature of transistor bottom. At $T_m > 45 \text{ } ^\circ\text{C}$,
 $P_{C_{\max}} = \frac{T_{j_{\max}} - T_m}{K_m}$, where K_m is the thermal resistance from junction to transistor bottom.

T_m = température du fond du transistor. Lorsque $T_m > 45 \text{ } ^\circ\text{C}$, $P_{C_{\max}} = \frac{T_{j_{\max}} - T_m}{K_m}$, K_m est la résistance thermique de la jonction jusqu'au fond du transistor

T_m = Temperatur des Transistorbodens. Wenn $T_m > 45 \text{ } ^\circ\text{C}$, ist $P_{C_{\max}} = \frac{T_{j_{\max}} - T_m}{K_m}$, wo K_m der thermische Widerstand zwischen Kristall und Transistorboden ist

Characteristics
Caractéristiques
Kenndaten

Transistor bottom temperature
Température du fond du transistor = 25 °C
Temperatur des Transistorbodens

| | | |
|--|--------|------------------------|
| $-I_{CBO} (-V_{CB} = 0,5 \text{ V})$ | | $< 0,1 \text{ mA}$ |
| $-V_{CE} (V_{BE} = 2 \text{ V}; -I_C = 0,5 \text{ A})$ | > 60 | $\text{V}^{\text{8)}}$ |
| $-V_{CE} (V_{BE} = 2 \text{ V}; -I_C = 6 \text{ A})$ | > 32 | $\text{V}^{\text{8)}}$ |
| $-I_B (-V_{CB} = 0 \text{ V}; I_E = 1 \text{ A})$ | > 9 | $< 33 \text{ mA}$ |
| $-I_B (-V_{CB} = 0 \text{ V}; I_E = 6 \text{ A})$ | > 90 | $< 285 \text{ mA}$ |
| $-V_{BE} (-V_{CB} = 0 \text{ V}; I_E = 1 \text{ A})$ | | $< 0,8 \text{ V}$ |
| $-V_{BE} (-V_{CB} = 0 \text{ V}; I_E = 6 \text{ A})$ | | $< 1,6 \text{ V}$ |

Page 1; Seite 1

- 4) Total duration max. 200 hours. Likelihood of full performance of a circuit at this temperature is also dependent upon the type of application
Durée totale 200 heures au max. La probabilité de fonctionnement optimum d'un circuit à cette température est aussi dépendante du genre d'application
Gesamtdauer max. 200 Stunden. Die Wahrscheinlichkeit optimaler Wirkung einer Schaltung bei dieser Temperatur wird auch von der Verwendungsart bestimmt

- 8) Measured under pulsed conditions to prevent excessive dissipation. Care should also be taken not to exceed the maximum energy dissipation of 8 mWsec.
Mesuré avec des impulsions pour prévenir une dissipation excessive. En outre il faut veiller à ne pas dépasser la dissipation d'énergie max. de 8 mWsec.
Zur Vermeidung einer übermäßigen Verlustleistung gemessen mit Impulsen. Es soll darauf geachtet werden dass der maximalen Energieverbrauch von 8 mWsek nicht überschritten wird

Characteristics (continued)
 Caractéristiques (suite)
 Kenndaten (Fortsetzung)

T_m = transistor bottom temperature = 25 °C,
 unless otherwise specified
 T_m = température du fond du transistor = 25 °C,
 sauf indication différente
 T_m = Temperatur des Transistorbodens = 25 °C,
 wenn nicht anders angegeben

Column I: Setting of the transistor and typical (average) measuring results of new transistors
 II: Characteristic range values for equipment design
 Colonne I: Valeurs pour le réglage du transistor et les résultats moyens de mesures de transistors neufs
 II: Gamme de valeurs caractéristiques pour l'étude d'équipements
 Spalte I: Einstelldaten des Transistors und mittlere Messergebnisse neuer Transistoren.
 II: Charakteristischer Wertbereich für Gerätentwurf

| | I | II | | I | II |
|------------|-------|---------|----------------|-------|---------|
| $-V_{CB}$ | = 14 | V | $-V_{CB}$ | = 6 | V |
| T_m | = 100 | °C | I_E | = 1 | A |
| $-I_{CBO}$ | = | < 20 mA | $f_{\alpha b}$ | = 250 | kc/s |
| $-V_{CB}$ | = 80 | V | $-V_{CB}$ | = 12 | V |
| T_m | = 100 | °C | I_E | = 0 | mA |
| $-I_{CBO}$ | = | < 30 mA | c_c | = 160 | pF |
| $-V_{CB}$ | = 60 | V | $-V_{EB}$ | = 6 | V |
| I_E | = 0 | mA | I_C | = 0 | mA |
| T_m | = 100 | °C | c_e | = 165 | pF |
| $-V_{EB}$ | = | < 0,5 V | $-I_C$ | = 6 | A |
| V_{PT} | = 9) | > 80 V | $-I_B$ | = 10) | |
| | | | $-V_{CEK}$ | = 0,5 | < 1,0 V |

9) Punch through voltage
 Tension de perforation
 Durchschlagsspannung

10) $-I_B$ = { the value at which $-I_C = 6.6$ A when $-V_{CE} = 2$ V
 la valeur à laquelle $-I_C = 6,6$ A lorsque $-V_{CE} = 2$ V
 der Wert bei dem $-I_C = 6,6$ A wenn $-V_{CE} = 2$ V

Characteristics (continued) $T_m = 25\text{ }^\circ\text{C}$
 Caractéristiques (suite)
 Kenndaten (Fortsetzung)

Large signal characteristics
 Caractéristiques pour grands signaux
 Kenndaten für grosse Signale

| | I | II | |
|-------------|---|--------|---|
| $-V_{CE} =$ | 1 | | V |
| $-I_C =$ | 1 | | A |
| $h_{FE} =$ | | 30-110 | |
| $-V_{CE} =$ | 1 | | V |
| $-I_C =$ | 6 | | A |
| $h_{FE} =$ | | 20-65 | |

Operating characteristics in "on-off" switching circuits
 Caractéristiques d'utilisation dans des circuits de commutation "en circuit-hors circuit"
 Betriebsdaten für "Ein-Aus"-Schalteranwendung

Fundamental switching parameters
 Paramètres fondamentaux de commutation
 Grundlegende Parameter für Schalteranwendung

$\tau_c =$ { time constant with current feed
 constante de temps avec alimentation par courant
 Zeitkonstante mit Stromspeisung

$\tau_v =$ { time constant with voltage feed
 Constante de temps avec alimentation par tension
 Zeitkonstante mit Spannungsspeisung

$\tau_s =$ { desaturation time constant
 constante de temps de désaturation
 Entsättigungszeitkonstante

$\tau_c (-V_{CE} = 4\text{ V}; -I_{CM} = 1\text{ A}) = 45 < 70\text{ }\mu\text{sec}$

$\tau_c (-V_{CE} = 4\text{ V}; -I_{CM} = 6\text{ A}) = 30 < 50\text{ }\mu\text{sec}$

$\tau_v (-V_{CE} = 4\text{ V}; -I_{CM} = 1\text{ A}) = 45 < 70\text{ }\mu\text{sec}$

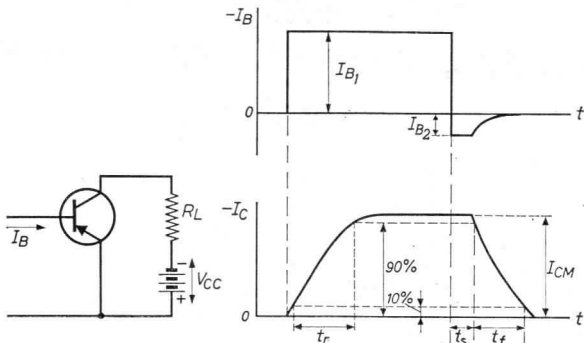
$\tau_v (-V_{CE} = 4\text{ V}; -I_{CM} = 6\text{ A}) = 40 < 55\text{ }\mu\text{sec}$

$\tau_s (-V_{CE} = 0\text{ V}; -I_{BM} = 50\text{ mA}) = 30 < 50\text{ }\mu\text{sec}$

Operating characteristics in "on-off" switching circuits
(continued)

Caractéristiques d'utilisation dans des circuits de commutation "en circuit-hors circuit" (suite)

Betriebsdaten für "Ein-Aus"-Schalteranwendung (Fortsetzung)



Formulae for the calculation of switching times
Formules pour la calculation de temps de commutation
Formeln zur Berechnung der Schaltdauer

Rise time
Temps de montée
Anstiegszeit

$$t_r = \tau_c \ln \frac{h_{FE} |I_{B1}|}{h_{FE} |I_{B1}| - |I_{CM}|}$$

Fall time
Temps de retombée
Abfallzeit

$$t_f = \tau_c \ln \left\{ 1 + \frac{|I_{CM}|}{h_{FE} |I_{B2}|} \right\}$$

Storage time
Temps d'accumulation
Speicherzeit

$$t_s = \tau_s \ln \frac{|I_{B1}|}{\frac{|I_{CM}|}{h_{FE}} + |I_{B2}|}$$

| | | | |
|--------|------|-----|------|
| VCC = | 28 | 28 | V |
| RL = | 28 | 4,7 | Ω |
| -ICM = | 1 | 6 | A |
| -IB1 = | 50 | 400 | mA |
| IB2 = | 12,5 | 100 | mA |
| tr = | 20 | 20 | μsec |
| ts = | 15 | 15 | μsec |
| tf = | 40 | 35 | μsec |

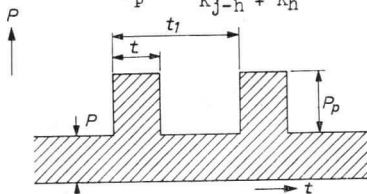
Determination of the peak power ratings

For a pulse duration, shorter than the temperature stabilisation time

$$P_p = \frac{T_{j \max} - T_{amb} - (K_{j-h} + K_h)P}{K_t + \delta K_h}$$

For a pulse duration, longer than the temperature stabilisation time

$$P_p = \frac{T_{j \max} - T_{amb}}{K_{j-h} + K_h} - P$$



- t = pulse duration
- t_1 = pulse period
- δ = t/t_1 = duty factor
- P = constant power dissipation
- P_p = permissible pulse power dissipation over P
- K_h = heat-sink thermal resistance (see page D)
- K_t = function of t and δ (see page E)
- $K_{j-h}^{(1)}$ = value of K_t for durations longer than the temperature stabilisation time
- $T_{j \max}$ = maximum permissible junction temperature
- T_{amb} = ambient temperature
- Temperature stabilisation time = 1 sec (see page E)

Example: to determine the peak power rating for $P = 5$ W, $t = 1$ msec, $\delta = 0.1$, $K_h = 4.25$ °C/W and $T_{amb} = 25$ °C

From $t = 1$ msec and $\delta = 0.1$ it follows that $K_t = 0.28$ °C/W (See page E)

$$P_p = \frac{90 - 25 - (2.0 + 4.25) \times 5}{0.28 + 0.1 \times 4.25} \approx 47.5 \text{ W}$$

¹⁾ K_{j-h} is the thermal resistance between junction and heat sink ($K_{j-h} = 1.5 + 0.5$ °C/W, see page 3)

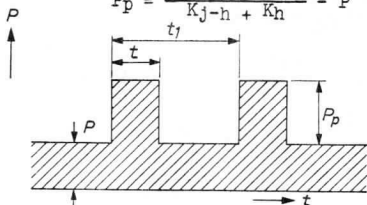
Détermination des valeurs limites des puissances de crête

Pour une durée d'impulsion, plus courte que la durée pour la stabilisation de la température

$$P_p = \frac{T_{j \max} - T_{amb} - (K_{j-h} + K_h)P}{K_t + \delta \cdot K_h}$$

Pour une durée d'impulsion, plus longue que la durée pour la stabilisation de la température

$$P_p = \frac{T_{j \max} - T_{amb}}{K_{j-h} + K_h} - P$$



- t = durée de l'impulsion
- t_1 = période de l'impulsion
- δ = t/t_1 = facteur de marche
- P = dissipation de puissance continue
- P_p = dissipation de puissance d'impulsion admissible au-dessus de P
- K_h = résistance thermique de la plaque de refroidissement (voir page D)
- K_t = fonction de t et δ (voir page E)
- K_{j-h}^1 = valeur de K_t pour une durée plus longue que la durée pour la stabilisation de la température
- $T_{j \max}$ = température des jonctions maximum admissible
- T_{amb} = température ambiante
- Durée pour la stabilisation de la température = 1 sec (voir page E)

Exemple: Déterminer la valeur limite de la puissance de crête pour $P = 5 \text{ W}$, $t = 1 \text{ msec}$, $\delta = 0,1$, $K_h = 4,25 \text{ }^\circ\text{C/W}$ et $T_{amb} = 25^\circ\text{C}$

Pour $t = 1 \text{ msec}$ et $\delta = 0,1$ on peut lire de la page E que $K_t = 0,28 \text{ }^\circ\text{C/W}$

Il en résulte:
$$P_p = \frac{90 - 25 - (2,0 + 4,25) \cdot 5}{0,28 + 0,1 \cdot 4,25} \approx 47,5 \text{ W}$$

¹⁾ K_{j-h} est la résistance thermique entre les jonctions et la plaque de refroidissement ($K_{j-h} = 1,5 + 0,5 \text{ }^\circ\text{C/W}$, voir page 3)

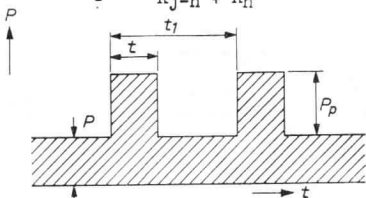
Bestimmung der Grenzwerte von Impulsleistungen

Für eine Impulsdauer, kürzer als die Zeit zur Temperaturstabilisierung ist

$$P_p = \frac{T_j \max - T_{amb} - (K_{j-h} + K_h)P}{K_t + \delta \cdot K_h}$$

Für eine Impulsdauer, länger als die Zeit zur Ausgleichung der Temperatur ist

$$P_p = \frac{T_j \max - T_{amb}}{K_{j-h} + K_h} - P$$



t = Impulsdauer

t₁ = Impulsperiode

δ = t/t₁ = Arbeitsfaktor

P = konstante Verlustleistung

P_p = die über P hinaus erlaubte Impuls-Verlustleistung

K_h = Wärmewiderstand der Kühlplatte (siehe Seite D)

K_t = eine Funktion von t und δ (siehe Seite E)

K_{j-h}¹⁾ = Wert von K_t für eine längere Dauer als die Zeit zur Ausgleichung der Temperatur

T_{j max} = max. erlaubte Kristalltemperatur

T_{amb} = Umgebungstemperatur

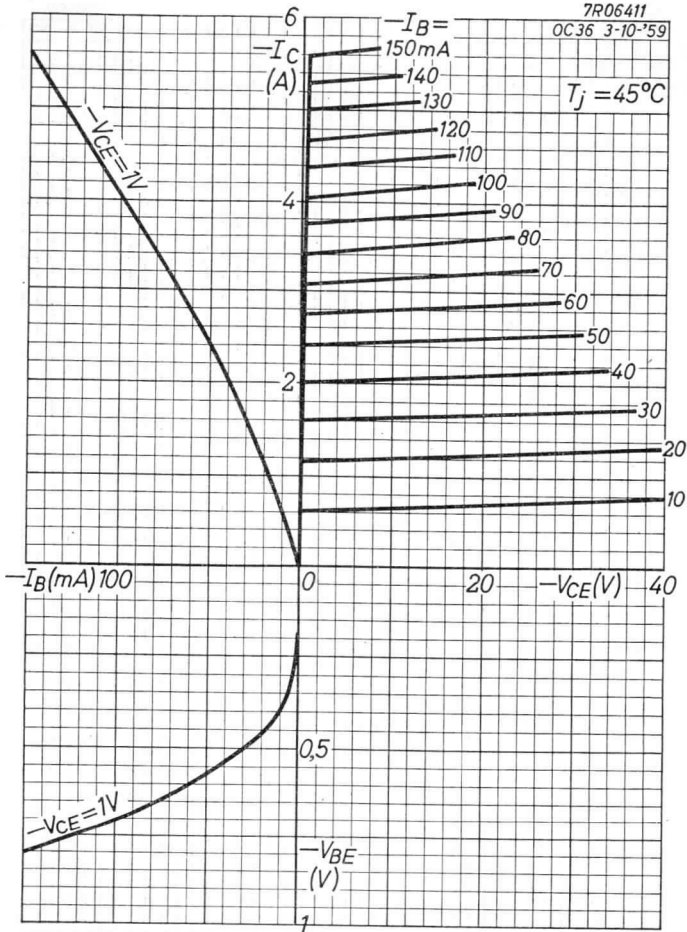
Zeit zur Ausgleichung der Temperatur = 1 Sek. (siehe Seite E)

Beispiel: Der Grenzwert der Impuls-Verlustleistung zu bestimmen, wenn P = 5 W, t = 1 m, δ = 0,1, K_h = 4,25 °C/W und T_{amb} = 25 °C

Für t = 1 msec und δ = 0,1 ist nach Seite E K_t = 0,28 °C/W

$$\text{Damit wird } P_p = \frac{90 - 25 - (2,0 + 4,25) \cdot 5}{0,28 + 0,1 \cdot 4,25} \approx 47,5 \text{ W}$$

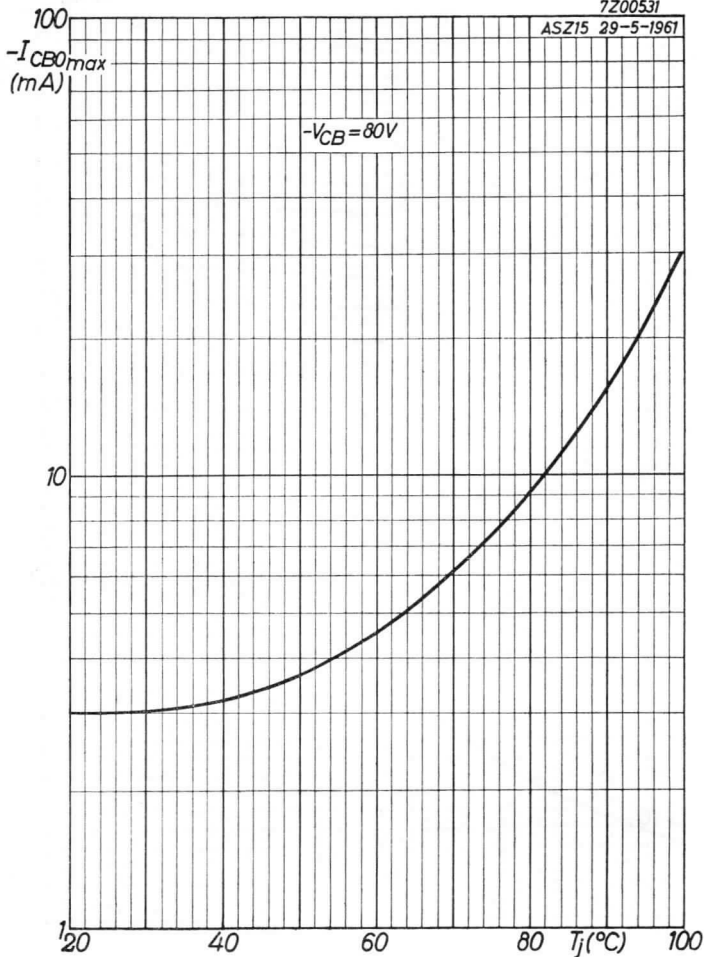
¹⁾ K_{j-h} ist der thermische Widerstand zwischen Kristall und Kühlplatte (K_{j-h} = 1,5 + 0,5 °C/W, siehe Seite 3)



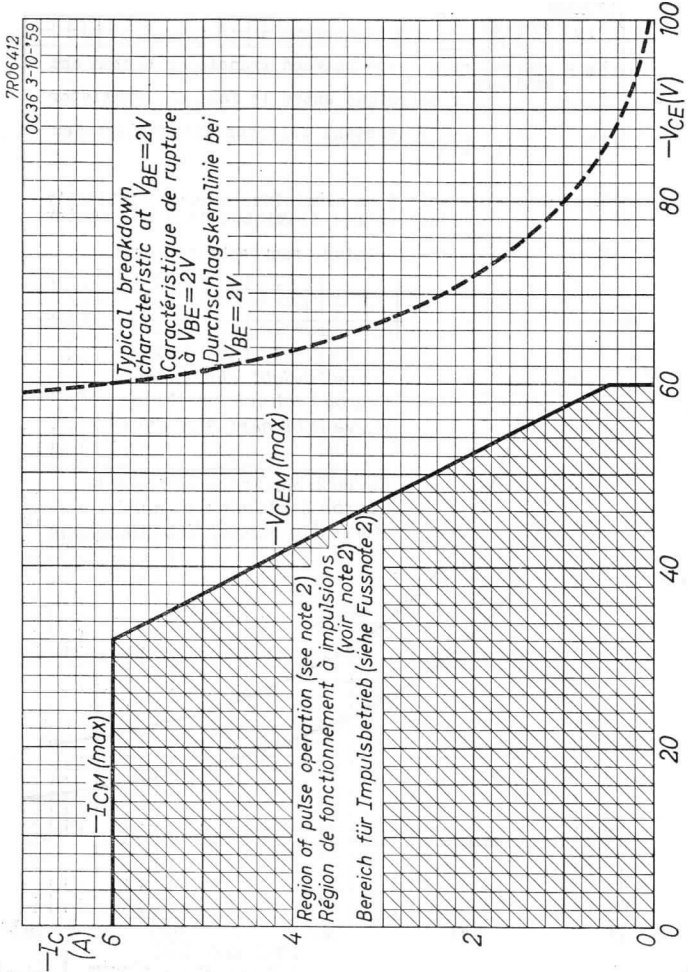
ASZ 18**PHILIPS**

7Z00531

ASZ15 29-5-1961



B



ASZ18**PHILIPS**

7Z00209

22-7-'60

K_m = thermal resistance between transistor bottom and ambience

K_m = résistance thermique entre le fond du transistor et l'ambience

K_m = thermischer Widerstand zwischen Transistorboden und Umgebung

Heat sink material: 3 mm aluminium, mounted vertically
 Plaque de refroidissement: aluminium de 3 mm, montée verticalement

Kühlschelle: 3 mm-Aluminium, senkrecht montiert

 K_m (°C/W)

Curve 1: bright aluminium
 Courbe 1: aluminium blanc
 Kurve 1: blankes Aluminium

Curve 2: blackened aluminium
 Courbe 2: aluminium noirci
 Kurve 2: geschwärztes Aluminium

8

6

4

2

0

0

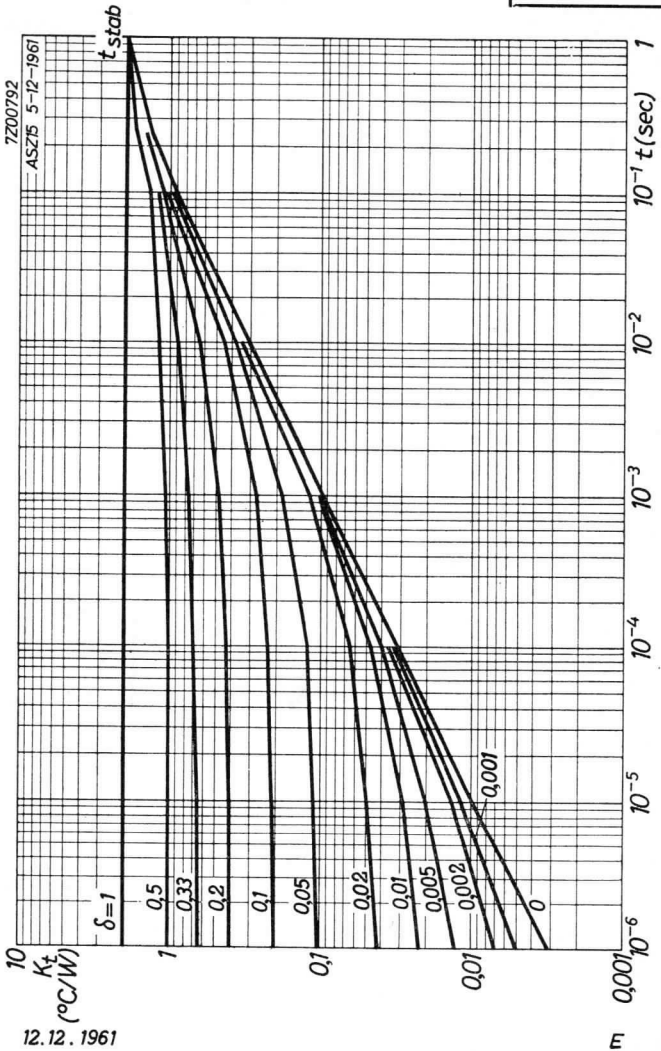
100

200

300

400

Heat sink area
 Surface de la plaque
 de refroidissement } (cm²)
 Fläche der Kühlschelle



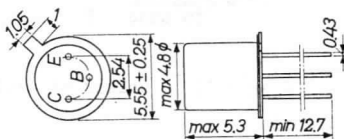
1954

2011



ALLOY-DIFFUSED TRANSISTOR of the p-n-p type in metal envelope for high-speed saturated logic applications

Dimensions in mm



LIMITING VALUES (Absolute max. values)

Collector

| | |
|--|--|
| Voltage (base reference) | $-V_{CB} = \text{max. } 20 \text{ V}$ |
| Voltage (emitter reference) | $-V_{CE} = \text{max. } 15 \text{ V}$ |
| Current | |
| Peak | $-I_{CM} = \text{max. } 50 \text{ mA}$ |
| D.C. and average (averaging time max. 20 msec) | $-I_C = \text{max. } 30 \text{ mA}$ $(t_{av} = \text{max. } 20 \text{ msec})$ |

Emitter

| | |
|--|---|
| Reverse current ¹⁾ | |
| Peak | $-I_{EM} = \text{max. } 10 \text{ mA}$ |
| D.C. and average (averaging time max. 20 msec) | $-I_E = \text{max. } 5 \text{ mA}$ $(t_{av} = \text{max. } 20 \text{ msec})$ |

Base

| | |
|--|---|
| Current | |
| Peak | $-I_{BM} = \text{max. } 10 \text{ mA}$ |
| D.C. and average (averaging time max. 20 msec) | $-I_B = \text{max. } 5 \text{ mA}$ $(t_{av} = \text{max. } 20 \text{ msec})$ |

Dissipation

| | |
|-------------------|---|
| Total dissipation | $P_{tot} = \text{max. } 275 \text{ mW}$ |
|-------------------|---|

Temperatures

| | |
|----------------------|---|
| Storage temperature | $T_S = -55 \text{ }^\circ\text{C to } +75 \text{ }^\circ\text{C}$ |
| Junction temperature | $T_J = \text{max. } 75 \text{ }^\circ\text{C}$ |

¹⁾ When the current is not limited the voltage must be less than 2.5 V

THERMAL DATA

| | |
|---|---------------------|
| Thermal resistance from junction to ambience in free air | K = max. 0.50 °C/mW |
| Thermal resistance from junction to case | K = max. 0.18 °C/mW |

CHARACTERISTICS

$T_{amb} = 25\text{ °C}$ unless otherwise specified

Collector current

$$-I_C \left\{ \begin{array}{l} -V_{CE} = 15\text{ V}; -V_{EB} = 0.2\text{ V} \\ T_{amb} = 60\text{ °C} \end{array} \right\} < 60\ \mu\text{A}$$

Emitter current at $I_C = 0\text{ mA}$

$$-I_{EBO} (-V_{EB} = 0.5\text{ V}; I_C = 0\text{ mA}) < 2\ \mu\text{A}$$

Base current

$$-I_B \left\{ \begin{array}{l} -V_{CE} = 15\text{ V}; -V_{EB} = 0.2\text{ V} \\ T_{amb} = 60\text{ °C} \end{array} \right\} < 60\ \mu\text{A}$$

Collector voltage

$$-V_{CB} \left\{ \begin{array}{l} -I_C = 100\ \mu\text{A}; I_E = 0\text{ mA} \\ T_{amb} = 60\text{ °C} \end{array} \right\} > 20\text{ V}$$

$$-V_{CE} (-I_C = 100\ \mu\text{A}; V_{BE} = 0\text{ V}) > 15\text{ V}$$

$$-V_{CE} (-I_C = 5\text{ mA}; -I_B = 0\text{ mA}) > 9\text{ V}$$

$$-V_{CE} (-I_C = 10\text{ mA}; -I_B = 1\text{ mA}) < 0.35\text{ V}$$

$$-V_{CE} (-I_C = 50\text{ mA}; -I_B = 3\text{ mA}) < 1.10\text{ V}$$

Emitter voltage

$$-V_{EB} \left\{ \begin{array}{l} -I_E = 100\ \mu\text{A}; I_C = 0\text{ mA} \\ T_{amb} = 60\text{ °C} \end{array} \right\} > 2.5\text{ V}$$

Base voltage

$$-V_{BE} (-I_C = 10\text{ mA}; -I_B = 0.44\text{ mA}) > 0.25\text{ V}$$

$$< 0.5\text{ V}$$

D.C. current amplification factor

$$h_{FE} (-V_{CE} = 0.5\text{ V}; -I_C = 10\text{ mA}) > 30$$

$$h_{FE} (-V_{CE} = 1.0\text{ V}; -I_C = 30\text{ mA}) > 50$$

CHARACTERISTICS RANGE VALUES FOR EQUIPMENT DESIGN

$T_{amb} = 25\text{ }^{\circ}\text{C}$

Base voltage

$-V_{BE}$ ($-I_C = 30\text{ mA}$; $-I_B = 0.9\text{ mA}$) $> 0.35\text{ V}$
 $< 0.75\text{ V}$

Frequency at which $|h_{fe}| = 1$

f_1 ($I_E = 10\text{ mA}$; $-V_{CB} = 2\text{ V}$) $> 300\text{ Mc/s}$

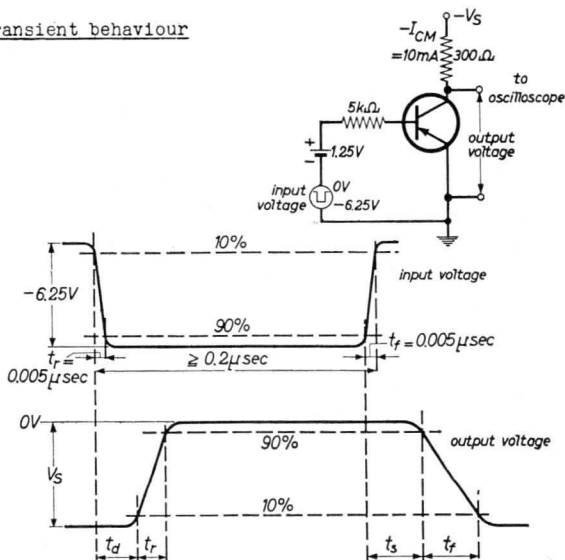
Collector capacitance

c_c ($-V_{CB} = 6\text{ V}$; $I_E = 0\text{ mA}$) $< 5\text{ pF}$

Emitter capacitance

c_e ($-V_{EB} = 1\text{ V}$; $I_C = 0\text{ mA}$) $< 12\text{ pF}$

Transient behaviour



Delay time $t_d = 0.03\text{ }\mu\text{sec}$ $> 0.015\text{ }\mu\text{sec}$ $< 0.040\text{ }\mu\text{sec}$

Rise time $t_r = 0.02\text{ }\mu\text{sec}$ $> 0.010\text{ }\mu\text{sec}$ $< 0.035\text{ }\mu\text{sec}$

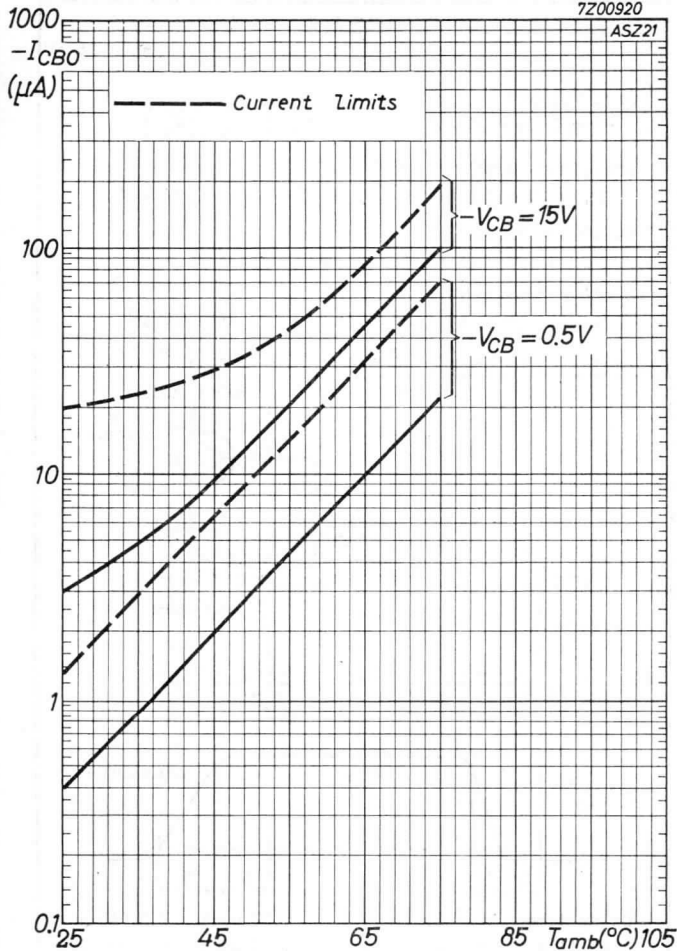
Storage time $t_s = 0.04\text{ }\mu\text{sec}$ $> 0.025\text{ }\mu\text{sec}$ $< 0.060\text{ }\mu\text{sec}$

Fall time $t_f = 0.04\text{ }\mu\text{sec}$ $> 0.025\text{ }\mu\text{sec}$ $< 0.055\text{ }\mu\text{sec}$

ASZ21**PHILIPS**

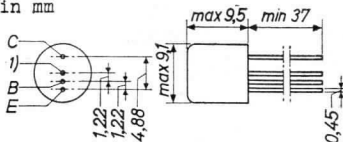
7Z00920

ASZ21



ALLOY-DIFFUSED JUNCTION TRANSISTOR of the p-n-p type in metal can for generating short duration pulses
 TRANSISTOR À JONCTIONS du type p-n-p EN TECHNIQUE ALLIAGE-DIFFUSION dans un boîtier métallique pour la production d'impulsions à courte durée
 p-n-p-FLÄCHENTRANSISTOR NACH DEM DIFFUSIONSLEGIERUNGS-VERFAHREN in Metallgehäuse zur Erzeugung von Impulsen kurzer Dauer

Dimensions in mm
 Dimensions en mm
 Abmessungen in mm



Limiting values (Absolute max. values)
 Caractéristiques limites (Valeurs max. absolues)
 Grenzdaten (Absolute Maximalwerte)

| | | |
|-----------|--------|--|
| $-I_{CM}$ | = max. | 100 mA |
| $-I_{CQ}$ | = max. | 2 mA ²⁾ |
| $-V_{EB}$ | = max. | 2 V |
| P_{tot} | = max. | $\frac{T_{jmax} - T_{amb}}{K}$ ³⁾ |
| T_j | = max. | 75 °C |

Storage temperature
 Température d'emmagasinage = -55 °C/+75 °C
 Lagerungstemperatur

- 1) Interlead shield and metal case
 Blindage entre les connexions et boîtier métallique
 Abschirmung zwischen den Anschlüssen und Metallgehäuse
- 2) Quiescent avalanche
 Courant de collecteur de repos
 Kollektorruhestrom
- 3) See also pages A and B
 Voir aussi pages A et B
 Siehe auch Seiten A und B

Thermal data. Thermal resistance
from junction to ambience in
free air

$$K \leq 0.6 \text{ } ^\circ\text{C/mW}$$

from junction to case

$$K \leq 0.5 \text{ } ^\circ\text{C/mW}$$

Données thermiques. Résistance
thermique

entre les jonctions et l'am-
biance à l'air libre

$$K \leq 0,6 \text{ } ^\circ\text{C/mW}$$

entre les jonctions et le boî-
tier

$$K \leq 0,5 \text{ } ^\circ\text{C/mW}$$

Thermische Daten. Wärmewiderstand
zwischen Kristall und Umgebung
in freier Luft

$$K \leq 0,6 \text{ } ^\circ\text{C/mW}$$

zwischen Kristall und Gehäuse

$$K \leq 0,5 \text{ } ^\circ\text{C/mW}$$

Characteristics range values for equipment design
Gammas de valeurs des caractéristiques pour l'étude d'é-
quipements

Kenndatenbereiche für Gerätentwurf

$$T_{amb} = 25 \text{ } ^\circ\text{C}$$

$$-V_{CB} = 6 \text{ V}$$

$$-I_{CBO} = 2,0 \text{ } \mu\text{A} < 8,0 \text{ } \mu\text{A}$$

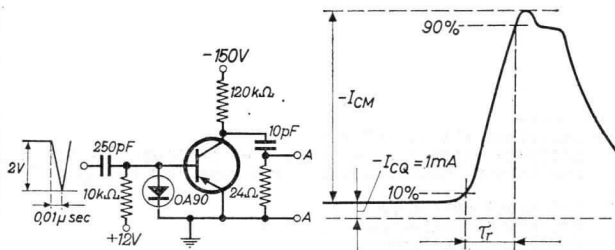
$$-V_{EB} = 0,5 \text{ V}$$

$$-I_{EBO} = 0,1 \text{ } \mu\text{A} < 0,5 \text{ } \mu\text{A}$$

$$-I_C = 1 \text{ mA}; I_E = 0 \text{ mA} \quad -V_{CB} = 24 \text{ V} > 15 \text{ V} < 30 \text{ V}$$

$$-V_{CB} = 6 \text{ V}; I_E = 0 \text{ mA} \quad c_b'c < 4,0 \text{ pF}$$

Collector current pulse
Impulsion du courant de collecteur
Kollektorstromimpuls



¹⁾ See page 3
Voir page 3
Siehe Seite 3

$$-I_{CM} = 40 < 60 \text{ mA } ^1)$$

$$T_r < 0,001 \text{ } \mu\text{sec}$$

Collector current pulse (continued)
Impulsion du courant de collecteur (suite)
Kollektorstromimpuls (Fortsetzung)

Terminals A : to sampling oscilloscope
Bornes A : pour oscilloscope stroboscopique
Anschlussklemmen A: nach stroboskopischem Oszillographen

The resistance of 24Ω should be a non inductive type and may be conveniently obtained by four lengths of coaxial cable in parallel with short circuit terminations (Each length = 1.5 m, $Z_0 = 95 \Omega$)

La résistance de 24Ω doit être non-inductive et peut être obtenue par quatre pièces de câble coaxial en parallèle avec les extrémités en court-circuit (chaque pièce de 1,5 m, $Z_0 = 95 \Omega$)

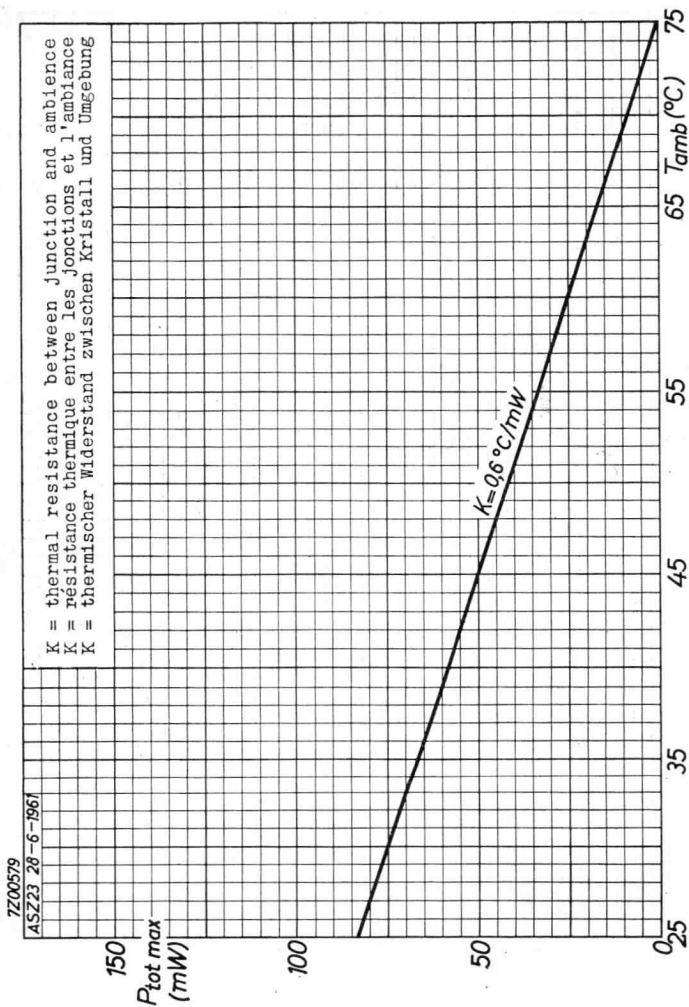
Der Widerstand von 24Ω soll induktionsfrei sein und kann mittels vier parallelgeschalteten Koaxialkabelstücke mit kurzgeschlossenen Enden erhalten werden (jedes Stück 1,5 m, $Z_0 = 95 \Omega$)

¹) Higher values may be achieved in the circuit shown provided the collector circuit capacitance $< 15 \text{ pF}$
Des valeurs plus élevées peuvent être obtenues dans le circuit page 2, si la capacité du circuit de collecteur est $< 15 \text{ pF}$
Wenn die Kapazität der Kollektorschaltung $< 15 \text{ pF}$ ist, können in der angegebenen Schaltung höhere Werte erhalten werden

SECRET

CONFIDENTIAL





ASZ 23**PHILIPS**

7Z00578

ASZ23 20-6-1961

K = thermal resistance between junction and metal can
K = résistance thermique entre les jonctions et le boîtier
K = thermischer Widerstand zwischen Kristall und Gehäuse

T_e = temperature of metal can
 T_e = température du boîtier
 T_e = Temperatur des Gehäuses

150

 $P_{tot\ max}$
(mW)

100

50

0,25

 $K = 0,5\ ^\circ\text{C}/\text{mW}$

75

 $T_e\ (^{\circ}\text{C})$

65

55

45

35

B

GERMANIUM p-n-p DIFFUSED ALLOY POWER TRANSISTORS for use in line deflection output (AU101) and driver (AU102) circuits

LIMITING VALUES (Absolute maximum values)

| <u>Collector</u> | | AU101 | AU102 |
|--|--|---------------------|-----------------|
| Voltage (base reference) | $-V_{CB} = \text{max.}$ | 120 V | 40 V |
| Voltage (emitter reference) | $-V_{CE} = \text{max.}$ | 120 V ¹⁾ | 40 V |
| Current | $-I_C = \text{max.}$ | 10 | A |
| <u>Base</u> | | | |
| Current | $ I_B = \text{max.}$ | 2 ²⁾ A | |
| <u>Dissipation</u> | | | |
| Total dissipation | $P_{tot} = \text{max.}$ | 10 | W ³⁾ |
| <u>Temperatures</u> | | | |
| Continuous junction temperature | $T_j = \text{max.}$ | 90 | °C |
| Junction temperature, incidentally (total duration max. 200 hrs) | $T_j = \text{max.}$ ($t_j = \text{max.}$) | 100 200 | °C hrs) |
| Storage temperature | $T_s =$ | -55 °C to +75 °C | |

THERMAL DATA

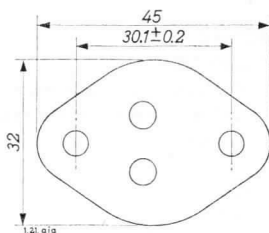
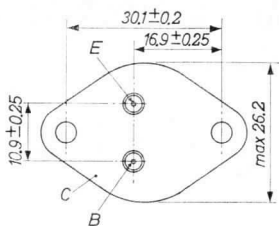
| | | |
|--|---------------------------|----------|
| Thermal resistance from junction to transistor base | $K_{j-m} = \text{max.}$ | 2.0 °C/W |
| Thermal resistance from junction to ambience (mounting with mica washer on blackened 2 mm copper heat sink of at least 120 cm ²) | $K_{j-amb} = \text{max.}$ | 5.5 °C/W |

- 1) See also page G
- 2) Transgression up to 3 A peak is allowed during the turn-on and turn-off time
- 3) During switching off the peak dissipation is limited by the max. allowable transient energy of 300 μWsec

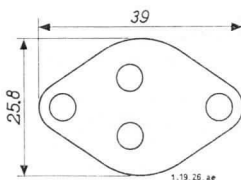
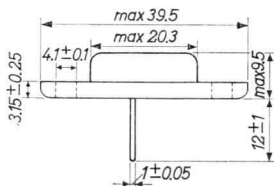
AU101
AU102

PHILIPS

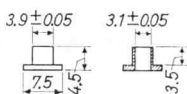
Dimensions in mm



Mica insulation 0.05 mm



Lead washer 1 mm



Insulation tube

The collector is connected to the case

Accessories for mounting

| | |
|---|--------|
| 0.05 mm mica plate and insulation tubes | 56201A |
| 1 mm lead washer | 56201B |

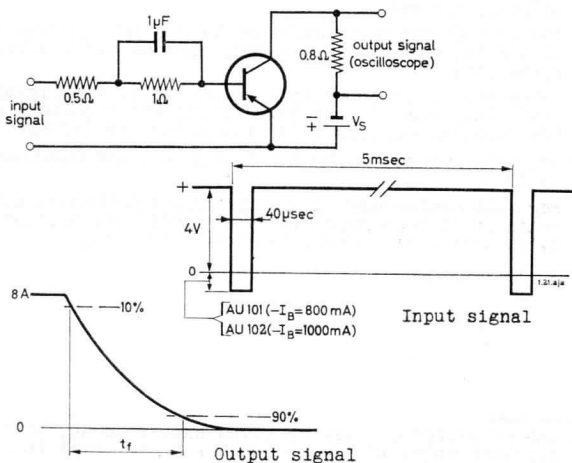
CHARACTERISTICS at a transistor base temperature $T_m = 25^\circ\text{C}$

| Collector-base leakage current | AU101 | AU102 |
|---|----------------------|-----------|
| -ICBO ($-V_{CB} = 120\text{ V}; I_E = 0\text{ mA}$) | < 10 mA | |
| -ICBO ($-V_{CB} = 40\text{ V}; I_E = 0\text{ mA}$) | | < 10 mA |
| Base current | | |
| -I _B ($V_{CB} = 0\text{ V}; I_E = 10\text{ mA}$) | > 200 mA < 730 mA | < 1250 mA |

CHARACTERISTICS RANGE VALUES FOR EQUIPMENT DESIGN

$T_{amb} = 25\text{ }^{\circ}\text{C}$ unless otherwise specified

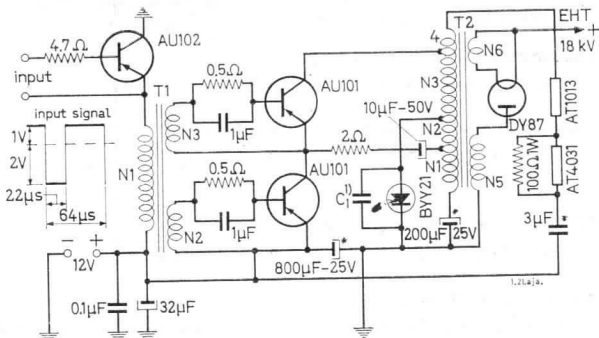
| | AU101 | AU102 |
|---|------------------------------|------------------------------|
| Collector-base leakage current | See page F | |
| Emitter-base breakdown voltage $-V_{EB}(\text{b.d.}) (-I_E = 50\text{ mA}; I_C = 0\text{ mA})$ | $> 1\text{ V}$ | $> 1\text{ V}$ |
| Collector-emitter saturation voltage $-V_{CE} \left\{ \begin{array}{l} -I_C = 10\text{ mA}; -I_B = 1.2\text{ A} \\ T_j = 100\text{ }^{\circ}\text{C} \end{array} \right\}$ | $< 1\text{ V}$ | $< 1\text{ V}$ |
| Floating emitter-base potential $-V_{EB} (-V_{CB} = 120\text{ V}; T_j = 100\text{ }^{\circ}\text{C})$ | $< 0.5\text{ V}$ | |
| Frequency at which $ h_{fe} = 1$ $f_1 (I_E = 0.5\text{ A}; -V_{CB} = 2\text{ V})$ | $> 400\text{ kc/s}$ | $> 400\text{ kc/s}$ |
| Fall time from $-I_C = 8\text{ A}$ $t_f (T_j = 90\text{ }^{\circ}\text{C}; \text{ see figures below})$ | $< 2.6\text{ }\mu\text{sec}$ | $< 3.9\text{ }\mu\text{sec}$ |



AU101
AU102

PHILIPS

OPERATING CHARACTERISTICS in typical horizontal deflection circuit for 110° deflection cathode ray tubes with an EHT of 18 kV and a fly-back ratio of 22%



Operating notes

1. Stable continuous operation up to an ambient temperature of 50 °C is ensured, provided each transistor AU101 has been mounted on a blackened heat sink (2 mm copper) of at least 120 cm².
2. The circuit has been developed for a supply voltage of 12 V ± 3%, with a maximum variation of 0.1 V during operation.

Other values of stabilized supply voltage, slightly deviating from 12 V, require small modifications of the circuit, especially of the output transformer.

3. The tolerance of the values of resistors and capacitors is 10 %.

For full performance in transistorized deflection circuits it is necessary that the capacitors, indicated by an asterisk, shall be of good quality.

¹⁾ The capacitor C₁ must be given such a value, that a fly-back pulse of 14 μsec width is obtained (about 0.22 μF, 400 V)

COIL DATA

Transformer T₁

Core: Ferroxcube pot core type S 35/23
Type number: K3 001 04 (3B5; air gap 0.18 mm)

N1: 18 turns }
N2: 7 turns } 0.4 mm Cu wire, enamelled, soldering quality
N3: 7 turns }

Transformer T₂ (See fig. below)

Core: U-core ferroxcube 3C5
Type number VK 235 50

N1: 16 turns }
N2: 3 turns } 0.5 mm Cu wire, enamelled, soldering quality
N3: 13 turns }
N4: 7 turns }

N5: 2400 turns 0.08 mm Cu wire, enamelled, soldering quality
N6: 1 turn

Winding method:

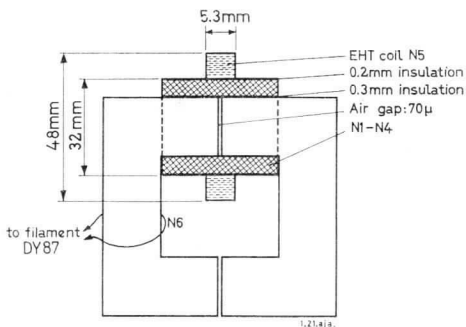
N1-N4: Cylindrically wound

N1 and N2 form a single winding tapped at 16 turns

N3 and N4 form a single winding tapped at 13 turns

Windings N1 + N2 and N3 + N4 are to be wound simultaneously

N5 : Cylindrically wound



1954
1954

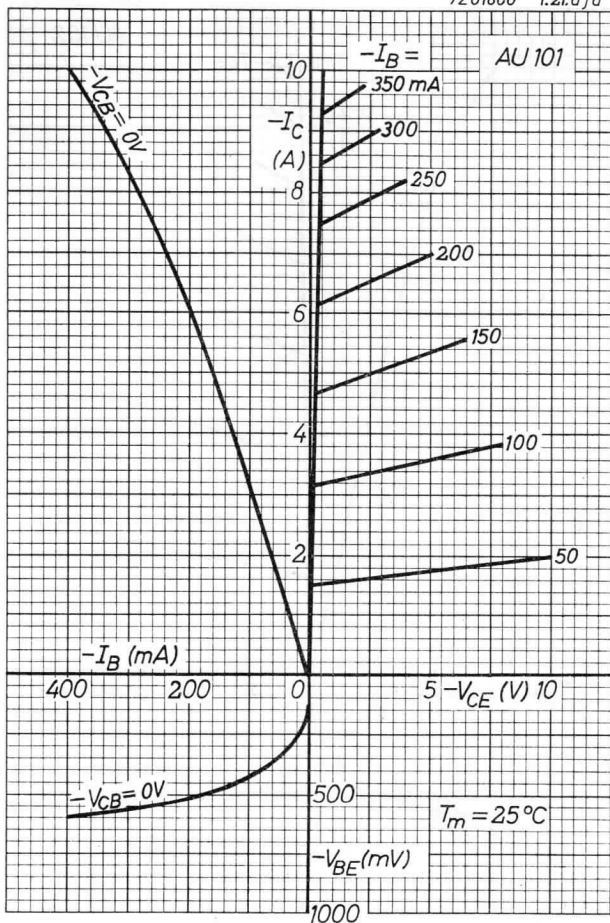
1954



PHILIPS

AU101
AU102

7Z01600 1.21.a ja



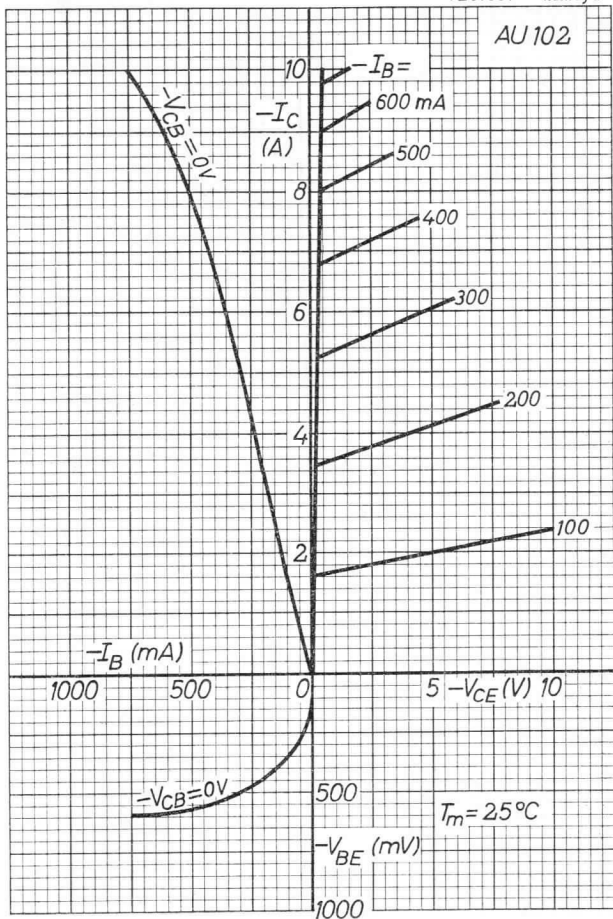
4.4.1963

A

AU101
AU102

PHILIPS

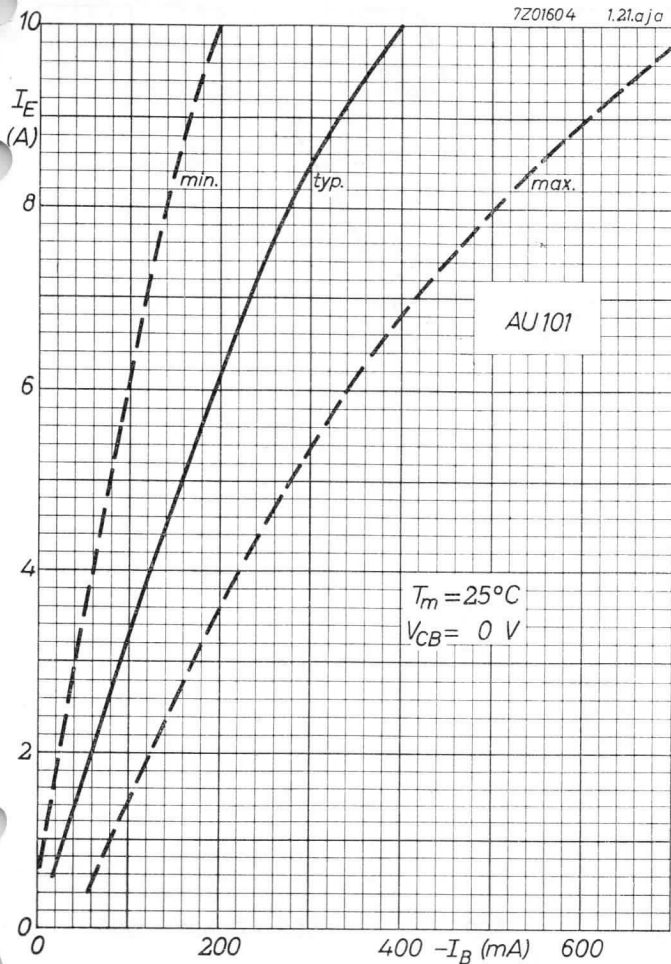
7Z01601 1.21.a ja



PHILIPS

AU101
AU102

7Z01604 1.21.a ja



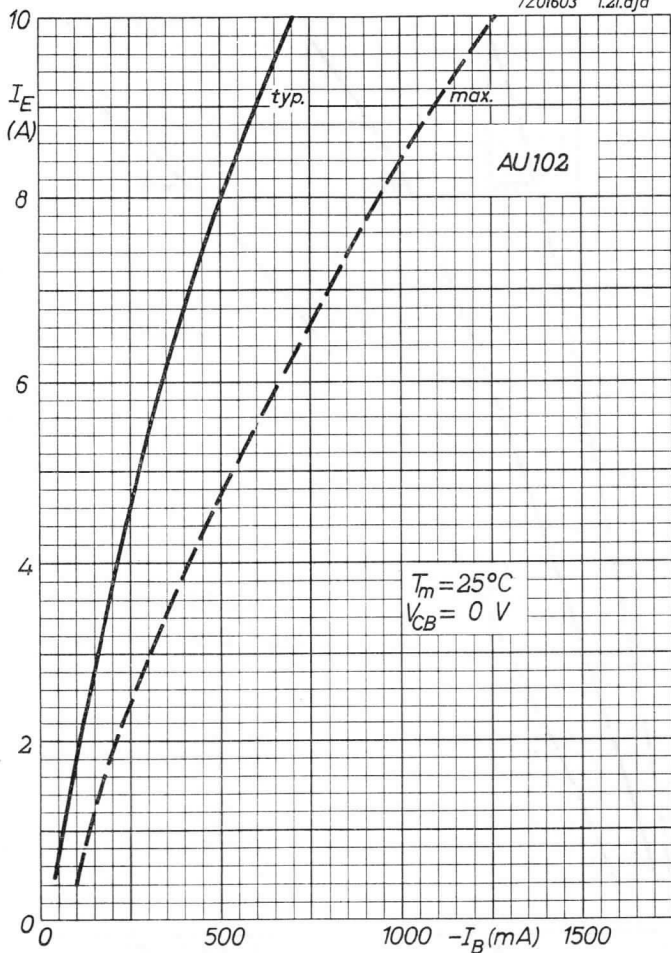
4.4.1963

C

AU101
AU102

PHILIPS

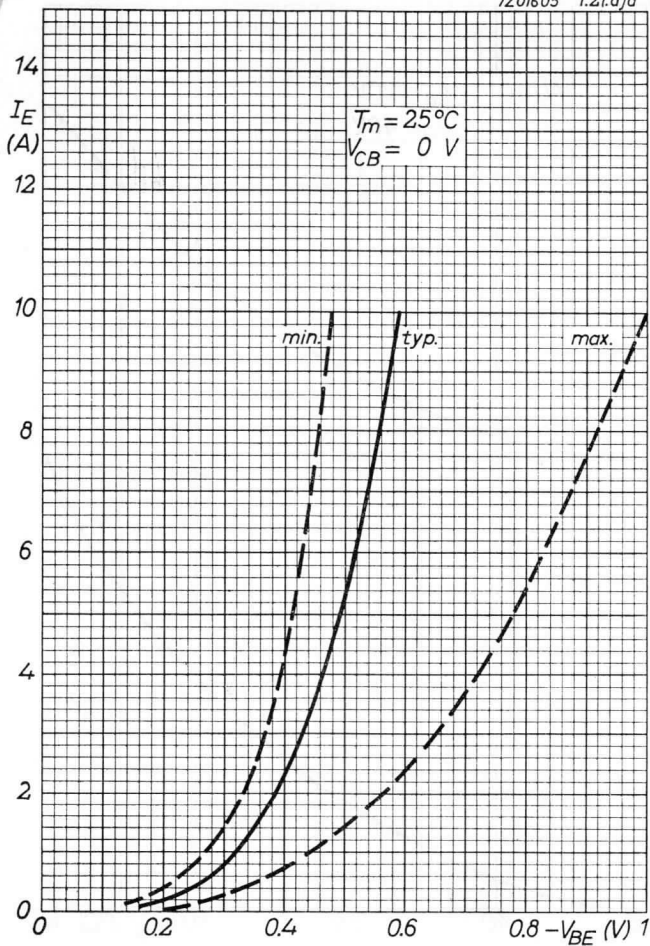
7Z01603 1.21.aja



PHILIPS

AU101
AU102

7Z01605 1.21.a ja



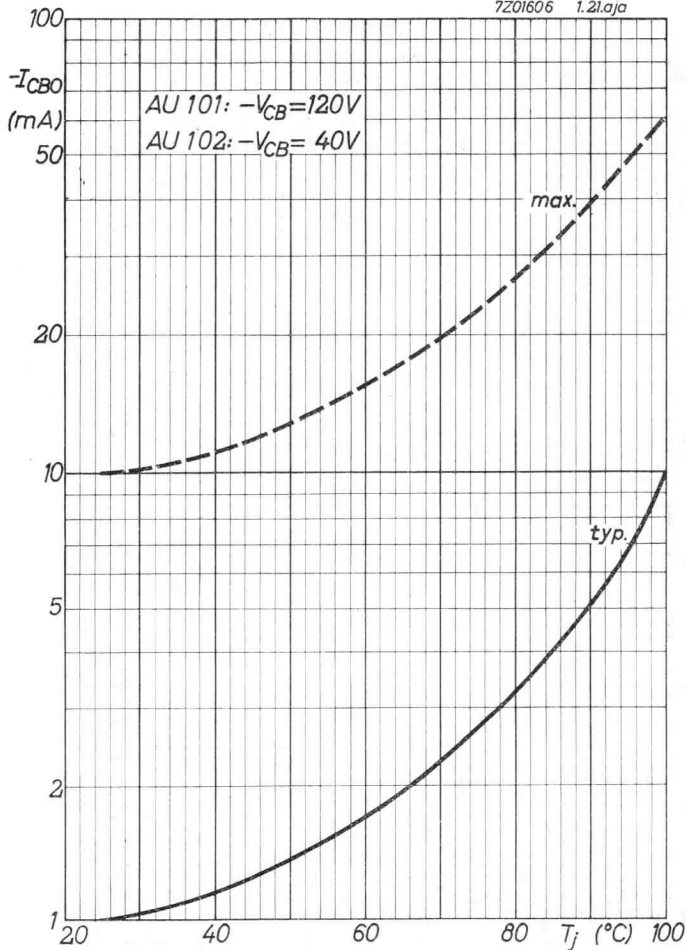
4.4.1963

E

AU101
AU102

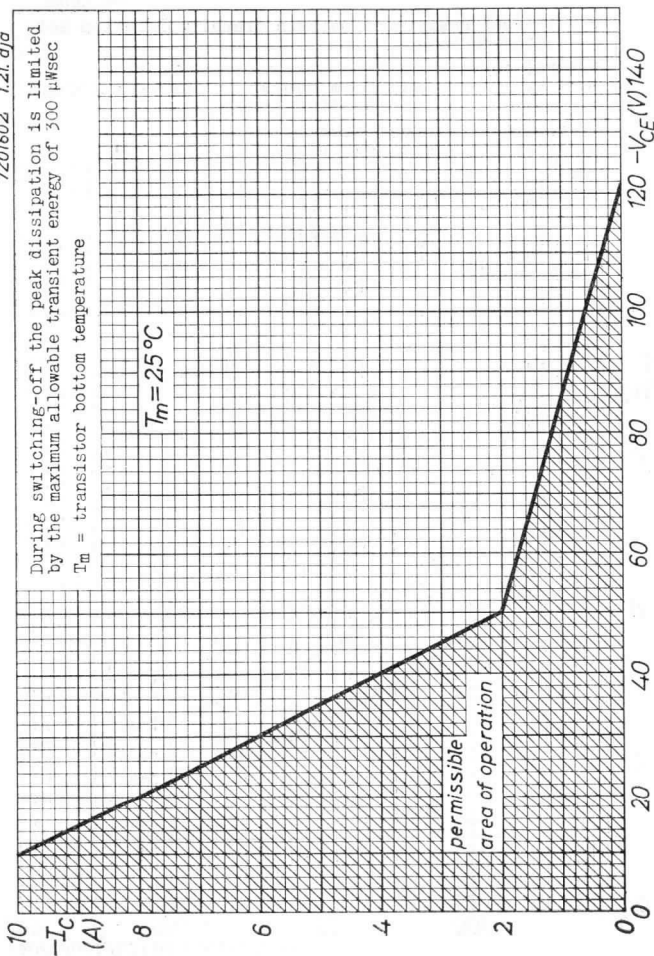
PHILIPS

7201606 1.21.a ja



7Z01602 1.21. aja

During switching-off the peak dissipation is limited by the maximum allowable transient energy of 300 μ Wsec
 T_m = transistor bottom temperature



AU101
AU102

PHILIPS

7Z01615 1.21aja

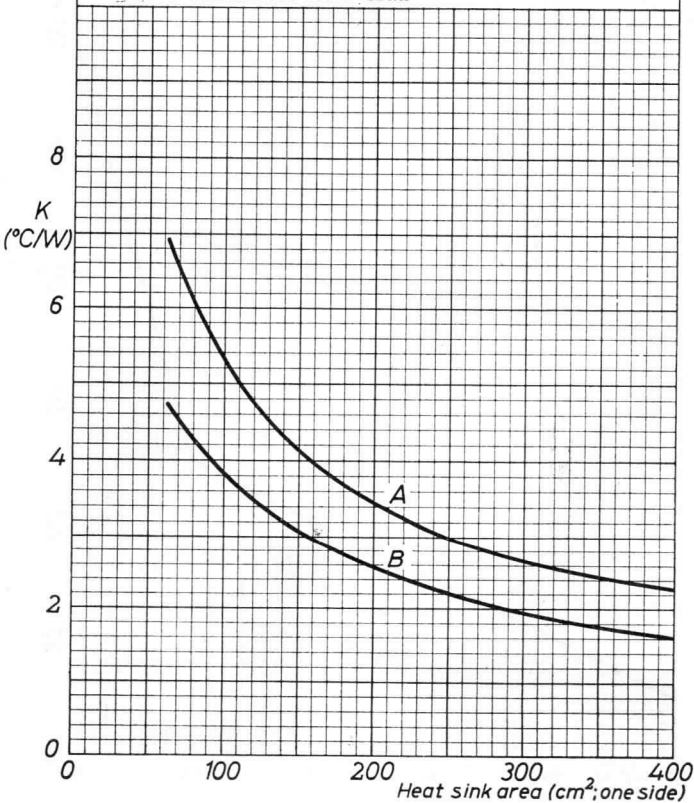
K = thermal resistance between transistor bottom and
ambience

Natural convection

Heat sink material: 2 mm copper or 3 mm aluminium;
mounted vertically

Curve A: Bright heat sink

Curve B: Blackened heat sink



H

ALLOY-DIFFUSED GERMANIUM POWER TRANSISTOR of the p-n-p type for non-saturated switching applications
 TRANSISTOR DE PUISSANCE AU GERMANIUM DU TYPE p-n-p EN TECHNIQUE ALLIAGE-DIFFUSÉ pour applications de commutation sans saturation
 DIFFUSIONSLEGIERTER p-n-p-GERMANIUM-LEISTUNGSTRANSISTOR für Schalteranwendungen ohne Sättigung

Limiting values (Absolute max. values)
 Caractéristiques limites (Valeurs max. absolues)
 Grenzdaten (Absolute Maximalwerte)

| | |
|--|---|
| -V _{CB} | = max. 70 V ¹⁾ |
| -V _{CE} (V _{BE} > 0,2 V) | = max. 60 V ²⁾ |
| -I _C | = max. 700 mA ¹⁾ |
| I _E | = max. 750 mA |
| -I _E | = max. 50 mA |
| -I _B (t _{av} = max. 20 msec) | = max. 50 mA |
| -I _{BM} | = max. 700 mA |
| P _{tot} (t _{av} = max. 20 msec) | = max. 6 W ³⁾ |
| P _{tot} (t _{av} = max. 20 msec) | = max. $\frac{T_j \max - T_{amb}}{K}$ ⁴⁾ |
| T _j | = max. 75 °C |
| Storage temperature Température d'emmagasinage Lagerungstemperatur | = -55 °C/+75 °C |

¹⁾ See also page C. During switching-off operation outside region II of page C is permissible provided the inductance of the circuit $\leq 250 \mu\text{H}$ and the switch-off time $\leq 15 \mu\text{sec}$.

Voir aussi page C. Pendant la mise hors circuit le fonctionnement en dehors de la région II de page C est permis pourvu que l'inductance du circuit $\leq 250 \mu\text{H}$ et la durée de la mise hors circuit $\leq 15 \mu\text{sec}$.

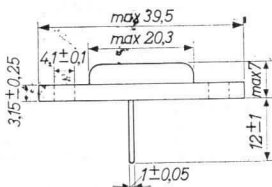
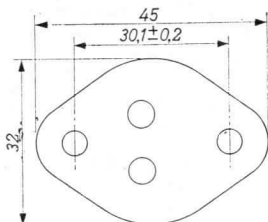
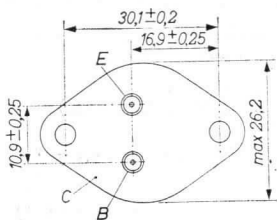
Siehe auch Seite C. Während des Ausschaltens ist Betrieb ausserhalb des Bereiches II auf Seite C erlaubt wenn die Selbstinduktion der Schaltung $\leq 250 \mu\text{H}$ und die Ausschaltdauer $\leq 15 \mu\text{Sek}$.

²⁾ For common emitter operation due measures have to be taken to ensure electrical and thermal stability
 Pour le fonctionnement à émetteur commun il faut prendre des mesures convenables pour assurer la stabilité électrique et thermique
 Bei Betrieb in Emitterschaltung müssen geeignete Massnahmen getroffen werden zur Sicherung der elektrischen und thermischen Stabilität.

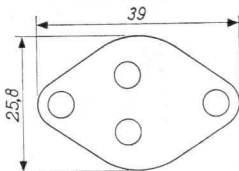
³⁾⁴⁾ See page 2; voir page 2; siehe Seite 2

Dimensions in mm
 Dimensions en mm
 Abmessungen in mm

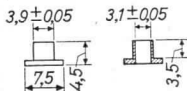
Mica insulation, 0.05 mm
 Isolement de mica, 0,05 mm
 Glimmerisolierung, 0,05 mm



Lead washer, 1 mm
 Plaque de plomb, 1 mm
 Bleischeibe, 1 mm



Insulation tubes
 Isolateurs de traversée
 Durchführungsisolatoren



- 3) Up to a transistor bottom temperature of 50 °C
 Jusqu'à une température du fond du transistor de 50 °C
 Bei einer Transistorbodentemperatur niedriger als 50 °C
- 4) At transistor bottom temperatures higher than 50 °C.
 K is the thermal resistance between junction and
 ambience
 Aux températures du fond du transistor au-dessus de
 50 °C. K est la résistance thermique entre les jonc-
 tions du transistor et l'ambiance
 Bei Transistorbodentemperaturen höher als 50 °C. K ist
 der thermische Widerstand zwischen Transistorkristall
 und Umgebung.

| | |
|--|-------------------|
| THERMAL DATA. Thermal resistance between junction and transistor bottom | K = max. 4.0 °C/W |
| Thermal resistance between transistor bottom and heat sink, when mounted with mica and lead washers (see page 2) | K = max. 0.5 °C/W |
| DONNÉES THERMIQUES. Résistance thermique entre les jonctions et le fond du transistor | K = max. 4,0 °C/W |
| Résistance thermique entre le fond du transistor et la plaque de refroidissement si le transistor est monté avec des plaques de mica et de plomb (voir page 2) | K = max. 0,5 °C/W |
| THERMISCHE DATEN. Wärmewiderstand zwischen Kristall und Transistorboden | K = max. 4,0 °C/W |
| Wärmewiderstand zwischen Transistorboden und Kühlplatte wenn der Transistor mit Glimmer- und Bleiplatten montiert ist (siehe Seite 2) | K = max. 0,5 °C/W |

Characteristics
Caractéristiques
Kenndaten

T_m = temperature of transistor bottom
 T_m = température du fond du transistor
 T_m = Temperatur des Transistorbodens

| | |
|-------------------------------|---------------------------|
| $-V_{CE} = 60 \text{ V}$ | $-I_E = 1 \text{ mA}$ |
| $V_{BE} = 1 \text{ V}$ | $I_C = 0 \text{ mA}$ |
| $T_m = 60 \text{ °C}$ | $T_m = 60 \text{ °C}$ |
| $-I_C < 1 \text{ mA}$ | $-V_{EB} > 1,5 \text{ V}$ |
| $-V_{CE} = 60 \text{ V}$ | $I_E = 600 \text{ mA}$ |
| $R_{BE} = 56 \text{ } \Omega$ | $-V_{CB} = 10 \text{ V}$ |
| $T_m = 60 \text{ °C}$ | $T_m = 60 \text{ °C}$ |
| $-I_C < 2 \text{ mA}$ | $V_{EB} > 0,1 \text{ V}$ |
| | $I_E = 600 \text{ mA}$ |
| | $-V_{CB} = 10 \text{ V}$ |
| | $T_m = 25 \text{ °C}$ |
| | $V_{EB} < 0,45 \text{ V}$ |

Characteristics (continued)
 Caractéristiques (suite)
 Kenndaten (Fortsetzung)

| | |
|-----------------------------------|-----------------------------------|
| $-I_C = 3 \text{ mA}$ | $I_E = 600 \text{ mA}$ |
| $I_E = 0 \text{ mA}$ | $-V_{CB} = 30 \text{ V}$ |
| $T_m = 60 \text{ }^\circ\text{C}$ | $T_J = 75 \text{ }^\circ\text{C}$ |
| $-V_{CB} > 70 \text{ V}$ | $+I_B < 6 \text{ mA}$ |
| $-V_{CE} = 60 \text{ V}$ | $I_E = 600 \text{ mA}$ |
| $V_{BE} = 1 \text{ V}$ | $-V_{CB} = 10 \text{ V}$ |
| $T_m = 60 \text{ }^\circ\text{C}$ | $T_m = 25 \text{ }^\circ\text{C}$ |
| $-I_B < 1 \text{ mA}$ | $-I_B < 15 \text{ mA}$ |

Characteristics range values for equipment design
 Gammes de valeurs des caractéristiques pour l'étude d'équipements
 Kenndatenbereiche für Gerätentwurf

$T_{amb} = 25 \text{ }^\circ\text{C}$

$-I_{CBO} \left\{ \begin{array}{l} \text{see page B} \\ \text{voir page B} \\ \text{siehe Seite B} \end{array} \right.$

$-V_{CB} = 10 \text{ V}$
 $I_E = 0 \text{ mA}$
 $c_c < 85 \text{ pF } ^2)$

$I_E = 300 \text{ mA}$
 $-V_{CB} = 10 \text{ V}$
 $f_{1'} = 120 \text{ Mc/s} > 60 \text{ Mc/s}$

$-V_{CB} = 60 \text{ V}$
 $I_E = 0 \text{ mA}$
 $c_c < 45 \text{ pF } ^2)$

¹⁾ Frequency at which $|h_{fe}| = 1$
 Fréquence à laquelle $|h_{fe}| = 1$
 Frequenz bei der $|h_{fe}| = 1$

²⁾ Collector capacitance
 Capacité du collecteur
 Kollektorkapazität

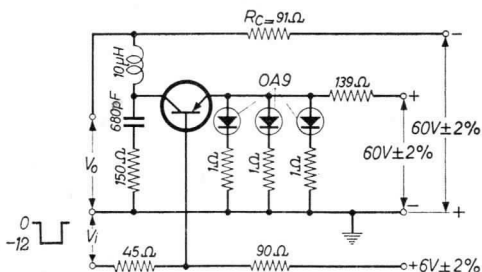
Characteristics range values for equipment design (continued)

Gammes de valeurs des caractéristiques pour l'étude d'équipements (suite)

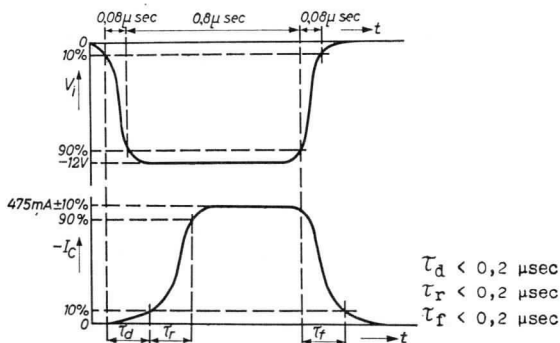
Kenndatenbereiche für Gerätentwurf (Fortsetzung)

Transient response
Phénomènes transitoires
Ausgleichsvorgänge

$T_{amb} = 25\text{ }^{\circ}\text{C}$



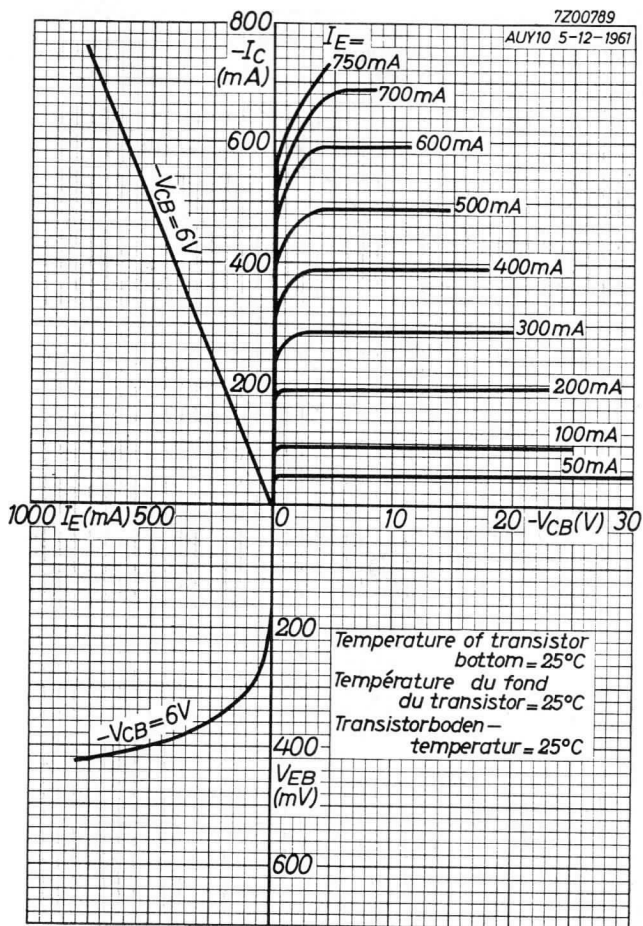
Tolerance of resistors $\pm 2\%$
Tolérance des résistances $\pm 2\%$
Streuung der Widerstände $\pm 2\%$



1944

2011

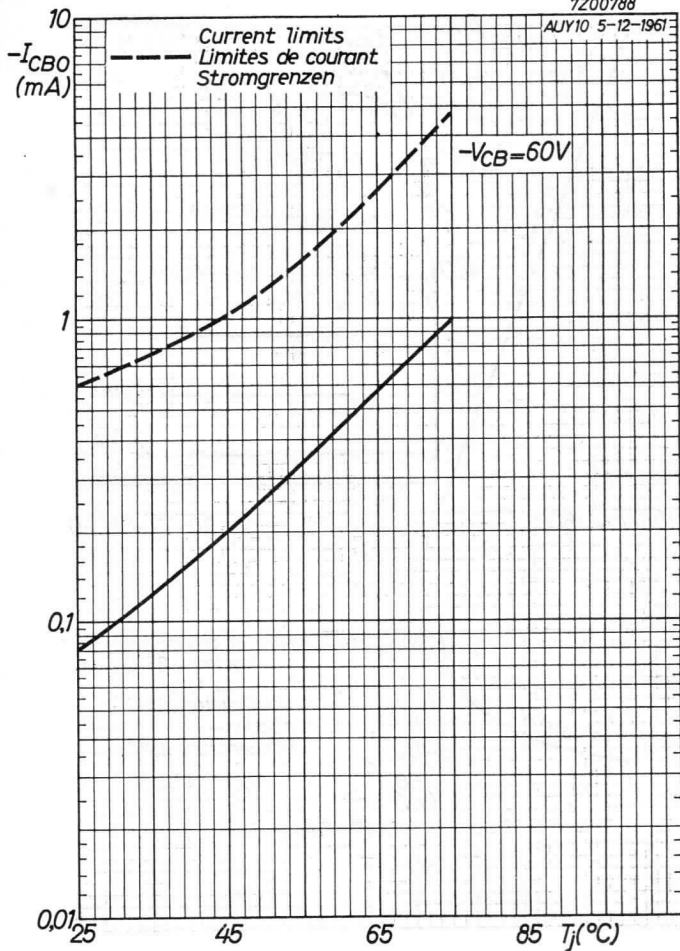




AUY10**PHILIPS**

7Z00788

AUY10 5-12-1961

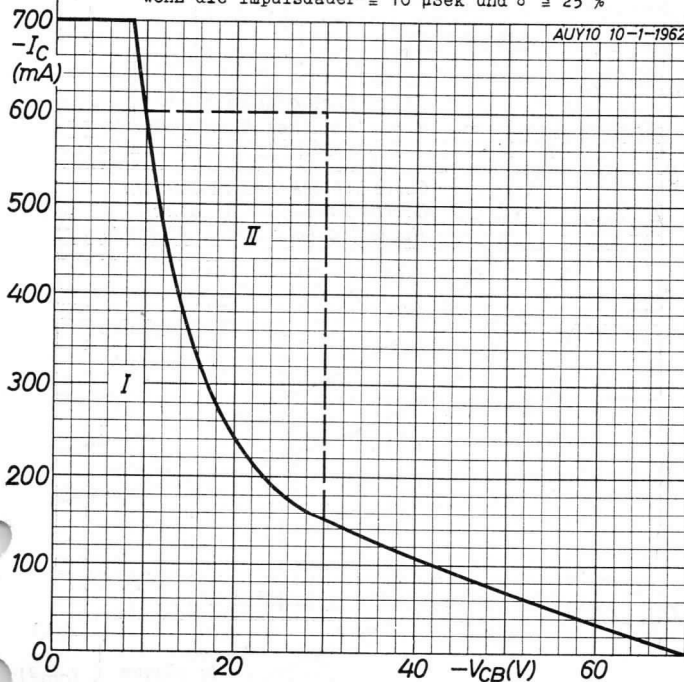


B

7200787

- I = region of permissible D.C. operation up to $T_j = 75^\circ\text{C}$
- I = région de fonctionnement à courant continu admissible jusqu'à $T_j = 75^\circ\text{C}$
- I = zulässiger Verwendungsbereich für Gleichstrom bis $T_j = 75^\circ\text{C}$
- II = additional permissible region of pulse operation provided the pulse duration $\leq 10 \mu\text{sec}$ and $\delta \leq 25\%$
- II = région additionnelle de fonctionnement à impulsions admissible si la durée de l'impulsion $\leq 10 \mu\text{sec}$ et $\delta \leq 25\%$
- II = hinzukommender zulässiger Impulsverwendungsbereich wenn die Impulsdauer $\leq 10 \mu\text{Sek}$ und $\delta \leq 25\%$

AUY10 10-1-1962



AUY10**PHILIPS**

7Z00209

OC 26 22-7-'60

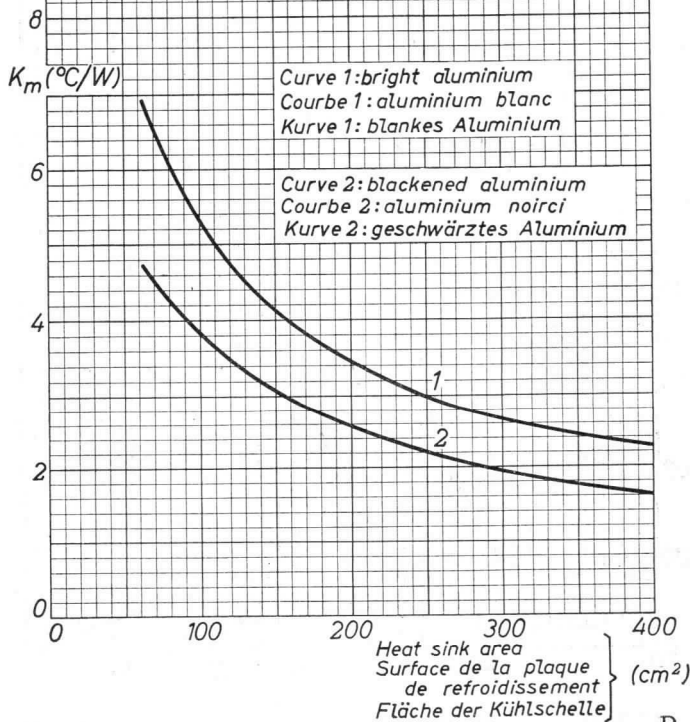
K_m = thermal resistance between transistor bottom and
ambience

K_m = résistance thermique entre le fond du transistor
et l'ambience

K_m = thermischer Widerstand zwischen Transistorboden
und Umgebung

Heat sink material: 3 mm aluminium, mounted vertically
Plaque de refroidissement: aluminium de 3 mm, montée
verticalement

Kühlschelle: 3 mm-Aluminium, senkrecht montiert



D